

Atlante dei Bacini Imbriferi Piemontesi

INDICE

1	Premessa	1	
2	Caratteri morfo-climatici dei bacini imbriferi	7	
	2.1	Premessa metodologica	7
	2.2	Analisi preliminari al calcolo dei descrittori	7
	2.3	Descrittori di bacino	9
3	Definizione sintetica delle caratteristiche dei bacini	17	
4	Bibliografia	20	

SCHEDE BACINO	21	
Agogna a Momo	23	
Agogna a Novara	25	
Anza a Macugnaga	27	
Artanavaz a Saint Oyen	29	
Ayasse a Champorcher	31	
Banna a Poirino	33	
Banna a Santena	35	
Belbo a Castelnuovo Belbo	37	
Belbo a Rocchetta Belbo	39	
Bogna a Domodossola	41	
Borbera a Baracche	43	
Borbera a Pertuso	45	
Borbore a San Damiano d'Asti	47	
Bormida a Alessandria	49	
Bormida a Cassine (Presa Canale Carlo Alberto)	51	
Bormida di Mallare a Ferrania	53	
Bormida di Millesimo a Camerana	55	
Bormida di Millesimo a Cessole	57	
Bormida di Millesimo a Murialdo	59	
Bormida di Spigno a Mombaldone	61	
Bormida di Spigno a Piana Crixia	63	
Bormida di Spigno a Valla	65	
Bousset a Tetti Porcera	67	
Breuil a Alpette	69	
Brobbio a Margarita	71	
Bucera a Ponte Rovine	73	
Buthier a Place Moulin	75	
Cannobino a Traffiume	77	
Casotto a Monasterolo Casotto	79	
Cenischia a Susa	81	
Cervo a Passobreve	83	
Cervo a Quinto Vercellese	85	
Cervo a Vigliano Biellese	87	
Chiavanne a Alpette	89	
Chisola a La Loggia	91	

Indice

Chisone a Fenestrelle	93
Chisone a Pinerolo	95
Chisone a San Martino	97
Chisone a Soucheres Basses	99
Chiusella a Gurzia	101
Chiusella a Parella	103
Clarea a presa centrale Chiomonte	105
Corsaglia a Frabosa Soprana	107
Corsaglia a Presa Centrale Molline	109
Corsaglia a Torre Mondovì	111
Curone a Volpedo	113
Devero a Baceno	115
Dora Baltea a Aosta	117
Dora Baltea a Beauregard	119
Dora Baltea a Cignana	121
Dora Baltea a Mazzè	123
Dora Baltea a Ponte Baio	125
Dora Baltea a Ponte di Mombardone	127
Dora Baltea a Tavagnasco	129
Dora Baltea a Verolengo	131
Dora di Bardonecchia a Beaulard	133
Dora di Courmayeur a Prè Saint Didier	135
Dora di Rhemes a Notre Dame	137
Dora di Rhemes a Pèlaud	139
Dora di Rhemes a Saint Georges	141
Dora Riparia a Chiomonte	143
Dora Riparia a Oulx	145
Dora Riparia a Salbertrand	147
Dora Riparia a Sant'Antonino di Susa	149
Dora Riparia a Susa	151
Dora Riparia a Torino Ponte Washington	153
Ellero a Mondovì	155
Ellero a Rastello	157
Elvo a Carisio	159
Elvo a Sordevolo	161
Erro a Cartosio	163
Erro a Sassello	165
Evancon a Brusson	167
Evancon a Champoluc	169
Galambra a presa centrale Chiomonte	171
Germanasca a Perrero	173
Gesso a Andonno	175
Gesso della Barra a San Giacomo	177
Gesso della Valletta a San Lorenzo	179
Gesso di Entracque a Diga di Piastra	181
Gesso di Entracque a Entracque	183
Gesso di Monte Colombo a San Giacomo	185
Ghiandone a Staffarda	187
Grana a Monterosso	189

Grand'Eyvia a Cretaz	191
Isorno a Pontetto	193
Lys a d'Ejola	195
Lys a Gressoney Saint Jean	197
Lys a Guillemore	199
Maira a Busca	201
Maira a Racconigi	203
Maira a San Damiano Macra	205
Maira a Saretto	207
Malone a Brandizzo	209
Malone a Front	211
Marmore a Perreres	213
Mastallone a Varallo	215
Melezet a Melezet	217
Meris a Sant'Anna Valdieri	219
Mongia a Mombasiglio	221
Negrone a Ormea	223
Niguglia a Omegna	225
Nontey a Valnontey	227
Orba a Basaluzzo	229
Orba a Casal Cermelli	231
Orba a Tiglieto	233
Orco a Cuorgnè	235
Orco a Pont Canavese	237
Orco a San Benigno Canavese	239
Pellice a Luserna San Giovanni	241
Pellice a Villafranca Piemonte	243
Pesio a Carrù	245
Pesio a San Bartolomeo	247
Po a Carignano	249
Po a Casale Monferrato	251
Po a Castiglione Torinese	253
Po a Crissolo	255
Po a Isola Sant'Antonio	257
Po a Meirano Moncalieri	259
Po a Moncalieri	261
Po a San Mauro Torinese	263
Po a San Sebastiano	265
Po a Torino Murazzi	267
Po a Valenza	269
Rea a Dogliani	271
Rio Bagni a Bagni di Vinadio	273
Rio del Piz a Pietraporzio	275
Rio Freddo a Rio Freddo	277
Ripa a Bousson	279
Rochemolles a Rochemolles	281
Rutor a Promise	283
Rutor a La Joux	285
San Bernardino a San Bernardino Santino	287

Indice

San Bernardino a Trobaso	289
San Giovanni a Possaccio	291
San Giovanni a Verbania	293
Sangone a Moncalieri	295
Sangone a Trana	297
Savara a Eau Rousse	299
Savara a Fenille	301
Scrvia a Guazzora	303
Scrvia a Isola del Cantone	305
Scrvia a Serravalle Scrvia	307
Sermenza a Rimasco	309
Sesia a Borgosesia Ponte Aranco	311
Sesia a Campertogno	313
Sesia a Palestro	315
Sesia a Vercelli	317
Sessera a Pray	319
Soana a Pont Canavese	321
Strona di Omegna a Gravellona Toce	323
Strona di Vallemosso a Cossato	325
Stura di Demonte a Fossano	327
Stura di Demonte a Gaiola	329
Stura di Demonte a Pianche	331
Stura di Demonte a Roccasparvera	333
Stura di Demonte a Vinadio	335
Stura di Lanzo a Lanzo	337
Stura di Lanzo a Torino	339
Stura di Viù a Germagnano	341
Stura di Viù a Lago della Rossa	343
Stura di Viù a Malciaussia	345
Stura di Viù a Usseglio	347
Tanaro a Alba	349
Tanaro a Alessandria	351
Tanaro a Asti	353
Tanaro a Clavesana	355
Tanaro a Farigliano	357
Tanaro a Garessio	359
Tanaro a Masio	361
Tanaro a Montecastello	363
Tanaro a Nucetto	365
Tanaro a Ormea	367
Tanaro a Piantorre	369
Tanaro a Ponte di Nava	371
Tanaro a San Martino Alfieri	373
Terdoppio a Caltignaga	375
Ticino a Miorina	377
Toce a Agaro	379
Toce a Cadarese	381
Toce a Candoglia	383
Toce a Codelago	385

Toce a Domodossola	387
Toce a Lago Busin	389
Toce a Lago d'Avino	391
Toce a Lago del Sabbione	393
Toce a Lago Vannino	395
Uzzone a Cortemilia	397
Varaita a Castello	399
Varaita a Polonghera	401
Varaita a Rore	403
Varaita a Rossana	405
Varaita a Sampeyre	407
Varaita a Torrette	409
Vermenagna a Limone	411
Vermenagna a Robilante	413
Vobbia a Isola del Cantone	415

1 PREMESSA

Questo Atlante contiene la rappresentazione geografica ed un elevato numero di caratteristiche geomorfologiche e climatiche di quasi 200 bacini idrografici dell'area piemontese e valdostana. Le sezioni di chiusura di questi bacini sono di interesse in quanto hanno ospitato, o tuttora contengono, stazioni idrometrografiche per la misura delle portate. Il catalogo è organizzato con schede-bacino, costituite da una corografia¹ che identifica la posizione e la forma del bacino stesso, e da una tabella che contiene molte caratteristiche fisiche o climatiche dell'area considerata. Di queste ultime sono presentati valori caratteristici della distribuzione areale delle grandezze, tipicamente i valori medi.

I bacini idrografici per i quali sono costruite le schede sono elencati nella tabella 1, dove sono anche indicate le coordinate della sezione di chiusura, l'area e la quota media; il codice numerico permette di collocare la sezione di chiusura di ogni bacino nella mappa della regione idrografica del Nord-Ovest italiano riportata a seguito della tabella 1.

¹ La scala della rappresentazione cartografica risulta corretta se il documento è stampato in formato A4.

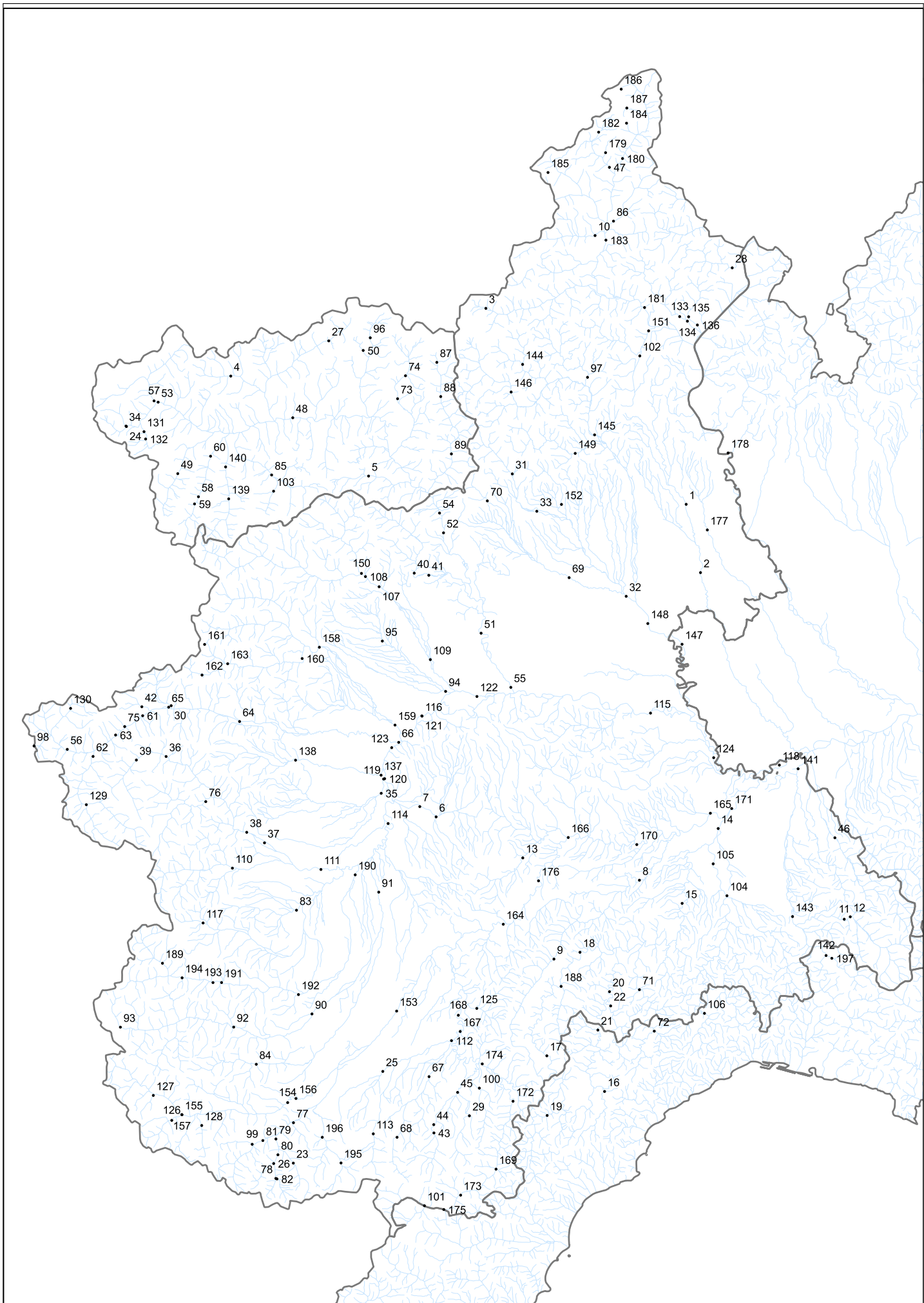
Tabella 1: Principali caratteristiche dei bacini idrografici considerati

	Denominazione Bacino	Coord. est UTM ₃₂ N WGS84	Coord. nord UTM ₃₂ N WGS84	Area km ²	Quota media m s.l.m.
1	Agogna a Momo	464709	5046499	204	423
2	Agogna a Novara	467981	5030915	382	332
3	Anza a Macugnaga	418994	5091217	41	2657
4	Artanavaz a Saint Oyen	360765	5075765	69	2239
5	Ayasse a Champorcher	392220	5052946	43	2368
6	Banna a Poirino	407635	4975171	262	288
7	Banna a Santena	403910	4977515	350	287
8	Belbo a Castelnuovo Belbo	454039	4960718	421	372
9	Belbo a Rocchetta Belbo	434525	4942715	119	622
10	Bogna a Domodossola	443911	5107834	81	1612
11	Borbera a Baracche	500788	4951811	202	862
12	Borbera a Pertuso	502162	4952371	193	875
13	Borbore a San Damiano d'Asti	427419	4965805	85	244
14	Bormida a Alessandria	472015	4972514	2594	440
15	Bormida a Cassine (Presa Canale Carlo Alberto)	463786	4955433	1516	493
16	Bormida di Mallare a Ferrania	446089	4912508	50	604
17	Bormida di Millesimo a Camerana	432905	4920644	263	767
18	Bormida di Millesimo a Cessole	440472	4944272	496	647
19	Bormida di Millesimo a Murialdo	432976	4907028	127	888
20	Bormida di Spigno a Mombaldone	447206	4935280	391	491
21	Bormida di Spigno a Piana Crixia	444555	4926519	252	523
22	Bormida di Spigno a Valla	447475	4932026	68	468
23	Bousset a Tetti Porcera	375046	4896152	37	1991
24	Breuil a Alpette	336956	5064247	28	2459
25	Brobbio a Margarita	395470	4917082	127	729
26	Bucera a Ponte Rovine	370555	4896060	28	2152
27	Buthier a Place Moulin	383131	5083798	74	2800
28	Cannobino a Traffiume	475222	5100470	107	1107
29	Casotto a Monasterolo Casotto	415233	4906954	66	1233
30	Cenischia a Susa	347163	5000542	146	2033
31	Cervo a Passobreve	425027	5053441	75	1505
32	Cervo a Quinto Vercellese	451013	5025503	1002	504
33	Cervo a Vigliano Biellese	430621	5044910	133	1257
34	Chiavanne a Alpette	336855	5064354	22	2485
35	Chisola a La Loggia	395104	4980550	464	322
36	Chisone a Fenestrelle	346006	4988947	154	2154
37	Chisone a Pinerolo	368464	4969243	586	1727
38	Chisone a San Martino	364406	4971647	581	1739
39	Chisone a Soucheres Basses	339221	4988138	93	2221
40	Chiusella a Gurzia	402638	5030792	142	1374
41	Chiusella a Parella	405965	5030307	152	1308
42	Clarea a presa centrale Chiomonte	340471	5000302	28	2298
43	Corsaglia a Frabosa Soprana	407136	4903042	64	1678
44	Corsaglia a Presa Centrale Molliane	407096	4904936	89	1525
45	Corsaglia a Torre Mondovì	412545	4912293	140	1266
46	Curone a Volpedo	498654	4970400	154	636
47	Devero a Baceno	447186	5123403	106	2057
48	Dora Baltea a Aosta	374919	5066248	1846	2265
49	Dora Baltea a Beauregard	348670	5053499	92	2607
50	Dora Baltea a Cignana	390990	5081622	13	2725

	Denominazione Bacino	Coord. est UTM32N WGS84	Coord. nord UTM32N WGS84	Area km ²	Quota media m s.l.m.
51	Dora Baltea a Mazzè	417900	5017085	3854	1883
52	Dora Baltea a Ponte Baio	409329	5039992	3359	2071
53	Dora Baltea a Ponte di Mombar- done	344193	5069807	372	2412
54	Dora Baltea a Tavagnasco	408421	5044504	3321	2087
55	Dora Baltea a Verolengo	424689	5004726	3903	1862
56	Dora di Bardonecchia a Beaulard	323449	4990582	207	2193
57	Dora di Courmayeur a Prè Saint Didier	343253	5070108	222	2472
58	Dora di Rhemes a Notre Dame	353389	5048222	69	2664
59	Dora di Rhemes a Pèlaud	352495	5046587	57	2710
60	Dora di Rhemes a Saint Georges	356155	5057480	119	2485
61	Dora Riparia a Chiomonte	340659	4998256	623	2083
62	Dora Riparia a Oulx	329337	4988965	260	2164
63	Dora Riparia a Salbertrand	334481	4993854	548	2120
64	Dora Riparia a Sant'Antonino di Susa	362771	4996936	1041	1899
65	Dora Riparia a Susa	346587	5000202	694	2042
66	Dora Riparia a Torino Ponte Washington	399094	4992175	1322	1655
67	Ellero a Mondovì	406021	4915888	180	1089
68	Ellero a Rastello	398721	4902052	43	1853
69	Elvo a Carisio	437996	5029759	256	603
70	Elvo a Sordevolo	419328	5047278	34	1533
71	Erro a Cartosio	454040	4935727	212	499
72	Erro a Sassello	457432	4926268	91	595
73	Evancon a Brusson	398845	5070594	134	2491
74	Evancon a Champoluc	400645	5075837	102	2634
75	Galambra a presa centrale Chio- monte	336552	4995777	15	2410
76	Germanasca a Perrero	355062	4978653	189	1902
77	Gesso a Andonno	375079	4905369	336	1832
78	Gesso della Barra a San Giacomo	371050	4892659	20	2103
79	Gesso della Valletta a San Lorenzo	371071	4901660	111	2095
80	Gesso di Entracque a Diga di Piastra	371532	4898058	87	2047
81	Gesso di Entracque a Entracque	368094	4901309	160	1880
82	Gesso di Monte Colombo a San Giacomo	371309	4892550	25	2160
83	Ghiandone a Staffarda	375770	4953868	129	605
84	Grana a Monterosso	366585	4918708	110	1542
85	Grand'Eyvia a Cretaz	370093	5053194	180	2582
86	Isorno a Pontetto	448127	5111126	70	1617
87	Lys a d'Ejola	407796	5078893	30	3136
88	Lys a Gressoney Saint Jean	408689	5071087	91	2645
89	Lys a Guillemore	411124	5058000	201	2260
90	Maira a Busca	379305	4930199	573	1689
91	Maira a Racconigi	394538	4957991	976	1326
92	Maira a San Damiano Macra	361439	4927199	452	1899
93	Maira a Saretto	335576	4927181	56	2411
94	Malone a Brandizzo	409801	5003811	333	439
95	Malone a Front	395360	5015295	131	675
96	Marmore a Perreres	392605	5084497	54	2739
97	Mastallone a Varallo	442190	5075482	147	1335
98	Melezet a Melezet	315867	4991349	43	2389
99	Meris a Sant'Anna Valdieri	365656	4900453	23	2110

	Denominazione Bacino	Coord. est UTM32N WGS84	Coord. nord UTM32N WGS84	Area km ²	Quota media m s.l.m.
100	Mongia a Mombasiglio	417497	4913268	54	818
101	Negrone a Ormea	404967	4886432	68	1798
102	Niguglia a Omegna	454127	5080362	125	655
103	Nontey a Valnontey	370540	5049494	53	2781
104	Orba a Basaluzzo	474020	4957173	731	467
105	Orba a Casal Cermelli	470871	4964452	801	438
106	Orba a Tiglieto	468888	4930332	74	814
107	Orco a Cuorgnè	394628	5027688	629	1909
108	Orco a Pont Canavese	391506	5030005	614	1938
109	Orco a San Benigno Canavese	406313	5011059	838	1567
110	Pellice a Luserna San Giovanni	361138	4963467	216	1634
111	Pellice a Villafranca Piemonte	381346	4963166	953	1542
112	Pesio a Carrù	411141	4924107	360	810
113	Pesio a San Bartolomeo	393299	4902836	57	1571
114	Po a Carignano	396682	4973652	3956	1101
115	Po a Casale Monferrato	456575	4998852	13732	1257
116	Po a Castiglione Torinese	404428	4998161	7685	1083
117	Po a Crissolo	354451	4950954	38	2251
118	Po a Isola Sant'Antonio	485975	4986981	25640	959
119	Po a Meirano Moncalieri	395654	4983807	5310	919
120	Po a Moncalieri	395895	4983881	5048	927
121	Po a San Mauro Torinese	404376	4998217	7682	1083
122	Po a San Sebastiano	416953	5002644	9114	1081
123	Po a Torino Murazzi	397499	4990961	5355	914
124	Po a Valenza	470988	4988677	17291	1117
125	Rea a Dogliani	416921	4931461	69	558
126	Rio Bagni a Bagni di Vinadio	347299	4905908	61	2142
127	Rio del Piz a Pietraporzio	343090	4911605	22	2182
128	Rio Freddo a Rio Freddo	354141	4904744	37	2123
129	Ripa a Bousson	327797	4977949	147	2330
130	Rochemolles a Rochemolles	324207	4999927	24	2641
131	Rutor a Promise	340966	5063082	46	2525
132	Rutor a La Joux	341334	5061405	42	2570
133	San Bernardino a San Bernardi- no Santino	463224	5089336	122	1259
134	San Bernardino a Trobaso	464983	5088294	129	1211
135	San Giovanni a Possaccio	465266	5089297	54	1002
136	San Giovanni a Verbania	467272	5087416	60	933
137	Sangone a Moncalieri	395076	4984680	258	770
138	Sangone a Trana	375550	4988107	145	1125
139	Savara a Eau Rousse	360294	5047742	82	2682
140	Savara a Fenille	359591	5055032	131	2594
141	Scrvia a Guazzora	490258	4986143	949	520
142	Scrvia a Isola del Cantone	496640	4943533	216	668
143	Scrvia a Serravalle Scrvia	488989	4952417	614	682
144	Sermenza a Rimasco	427374	5078429	82	1855
145	Sesia a Borgosesia Ponte Aranco	443803	5062352	703	1504
146	Sesia a Campertogno	424762	5072125	171	2127
147	Sesia a Palestro	463769	5014565	2464	768
148	Sesia a Vercelli	455957	5019293	2214	837
149	Sessera a Pray	439377	5058122	126	1174
150	Soana a Pont Canavese	390596	5030736	215	1898
151	Strona di Omegna a Gravellona Toce	456135	5086079	235	877
152	Strona di Vallemosso a Cossato	436248	5046479	44	777
153	Stura di Demonte a Fossano	398628	4930850	1327	1518
154	Stura di Demonte a Gaiola	373755	4909963	560	1819

	Denominazione Bacino	Coord. est UTM ₃₂ N WGS84	Coord. nord UTM ₃₂ N WGS84	Area km ²	Quota media m s.l.m.
155	Stura di Demonte a Pianche	349597	4907221	180	2077
156	Stura di Demonte a Roccasparvera	375650	4910905	584	1785
157	Stura di Demonte a Vinadio	349628	4907193	250	2082
158	Stura di Lanzo a Lanzo	380982	5013879	578	1780
159	Stura di Lanzo a Torino	398253	4996117	880	1368
160	Stura di Viù a Germagnano	377063	5011307	233	1759
161	Stura di Viù a Lago della Rossa	354795	5014526	4	2962
162	Stura di Viù a Malciaussia	354204	5007535	26	2622
163	Stura di Viù a Usseglio	360063	5010116	76	2393
164	Tanaro a Alba	422966	4950663	3385	1072
165	Tanaro a Alessandria	470235	4976004	5323	767
166	Tanaro a Asti	437791	4970463	4123	922
167	Tanaro a Clavesana	413139	4926203	1485	951
168	Tanaro a Farigliano	412709	4929894	1502	945
169	Tanaro a Garessio	421310	4894772	249	1435
170	Tanaro a Masio	453443	4968849	4535	855
171	Tanaro a Montecastello	475104	4977074	7956	657
172	Tanaro a Nucetto	425191	4910271	375	1232
173	Tanaro a Ormea	413231	4888845	176	1524
174	Tanaro a Piantorre	418169	4918794	500	1067
175	Tanaro a Ponte di Nava	409392	4885563	149	1580
176	Tanaro a San Martino Alfieri	431007	4960571	3542	1036
177	Terdoppio a Caltignaga	469533	5040651	89	254
178	Ticino a Miorina	474278	5058225	6655	1290
179	Toce a Agaro	446314	5126747	11	2110
180	Toce a Cadarese	450177	5125409	187	2150
181	Toce a Candoglia	455210	5091406	1539	1677
182	Toce a Codelago	444732	5131430	26	2322
183	Toce a Domodossola	446394	5106791	919	1826
184	Toce a Lago Busin	451099	5133475	3	2524
185	Toce a Lago d'Avino	433177	5122226	6	2550
186	Toce a Lago del Sabbione	449883	5141238	14	2765
187	Toce a Lago Vannino	451161	5136937	12	2527
188	Uzzone a Cortemilia	436164	4936487	87	559
189	Varaita a Castello	345174	4941766	68	2406
190	Varaita a Polonghera	389172	4961944	577	1389
191	Varaita a Rore	358666	4937361	278	2118
192	Varaita a Rossana	376220	4934616	402	1797
193	Varaita a Sampeyre	356706	4937355	247	2197
194	Varaita a Torrette	349657	4938438	184	2339
195	Vermenagna a Limone	385934	4896191	57	1675
196	Vermenagna a Robilante	381656	4902050	134	1533
197	Vobbia a Isola del Cantone	497957	4942898	51	723



2 CARATTERI MORFO-CLIMATICI DEI BACINI IMBRIFERI

2.1 Premessa metodologica

Per determinare le caratteristiche fisiche dei bacini imbriferi è necessario associare in modo univoco la linea di spartiacque del bacino alla coordinata corrispondente alla sua sezione di chiusura. Se la procedura viene effettuata sulla base di un modello digitale del terreno (DEM), come in questo caso, è essenziale che le modalità di riconoscimento dello spartiacque siano robuste ed esattamente riproducibili, in modo che l'oggetto geografico associato alla sezione di chiusura sia univocamente determinato. Dal momento che l'accuratezza con cui viene ricostruito il perimetro del bacino dipende dalla risoluzione del modello digitale del terreno, le informazioni essenziali per garantire la riproducibilità della procedura sono relative allo specifico DTM ed al pacchetto software di calcolo automatico utilizzati.

Il modello digitale del terreno adoperato è il DEM a 100 m allestito dal Politecnico di Milano a partire dai dati NASA SRTM (Shuttle Radar Topography Mission) elaborato dalla NASA nel 2000 (Farr et al., 2007). Tale matrice di quote ha risoluzione pari a 3 archi di secondo, che corrispondono circa a 90 metri.

Dal modello digitale del terreno viene innanzitutto determinata la mappa delle direzioni di drenaggio, che indica in ogni cella la direzione verso la quale la cella stessa trasferisce il deflusso superficiale. Elaborando la mappa delle direzioni di drenaggio si ricostruisce la matrice dell'area drenata cumulata (TCA, Total Contributing Area): questa matrice riporta per ogni cella il numero di celle che complessivamente contribuiscono al deflusso che si raccoglie nella cella considerata. Da questa matrice viene quindi determinata l'area che contribuisce al deflusso di ogni specifica cella del bacino.

La TCA permette di individuare facilmente il reticolo idrografico in corrispondenza di quelle celle che hanno un'area drenata particolarmente elevata rispetto alle celle contigue (che rappresentano invece i versanti e che hanno un'area drenata inferiore). Identificando la sezione di chiusura di un bacino sul reticolo estratto, e sulla base delle informazioni sulle direzioni di drenaggio, è possibile delimitare automaticamente lo spartiacque. La definizione della soglia di area drenata che implica il formarsi di una rete di drenaggio (detta 'soglia di canalizzazione') è frutto di un bilancio tra il vantaggio di tenere versanti grandi e reticolo poco esteso e lo svantaggio di rischiare una rappresentazione poco accurata. Considerando le raccomandazioni reperibili in letteratura, è stato stabilito di usare una soglia di canalizzazione pari a 100 pixel che, con un dtm avente risoluzione 100 m porta ad avere aree non canalizzate di dimensione pari ad 1 km².

Con riferimento alla porzione di territorio interna allo spartiacque (area del bacino) è quindi possibile definire le proprietà di numerose grandezze che sono rappresentabili in quella porzione di spazio, siano esse attributi topografici o geografici o mappe climatiche. Valori sintetici associati a queste grandezze (ad esempio le medie spaziali) vengono chiamati descrittori di bacino. Questi possono essere facilmente costruiti utilizzando procedure di calcolo automatico basate sul software GRASS (Vigliani, 2003).

2.2 Analisi preliminari al calcolo dei descrittori

Talvolta il reticolo determinato automaticamente dal DEM non corrisponde perfettamente al reticolo reale e quindi le sezioni di chiusura del bacino (di coordinate note sul reticolo reale) non necessariamente vi appartengono. La soluzione è il riposizionamento manuale delle sezioni di misura che non cadono sul reticolo determinato dal DEM. Laddove c'erano dubbi sulla posizione, ci si è basati su informazioni fornite da ARPA Piemonte a corredo dei dati delle

stazioni di misura. In figura 1 sono riportate le posizioni delle sezioni di chiusura effettivamente utilizzate. Rispetto alle coordinate ufficiali gli spostamenti resisi necessari sono al massimo dell'ordine delle centinaia di metri.



Figura 1: Esempio di riposizionamento di una generica stazione sul reticolo idrografico determinato automaticamente sulla base del modello digitale del terreno.

La procedura di estrazione del reticolo, e quindi di delimitazione del bacino, è in genere molto affidabile quando i dislivelli sono piuttosto marcati (come in ambiente montano o collinare) e anche DEM a risoluzione non troppo elevata permettono di individuare correttamente le direzioni di drenaggio reali. In questi casi, l'unica manipolazione manuale che può essere necessaria è il riposizionamento della sezione di chiusura sopra il reticolo di drenaggio derivato dal DEM. Tuttavia, in aree pianeggianti la procedura non è sempre in grado di distinguere in modo esatto la direzione di drenaggio reale ed occorre, pertanto, intervenire manualmente forzando il reticolo DEM in modo da correggere la TCA. Tale operazione è fortemente dipendente dall'area in cui si opera e dalla risoluzione del DEM, ed in genere deve essere valutata caso per caso.

Le operazioni di forzatura del DEM si rendono necessarie quando il reticolo idrografico derivante dalla TCA segue andamenti inizialmente poco diversi dal reticolo reale ma che poi portano a coinvolgere o escludere aree contribuenti non corrette. A titolo di esempio, si osservi la figura 2 dove viene riportato un reticolo idrografico ricostruito in zona di pianura. Per facilitare la comprensione del problema il reticolo è stato sovrapposto ad una cartografia esistente, che permette di identificare il reale andamento del corso d'acqua. Si può vedere come occorra, nel punto A, unire il reticolo dal punto 1 al punto 2 e nel punto B unire i tratti 3 a 4, seguendo le frecce rosse. Questa forzatura può essere fatta, per esempio, inserendo un rilievo fittizio al DEM lungo le linee verdi, in modo tale che le direzioni di drenaggio identificate dal software vengano convogliate lungo le linee rosse.

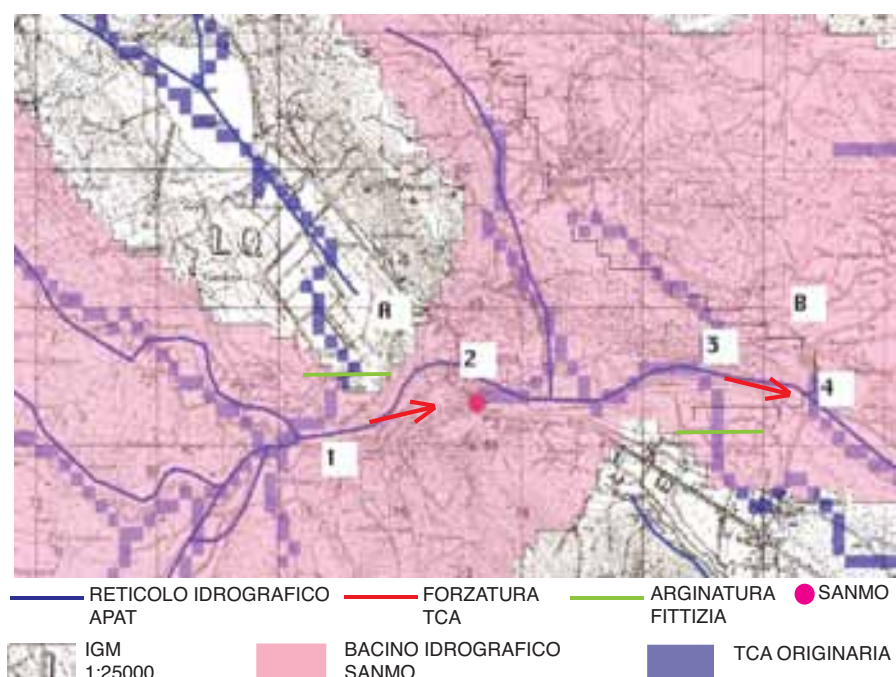


Figura 2: Esempio di forzatura della TCA volta a “ricongiungere” due tratti di reticolo separati.

2.3 Descrittori di bacino

In questa sezione vengono presentati tutti i descrittori di bacino utilizzati e riportati nelle schede monografiche che compongono l’Atlante. Si tratta di: parametri geografici, geomorfologici, climatici, indici di uso del suolo, etc. Nel seguito si espone una descrizione del significato del parametro che, più avanti, verrà richiamato con la simbologia utilizzata nelle elaborazioni svolte per l’analisi regionale delle Curve di Durata delle Portate sul territorio del Piemonte e Valle d’Aosta. Per ogni descrittore, in parentesi è riportato il nome della variabile utilizzata nelle procedure di stima prima richiamate.

Parametri morfologici

I parametri calcolati sono relativi a caratteristiche raggruppate per categorie, come segue:

Altimetria e geometria

- **Coordinate della Sezione di Chiusura**, (*easting, northing*) [m], sono definite nel sistema di riferimento UTM-WGS84.
- **Area del Bacino** (*area_bacinokm*) [km^2], è calcolata moltiplicando l’area di ogni cella per il numero di celle ricadenti nel bacino.
- **Quota Media** (*quota_media*) [ms.l.m.], è calcolata come media aritmetica delle quote di tutti i pixel appartenenti al bacino.
- **Curva Ipsografica** (*a_ipercento*) [ms.l.m.], fornisce la ripartizione delle superfici comprese in fasce altimetriche di ampiezza costante. La disponibilità della quota di ogni pixel

consente di effettuare un calcolo senza interpolazione, in quanto è possibile risolvere la curva in ogni pixel usando il concetto della cumulata delle aree superiori ad ogni data quota. La curva ha quindi come ordinata un valore di quota e come ascissa la percentuale di superficie del bacino posta al di sopra della quota considerata. Le ordinate sono date dal vettore, ordinato in senso decrescente, delle quote dei pixel. Le ascisse sono date dalla posizione del pixel nella sequenza ordinata, proporzionale all'area sovrastante la data quota, diviso il numero totale di celle. La curva è rappresentata tramite le quote corrispondenti a percentuali di area sovrastata pari a (2.5%, 5%, 10%, 25%, 50%, 75%, 90%, 95%, 97.5%).

- **Interquantile della Curva Ipsografica** (*delta_zeta*) [*ms.l.m.*], differenza tra le quote corrispondenti al 25 e 75% di area sovrastata.
- **Aspect del Bacino** (*aspect_medio*) [$^{\circ}$], per una cella l'aspect rappresenta l'angolo formato dalla normale al piano della cella stessa ed il nord, riportato su un piano orizzontale ed espresso in gradi. Il valore calcolato per il bacino è la media dei valori di aspect associati ad ogni pixel. Per questo parametro si è adottata la convenzione che il nord sia uguale a 0° e l'orientamento sia in senso orario.
- **Lunghezza del Vettore Orientamento** (*lunghezza_vett_orient_km*) [*km*], rappresenta la lunghezza del segmento che unisce il baricentro del bacino alla sezione di chiusura.
- **Orientamento** (*orientamento*) [$^{\circ}$], direzione rispetto al Nord del vettore orientamento.
- **Quota Massima** (*quota_massima*) [*ms.l.m.*], quota massima del bacino.
- **Quota Minima** (*quota_minima*) [*ms.l.m.*], quota minima del bacino.
- **Pendenza Media del Bacino 1** (*slope_medio1*) [%], media dei valori di pendenza associati ad ogni pixel.
- **Pendenza Media del Bacino 2** (*slope_medio2*) [%], angolo alla base del triangolo rettangolo che ha per base la radice quadrata dell'area del bacino e per altezza il doppio dell'altitudine mediana (relativa alla sezione di chiusura) del bacino. In sostanza tale pendenza è calcolata rispetto ad un bacino di forma quadrata equivalente a quello reale e non tiene conto della sua effettiva forma, che può essere più o meno allungata.
- **Coordinate del Baricentro** (*x_baricentro*, *y_baricentro*) [*m*], coordinate del pixel più vicino al baricentro del bacino.
- **Rettangolo Contenente il Bacino** (*x_minimo*, *y_minimo* e *x_massimo*, *y_massimo*) [*m*], latitudine e longitudine minima e massima, cioè vertici del rettangolo che descrive l'area del bacino.

Fattori di forma e funzione di ampiezza

- **Coefficiente di Compattezza** (*c_comp*) [-], (Gravelius) è il rapporto tra il perimetro effettivo del bacino ed il perimetro del cerchio avente la stessa area del bacino.
- **Fattore di Forma** (*F_f*) [-], è il rapporto tra l'area del bacino e il quadrato della lunghezza dell'asta principale.
- **Rapporto di Allungamento** (*R_al*) [-], è il rapporto tra il diametro di un cerchio avente area uguale a quella del bacino e la lunghezza dell'asta principale.

- **Caratteristiche della funzione di ampiezza** (*media_fa*, *varianza_fa*, *skewness_fa*, *kurtosis_fa*, *fa_percento*), La funzione di ampiezza è definita contando il numero di pixel aventi uguale distanza metrica dalla sezione di chiusura, distanza misurata seguendo le direzioni di drenaggio. Di questa funzione si sono calcolati i primi 4 momenti statistici (media, varianza, skewness, kurtosi) e il vettore percentili, ovvero le distanze dalla sezione di chiusura entro le quali sono contenute percentuali di pixel pari a: (5%, 15%, 30%, 40%, 50%, 60%, 70%, 85%, 95%).

Parametri di Horton

- **Rapporto delle Aree** (R_a) [-], è il rapporto tra le aree medie drenate dai segmenti di ordine $u + 1$ e i segmenti di ordine u , seguendo la numerazione di Horton.
- **Rapporto di Biforcazione** (R_b) [-], è il rapporto tra le aste di ordine u e il numero di quelle di ordine $u + 1$, avendo numerato le aste seguendo il criterio di Horton.
- **Rapporto delle Lunghezze** (R_l) [-], è il rapporto tra le lunghezze medie di due ordini adiacenti u e $u + 1$, avendo numerato le aste seguendo il criterio di Horton.
- **Rapporto delle Pendenze** (R_s) [-], è il rapporto tra le pendenze medie di due ordini adiacenti u e $u + 1$, con le aste numerate secondo il criterio di Horton.
- **Numeri di Horton Strahler**, matrice di 10 righe, ognuna corrispondente ad un ordine di Horton, avente per colonne: il numero di aste (*numero_aste*), la lunghezza media delle aste di un dato ordine (*lung_media_aste*), l'area contribuyente media per ogni ordine (*area_contr_media_aste*) e la pendenza media delle aste di ciascun ordine (*pendenza_media_aste*) (ogni pendenza è calcolata come rapporto tra il dislivello fra gli estremi e la lunghezza del segmento), con $i = 1, 10$.

Reticolo Idrografico

- **Densità di Drenaggio** (*densita_drenaggio*) [km^{-1}], è il rapporto tra la lunghezza complessiva del reticolo e l'area del bacino. Presenta generalmente valori molto alti nelle aree interessate dalla presenza di terreni impermeabili e diminuisce all'aumentare della permeabilità o del grado di copertura vegetale del bacino idrografico.
- **Diametro Topologico** (*diam_topol*) [-], numero di segmenti (links) che formano l'asta principale; indica anche il numero delle confluenze rilevate sulla stessa asta.
- **Lunghezza LDP** (*longest_drainage_path_length_km*) [km], è la distanza che intercorre tra la sezione di chiusura ed il punto più lontano da essa, posto sul bordo del bacino, misurata seguendo le direzioni di drenaggio. Essa coincide per la maggior parte del suo percorso con l'asta principale, che ha sorgente a valle del contorno, mentre il percorso LDP comincia su un punto appartenente al contorno.
- **Lunghezza dell'Asta Principale** (*lunghezza_asta_principale_km*) [km], intesa come la più lunga asta del reticolo, ovvero la successione più lunga di segmenti che congiungono una sorgente alla sezione di chiusura del bacino. Con sorgenti si indicano quei punti della rete idrografica posti alle estremità di monte da cui il reticolo stesso ha origine.
- **Lunghezza Complessiva del Reticolo (lunghezza_complessiva)** [km], è la lunghezza totale del reticolo idrografico.

- **Lunghezza Media dei Versanti** (*lunghezza_media_vers*) [km], media delle distanze, misurate seguendo le direzioni di drenaggio, tra tutti i pixel non appartenenti al reticolo ed il primo pixel del reticolo in cui drenano.
- **Pendenza Media dell'asta principale LDP** (*pendenza_media_LDP*) [%], calcolata come rapporto tra la differenza tra le quote massime e minime dei pixel del DEM e la LLDAP.

Parametri climatici

Sono stati esaminati diversi parametri climatici connessi alle precipitazioni intense e ai regimi pluviometrici relativi al territorio considerato. Sono disponibili informazioni relative a:

- **IDF_a** (*IDF_a*) [mm/h], coefficiente pluviometrico orario della curva di possibilità pluviometrica nella forma $h = ad^n$.
- **IDF_n** (*IDF_n*) [mm/h], esponente di invarianza di scala della curva di possibilità pluviometrica nella forma $h = ad^n$.
- **MAP [mm]** (*MAP*) [mm], afflusso totale medio annuo.
- **CV_{1h}, CV_{3h}, ..., LCV_{3h}, ..., LCA_{6h}, ..., Lkur_{12h}, ...** [-] matrice delle statistiche relative alla precipitazione massima annuale per durata pari a 1, 3, 6, 12 e 24 ore

Per ognuna di queste grandezze il valore utilizzato corrisponde al valore medio a scala di bacino. E' anche possibile calcolare altre statistiche spaziali delle grandezze sopra descritte, come la deviazione standard (suffisso *_std*) e il coefficiente di variazione (suffisso *_cv*). Pertanto, può essere utilizzata come descrittore la deviazione standard del coefficiente di variazione CV_{3h} , grandezza che assumerebbe il nome-variabile di CV_{3h_std} . E' stato anche calcolato un **coefficiente di intensità** (*c_int*) di precipitazione definito come il rapporto tra il coefficiente pluviometrico orario e la precipitazione media annua:

$$c_{int} = \frac{IDF_a}{MAP}$$

La stima puntuale di questi parametri è stata sviluppata in (Bartolini et al., 2011) attraverso una procedura per la caratterizzazione statistica della distribuzione spaziale delle precipitazioni sul territorio piemontese. In particolare sono stati analizzati gli eventi estremi di precipitazione (massimi annuali di pioggia per durate pari a 1, 3, 6, 12 e 24 ore), è stata ricostruita la curva di probabilità pluviometrica e sono stati calcolati gli indici necessari alla caratterizzazione probabilistica delle precipitazioni sull'intero territorio piemontese su una griglia a maglia regolare di 250 metri di lato. I diversi descrittori climatici vengono associati ad ogni bacino applicando una media del parametro sul numero di celle che costituisce il bacino. Ad esempio, per il coefficiente pluviometrico orario si ottiene

$$a_{BACINO} = \frac{1}{N} \sum_{i=1}^N a_i$$

con N numero di pixel del bacino.

Per descrivere i regimi idrologici è stata utilizzata una rappresentazione mediante serie di Fourier, che consente di descrivere la forma del regime con un numero di parametri inferiore ai 12 valori medi mensili da cui questo viene costituito. Per il teorema di Fourier, infatti, un'onda

armonica di periodo τ e pulsazione $\omega = 2\pi/\tau$ e di forma qualunque, sotto opportune ipotesi può essere espressa come

$$f(t) = A_0 + \sum_{i=1}^N A_i \cos(i\omega t + \phi_i),$$

dove t indica il tempo, A_0 è la media di $f(t)$ sul periodo t , N è il numero di armoniche, A_i la loro ampiezza e ϕ_i la fase. Nel caso di due armoniche la serie può essere scritta come:

$$f(t) = A_0 + A_1 \cos\left(\frac{2\pi}{\tau}t + \phi_1\right) + A_2 \cos\left(\frac{4\pi}{\tau}t + \phi_2\right),$$

da cui si ottiene:

$$f(t) = A_0 + A_1 \cos\left(\frac{2\pi}{\tau}t\right) \cdot \cos(\phi_1) - A_1 \sin\left(\frac{2\pi}{\tau}t\right) \cdot \sin(\phi_1) \\ + A_2 \cos\left(\frac{4\pi}{\tau}t\right) \cdot \cos(\phi_2) - A_2 \sin\left(\frac{4\pi}{\tau}t\right) \cdot \sin(\phi_2).$$

Separando le grandezze che non dipendono da t :

$$B_1 = A_1 \cos(\phi_1) \quad B_2 = A_2 \cos(\phi_2) \\ C_1 = -A_1 \sin(\phi_1) \quad C_2 = -A_2 \sin(\phi_2)$$

da quelle che ne dipendono:

$$X_1(t) = \cos\left(\frac{2\pi}{\tau}t\right) \quad X_2(t) = \cos\left(\frac{4\pi}{\tau}t\right) \\ Y_1(t) = \sin\left(\frac{2\pi}{\tau}t\right) \quad Y_2(t) = \sin\left(\frac{4\pi}{\tau}t\right)$$

si può riscrivere la $F(t)$ come:

$$f(t) = A_0 + B_1 \cdot X_1(t) + C_1 \cdot Y_1(t) + B_2 \cdot X_2(t) + C_2 \cdot Y_2(t).$$

Questa notazione è molto utile perchè permette di adattare l'armonica ad una funzione conosciuta $f(t)$ stimando i coefficienti A_0 (media), B_1 , B_2 , C_1 e C_2 con il metodo dei minimi quadrati. L'ampiezza e la fase dell'armonica si ottengono secondo le relazioni

$$A_1 = \sqrt{B_1^2 + C_1^2} \quad \phi_1 = \text{sign}\left(-\frac{C_1}{A_1}\right) \cdot \arccos\left(\frac{B_1}{A_1}\right)$$

A_2 e ϕ_2 si ottengono in modo analogo come

$$A_2 = \sqrt{B_2^2 + C_2^2} \quad \phi_2 = \text{sign}\left(-\frac{C_2}{A_2}\right) \cdot \arccos\left(\frac{B_2}{A_2}\right)$$

Tale notazione può essere ulteriormente semplificata considerando, come nel caso in esame, nulla la media A_0 e risolvendo per un periodo $\tau = 2\pi$.

Nel caso in esame sono state calcolate, con riferimento al regime pluviometrico, le mappe dei coefficienti B_1 , B_2 , C_1 e C_2 su Piemonte, Liguria e Valle d'Aosta. Con procedura automatica

sono stati ricavati:

- $\overline{B}_1, \overline{B}_2, \overline{C}_1, \overline{C}_2$ (*fourier_B1, fourier_B2, fourier_C1, fourier_C2*) [-], valori medi dei coefficienti della rappresentazione in serie di Fourier dei regimi pluviometrici.
- $\overline{A}_1, \overline{A}_2, \overline{PHI}_1, \overline{PHI}_2$ (*fourier_A1, fourier_A2, fourier_PHI1, fourier_PHI2*) [-], valori medi di ampiezza e fase delle due armoniche ricavati tramite le relazioni (2.3).
- **Deviazione Standard del Regime Pluviometrico** (*st_rp*) [mm], deviazione standard del regime pluviometrico medio sul bacino, considerando i 12 valori medi mensili.
- **Coefficiente di Variazione del Regime Pluviometrico** (*cv_rp*) [-], coefficiente di variazione del regime pluviometrico medio sul bacino, considerando i 12 valori medi mensili.
- **Intervallo Temporale Compreso tra Massimo e Minimo delle Piogge Medie Mensili** (*delta_mese*) [mesi], numero di mesi che intercorrono tra l'occorrenza del massimo annuale di precipitazione e il minimo successivo.

Indici di permeabilità e di uso del suolo

Sono stati utilizzati cinque indici di uso del suolo, definiti raggruppando classi simili tra quelle definite nel progetto CORINE Land Cover, terzo livello, (COOrdination of INformation on Environment, ([European Environment Agency](#))) e un indice l'NDVI, Normalized Difference Vegetation Index, definito da misurazioni della Nasa ([Nasa](#)), rese disponibili tramite il database gestito dallo USGS, United States Geological Survey. In particolare le classi di copertura del suolo sono:

- **Corine Land Cover₁** (*clc₁*) [%], percentuale, sull'area del bacino, di zone urbanizzate con tessuto continuo e di aree urbanizzate discontinue (classi CORINE 111, 112);
- **Corine Land Cover₂** (*clc₂*) [%], percentuale, sull'area del bacino, di boschi (311, 312, 313), vegetazione arborea, vegetazione arbustiva, cespugliati (324, 323, 321, 322);
- **Corine Land Cover₃** (*clc₃*) [%], percentuale, sull'area del bacino, di zone con vegetazione erbacea, prato-pascolo, colture speciali, oliveti, vigneti, seminativi (231, 222, 223, 221, 211, 241, 243, 242, 142);
- **Corine Land Cover₄** (*clc₄*) [%], percentuale, sull'area del bacino, di zone non vegetate (331, 333, 332, 334), zone estrattive, discariche e cantieri (131, 133), zone industriali, commerciali e reti di comunicazione (121, 122, 123, 124);
- **Corine Land Cover₅** (*clc₅*) [%], percentuale, sull'area del bacino, di zone umide (411, 512, 521).

I codici in parentesi si riferiscono alla legenda del progetto CORINE Land Cover, riportata in tabella (2).

- **NDVI (NDVI)** E' un indice di vegetazione misurato da satellite, compreso tra 0 ed 1. Il valore utilizzato corrisponde alla sua media spaziale a scala di bacino. Sono state anche calcolate la deviazione standard (*NDVI_std*) e il coefficiente di variazione (*NDVI_cv*).

Gli indici di permeabilità del suolo disponibili per questo lavoro sono:

- **Curve Number** (CN_1, CN_2, CN_3) [-], è un parametro empirico utilizzato in idrologia per definire la parte di pioggia che si infiltra nel terreno (Group, 2004). Sono a disposizione tre tipi di curve number che variano a seconda del contenuto di umidità nel suolo. Il contenuto di umidità nel suolo varia tra due estremi, saturazione nulla del terreno e saturazione totale cioè terreno secco e terreno umido. Il curve number relativo al terreno secco è il CN_1 , quello relativo al terreno umido è il CN_3 . Viene poi utilizzato il CN_2 per descrivere il curve number di un terreno con contenuto medio di umidità del suolo. I valori utilizzati in questo studio sono stati ricavati da una cartografia a scala nazionale prodotta da (Carriero, 2004)
- **Coefficiente di Permeabilità** C_f (c_{-f}) [-], è un indice di permeabilità utilizzato nel progetto Vapi (Villani, 2003). Tale coefficiente è stato ottenuto mediante classificazione ed assegnazione di valore di permeabilità in condizioni di piena mediante bilanciamento della formula razionale.

Anche per gli indici CN e C_f il valore utilizzato corrisponde al valore medio a scala di bacino. Sono state anche calcolate la deviazione standard (suffisso $_{std}$) e il coefficiente di variazione (suffisso $_{cv}$), pari al rapporto tra deviazione standard e media (sempre a scala di bacino).

Tabella 2: *Legenda CORINE Land Cover e definizione delle percentuali stimate di tipologia di copertura alla scala di ogni codice*

Codice	Descrizione	Alberi [%]	Prati [%]	Suolo nudo [%]	Impermeabile [%]
111	continuous urban fabric	0	5	5	90
112	discontinuous urban fabric	5	10	5	80
121	industrial or commercial units	0	10	5	85
122	road and rail networks and associated land	5	20	5	70
123	port areas	0	0	10	90
124	Airports	0	20	5	75
131	mineral extraction sites	0	5	10	85
132	dump sites	0	0	30	70
133	construction sites	0	5	30	65
141	green urban areas	20	40	10	30
142	sport and leisure facilities	10	30	5	55
211	non-irrigated arable land	0	80	20	0
212	permanently irrigated land	0	80	20	0
213	rice fields	0	5	20	75
221	Vineyards	20	5	75	0
222	fruit trees and berry plantations	50	20	30	0
223	olive groves	60	20	20	0
231	Pastures	5	90	5	0
241	annual crops associated with permanent crops	5	80	15	0
242	complex cultivation patterns	15	65	20	0
243	mix agriculture and natural vegetation	20	60	20	0
244	agro-forestry areas	70	25	5	0
311	broad leaved forest	85	10	5	0
312	coniferous forest	85	10	5	0
313	mixed forest	85	10	5	0
321	natural grassland	15	80	5	0
322	moors and heathland	0	90	5	5
323	sclerophyllous vegetation	0	85	10	5
324	transitional woodland-scrub	40	50	5	5
331	beaches, dunes, sands	5	20	75	0
332	bare rocks	5	5	10	80
333	sparsely vegetated areas	10	10	70	10
334	burnt areas	5	5	60	30
335	glaciers and perpetual snow	0	0	20	80
411	inland marshes	5	50	5	40
412	peat bogs	5	50	5	40
421	salt marshes	0	0	10	90
422	Salines	0	0	10	90
423	intertidal flats	0	0	30	70
511	water courses	5	15	20	50
512	water bodies	0	0	20	80
521	coastal lagoons	5	10	10	75
522	Estuaries	5	5	10	80
523	sea and ocean	0	0	0	100

3 DEFINIZIONE SINTETICA DELLE CARATTERISTICHE DEI BACINI

I descrittori calcolati per i bacini idrografici sono complessivamente elencati in tabella 3. In particolare, vengono conservati i raggruppamenti in grandezze geografiche, morfologiche, climatiche, etc. I descrittori riportati nelle schede bacino che seguono sono contrassegnati con *.

Tabella 3: Tabella riassuntiva delle caratteristiche dei bacini

Parametri Morfologici		
<i>altimetria/geometria</i>		
easting*	[m]	coord. est (UTM _{32N} WGS84)
northing*	[m]	coord. nord (UTM _{32N} WGS84)
area_bacino ^{km} *	[km ²]	area del bacino
quota_media*	[m s.l.m.]	quota media
quota_massima*	[m s.l.m.]	quota massima
quota_minima*	[m s.l.m.]	quota minima
a _(i) percento*	[m s.l.m.]	con i = 2.5, 5, 10, 25, 50, 75, 90, 95, 97.5 % curva ipsografica
delta_zeta*	[m s.l.m.]	distanza interquartile tra le quote al 25% e 75% di area sovrastata
aspect_medio*	[°]	angolo di esposizione medio
lunghezza_vett_orient_km*	[km]	lunghezza vettore orientamento
orientamento	[°]	direzione rispetto al Nord
slope_medio1*	[%]	pendenza bacino
slope_medio2*	[%]	pendenza bacino quadrato equivalente
x_baricentro*	[m]	est baricentro (UTM _{32N} WGS84)
y_baricentro*	[m]	nord baricentro (UTM _{32N} WGS84)
x_minimo	[m]	latitudine minima (UTM _{32N} WGS84)
x_massimo	[m]	latitudine massima (UTM _{32N} WGS84)
y_minimo	[m]	longitudine minima (UTM _{32N} WGS84)
y_massimo	[m]	longitudine massima (UTM _{32N} WGS84)
<i>fattori di forma</i>		
F_f*	[-]	fattore di forma
R_al*	[-]	rapporto di allungamento
c_comp	[-]	coefficiente di compattezza
<i>funzione di ampiezza</i>		
media_fa*	[m]	media funzione di ampiezza
varianza_fa*	[m ²]	varianza funzione di ampiezza
skewness_fa*	[-]	varianza funzione di ampiezza
kurtosis_fa*	[-]	varianza funzione di ampiezza
fa _(i) percento	[m]	con i = 2.5, 5, 10, 25, 50, 75, 90, 95, 97.5 % funzione di ampiezza
<i>parametri di Horton</i>		
R_a*	[-]	rapporto aree medie di due ordini adiacenti
R_b*	[-]	rapporto di biforcazione
R_l*	[-]	rapporto lunghezze medie di due ordini adiacenti
R_s*	[-]	rapporto pendenze medie di due ordini adiacenti
area_contr_media_aste _(i)	[km ²]	con i = 1, ..., 9 area contribuyente media aste ordine i
lung_h_media_aste _(i)	[m]	con i = 1, ..., 9 lunghezza media aste ordine i
numero_aste _(i)	[-]	con i = 1, ..., 9 numero aste ordine i
pendenza_media_aste _(i)	[-]	con i = 1, ..., 9 pendenza media aste ordine i
<i>reticolo idrografico</i>		
densita_drenaggio*	[km ⁻¹]	densità di drenaggio
diam_topol*	[-]	diametro topologico
longest_drainage_path_length_km*	[km]	lunghezza LDP
lunghezza_asta_principale_km*	[km]	lunghezza asta principale
lunghezza_complessiva*	[km]	lunghezza totale reticolo idrografico
lung_h_media_vers*	[km]	lunghezza media versanti

pendenza_media_LDP*	[%]	pendenza media LDP
Parametri Climatici		
<i>pioggia media annua</i>		
MAP*	[mm]	media afflusso totale annuo
MAP_std*	[mm]	dev. standard afflusso totale annuo
MAP_cv	[-]	coeff. variazione afflusso totale annuo
<i>curva possibilità pluviometrica</i>		
IDFa*	[mm/h]	media coeff. pluviale orario CPP
IDFa_std*	[mm/h]	dev. standard coeff. pluviale orario CPP
IDFa_cv	[-]	coeff. variazione coeff. pluviale orario CPP
IDFn*	[mm/h]	media esponente CPP
IDFn_std*	[mm/h]	dev. standard esponente CPP
IDFn_cv	[-]	coeff. variazione esponente CPP
c_int*	[-]	coeff. intensità di precipitazione
<i>massimi annuali precipitazione</i>		
CV _(i)	[-]	con i = 1h, 3h, 6h, 12h, 24h media CV piogge durata i
CV _{(i)_std}	[-]	con i = 1h, 3h, 6h, 12h, 24h dev. standard CV piogge durata i
CV _{(i)_cv}	[-]	con i = 1h, 3h, 6h, 12h, 24h coeff. variazione CV piogge durata i
LCV _(i) *	[-]	con i = 1h, 3h, 6h, 12h, 24h media LCV piogge durata i
LCV _{(i)_std} *	[-]	con i = 1h, 3h, 6h, 12h, 24h dev. standard LCV piogge durata i
LCV _{(i)_cv}	[-]	con i = 1h, 3h, 6h, 12h, 24h coeff. variazione LCV piogge durata i
LCA _(i) *	[-]	con i = 1h, 3h, 6h, 12h, 24h media LCA piogge durata i
LCA _{(i)_std} *	[-]	con i = 1h, 3h, 6h, 12h, 24h dev. standard LCA piogge durata i
LCA _{(i)_cv}	[-]	con i = 1h, 3h, 6h, 12h, 24h coeff. variazione LCA piogge durata i
Lkur _(i)	[-]	con i = 1h, 3h, 6h, 12h, 24h media Lkur piogge durata i
Lkur _{(i)_std}	[-]	con i = 1h, 3h, 6h, 12h, 24h dev. standard Lkur piogge durata i
Lkur _{(i)_cv}	[-]	con i = 1h, 3h, 6h, 12h, 24h coeff. variazione Lkur piogge durata i
<i>regime pluviometrico</i>		
fourier_B1*	[-]	media coeff. B1 regime pluviometrico
fourier_C1*	[-]	media coeff. C1 regime pluviometrico
fourier_B2*	[-]	media coeff. B2 regime pluviometrico
fourier_C2*	[-]	media coeff. C2 regime pluviometrico
fourier_A1	[-]	media coeff. A1 regime pluviometrico
fourier_PHI1	[-]	media coeff. PHI1 regime pluviometrico
fourier_A2	[-]	media coeff. A2 regime pluviometrico
fourier_PHI2	[-]	media coeff. PHI2 regime pluviometrico
sd_rp*	[mm]	dev. standard del regime pluviometrico
cv_rp*	[-]	coeff. variazione del regime pluviometrico
delta_mese	[mesi]	periodo intercorso tra massimo e minimo piogge medie mensili
Uso suolo		
<i>corine land cover</i>		
clc _(i) *	[%]	con i= 1, ..., 5 corine land cover classe i
<i>copertura vegetale</i>		
NDVI*	[-]	media NDVI
NDVI_std*	[-]	dev. standard NDVI
NDVI_cv	[-]	coeff. variabilità NDVI
<i>curve number</i>		
CN _(i) *	[-]	con i= 1, 2, 3 media curve number i

CN _{(i)_std} *	[-]	con i= 1, 2, 3 dev. standard curve number i
CN _{(i)_cv}	[-]	con i= 1, 2, 3 coeff. variazione curve number i
<i>indice di permeabilità VAPI</i>		
cf*	[-]	media indice di permeabilità VAPI
cf_std*	[-]	dev. standard indice di permeabilità VAPI
cf_cv	[-]	coeff. variabilità indice di permeabilità VAPI

4 BIBLIOGRAFIA

European Environment Agency. CORINE land cover. URL <http://www.eea.europa.eu/publications/COR0-landcover/page001.html>.

E. Bartolini, P. Allamano, F. Laio, e P. Claps. Analisi spaziale delle precipitazioni medie ed intense su Piemonte e Valle d'Aosta. Working Paper 02, Politecnico di Torino, September 2011.

D. Carriero. *Analisi della distribuzione delle caratteristiche idrologiche dei suoli per applicazioni di modelli di simulazione afflussi-deflussi*. PhD thesis, Università degli studi della Basilicata, 2004.

Tom G. Farr, Paul A. Rosen, Edward Caro, Robert Crippen, Riley Duren, Scott Hensley, Michael Kobrick, Mimi Paller, Ernesto Rodriguez, Ladislav Roth, David Seal, Scott Shaffer, Joanne Shimada, Jeffrey Umland, Marian Werner, Michael Oskin, Douglas Burbank, e Douglas Alsdorf. The shuttle radar topography mission. *Rev. Geophys.*, 45(2), 05 2007. doi10.1029/2005RG000183. URL <http://dx.doi.org/10.1029/2005RG000183>.

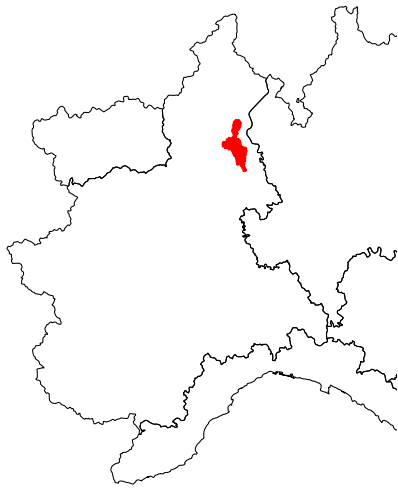
Curve Number Work Group. *National Engineering Handbook*, volume Section 4. U.S. Department of Agriculture - Soil Conservation Service, SCS, Washington DC, 1972 edition, 2004.

Nasa. Normalized difference vegetation index (ndvi). URL <http://earthobservatory.nasa.gov/Features/MeasuringVegetation>.

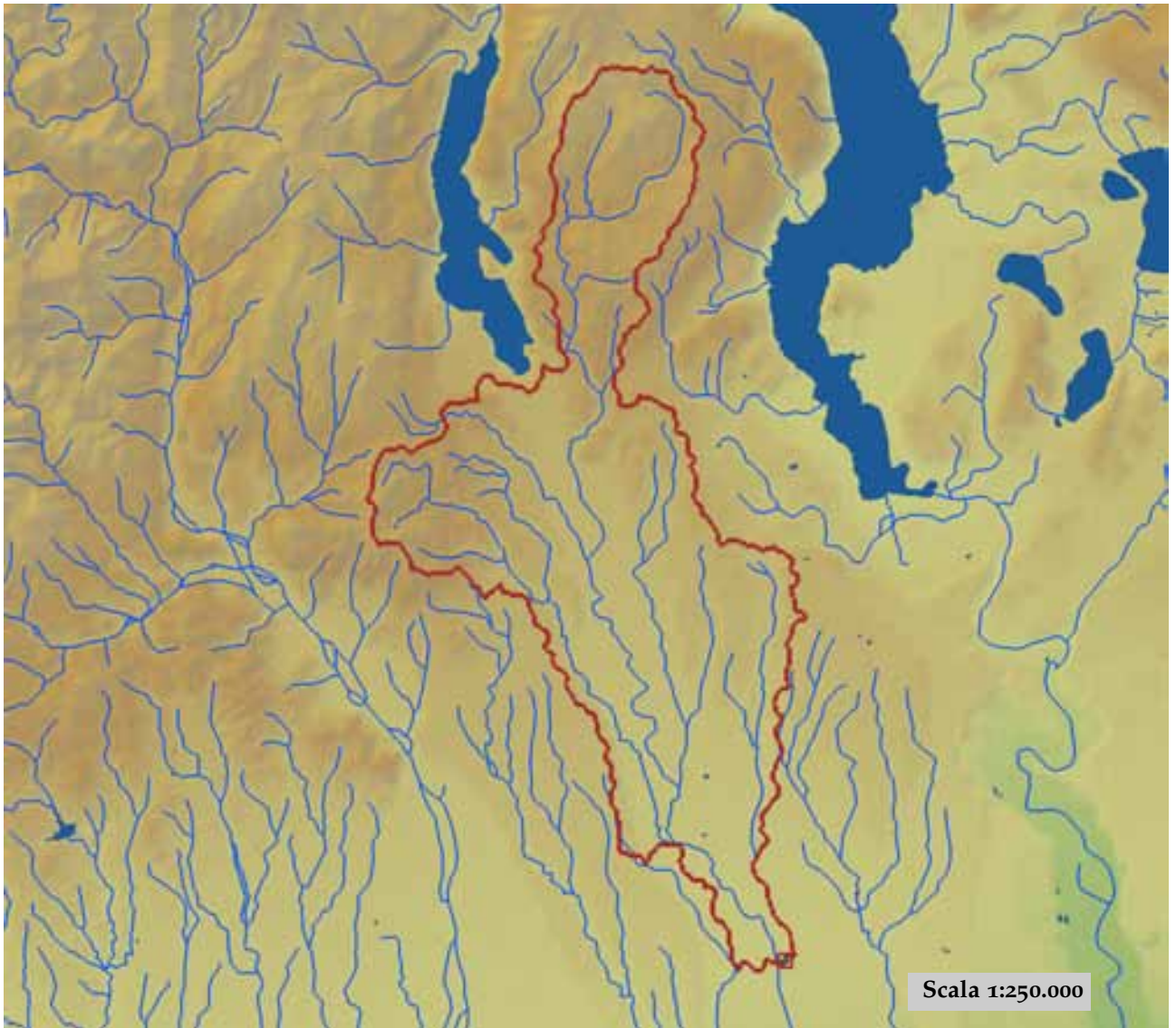
A. Viglione. Determinazione automatica di parametri morfometrici dei bacini idrografici. Technical report, Dipartimento di Idraulica, Trasporti e Infrastrutture Civili, Politecnico di Torino, 2003.

P Villani. Rapporto sulla valutazione delle piene in Piemonte. In *Relazione delle attività del CUGRI fino al 2001*, pages 89–118. Del Paguro, Fisciano, 2003.

Schede Bacino

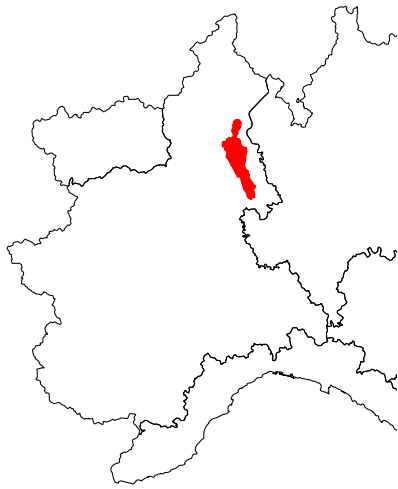


Agogna a Momo

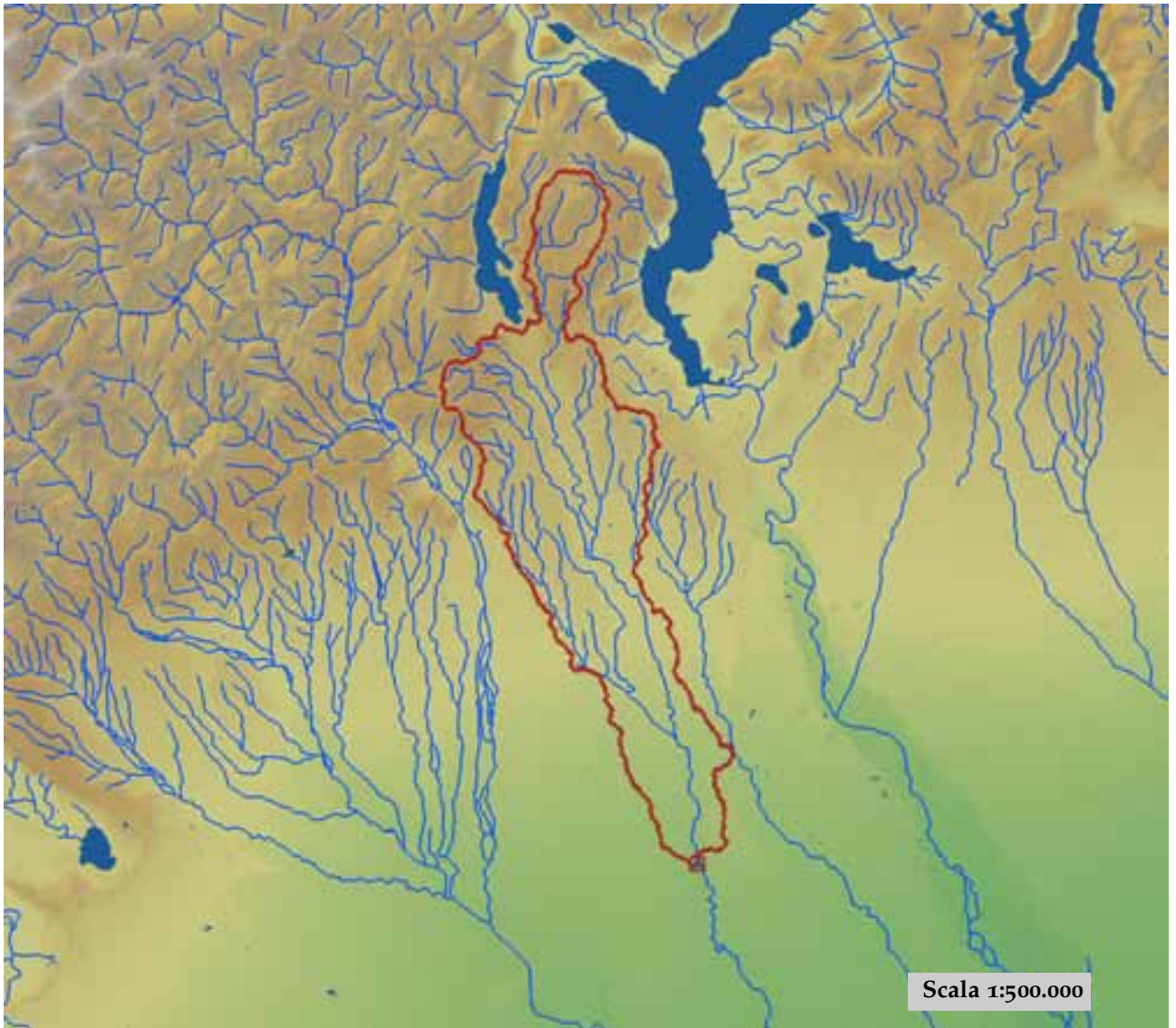


est (UTM ₃₂ N WGS84)	464709	nord (UTM ₃₂ N WGS84)	5046499
est DEM (UTM ₃₂ N WGS84)	464852	nord DEM (UTM ₃₂ N WGS84)	5046551
area bacino	204.31	quota media	423

quota massima	1167	quota minima	204
curva ipsografica 2,5%	916	curva ipsografica 5%	803
curva ipsografica 10%	715	curva ipsografica 25%	504
curva ipsografica 50%	353	curva ipsografica 75%	293
curva ipsografica 90%	252	curva ipsografica 95%	237
curva ipsografica 97,5%	221	distanza interquartile curva ipsografica	211
angolo di esposizione medio	164	lunghezza vettore orientamento	17.1
pendenza bacino	5.872	pendenza bacino quadrato equivalente	2.099
est baricentro (UTM _{32N} WGS84)	458750	nord baricentro (UTM _{32N} WGS84)	5062550
fattore di forma	0.079	rapporto di allungamento	0.317
media funzione di ampiezza	24841	varianza funzione di ampiezza	1.33×10 ⁸
skewness funzione di ampiezza	0.211	kurtosis funzione di ampiezza	2.34
rapporto aree medie di due ordini adiacenti	5.017	rapporto di biforcazione	4
rapporto lunghezze medie di due ordini adiacenti	2.645	rapporto pendenze medie di due ordini adiacenti	2.967
densità di drenaggio	0.842	diametro topologico	23
lunghezza LDP	50.833	lunghezza asta principale	49.16
lunghezza totale reticolo idrografico	172	lunghezza media versanti	623
pendenza media LDP	3	media dell'afflusso totale annuo	1519
deviazione standard dell'afflusso totale annuo	256	media coeff. pluviale orario CPP	32.617
dev. standard coeff. pluviale orario CPP	0.95	media esponente CPP	0.376
dev. standard esponente CPP	0.041	coeff. di intensità	0.021
media LCV piogge 1 ora	0.16	dev. standard LCV piogge 1 ora	0.015
media LCV piogge 3 ore	0.151	dev. standard LCV piogge 3 ore	0.012
media LCV piogge 6 ore	0.148	dev. standard LCV piogge 6 ore	0.013
media LCV piogge 12 ore	0.144	dev. standard LCV piogge 12 ore	0.007
media LCV piogge 24 ore	0.145	dev. standard LCV piogge 24 ore	0.007
media LCA piogge 1 ora	0.168	dev. standard LCA piogge 1 ora	0.032
media LCA piogge 3 ore	0.18	dev. standard LCA piogge 3 ore	0.03
media LCA piogge 6 ore	0.197	dev. standard LCA piogge 6 ore	0.039
media LCA piogge 12 ore	0.177	dev. standard LCA piogge 12 ore	0.023
media LCA piogge 24 ore	0.125	dev. standard LCA piogge 24 ore	0.017
media coeff. B1 regime pluviometrico	-33.1	media coeff. C1 regime pluviometrico	-13
media coeff. B2 regime pluviometrico	-1.9	media coeff. C2 regime pluviometrico	-43.5
dev. standard regime pluviometrico	42.1	coeff. variaz. regime pluviometrico	0.323
classe 1 corine land cover	9.84	classe 2 corine land cover	49.92
classe 3 corine land cover	40.27	classe 4 corine land cover	0
classe 5 corine land cover	0	media NDVI	0.57
dev. standard NDVI	0.042	media curve number 1	49.6
media curve number 2	68.9	media curve number 3	83.9
dev. standard curve number 1	5.6	dev. standard curve number 2	4.8
dev. standard curve number 3	3.3	media indice di permeabilità vapi	0.346
dev. standard indice di permeabilità vapi	0.134		

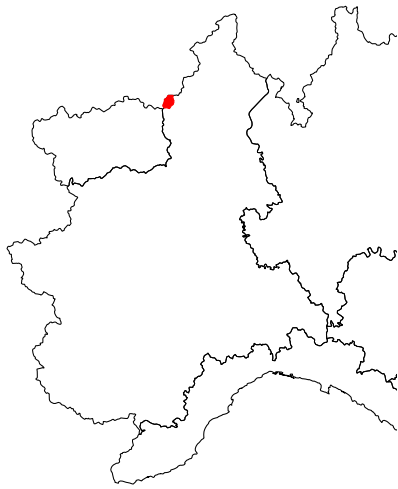


Agogna a Novara

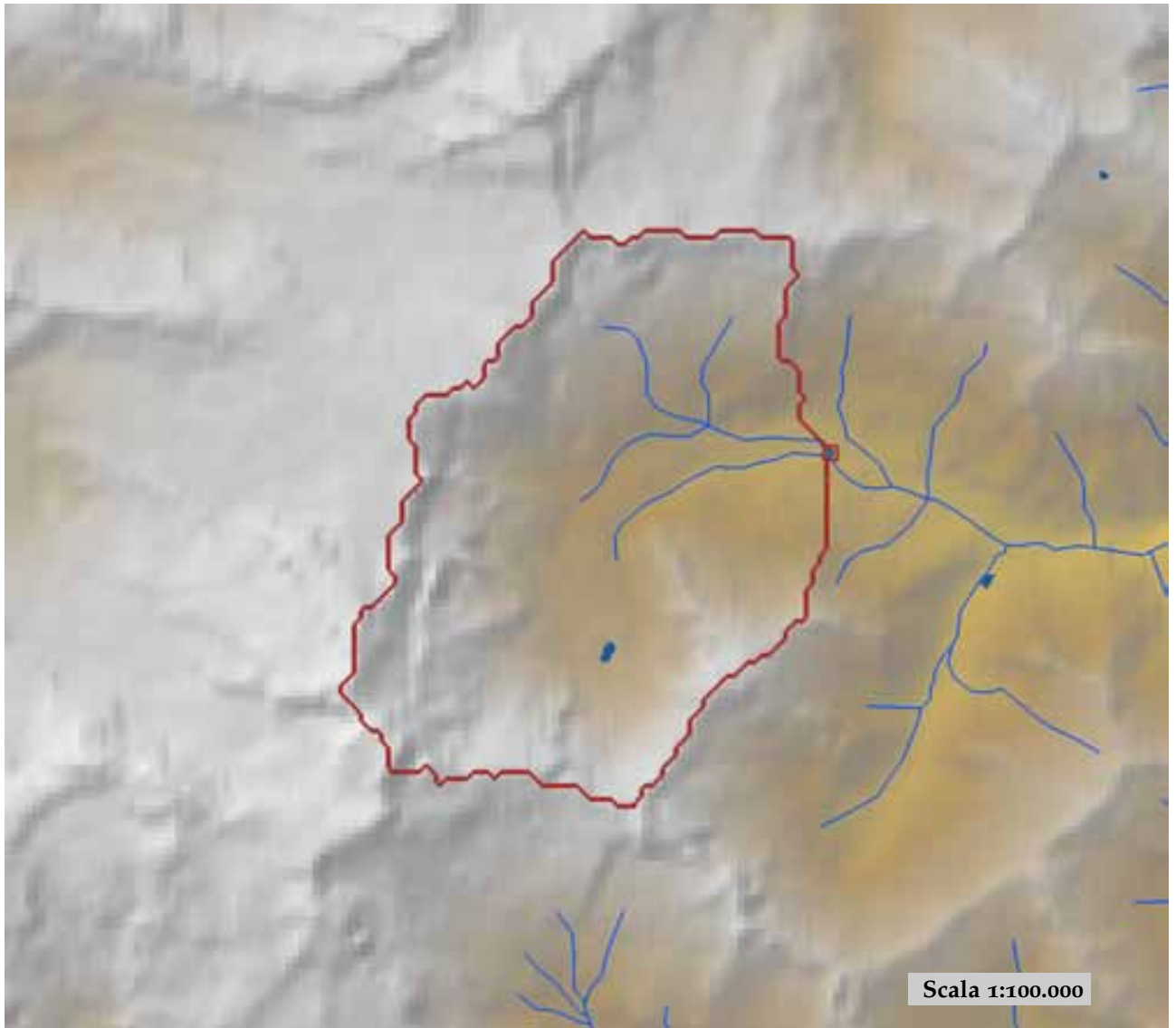


est (UTM ₃₂ N WGS84)	467981	nord (UTM ₃₂ N WGS84)	5030915
est DEM (UTM ₃₂ N WGS84)	468349	nord DEM (UTM ₃₂ N WGS84)	5028547
area bacino	382.37	quota media	332

quota massima	1167	quota minima	131
curva ipsografica 2,5%	811	curva ipsografica 5%	724
curva ipsografica 10%	591	curva ipsografica 25%	373
curva ipsografica 50%	295	curva ipsografica 75%	202
curva ipsografica 90%	158	curva ipsografica 95%	149
curva ipsografica 97,5%	144	distanza interquartile curva ipsografica	171
angolo di esposizione medio	167	lunghezza vettore orientamento	26.6
pendenza bacino	3.754	pendenza bacino quadrato equivalente	1.688
est baricentro (UTM _{32N} WGS84)	460350	nord baricentro (UTM _{32N} WGS84)	5053950
fattore di forma	0.069	rapporto di allungamento	0.297
media funzione di ampiezza	35879	varianza funzione di ampiezza	3.09×10 ⁸
skewness funzione di ampiezza	-0.004	kurtosis funzione di ampiezza	2.231
rapporto aree medie di due ordini adiacenti	7.572	rapporto di biforcazione	6.245
rapporto lunghezze medie di due ordini adiacenti	4.269	rapporto pendenze medie di due ordini adiacenti	1.8
densità di drenaggio	0.924	diametro topologico	31
lunghezza LDP	74.251	lunghezza asta principale	72.578
lunghezza totale reticolo idrografico	353.4	lunghezza media versanti	631
pendenza media LDP	2	media dell'afflusso totale annuo	1328
deviazione standard dell'afflusso totale annuo	292	media coeff. pluviale orario CPP	31.657
dev. standard coeff. pluviale orario CPP	1.804	media esponente CPP	0.351
dev. standard esponente CPP	0.041	coeff. di intensità	0.024
media LCV piogge 1 ora	0.159	dev. standard LCV piogge 1 ora	0.013
media LCV piogge 3 ore	0.152	dev. standard LCV piogge 3 ore	0.01
media LCV piogge 6 ore	0.153	dev. standard LCV piogge 6 ore	0.011
media LCV piogge 12 ore	0.146	dev. standard LCV piogge 12 ore	0.007
media LCV piogge 24 ore	0.149	dev. standard LCV piogge 24 ore	0.008
media LCA piogge 1 ora	0.162	dev. standard LCA piogge 1 ora	0.038
media LCA piogge 3 ore	0.181	dev. standard LCA piogge 3 ore	0.032
media LCA piogge 6 ore	0.192	dev. standard LCA piogge 6 ore	0.033
media LCA piogge 12 ore	0.178	dev. standard LCA piogge 12 ore	0.033
media LCA piogge 24 ore	0.13	dev. standard LCA piogge 24 ore	0.02
media coeff. B1 regime pluviometrico	-26	media coeff. C1 regime pluviometrico	-9.8
media coeff. B2 regime pluviometrico	-1.7	media coeff. C2 regime pluviometrico	-35.9
dev. standard regime pluviometrico	34.4	coeff. variaz. regime pluviometrico	0.299
classe 1 corine land cover	8.61	classe 2 corine land cover	39.01
classe 3 corine land cover	52.39	classe 4 corine land cover	0
classe 5 corine land cover	0	media NDVI	0.536
dev. standard NDVI	0.069	media curve number 1	50.4
media curve number 2	69.6	media curve number 3	84.4
dev. standard curve number 1	5.2	dev. standard curve number 2	4.5
dev. standard curve number 3	3	media indice di permeabilità vapi	0.311
dev. standard indice di permeabilità vapi	0.161		

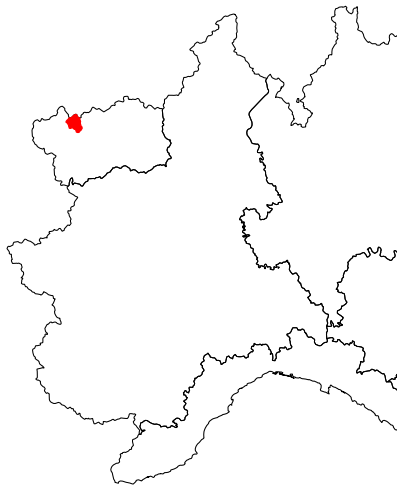


Anza a Macugnaga

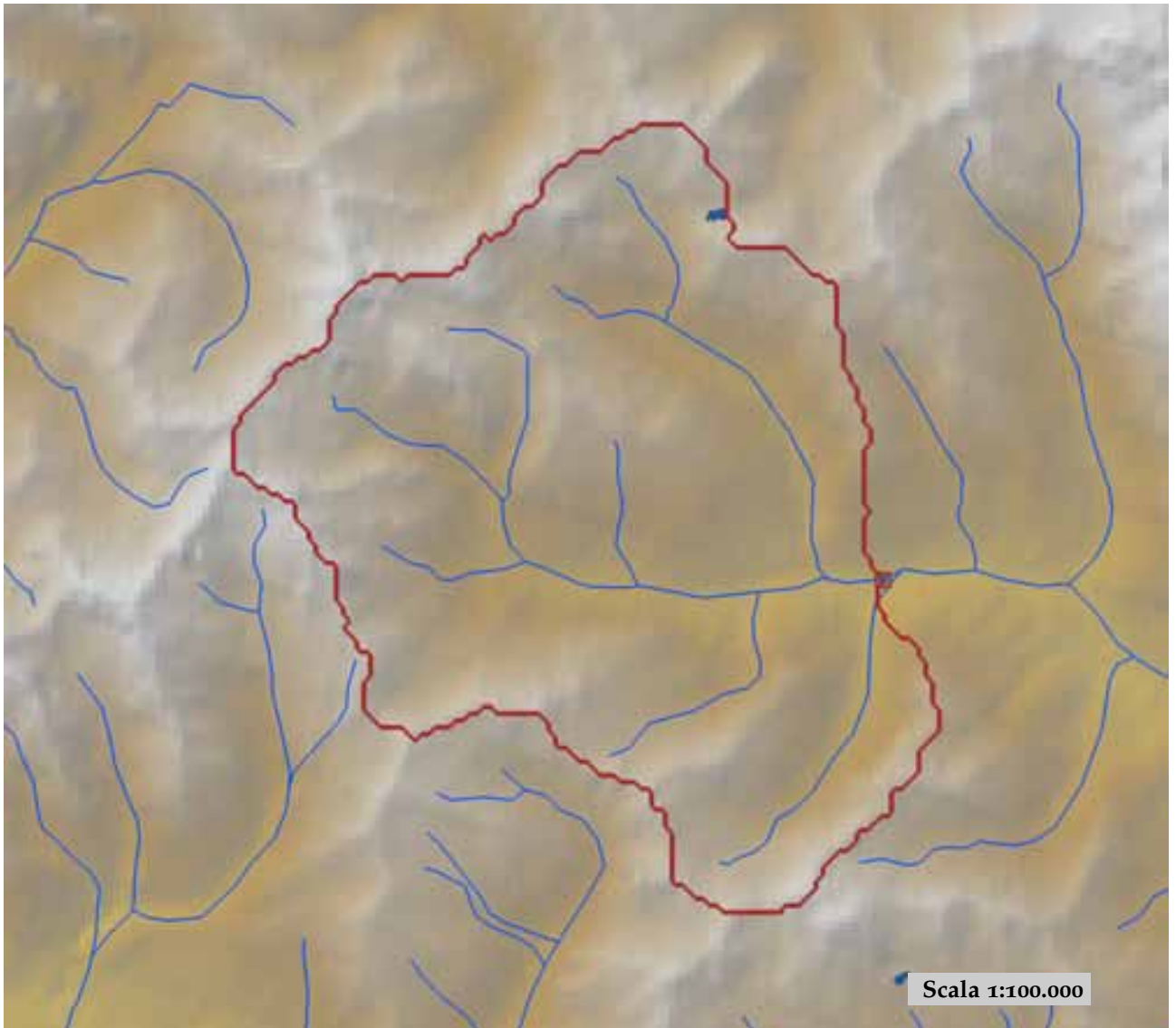


est (UTM ₃₂ N WGS84)	418994	nord (UTM ₃₂ N WGS84)	5091217
est DEM (UTM ₃₂ N WGS84)	419156	nord DEM (UTM ₃₂ N WGS84)	5091251
area bacino	41.32	quota media	2657

quota massima	4572	quota minima	1352
curva ipsografica 2,5%	4137	curva ipsografica 5%	3758
curva ipsografica 10%	3549	curva ipsografica 25%	3091
curva ipsografica 50%	2583	curva ipsografica 75%	2166
curva ipsografica 90%	1892	curva ipsografica 95%	1675
curva ipsografica 97,5%	1485	distanza interquartile curva ipsografica	925
angolo di esposizione medio	81	lunghezza vettore orientamento	3.5
pendenza bacino	30.84	pendenza bacino quadrato equivalente	38.332
est baricentro (UTM _{32N} WGS84)	415750	nord baricentro (UTM _{32N} WGS84)	5090250
fattore di forma	0.364	rapporto di allungamento	0.681
media funzione di ampiezza	5561	varianza funzione di ampiezza	5.94×10 ⁶
skewness funzione di ampiezza	0.044	kurtosis funzione di ampiezza	2.118
rapporto aree medie di due ordini adiacenti	3.753	rapporto di biforcazione	4
rapporto lunghezze medie di due ordini adiacenti	1.531	rapporto pendenze medie di due ordini adiacenti	1.315
densità di drenaggio	0.558	diametro topologico	12
lunghezza LDP	10.657	lunghezza asta principale	8.825
lunghezza totale reticolo idrografico	23.1	lunghezza media versanti	1056
pendenza media LDP	17	media dell'afflusso totale annuo	1295
deviazione standard dell'afflusso totale annuo	31	media coeff. pluviale orario CPP	15.993
dev. standard coeff. pluviale orario CPP	0.91	media esponente CPP	0.595
dev. standard esponente CPP	0.011	coeff. di intensità	0.012
media LCV piogge 1 ora	0.156	dev. standard LCV piogge 1 ora	0.009
media LCV piogge 3 ore	0.173	dev. standard LCV piogge 3 ore	0.003
media LCV piogge 6 ore	0.182	dev. standard LCV piogge 6 ore	0.004
media LCV piogge 12 ore	0.187	dev. standard LCV piogge 12 ore	0.004
media LCV piogge 24 ore	0.2	dev. standard LCV piogge 24 ore	0.004
media LCA piogge 1 ora	0.103	dev. standard LCA piogge 1 ora	0.027
media LCA piogge 3 ore	0.161	dev. standard LCA piogge 3 ore	0.015
media LCA piogge 6 ore	0.154	dev. standard LCA piogge 6 ore	0.008
media LCA piogge 12 ore	0.15	dev. standard LCA piogge 12 ore	0.016
media LCA piogge 24 ore	0.149	dev. standard LCA piogge 24 ore	0.021
media coeff. B1 regime pluviometrico	-31	media coeff. C1 regime pluviometrico	-10.3
media coeff. B2 regime pluviometrico	-8.4	media coeff. C2 regime pluviometrico	-40.9
dev. standard regime pluviometrico	42.5	coeff. variaz. regime pluviometrico	0.409
classe 1 corine land cover	0	classe 2 corine land cover	12.85
classe 3 corine land cover	16.2	classe 4 corine land cover	71.05
classe 5 corine land cover	0	media NDVI	0.082
dev. standard NDVI	0.104	media curve number 1	43.3
media curve number 2	57.4	media curve number 3	68.5
dev. standard curve number 1	23.3	dev. standard curve number 2	28.5
dev. standard curve number 3	32.1	media indice di permeabilità vapi	0.279
dev. standard indice di permeabilità vapi	0.294		

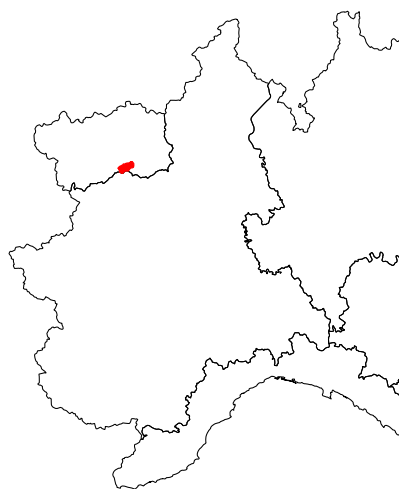


Artanavaz a Saint Oyen

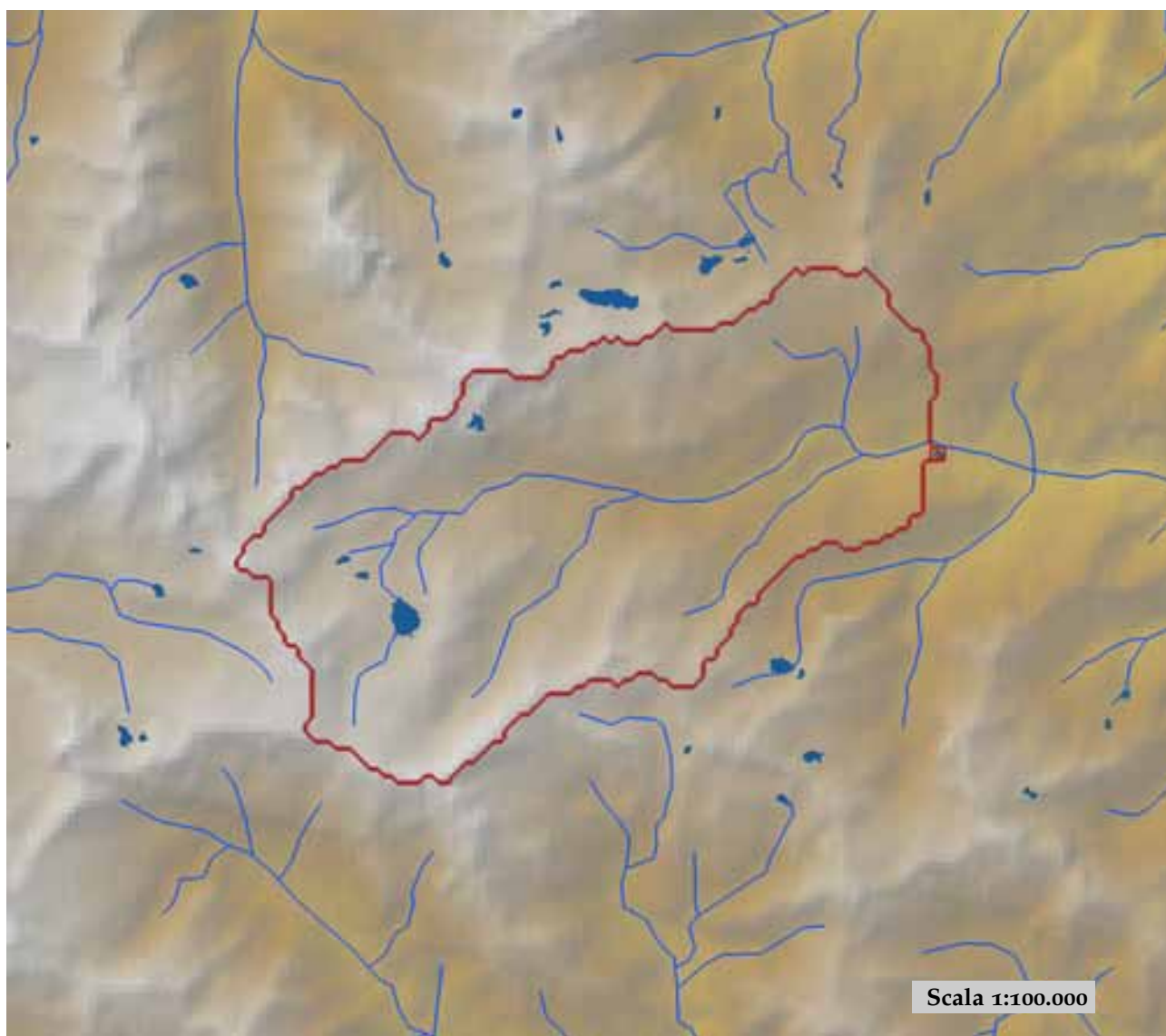


est (UTM ₃₂ N WGS84)	360765	nord (UTM ₃₂ N WGS84)	5075765
est DEM (UTM ₃₂ N WGS84)	360183	nord DEM (UTM ₃₂ N WGS84)	5075749
area bacino	69.13	quota media	2239

quota massima	3179	quota minima	1358
curva ipsografica 2,5%	2883	curva ipsografica 5%	2807
curva ipsografica 10%	2706	curva ipsografica 25%	2508
curva ipsografica 50%	2257	curva ipsografica 75%	1974
curva ipsografica 90%	1738	curva ipsografica 95%	1625
curva ipsografica 97,5%	1515	distanza interquartile curva ipsografica	534
angolo di esposizione medio	103	lunghezza vettore orientamento	4.1
pendenza bacino	25.291	pendenza bacino quadrato equivalente	21.649
est baricentro (UTM _{32N} WGS84)	356250	nord baricentro (UTM _{32N} WGS84)	5076750
fattore di forma	0.49	rapporto di allungamento	0.79
media funzione di ampiezza	6375	varianza funzione di ampiezza	7.22×10 ⁶
skewness funzione di ampiezza	-0.047	kurtosis funzione di ampiezza	2.162
rapporto aree medie di due ordini adiacenti	4.065	rapporto di biforcazione	4.5
rapporto lunghezze medie di due ordini adiacenti	2.306	rapporto pendenze medie di due ordini adiacenti	1.275
densità di drenaggio	0.513	diametro topologico	10
lunghezza LDP	11.874	lunghezza asta principale	10.308
lunghezza totale reticolo idrografico	35.4	lunghezza media versanti	765
pendenza media LDP	10	media dell'afflusso totale annuo	1021
deviazione standard dell'afflusso totale annuo	213	media coeff. pluviale orario CPP	12
dev. standard coeff. pluviale orario CPP	0.577	media esponente CPP	0.503
dev. standard esponente CPP	0.018	coeff. di intensità	0.012
media LCV piogge 1 ora	0.238	dev. standard LCV piogge 1 ora	0.011
media LCV piogge 3 ore	0.202	dev. standard LCV piogge 3 ore	0.008
media LCV piogge 6 ore	0.198	dev. standard LCV piogge 6 ore	0.008
media LCV piogge 12 ore	0.225	dev. standard LCV piogge 12 ore	0.008
media LCV piogge 24 ore	0.256	dev. standard LCV piogge 24 ore	0.008
media LCA piogge 1 ora	0.161	dev. standard LCA piogge 1 ora	0.011
media LCA piogge 3 ore	0.265	dev. standard LCA piogge 3 ore	0.005
media LCA piogge 6 ore	0.305	dev. standard LCA piogge 6 ore	0.003
media LCA piogge 12 ore	0.32	dev. standard LCA piogge 12 ore	0.007
media LCA piogge 24 ore	0.337	dev. standard LCA piogge 24 ore	0.008
media coeff. B1 regime pluviometrico	-2.4	media coeff. C1 regime pluviometrico	-8.9
media coeff. B2 regime pluviometrico	-4.9	media coeff. C2 regime pluviometrico	-11
dev. standard regime pluviometrico	13.9	coeff. variaz. regime pluviometrico	0.185
classe 1 corine land cover	0	classe 2 corine land cover	36.46
classe 3 corine land cover	24.37	classe 4 corine land cover	39.22
classe 5 corine land cover	0	media NDVI	0.262
dev. standard NDVI	0.091	media curve number 1	46.2
media curve number 2	64.5	media curve number 3	80
dev. standard curve number 1	14.8	dev. standard curve number 2	14.3
dev. standard curve number 3	11.1	media indice di permeabilità vapi	0.367
dev. standard indice di permeabilità vapi	0.136		

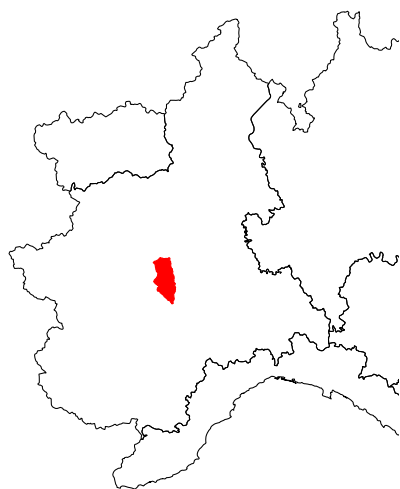


Ayasse a Champorcher

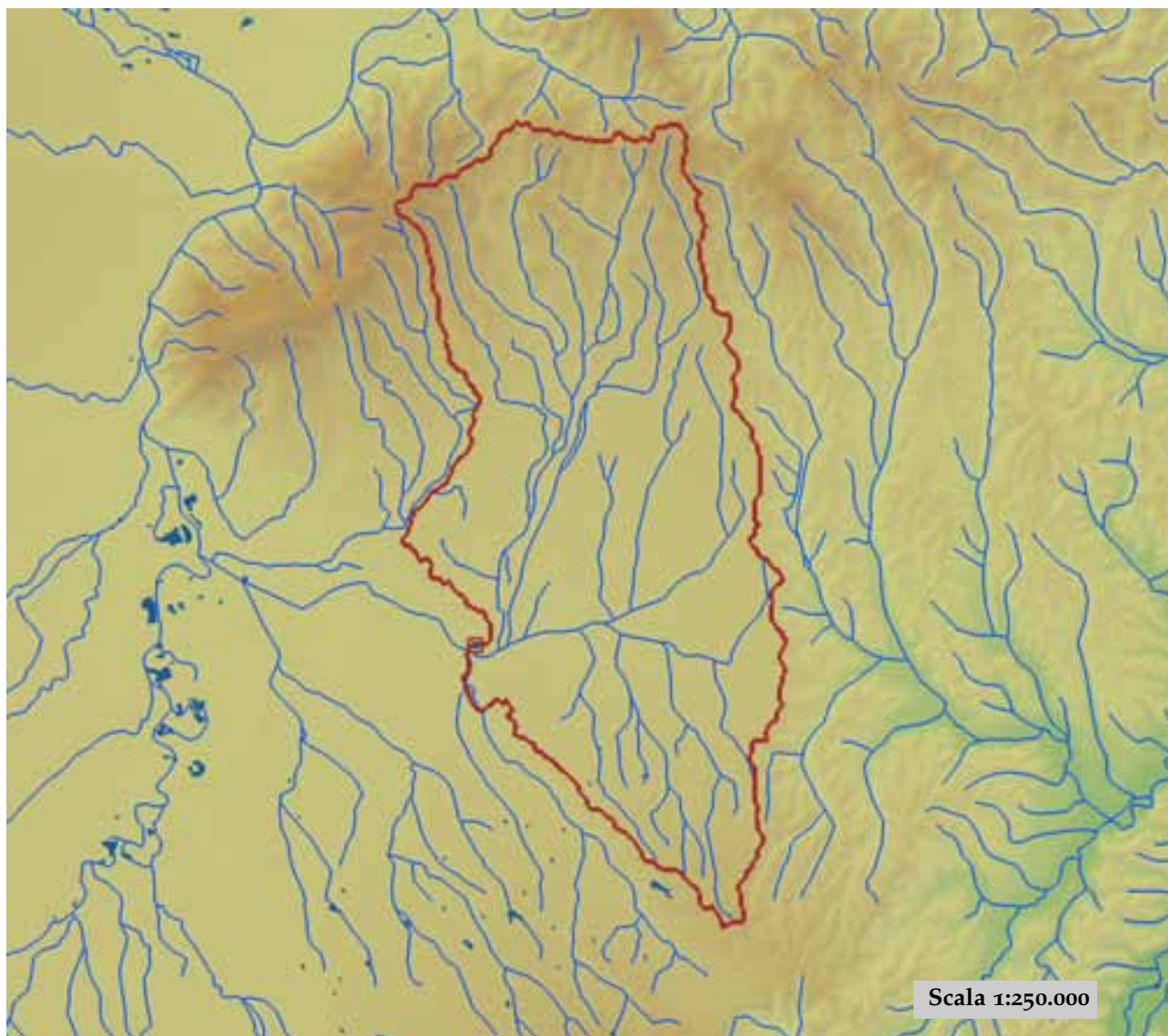


est (UTM ₃₂ N WGS84)	392220	nord (UTM ₃₂ N WGS84)	5052946
est DEM (UTM ₃₂ N WGS84)	392518	nord DEM (UTM ₃₂ N WGS84)	5052993
area bacino	42.72	quota media	2368

quota massima	3141	quota minima	1402
curva ipsografica 2,5%	2938	curva ipsografica 5%	2882
curva ipsografica 10%	2807	curva ipsografica 25%	2639
curva ipsografica 50%	2406	curva ipsografica 75%	2141
curva ipsografica 90%	1865	curva ipsografica 95%	1687
curva ipsografica 97,5%	1566	distanza interquartile curva ipsografica	498
angolo di esposizione medio	85	lunghezza vettore orientamento	5.2
pendenza bacino	21.226	pendenza bacino quadrato equivalente	30.753
est baricentro (UTM _{32N} WGS84)	387450	nord baricentro (UTM _{32N} WGS84)	5052050
fattore di forma	0.283	rapporto di allungamento	0.6
media funzione di ampiezza	7106	varianza funzione di ampiezza	1.06×10 ⁷
skewness funzione di ampiezza	-0.109	kurtosis funzione di ampiezza	1.99
rapporto aree medie di due ordini adiacenti	-	rapporto di biforcazione	25.201
rapporto lunghezze medie di due ordini adiacenti	0.59	rapporto pendenze medie di due ordini adiacenti	-
densità di drenaggio	-	diametro topologico	10
lunghezza LDP	12.288	lunghezza asta principale	10.723
lunghezza totale reticolo idrografico	-	lunghezza media versanti	687
pendenza media LDP	11	media dell'afflusso totale annuo	1143
deviazione standard dell'afflusso totale annuo	47	media coeff. pluviale orario CPP	19.367
dev. standard coeff. pluviale orario CPP	1.05	media esponente CPP	0.547
dev. standard esponente CPP	0.011	coeff. di intensità	0.017
media LCV piogge 1 ora	0.184	dev. standard LCV piogge 1 ora	0.018
media LCV piogge 3 ore	0.188	dev. standard LCV piogge 3 ore	0.012
media LCV piogge 6 ore	0.176	dev. standard LCV piogge 6 ore	0.005
media LCV piogge 12 ore	0.196	dev. standard LCV piogge 12 ore	0.002
media LCV piogge 24 ore	0.216	dev. standard LCV piogge 24 ore	0.004
media LCA piogge 1 ora	0.16	dev. standard LCA piogge 1 ora	0.014
media LCA piogge 3 ore	0.157	dev. standard LCA piogge 3 ore	0.029
media LCA piogge 6 ore	0.147	dev. standard LCA piogge 6 ore	0.013
media LCA piogge 12 ore	0.179	dev. standard LCA piogge 12 ore	0.01
media LCA piogge 24 ore	0.217	dev. standard LCA piogge 24 ore	0.009
media coeff. B1 regime pluviometrico	-25.9	media coeff. C1 regime pluviometrico	-11
media coeff. B2 regime pluviometrico	-6.8	media coeff. C2 regime pluviometrico	-34.1
dev. standard regime pluviometrico	32.7	coeff. variaz. regime pluviometrico	0.316
classe 1 corine land cover	0	classe 2 corine land cover	15.3
classe 3 corine land cover	20.67	classe 4 corine land cover	64.13
classe 5 corine land cover	0	media NDVI	0.209
dev. standard NDVI	0.099	media curve number 1	48.7
media curve number 2	67	media curve number 3	81.7
dev. standard curve number 1	14.3	dev. standard curve number 2	13.4
dev. standard curve number 3	10.2	media indice di permeabilità vapi	0.468
dev. standard indice di permeabilità vapi	0.208		

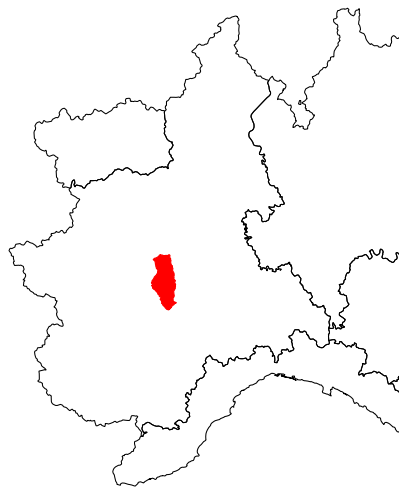


Banna a Poirino

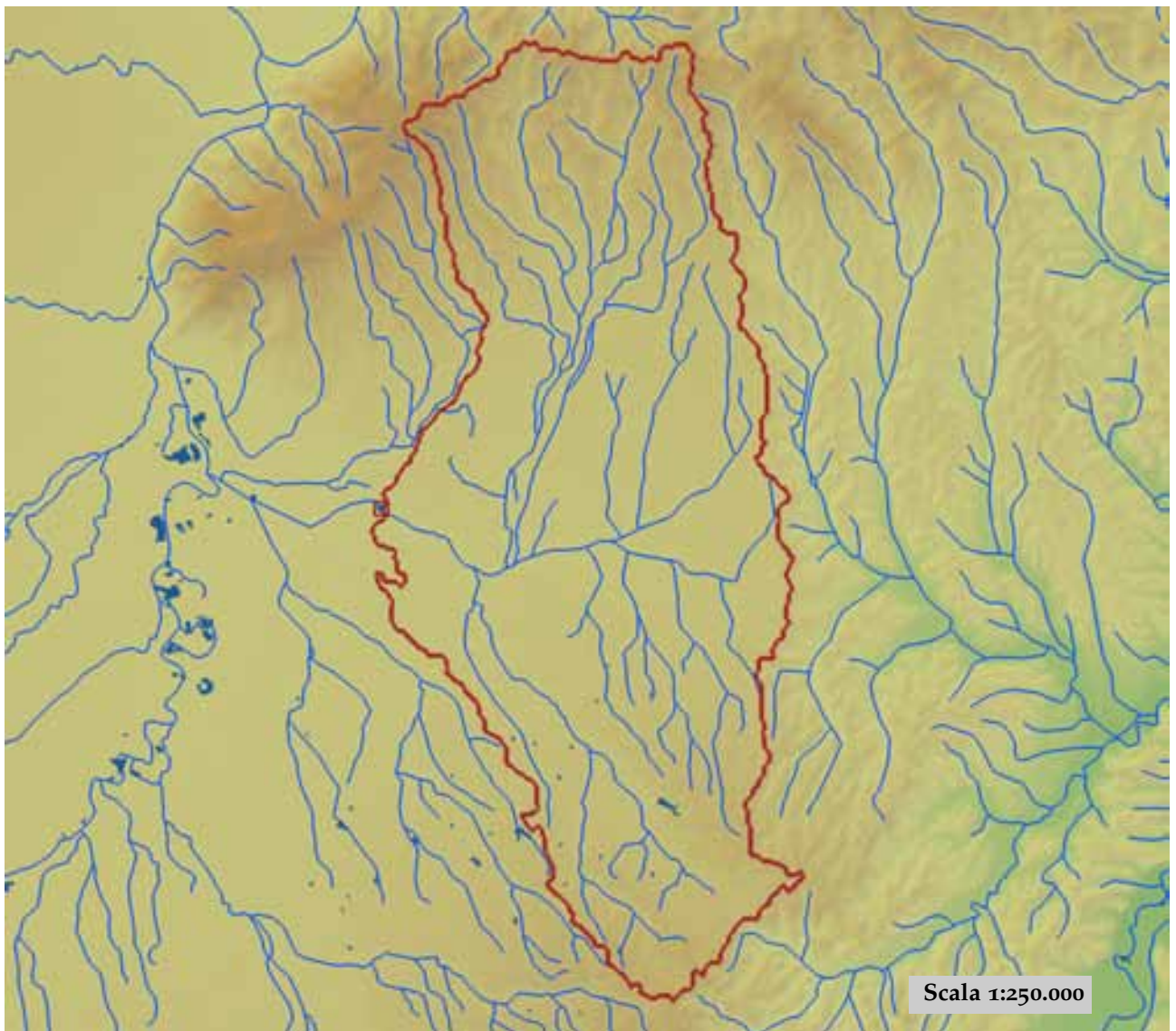


est (UTM ₃₂ N WGS84)	407635	nord (UTM ₃₂ N WGS84)	4975171
est DEM (UTM ₃₂ N WGS84)	407649	nord DEM (UTM ₃₂ N WGS84)	4975760
area bacino	261.89	quota media	288

quota massima	585	quota minima	232
curva ipsografica 2,5%	422	curva ipsografica 5%	395
curva ipsografica 10%	359	curva ipsografica 25%	304
curva ipsografica 50%	267	curva ipsografica 75%	254
curva ipsografica 90%	248	curva ipsografica 95%	244
curva ipsografica 97,5%	240	distanza interquartile curva ipsografica	50
angolo di esposizione medio	188	lunghezza vettore orientamento	7.4
pendenza bacino	2.369	pendenza bacino quadrato equivalente	0.445
est baricentro (UTM _{32N} WGS84)	412350	nord baricentro (UTM _{32N} WGS84)	4981450
fattore di forma	0.421	rapporto di allungamento	0.732
media funzione di ampiezza	15214	varianza funzione di ampiezza	3.54×10 ⁷
skewness funzione di ampiezza	-0.079	kurtosis funzione di ampiezza	2.44
rapporto aree medie di due ordini adiacenti	4.149	rapporto di biforcazione	3.435
rapporto lunghezze medie di due ordini adiacenti	1.652	rapporto pendenze medie di due ordini adiacenti	2.197
densità di drenaggio	0.893	diametro topologico	14
lunghezza LDP	24.932	lunghezza asta principale	16.807
lunghezza totale reticolo idrografico	233.9	lunghezza media versanti	603
pendenza media LDP	0	media dell'afflusso totale annuo	747
deviazione standard dell'afflusso totale annuo	38	media coeff. pluviale orario CPP	27.032
dev. standard coeff. pluviale orario CPP	1.27	media esponente CPP	0.253
dev. standard esponente CPP	0.016	coeff. di intensità	0.036
media LCV piogge 1 ora	0.152	dev. standard LCV piogge 1 ora	0.007
media LCV piogge 3 ore	0.142	dev. standard LCV piogge 3 ore	0.005
media LCV piogge 6 ore	0.151	dev. standard LCV piogge 6 ore	0.008
media LCV piogge 12 ore	0.157	dev. standard LCV piogge 12 ore	0.009
media LCV piogge 24 ore	0.153	dev. standard LCV piogge 24 ore	0.009
media LCA piogge 1 ora	0.144	dev. standard LCA piogge 1 ora	0.022
media LCA piogge 3 ore	0.122	dev. standard LCA piogge 3 ore	0.035
media LCA piogge 6 ore	0.132	dev. standard LCA piogge 6 ore	0.028
media LCA piogge 12 ore	0.204	dev. standard LCA piogge 12 ore	0.064
media LCA piogge 24 ore	0.213	dev. standard LCA piogge 24 ore	0.042
media coeff. B1 regime pluviometrico	-12.8	media coeff. C1 regime pluviometrico	-2.1
media coeff. B2 regime pluviometrico	4.8	media coeff. C2 regime pluviometrico	-21
dev. standard regime pluviometrico	19.7	coeff. variaz. regime pluviometrico	0.292
classe 1 corine land cover	4.49	classe 2 corine land cover	6.2
classe 3 corine land cover	89.32	classe 4 corine land cover	0
classe 5 corine land cover	0	media NDVI	0.539
dev. standard NDVI	0.036	media curve number 1	53.5
media curve number 2	72	media curve number 3	86
dev. standard curve number 1	5.2	dev. standard curve number 2	4.5
dev. standard curve number 3	3.1	media indice di permeabilità vapi	0.308
dev. standard indice di permeabilità vapi	0.122		

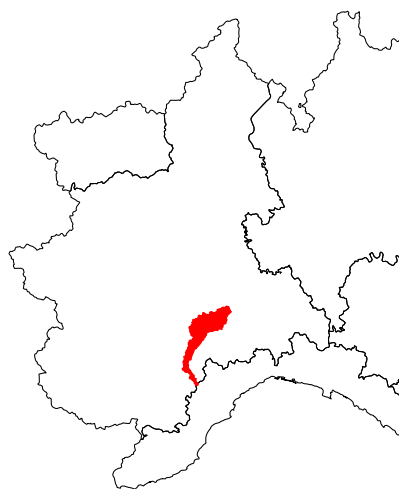


Banna a Santena



est (UTM ₃₂ N WGS84)	403910	nord (UTM ₃₂ N WGS84)	4977515
est DEM (UTM ₃₂ N WGS84)	403950	nord DEM (UTM ₃₂ N WGS84)	4977754
area bacino	349.56	quota media	287

quota massima	585	quota minima	230
curva ipsografica 2,5%	410	curva ipsografica 5%	382
curva ipsografica 10%	351	curva ipsografica 25%	307
curva ipsografica 50%	269	curva ipsografica 75%	254
curva ipsografica 90%	245	curva ipsografica 95%	240
curva ipsografica 97,5%	237	distanza interquartile curva ipsografica	53
angolo di esposizione medio	218	lunghezza vettore orientamento	8
pendenza bacino	2.287	pendenza bacino quadrato equivalente	0.428
est baricentro (UTM _{32N} WGS84)	411950	nord baricentro (UTM _{32N} WGS84)	4978150
fattore di forma	0.562	rapporto di allungamento	0.846
media funzione di ampiezza	19448	varianza funzione di ampiezza	4.49×10 ⁷
skewness funzione di ampiezza	-0.392	kurtosis funzione di ampiezza	2.844
rapporto aree medie di due ordini adiacenti	4.337	rapporto di biforcazione	3.536
rapporto lunghezze medie di due ordini adiacenti	1.785	rapporto pendenze medie di due ordini adiacenti	2.218
densità di drenaggio	0.853	diametro topologico	17
lunghezza LDP	24.932	lunghezza asta principale	22.325
lunghezza totale reticolo idrografico	298.3	lunghezza media versanti	621
pendenza media LDP	0	media dell'afflusso totale annuo	739
deviazione standard dell'afflusso totale annuo	36	media coeff. pluviale orario CPP	26.593
dev. standard coeff. pluviale orario CPP	1.507	media esponente CPP	0.259
dev. standard esponente CPP	0.021	coeff. di intensità	0.036
media LCV piogge 1 ora	0.155	dev. standard LCV piogge 1 ora	0.008
media LCV piogge 3 ore	0.144	dev. standard LCV piogge 3 ore	0.007
media LCV piogge 6 ore	0.156	dev. standard LCV piogge 6 ore	0.011
media LCV piogge 12 ore	0.161	dev. standard LCV piogge 12 ore	0.012
media LCV piogge 24 ore	0.157	dev. standard LCV piogge 24 ore	0.012
media LCA piogge 1 ora	0.141	dev. standard LCA piogge 1 ora	0.021
media LCA piogge 3 ore	0.127	dev. standard LCA piogge 3 ore	0.038
media LCA piogge 6 ore	0.15	dev. standard LCA piogge 6 ore	0.046
media LCA piogge 12 ore	0.226	dev. standard LCA piogge 12 ore	0.07
media LCA piogge 24 ore	0.227	dev. standard LCA piogge 24 ore	0.045
media coeff. B1 regime pluviometrico	-12.5	media coeff. C1 regime pluviometrico	-1.5
media coeff. B2 regime pluviometrico	4.5	media coeff. C2 regime pluviometrico	-21.3
dev. standard regime pluviometrico	20.2	coeff. variaz. regime pluviometrico	0.303
classe 1 corine land cover	3.93	classe 2 corine land cover	8.28
classe 3 corine land cover	87.8	classe 4 corine land cover	0
classe 5 corine land cover	0	media NDVI	0.536
dev. standard NDVI	0.036	media curve number 1	53.3
media curve number 2	71.9	media curve number 3	85.9
dev. standard curve number 1	5.3	dev. standard curve number 2	4.6
dev. standard curve number 3	3.1	media indice di permeabilità vapi	0.293
dev. standard indice di permeabilità vapi	0.116		

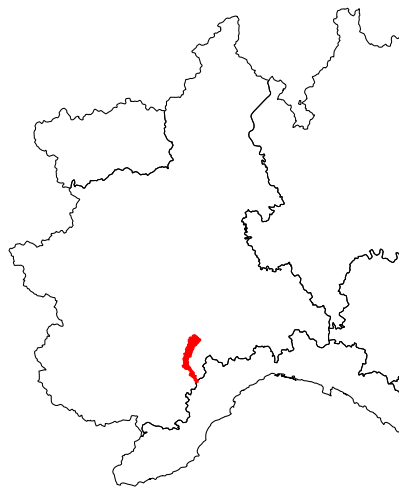


Belbo a Castelnuovo Belbo

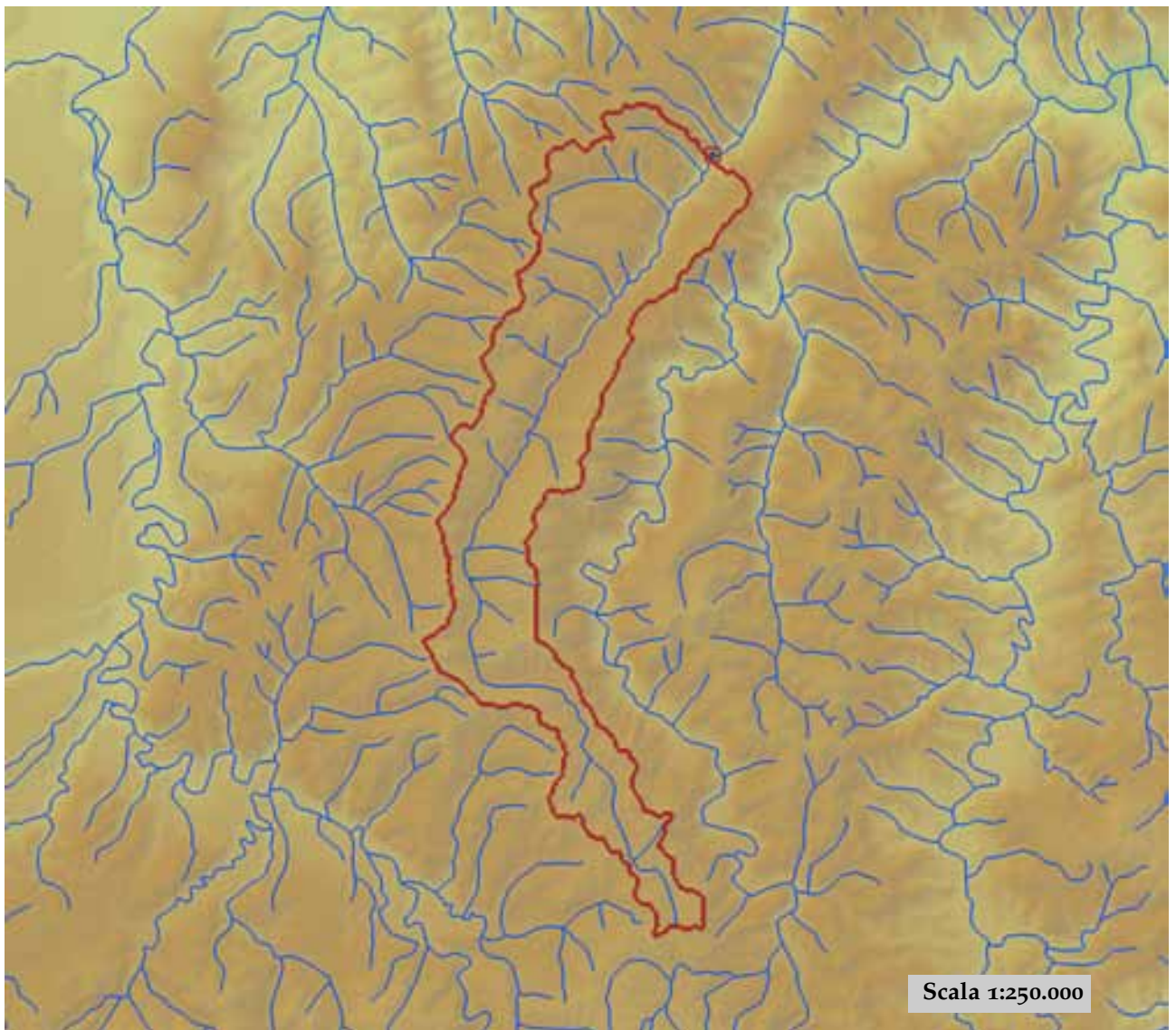


est (UTM ₃₂ N WGS84)	454039	nord (UTM ₃₂ N WGS84)	4960718
est DEM (UTM ₃₂ N WGS84)	453949	nord DEM (UTM ₃₂ N WGS84)	4960748
area bacino	420.75	quota media	372

quota massima	876	quota minima	116
curva ipsografica 2,5%	743	curva ipsografica 5%	713
curva ipsografica 10%	670	curva ipsografica 25%	536
curva ipsografica 50%	311	curva ipsografica 75%	205
curva ipsografica 90%	162	curva ipsografica 95%	146
curva ipsografica 97,5%	136	distanza interquartile curva ipsografica	331
angolo di esposizione medio	356	lunghezza vettore orientamento	22
pendenza bacino	9.335	pendenza bacino quadrato equivalente	1.911
est baricentro (UTM _{32N} WGS84)	436750	nord baricentro (UTM _{32N} WGS84)	4947050
fattore di forma	0.065	rapporto di allungamento	0.287
media funzione di ampiezza	36582	varianza funzione di ampiezza	2.85×10 ⁸
skewness funzione di ampiezza	0.244	kurtosis funzione di ampiezza	2.616
rapporto aree medie di due ordini adiacenti	6.275	rapporto di biforcazione	5.745
rapporto lunghezze medie di due ordini adiacenti	3.24	rapporto pendenze medie di due ordini adiacenti	2.346
densità di drenaggio	0.661	diametro topologico	52
lunghezza LDP	80.542	lunghezza asta principale	78.693
lunghezza totale reticolo idrografico	278.3	lunghezza media versanti	627
pendenza media LDP	2	media dell'afflusso totale annuo	768
deviazione standard dell'afflusso totale annuo	63	media coeff. pluviale orario CPP	23.738
dev. standard coeff. pluviale orario CPP	1.143	media esponente CPP	0.328
dev. standard esponente CPP	0.024	coeff. di intensità	0.031
media LCV piogge 1 ora	0.186	dev. standard LCV piogge 1 ora	0.013
media LCV piogge 3 ore	0.19	dev. standard LCV piogge 3 ore	0.011
media LCV piogge 6 ore	0.184	dev. standard LCV piogge 6 ore	0.008
media LCV piogge 12 ore	0.174	dev. standard LCV piogge 12 ore	0.007
media LCV piogge 24 ore	0.182	dev. standard LCV piogge 24 ore	0.008
media LCA piogge 1 ora	0.119	dev. standard LCA piogge 1 ora	0.046
media LCA piogge 3 ore	0.227	dev. standard LCA piogge 3 ore	0.028
media LCA piogge 6 ore	0.249	dev. standard LCA piogge 6 ore	0.036
media LCA piogge 12 ore	0.272	dev. standard LCA piogge 12 ore	0.031
media LCA piogge 24 ore	0.247	dev. standard LCA piogge 24 ore	0.031
media coeff. B1 regime pluviometrico	-1.7	media coeff. C1 regime pluviometrico	6.5
media coeff. B2 regime pluviometrico	-1.6	media coeff. C2 regime pluviometrico	-29.6
dev. standard regime pluviometrico	32.1	coeff. variaz. regime pluviometrico	0.493
classe 1 corine land cover	1.96	classe 2 corine land cover	21.97
classe 3 corine land cover	76.08	classe 4 corine land cover	0
classe 5 corine land cover	0	media NDVI	0.543
dev. standard NDVI	0.041	media curve number 1	51.4
media curve number 2	70.4	media curve number 3	85.2
dev. standard curve number 1	7.1	dev. standard curve number 2	6.6
dev. standard curve number 3	4.8	media indice di permeabilità vapi	0.671
dev. standard indice di permeabilità vapi	0.082		

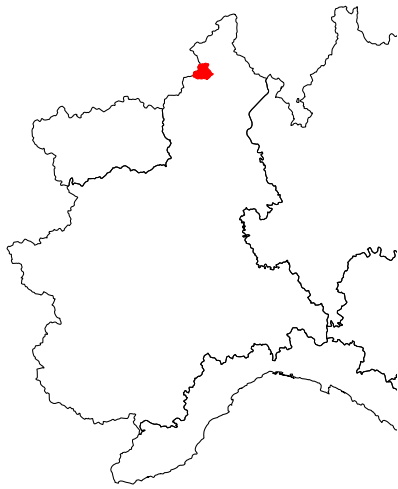


Belbo a Rocchetta Belbo

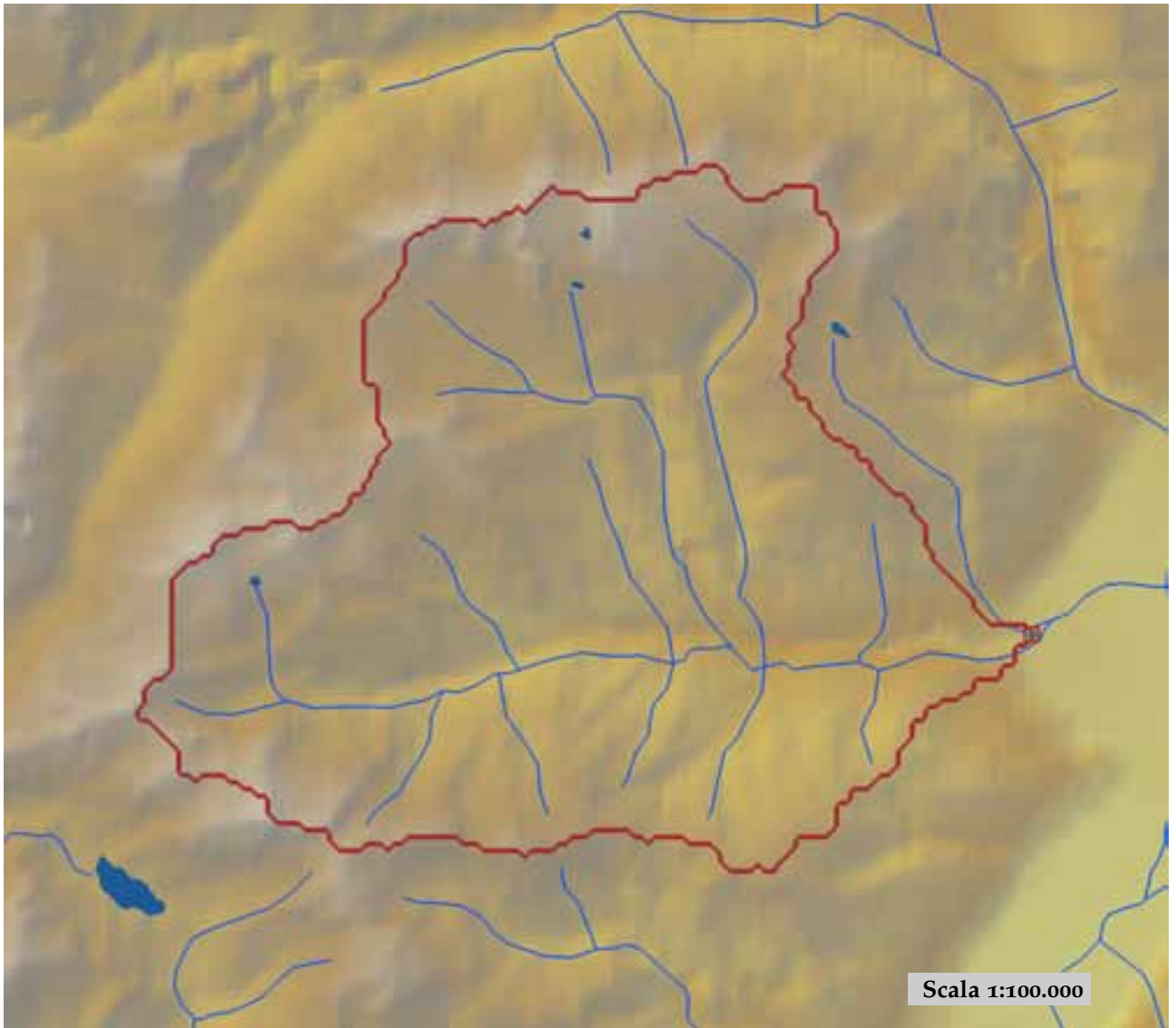


est (UTM ₃₂ N WGS84)	434525	nord (UTM ₃₂ N WGS84)	4942715
est DEM (UTM ₃₂ N WGS84)	433551	nord DEM (UTM ₃₂ N WGS84)	4942149
area bacino	118.89	quota media	622

quota massima	876	quota minima	296
curva ipsografica 2,5%	786	curva ipsografica 5%	764
curva ipsografica 10%	738	curva ipsografica 25%	694
curva ipsografica 50%	636	curva ipsografica 75%	559
curva ipsografica 90%	477	curva ipsografica 95%	428
curva ipsografica 97,5%	387	distanza interquartile curva ipsografica	135
angolo di esposizione medio	326	lunghezza vettore orientamento	11.8
pendenza bacino	11.273	pendenza bacino quadrato equivalente	6.255
est baricentro (UTM _{32N} WGS84)	428350	nord baricentro (UTM _{32N} WGS84)	4931550
fattore di forma	0.074	rapporto di allungamento	0.307
media funzione di ampiezza	15892	varianza funzione di ampiezza	1.04×10 ⁸
skewness funzione di ampiezza	0.598	kurtosis funzione di ampiezza	2.312
rapporto aree medie di due ordini adiacenti	7.083	rapporto di biforcazione	4.8
rapporto lunghezze medie di due ordini adiacenti	4.734	rapporto penidenze medie di due ordini adiacenti	1.466
densità di drenaggio	0.584	diametro topologico	19
lunghezza LDP	40.11	lunghezza asta principale	38.262
lunghezza totale reticolo idrografico	69.4	lunghezza media versanti	636
pendenza media LDP	4	media dell'afflusso totale annuo	827
deviazione standard dell'afflusso totale annuo	64	media coeff. pluviale orario CPP	23.13
dev. standard coeff. pluviale orario CPP	1.014	media esponente CPP	0.353
dev. standard esponente CPP	0.024	coeff. di intensità	0.028
media LCV piogge 1 ora	0.173	dev. standard LCV piogge 1 ora	0.007
media LCV piogge 3 ore	0.182	dev. standard LCV piogge 3 ore	0.008
media LCV piogge 6 ore	0.178	dev. standard LCV piogge 6 ore	0.008
media LCV piogge 12 ore	0.179	dev. standard LCV piogge 12 ore	0.005
media LCV piogge 24 ore	0.191	dev. standard LCV piogge 24 ore	0.006
media LCA piogge 1 ora	0.063	dev. standard LCA piogge 1 ora	0.024
media LCA piogge 3 ore	0.196	dev. standard LCA piogge 3 ore	0.017
media LCA piogge 6 ore	0.236	dev. standard LCA piogge 6 ore	0.039
media LCA piogge 12 ore	0.257	dev. standard LCA piogge 12 ore	0.03
media LCA piogge 24 ore	0.258	dev. standard LCA piogge 24 ore	0.03
media coeff. B1 regime pluviometrico	4.8	media coeff. C1 regime pluviometrico	-0.3
media coeff. B2 regime pluviometrico	-1.3	media coeff. C2 regime pluviometrico	-30.5
dev. standard regime pluviometrico	24.1	coeff. variaz. regime pluviometrico	0.322
classe 1 corine land cover	0.4	classe 2 corine land cover	42.23
classe 3 corine land cover	57.4	classe 4 corine land cover	0
classe 5 corine land cover	0	media NDVI	0.588
dev. standard NDVI	0.014	media curve number 1	47.8
media curve number 2	66.9	media curve number 3	82.5
dev. standard curve number 1	9.1	dev. standard curve number 2	8.3
dev. standard curve number 3	5.9	media indice di permeabilità vapi	0.637
dev. standard indice di permeabilità vapi	0.107		



Bogna a Domodossola

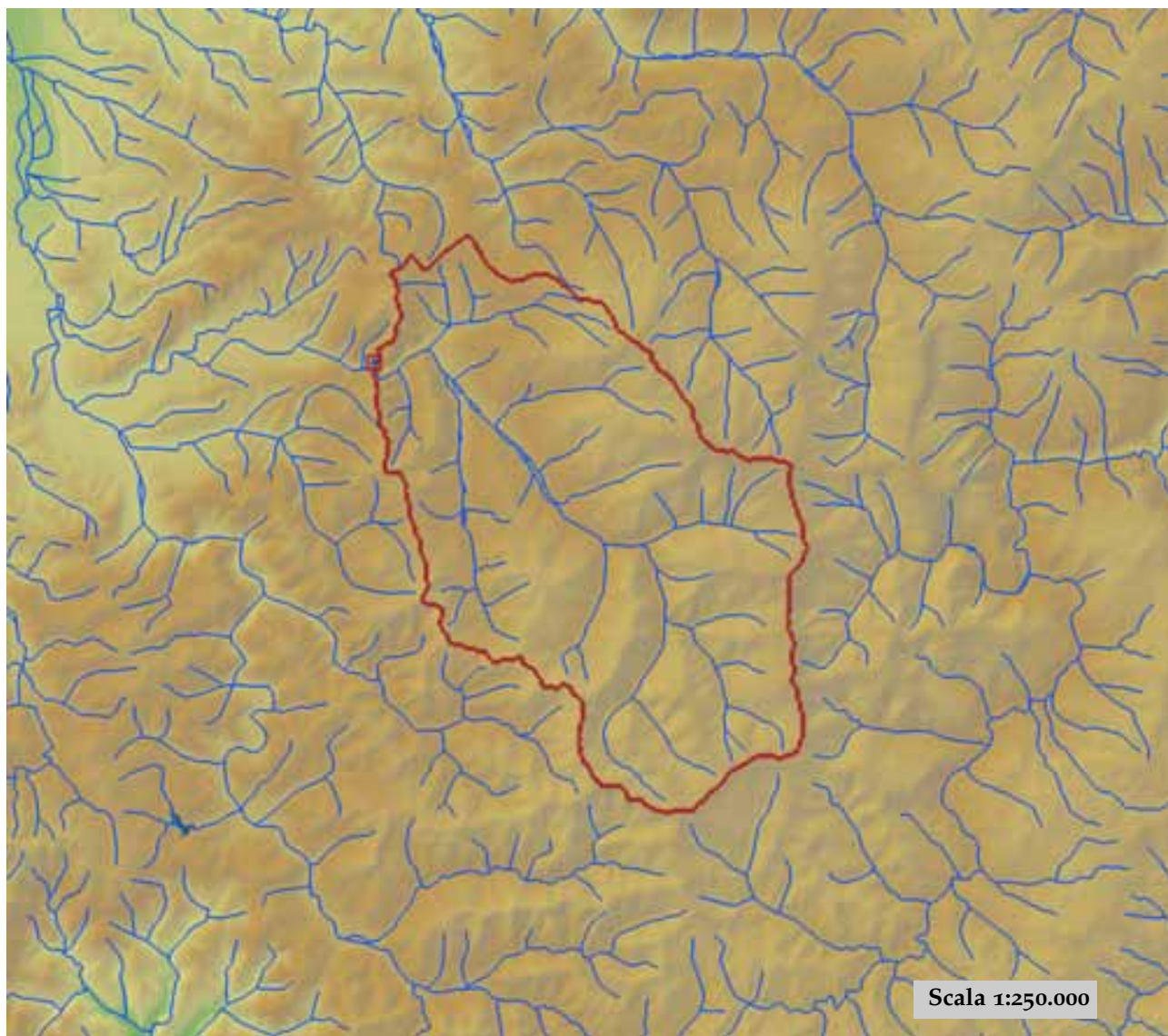


est (UTM ₃₂ N WGS84)	443911	nord (UTM ₃₂ N WGS84)	5107834
est DEM (UTM ₃₂ N WGS84)	444055	nord DEM (UTM ₃₂ N WGS84)	5108045
area bacino	81.48	quota media	1612

quota massima	2667	quota minima	327
curva ipsografica 2,5%	2446	curva ipsografica 5%	2366
curva ipsografica 10%	2263	curva ipsografica 25%	2048
curva ipsografica 50%	1681	curva ipsografica 75%	1198
curva ipsografica 90%	850	curva ipsografica 95%	669
curva ipsografica 97,5%	544	distanza interquartile curva ipsografica	850
angolo di esposizione medio	117	lunghezza vettore orientamento	6.7
pendenza bacino	26.527	pendenza bacino quadrato equivalente	30.022
est baricentro (UTM _{32N} WGS84)	437450	nord baricentro (UTM _{32N} WGS84)	5109250
fattore di forma	0.343	rapporto di allungamento	0.66
media funzione di ampiezza	9343	varianza funzione di ampiezza	1.08×10 ⁷
skewness funzione di ampiezza	-0.445	kurtosis funzione di ampiezza	2.465
rapporto aree medie di due ordini adiacenti	8.049	rapporto di biforcazione	5.5
rapporto lunghezze medie di due ordini adiacenti	5.422	rapporto pendenze medie di due ordini adiacenti	1.941
densità di drenaggio	0.58	diametro topologico	17
lunghezza LDP	15.423	lunghezza asta principale	13.433
lunghezza totale reticolo idrografico	47.2	lunghezza media versanti	757
pendenza media LDP	13	media dell'afflusso totale annuo	1598
deviazione standard dell'afflusso totale annuo	74	media coeff. pluviale orario CPP	20.635
dev. standard coeff. pluviale orario CPP	1.602	media esponente CPP	0.581
dev. standard esponente CPP	0.016	coeff. di intensità	0.013
media LCV piogge 1 ora	0.216	dev. standard LCV piogge 1 ora	0.014
media LCV piogge 3 ore	0.19	dev. standard LCV piogge 3 ore	0.005
media LCV piogge 6 ore	0.165	dev. standard LCV piogge 6 ore	0.004
media LCV piogge 12 ore	0.181	dev. standard LCV piogge 12 ore	0.006
media LCV piogge 24 ore	0.193	dev. standard LCV piogge 24 ore	0.007
media LCA piogge 1 ora	0.179	dev. standard LCA piogge 1 ora	0.048
media LCA piogge 3 ore	0.256	dev. standard LCA piogge 3 ore	0.027
media LCA piogge 6 ore	0.231	dev. standard LCA piogge 6 ore	0.032
media LCA piogge 12 ore	0.242	dev. standard LCA piogge 12 ore	0.022
media LCA piogge 24 ore	0.217	dev. standard LCA piogge 24 ore	0.018
media coeff. B1 regime pluviometrico	-29.8	media coeff. C1 regime pluviometrico	-25.6
media coeff. B2 regime pluviometrico	-9.4	media coeff. C2 regime pluviometrico	-57.3
dev. standard regime pluviometrico	52.6	coeff. variaz. regime pluviometrico	0.369
classe 1 corine land cover	0.03	classe 2 corine land cover	63.83
classe 3 corine land cover	19.94	classe 4 corine land cover	16.26
classe 5 corine land cover	0	media NDVI	0.397
dev. standard NDVI	0.123	media curve number 1	31
media curve number 2	49.1	media curve number 3	67.3
dev. standard curve number 1	13.8	dev. standard curve number 2	15.1
dev. standard curve number 3	13.5	media indice di permeabilità vapi	0.593
dev. standard indice di permeabilità vapi	0.082		



Borbera a Baracche

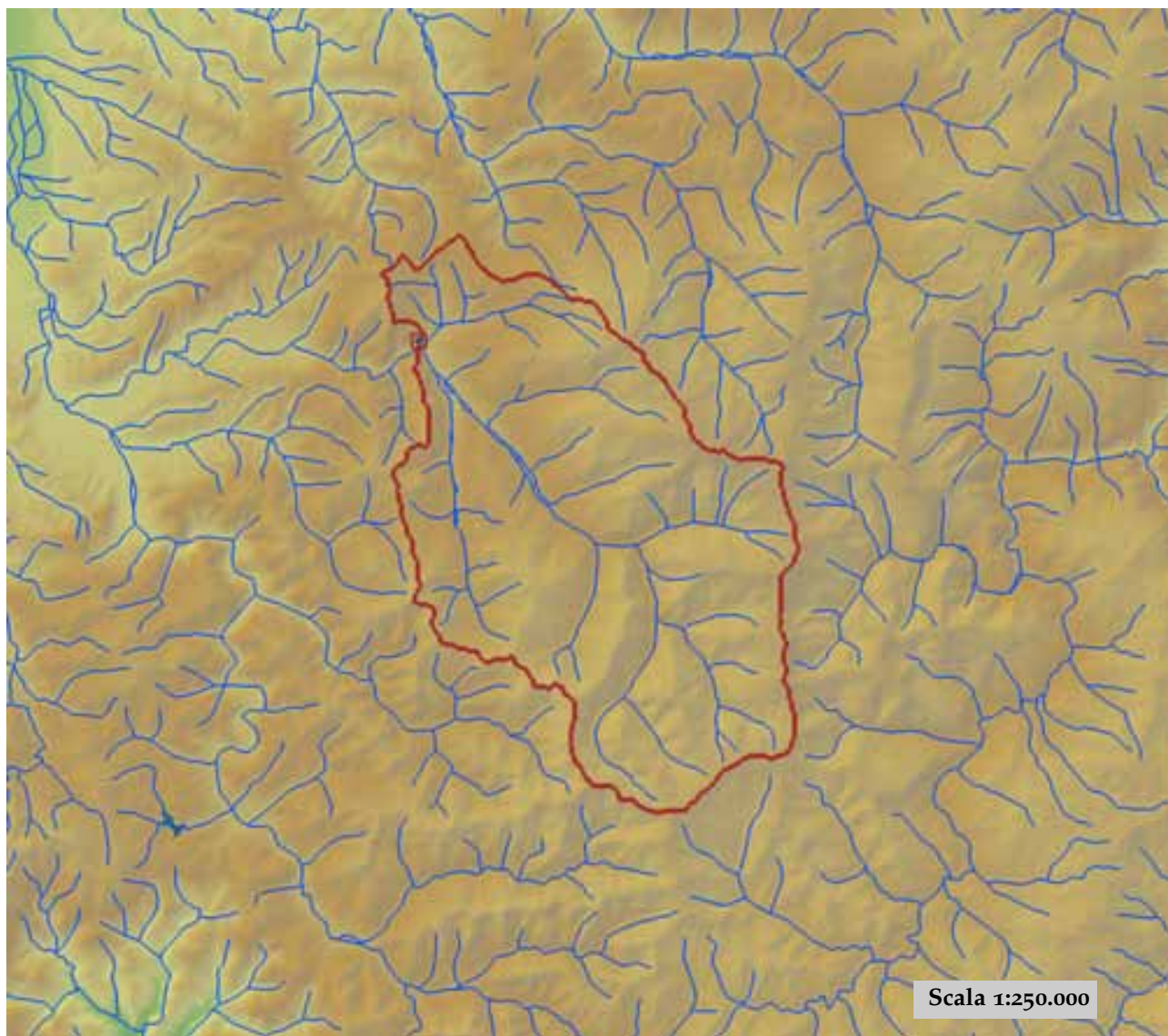


est (UTM ₃₂ N WGS84)	500788	nord (UTM ₃₂ N WGS84)	4951811
est DEM (UTM ₃₂ N WGS84)	500626	nord DEM (UTM ₃₂ N WGS84)	4951965
area bacino	202.42	quota media	862

quota massima	1678	quota minima	338
curva ipsografica 2,5%	1461	curva ipsografica 5%	1390
curva ipsografica 10%	1287	curva ipsografica 25%	1074
curva ipsografica 50%	825	curva ipsografica 75%	618
curva ipsografica 90%	496	curva ipsografica 95%	447
curva ipsografica 97,5%	414	distanza interquartile curva ipsografica	456
angolo di esposizione medio	279	lunghezza vettore orientamento	9,8
pendenza bacino	18.482	pendenza bacino quadrato equivalente	6.86
est baricentro (UTM _{32N} WGS84)	508450	nord baricentro (UTM _{32N} WGS84)	4946050
fattore di forma	0.295	rapporto di allungamento	0.613
media funzione di ampiezza	14707	varianza funzione di ampiezza	4.33×10 ⁷
skewness funzione di ampiezza	-0.033	kurtosis funzione di ampiezza	1.973
rapporto aree medie di due ordini adiacenti	5.13	rapporto di biforcazione	4
rapporto lunghezze medie di due ordini adiacenti	2.8	rapporto pendenze medie di due ordini adiacenti	3.402
densità di drenaggio	0.548	diametro topologico	16
lunghezza LDP	26.198	lunghezza asta principale	24.449
lunghezza totale reticolo idrografico	111	lunghezza media versanti	678
pendenza media LDP	7	media dell'afflusso totale annuo	1281
deviazione standard dell'afflusso totale annuo	211	media coeff. pluviale orario CPP	30.586
dev. standard coeff. pluviale orario CPP	1.906	media esponente CPP	0.392
dev. standard esponente CPP	0.023	coeff. di intensità	0.024
media LCV piogge 1 ora	0.173	dev. standard LCV piogge 1 ora	0.012
media LCV piogge 3 ore	0.194	dev. standard LCV piogge 3 ore	0.016
media LCV piogge 6 ore	0.196	dev. standard LCV piogge 6 ore	0.013
media LCV piogge 12 ore	0.207	dev. standard LCV piogge 12 ore	0.007
media LCV piogge 24 ore	0.211	dev. standard LCV piogge 24 ore	0.005
media LCA piogge 1 ora	0.212	dev. standard LCA piogge 1 ora	0.015
media LCA piogge 3 ore	0.277	dev. standard LCA piogge 3 ore	0.015
media LCA piogge 6 ore	0.222	dev. standard LCA piogge 6 ore	0.014
media LCA piogge 12 ore	0.262	dev. standard LCA piogge 12 ore	0.033
media LCA piogge 24 ore	0.268	dev. standard LCA piogge 24 ore	0.036
media coeff. B1 regime pluviometrico	30	media coeff. C1 regime pluviometrico	-6.2
media coeff. B2 regime pluviometrico	-7	media coeff. C2 regime pluviometrico	-35.2
dev. standard regime pluviometrico	38.1	coeff. variaz. regime pluviometrico	0.341
classe 1 corine land cover	0	classe 2 corine land cover	73.15
classe 3 corine land cover	24.8	classe 4 corine land cover	2.07
classe 5 corine land cover	0	media NDVI	0.599
dev. standard NDVI	0.029	media curve number 1	46.8
media curve number 2	66.2	media curve number 3	81.7
dev. standard curve number 1	6.5	dev. standard curve number 2	7.6
dev. standard curve number 3	8.5	media indice di permeabilità vapi	0.598
dev. standard indice di permeabilità vapi	0.032		

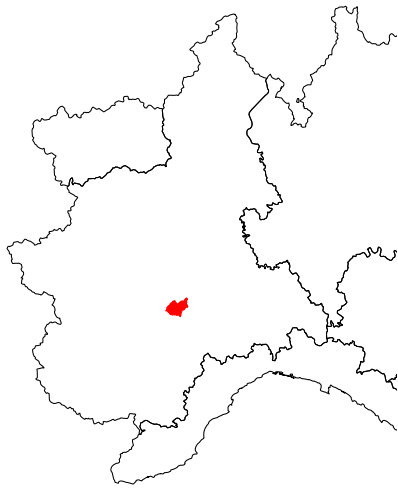


Borbera a Pertuso

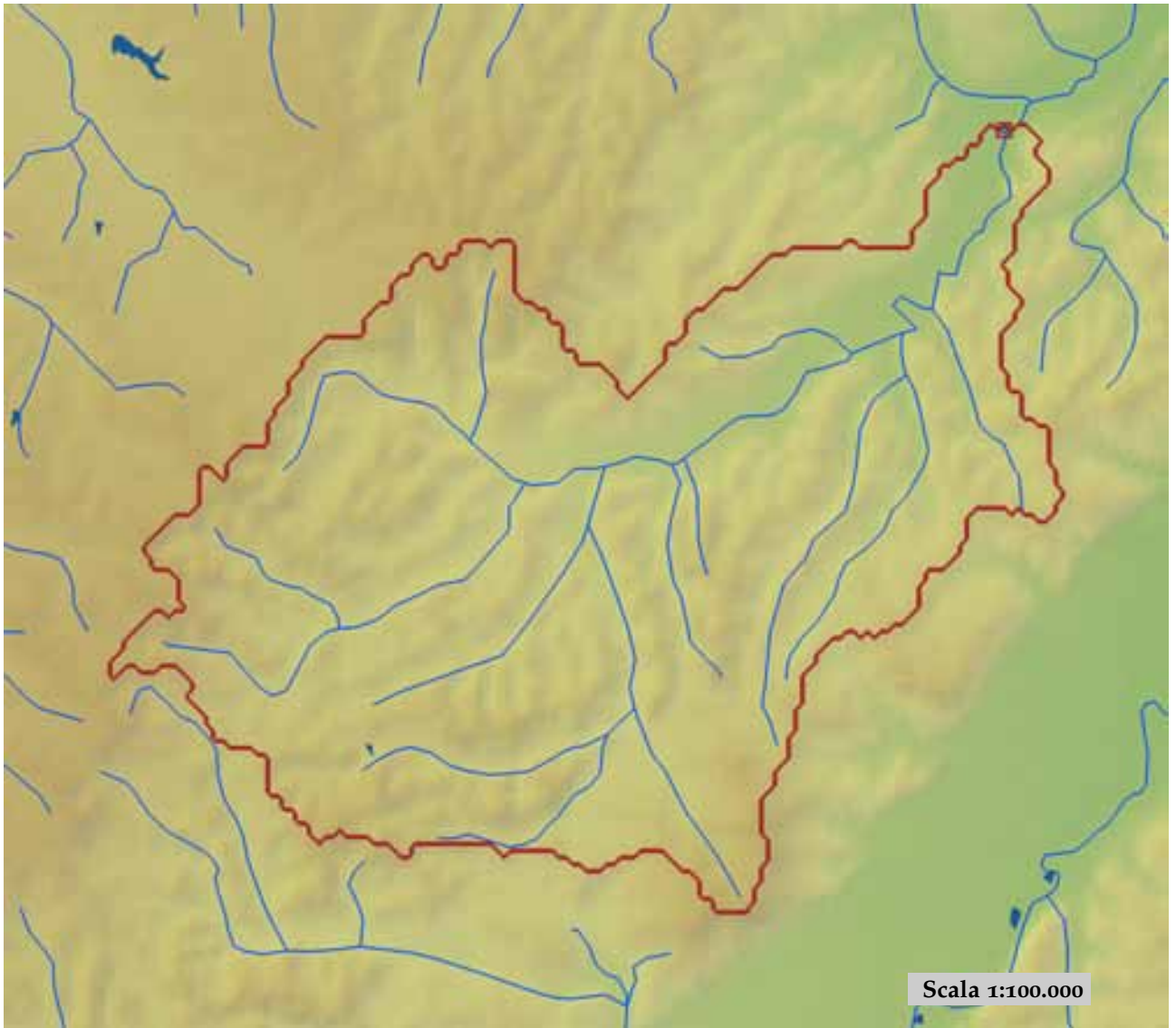


est (UTM ₃₂ N WGS84)	502162	nord (UTM ₃₂ N WGS84)	4952371
est DEM (UTM ₃₂ N WGS84)	502551	nord DEM (UTM ₃₂ N WGS84)	4952768
area bacino	193.48	quota media	875

quota massima	1678	quota minima	353
curva ipsografica 2,5%	1464	curva ipsografica 5%	1394
curva ipsografica 10%	1295	curva ipsografica 25%	1087
curva ipsografica 50%	847	curva ipsografica 75%	631
curva ipsografica 90%	502	curva ipsografica 95%	453
curva ipsografica 97,5%	419	distanza interquartile curva ipsografica	456
angolo di esposizione medio	277	lunghezza vettore orientamento	9.4
pendenza bacino	18.394	pendenza bacino quadrato equivalente	7.117
est baricentro (UTM _{32N} WGS84)	508850	nord baricentro (UTM _{32N} WGS84)	4945850
fattore di forma	0.345	rapporto di allungamento	0.663
media funzione di ampiezza	12738	varianza funzione di ampiezza	3.85×10^7
skewness funzione di ampiezza	0.023	kurtosis funzione di ampiezza	1.911
rapporto aree medie di due ordini adiacenti	5.214	rapporto di biforcazione	3.958
rapporto lunghezze medie di due ordini adiacenti	2.856	rapporto pendenze medie di due ordini adiacenti	3.425
densità di drenaggio	0.546	diametro topologico	15
lunghezza LDP	23.684	lunghezza asta principale	21.935
lunghezza totale reticolo idrografico	105.6	lunghezza media versanti	684
pendenza media LDP	8	media dell'afflusso totale annuo	1289
deviazione standard dell'afflusso totale annuo	210	media coeff. pluviale orario CPP	30.641
dev. standard coeff. pluviale orario CPP	1.905	media esponente CPP	0.393
dev. standard esponente CPP	0.023	coeff. di intensità	0.024
media LCV piogge 1 ora	0.171	dev. standard LCV piogge 1 ora	0.01
media LCV piogge 3 ore	0.192	dev. standard LCV piogge 3 ore	0.014
media LCV piogge 6 ore	0.195	dev. standard LCV piogge 6 ore	0.012
media LCV piogge 12 ore	0.206	dev. standard LCV piogge 12 ore	0.006
media LCV piogge 24 ore	0.21	dev. standard LCV piogge 24 ore	0.005
media LCA piogge 1 ora	0.212	dev. standard LCA piogge 1 ora	0.014
media LCA piogge 3 ore	0.277	dev. standard LCA piogge 3 ore	0.015
media LCA piogge 6 ore	0.222	dev. standard LCA piogge 6 ore	0.014
media LCA piogge 12 ore	0.265	dev. standard LCA piogge 12 ore	0.031
media LCA piogge 24 ore	0.271	dev. standard LCA piogge 24 ore	0.033
media coeff. B1 regime pluviometrico	30.1	media coeff. C1 regime pluviometrico	-6.1
media coeff. B2 regime pluviometrico	-6.9	media coeff. C2 regime pluviometrico	-35.5
dev. standard regime pluviometrico	38.3	coeff. variaz. regime pluviometrico	0.341
classe 1 corine land cover	0	classe 2 corine land cover	71.93
classe 3 corine land cover	25.93	classe 4 corine land cover	2.17
classe 5 corine land cover	0	media NDVI	0.6
dev. standard NDVI	0.029	media curve number 1	47
media curve number 2	66.4	media curve number 3	81.8
dev. standard curve number 1	6.6	dev. standard curve number 2	7.8
dev. standard curve number 3	8.6	media indice di permeabilità vapi	0.601
dev. standard indice di permeabilità vapi	0.005		



Borbore a San Damiano d'Asti

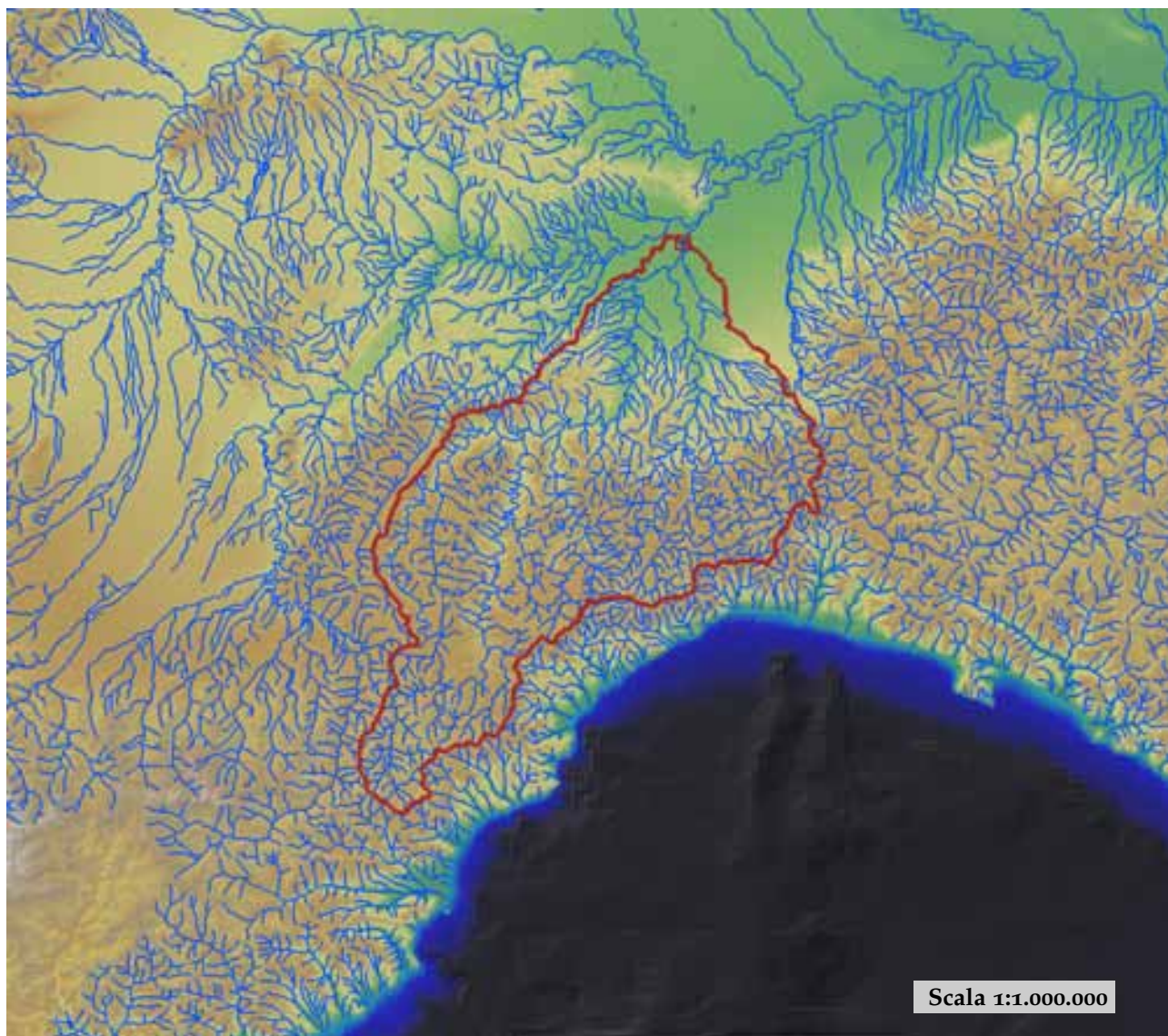


est (UTM _{32N} WGS84)	427419	nord (UTM _{32N} WGS84)	4965805
est DEM (UTM _{32N} WGS84)	427048	nord DEM (UTM _{32N} WGS84)	4965813
area bacino	85,31	quota media	244

quota massima	410	quota minima	146
curva ipsografica 2,5%	355	curva ipsografica 5%	336
curva ipsografica 10%	312	curva ipsografica 25%	274
curva ipsografica 50%	238	curva ipsografica 75%	207
curva ipsografica 90%	181	curva ipsografica 95%	167
curva ipsografica 97,5%	159	distanza interquartile curva ipsografica	67
angolo di esposizione medio	38	lunghezza vettore orientamento	8.5
pendenza bacino	6.98	pendenza bacino quadrato equivalente	2.014
est baricentro (UTM _{32N} WGS84)	421050	nord baricentro (UTM _{32N} WGS84)	4959850
fattore di forma	0.301	rapporto di allungamento	0.619
media funzione di ampiezza	11733	varianza funzione di ampiezza	2.06×10 ⁷
skewness funzione di ampiezza	-0.441	kurtosis funzione di ampiezza	2.251
rapporto aree medie di due ordini adiacenti	4.062	rapporto di biforcazione	4.6
rapporto lunghezze medie di due ordini adiacenti	1.065	rapporto pendenze medie di due ordini adiacenti	1.9
densità di drenaggio	0.784	diametro topologico	15
lunghezza LDP	16.841	lunghezza asta principale	15.492
lunghezza totale reticolo idrografico	66.9	lunghezza media versanti	582
pendenza media LDP	1	media dell'afflusso totale annuo	707
deviazione standard dell'afflusso totale annuo	23	media coeff. pluviale orario CPP	24.438
dev. standard coeff. pluviale orario CPP	1.042	media esponente CPP	0.284
dev. standard esponente CPP	0.017	coeff. di intensità	0.035
media LCV piogge 1 ora	0.172	dev. standard LCV piogge 1 ora	0.007
media LCV piogge 3 ore	0.159	dev. standard LCV piogge 3 ore	0.006
media LCV piogge 6 ore	0.174	dev. standard LCV piogge 6 ore	0.006
media LCV piogge 12 ore	0.18	dev. standard LCV piogge 12 ore	0.008
media LCV piogge 24 ore	0.173	dev. standard LCV piogge 24 ore	0.007
media LCA piogge 1 ora	0.133	dev. standard LCA piogge 1 ora	0.019
media LCA piogge 3 ore	0.213	dev. standard LCA piogge 3 ore	0.03
media LCA piogge 6 ore	0.291	dev. standard LCA piogge 6 ore	0.026
media LCA piogge 12 ore	0.333	dev. standard LCA piogge 12 ore	0.016
media LCA piogge 24 ore	0.307	dev. standard LCA piogge 24 ore	0.01
media coeff. B1 regime pluviometrico	-6.7	media coeff. C1 regime pluviometrico	-1.8
media coeff. B2 regime pluviometrico	0.8	media coeff. C2 regime pluviometrico	-24.2
dev. standard regime pluviometrico	20.8	coeff. variaz. regime pluviometrico	0.318
classe 1 corine land cover	5.1	classe 2 corine land cover	16.92
classe 3 corine land cover	78.02	classe 4 corine land cover	0
classe 5 corine land cover	0	media NDVI	0.528
dev. standard NDVI	0.024	media curve number 1	53.7
media curve number 2	72.6	media curve number 3	86.7
dev. standard curve number 1	4.4	dev. standard curve number 2	3.9
dev. standard curve number 3	2.8	media indice di permeabilità vapi	0.397
dev. standard indice di permeabilità vapi	0.075		

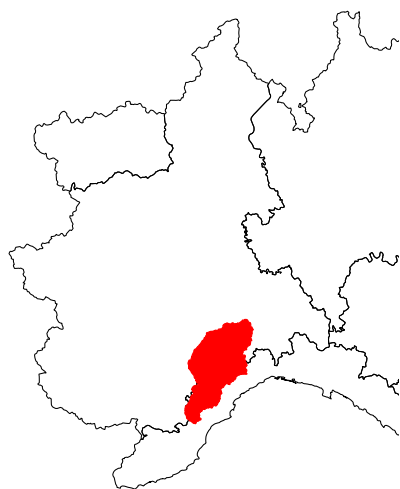


Bormida a Alessandria

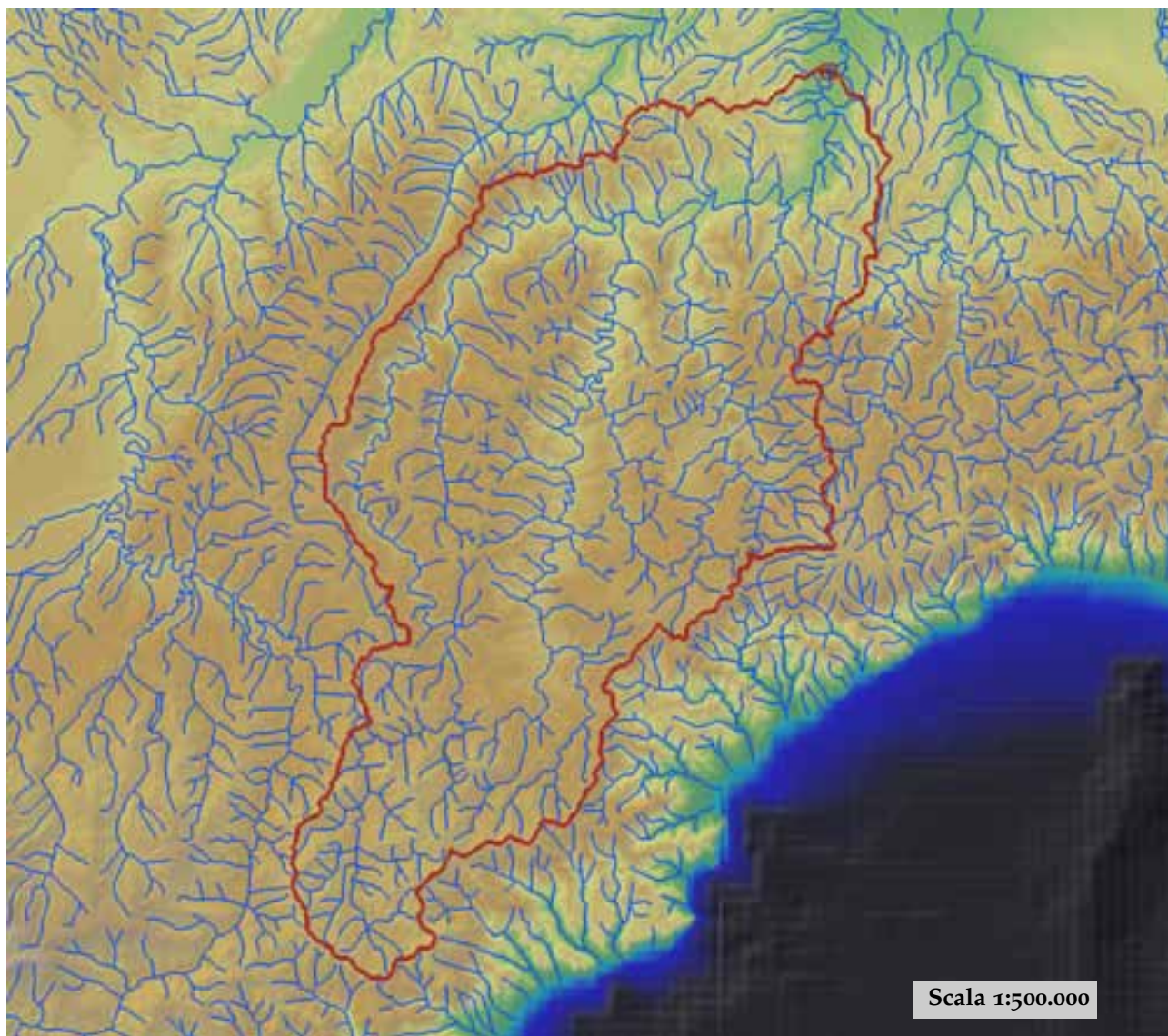


est (UTM _{32N} WGS84)	472015	nord (UTM _{32N} WGS84)	4972514
est DEM (UTM _{32N} WGS84)	471958	nord DEM (UTM _{32N} WGS84)	4972463
area bacino	2593.82	quota media	440

quota massima	1381	quota minima	82
curva ipsografica 2,5%	983	curva ipsografica 5%	878
curva ipsografica 10%	768	curva ipsografica 25%	591
curva ipsografica 50%	410	curva ipsografica 75%	249
curva ipsografica 90%	141	curva ipsografica 95%	113
curva ipsografica 97,5%	101	distanza interquartile curva ipsografica	342
angolo di esposizione medio	354	lunghezza vettore orientamento	40.7
pendenza bacino	10.009	pendenza bacino quadrato equivalente	1.292
est baricentro (UTM _{32N} WGS84)	457150	nord baricentro (UTM _{32N} WGS84)	4934550
fattore di forma	0.091	rapporto di allungamento	0.34
media funzione di ampiezza	73702	varianza funzione di ampiezza	1.50×10 ⁹
skewness funzione di ampiezza	0.458	kurtosis funzione di ampiezza	2.504
rapporto aree medie di due ordini adiacenti	4.964	rapporto di biforcazione	4.354
rapporto lunghezze medie di due ordini adiacenti	2.428	rapporto pendenze medie di due ordini adiacenti	2.451
densità di drenaggio	0.711	diametro topologico	132
lunghezza LDP	168.872	lunghezza asta principale	167.407
lunghezza totale reticolo idrografico	1845.3	lunghezza media versanti	621
pendenza media LDP	3	media dell'afflusso totale annuo	1056
deviazione standard dell'afflusso totale annuo	297	media coeff. pluviale orario CPP	28.846
dev. standard coeff. pluviale orario CPP	4.219	media esponente CPP	0.401
dev. standard esponente CPP	0.048	coeff. di intensità	0.027
media LCV piogge 1 ora	0.185	dev. standard LCV piogge 1 ora	0.02
media LCV piogge 3 ore	0.215	dev. standard LCV piogge 3 ore	0.022
media LCV piogge 6 ore	0.212	dev. standard LCV piogge 6 ore	0.021
media LCV piogge 12 ore	0.213	dev. standard LCV piogge 12 ore	0.023
media LCV piogge 24 ore	0.213	dev. standard LCV piogge 24 ore	0.019
media LCA piogge 1 ora	0.143	dev. standard LCA piogge 1 ora	0.059
media LCA piogge 3 ore	0.24	dev. standard LCA piogge 3 ore	0.04
media LCA piogge 6 ore	0.247	dev. standard LCA piogge 6 ore	0.038
media LCA piogge 12 ore	0.26	dev. standard LCA piogge 12 ore	0.049
media LCA piogge 24 ore	0.243	dev. standard LCA piogge 24 ore	0.039
media coeff. B1 regime pluviometrico	22.5	media coeff. C1 regime pluviometrico	-2.8
media coeff. B2 regime pluviometrico	-8.3	media coeff. C2 regime pluviometrico	-38.9
dev. standard regime pluviometrico	35.2	coeff. variaz. regime pluviometrico	0.38
classe 1 corine land cover	2.12	classe 2 corine land cover	51.45
classe 3 corine land cover	44.6	classe 4 corine land cover	1.4
classe 5 corine land cover	0.44	media NDVI	0.579
dev. standard NDVI	0.055	media curve number 1	48.4
media curve number 2	67.6	media curve number 3	83
dev. standard curve number 1	7.7	dev. standard curve number 2	6.9
dev. standard curve number 3	5.3	media indice di permeabilità vapi	0.532
dev. standard indice di permeabilità vapi	0.188		



Bormida a Cassine (Presa Canale Carlo Alberto)

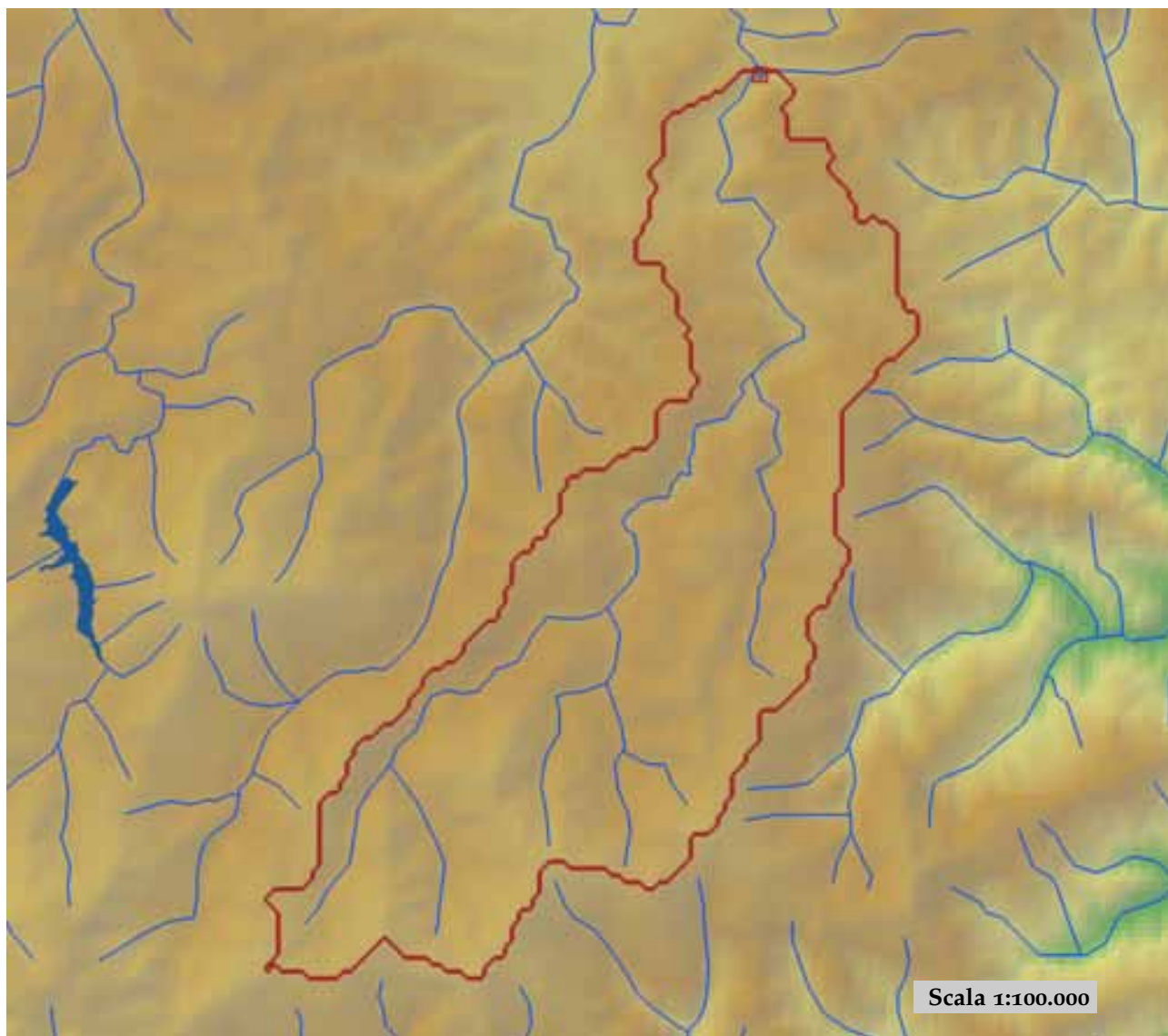


est (UTM _{32N} WGS84)	463786	nord (UTM _{32N} WGS84)	4955433
est DEM (UTM _{32N} WGS84)	463751	nord DEM (UTM _{32N} WGS84)	4955550
area bacino	1516.25	quota media	493

quota massima	1381	quota minima	114
curva ipsografica 2,5%	1013	curva ipsografica 5%	905
curva ipsografica 10%	784	curva ipsografica 25%	615
curva ipsografica 50%	458	curva ipsografica 75%	341
curva ipsografica 90%	239	curva ipsografica 95%	189
curva ipsografica 97,5%	156	distanza interquartile curva ipsografica	274
angolo di esposizione medio	360	lunghezza vettore orientamento	34.3
pendenza bacino	11.441	pendenza bacino quadrato equivalente	1.772
est baricentro (UTM _{32N} WGS84)	445350	nord baricentro (UTM _{32N} WGS84)	4926550
fattore di forma	0.079	rapporto di allungamento	0.318
media funzione di ampiezza	65971	varianza funzione di ampiezza	1.05×10 ⁹
skewness funzione di ampiezza	0.286	kurtosis funzione di ampiezza	2.375
rapporto aree medie di due ordini adiacenti	5.629	rapporto di biforcazione	5.151
rapporto lunghezze medie di due ordini adiacenti	3.346	rapporto pendenze medie di due ordini adiacenti	2.441
densità di drenaggio	0.667	diametro topologico	109
lunghezza LDP	138.228	lunghezza asta principale	136.762
lunghezza totale reticolo idrografico	1011.7	lunghezza media versanti	625
pendenza media LDP	3	media dell'afflusso totale annuo	997
deviazione standard dell'afflusso totale annuo	193	media coeff. pluviale orario CPP	27.276
dev. standard coeff. pluviale orario CPP	2.798	media esponente CPP	0.402
dev. standard esponente CPP	0.043	coeff. di intensità	0.027
media LCV piogge 1 ora	0.185	dev. standard LCV piogge 1 ora	0.022
media LCV piogge 3 ore	0.211	dev. standard LCV piogge 3 ore	0.021
media LCV piogge 6 ore	0.204	dev. standard LCV piogge 6 ore	0.017
media LCV piogge 12 ore	0.201	dev. standard LCV piogge 12 ore	0.016
media LCV piogge 24 ore	0.204	dev. standard LCV piogge 24 ore	0.013
media LCA piogge 1 ora	0.135	dev. standard LCA piogge 1 ora	0.062
media LCA piogge 3 ore	0.24	dev. standard LCA piogge 3 ore	0.041
media LCA piogge 6 ore	0.235	dev. standard LCA piogge 6 ore	0.039
media LCA piogge 12 ore	0.236	dev. standard LCA piogge 12 ore	0.048
media LCA piogge 24 ore	0.223	dev. standard LCA piogge 24 ore	0.033
media coeff. B1 regime pluviometrico	17.5	media coeff. C1 regime pluviometrico	-1.3
media coeff. B2 regime pluviometrico	-6.7	media coeff. C2 regime pluviometrico	-38.7
dev. standard regime pluviometrico	33.1	coeff. variaz. regime pluviometrico	0.374
classe 1 corine land cover	1.65	classe 2 corine land cover	58.21
classe 3 corine land cover	39.5	classe 4 corine land cover	0.38
classe 5 corine land cover	0.26	media NDVI	0.597
dev. standard NDVI	0.042	media curve number 1	48.1
media curve number 2	67.4	media curve number 3	82.9
dev. standard curve number 1	7.1	dev. standard curve number 2	6.2
dev. standard curve number 3	4.5	media indice di permeabilità vapi	0.526
dev. standard indice di permeabilità vapi	0.143		



Bormida di Mallare a Ferrania

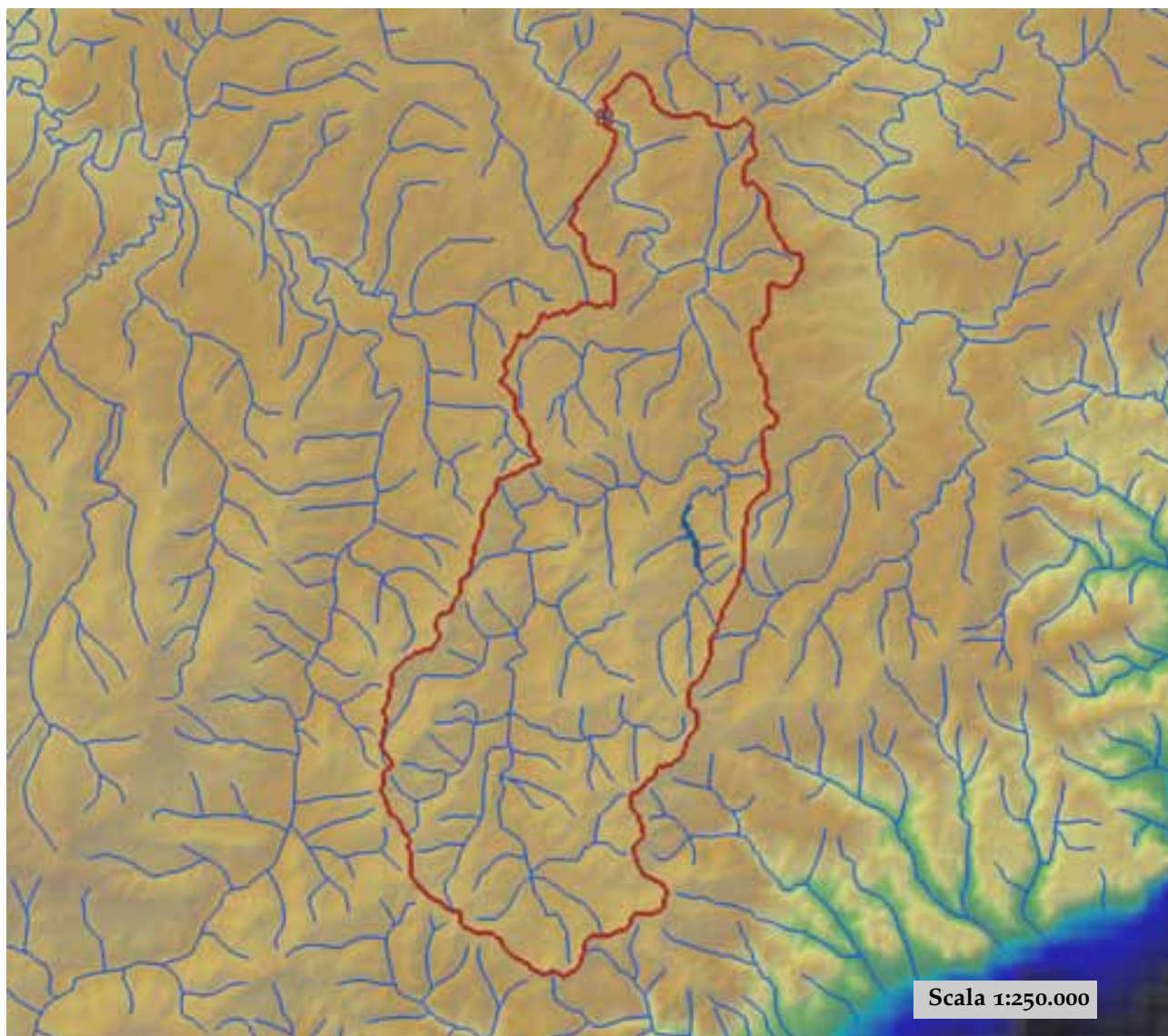


est (UTM ₃₂ N WGS84)	446089	nord (UTM ₃₂ N WGS84)	4912508
est DEM (UTM ₃₂ N WGS84)	446013	nord DEM (UTM ₃₂ N WGS84)	4912537
area bacino	50.4	quota media	604

quota massima	1038	quota minima	362
curva ipsografica 2,5%	918	curva ipsografica 5%	880
curva ipsografica 10%	829	curva ipsografica 25%	696
curva ipsografica 50%	582	curva ipsografica 75%	481
curva ipsografica 90%	430	curva ipsografica 95%	402
curva ipsografica 97,5%	385	distanza interquartile curva ipsografica	215
angolo di esposizione medio	348	lunghezza vettore orientamento	7.5
pendenza bacino	13.56	pendenza bacino quadrato equivalente	6.226
est baricentro (UTM _{32N} WGS84)	444150	nord baricentro (UTM _{32N} WGS84)	4905250
fattore di forma	0.135	rapporto di allungamento	0.415
media funzione di ampiezza	10953	varianza funzione di ampiezza	2.47×10 ⁷
skewness funzione di ampiezza	-0.172	kurtosis funzione di ampiezza	2.087
rapporto aree medie di due ordini adiacenti	4.134	rapporto di biforcazione	5
rapporto lunghezze medie di due ordini adiacenti	2.628	rapporto pendenze medie di due ordini adiacenti	2.416
densità di drenaggio	0.661	diametro topologico	8
lunghezza LDP	19.304	lunghezza asta principale	17.955
lunghezza totale reticolo idrografico	33.3	lunghezza media versanti	587
pendenza media LDP	5	media dell'afflusso totale annuo	1304
deviazione standard dell'afflusso totale annuo	58	media coeff. pluviale orario CPP	29.154
dev. standard coeff. pluviale orario CPP	1.37	media esponente CPP	0.447
dev. standard esponente CPP	0.009	coeff. di intensità	0.022
media LCV piogge 1 ora	0.174	dev. standard LCV piogge 1 ora	0.011
media LCV piogge 3 ore	0.201	dev. standard LCV piogge 3 ore	0.008
media LCV piogge 6 ore	0.189	dev. standard LCV piogge 6 ore	0.008
media LCV piogge 12 ore	0.184	dev. standard LCV piogge 12 ore	0.008
media LCV piogge 24 ore	0.188	dev. standard LCV piogge 24 ore	0.007
media LCA piogge 1 ora	0.164	dev. standard LCA piogge 1 ora	0.048
media LCA piogge 3 ore	0.287	dev. standard LCA piogge 3 ore	0.021
media LCA piogge 6 ore	0.241	dev. standard LCA piogge 6 ore	0.021
media LCA piogge 12 ore	0.22	dev. standard LCA piogge 12 ore	0.021
media LCA piogge 24 ore	0.205	dev. standard LCA piogge 24 ore	0.01
media coeff. B1 regime pluviometrico	36.8	media coeff. C1 regime pluviometrico	-1.3
media coeff. B2 regime pluviometrico	-11.4	media coeff. C2 regime pluviometrico	-56.9
dev. standard regime pluviometrico	52.7	coeff. variaz. regime pluviometrico	0.439
classe 1 corine land cover	7.37	classe 2 corine land cover	89.02
classe 3 corine land cover	3.69	classe 4 corine land cover	0
classe 5 corine land cover	0	media NDVI	0.65
dev. standard NDVI	0.035	media curve number 1	46.7
media curve number 2	66.6	media curve number 3	82.4
dev. standard curve number 1	2.5	dev. standard curve number 2	2.1
dev. standard curve number 3	1.4	media indice di permeabilità vapi	0.63
dev. standard indice di permeabilità vapi	0.138		



Bormida di Millesimo a Camerana

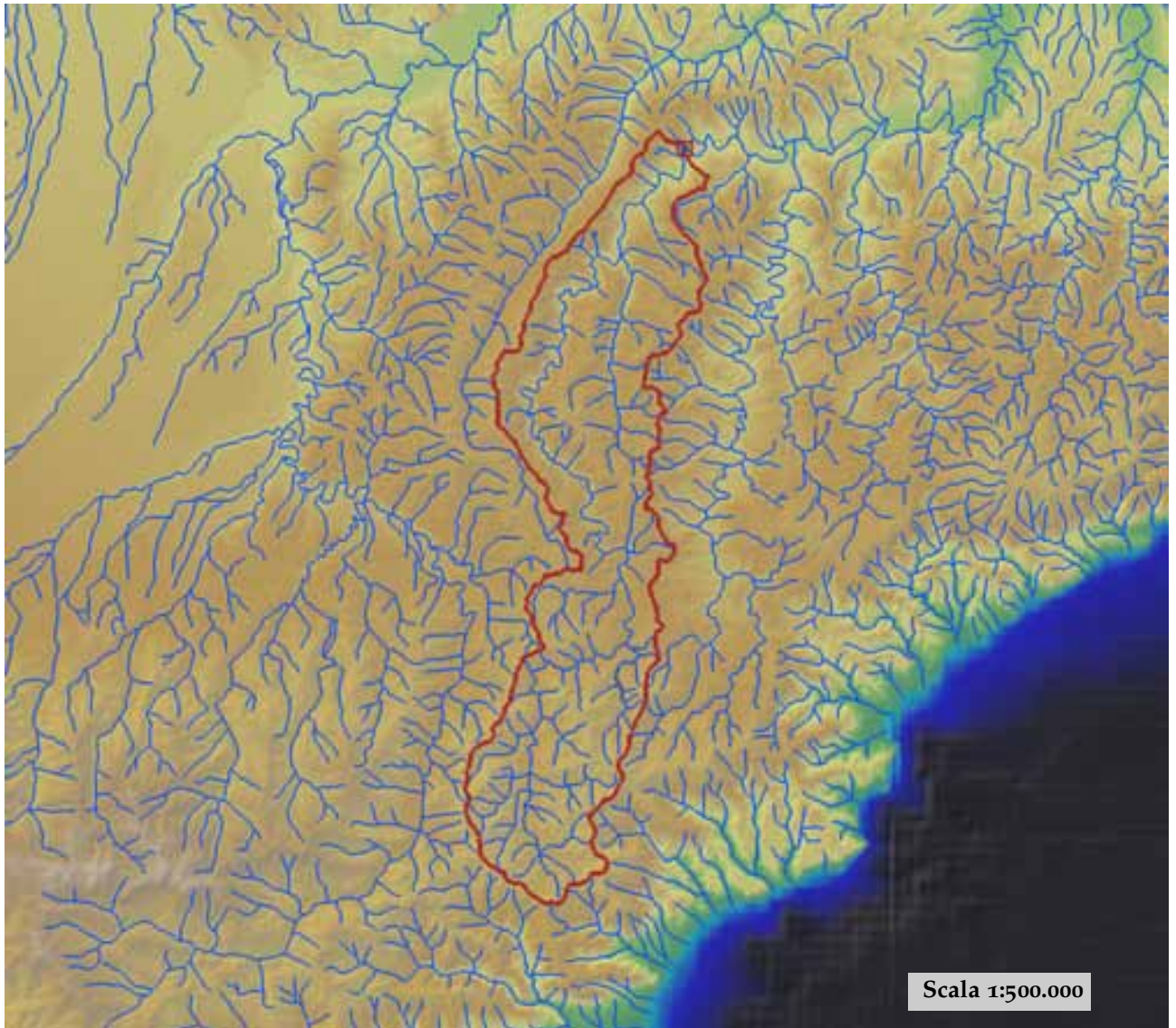


est (UTM ₃₂ N WGS84)	432905	nord (UTM ₃₂ N WGS84)	4920644
est DEM (UTM ₃₂ N WGS84)	432855	nord DEM (UTM ₃₂ N WGS84)	4920757
area bacino	262.75	quota media	767

quota massima	1369	quota minima	366
curva ipsografica 2,5%	1171	curva ipsografica 5%	1119
curva ipsografica 10%	1046	curva ipsografica 25%	904
curva ipsografica 50%	753	curva ipsografica 75%	616
curva ipsografica 90%	503	curva ipsografica 95%	455
curva ipsografica 97,5%	419	distanza interquartile curva ipsografica	288
angolo di esposizione medio	357	lunghezza vettore orientamento	15.8
pendenza bacino	14.286	pendenza bacino quadrato equivalente	4.787
est baricentro (UTM _{32N} WGS84)	432550	nord baricentro (UTM _{32N} WGS84)	4904950
fattore di forma	0.1	rapporto di allungamento	0.357
media funzione di ampiezza	29627	varianza funzione di ampiezza	1.80×10 ⁸
skewness funzione di ampiezza	-0.275	kurtosis funzione di ampiezza	1.992
rapporto aree medie di due ordini adiacenti	6.644	rapporto di biforcazione	5.745
rapporto lunghezze medie di due ordini adiacenti	3.601	rapporto pendenze medie di due ordini adiacenti	2.419
densità di drenaggio	0.64	diametro topologico	35
lunghezza LDP	51.299	lunghezza asta principale	49.833
lunghezza totale reticolo idrografico	168.2	lunghezza media versanti	626
pendenza media LDP	5	media dell'afflusso totale annuo	1130
deviazione standard dell'afflusso totale annuo	115	media coeff. pluviale orario CPP	25.361
dev. standard coeff. pluviale orario CPP	1.172	media esponente CPP	0.454
dev. standard esponente CPP	0.024	coeff. di intensità	0.022
media LCV piogge 1 ora	0.184	dev. standard LCV piogge 1 ora	0.019
media LCV piogge 3 ore	0.204	dev. standard LCV piogge 3 ore	0.02
media LCV piogge 6 ore	0.195	dev. standard LCV piogge 6 ore	0.012
media LCV piogge 12 ore	0.2	dev. standard LCV piogge 12 ore	0.009
media LCV piogge 24 ore	0.204	dev. standard LCV piogge 24 ore	0.008
media LCA piogge 1 ora	0.213	dev. standard LCA piogge 1 ora	0.058
media LCA piogge 3 ore	0.269	dev. standard LCA piogge 3 ore	0.043
media LCA piogge 6 ore	0.241	dev. standard LCA piogge 6 ore	0.041
media LCA piogge 12 ore	0.247	dev. standard LCA piogge 12 ore	0.031
media LCA piogge 24 ore	0.231	dev. standard LCA piogge 24 ore	0.024
media coeff. B1 regime pluviometrico	20.2	media coeff. C1 regime pluviometrico	-3
media coeff. B2 regime pluviometrico	-4.9	media coeff. C2 regime pluviometrico	-45.3
dev. standard regime pluviometrico	38.6	coeff. variaz. regime pluviometrico	0.411
classe 1 corine land cover	1.82	classe 2 corine land cover	82.41
classe 3 corine land cover	15.53	classe 4 corine land cover	0
classe 5 corine land cover	0.26	media NDVI	0.63
dev. standard NDVI	0.028	media curve number 1	46.5
media curve number 2	66.2	media curve number 3	82
dev. standard curve number 1	5	dev. standard curve number 2	5
dev. standard curve number 3	4.8	media indice di permeabilità vapi	0.513
dev. standard indice di permeabilità vapi	0.171		



Bormida di Millesimo a Cessole

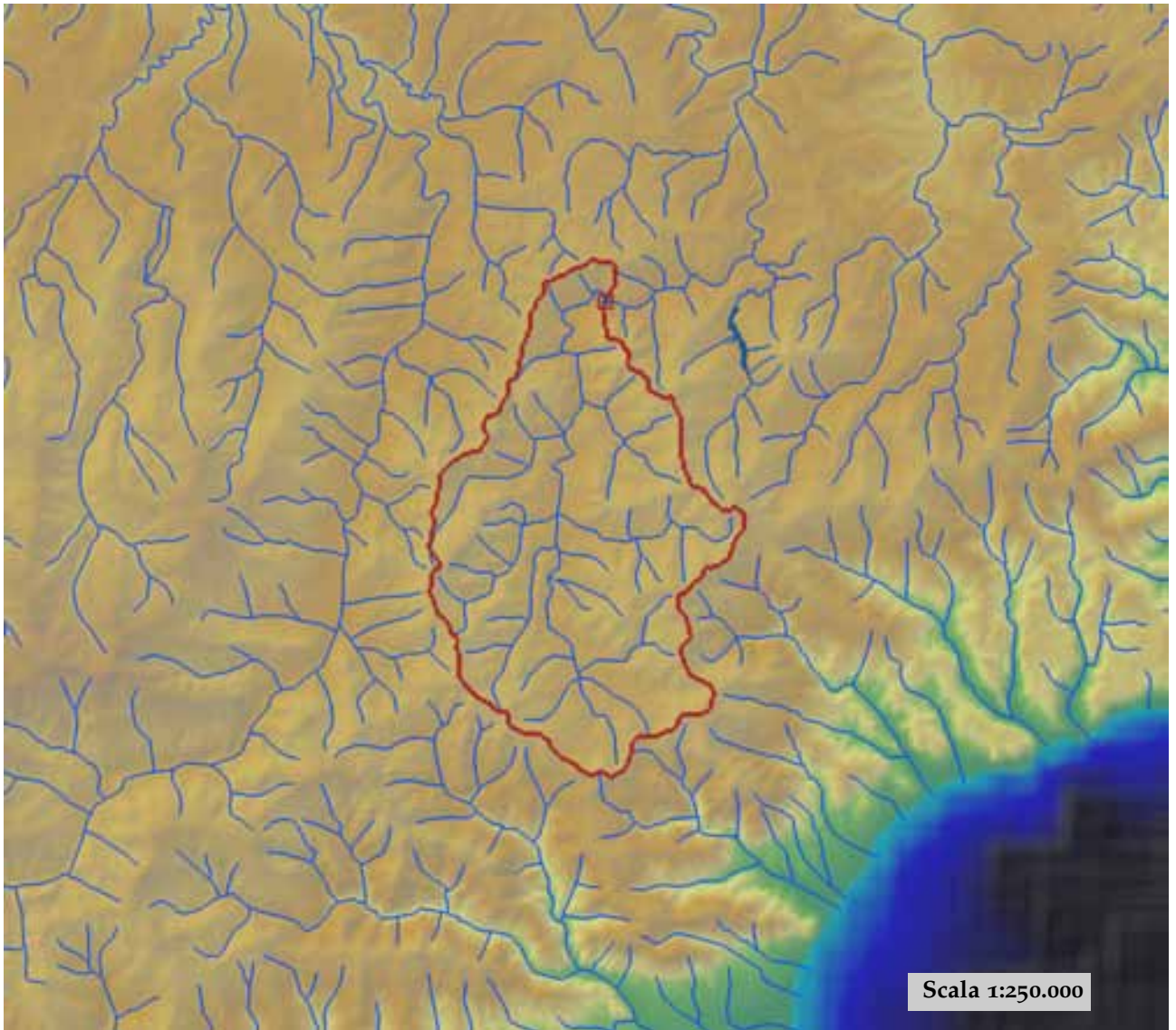


est (UTM ₃₂ N WGS84)	440472	nord (UTM ₃₂ N WGS84)	4944272
est DEM (UTM ₃₂ N WGS84)	440750	nord DEM (UTM ₃₂ N WGS84)	4944648
area bacino	495.82	quota media	647

quota massima	1369	quota minima	200
curva ipsografica 2,5%	1124	curva ipsografica 5%	1053
curva ipsografica 10%	954	curva ipsografica 25%	778
curva ipsografica 50%	623	curva ipsografica 75%	492
curva ipsografica 90%	382	curva ipsografica 95%	326
curva ipsografica 97,5%	281	distanza interquartile curva ipsografica	286
angolo di esposizione medio	356	lunghezza vettore orientamento	28.2
pendenza bacino	13.993	pendenza bacino quadrato equivalente	3.808
est baricentro (UTM _{32N} WGS84)	433650	nord baricentro (UTM _{32N} WGS84)	4917350
fattore di forma	0.058	rapporto di allungamento	0.271
media funzione di ampiezza	48366	varianza funzione di ampiezza	7.29×10 ⁸
skewness funzione di ampiezza	0.035	kurtosis funzione di ampiezza	1.602
rapporto aree medie di due ordini adiacenti	6.788	rapporto di biforcazione	6.633
rapporto lunghezze medie di due ordini adiacenti	3.732	rapporto pendenze medie di due ordini adiacenti	2.533
densità di drenaggio	0.633	diametro topologico	72
lunghezza LDP	92.809	lunghezza asta principale	91.343
lunghezza totale reticolo idrografico	313.8	lunghezza media versanti	635
pendenza media LDP	4	media dell'afflusso totale annuo	991
deviazione standard dell'afflusso totale annuo	175	media coeff. pluviale orario CPP	25.293
dev. standard coeff. pluviale orario CPP	1.233	media esponente CPP	0.405
dev. standard esponente CPP	0.057	coeff. di intensità	0.026
media LCV piogge 1 ora	0.175	dev. standard LCV piogge 1 ora	0.02
media LCV piogge 3 ore	0.195	dev. standard LCV piogge 3 ore	0.019
media LCV piogge 6 ore	0.193	dev. standard LCV piogge 6 ore	0.012
media LCV piogge 12 ore	0.194	dev. standard LCV piogge 12 ore	0.011
media LCV piogge 24 ore	0.202	dev. standard LCV piogge 24 ore	0.008
media LCA piogge 1 ora	0.151	dev. standard LCA piogge 1 ora	0.085
media LCA piogge 3 ore	0.238	dev. standard LCA piogge 3 ore	0.046
media LCA piogge 6 ore	0.233	dev. standard LCA piogge 6 ore	0.039
media LCA piogge 12 ore	0.231	dev. standard LCA piogge 12 ore	0.032
media LCA piogge 24 ore	0.224	dev. standard LCA piogge 24 ore	0.024
media coeff. B1 regime pluviometrico	13.2	media coeff. C1 regime pluviometrico	-1.2
media coeff. B2 regime pluviometrico	-4.8	media coeff. C2 regime pluviometrico	-38.2
dev. standard regime pluviometrico	31.6	coeff. variaz. regime pluviometrico	0.365
classe 1 corine land cover	1.28	classe 2 corine land cover	67.58
classe 3 corine land cover	31.01	classe 4 corine land cover	0
classe 5 corine land cover	0.14	media NDVI	0.616
dev. standard NDVI	0.028	media curve number 1	46.5
media curve number 2	66	media curve number 3	81.8
dev. standard curve number 1	6.8	dev. standard curve number 2	6.4
dev. standard curve number 3	5.1	media indice di permeabilità vapi	0.541
dev. standard indice di permeabilità vapi	0.139		

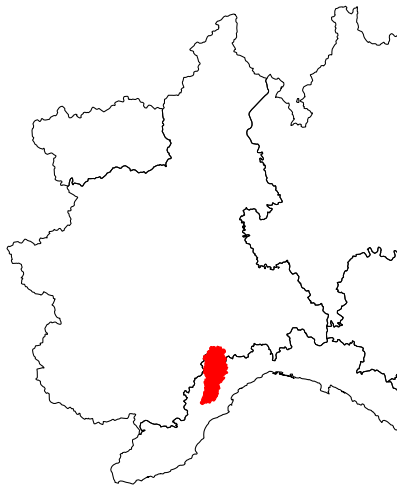


Bormida di Millesimo a Murialdo

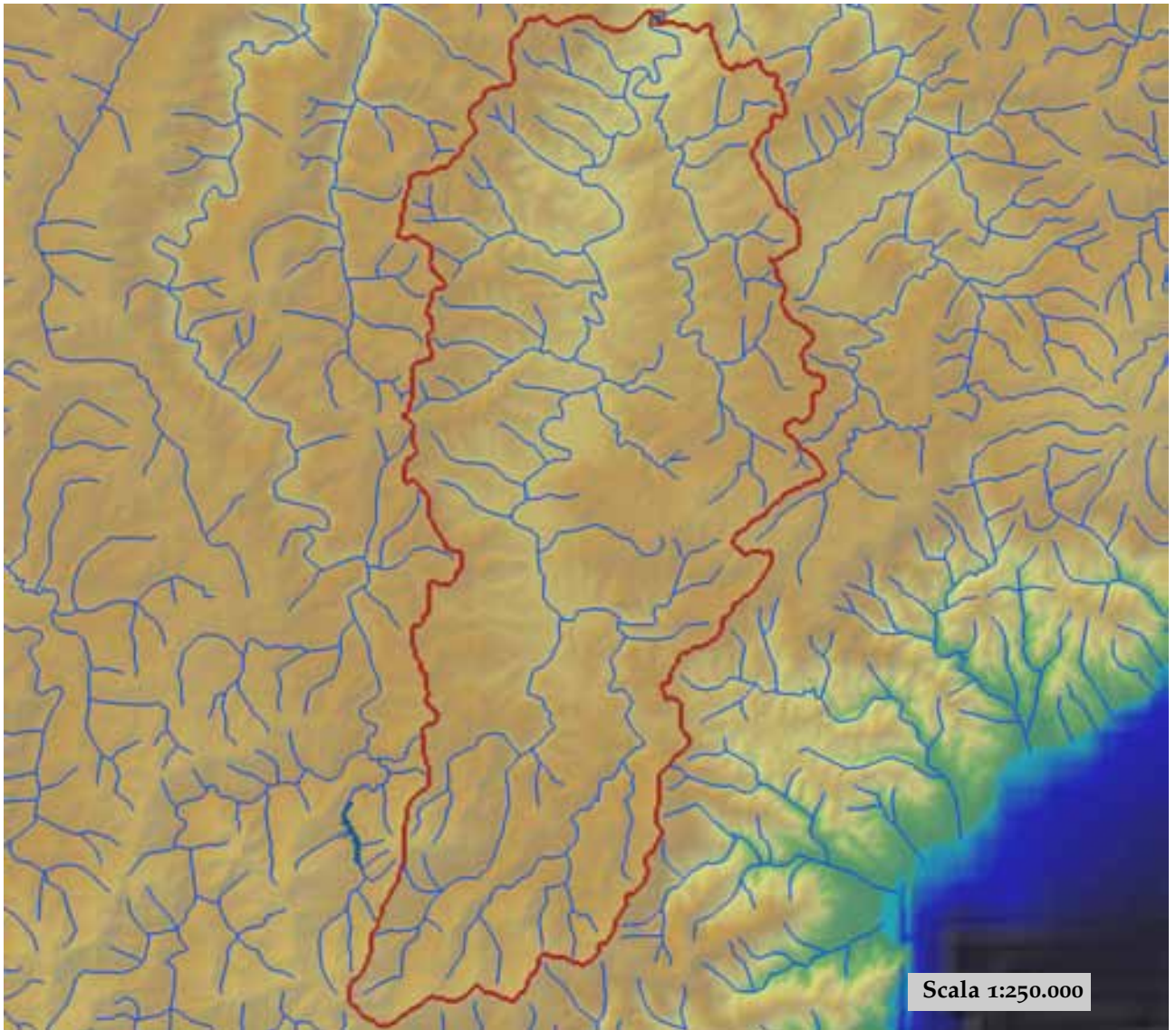


est (UTM _{32N} WGS84)	432976	nord (UTM _{32N} WGS84)	4907028
est DEM (UTM _{32N} WGS84)	431149	nord DEM (UTM _{32N} WGS84)	4906848
area bacino	127.11	quota media	888

quota massima	1369	quota minima	542
curva ipsografica 2,5%	1207	curva ipsografica 5%	1162
curva ipsografica 10%	1105	curva ipsografica 25%	1000
curva ipsografica 50%	871	curva ipsografica 75%	767
curva ipsografica 90%	697	curva ipsografica 95%	659
curva ipsografica 97,5%	634	distanza interquartile curva ipsografica	233
angolo di esposizione medio	285	lunghezza vettore orientamento	8.8
pendenza bacino	16.025	pendenza bacino quadrato equivalente	5.854
est baricentro (UTM _{32N} WGS84)	430050	nord baricentro (UTM _{32N} WGS84)	4898150
fattore di forma	0.224	rapporto di allungamento	0.534
media funzione di ampiezza	13891	varianza funzione di ampiezza	3.17×10 ⁷
skewness funzione di ampiezza	-0.41	kurtosis funzione di ampiezza	2.32
rapporto aree medie di due ordini adiacenti	4.196	rapporto di biforcazione	3.875
rapporto lunghezze medie di due ordini adiacenti	2.233	rapporto pendenze medie di due ordini adiacenti	3.052
densità di drenaggio	0.631	diametro topologico	17
lunghezza LDP	23.811	lunghezza asta principale	22.345
lunghezza totale reticolo idrografico	80.2	lunghezza media versanti	629
pendenza media LDP	5	media dell'afflusso totale annuo	1224
deviazione standard dell'afflusso totale annuo	37	media coeff. pluviale orario CPP	25.22
dev. standard coeff. pluviale orario CPP	0.985	media esponente CPP	0.472
dev. standard esponente CPP	0.013	coeff. di intensità	0.021
media LCV piogge 1 ora	0.171	dev. standard LCV piogge 1 ora	0.013
media LCV piogge 3 ore	0.189	dev. standard LCV piogge 3 ore	0.013
media LCV piogge 6 ore	0.189	dev. standard LCV piogge 6 ore	0.009
media LCV piogge 12 ore	0.2	dev. standard LCV piogge 12 ore	0.008
media LCV piogge 24 ore	0.199	dev. standard LCV piogge 24 ore	0.007
media LCA piogge 1 ora	0.248	dev. standard LCA piogge 1 ora	0.021
media LCA piogge 3 ore	0.283	dev. standard LCA piogge 3 ore	0.035
media LCA piogge 6 ore	0.259	dev. standard LCA piogge 6 ore	0.02
media LCA piogge 12 ore	0.263	dev. standard LCA piogge 12 ore	0.013
media LCA piogge 24 ore	0.22	dev. standard LCA piogge 24 ore	0.018
media coeff. B1 regime pluviometrico	27.3	media coeff. C1 regime pluviometrico	-3.3
media coeff. B2 regime pluviometrico	-2.1	media coeff. C2 regime pluviometrico	-49.6
dev. standard regime pluviometrico	44	coeff. variaz. regime pluviometrico	0.44
classe 1 corine land cover	0.87	classe 2 corine land cover	90.59
classe 3 corine land cover	8.57	classe 4 corine land cover	0
classe 5 corine land cover	0	media NDVI	0.644
dev. standard NDVI	0.018	media curve number 1	45.4
media curve number 2	65.4	media curve number 3	81.5
dev. standard curve number 1	3.5	dev. standard curve number 2	3.3
dev. standard curve number 3	2.4	media indice di permeabilità vapi	0.507
dev. standard indice di permeabilità vapi	0.164		



Bormida di Spigno a Mombaldone

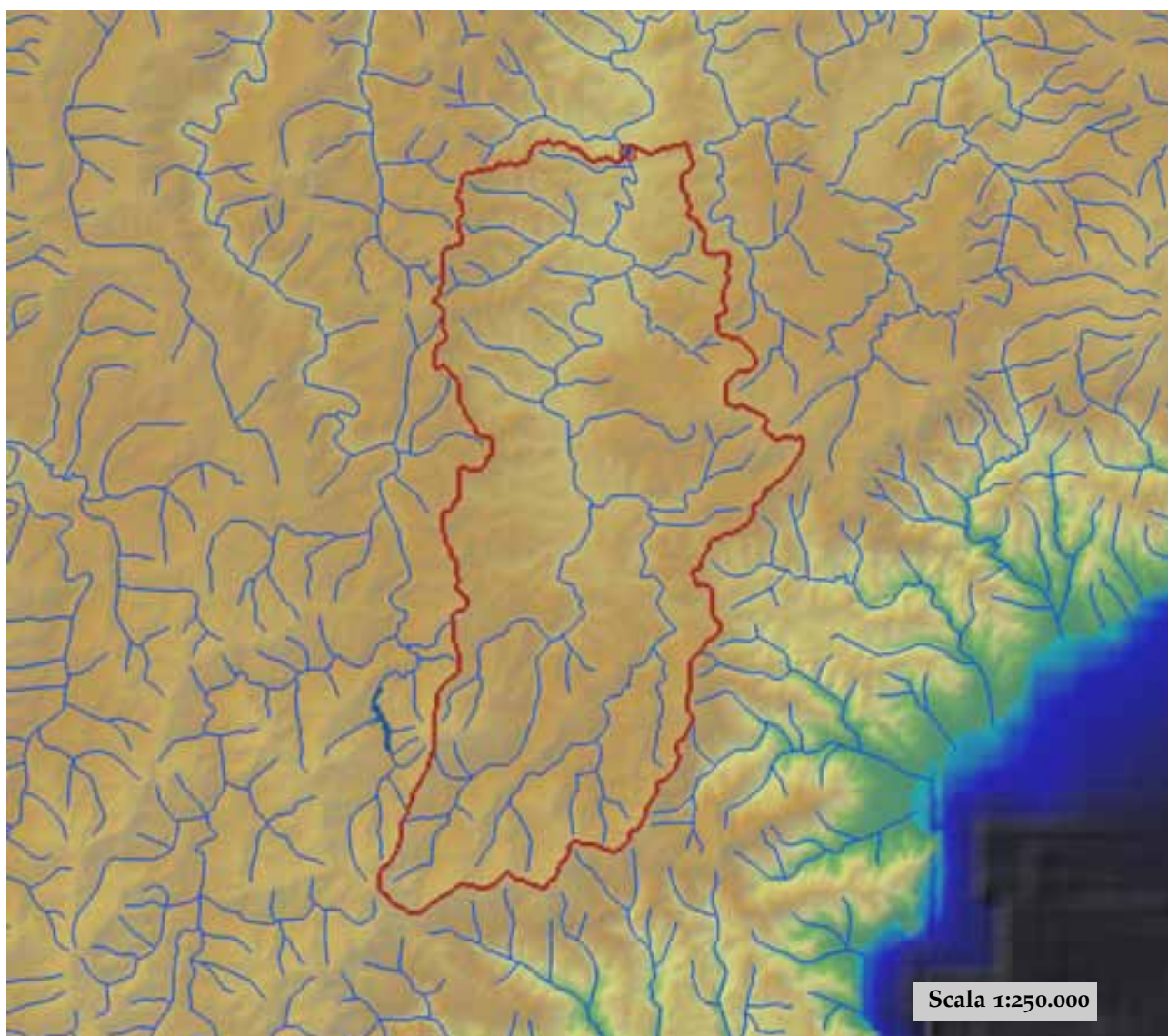


est (UTM _{32N} WGS84)	447206	nord (UTM _{32N} WGS84)	4935280
est DEM (UTM _{32N} WGS84)	447155	nord DEM (UTM _{32N} WGS84)	4935246
area bacino	391.36	quota media	491

quota massima	1381	quota minima	201
curva ipsografica 2,5%	870	curva ipsografica 5%	793
curva ipsografica 10%	696	curva ipsografica 25%	568
curva ipsografica 50%	459	curva ipsografica 75%	384
curva ipsografica 90%	325	curva ipsografica 95%	293
curva ipsografica 97,5%	259	distanza interquartile curva ipsografica	184
angolo di esposizione medio	24	lunghezza vettore orientamento	17
pendenza bacino	10.8	pendenza bacino quadrato equivalente	2.618
est baricentro (UTM _{32N} WGS84)	444350	nord baricentro (UTM _{32N} WGS84)	4918450
fattore di forma	0.11	rapporto di allungamento	0.374
media funzione di ampiezza	30744	varianza funzione di ampiezza	2.19×10 ⁸
skewness funzione di ampiezza	0.074	kurtosis funzione di ampiezza	1.897
rapporto aree medie di due ordini adiacenti	4.906	rapporto di biforcazione	4.822
rapporto lunghezze medie di due ordini adiacenti	2.734	rapporto pendenze medie di due ordini adiacenti	2.423
densità di drenaggio	0.667	diametro topologico	41
lunghezza LDP	59.663	lunghezza asta principale	58.314
lunghezza totale reticolo idrografico	261	lunghezza media versanti	616
pendenza media LDP	3	media dell'afflusso totale annuo	1089
deviazione standard dell'afflusso totale annuo	163	media coeff. pluviale orario CPP	28.477
dev. standard coeff. pluviale orario CPP	1.744	media esponente CPP	0.421
dev. standard esponente CPP	0.025	coeff. di intensità	0.026
media LCV piogge 1 ora	0.176	dev. standard LCV piogge 1 ora	0.016
media LCV piogge 3 ore	0.208	dev. standard LCV piogge 3 ore	0.014
media LCV piogge 6 ore	0.199	dev. standard LCV piogge 6 ore	0.015
media LCV piogge 12 ore	0.194	dev. standard LCV piogge 12 ore	0.012
media LCV piogge 24 ore	0.197	dev. standard LCV piogge 24 ore	0.011
media LCA piogge 1 ora	0.114	dev. standard LCA piogge 1 ora	0.058
media LCA piogge 3 ore	0.247	dev. standard LCA piogge 3 ore	0.043
media LCA piogge 6 ore	0.223	dev. standard LCA piogge 6 ore	0.036
media LCA piogge 12 ore	0.195	dev. standard LCA piogge 12 ore	0.035
media LCA piogge 24 ore	0.191	dev. standard LCA piogge 24 ore	0.017
media coeff. B1 regime pluviometrico	23.1	media coeff. C1 regime pluviometrico	-1.8
media coeff. B2 regime pluviometrico	-8.5	media coeff. C2 regime pluviometrico	-45.6
dev. standard regime pluviometrico	40.3	coeff. variaz. regime pluviometrico	0.412
classe 1 corine land cover	2.68	classe 2 corine land cover	70.21
classe 3 corine land cover	26.96	classe 4 corine land cover	0.16
classe 5 corine land cover	0	media NDVI	0.617
dev. standard NDVI	0.039	media curve number 1	47.6
media curve number 2	67.1	media curve number 3	82.7
dev. standard curve number 1	6.2	dev. standard curve number 2	5.5
dev. standard curve number 3	3.8	media indice di permeabilità vapi	0.523
dev. standard indice di permeabilità vapi	0.133		



Bormida di Spigno a Piana Crixia

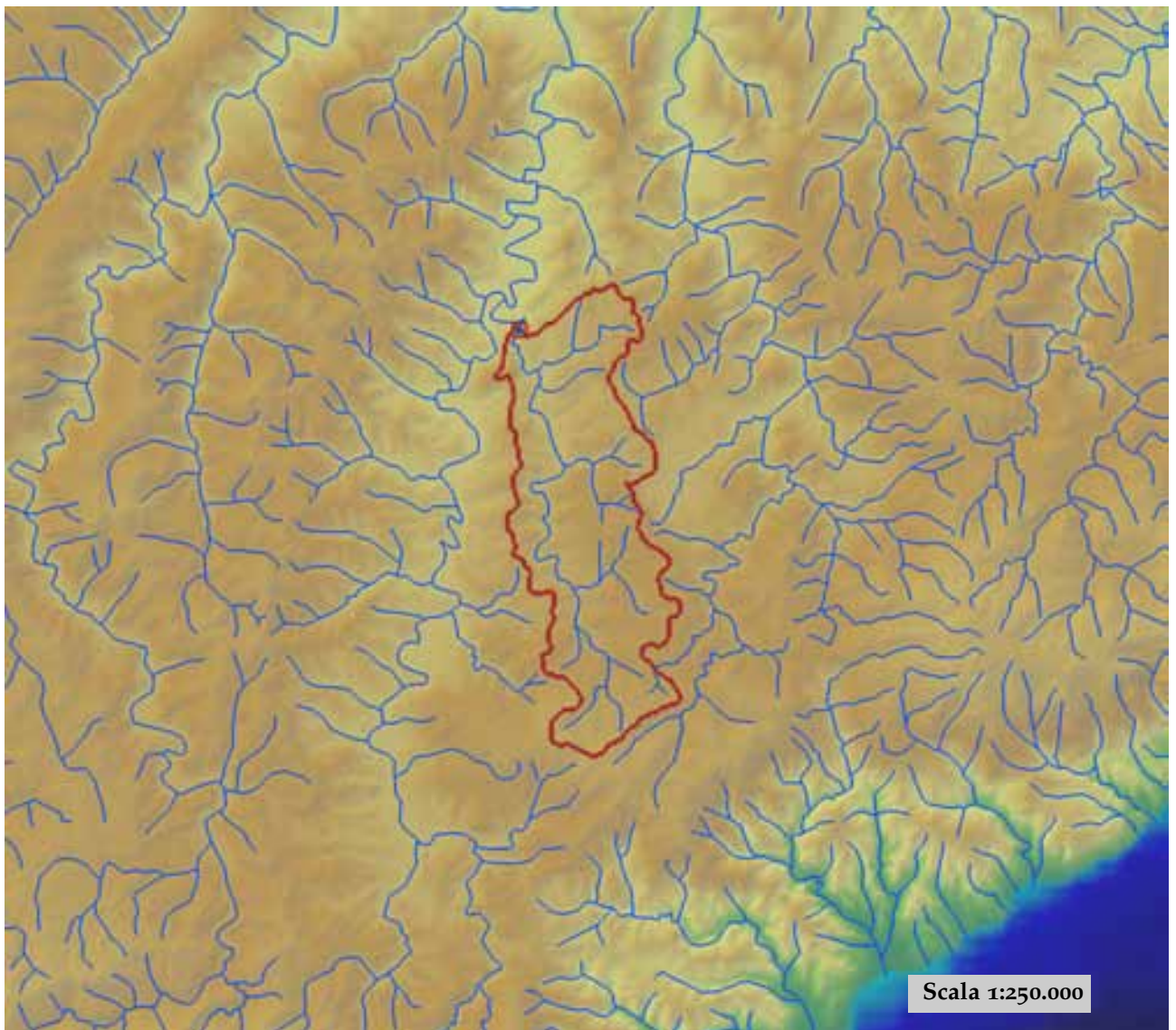


est (UTM ₃₂ N WGS84)	444555	nord (UTM ₃₂ N WGS84)	4926519
est DEM (UTM ₃₂ N WGS84)	444950	nord DEM (UTM ₃₂ N WGS84)	4926154
area bacino	251.78	quota media	523

quota massima	1381	quota minima	267
curva ipsografica 2,5%	917	curva ipsografica 5%	841
curva ipsografica 10%	747	curva ipsografica 25%	603
curva ipsografica 50%	485	curva ipsografica 75%	405
curva ipsografica 90%	352	curva ipsografica 95%	329
curva ipsografica 97,5%	313	distanza interquartile curva ipsografica	198
angolo di esposizione medio	23	lunghezza vettore orientamento	13.1
pendenza bacino	11.377	pendenza bacino quadrato equivalente	2.76
est baricentro (UTM _{32N} WGS84)	443050	nord baricentro (UTM _{32N} WGS84)	4913150
fattore di forma	0.14	rapporto di allungamento	0.422
media funzione di ampiezza	22170	varianza funzione di ampiezza	1.12×10 ⁸
skewness funzione di ampiezza	-0.078	kurtosis funzione di ampiezza	1.959
rapporto aree medie di due ordini adiacenti	5.319	rapporto di biforcazione	5.431
rapporto lunghezze medie di due ordini adiacenti	2.716	rapporto pendenze medie di due ordini adiacenti	2.59
densità di drenaggio	0.674	diametro topologico	31
lunghezza LDP	42.463	lunghezza asta principale	41.114
lunghezza totale reticolo idrografico	169.7	lunghezza media versanti	612
pendenza media LDP	4	media dell'afflusso totale annuo	1153
deviazione standard dell'afflusso totale annuo	130	media coeff. pluviale orario CPP	28.902
dev. standard coeff. pluviale orario CPP	1.521	media esponente CPP	0.433
dev. standard esponente CPP	0.018	coeff. di intensità	0.025
media LCV piogge 1 ora	0.175	dev. standard LCV piogge 1 ora	0.015
media LCV piogge 3 ore	0.207	dev. standard LCV piogge 3 ore	0.012
media LCV piogge 6 ore	0.194	dev. standard LCV piogge 6 ore	0.009
media LCV piogge 12 ore	0.189	dev. standard LCV piogge 12 ore	0.009
media LCV piogge 24 ore	0.193	dev. standard LCV piogge 24 ore	0.008
media LCA piogge 1 ora	0.124	dev. standard LCA piogge 1 ora	0.068
media LCA piogge 3 ore	0.268	dev. standard LCA piogge 3 ore	0.04
media LCA piogge 6 ore	0.224	dev. standard LCA piogge 6 ore	0.036
media LCA piogge 12 ore	0.195	dev. standard LCA piogge 12 ore	0.039
media LCA piogge 24 ore	0.192	dev. standard LCA piogge 24 ore	0.019
media coeff. B1 regime pluviometrico	26.4	media coeff. C1 regime pluviometrico	-2.3
media coeff. B2 regime pluviometrico	-9.9	media coeff. C2 regime pluviometrico	-50.2
dev. standard regime pluviometrico	45	coeff. variaz. regime pluviometrico	0.439
classe 1 corine land cover	4.17	classe 2 corine land cover	76.94
classe 3 corine land cover	18.77	classe 4 corine land cover	0.14
classe 5 corine land cover	0	media NDVI	0.622
dev. standard NDVI	0.041	media curve number 1	47.3
media curve number 2	67	media curve number 3	82.6
dev. standard curve number 1	5.3	dev. standard curve number 2	4.6
dev. standard curve number 3	3.1	media indice di permeabilità vapi	0.532
dev. standard indice di permeabilità vapi	0.161		



Bormida di Spigno a Valla

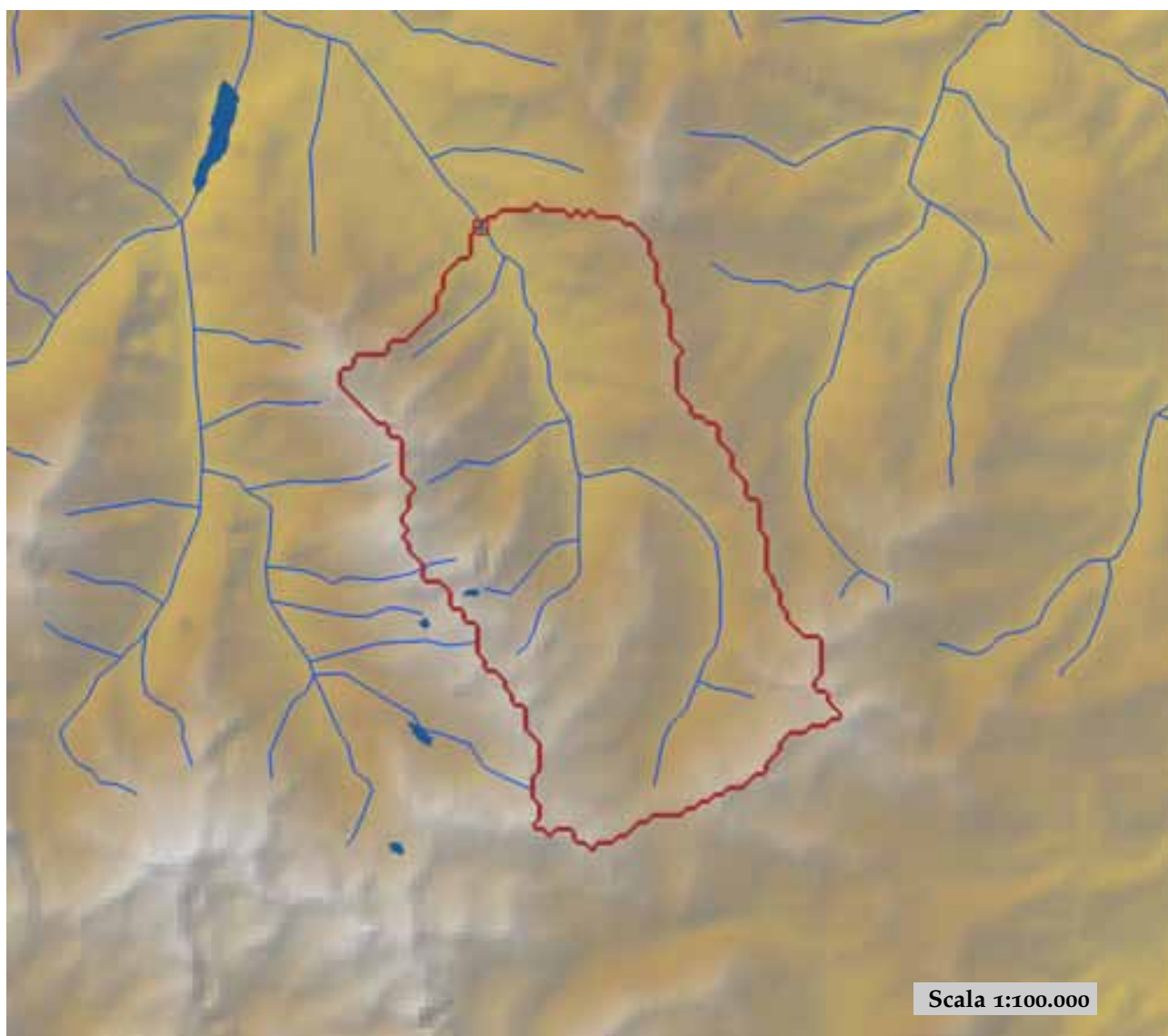


est (UTM ₃₂ N WGS84)	447475	nord (UTM ₃₂ N WGS84)	4932026
est DEM (UTM ₃₂ N WGS84)	447351	nord DEM (UTM ₃₂ N WGS84)	4932057
area bacino	68.46	quota media	468

quota massima	837	quota minima	273
curva ipsografica 2,5%	765	curva ipsografica 5%	706
curva ipsografica 10%	599	curva ipsografica 25%	508
curva ipsografica 50%	448	curva ipsografica 75%	401
curva ipsografica 90%	360	curva ipsografica 95%	336
curva ipsografica 97,5%	320	distanza interquartile curva ipsografica	107
angolo di esposizione medio	306	lunghezza vettore orientamento	7.2
pendenza bacino	8.131	pendenza bacino quadrato equivalente	4.254
est baricentro (UTM _{32N} WGS84)	449750	nord baricentro (UTM _{32N} WGS84)	4925250
fattore di forma	0.146	rapporto di allungamento	0.431
media funzione di ampiezza	11466	varianza funzione di ampiezza	3.12×10 ⁷
skewness funzione di ampiezza	0.011	kurtosis funzione di ampiezza	1.708
rapporto aree medie di due ordini adiacenti	4.35	rapporto di biforcazione	4
rapporto lunghezze medie di due ordini adiacenti	1.836	rapporto pendenze medie di due ordini adiacenti	1.612
densità di drenaggio	0.623	diametro topologico	12
lunghezza LDP	21.679	lunghezza asta principale	19.848
lunghezza totale reticolo idrografico	42.6	lunghezza media versanti	648
pendenza media LDP	3	media dell'afflusso totale annuo	1084
deviazione standard dell'afflusso totale annuo	144	media coeff. pluviale orario CPP	28.95
dev. standard coeff. pluviale orario CPP	1.707	media esponente CPP	0.415
dev. standard esponente CPP	0.014	coeff. di intensità	0.027
media LCV piogge 1 ora	0.178	dev. standard LCV piogge 1 ora	0.018
media LCV piogge 3 ore	0.209	dev. standard LCV piogge 3 ore	0.015
media LCV piogge 6 ore	0.203	dev. standard LCV piogge 6 ore	0.016
media LCV piogge 12 ore	0.198	dev. standard LCV piogge 12 ore	0.013
media LCV piogge 24 ore	0.196	dev. standard LCV piogge 24 ore	0.011
media LCA piogge 1 ora	0.101	dev. standard LCA piogge 1 ora	0.013
media LCA piogge 3 ore	0.212	dev. standard LCA piogge 3 ore	0.012
media LCA piogge 6 ore	0.202	dev. standard LCA piogge 6 ore	0.028
media LCA piogge 12 ore	0.189	dev. standard LCA piogge 12 ore	0.018
media LCA piogge 24 ore	0.187	dev. standard LCA piogge 24 ore	0.008
media coeff. B1 regime pluviometrico	22.3	media coeff. C1 regime pluviometrico	-0.5
media coeff. B2 regime pluviometrico	-5.4	media coeff. C2 regime pluviometrico	-46.1
dev. standard regime pluviometrico	39.3	coeff. variaz. regime pluviometrico	0.396
classe 1 corine land cover	0	classe 2 corine land cover	61.76
classe 3 corine land cover	38.29	classe 4 corine land cover	0
classe 5 corine land cover	0	media NDVI	0.612
dev. standard NDVI	0.024	media curve number 1	47.1
media curve number 2	66.4	media curve number 3	82.1
dev. standard curve number 1	7.8	dev. standard curve number 2	7.1
dev. standard curve number 3	4.9	media indice di permeabilità vapi	0.525
dev. standard indice di permeabilità vapi	0.086		

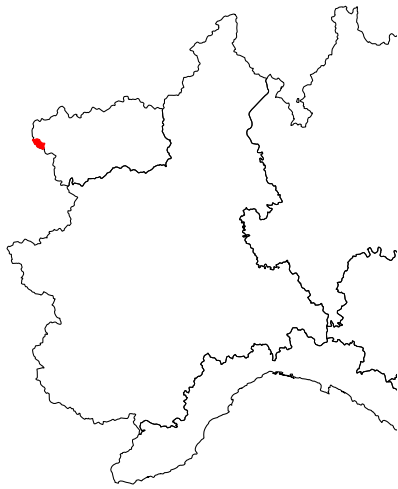


Bousset a Tetti Porcera

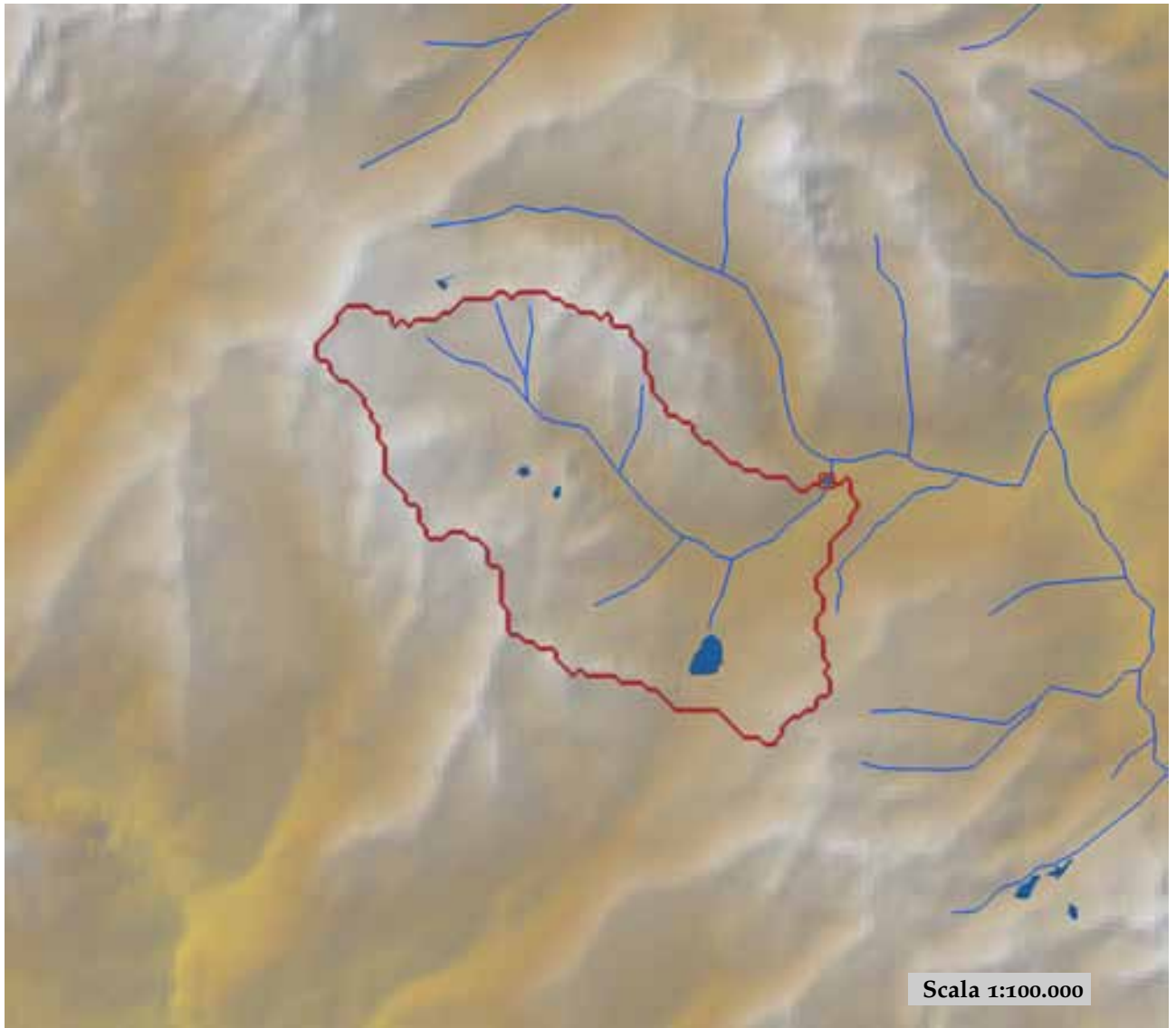


est (UTM ₃₂ N WGS84)	375046	nord (UTM ₃₂ N WGS84)	4896152
est DEM (UTM ₃₂ N WGS84)	375047	nord DEM (UTM ₃₂ N WGS84)	4896150
area bacino	37.14	quota media	1991

quota massima	2783	quota minima	1063
curva ipsografica 2,5%	2683	curva ipsografica 5%	2620
curva ipsografica 10%	2528	curva ipsografica 25%	2295
curva ipsografica 50%	2008	curva ipsografica 75%	1704
curva ipsografica 90%	1428	curva ipsografica 95%	1283
curva ipsografica 97,5%	1179	distanza interquartile curva ipsografica	591
angolo di esposizione medio	10	lunghezza vettore orientamento	4.6
pendenza bacino	29.145	pendenza bacino quadrato equivalente	31.046
est baricentro (UTM _{32N} WGS84)	376650	nord baricentro (UTM _{32N} WGS84)	4891850
fattore di forma	0.225	rapporto di allungamento	0.535
media funzione di ampiezza	6165	varianza funzione di ampiezza	8.85×10 ⁶
skewness funzione di ampiezza	0.203	kurtosis funzione di ampiezza	2.108
rapporto aree medie di due ordini adiacenti	4.015	rapporto di biforcazione	3.333
rapporto lunghezze medie di due ordini adiacenti	2.471	rapporto pendenze medie di due ordini adiacenti	2.062
densità di drenaggio	0.512	diametro topologico	7
lunghezza LDP	12.857	lunghezza asta principale	10.808
lunghezza totale reticolo idrografico	19	lunghezza media versanti	755
pendenza media LDP	12	media dell'afflusso totale annuo	1376
deviazione standard dell'afflusso totale annuo	22	media coeff. pluviale orario CPP	19.6
dev. standard coeff. pluviale orario CPP	0.846	media esponente CPP	0.516
dev. standard esponente CPP	0.015	coeff. di intensità	0.014
media LCV piogge 1 ora	0.17	dev. standard LCV piogge 1 ora	0.006
media LCV piogge 3 ore	0.133	dev. standard LCV piogge 3 ore	0.002
media LCV piogge 6 ore	0.138	dev. standard LCV piogge 6 ore	0.002
media LCV piogge 12 ore	0.156	dev. standard LCV piogge 12 ore	0.001
media LCV piogge 24 ore	0.167	dev. standard LCV piogge 24 ore	0.004
media LCA piogge 1 ora	0.173	dev. standard LCA piogge 1 ora	0.01
media LCA piogge 3 ore	0.17	dev. standard LCA piogge 3 ore	0.006
media LCA piogge 6 ore	0.175	dev. standard LCA piogge 6 ore	0.002
media LCA piogge 12 ore	0.27	dev. standard LCA piogge 12 ore	0.004
media LCA piogge 24 ore	0.253	dev. standard LCA piogge 24 ore	0.008
media coeff. B1 regime pluviometrico	19.7	media coeff. C1 regime pluviometrico	58.4
media coeff. B2 regime pluviometrico	-12.1	media coeff. C2 regime pluviometrico	-33.1
dev. standard regime pluviometrico	61	coeff. variaz. regime pluviometrico	0.39
classe 1 corine land cover	0	classe 2 corine land cover	46.33
classe 3 corine land cover	22.02	classe 4 corine land cover	31.75
classe 5 corine land cover	0	media NDVI	0.302
dev. standard NDVI	0.092	media curve number 1	28.7
media curve number 2	46.9	media curve number 3	66
dev. standard curve number 1	11.6	dev. standard curve number 2	12.2
dev. standard curve number 3	10.3	media indice di permeabilità vapi	0.271
dev. standard indice di permeabilità vapi	0.141		

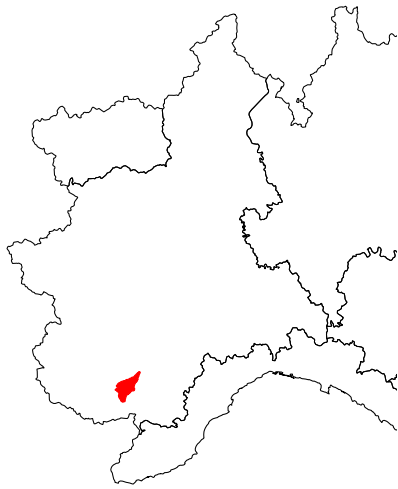


Breuil a Alpette

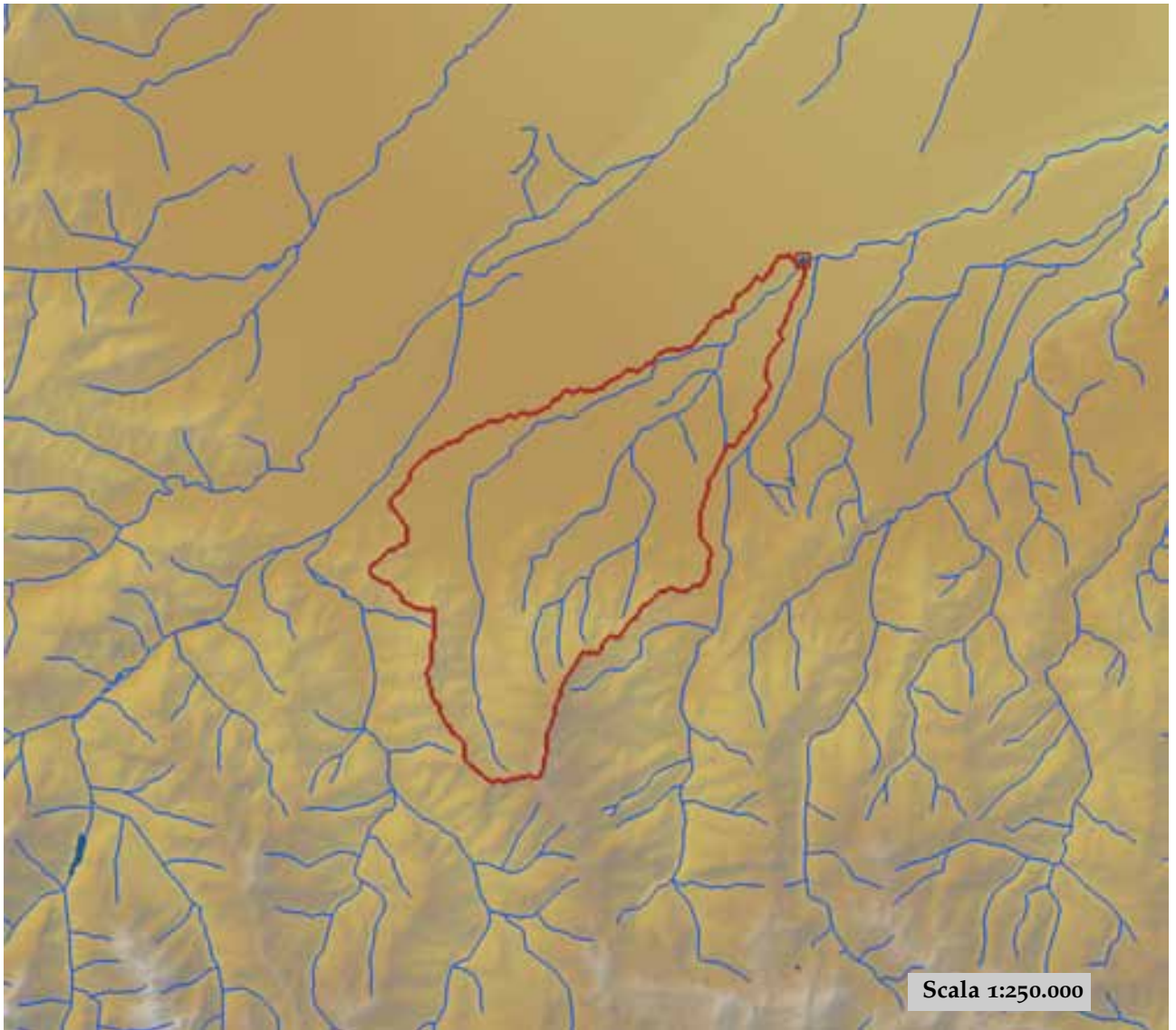


est (UTM ₃₂ N WGS84)	336956	nord (UTM ₃₂ N WGS84)	5064247
est DEM (UTM ₃₂ N WGS84)	336856	nord DEM (UTM ₃₂ N WGS84)	5064144
area bacino	27.64	quota media	2459

quota massima	3072	quota minima	1797
curva ipsografica 2,5%	2970	curva ipsografica 5%	2919
curva ipsografica 10%	2852	curva ipsografica 25%	2690
curva ipsografica 50%	2491	curva ipsografica 75%	2214
curva ipsografica 90%	2043	curva ipsografica 95%	1963
curva ipsografica 97,5%	1915	distanza interquartile curva ipsografica	476
angolo di esposizione medio	100	lunghezza vettore orientamento	3.3
pendenza bacino	19.599	pendenza bacino quadrato equivalente	26.439
est baricentro (UTM _{32N} WGS84)	333550	nord baricentro (UTM _{32N} WGS84)	5063850
fattore di forma	0.246	rapporto di allungamento	0.56
media funzione di ampiezza	5548	varianza funzione di ampiezza	5.40×10 ⁶
skewness funzione di ampiezza	-0.039	kurtosis funzione di ampiezza	2.251
rapporto aree medie di due ordini adiacenti	5.376	rapporto di biforcazione	3.5
rapporto lunghezze medie di due ordini adiacenti	2.747	rapporto pendenze medie di due ordini adiacenti	1.261
densità di drenaggio	0.506	diametro topologico	6
lunghezza LDP	10.595	lunghezza asta principale	8.681
lunghezza totale reticolo idrografico	14	lunghezza media versanti	798
pendenza media LDP	10	media dell'afflusso totale annuo	1088
deviazione standard dell'afflusso totale annuo	25	media coeff. pluviale orario CPP	13.514
dev. standard coeff. pluviale orario CPP	0.22	media esponente CPP	0.484
dev. standard esponente CPP	0.007	coeff. di intensità	0.012
media LCV piogge 1 ora	0.188	dev. standard LCV piogge 1 ora	0.004
media LCV piogge 3 ore	0.154	dev. standard LCV piogge 3 ore	0.003
media LCV piogge 6 ore	0.16	dev. standard LCV piogge 6 ore	0.004
media LCV piogge 12 ore	0.179	dev. standard LCV piogge 12 ore	0.003
media LCV piogge 24 ore	0.206	dev. standard LCV piogge 24 ore	0.003
media LCA piogge 1 ora	0.159	dev. standard LCA piogge 1 ora	0.004
media LCA piogge 3 ore	0.175	dev. standard LCA piogge 3 ore	0.002
media LCA piogge 6 ore	0.21	dev. standard LCA piogge 6 ore	0.002
media LCA piogge 12 ore	0.242	dev. standard LCA piogge 12 ore	0.004
media LCA piogge 24 ore	0.251	dev. standard LCA piogge 24 ore	0.003
media coeff. B1 regime pluviometrico	-2.4	media coeff. C1 regime pluviometrico	-8.6
media coeff. B2 regime pluviometrico	-3.5	media coeff. C2 regime pluviometrico	0.5
dev. standard regime pluviometrico	19.6	coeff. variaz. regime pluviometrico	0.212
classe 1 corine land cover	0	classe 2 corine land cover	9.93
classe 3 corine land cover	31.81	classe 4 corine land cover	58.41
classe 5 corine land cover	0	media NDVI	0.137
dev. standard NDVI	0.091	media curve number 1	45.7
media curve number 2	61	media curve number 3	72.6
dev. standard curve number 1	19.5	dev. standard curve number 2	25.2
dev. standard curve number 3	29.6	media indice di permeabilità vapi	0.239
dev. standard indice di permeabilità vapi	0.15		

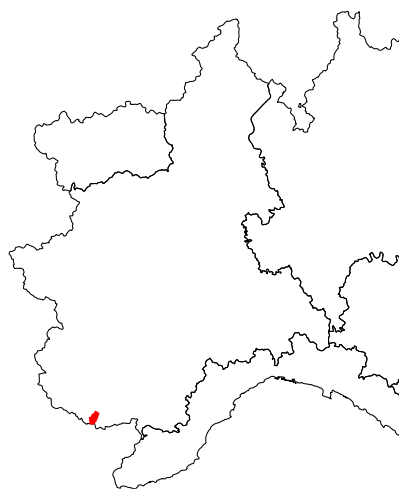


Brobbio a Margarita

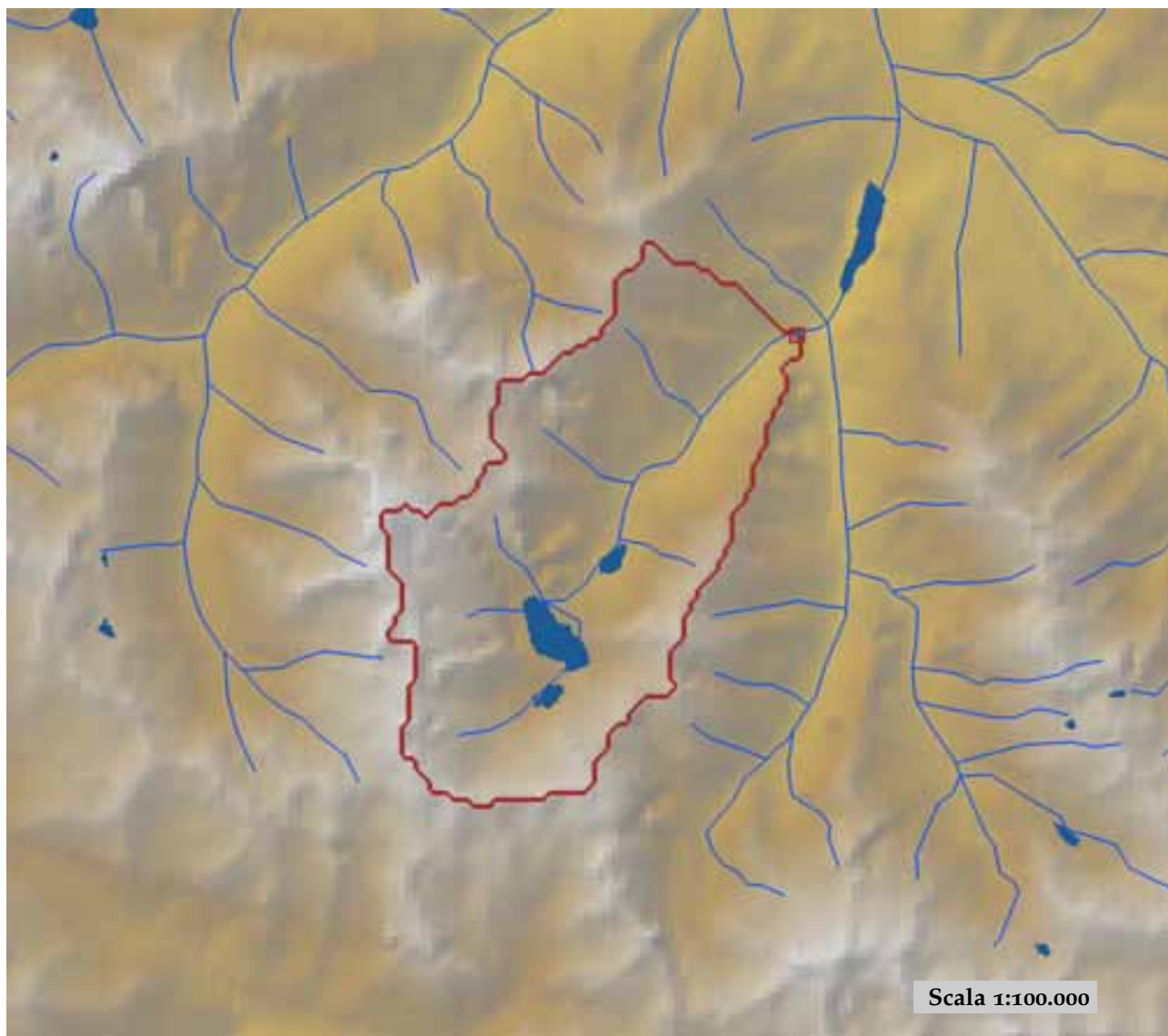


est (UTM _{32N} WGS84)	395470	nord (UTM _{32N} WGS84)	4917082
est DEM (UTM _{32N} WGS84)	397652	nord DEM (UTM _{32N} WGS84)	4919143
area bacino	127.07	quota media	729

quota massima	2284	quota minima	395
curva ipsografica 2,5%	1683	curva ipsografica 5%	1467
curva ipsografica 10%	1227	curva ipsografica 25%	829
curva ipsografica 50%	580	curva ipsografica 75%	517
curva ipsografica 90%	474	curva ipsografica 95%	453
curva ipsografica 97,5%	438	distanza interquartile curva ipsografica	312
angolo di esposizione medio	15	lunghezza vettore orientamento	12.8
pendenza bacino	8.763	pendenza bacino quadrato equivalente	3.318
est baricentro (UTM _{32N} WGS84)	389150	nord baricentro (UTM _{32N} WGS84)	4909550
fattore di forma	0.182	rapporto di allungamento	0.481
media funzione di ampiezza	16338	varianza funzione di ampiezza	4.83×10 ⁷
skewness funzione di ampiezza	0.002	kurtosis funzione di ampiezza	2.383
rapporto aree medie di due ordini adiacenti	3.371	rapporto di biforcazione	3
rapporto lunghezze medie di due ordini adiacenti	1.415	rapporto pendenze medie di due ordini adiacenti	2.367
densità di drenaggio	0.953	diametro topologico	14
lunghezza LDP	26.442	lunghezza asta principale	20.621
lunghezza totale reticolo idrografico	121.1	lunghezza media versanti	74 ⁸
pendenza media LDP	5	media dell'afflusso totale annuo	1259
deviazione standard dell'afflusso totale annuo	139	media coeff. pluviale orario CPP	25.313
dev. standard coeff. pluviale orario CPP	1.25	media esponente CPP	0.385
dev. standard esponente CPP	0.027	coeff. di intensità	0.02
media LCV piogge 1 ora	0.189	dev. standard LCV piogge 1 ora	0.01
media LCV piogge 3 ore	0.165	dev. standard LCV piogge 3 ore	0.007
media LCV piogge 6 ore	0.15	dev. standard LCV piogge 6 ore	0.008
media LCV piogge 12 ore	0.153	dev. standard LCV piogge 12 ore	0.009
media LCV piogge 24 ore	0.161	dev. standard LCV piogge 24 ore	0.007
media LCA piogge 1 ora	0.26	dev. standard LCA piogge 1 ora	0.045
media LCA piogge 3 ore	0.225	dev. standard LCA piogge 3 ore	0.029
media LCA piogge 6 ore	0.123	dev. standard LCA piogge 6 ore	0.029
media LCA piogge 12 ore	0.165	dev. standard LCA piogge 12 ore	0.043
media LCA piogge 24 ore	0.159	dev. standard LCA piogge 24 ore	0.018
media coeff. B1 regime pluviometrico	-8.4	media coeff. C1 regime pluviometrico	1.2
media coeff. B2 regime pluviometrico	-5	media coeff. C2 regime pluviometrico	-41
dev. standard regime pluviometrico	32.4	coeff. variaz. regime pluviometrico	0.295
classe 1 corine land cover	3.49	classe 2 corine land cover	34.87
classe 3 corine land cover	61.67	classe 4 corine land cover	0
classe 5 corine land cover	0	media NDVI	0.548
dev. standard NDVI	0.05	media curve number 1	50.7
media curve number 2	69.7	media curve number 3	84.4
dev. standard curve number 1	5.9	dev. standard curve number 2	5.1
dev. standard curve number 3	3.5	media indice di permeabilità vapi	0.527
dev. standard indice di permeabilità vapi	0.108		

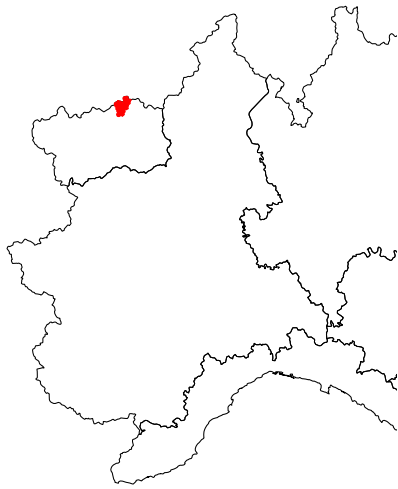


Bucera a Ponte Rovine

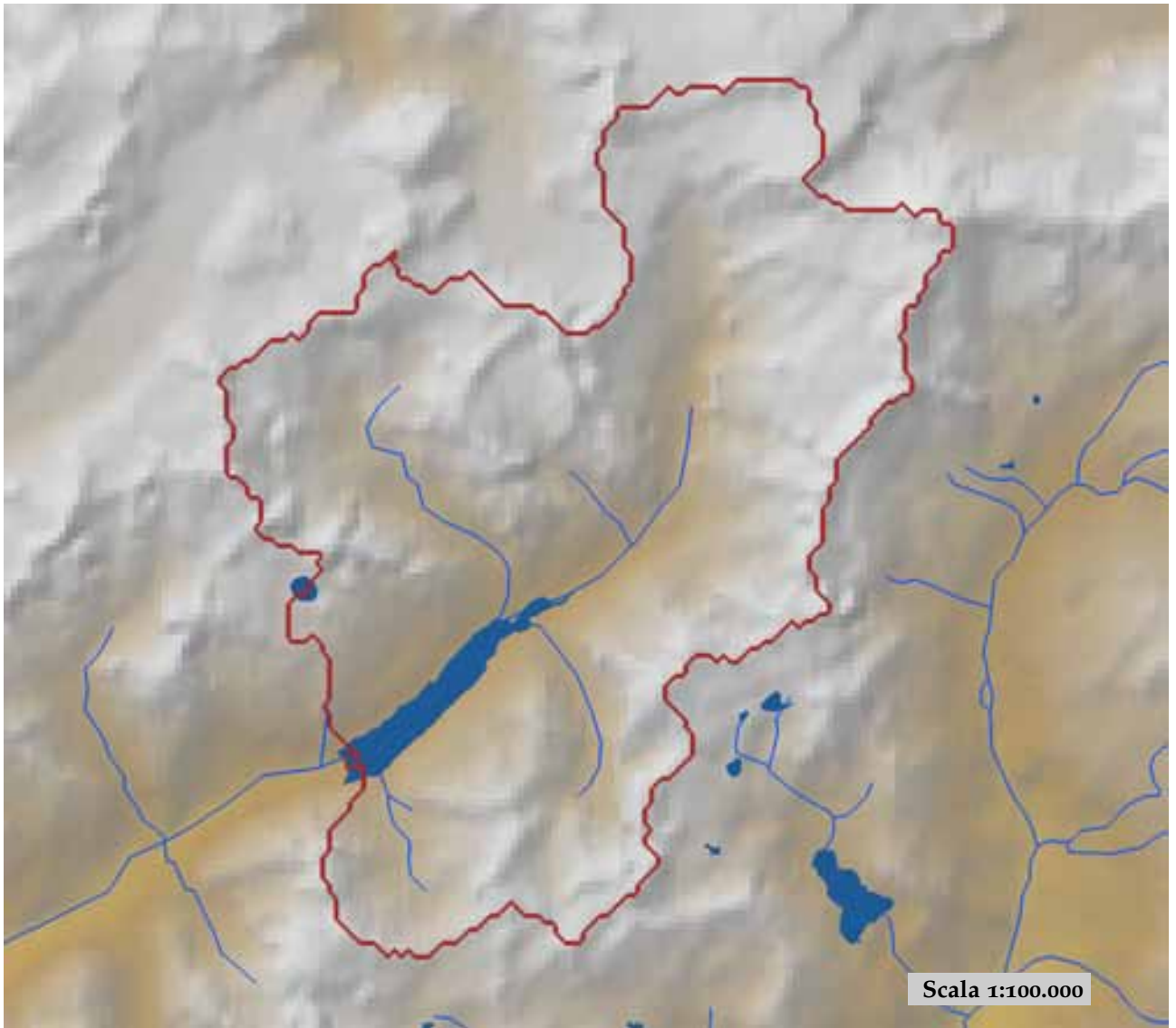


est (UTM ₃₂ N WGS84)	370555	nord (UTM ₃₂ N WGS84)	4896060
est DEM (UTM ₃₂ N WGS84)	370250	nord DEM (UTM ₃₂ N WGS84)	4896048
area bacino	27.94	quota media	2152

quota massima	3197	quota minima	1039
curva ipsografica 2,5%	2940	curva ipsografica 5%	2889
curva ipsografica 10%	2749	curva ipsografica 25%	2506
curva ipsografica 50%	2170	curva ipsografica 75%	1815
curva ipsografica 90%	1515	curva ipsografica 95%	1351
curva ipsografica 97,5%	1250	distanza interquartile curva ipsografica	691
angolo di esposizione medio	81	lunghezza vettore orientamento	4.3
pendenza bacino	31.654	pendenza bacino quadrato equivalente	42.831
est baricentro (UTM _{32N} WGS84)	367050	nord baricentro (UTM _{32N} WGS84)	4893150
fattore di forma	0.245	rapporto di allungamento	0.558
media funzione di ampiezza	5842	varianza funzione di ampiezza	7.03×10 ⁶
skewness funzione di ampiezza	-0.152	kurtosis funzione di ampiezza	1.894
rapporto aree medie di due ordini adiacenti	-	rapporto di biforcazione	13.827
rapporto lunghezze medie di due ordini adiacenti	0.495	rapporto pendenze medie di due ordini adiacenti	-
densità di drenaggio	-	diametro topologico	8
lunghezza LDP	10.688	lunghezza asta principale	9.14
lunghezza totale reticolo idrografico	-	lunghezza media versanti	798
pendenza media LDP	14	media dell'afflusso totale annuo	1423
deviazione standard dell'afflusso totale annuo	25	media coeff. pluviale orario CPP	16.69
dev. standard coeff. pluviale orario CPP	0.79	media esponente CPP	0.568
dev. standard esponente CPP	0.023	coeff. di intensità	0.012
media LCV piogge 1 ora	0.184	dev. standard LCV piogge 1 ora	0.01
media LCV piogge 3 ore	0.137	dev. standard LCV piogge 3 ore	0.004
media LCV piogge 6 ore	0.137	dev. standard LCV piogge 6 ore	0.002
media LCV piogge 12 ore	0.155	dev. standard LCV piogge 12 ore	0.002
media LCV piogge 24 ore	0.169	dev. standard LCV piogge 24 ore	0.004
media LCA piogge 1 ora	0.131	dev. standard LCA piogge 1 ora	0.008
media LCA piogge 3 ore	0.157	dev. standard LCA piogge 3 ore	0.01
media LCA piogge 6 ore	0.178	dev. standard LCA piogge 6 ore	0.006
media LCA piogge 12 ore	0.274	dev. standard LCA piogge 12 ore	0.005
media LCA piogge 24 ore	0.287	dev. standard LCA piogge 24 ore	0.005
media coeff. B1 regime pluviometrico	13.4	media coeff. C1 regime pluviometrico	2.1
media coeff. B2 regime pluviometrico	-14.9	media coeff. C2 regime pluviometrico	-53.6
dev. standard regime pluviometrico	42.4	coeff. variaz. regime pluviometrico	0.338
classe 1 corine land cover	0	classe 2 corine land cover	19.18
classe 3 corine land cover	3.55	classe 4 corine land cover	75.4
classe 5 corine land cover	2.04	media NDVI	0.221
dev. standard NDVI	0.098	media curve number 1	40.3
media curve number 2	57.4	media curve number 3	72.8
dev. standard curve number 1	20.2	dev. standard curve number 2	21
dev. standard curve number 3	18.7	media indice di permeabilità vapi	0.289
dev. standard indice di permeabilità vapi	0.103		

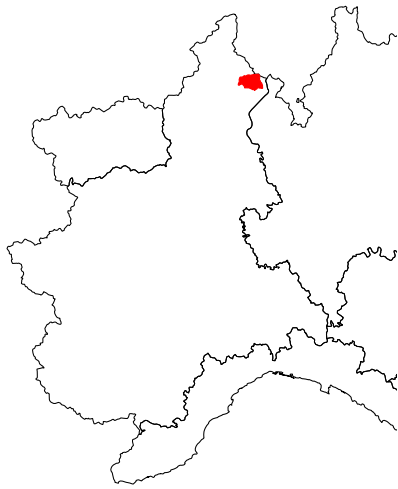


Buthier a Place Moulin

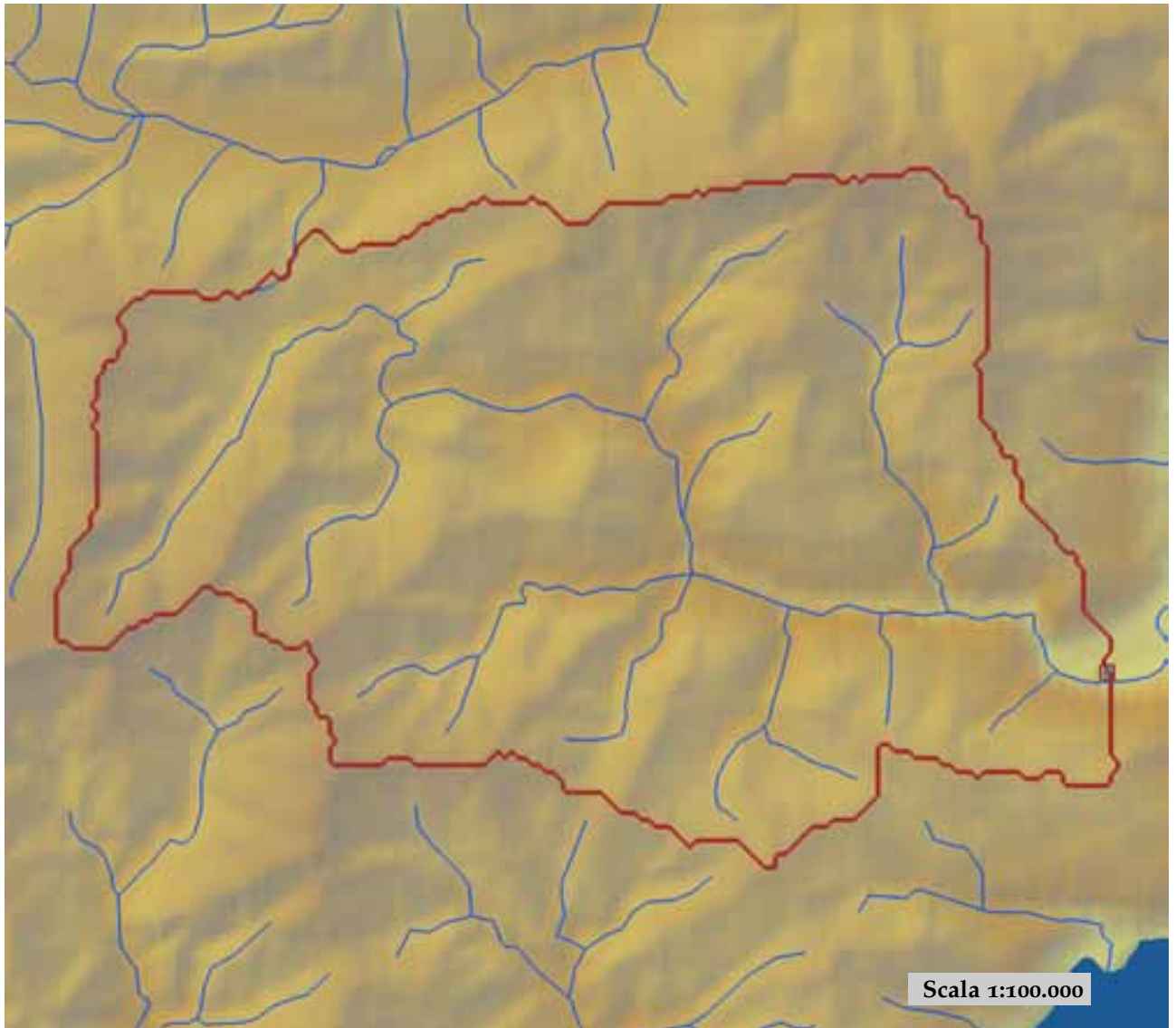


est (UTM _{32N} WGS84)	383131	nord (UTM _{32N} WGS84)	5083798
est DEM (UTM _{32N} WGS84)	383245	nord DEM (UTM _{32N} WGS84)	5083850
area bacino	74.45	quota media	2800

quota massima	4085	quota minima	1823
curva ipsografica 2,5%	3551	curva ipsografica 5%	3448
curva ipsografica 10%	3342	curva ipsografica 25%	3122
curva ipsografica 50%	2809	curva ipsografica 75%	2489
curva ipsografica 90%	2220	curva ipsografica 95%	2074
curva ipsografica 97,5%	1981	distanza interquartile curva ipsografica	633
angolo di esposizione medio	239	lunghezza vettore orientamento	4.8
pendenza bacino	29.055	pendenza bacino quadrato equivalente	22.878
est baricentro (UTM _{32N} WGS84)	386350	nord baricentro (UTM _{32N} WGS84)	5087550
fattore di forma	0.398	rapporto di allungamento	0.712
media funzione di ampiezza	7758	varianza funzione di ampiezza	1.06×10 ⁷
skewness funzione di ampiezza	-0.235	kurtosis funzione di ampiezza	2.236
rapporto aree medie di due ordini adiacenti	4.843	rapporto di biforcazione	4
rapporto lunghezze medie di due ordini adiacenti	2.159	rapporto pendenze medie di due ordini adiacenti	2.112
densità di drenaggio	0.531	diametro topologico	10
lunghezza LDP	13.678	lunghezza asta principale	11.488
lunghezza totale reticolo idrografico	39.5	lunghezza media versanti	813
pendenza media LDP	9	media dell'afflusso totale annuo	956
deviazione standard dell'afflusso totale annuo	60	media coeff. pluviale orario CPP	12.398
dev. standard coeff. pluviale orario CPP	0.428	media esponente CPP	0.58
dev. standard esponente CPP	0.014	coeff. di intensità	0.013
media LCV piogge 1 ora	0.209	dev. standard LCV piogge 1 ora	0.01
media LCV piogge 3 ore	0.195	dev. standard LCV piogge 3 ore	0.007
media LCV piogge 6 ore	0.197	dev. standard LCV piogge 6 ore	0.004
media LCV piogge 12 ore	0.203	dev. standard LCV piogge 12 ore	0.004
media LCV piogge 24 ore	0.223	dev. standard LCV piogge 24 ore	0.007
media LCA piogge 1 ora	0.224	dev. standard LCA piogge 1 ora	0.014
media LCA piogge 3 ore	0.256	dev. standard LCA piogge 3 ore	0.012
media LCA piogge 6 ore	0.212	dev. standard LCA piogge 6 ore	0.006
media LCA piogge 12 ore	0.224	dev. standard LCA piogge 12 ore	0.007
media LCA piogge 24 ore	0.264	dev. standard LCA piogge 24 ore	0.009
media coeff. B1 regime pluviometrico	3.7	media coeff. C1 regime pluviometrico	6.7
media coeff. B2 regime pluviometrico	3.8	media coeff. C2 regime pluviometrico	-6.8
dev. standard regime pluviometrico	17.7	coeff. variaz. regime pluviometrico	0.268
classe 1 corine land cover	0	classe 2 corine land cover	9.5
classe 3 corine land cover	1.3	classe 4 corine land cover	87.25
classe 5 corine land cover	2.02	media NDVI	0.077
dev. standard NDVI	0.077	media curve number 1	45.5
media curve number 2	58.8	media curve number 3	68.4
dev. standard curve number 1	24.3	dev. standard curve number 2	30.5
dev. standard curve number 3	34.8	media indice di permeabilità vapi	0.342
dev. standard indice di permeabilità vapi	0.253		



Cannobino a Traffiume

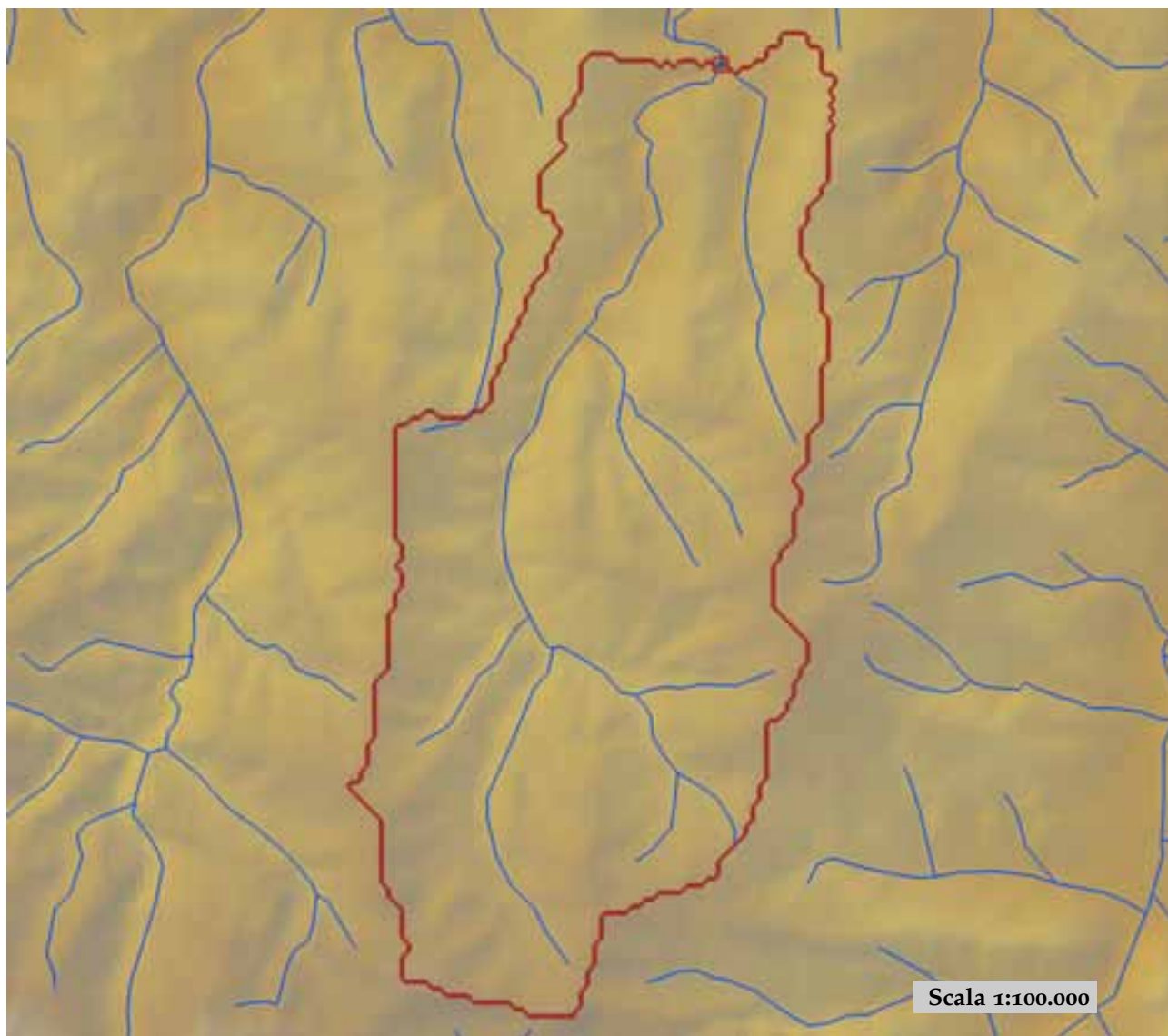


est (UTM ₃₂ N WGS84)	475222	nord (UTM ₃₂ N WGS84)	5100470
est DEM (UTM ₃₂ N WGS84)	475253	nord DEM (UTM ₃₂ N WGS84)	5100547
area bacino	106.85	quota media	1107

quota massima	2126	quota minima	221
curva ipsografica 2,5%	1850	curva ipsografica 5%	1741
curva ipsografica 10%	1602	curva ipsografica 25%	1358
curva ipsografica 50%	1088	curva ipsografica 75%	844
curva ipsografica 90%	635	curva ipsografica 95%	518
curva ipsografica 97,5%	431	distanza interquartile curva ipsografica	514
angolo di esposizione medio	72	lunghezza vettore orientamento	7.6
pendenza bacino	27.632	pendenza bacino quadrato equivalente	16.794
est baricentro (UTM _{32N} WGS84)	468050	nord baricentro (UTM _{32N} WGS84)	5103050
fattore di forma	0.176	rapporto di allungamento	0.473
media funzione di ampiezza	12155	varianza funzione di ampiezza	3.14×10 ⁷
skewness funzione di ampiezza	0.182	kurtosis funzione di ampiezza	2.392
rapporto aree medie di due ordini adiacenti	7.01	rapporto di biforcazione	4.8
rapporto lunghezze medie di due ordini adiacenti	4.625	rapporto pendenze medie di due ordini adiacenti	2.269
densità di drenaggio	0.543	diametro topologico	14
lunghezza LDP	24.663	lunghezza asta principale	23.156
lunghezza totale reticolo idrografico	58	lunghezza media versanti	662
pendenza media LDP	11	media dell'afflusso totale annuo	2308
deviazione standard dell'afflusso totale annuo	83	media coeff. pluviale orario CPP	34.168
dev. standard coeff. pluviale orario CPP	1.899	media esponente CPP	0.479
dev. standard esponente CPP	0.019	coeff. di intensità	0.015
media LCV piogge 1 ora	0.193	dev. standard LCV piogge 1 ora	0.008
media LCV piogge 3 ore	0.196	dev. standard LCV piogge 3 ore	0.003
media LCV piogge 6 ore	0.191	dev. standard LCV piogge 6 ore	0.007
media LCV piogge 12 ore	0.194	dev. standard LCV piogge 12 ore	0.005
media LCV piogge 24 ore	0.203	dev. standard LCV piogge 24 ore	0.006
media LCA piogge 1 ora	0.156	dev. standard LCA piogge 1 ora	0.021
media LCA piogge 3 ore	0.219	dev. standard LCA piogge 3 ore	0.034
media LCA piogge 6 ore	0.247	dev. standard LCA piogge 6 ore	0.039
media LCA piogge 12 ore	0.181	dev. standard LCA piogge 12 ore	0.028
media LCA piogge 24 ore	0.189	dev. standard LCA piogge 24 ore	0.017
media coeff. B1 regime pluviometrico	-75.6	media coeff. C1 regime pluviometrico	-62.1
media coeff. B2 regime pluviometrico	-10.9	media coeff. C2 regime pluviometrico	-73.5
dev. standard regime pluviometrico	90.9	coeff. variaz. regime pluviometrico	0.418
classe 1 corine land cover	0.23	classe 2 corine land cover	86.04
classe 3 corine land cover	13.77	classe 4 corine land cover	0
classe 5 corine land cover	0	media NDVI	0.534
dev. standard NDVI	0.062	media curve number 1	27.6
media curve number 2	45.5	media curve number 3	64.3
dev. standard curve number 1	11.9	dev. standard curve number 2	13.7
dev. standard curve number 3	12.8	media indice di permeabilità vapi	0.538
dev. standard indice di permeabilità vapi	0.057		



Casotto a Monasterolo Casotto

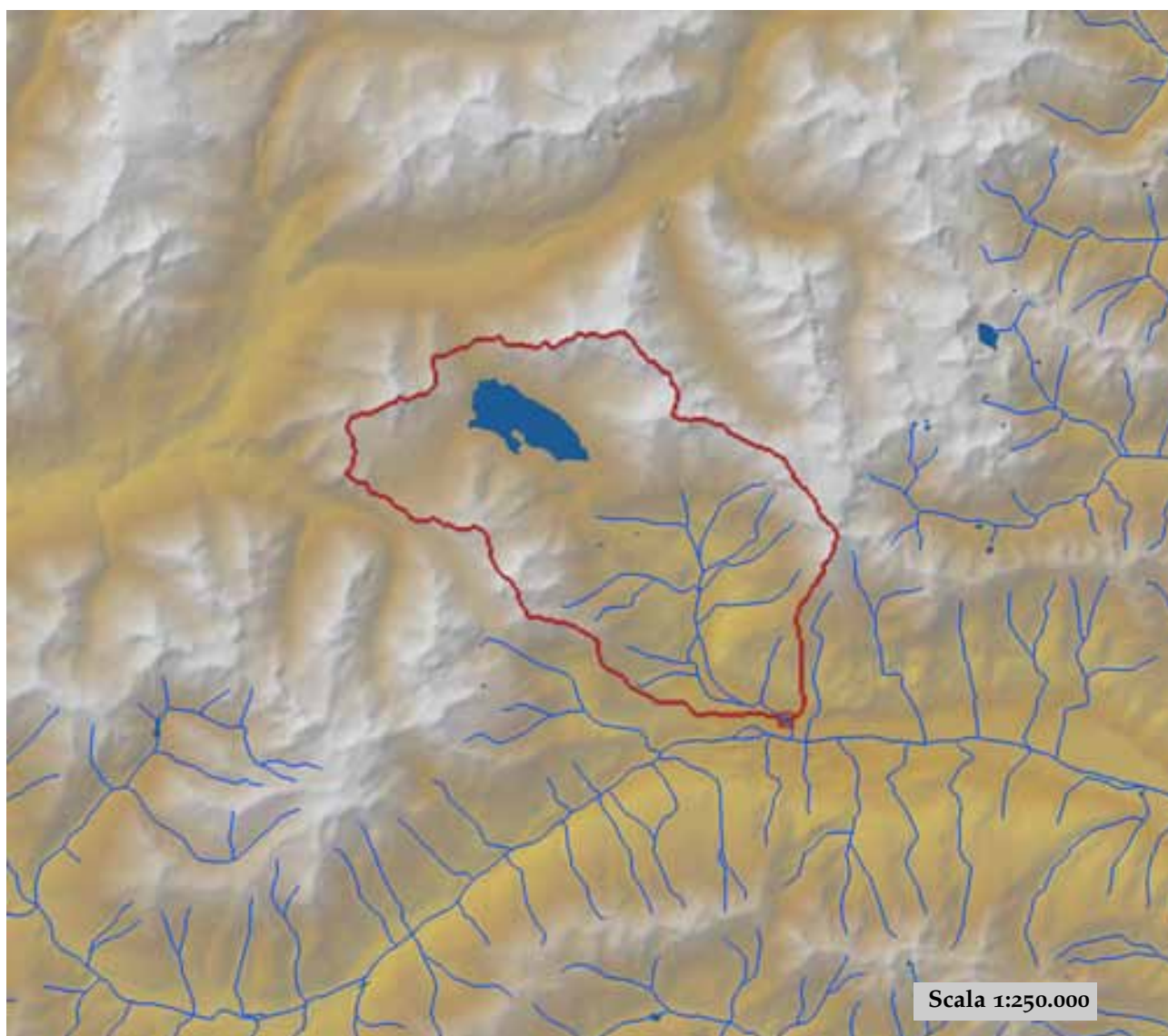


est (UTM ₃₂ N WGS84)	415233	nord (UTM ₃₂ N WGS84)	4906954
est DEM (UTM ₃₂ N WGS84)	415136	nord DEM (UTM ₃₂ N WGS84)	4907138
area bacino	65.61	quota media	1233

quota massima	2109	quota minima	660
curva ipsografica 2,5%	1835	curva ipsografica 5%	1768
curva ipsografica 10%	1658	curva ipsografica 25%	1454
curva ipsografica 50%	1216	curva ipsografica 75%	978
curva ipsografica 90%	843	curva ipsografica 95%	784
curva ipsografica 97,5%	745	distanza interquartile curva ipsografica	476
angolo di esposizione medio	352	lunghezza vettore orientamento	7
pendenza bacino	19.883	pendenza bacino quadrato equivalente	13.753
est baricentro (UTM _{32N} WGS84)	413450	nord baricentro (UTM _{32N} WGS84)	4900350
fattore di forma	0.243	rapporto di allungamento	0.556
media funzione di ampiezza	9712	varianza funzione di ampiezza	2.22×10 ⁷
skewness funzione di ampiezza	-0.261	kurtosis funzione di ampiezza	1.815
rapporto aree medie di due ordini adiacenti	3.384	rapporto di biforcazione	2.8
rapporto lunghezze medie di due ordini adiacenti	1.904	rapporto pendenze medie di due ordini adiacenti	1.873
densità di drenaggio	0.569	diametro topologico	9
lunghezza LDP	16.427	lunghezza asta principale	15.12
lunghezza totale reticolo idrografico	37.3	lunghezza media versanti	662
pendenza media LDP	10	media dell'afflusso totale annuo	1242
deviazione standard dell'afflusso totale annuo	58	media coeff. pluviale orario CPP	24.387
dev. standard coeff. pluviale orario CPP	1.028	media esponente CPP	0.462
dev. standard esponente CPP	0.033	coeff. di intensità	0.02
media LCV piogge 1 ora	0.167	dev. standard LCV piogge 1 ora	0.007
media LCV piogge 3 ore	0.157	dev. standard LCV piogge 3 ore	0.004
media LCV piogge 6 ore	0.159	dev. standard LCV piogge 6 ore	0.008
media LCV piogge 12 ore	0.182	dev. standard LCV piogge 12 ore	0.012
media LCV piogge 24 ore	0.18	dev. standard LCV piogge 24 ore	0.012
media LCA piogge 1 ora	0.151	dev. standard LCA piogge 1 ora	0.017
media LCA piogge 3 ore	0.151	dev. standard LCA piogge 3 ore	0.026
media LCA piogge 6 ore	0.196	dev. standard LCA piogge 6 ore	0.046
media LCA piogge 12 ore	0.257	dev. standard LCA piogge 12 ore	0.034
media LCA piogge 24 ore	0.21	dev. standard LCA piogge 24 ore	0.033
media coeff. B1 regime pluviometrico	14.1	media coeff. C1 regime pluviometrico	2.5
media coeff. B2 regime pluviometrico	2	media coeff. C2 regime pluviometrico	-43.8
dev. standard regime pluviometrico	35.9	coeff. variaz. regime pluviometrico	0.337
classe 1 corine land cover	0	classe 2 corine land cover	89.89
classe 3 corine land cover	9.1	classe 4 corine land cover	1.07
classe 5 corine land cover	0	media NDVI	0.541
dev. standard NDVI	0.058	media curve number 1	40
media curve number 2	59.6	media curve number 3	76.8
dev. standard curve number 1	9.2	dev. standard curve number 2	10
dev. standard curve number 3	8.5	media indice di permeabilità vapi	0.536
dev. standard indice di permeabilità vapi	0.203		

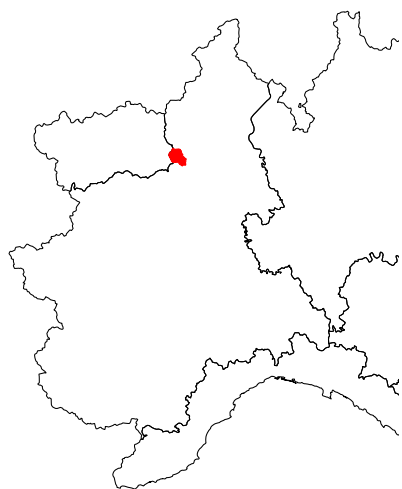


Cenischia a Susa

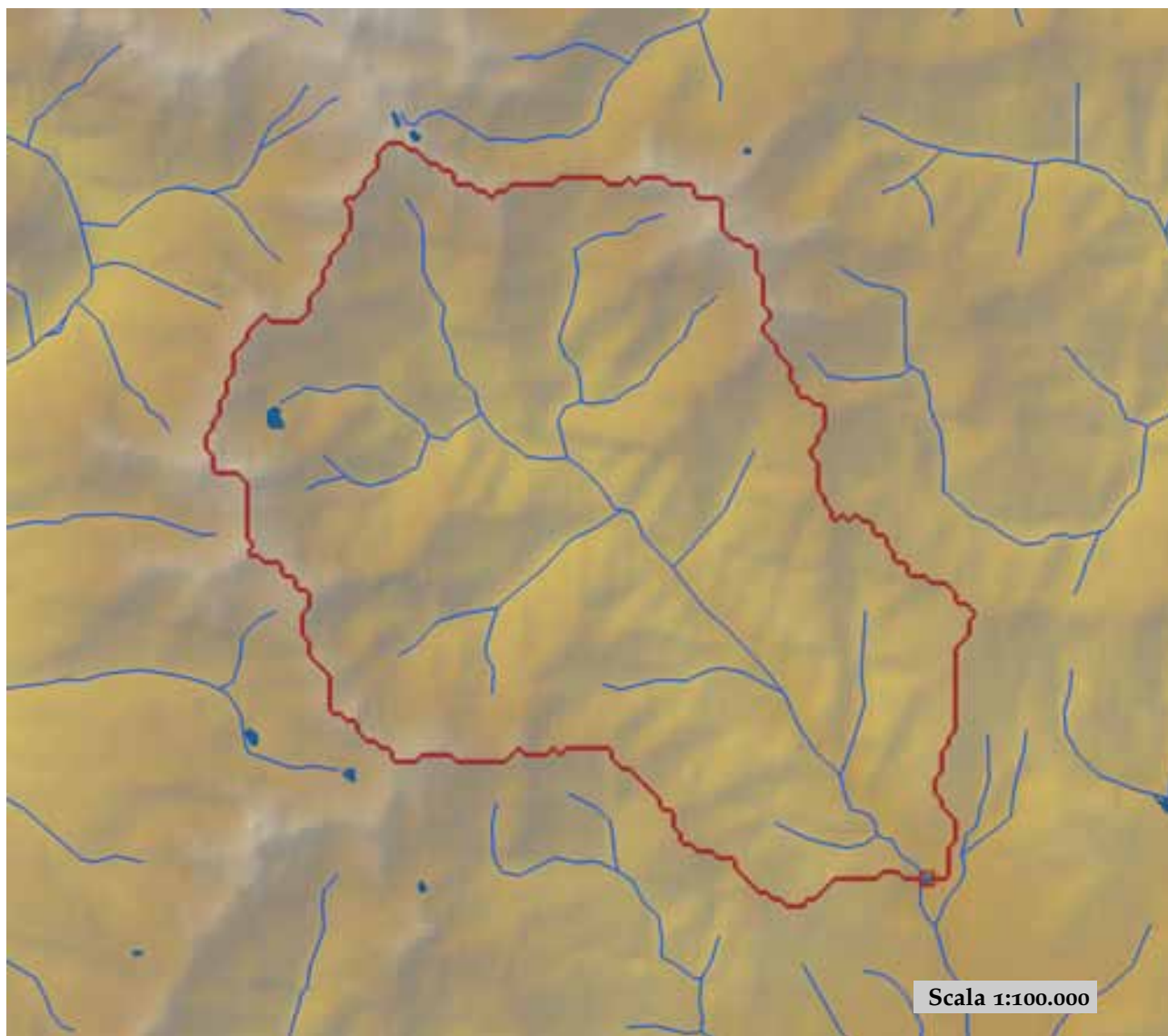


est (UTM ₃₂ N WGS84)	347163	nord (UTM ₃₂ N WGS84)	5000542
est DEM (UTM ₃₂ N WGS84)	347052	nord DEM (UTM ₃₂ N WGS84)	5000553
area bacino	145.76	quota media	2033

quota massima	3583	quota minima	500
curva ipsografica 2,5%	3192	curva ipsografica 5%	3039
curva ipsografica 10%	2837	curva ipsografica 25%	2509
curva ipsografica 50%	2099	curva ipsografica 75%	1602
curva ipsografica 90%	1000	curva ipsografica 95%	777
curva ipsografica 97,5%	635	distanza interquartile curva ipsografica	907
angolo di esposizione medio	177	lunghezza vettore orientamento	9.9
pendenza bacino	23.564	pendenza bacino quadrato equivalente	26.505
est baricentro (UTM _{32N} WGS84)	340750	nord baricentro (UTM _{32N} WGS84)	5008150
fattore di forma	0.156	rapporto di allungamento	0.445
media funzione di ampiezza	15566	varianza funzione di ampiezza	5.47×10 ⁷
skewness funzione di ampiezza	0.121	kurtosis funzione di ampiezza	2.008
rapporto aree medie di due ordini adiacenti	4.714	rapporto di biforcazione	4.472
rapporto lunghezze medie di due ordini adiacenti	2.544	rapporto pendenze medie di due ordini adiacenti	1.296
densità di drenaggio	0.652	diametro topologico	24
lunghezza LDP	30.595	lunghezza asta principale	28.505
lunghezza totale reticolo idrografico	95	lunghezza media versanti	847
pendenza media LDP	6	media dell'afflusso totale annuo	926
deviazione standard dell'afflusso totale annuo	59	media coeff. pluviale orario CPP	14.502
dev. standard coeff. pluviale orario CPP	0.849	media esponente CPP	0.49
dev. standard esponente CPP	0.026	coeff. di intensità	0.016
media LCV piogge 1 ora	0.18	dev. standard LCV piogge 1 ora	0.016
media LCV piogge 3 ore	0.156	dev. standard LCV piogge 3 ore	0.009
media LCV piogge 6 ore	0.15	dev. standard LCV piogge 6 ore	0.011
media LCV piogge 12 ore	0.146	dev. standard LCV piogge 12 ore	0.013
media LCV piogge 24 ore	0.165	dev. standard LCV piogge 24 ore	0.012
media LCA piogge 1 ora	0.179	dev. standard LCA piogge 1 ora	0.032
media LCA piogge 3 ore	0.177	dev. standard LCA piogge 3 ore	0.027
media LCA piogge 6 ore	0.175	dev. standard LCA piogge 6 ore	0.039
media LCA piogge 12 ore	0.186	dev. standard LCA piogge 12 ore	0.068
media LCA piogge 24 ore	0.191	dev. standard LCA piogge 24 ore	0.042
media coeff. B1 regime pluviometrico	-11.5	media coeff. C1 regime pluviometrico	-6.1
media coeff. B2 regime pluviometrico	-3.5	media coeff. C2 regime pluviometrico	-27
dev. standard regime pluviometrico	25	coeff. variaz. regime pluviometrico	0.314
classe 1 corine land cover	0.7	classe 2 corine land cover	28.46
classe 3 corine land cover	34.78	classe 4 corine land cover	31.54
classe 5 corine land cover	4.56	media NDVI	0.435
dev. standard NDVI	0.129	media curve number 1	47.5
media curve number 2	65	media curve number 3	78.8
dev. standard curve number 1	14.1	dev. standard curve number 2	17
dev. standard curve number 3	19.4	media indice di permeabilità vapi	0.185
dev. standard indice di permeabilità vapi	0.076		

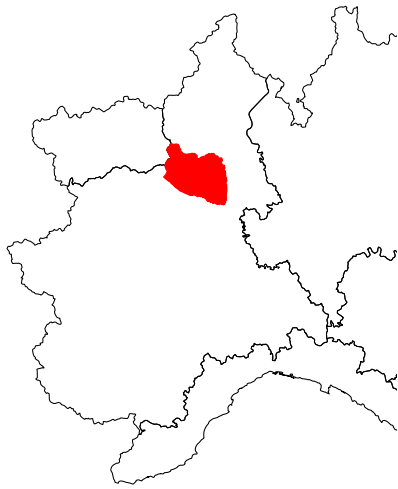


Cervo a Passobreve

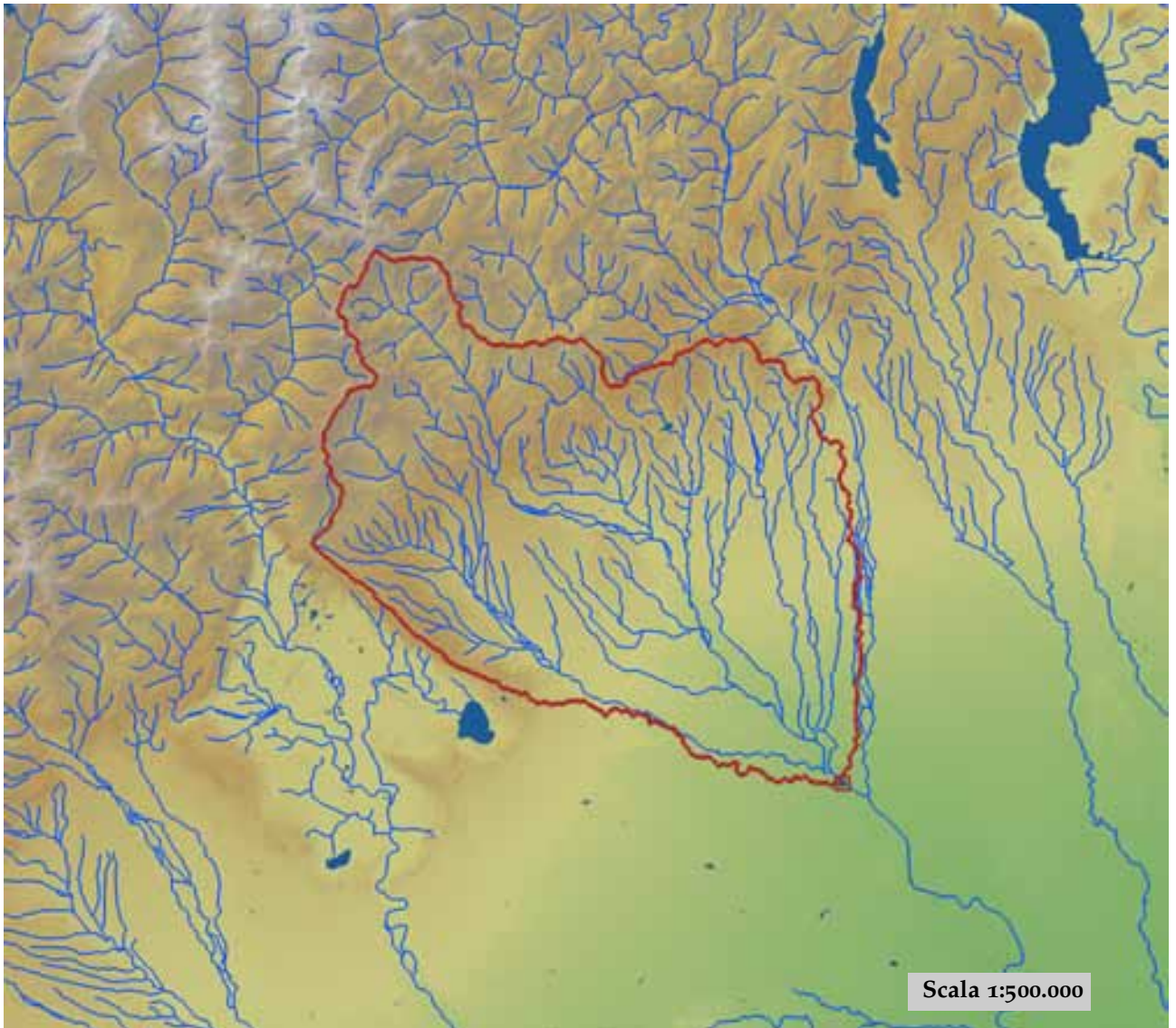


est (UTM ₃₂ N WGS84)	425027	nord (UTM ₃₂ N WGS84)	5053441
est DEM (UTM ₃₂ N WGS84)	424990	nord DEM (UTM ₃₂ N WGS84)	5053388
area bacino	75.44	quota media	1505

quota massima	2507	quota minima	595
curva ipsografica 2,5%	2305	curva ipsografica 5%	2240
curva ipsografica 10%	2122	curva ipsografica 25%	1841
curva ipsografica 50%	1476	curva ipsografica 75%	1165
curva ipsografica 90%	938	curva ipsografica 95%	834
curva ipsografica 97,5%	761	distanza interquartile curva ipsografica	676
angolo di esposizione medio	131	lunghezza vettore orientamento	7.2
pendenza bacino	26.993	pendenza bacino quadrato equivalente	20.309
est baricentro (UTM32N WGS84)	420050	nord baricentro (UTM32N WGS84)	5058650
fattore di forma	0.313	rapporto di allungamento	0.631
media funzione di ampiezza	9454	varianza funzione di ampiezza	1.45×10^7
skewness funzione di ampiezza	-0.494	kurtosis funzione di ampiezza	2.077
rapporto aree medie di due ordini adiacenti	3.11	rapporto di biforcazione	3.4
rapporto lunghezze medie di due ordini adiacenti	1.129	rapporto pendenze medie di due ordini adiacenti	1.738
densità di drenaggio	0.538	diametro topologico	12
lunghezza LDP	15.524	lunghezza asta principale	13.934
lunghezza totale reticolo idrografico	40.6	lunghezza media versanti	698
pendenza media LDP	13	media dell'afflusso totale annuo	1800
deviazione standard dell'afflusso totale annuo	110	media coeff. pluviale orario CPP	32.405
dev. standard coeff. pluviale orario CPP	2.999	media esponente CPP	0.513
dev. standard esponente CPP	0.029	coeff. di intensità	0.018
media LCV piogge 1 ora	0.169	dev. standard LCV piogge 1 ora	0.013
media LCV piogge 3 ore	0.175	dev. standard LCV piogge 3 ore	0.013
media LCV piogge 6 ore	0.168	dev. standard LCV piogge 6 ore	0.008
media LCV piogge 12 ore	0.179	dev. standard LCV piogge 12 ore	0.008
media LCV piogge 24 ore	0.184	dev. standard LCV piogge 24 ore	0.011
media LCA piogge 1 ora	0.266	dev. standard LCA piogge 1 ora	0.048
media LCA piogge 3 ore	0.231	dev. standard LCA piogge 3 ore	0.022
media LCA piogge 6 ore	0.191	dev. standard LCA piogge 6 ore	0.013
media LCA piogge 12 ore	0.171	dev. standard LCA piogge 12 ore	0.013
media LCA piogge 24 ore	0.185	dev. standard LCA piogge 24 ore	0.021
media coeff. B1 regime pluviometrico	-45.9	media coeff. C1 regime pluviometrico	-22.5
media coeff. B2 regime pluviometrico	1	media coeff. C2 regime pluviometrico	-62
dev. standard regime pluviometrico	61.4	coeff. variaz. regime pluviometrico	0.41
classe 1 corine land cover	0.53	classe 2 corine land cover	63.01
classe 3 corine land cover	24.75	classe 4 corine land cover	11.78
classe 5 corine land cover	0	media NDVI	0.436
dev. standard NDVI	0.105	media curve number 1	39.7
media curve number 2	58.8	media curve number 3	76.1
dev. standard curve number 1	11.7	dev. standard curve number 2	12.3
dev. standard curve number 3	10.5	media indice di permeabilità vapi	0.495
dev. standard indice di permeabilità vapi	0.05		

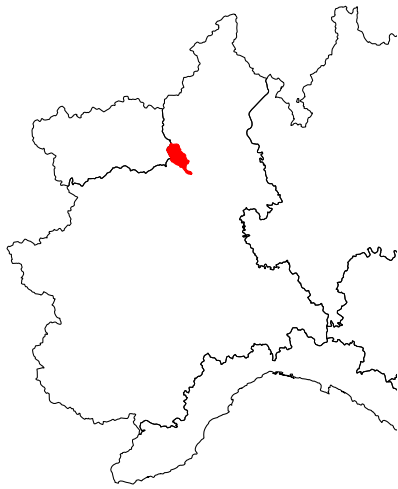


Cervo a Quinto Vercellese

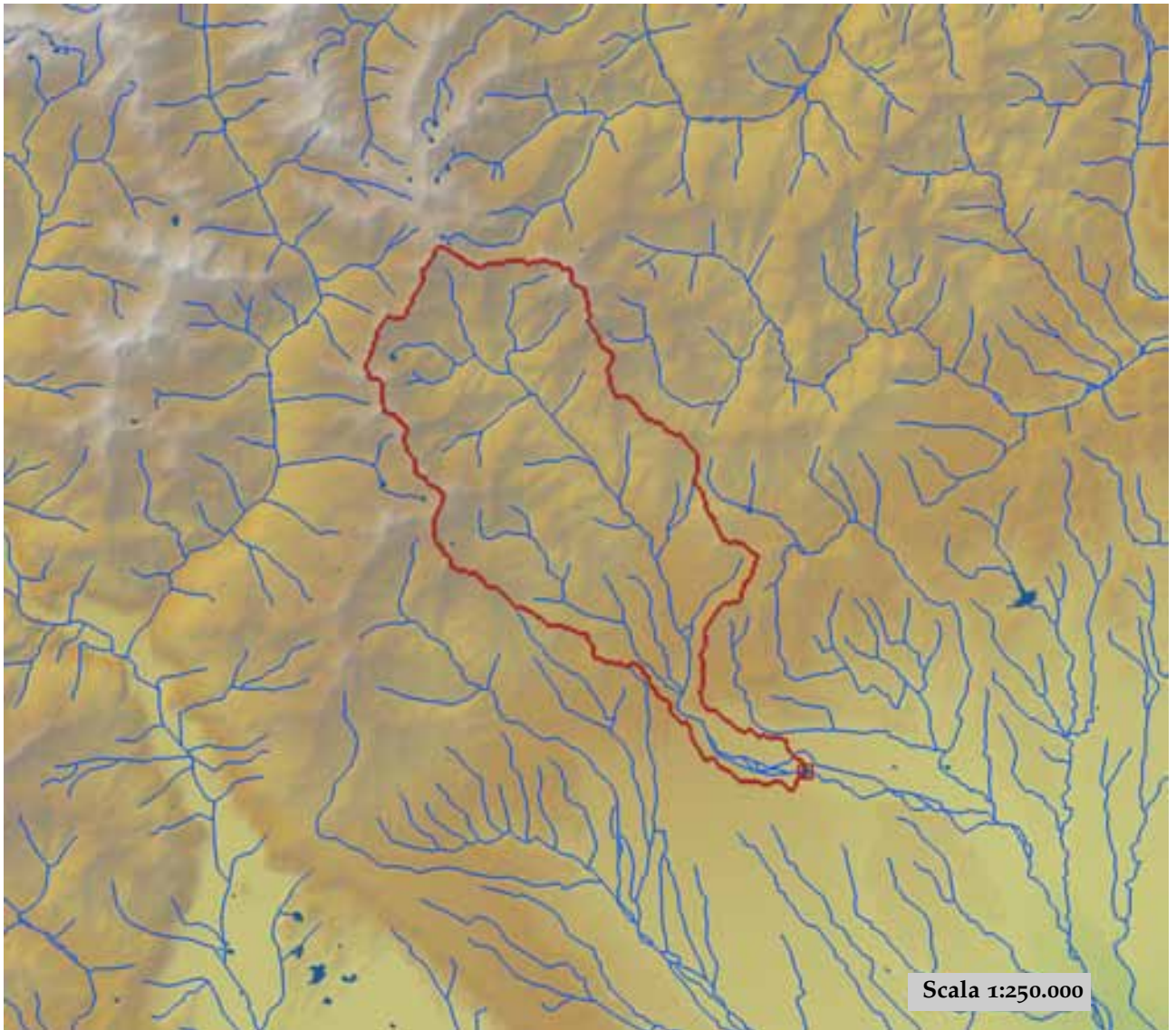


est (UTM ₃₂ N WGS84)	451013	nord (UTM ₃₂ N WGS84)	5025503
est DEM (UTM ₃₂ N WGS84)	451347	nord DEM (UTM ₃₂ N WGS84)	5025254
area bacino	1001.85	quota media	504

quota massima	2579	quota minima	132
curva ipsografica 2,5%	1934	curva ipsografica 5%	1636
curva ipsografica 10%	1242	curva ipsografica 25%	562
curva ipsografica 50%	305	curva ipsografica 75%	213
curva ipsografica 90%	171	curva ipsografica 95%	155
curva ipsografica 97,5%	147	distanza interquartile curva ipsografica	349
angolo di esposizione medio	146	lunghezza vettore orientamento	25.7
pendenza bacino	7.081	pendenza bacino quadrato equivalente	1.099
est baricentro (UTM _{32N} WGS84)	433850	nord baricentro (UTM _{32N} WGS84)	5044050
fattore di forma	0.221	rapporto di allungamento	0.531
media funzione di ampiezza	35851	varianza funzione di ampiezza	2.21×10 ⁸
skewness funzione di ampiezza	-0.089	kurtosis funzione di ampiezza	2.324
rapporto aree medie di due ordini adiacenti	4.903	rapporto di biforcazione	4.306
rapporto lunghezze medie di due ordini adiacenti	2.64	rapporto pendenze medie di due ordini adiacenti	2.63
densità di drenaggio	0.91	diametro topologico	40
lunghezza LDP	67.298	lunghezza asta principale	65.708
lunghezza totale reticolo idrografico	911.3	lunghezza media versanti	686
pendenza media LDP	4	media dell'afflusso totale annuo	1347
deviazione standard dell'afflusso totale annuo	265	media coeff. pluviale orario CPP	32.435
dev. standard coeff. pluviale orario CPP	1.852	media esponente CPP	0.366
dev. standard esponente CPP	0.066	coeff. di intensità	0.024
media LCV piogge 1 ora	0.142	dev. standard LCV piogge 1 ora	0.019
media LCV piogge 3 ore	0.142	dev. standard LCV piogge 3 ore	0.016
media LCV piogge 6 ore	0.147	dev. standard LCV piogge 6 ore	0.011
media LCV piogge 12 ore	0.151	dev. standard LCV piogge 12 ore	0.016
media LCV piogge 24 ore	0.16	dev. standard LCV piogge 24 ore	0.016
media LCA piogge 1 ora	0.135	dev. standard LCA piogge 1 ora	0.064
media LCA piogge 3 ore	0.217	dev. standard LCA piogge 3 ore	0.043
media LCA piogge 6 ore	0.203	dev. standard LCA piogge 6 ore	0.028
media LCA piogge 12 ore	0.183	dev. standard LCA piogge 12 ore	0.035
media LCA piogge 24 ore	0.211	dev. standard LCA piogge 24 ore	0.031
media coeff. B1 regime pluviometrico	-36.3	media coeff. C1 regime pluviometrico	-11.3
media coeff. B2 regime pluviometrico	2.8	media coeff. C2 regime pluviometrico	-42.4
dev. standard regime pluviometrico	43.8	coeff. variaz. regime pluviometrico	0.365
classe 1 corine land cover	7.02	classe 2 corine land cover	35.58
classe 3 corine land cover	55.33	classe 4 corine land cover	1.97
classe 5 corine land cover	0.11	media NDVI	0.509
dev. standard NDVI	0.085	media curve number 1	49.7
media curve number 2	68.7	media curve number 3	83.6
dev. standard curve number 1	7.7	dev. standard curve number 2	7.4
dev. standard curve number 3	5.9	media indice di permeabilità vapi	0.481
dev. standard indice di permeabilità vapi	0.101		

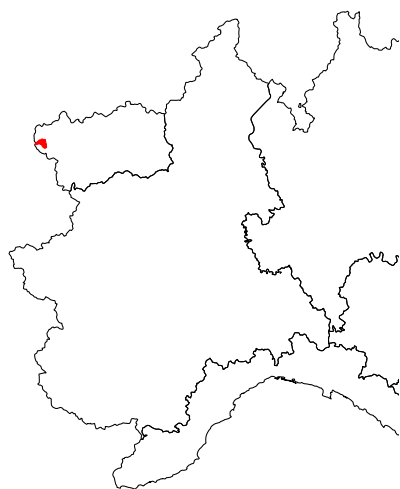


Cervo a Vigliano Biellese

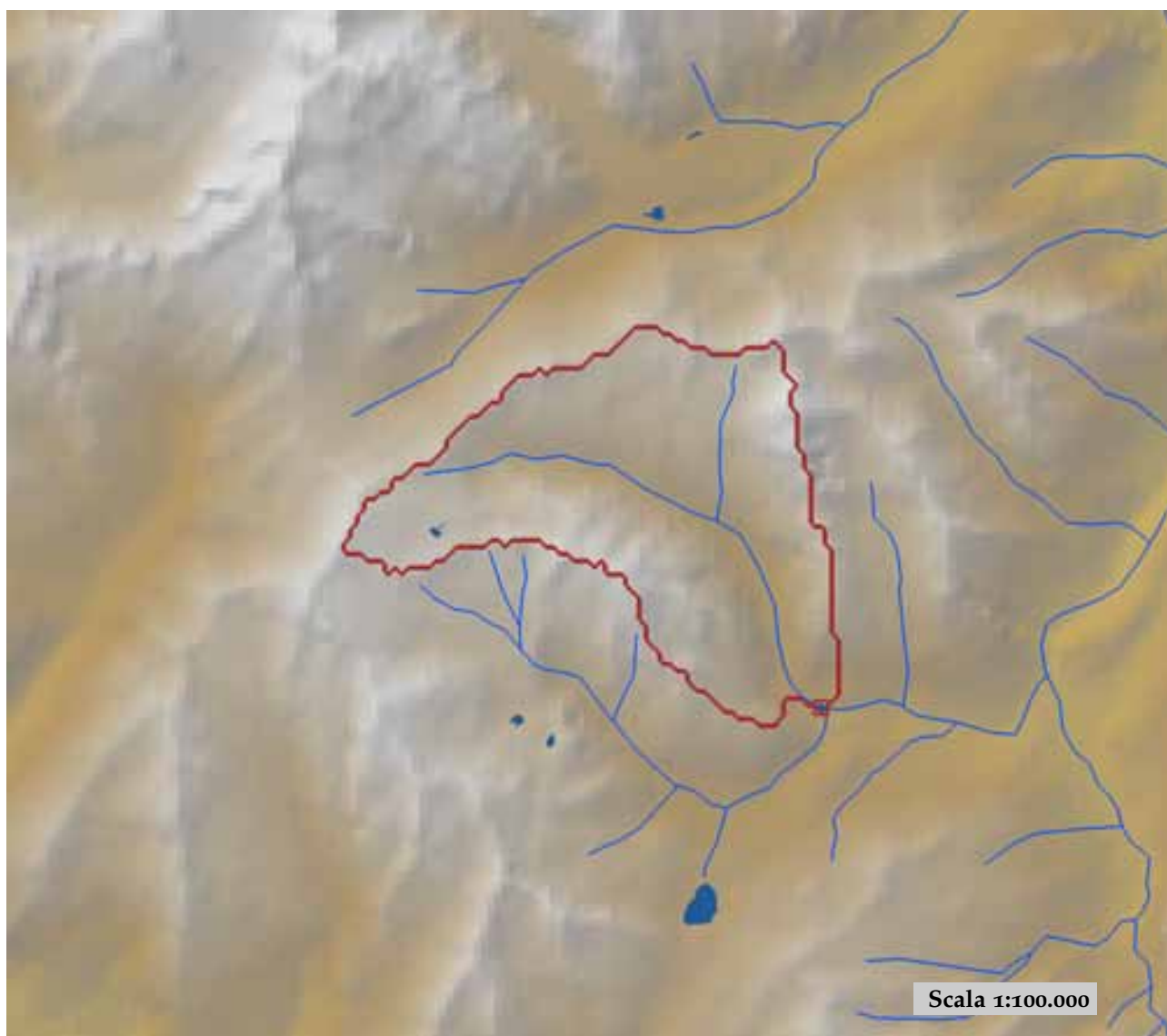


est (UTM32N WGS84)	430621	nord (UTM32N WGS84)	5044910
est DEM (UTM32N WGS84)	430548	nord DEM (UTM32N WGS84)	5044946
area bacino	132.53	quota media	1257

quota massima	2507	quota minima	300
curva ipsografica 2,5%	2267	curva ipsografica 5%	2178
curva ipsografica 10%	2023	curva ipsografica 25%	1665
curva ipsografica 50%	1246	curva ipsografica 75%	792
curva ipsografica 90%	552	curva ipsografica 95%	424
curva ipsografica 97,5%	353	distanza interquartile curva ipsografica	873
angolo di esposizione medio	139	lunghezza vettore orientamento	13.8
pendenza bacino	21.836	pendenza bacino quadrato equivalente	16.452
est baricentro (UTM _{32N} WGS84)	421750	nord baricentro (UTM _{32N} WGS84)	5055550
fattore di forma	0.161	rapporto di allungamento	0.453
media funzione di ampiezza	18092	varianza funzione di ampiezza	4.43×10 ⁷
skewness funzione di ampiezza	-0.442	kurtosis funzione di ampiezza	2.486
rapporto aree medie di due ordini adiacenti	4.084	rapporto di biforcazione	3.75
rapporto lunghezze medie di due ordini adiacenti	2.014	rapporto pendenze medie di due ordini adiacenti	1.877
densità di drenaggio	0.629	diametro topologico	17
lunghezza LDP	28.688	lunghezza asta principale	27.098
lunghezza totale reticolo idrografico	83.3	lunghezza media versanti	678
pendenza media LDP	9	media dell'afflusso totale annuo	1780
deviazione standard dell'afflusso totale annuo	131	media coeff. pluviale orario CPP	33.133
dev. standard coeff. pluviale orario CPP	2.626	media esponente CPP	0.478
dev. standard esponente CPP	0.058	coeff. di intensità	0.019
media LCV piogge 1 ora	0.168	dev. standard LCV piogge 1 ora	0.012
media LCV piogge 3 ore	0.169	dev. standard LCV piogge 3 ore	0.014
media LCV piogge 6 ore	0.165	dev. standard LCV piogge 6 ore	0.01
media LCV piogge 12 ore	0.179	dev. standard LCV piogge 12 ore	0.009
media LCV piogge 24 ore	0.183	dev. standard LCV piogge 24 ore	0.01
media LCA piogge 1 ora	0.216	dev. standard LCA piogge 1 ora	0.076
media LCA piogge 3 ore	0.215	dev. standard LCA piogge 3 ore	0.032
media LCA piogge 6 ore	0.187	dev. standard LCA piogge 6 ore	0.019
media LCA piogge 12 ore	0.166	dev. standard LCA piogge 12 ore	0.017
media LCA piogge 24 ore	0.188	dev. standard LCA piogge 24 ore	0.025
media coeff. B1 regime pluviometrico	-48.6	media coeff. C1 regime pluviometrico	-22.7
media coeff. B2 regime pluviometrico	2.8	media coeff. C2 regime pluviometrico	-58.8
dev. standard regime pluviometrico	60.7	coeff. variaz. regime pluviometrico	0.413
classe 1 corine land cover	5.59	classe 2 corine land cover	55.46
classe 3 corine land cover	30.59	classe 4 corine land cover	8.39
classe 5 corine land cover	0	media NDVI	0.467
dev. standard NDVI	0.105	media curve number 1	42.9
media curve number 2	62	media curve number 3	78.6
dev. standard curve number 1	11.2	dev. standard curve number 2	11.5
dev. standard curve number 3	9.4	media indice di permeabilità vapi	0.497
dev. standard indice di permeabilità vapi	0.045		

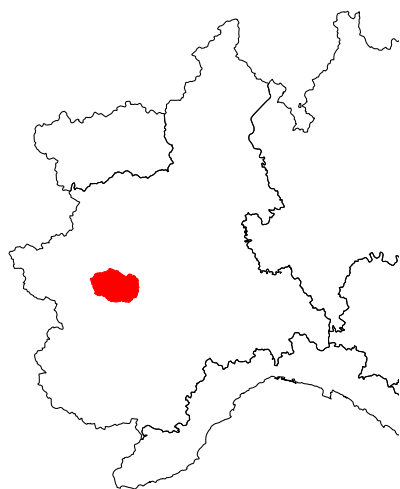


Chiavanne a Alpette

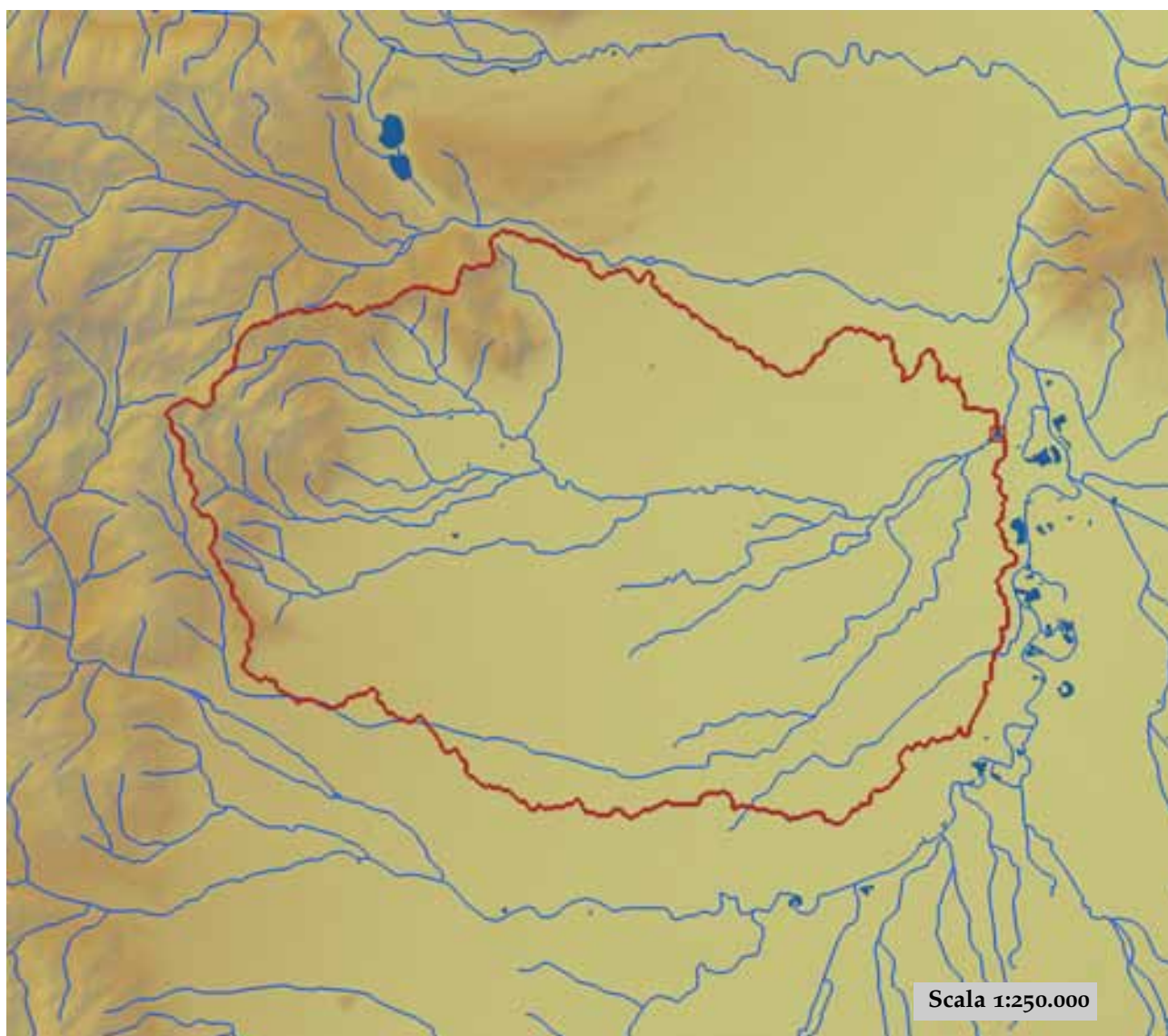


est (UTM _{32N} WGS84)	336855	nord (UTM _{32N} WGS84)	5064354
est DEM (UTM _{32N} WGS84)	336853	nord DEM (UTM _{32N} WGS84)	5064456
area bacino	21.96	quota media	2485

quota massima	3164	quota minima	1792
curva ipsografica 2,5%	2959	curva ipsografica 5%	2898
curva ipsografica 10%	2813	curva ipsografica 25%	2680
curva ipsografica 50%	2525	curva ipsografica 75%	2287
curva ipsografica 90%	2083	curva ipsografica 95%	1980
curva ipsografica 97,5%	1919	distanza interquartile curva ipsografica	393
angolo di esposizione medio	156	lunghezza vettore orientamento	4
pendenza bacino	25.528	pendenza bacino quadrato equivalente	31.326
est baricentro (UTM _{32N} WGS84)	334250	nord baricentro (UTM _{32N} WGS84)	5067450
fattore di forma	0.199	rapporto di allungamento	0.503
media funzione di ampiezza	5351	varianza funzione di ampiezza	5.81×10 ⁶
skewness funzione di ampiezza	-0.102	kurtosis funzione di ampiezza	2.186
rapporto aree medie di due ordini adiacenti	-	rapporto di biforcazione	10.033
rapporto lunghezze medie di due ordini adiacenti	0.457	rapporto pendenze medie di due ordini adiacenti	-
densità di drenaggio	-	diametro topologico	5
lunghezza LDP	10.515	lunghezza asta principale	7.884
lunghezza totale reticolo idrografico	-	lunghezza media versanti	850
pendenza media LDP	12	media dell'afflusso totale annuo	1042
deviazione standard dell'afflusso totale annuo	27	media coeff. pluviale orario CPP	13.263
dev. standard coeff. pluviale orario CPP	0.395	media esponente CPP	0.486
dev. standard esponente CPP	0.008	coeff. di intensità	0.013
media LCV piogge 1 ora	0.198	dev. standard LCV piogge 1 ora	0.008
media LCV piogge 3 ore	0.16	dev. standard LCV piogge 3 ore	0.005
media LCV piogge 6 ore	0.162	dev. standard LCV piogge 6 ore	0.004
media LCV piogge 12 ore	0.182	dev. standard LCV piogge 12 ore	0.004
media LCV piogge 24 ore	0.211	dev. standard LCV piogge 24 ore	0.004
media LCA piogge 1 ora	0.15	dev. standard LCA piogge 1 ora	0.004
media LCA piogge 3 ore	0.169	dev. standard LCA piogge 3 ore	0.004
media LCA piogge 6 ore	0.213	dev. standard LCA piogge 6 ore	0.001
media LCA piogge 12 ore	0.254	dev. standard LCA piogge 12 ore	0.004
media LCA piogge 24 ore	0.26	dev. standard LCA piogge 24 ore	0.003
media coeff. B1 regime pluviometrico	2.2	media coeff. C1 regime pluviometrico	-12.6
media coeff. B2 regime pluviometrico	-4.8	media coeff. C2 regime pluviometrico	-5.7
dev. standard regime pluviometrico	15.6	coeff. variaz. regime pluviometrico	0.211
classe 1 corine land cover	0	classe 2 corine land cover	8.9
classe 3 corine land cover	41.38	classe 4 corine land cover	49.91
classe 5 corine land cover	0	media NDVI	0.191
dev. standard NDVI	0.078	media curve number 1	53.3
media curve number 2	70.8	media curve number 3	84
dev. standard curve number 1	11.9	dev. standard curve number 2	13
dev. standard curve number 3	13.6	media indice di permeabilità vapi	0.283
dev. standard indice di permeabilità vapi	0.102		

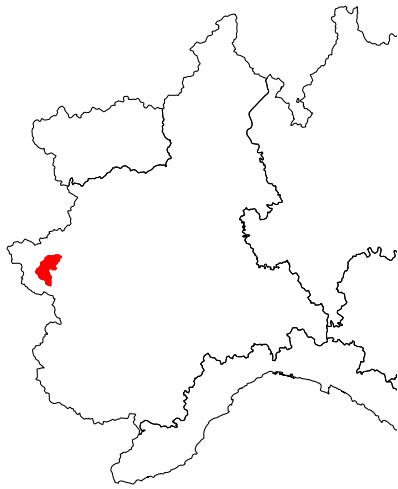


Chisola a La Loggia

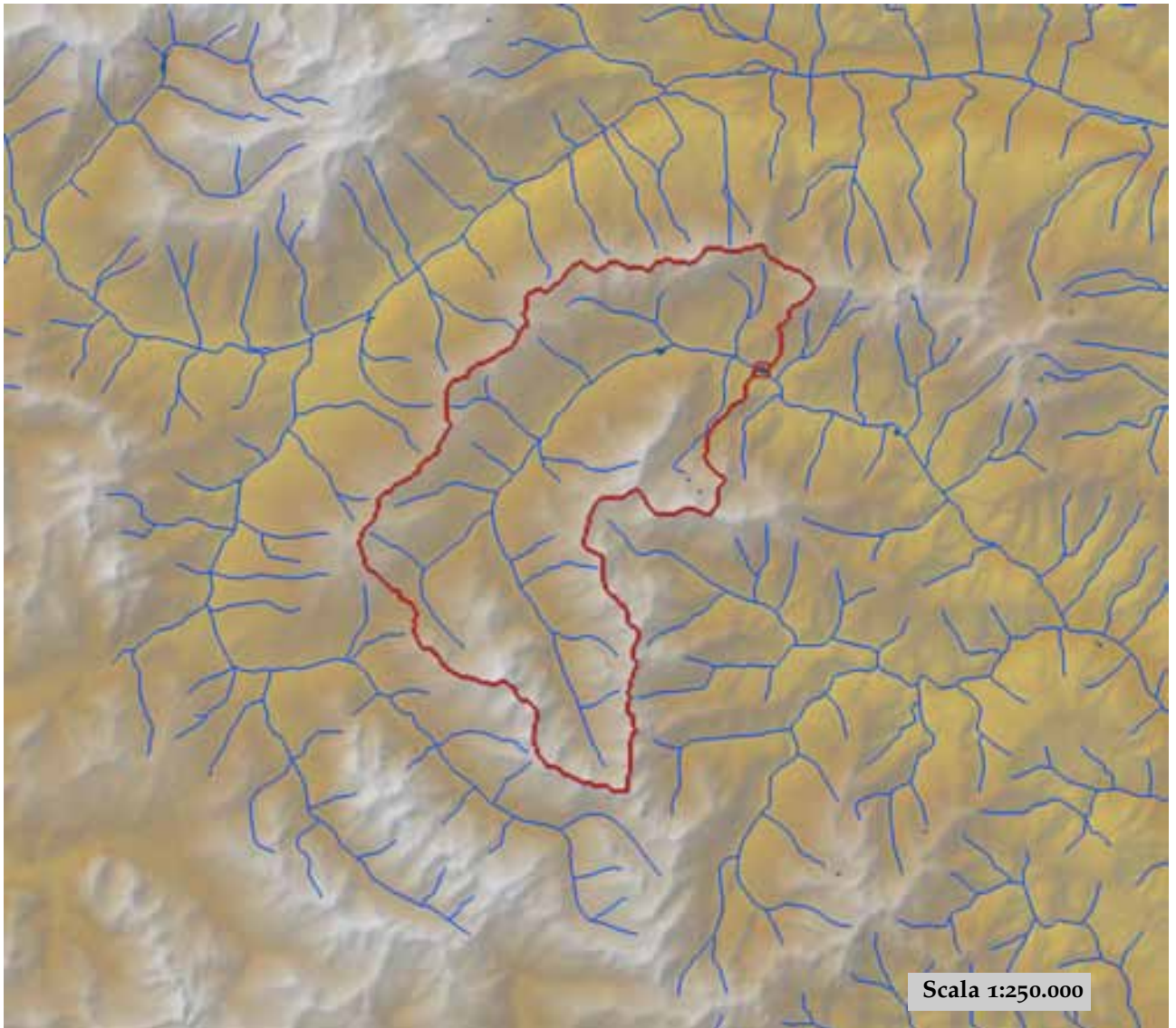


est (UTM ₃₂ N WGS84)	395104	nord (UTM ₃₂ N WGS84)	4980550
est DEM (UTM ₃₂ N WGS84)	395053	nord DEM (UTM ₃₂ N WGS84)	4980553
area bacino	464.21	quota media	322

quota massima	1436	quota minima	218
curva ipsografica 2,5%	853	curva ipsografica 5%	698
curva ipsografica 10%	495	curva ipsografica 25%	308
curva ipsografica 50%	262	curva ipsografica 75%	243
curva ipsografica 90%	235	curva ipsografica 95%	232
curva ipsografica 97,5%	229	distanza interquartile curva ipsografica	65
angolo di esposizione medio	104	lunghezza vettore orientamento	14.7
pendenza bacino	2.975	pendenza bacino quadrato equivalente	0.418
est baricentro (UTM _{32N} WGS84)	380850	nord baricentro (UTM _{32N} WGS84)	4976850
fattore di forma	0.272	rapporto di allungamento	0.589
media funzione di ampiezza	23514	varianza funzione di ampiezza	9.87×10^7
skewness funzione di ampiezza	-0.224	kurtosis funzione di ampiezza	2.112
rapporto aree medie di due ordini adiacenti	3.997	rapporto di biforcazione	3.843
rapporto lunghezze medie di due ordini adiacenti	1.726	rapporto pendenze medie di due ordini adiacenti	2.376
densità di drenaggio	0.987	diametro topologico	28
lunghezza LDP	41.294	lunghezza asta principale	39.063
lunghezza totale reticolo idrografico	458.2	lunghezza media versanti	691
pendenza media LDP	2	media dell'afflusso totale annuo	920
deviazione standard dell'afflusso totale annuo	109	media coeff. pluviale orario CPP	26.204
dev. standard coeff. pluviale orario CPP	0.893	media esponente CPP	0.324
dev. standard esponente CPP	0.039	coeff. di intensità	0.028
media LCV piogge 1 ora	0.156	dev. standard LCV piogge 1 ora	0.016
media LCV piogge 3 ore	0.15	dev. standard LCV piogge 3 ore	0.014
media LCV piogge 6 ore	0.152	dev. standard LCV piogge 6 ore	0.012
media LCV piogge 12 ore	0.156	dev. standard LCV piogge 12 ore	0.009
media LCV piogge 24 ore	0.158	dev. standard LCV piogge 24 ore	0.013
media LCA piogge 1 ora	0.154	dev. standard LCA piogge 1 ora	0.036
media LCA piogge 3 ore	0.144	dev. standard LCA piogge 3 ore	0.027
media LCA piogge 6 ore	0.137	dev. standard LCA piogge 6 ore	0.026
media LCA piogge 12 ore	0.156	dev. standard LCA piogge 12 ore	0.021
media LCA piogge 24 ore	0.189	dev. standard LCA piogge 24 ore	0.018
media coeff. B1 regime pluviometrico	-17.5	media coeff. C1 regime pluviometrico	-1.9
media coeff. B2 regime pluviometrico	-0.4	media coeff. C2 regime pluviometrico	-28.8
dev. standard regime pluviometrico	25.4	coeff. variaz. regime pluviometrico	0.331
classe 1 corine land cover	7.99	classe 2 corine land cover	14.13
classe 3 corine land cover	77.24	classe 4 corine land cover	0.65
classe 5 corine land cover	0	media NDVI	0.534
dev. standard NDVI	0.049	media curve number 1	52.6
media curve number 2	71.2	media curve number 3	85.4
dev. standard curve number 1	6.6	dev. standard curve number 2	6
dev. standard curve number 3	4.4	media indice di permeabilità vapi	0.272
dev. standard indice di permeabilità vapi	0.118		

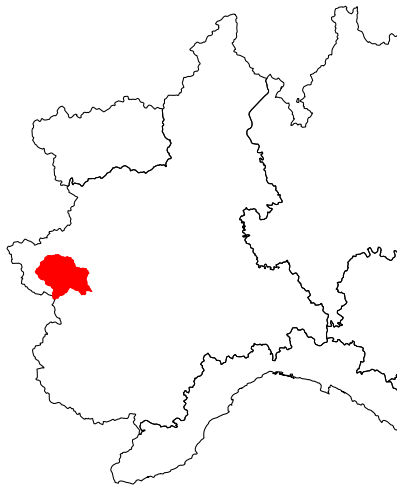


Chisone a Fenestrelle

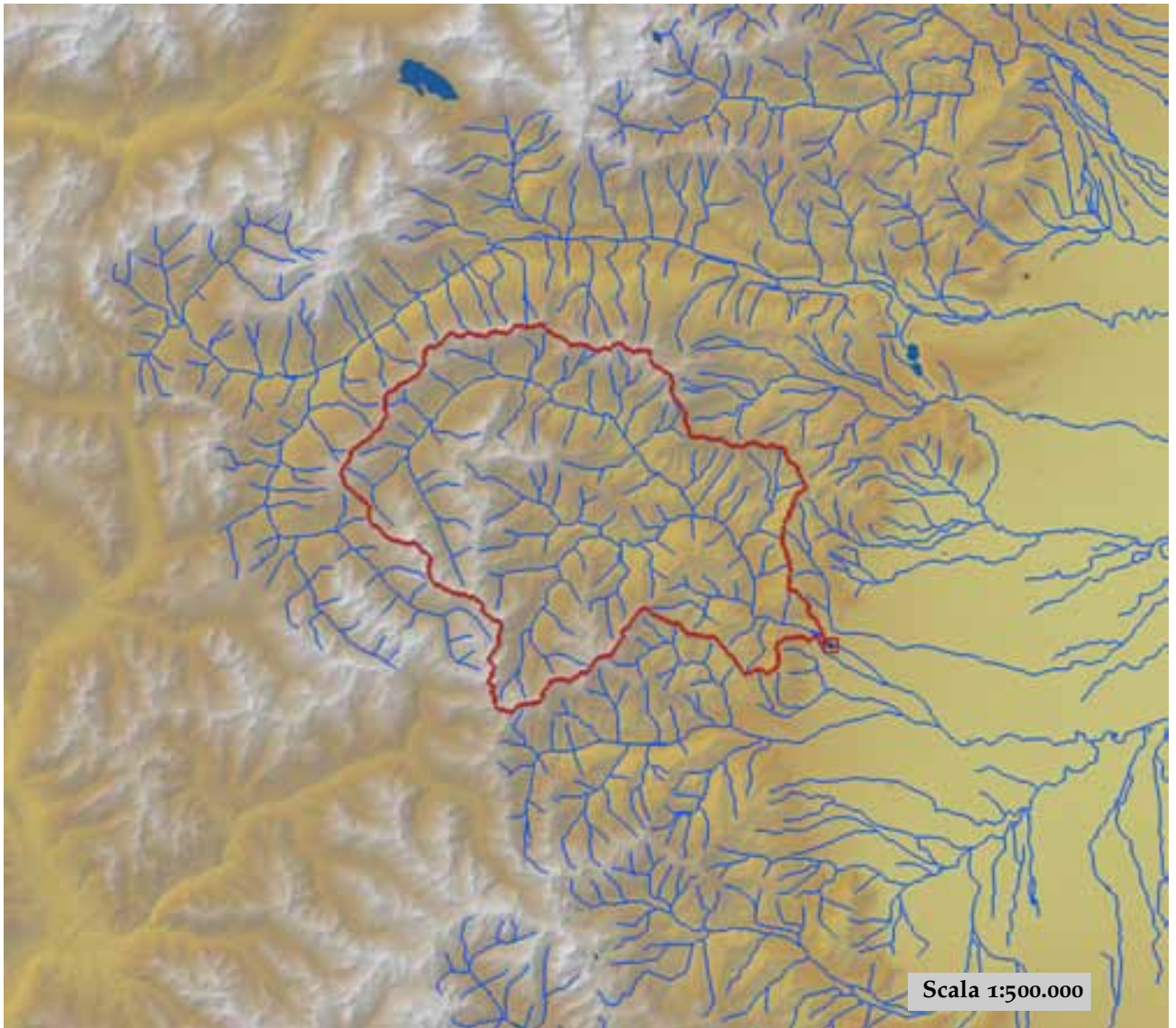


est (UTM _{32N} WGS84)	346006	nord (UTM _{32N} WGS84)	4988947
est DEM (UTM _{32N} WGS84)	346024	nord DEM (UTM _{32N} WGS84)	4989051
area bacino	154.21	quota media	2154

quota massima	3234	quota minima	1160
curva ipsografica 2,5%	2811	curva ipsografica 5%	2718
curva ipsografica 10%	2616	curva ipsografica 25%	2436
curva ipsografica 50%	2179	curva ipsografica 75%	1883
curva ipsografica 90%	1632	curva ipsografica 95%	1513
curva ipsografica 97,5%	1419	distanza interquartile curva ipsografica	553
angolo di esposizione medio	202	lunghezza vettore orientamento	8
pendenza bacino	23.466	pendenza bacino quadrato equivalente	16.428
est baricentro (UTM _{32N} WGS84)	339150	nord baricentro (UTM _{32N} WGS84)	4985050
fattore di forma	0.221	rapporto di allungamento	0.53
media funzione di ampiezza	13467	varianza funzione di ampiezza	4.53×10 ⁷
skewness funzione di ampiezza	0.031	kurtosis funzione di ampiezza	1.844
rapporto aree medie di due ordini adiacenti	4.278	rapporto di biforcazione	5.125
rapporto lunghezze medie di due ordini adiacenti	1.854	rapporto pendenze medie di due ordini adiacenti	1.426
densità di drenaggio	0.543	diametro topologico	32
lunghezza LDP	26.439	lunghezza asta principale	25.191
lunghezza totale reticolo idrografico	83.7	lunghezza media versanti	835
pendenza media LDP	7	media dell'afflusso totale annuo	848
deviazione standard dell'afflusso totale annuo	81	media coeff. pluviale orario CPP	13.858
dev. standard coeff. pluviale orario CPP	0.764	media esponente CPP	0.522
dev. standard esponente CPP	0.035	coeff. di intensità	0.016
media LCV piogge 1 ora	0.183	dev. standard LCV piogge 1 ora	0.01
media LCV piogge 3 ore	0.161	dev. standard LCV piogge 3 ore	0.005
media LCV piogge 6 ore	0.17	dev. standard LCV piogge 6 ore	0.006
media LCV piogge 12 ore	0.191	dev. standard LCV piogge 12 ore	0.005
media LCV piogge 24 ore	0.216	dev. standard LCV piogge 24 ore	0.007
media LCA piogge 1 ora	0.195	dev. standard LCA piogge 1 ora	0.018
media LCA piogge 3 ore	0.072	dev. standard LCA piogge 3 ore	0.019
media LCA piogge 6 ore	0.139	dev. standard LCA piogge 6 ore	0.02
media LCA piogge 12 ore	0.19	dev. standard LCA piogge 12 ore	0.013
media LCA piogge 24 ore	0.217	dev. standard LCA piogge 24 ore	0.017
media coeff. B1 regime pluviometrico	-7.3	media coeff. C1 regime pluviometrico	-5.1
media coeff. B2 regime pluviometrico	-5.1	media coeff. C2 regime pluviometrico	-25.1
dev. standard regime pluviometrico	21.6	coeff. variaz. regime pluviometrico	0.322
classe 1 corine land cover	0.71	classe 2 corine land cover	35.42
classe 3 corine land cover	31.91	classe 4 corine land cover	31.98
classe 5 corine land cover	0	media NDVI	0.324
dev. standard NDVI	0.089	media curve number 1	49.3
media curve number 2	68.3	media curve number 3	83.3
dev. standard curve number 1	8.5	dev. standard curve number 2	7.1
dev. standard curve number 3	4.6	media indice di permeabilità vapi	0.39
dev. standard indice di permeabilità vapi	0.057		

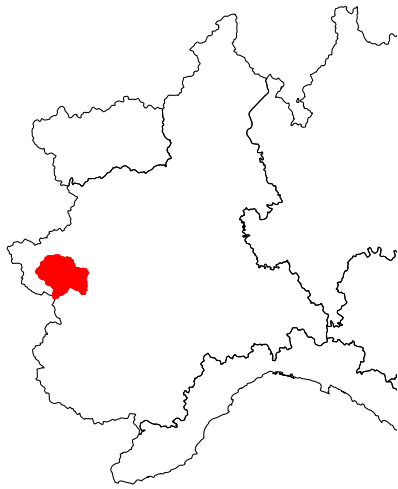


Chisone a Pinerolo

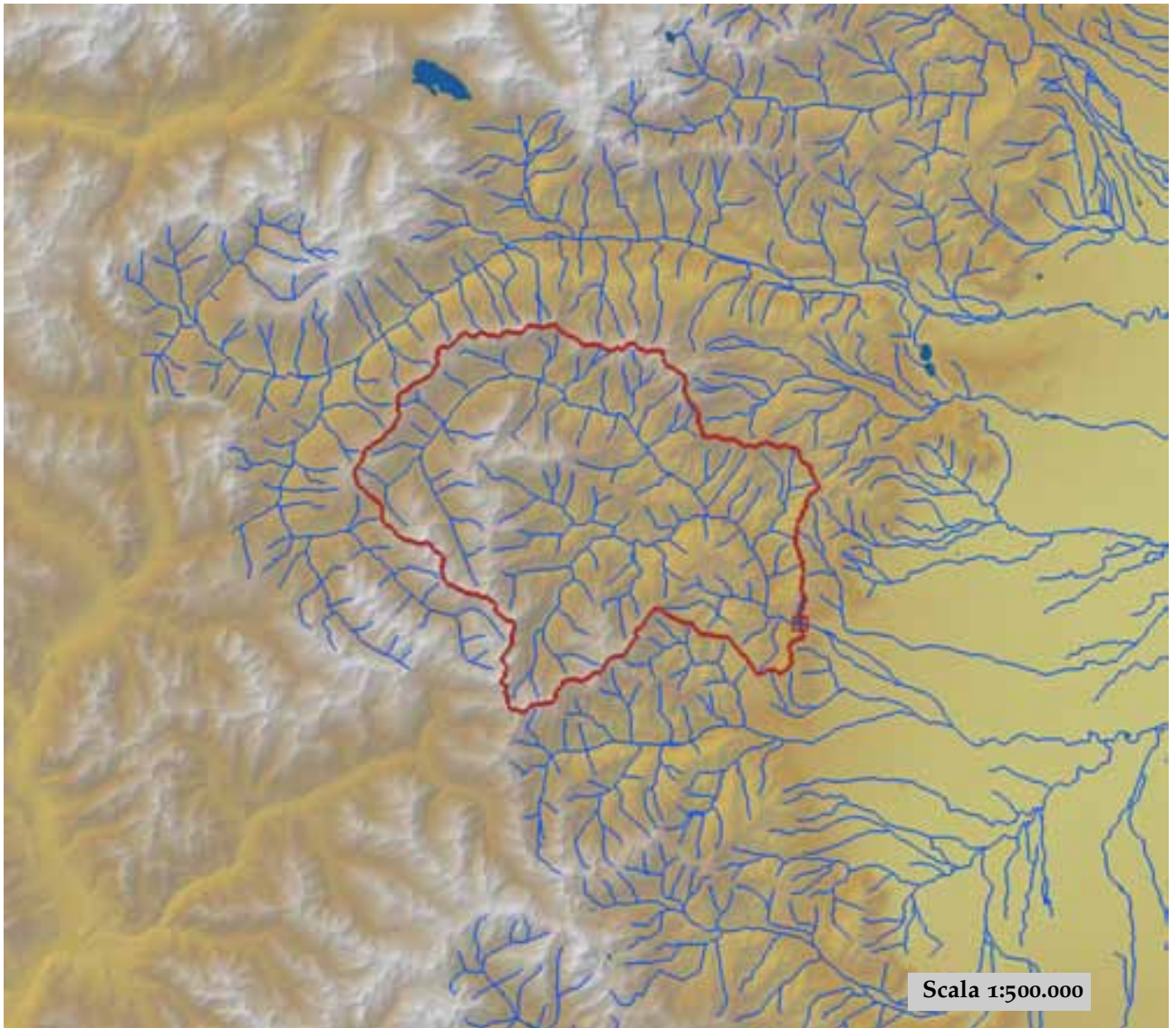


est (UTM ₃₂ N WGS84)	368464	nord (UTM ₃₂ N WGS84)	4969243
est DEM (UTM ₃₂ N WGS84)	367058	nord DEM (UTM ₃₂ N WGS84)	4970136
area bacino	586.46	quota media	1727

quota massima	3234	quota minima	375
curva ipsografica 2,5%	2741	curva ipsografica 5%	2645
curva ipsografica 10%	2517	curva ipsografica 25%	2220
curva ipsografica 50%	1763	curva ipsografica 75%	1257
curva ipsografica 90%	852	curva ipsografica 95%	684
curva ipsografica 97,5%	571	distanza interquartile curva ipsografica	963
angolo di esposizione medio	140	lunghezza vettore orientamento	21.1
pendenza bacino	24.164	pendenza bacino quadrato equivalente	11.471
est baricentro (UTM _{32N} WGS84)	348650	nord baricentro (UTM _{32N} WGS84)	4980450
fattore di forma	0.154	rapporto di allungamento	0.442
media funzione di ampiezza	33037	varianza funzione di ampiezza	1.72×10 ⁸
skewness funzione di ampiezza	-0.045	kurtosis funzione di ampiezza	2.499
rapporto aree medie di due ordini adiacenti	4.676	rapporto di biforcazione	4.16
rapporto lunghezze medie di due ordini adiacenti	2.109	rapporto pendenze medie di due ordini adiacenti	2.016
densità di drenaggio	0.576	diametro topologico	63
lunghezza LDP	61.787	lunghezza asta principale	60.538
lunghezza totale reticolo idrografico	337.9	lunghezza media versanti	753
pendenza media LDP	6	media dell'afflusso totale annuo	1049
deviazione standard dell'afflusso totale annuo	150	media coeff. pluviale orario CPP	17.494
dev. standard coeff. pluviale orario CPP	3.437	media esponente CPP	0.505
dev. standard esponente CPP	0.04	coeff. di intensità	0.017
media LCV piogge 1 ora	0.182	dev. standard LCV piogge 1 ora	0.014
media LCV piogge 3 ore	0.163	dev. standard LCV piogge 3 ore	0.011
media LCV piogge 6 ore	0.17	dev. standard LCV piogge 6 ore	0.009
media LCV piogge 12 ore	0.195	dev. standard LCV piogge 12 ore	0.008
media LCV piogge 24 ore	0.219	dev. standard LCV piogge 24 ore	0.009
media LCA piogge 1 ora	0.187	dev. standard LCA piogge 1 ora	0.042
media LCA piogge 3 ore	0.088	dev. standard LCA piogge 3 ore	0.035
media LCA piogge 6 ore	0.134	dev. standard LCA piogge 6 ore	0.021
media LCA piogge 12 ore	0.191	dev. standard LCA piogge 12 ore	0.023
media LCA piogge 24 ore	0.24	dev. standard LCA piogge 24 ore	0.03
media coeff. B1 regime pluviometrico	-13.7	media coeff. C1 regime pluviometrico	-3.9
media coeff. B2 regime pluviometrico	-5.3	media coeff. C2 regime pluviometrico	-39.2
dev. standard regime pluviometrico	31.9	coeff. variaz. regime pluviometrico	0.368
classe 1 corine land cover	1.05	classe 2 corine land cover	57.84
classe 3 corine land cover	25.08	classe 4 corine land cover	16.04
classe 5 corine land cover	0	media NDVI	0.412
dev. standard NDVI	0.133	media curve number 1	45.5
media curve number 2	64.8	media curve number 3	80.8
dev. standard curve number 1	9.2	dev. standard curve number 2	8.7
dev. standard curve number 3	6.5	media indice di permeabilità vapi	0.4
dev. standard indice di permeabilità vapi	0.108		

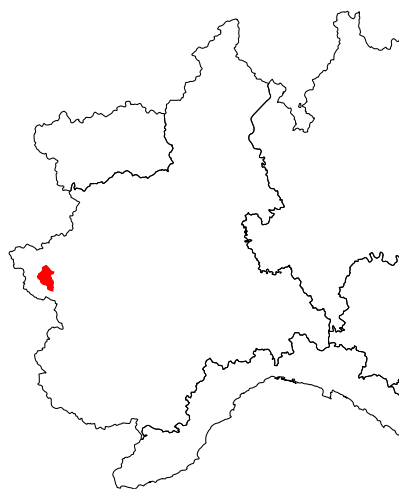


Chisone a San Martino

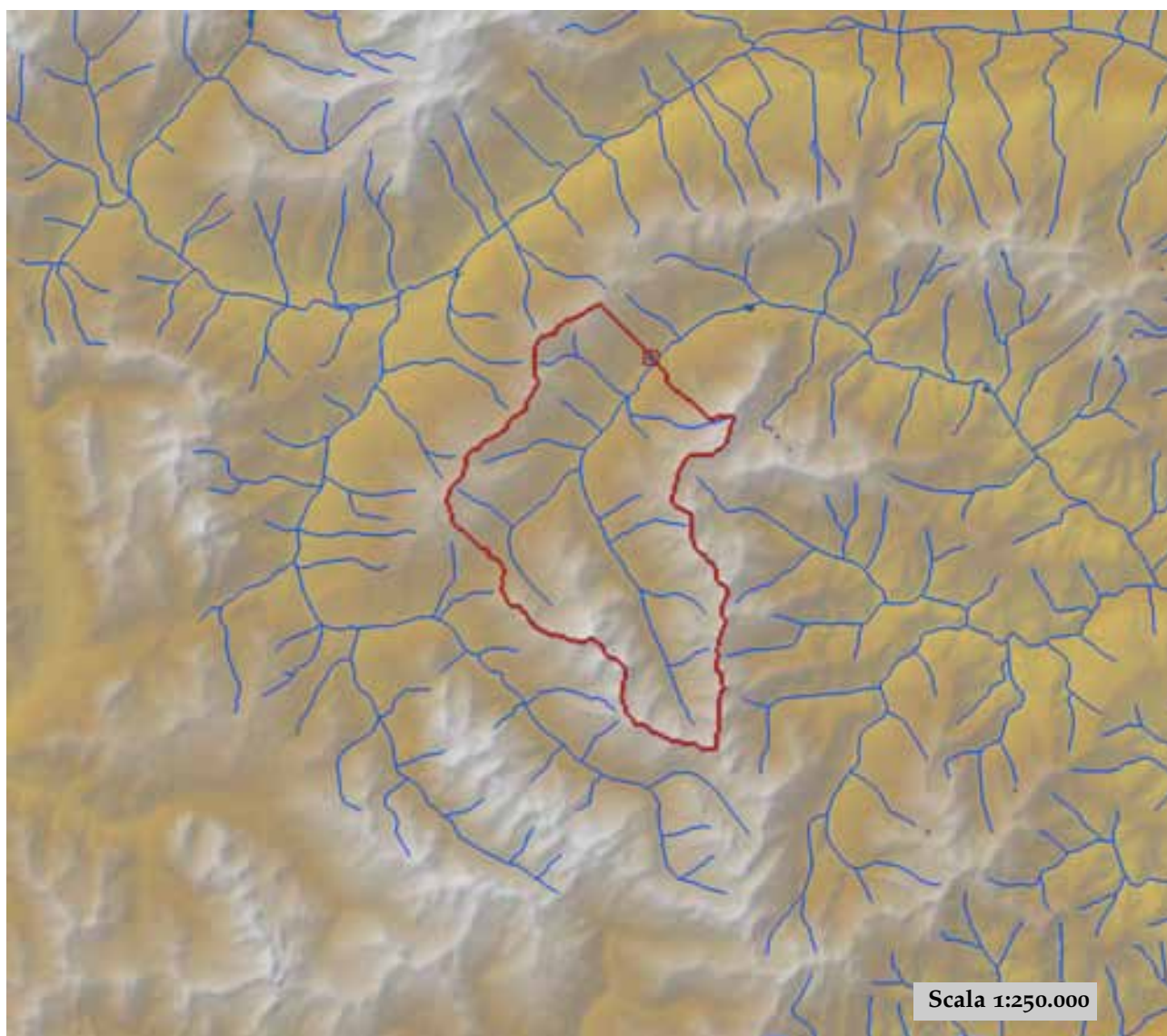


est (UTM _{32N} WGS84)	364406	nord (UTM _{32N} WGS84)	4971647
est DEM (UTM _{32N} WGS84)	363869	nord DEM (UTM _{32N} WGS84)	4971770
area bacino	580.53	quota media	1739

quota massima	3234	quota minima	415
curva ipsografica 2,5%	2742	curva ipsografica 5%	2647
curva ipsografica 10%	2520	curva ipsografica 25%	2224
curva ipsografica 50%	1773	curva ipsografica 75%	1276
curva ipsografica 90%	878	curva ipsografica 95%	711
curva ipsografica 97,5%	603	distanza interquartile curva ipsografica	948
angolo di esposizione medio	140	lunghezza vettore orientamento	17.7
pendenza bacino	24.294	pendenza bacino quadrato equivalente	11.281
est baricentro (UTM _{32N} WGS84)	348550	nord baricentro (UTM _{32N} WGS84)	4980550
fattore di forma	0.175	rapporto di allungamento	0.473
media funzione di ampiezza	29077	varianza funzione di ampiezza	1.65×10 ⁸
skewness funzione di ampiezza	0.007	kurtosis funzione di ampiezza	2.457
rapporto aree medie di due ordini adiacenti	4.672	rapporto di biforcazione	4.151
rapporto lunghezze medie di due ordini adiacenti	2.11	rapporto pendenze medie di due ordini adiacenti	2.019
densità di drenaggio	0.572	diametro topologico	62
lunghezza LDP	57.524	lunghezza asta principale	56.276
lunghezza totale reticolo idrografico	332	lunghezza media versanti	754
pendenza media LDP	6	media dell'afflusso totale annuo	1048
deviazione standard dell'afflusso totale annuo	150	media coeff. pluviale orario CPP	17.438
dev. standard coeff. pluviale orario CPP	3.371	media esponente CPP	0.506
dev. standard esponente CPP	0.039	coeff. di intensità	0.017
media LCV piogge 1 ora	0.182	dev. standard LCV piogge 1 ora	0.014
media LCV piogge 3 ore	0.164	dev. standard LCV piogge 3 ore	0.011
media LCV piogge 6 ore	0.17	dev. standard LCV piogge 6 ore	0.009
media LCV piogge 12 ore	0.195	dev. standard LCV piogge 12 ore	0.008
media LCV piogge 24 ore	0.219	dev. standard LCV piogge 24 ore	0.009
media LCA piogge 1 ora	0.187	dev. standard LCA piogge 1 ora	0.042
media LCA piogge 3 ore	0.088	dev. standard LCA piogge 3 ore	0.035
media LCA piogge 6 ore	0.134	dev. standard LCA piogge 6 ore	0.021
media LCA piogge 12 ore	0.191	dev. standard LCA piogge 12 ore	0.023
media LCA piogge 24 ore	0.24	dev. standard LCA piogge 24 ore	0.03
media coeff. B1 regime pluviometrico	-13.5	media coeff. C1 regime pluviometrico	-3.9
media coeff. B2 regime pluviometrico	-5.4	media coeff. C2 regime pluviometrico	-39.1
dev. standard regime pluviometrico	31.8	coeff. variaz. regime pluviometrico	0.368
classe 1 corine land cover	0.99	classe 2 corine land cover	57.87
classe 3 corine land cover	24.94	classe 4 corine land cover	16.21
classe 5 corine land cover	0	media NDVI	0.41
dev. standard NDVI	0.132	media curve number 1	45.5
media curve number 2	64.8	media curve number 3	80.8
dev. standard curve number 1	9.2	dev. standard curve number 2	8.6
dev. standard curve number 3	6.5	media indice di permeabilità vapi	0.402
dev. standard indice di permeabilità vapi	0.108		

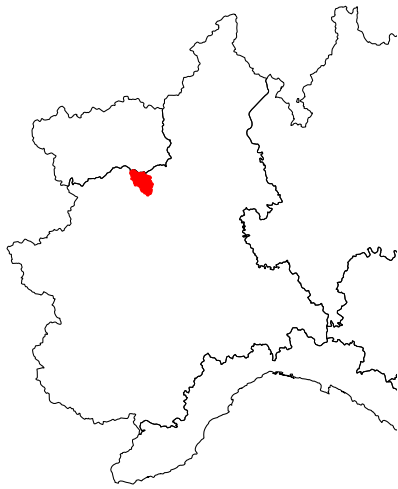


Chisone a Soucheres Basses

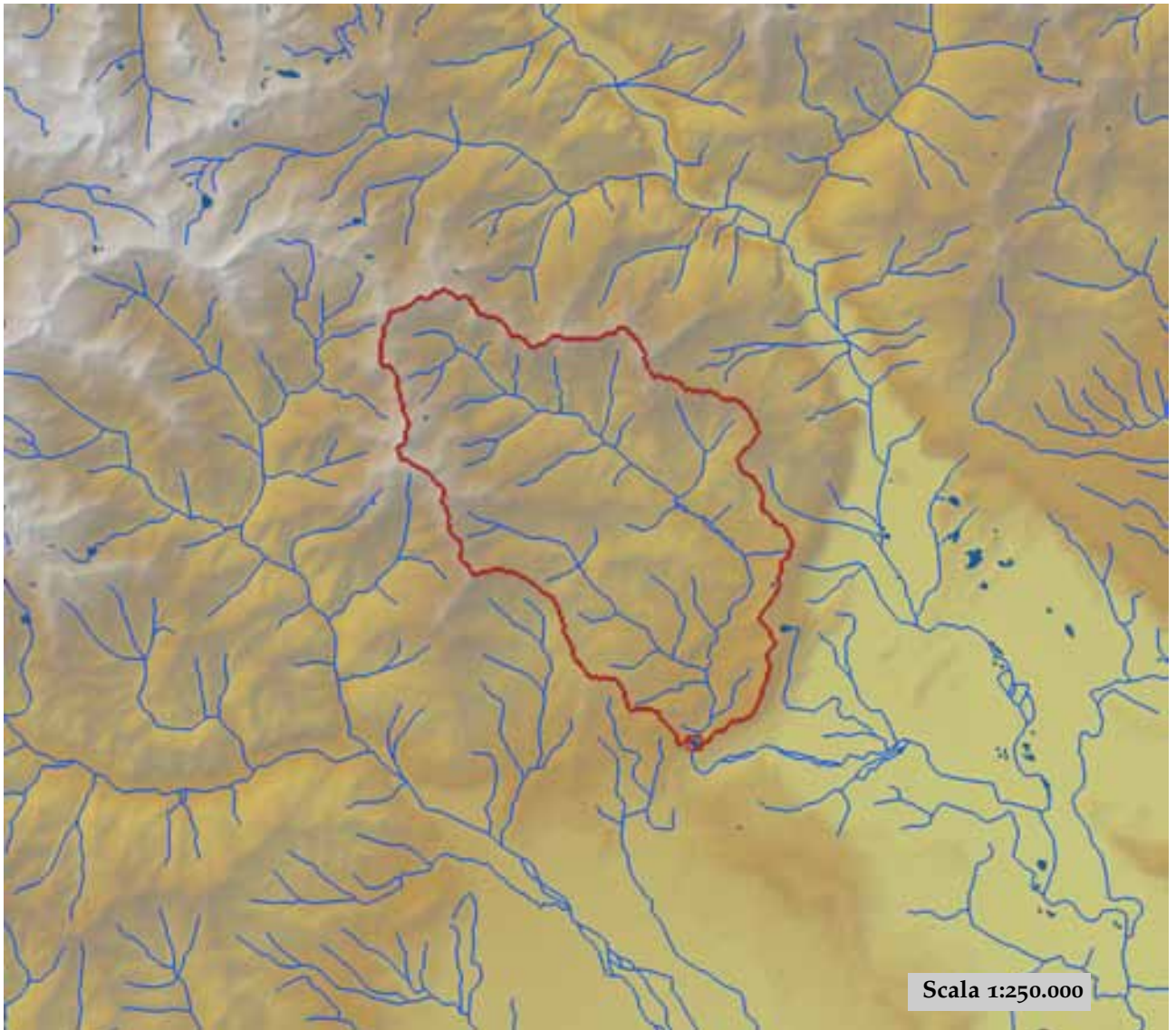


est (UTM _{32N} WGS84)	339221	nord (UTM _{32N} WGS84)	4988138
est DEM (UTM _{32N} WGS84)	338740	nord DEM (UTM _{32N} WGS84)	4987933
area bacino	93.26	quota media	2221

quota massima	3234	quota minima	1500
curva ipsografica 2,5%	2842	curva ipsografica 5%	2747
curva ipsografica 10%	2644	curva ipsografica 25%	2454
curva ipsografica 50%	2230	curva ipsografica 75%	1980
curva ipsografica 90%	1768	curva ipsografica 95%	1658
curva ipsografica 97,5%	1583	distanza interquartile curva ipsografica	474
angolo di esposizione medio	318	lunghezza vettore orientamento	6.1
pendenza bacino	22.686	pendenza bacino quadrato equivalente	15.139
est baricentro (UTM _{32N} WGS84)	337050	nord baricentro (UTM _{32N} WGS84)	4982050
fattore di forma	0.309	rapporto di allungamento	0.627
media funzione di ampiezza	8997	varianza funzione di ampiezza	1.73×10^7
skewness funzione di ampiezza	0.014	kurtosis funzione di ampiezza	2.04
rapporto aree medie di due ordini adiacenti	4.392	rapporto di biforcazione	5
rapporto lunghezze medie di due ordini adiacenti	1.766	rapporto pendenze medie di due ordini adiacenti	1.556
densità di drenaggio	0.525	diametro topologico	20
lunghezza LDP	17.382	lunghezza asta principale	16.134
lunghezza totale reticolo idrografico	48.9	lunghezza media versanti	807
pendenza media LDP	8	media dell'afflusso totale annuo	822
deviazione standard dell'afflusso totale annuo	87	media coeff. pluviale orario CPP	14.044
dev. standard coeff. pluviale orario CPP	0.668	media esponente CPP	0.508
dev. standard esponente CPP	0.036	coeff. di intensità	0.017
media LCV piogge 1 ora	0.18	dev. standard LCV piogge 1 ora	0.008
media LCV piogge 3 ore	0.162	dev. standard LCV piogge 3 ore	0.004
media LCV piogge 6 ore	0.172	dev. standard LCV piogge 6 ore	0.006
media LCV piogge 12 ore	0.192	dev. standard LCV piogge 12 ore	0.005
media LCV piogge 24 ore	0.218	dev. standard LCV piogge 24 ore	0.006
media LCA piogge 1 ora	0.196	dev. standard LCA piogge 1 ora	0.019
media LCA piogge 3 ore	0.072	dev. standard LCA piogge 3 ore	0.021
media LCA piogge 6 ore	0.147	dev. standard LCA piogge 6 ore	0.018
media LCA piogge 12 ore	0.196	dev. standard LCA piogge 12 ore	0.011
media LCA piogge 24 ore	0.226	dev. standard LCA piogge 24 ore	0.01
media coeff. B1 regime pluviometrico	-6	media coeff. C1 regime pluviometrico	-5
media coeff. B2 regime pluviometrico	-6.1	media coeff. C2 regime pluviometrico	-22.9
dev. standard regime pluviometrico	20.9	coeff. variaz. regime pluviometrico	0.327
classe 1 corine land cover	1.11	classe 2 corine land cover	35.91
classe 3 corine land cover	26.13	classe 4 corine land cover	36.91
classe 5 corine land cover	0	media NDVI	0.299
dev. standard NDVI	0.084	media curve number 1	50
media curve number 2	68.9	media curve number 3	83.7
dev. standard curve number 1	8.8	dev. standard curve number 2	7.3
dev. standard curve number 3	4.7	media indice di permeabilità vapi	0.377
dev. standard indice di permeabilità vapi	0.072		

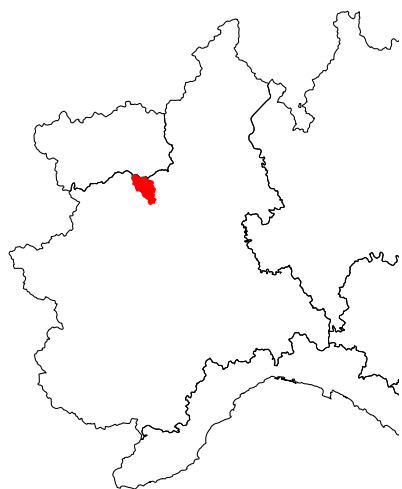


Chiusella a Gurzia

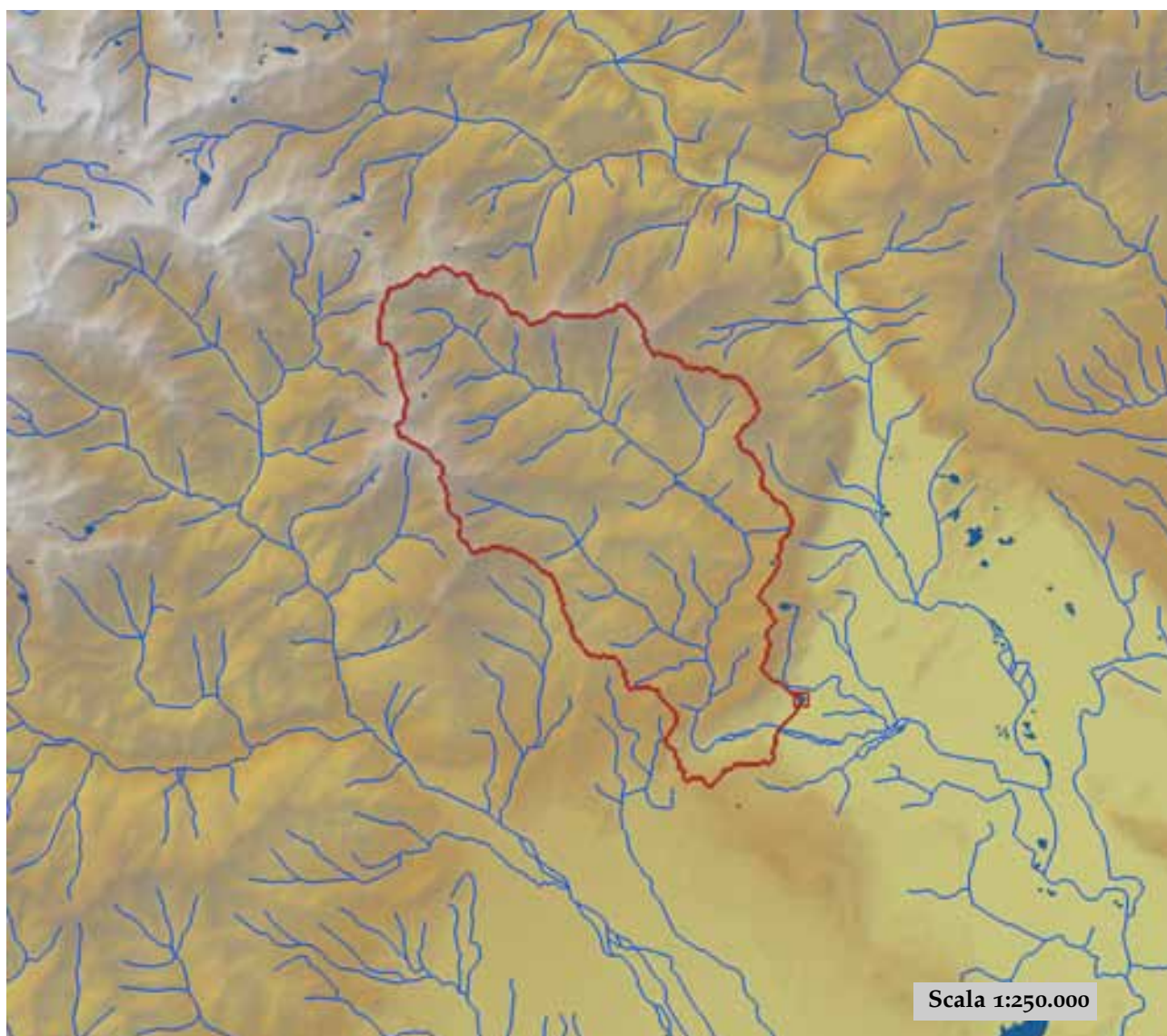


est (UTM ₃₂ N WGS84)	402638	nord (UTM ₃₂ N WGS84)	5030792
est DEM (UTM ₃₂ N WGS84)	402549	nord DEM (UTM ₃₂ N WGS84)	5030851
area bacino	141.99	quota media	1374

quota massima	2792	quota minima	421
curva ipsografica 2,5%	2478	curva ipsografica 5%	2381
curva ipsografica 10%	2238	curva ipsografica 25%	1864
curva ipsografica 50%	1316	curva ipsografica 75%	823
curva ipsografica 90%	633	curva ipsografica 95%	565
curva ipsografica 97,5%	495	distanza interquartile curva ipsografica	1041
angolo di esposizione medio	132	lunghezza vettore orientamento	9.6
pendenza bacino	21.975	pendenza bacino quadrato equivalente	15.039
est baricentro (UTM _{32N} WGS84)	399050	nord baricentro (UTM _{32N} WGS84)	5039750
fattore di forma	0.204	rapporto di allungamento	0.509
media funzione di ampiezza	14398	varianza funzione di ampiezza	4.31×10 ⁷
skewness funzione di ampiezza	-0.039	kurtosis funzione di ampiezza	2.007
rapporto aree medie di due ordini adiacenti	8.55	rapporto di biforcazione	8.5
rapporto lunghezze medie di due ordini adiacenti	4.371	rapporto pendenze medie di due ordini adiacenti	1.855
densità di drenaggio	0.569	diametro topologico	22
lunghezza LDP	26.398	lunghezza asta principale	24.832
lunghezza totale reticolo idrografico	80.9	lunghezza media versanti	737
pendenza media LDP	8	media dell'afflusso totale annuo	1520
deviazione standard dell'afflusso totale annuo	80	media coeff. pluviale orario CPP	27.845
dev. standard coeff. pluviale orario CPP	2.913	media esponente CPP	0.443
dev. standard esponente CPP	0.048	coeff. di intensità	0.018
media LCV piogge 1 ora	0.176	dev. standard LCV piogge 1 ora	0.009
media LCV piogge 3 ore	0.169	dev. standard LCV piogge 3 ore	0.005
media LCV piogge 6 ore	0.156	dev. standard LCV piogge 6 ore	0.005
media LCV piogge 12 ore	0.171	dev. standard LCV piogge 12 ore	0.005
media LCV piogge 24 ore	0.197	dev. standard LCV piogge 24 ore	0.005
media LCA piogge 1 ora	0.177	dev. standard LCA piogge 1 ora	0.053
media LCA piogge 3 ore	0.191	dev. standard LCA piogge 3 ore	0.046
media LCA piogge 6 ore	0.158	dev. standard LCA piogge 6 ore	0.073
media LCA piogge 12 ore	0.179	dev. standard LCA piogge 12 ore	0.056
media LCA piogge 24 ore	0.208	dev. standard LCA piogge 24 ore	0.041
media coeff. B1 regime pluviometrico	-54.5	media coeff. C1 regime pluviometrico	-13.1
media coeff. B2 regime pluviometrico	3.7	media coeff. C2 regime pluviometrico	-51.2
dev. standard regime pluviometrico	57.3	coeff. variaz. regime pluviometrico	0.415
classe 1 corine land cover	0.92	classe 2 corine land cover	42.45
classe 3 corine land cover	42.27	classe 4 corine land cover	14.4
classe 5 corine land cover	0	media NDVI	0.448
dev. standard NDVI	0.131	media curve number 1	43.4
media curve number 2	62.4	media curve number 3	78.7
dev. standard curve number 1	12.1	dev. standard curve number 2	12.2
dev. standard curve number 3	9.8	media indice di permeabilità vapi	0.487
dev. standard indice di permeabilità vapi	0.074		

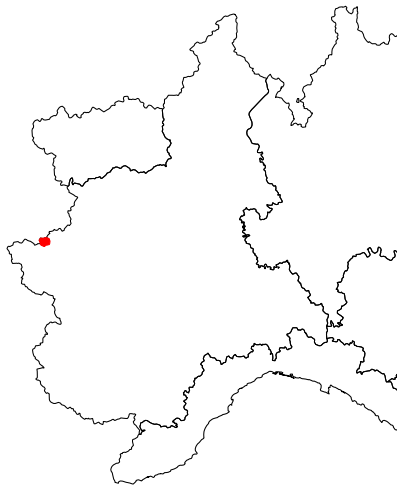


Chiusella a Parella

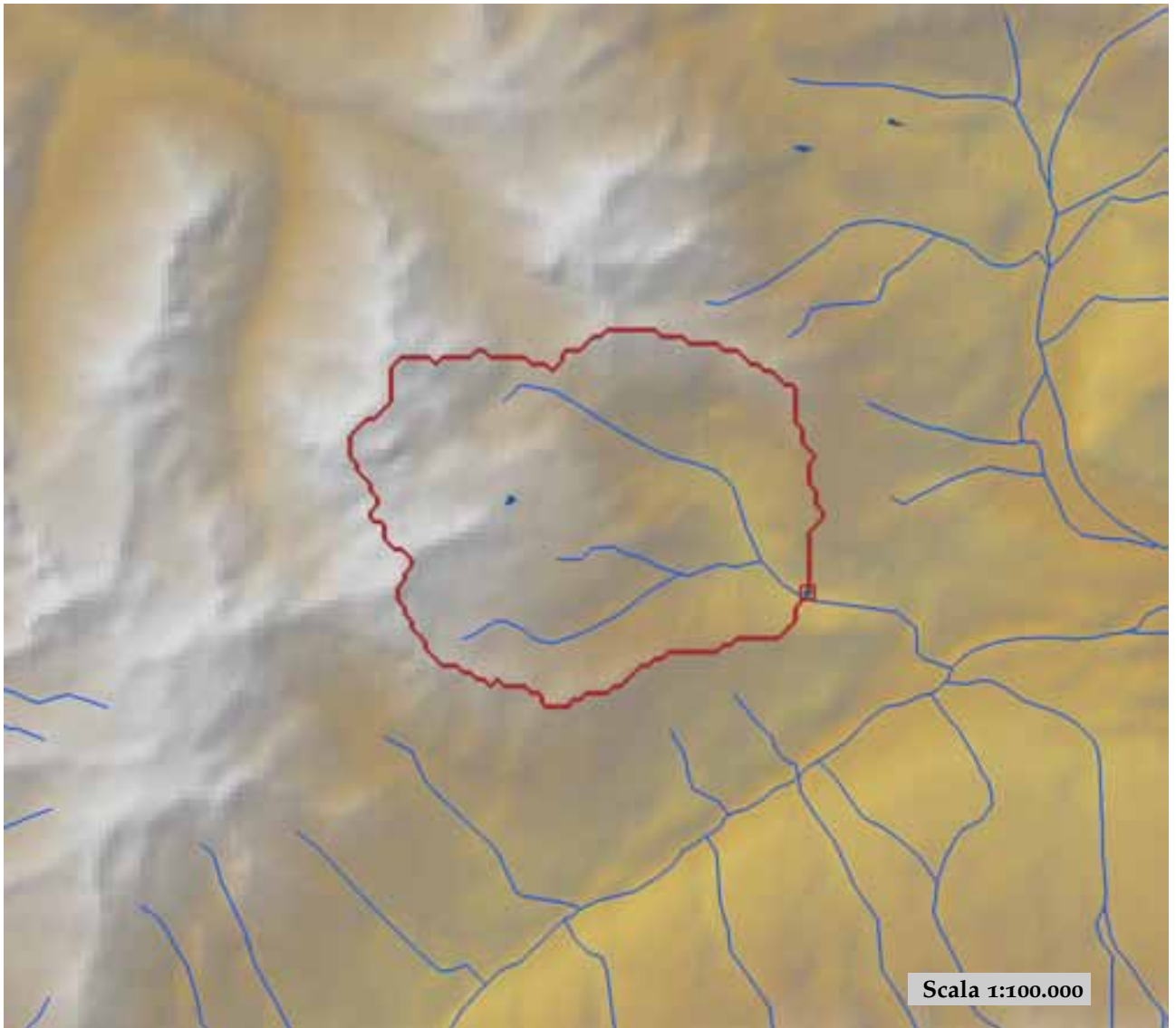


est (UTM _{32N} WGS84)	405965	nord (UTM _{32N} WGS84)	5030307
est DEM (UTM _{32N} WGS84)	406455	nord DEM (UTM _{32N} WGS84)	5031651
area bacino	152.06	quota media	1308

quota massima	2792	quota minima	244
curva ipsografica 2,5%	2467	curva ipsografica 5%	2368
curva ipsografica 10%	2217	curva ipsografica 25%	1825
curva ipsografica 50%	1245	curva ipsografica 75%	743
curva ipsografica 90%	542	curva ipsografica 95%	427
curva ipsografica 97,5%	348	distanza interquartile curva ipsografica	1082
angolo di esposizione medio	130	lunghezza vettore orientamento	10.3
pendenza bacino	21.139	pendenza bacino quadrato equivalente	16.251
est baricentro (UTM _{32N} WGS84)	399350	nord baricentro (UTM _{32N} WGS84)	5039050
fattore di forma	0.143	rapporto di allungamento	0.427
media funzione di ampiezza	19490	varianza funzione di ampiezza	5.81×10 ⁷
skewness funzione di ampiezza	-0.322	kurtosis funzione di ampiezza	2.405
rapporto aree medie di due ordini adiacenti	8.55	rapporto di biforcazione	8.5
rapporto lunghezze medie di due ordini adiacenti	4.371	rapporto pendenze medie di due ordini adiacenti	1.855
densità di drenaggio	0.573	diametro topologico	22
lunghezza LDP	32.609	lunghezza asta principale	31.043
lunghezza totale reticolo idrografico	87.1	lunghezza media versanti	732
pendenza media LDP	7	media dell'afflusso totale annuo	1505
deviazione standard dell'afflusso totale annuo	95	media coeff. pluviale orario CPP	28.056
dev. standard coeff. pluviale orario CPP	2.922	media esponente CPP	0.437
dev. standard esponente CPP	0.052	coeff. di intensità	0.019
media LCV piogge 1 ora	0.174	dev. standard LCV piogge 1 ora	0.01
media LCV piogge 3 ore	0.169	dev. standard LCV piogge 3 ore	0.006
media LCV piogge 6 ore	0.157	dev. standard LCV piogge 6 ore	0.005
media LCV piogge 12 ore	0.171	dev. standard LCV piogge 12 ore	0.006
media LCV piogge 24 ore	0.196	dev. standard LCV piogge 24 ore	0.006
media LCA piogge 1 ora	0.177	dev. standard LCA piogge 1 ora	0.052
media LCA piogge 3 ore	0.191	dev. standard LCA piogge 3 ore	0.045
media LCA piogge 6 ore	0.165	dev. standard LCA piogge 6 ore	0.074
media LCA piogge 12 ore	0.184	dev. standard LCA piogge 12 ore	0.058
media LCA piogge 24 ore	0.21	dev. standard LCA piogge 24 ore	0.04
media coeff. B1 regime pluviometrico	-53.7	media coeff. C1 regime pluviometrico	-12.7
media coeff. B2 regime pluviometrico	3.5	media coeff. C2 regime pluviometrico	-50.4
dev. standard regime pluviometrico	56.4	coeff. variaz. regime pluviometrico	0.413
classe 1 corine land cover	1.49	classe 2 corine land cover	43.34
classe 3 corine land cover	41.44	classe 4 corine land cover	13.76
classe 5 corine land cover	0	media NDVI	0.462
dev. standard NDVI	0.133	media curve number 1	44
media curve number 2	63	media curve number 3	79.2
dev. standard curve number 1	11.9	dev. standard curve number 2	12
dev. standard curve number 3	9.6	media indice di permeabilità vapi	0.483
dev. standard indice di permeabilità vapi	0.082		



Clarea a presa centrale Chiomonte

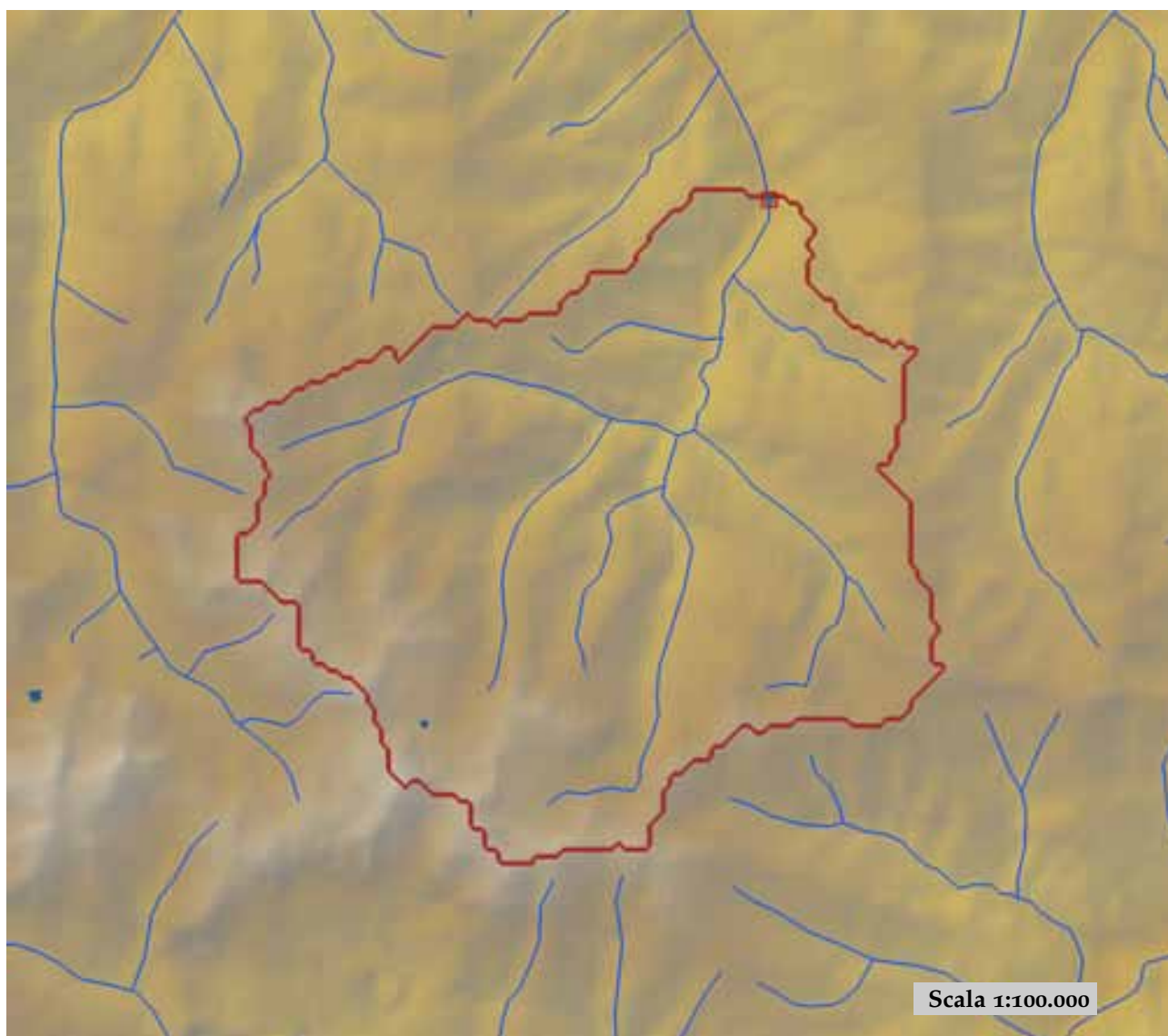


est (UTM _{32N} WGS84)	340471	nord (UTM _{32N} WGS84)	5000302
est DEM (UTM _{32N} WGS84)	340375	nord DEM (UTM _{32N} WGS84)	5000458
area bacino	28.01	quota media	2298

quota massima	3351	quota minima	1002
curva ipsografica 2,5%	3209	curva ipsografica 5%	3145
curva ipsografica 10%	3003	curva ipsografica 25%	2741
curva ipsografica 50%	2409	curva ipsografica 75%	1875
curva ipsografica 90%	1425	curva ipsografica 95%	1250
curva ipsografica 97,5%	1165	distanza interquartile curva ipsografica	866
angolo di esposizione medio	107	lunghezza vettore orientamento	3.5
pendenza bacino	27.485	pendenza bacino quadrato equivalente	53.208
est baricentro (UTM _{32N} WGS84)	337150	nord baricentro (UTM _{32N} WGS84)	5001750
fattore di forma	0.337	rapporto di allungamento	0.655
media funzione di ampiezza	4537	varianza funzione di ampiezza	3.81×10^6
skewness funzione di ampiezza	0.131	kurtosis funzione di ampiezza	2.412
rapporto aree medie di due ordini adiacenti	4.244	rapporto di biforcazione	3.5
rapporto lunghezze medie di due ordini adiacenti	1.446	rapporto pendenze medie di due ordini adiacenti	1.583
densità di drenaggio	0.595	diametro topologico	6
lunghezza LDP	9.115	lunghezza asta principale	7.425
lunghezza totale reticolo idrografico	16.7	lunghezza media versanti	873
pendenza media LDP	16	media dell'afflusso totale annuo	914
deviazione standard dell'afflusso totale annuo	12	media coeff. pluviale orario CPP	12.617
dev. standard coeff. pluviale orario CPP	0.703	media esponente CPP	0.549
dev. standard esponente CPP	0.019	coeff. di intensità	0.014
media LCV piogge 1 ora	0.185	dev. standard LCV piogge 1 ora	0.009
media LCV piogge 3 ore	0.137	dev. standard LCV piogge 3 ore	0.004
media LCV piogge 6 ore	0.148	dev. standard LCV piogge 6 ore	0.007
media LCV piogge 12 ore	0.156	dev. standard LCV piogge 12 ore	0.009
media LCV piogge 24 ore	0.17	dev. standard LCV piogge 24 ore	0.008
media LCA piogge 1 ora	0.196	dev. standard LCA piogge 1 ora	0.014
media LCA piogge 3 ore	0.142	dev. standard LCA piogge 3 ore	0.009
media LCA piogge 6 ore	0.21	dev. standard LCA piogge 6 ore	0.009
media LCA piogge 12 ore	0.223	dev. standard LCA piogge 12 ore	0.033
media LCA piogge 24 ore	0.175	dev. standard LCA piogge 24 ore	0.028
media coeff. B1 regime pluviometrico	-0.3	media coeff. C1 regime pluviometrico	8.5
media coeff. B2 regime pluviometrico	-1.5	media coeff. C2 regime pluviometrico	-27.6
dev. standard regime pluviometrico	22.1	coeff. variaz. regime pluviometrico	0.277
classe 1 corine land cover	0	classe 2 corine land cover	24.24
classe 3 corine land cover	21.92	classe 4 corine land cover	53.99
classe 5 corine land cover	0	media NDVI	0.273
dev. standard NDVI	0.139	media curve number 1	48.6
media curve number 2	66.2	media curve number 3	79.7
dev. standard curve number 1	14	dev. standard curve number 2	16.4
dev. standard curve number 3	18.1	media indice di permeabilità vapi	0.188
dev. standard indice di permeabilità vapi	0.156		



Corsaglia a Frabosa Soprana

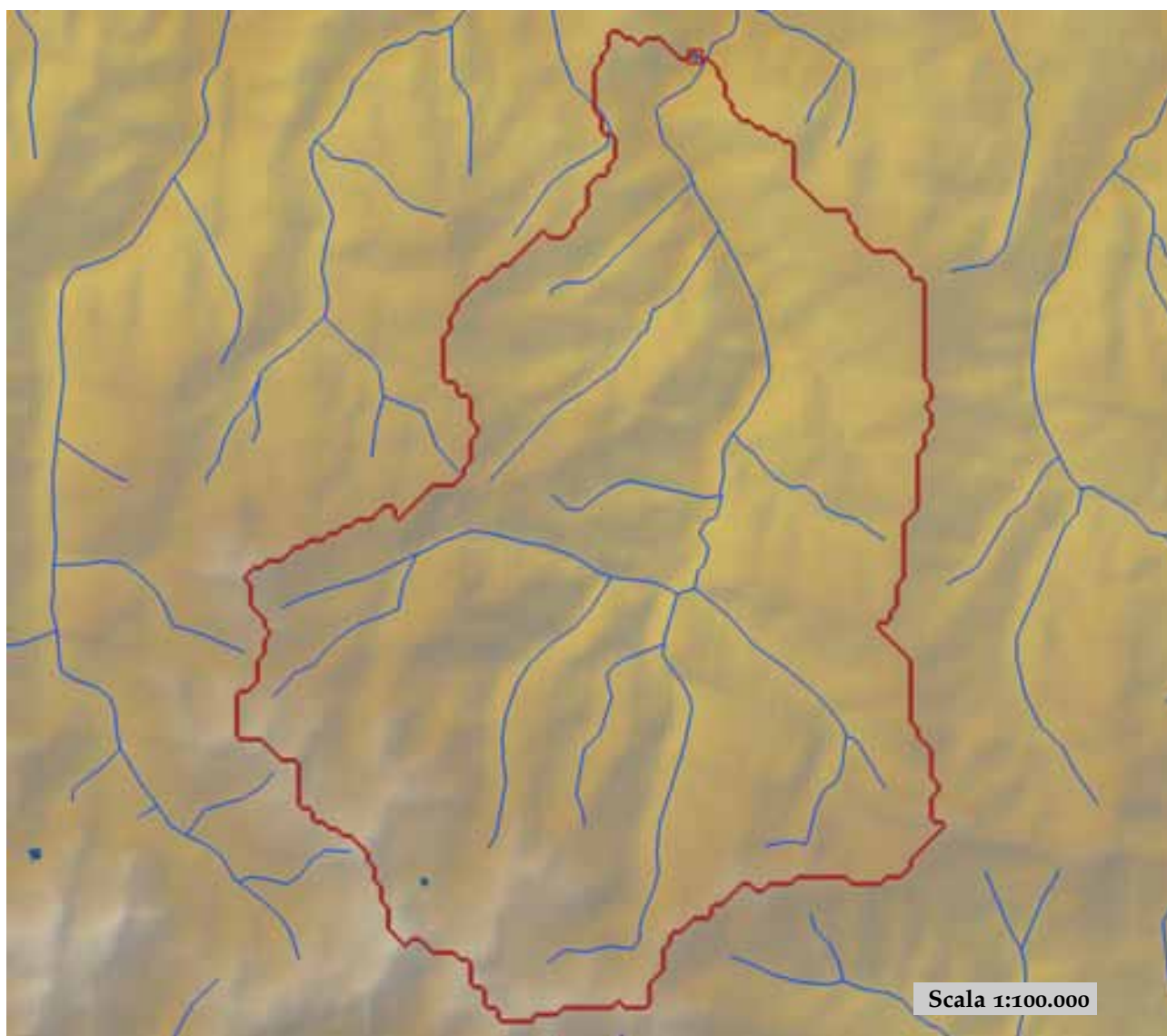


est (UTM _{32N} WGS84)	407136	nord (UTM _{32N} WGS84)	4903042
est DEM (UTM _{32N} WGS84)	408152	nord DEM (UTM _{32N} WGS84)	4900553
area bacino	64	quota media	1678

quota massima	2569	quota minima	773
curva ipsografica 2,5%	2324	curva ipsografica 5%	2266
curva ipsografica 10%	2183	curva ipsografica 25%	1992
curva ipsografica 50%	1702	curva ipsografica 75%	1376
curva ipsografica 90%	1125	curva ipsografica 95%	1015
curva ipsografica 97,5%	937	distanza interquartile curva ipsografica	616
angolo di esposizione medio	25	lunghezza vettore orientamento	5.4
pendenza bacino	24.16	pendenza bacino quadrato equivalente	23.25
est baricentro (UTM _{32N} WGS84)	405750	nord baricentro (UTM _{32N} WGS84)	4895750
fattore di forma	0.36	rapporto di allungamento	0.677
media funzione di ampiezza	7659	varianza funzione di ampiezza	8.84×10 ⁶
skewness funzione di ampiezza	-0.379	kurtosis funzione di ampiezza	2.421
rapporto aree medie di due ordini adiacenti	4.092	rapporto di biforcazione	3.5
rapporto lunghezze medie di due ordini adiacenti	1.828	rapporto pendenze medie di due ordini adiacenti	1.83
densità di drenaggio	0.611	diametro topologico	8
lunghezza LDP	13.33	lunghezza asta principale	12.047
lunghezza totale reticolo idrografico	39.1	lunghezza media versanti	623
pendenza media LDP	13	media dell'afflusso totale annuo	1324
deviazione standard dell'afflusso totale annuo	20	media coeff. pluviale orario CPP	22.937
dev. standard coeff. pluviale orario CPP	0.969	media esponente CPP	0.485
dev. standard esponente CPP	0.021	coeff. di intensità	0.017
media LCV piogge 1 ora	0.157	dev. standard LCV piogge 1 ora	0.005
media LCV piogge 3 ore	0.145	dev. standard LCV piogge 3 ore	0.005
media LCV piogge 6 ore	0.152	dev. standard LCV piogge 6 ore	0.006
media LCV piogge 12 ore	0.175	dev. standard LCV piogge 12 ore	0.007
media LCV piogge 24 ore	0.178	dev. standard LCV piogge 24 ore	0.008
media LCA piogge 1 ora	0.08	dev. standard LCA piogge 1 ora	0.031
media LCA piogge 3 ore	0.145	dev. standard LCA piogge 3 ore	0.03
media LCA piogge 6 ore	0.222	dev. standard LCA piogge 6 ore	0.026
media LCA piogge 12 ore	0.271	dev. standard LCA piogge 12 ore	0.02
media LCA piogge 24 ore	0.208	dev. standard LCA piogge 24 ore	0.019
media coeff. B1 regime pluviometrico	-3.8	media coeff. C1 regime pluviometrico	-0.9
media coeff. B2 regime pluviometrico	2.1	media coeff. C2 regime pluviometrico	-32.8
dev. standard regime pluviometrico	27.5	coeff. variaz. regime pluviometrico	0.25
classe 1 corine land cover	0	classe 2 corine land cover	61.88
classe 3 corine land cover	33.36	classe 4 corine land cover	4.82
classe 5 corine land cover	0	media NDVI	0.427
dev. standard NDVI	0.089	media curve number 1	37.7
media curve number 2	56.8	media curve number 3	74.4
dev. standard curve number 1	11.3	dev. standard curve number 2	11.8
dev. standard curve number 3	9.6	media indice di permeabilità vapi	0.221
dev. standard indice di permeabilità vapi	0.106		



Corsaglia a Presa Centrale Molline

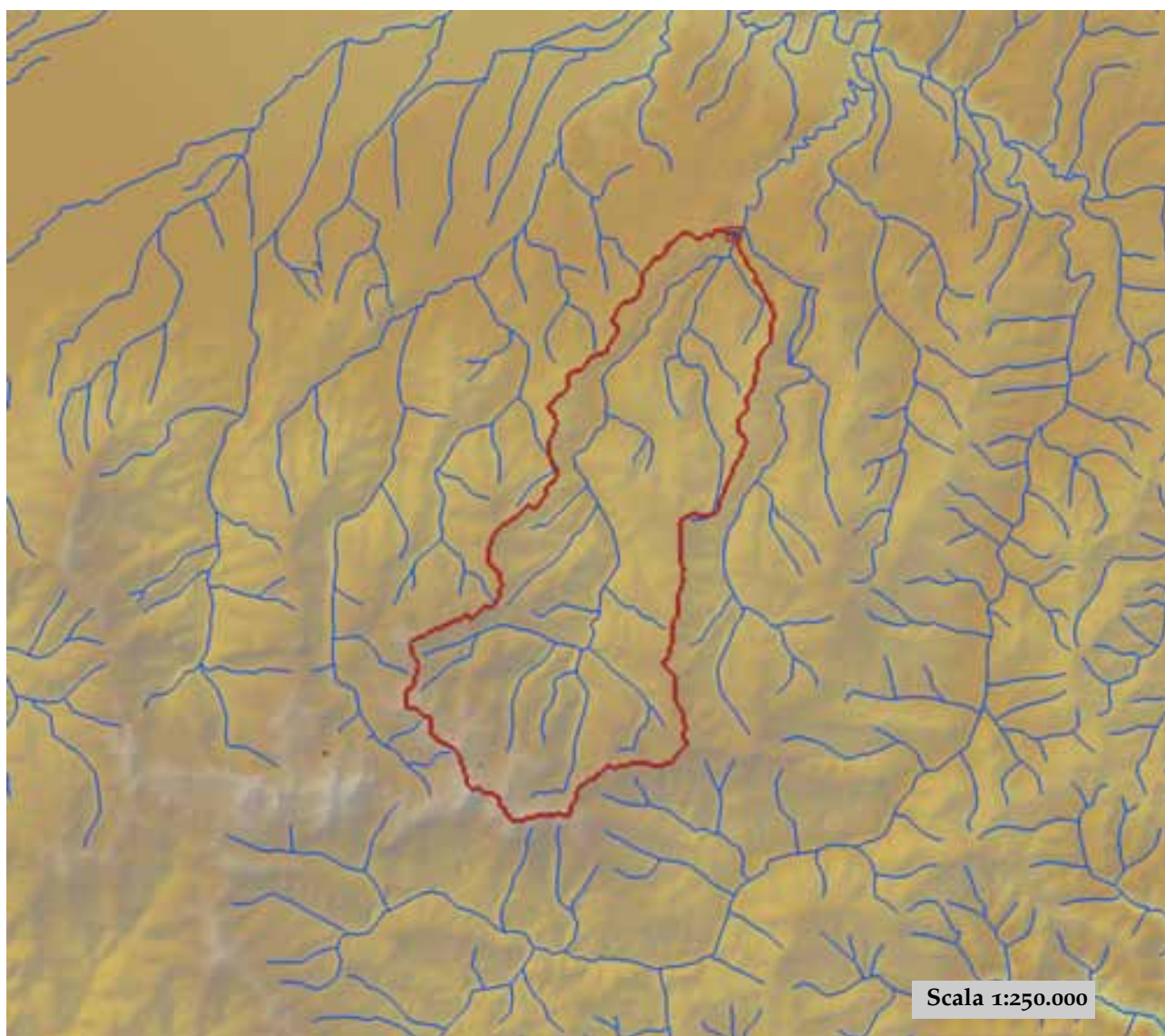


est (UTM _{32N} WGS84)	407096	nord (UTM _{32N} WGS84)	4904936
est DEM (UTM _{32N} WGS84)	407071	nord DEM (UTM _{32N} WGS84)	4904931
area bacino	89,31	quota media	1525

quota massima	2569	quota minima	629
curva ipsografica 2,5%	2301	curva ipsografica 5%	2232
curva ipsografica 10%	2131	curva ipsografica 25%	1878
curva ipsografica 50%	1501	curva ipsografica 75%	1174
curva ipsografica 90%	943	curva ipsografica 95%	845
curva ipsografica 97,5%	774	distanza interquartile curva ipsografica	704
angolo di esposizione medio	20	lunghezza vettore orientamento	7.6
pendenza bacino	23.38	pendenza bacino quadrato equivalente	18.475
est baricentro (UTM _{32N} WGS84)	406050	nord baricentro (UTM _{32N} WGS84)	4897450
fattore di forma	0.253	rapporto di allungamento	0.567
media funzione di ampiezza	10931	varianza funzione di ampiezza	1.98×10 ⁷
skewness funzione di ampiezza	-0.331	kurtosis funzione di ampiezza	2.096
rapporto aree medie di due ordini adiacenti	3.788	rapporto di biforcazione	3.333
rapporto lunghezze medie di due ordini adiacenti	1.668	rapporto pendenze medie di due ordini adiacenti	1.532
densità di drenaggio	0.618	diametro topologico	11
lunghezza LDP	18.799	lunghezza asta principale	17.517
lunghezza totale reticolo idrografico	55.2	lunghezza media versanti	622
pendenza media LDP	12	media dell'afflusso totale annuo	1326
deviazione standard dell'afflusso totale annuo	34	media coeff. pluviale orario CPP	23.412
dev. standard coeff. pluviale orario CPP	1.262	media esponente CPP	0.471
dev. standard esponente CPP	0.033	coeff. di intensità	0.018
media LCV piogge 1 ora	0.161	dev. standard LCV piogge 1 ora	0.008
media LCV piogge 3 ore	0.146	dev. standard LCV piogge 3 ore	0.005
media LCV piogge 6 ore	0.152	dev. standard LCV piogge 6 ore	0.005
media LCV piogge 12 ore	0.174	dev. standard LCV piogge 12 ore	0.007
media LCV piogge 24 ore	0.176	dev. standard LCV piogge 24 ore	0.009
media LCA piogge 1 ora	0.094	dev. standard LCA piogge 1 ora	0.037
media LCA piogge 3 ore	0.141	dev. standard LCA piogge 3 ore	0.028
media LCA piogge 6 ore	0.206	dev. standard LCA piogge 6 ore	0.036
media LCA piogge 12 ore	0.258	dev. standard LCA piogge 12 ore	0.03
media LCA piogge 24 ore	0.197	dev. standard LCA piogge 24 ore	0.028
media coeff. B1 regime pluviometrico	-2.2	media coeff. C1 regime pluviometrico	0.6
media coeff. B2 regime pluviometrico	1.8	media coeff. C2 regime pluviometrico	-33
dev. standard regime pluviometrico	27.6	coeff. variaz. regime pluviometrico	0.243
classe 1 corine land cover	0.1	classe 2 corine land cover	68.97
classe 3 corine land cover	27.54	classe 4 corine land cover	3.45
classe 5 corine land cover	0	media NDVI	0.456
dev. standard NDVI	0.094	media curve number 1	39.7
media curve number 2	59.1	media curve number 3	76.4
dev. standard curve number 1	10.2	dev. standard curve number 2	10.7
dev. standard curve number 3	8.8	media indice di permeabilità vapi	0.236
dev. standard indice di permeabilità vapi	0.124		



Corsaglia a Torre Mondovì

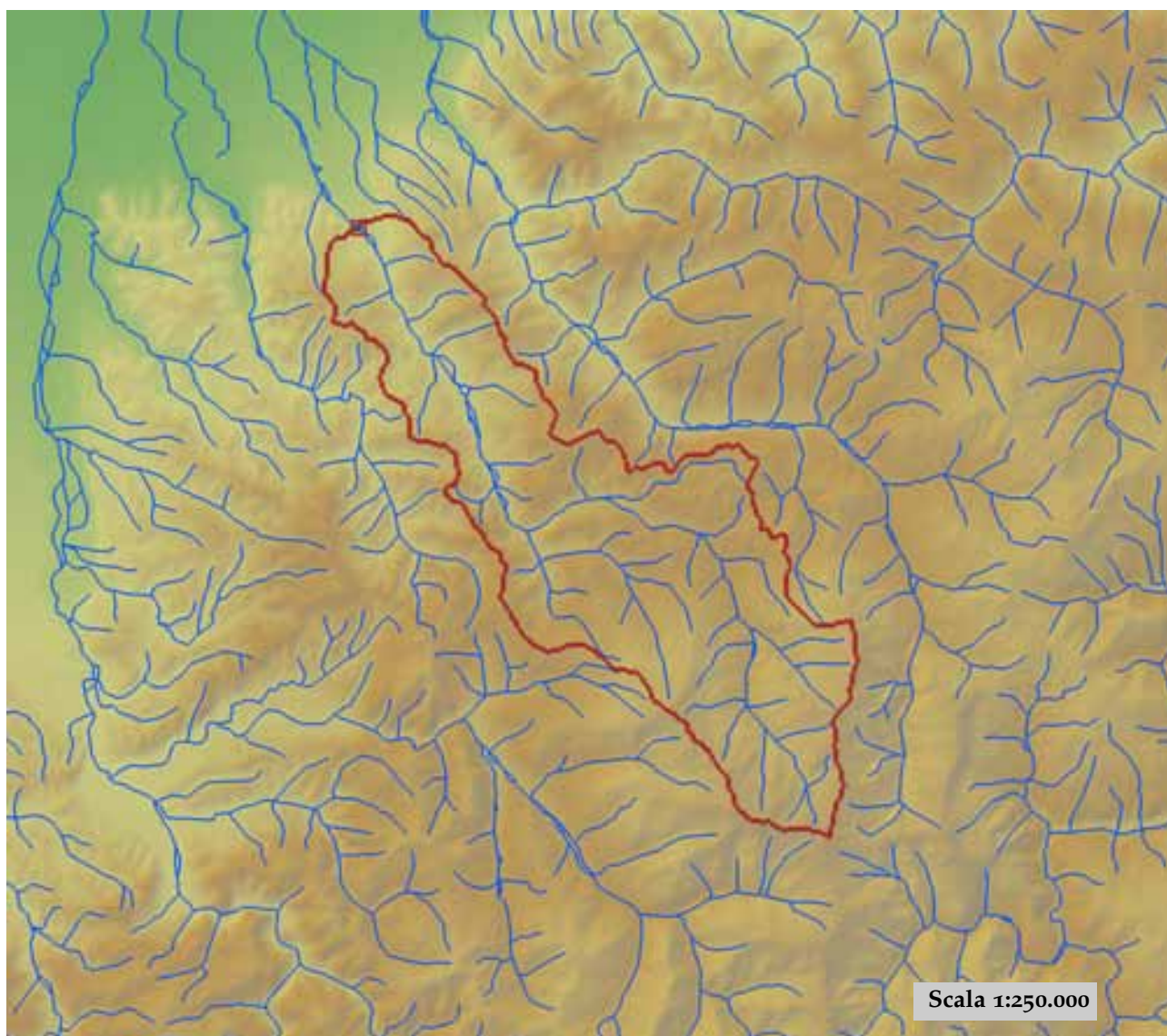


est (UTM _{32N} WGS84)	412545	nord (UTM _{32N} WGS84)	4912293
est DEM (UTM _{32N} WGS84)	412351	nord DEM (UTM _{32N} WGS84)	4912250
area bacino	139.86	quota media	1266

quota massima	2569	quota minima	452
curva ipsografica 2,5%	2256	curva ipsografica 5%	2168
curva ipsografica 10%	2026	curva ipsografica 25%	1662
curva ipsografica 50%	1168	curva ipsografica 75%	848
curva ipsografica 90%	666	curva ipsografica 95%	604
curva ipsografica 97,5%	557	distanza interquartile curva ipsografica	814
angolo di esposizione medio	7	lunghezza vettore orientamento	12.3
pendenza bacino	20.455	pendenza bacino quadrato equivalente	12.126
est baricentro (UTM _{32N} WGS84)	407550	nord baricentro (UTM _{32N} WGS84)	4900950
fattore di forma	0.159	rapporto di allungamento	0.45
media funzione di ampiezza	16747	varianza funzione di ampiezza	6.27×10 ⁷
skewness funzione di ampiezza	-0.259	kurtosis funzione di ampiezza	1.835
rapporto aree medie di due ordini adiacenti	4.908	rapporto di biforcazione	3.873
rapporto lunghezze medie di due ordini adiacenti	2.784	rapporto pendenze medie di due ordini adiacenti	2.426
densità di drenaggio	0.629	diametro topologico	15
lunghezza LDP	29.681	lunghezza asta principale	28.398
lunghezza totale reticolo idrografico	88	lunghezza media versanti	610
pendenza media LDP	10	media dell'afflusso totale annuo	1287
deviazione standard dell'afflusso totale annuo	71	media coeff. pluviale orario CPP	24.331
dev. standard coeff. pluviale orario CPP	1.549	media esponente CPP	0.446
dev. standard esponente CPP	0.041	coeff. di intensità	0.019
media LCV piogge 1 ora	0.171	dev. standard LCV piogge 1 ora	0.015
media LCV piogge 3 ore	0.151	dev. standard LCV piogge 3 ore	0.008
media LCV piogge 6 ore	0.152	dev. standard LCV piogge 6 ore	0.005
media LCV piogge 12 ore	0.173	dev. standard LCV piogge 12 ore	0.006
media LCV piogge 24 ore	0.172	dev. standard LCV piogge 24 ore	0.008
media LCA piogge 1 ora	0.122	dev. standard LCA piogge 1 ora	0.049
media LCA piogge 3 ore	0.134	dev. standard LCA piogge 3 ore	0.024
media LCA piogge 6 ore	0.175	dev. standard LCA piogge 6 ore	0.049
media LCA piogge 12 ore	0.232	dev. standard LCA piogge 12 ore	0.041
media LCA piogge 24 ore	0.185	dev. standard LCA piogge 24 ore	0.028
media coeff. B1 regime pluviometrico	1.5	media coeff. C1 regime pluviometrico	2.2
media coeff. B2 regime pluviometrico	1	media coeff. C2 regime pluviometrico	-35.4
dev. standard regime pluviometrico	29.1	coeff. variaz. regime pluviometrico	0.263
classe 1 corine land cover	0.94	classe 2 corine land cover	76.48
classe 3 corine land cover	20.42	classe 4 corine land cover	2.2
classe 5 corine land cover	0	media NDVI	0.508
dev. standard NDVI	0.1	media curve number 1	41.5
media curve number 2	61	media curve number 3	78
dev. standard curve number 1	9	dev. standard curve number 2	9.4
dev. standard curve number 3	7.6	media indice di permeabilità vapi	0.352
dev. standard indice di permeabilità vapi	0.206		

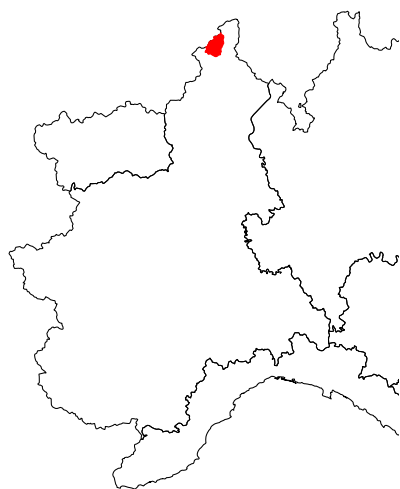


Curone a Volpedo

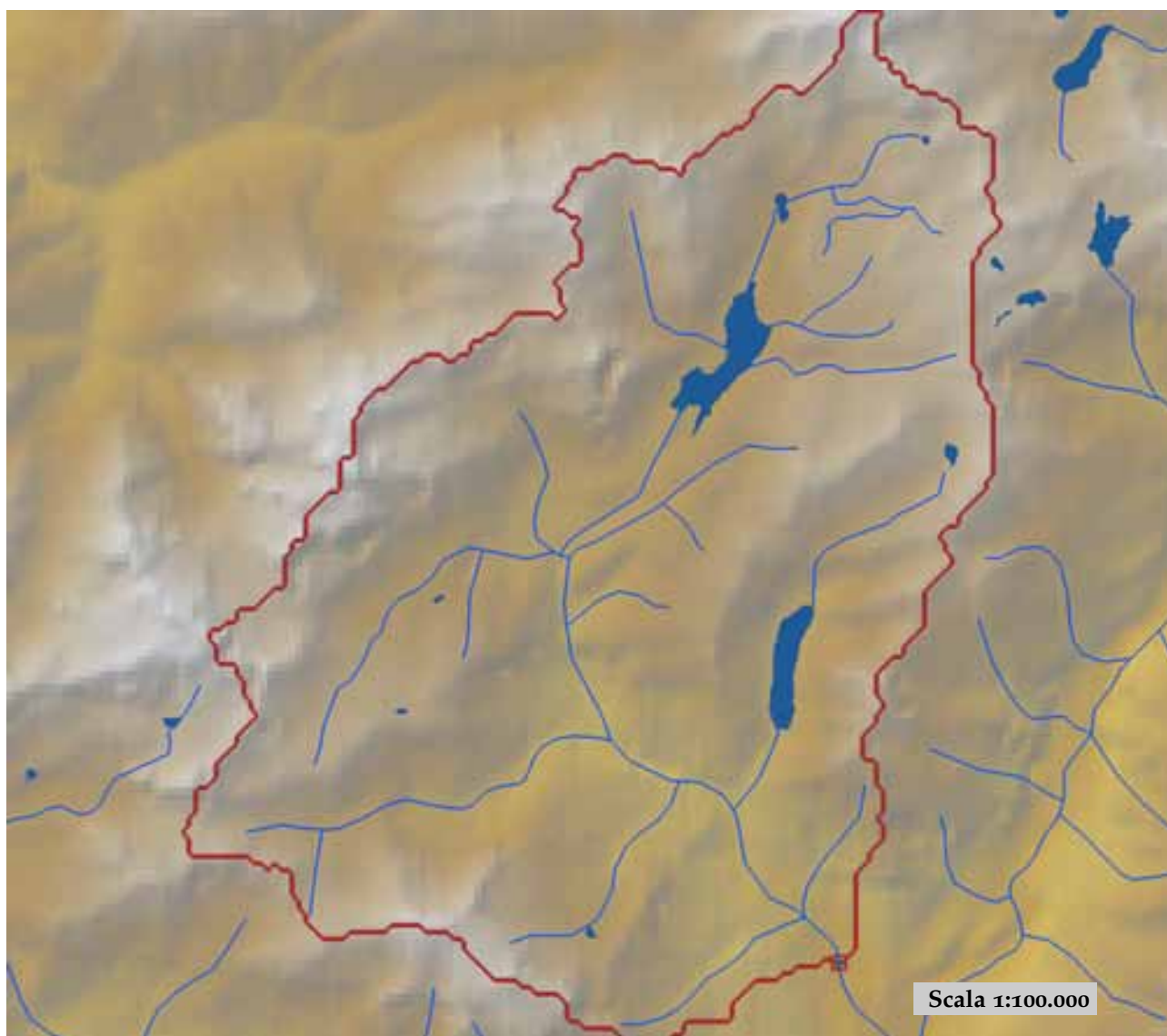


est (UTM _{32N} WGS84)	498654	nord (UTM _{32N} WGS84)	4970400
est DEM (UTM _{32N} WGS84)	498750	nord DEM (UTM _{32N} WGS84)	4970351
area bacino	154.28	quota media	636

quota massima	1669	quota minima	178
curva ipsografica 2,5%	1430	curva ipsografica 5%	1352
curva ipsografica 10%	1205	curva ipsografica 25%	824
curva ipsografica 50%	533	curva ipsografica 75%	374
curva ipsografica 90%	289	curva ipsografica 95%	256
curva ipsografica 97,5%	230	distanza interquartile curva ipsografica	450
angolo di esposizione medio	328	lunghezza vettore orientamento	14.5
pendenza bacino	12.231	pendenza bacino quadrato equivalente	5.732
est baricentro (UTM _{32N} WGS84)	507950	nord baricentro (UTM _{32N} WGS84)	4959150
fattore di forma	0.119	rapporto di allungamento	0.39
media funzione di ampiezza	19468	varianza funzione di ampiezza	8.83×10^7
skewness funzione di ampiezza	-0.203	kurtosis funzione di ampiezza	2.004
rapporto aree medie di due ordini adiacenti	4.411	rapporto di biforcazione	4.359
rapporto lunghezze medie di due ordini adiacenti	2.407	rapporto pendenze medie di due ordini adiacenti	2.211
densità di drenaggio	0.605	diametro topologico	28
lunghezza LDP	35.95	lunghezza asta principale	34.661
lunghezza totale reticolo idrografico	93.4	lunghezza media versanti	681
pendenza media LDP	4	media dell'afflusso totale annuo	894
deviazione standard dell'afflusso totale annuo	133	media coeff. pluviale orario CPP	25.914
dev. standard coeff. pluviale orario CPP	1.294	media esponente CPP	0.343
dev. standard esponente CPP	0.026	coeff. di intensità	0.029
media LCV piogge 1 ora	0.168	dev. standard LCV piogge 1 ora	0.007
media LCV piogge 3 ore	0.194	dev. standard LCV piogge 3 ore	0.008
media LCV piogge 6 ore	0.204	dev. standard LCV piogge 6 ore	0.013
media LCV piogge 12 ore	0.213	dev. standard LCV piogge 12 ore	0.008
media LCV piogge 24 ore	0.217	dev. standard LCV piogge 24 ore	0.005
media LCA piogge 1 ora	0.172	dev. standard LCA piogge 1 ora	0.012
media LCA piogge 3 ore	0.267	dev. standard LCA piogge 3 ore	0.021
media LCA piogge 6 ore	0.265	dev. standard LCA piogge 6 ore	0.02
media LCA piogge 12 ore	0.283	dev. standard LCA piogge 12 ore	0.011
media LCA piogge 24 ore	0.281	dev. standard LCA piogge 24 ore	0.01
media coeff. B1 regime pluviometrico	9.8	media coeff. C1 regime pluviometrico	-6
media coeff. B2 regime pluviometrico	-1.8	media coeff. C2 regime pluviometrico	-26.2
dev. standard regime pluviometrico	23.1	coeff. variaz. regime pluviometrico	0.319
classe 1 corine land cover	0.06	classe 2 corine land cover	51.84
classe 3 corine land cover	47.63	classe 4 corine land cover	0.5
classe 5 corine land cover	0	media NDVI	0.581
dev. standard NDVI	0.021	media curve number 1	48.3
media curve number 2	67.6	media curve number 3	82.9
dev. standard curve number 1	6.9	dev. standard curve number 2	6.3
dev. standard curve number 3	4.7	media indice di permeabilità vapi	0.571
dev. standard indice di permeabilità vapi	0.041		



Devero a Baceno

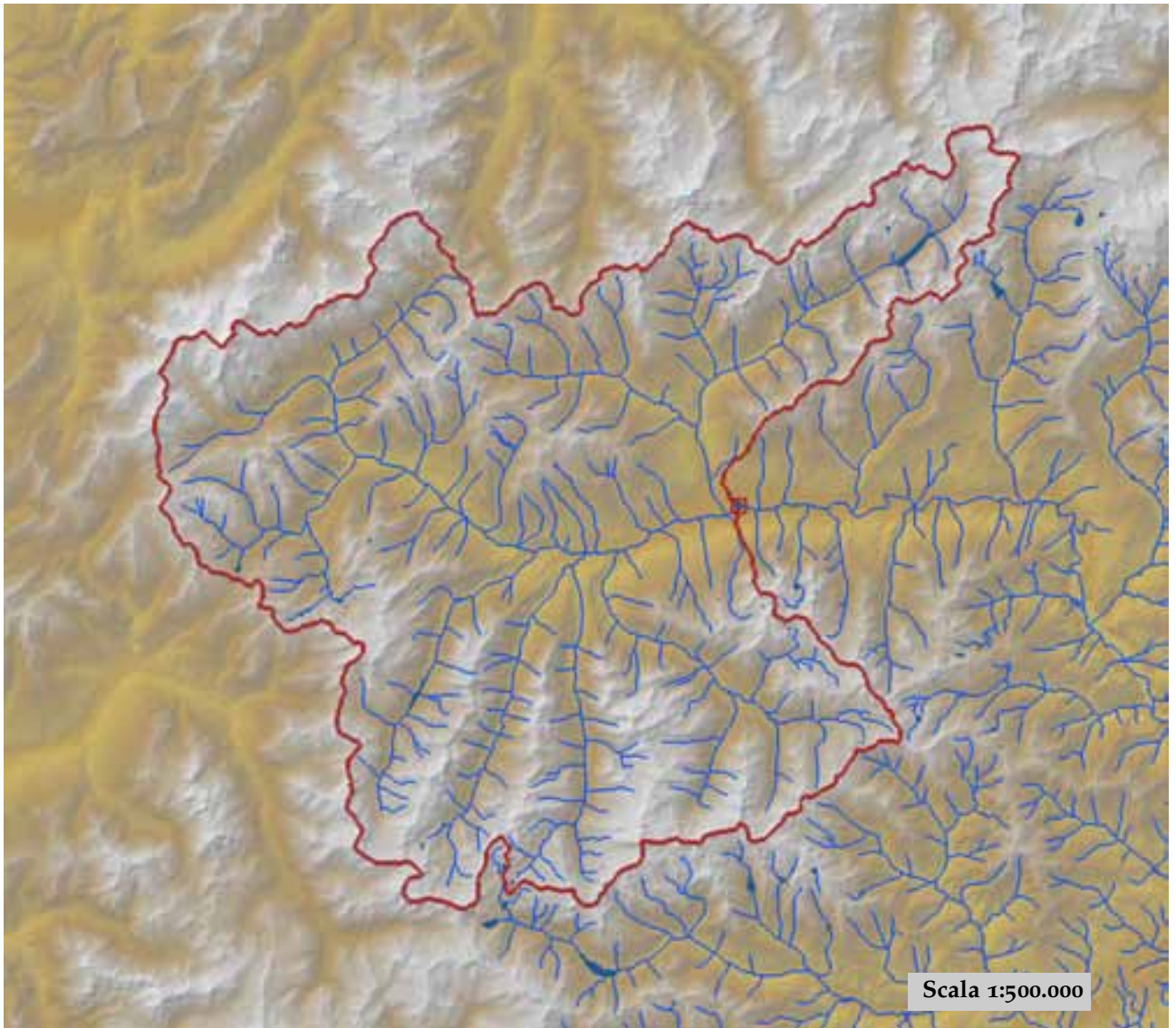


est (UTM ₃₂ N WGS84)	447186	nord (UTM ₃₂ N WGS84)	5123403
est DEM (UTM ₃₂ N WGS84)	447158	nord DEM (UTM ₃₂ N WGS84)	5123348
area bacino	105.56	quota media	2057

quota massima	3197	quota minima	625
curva ipsografica 2,5%	2798	curva ipsografica 5%	2694
curva ipsografica 10%	2573	curva ipsografica 25%	2375
curva ipsografica 50%	2123	curva ipsografica 75%	1810
curva ipsografica 90%	1401	curva ipsografica 95%	1132
curva ipsografica 97,5%	930	distanza interquartile curva ipsografica	565
angolo di esposizione medio	134	lunghezza vettore orientamento	6.4
pendenza bacino	24.715	pendenza bacino quadrato equivalente	29.18
est baricentro (UTM _{32N} WGS84)	444150	nord baricentro (UTM _{32N} WGS84)	5129050
fattore di forma	0.283	rapporto di allungamento	0.6
media funzione di ampiezza	10508	varianza funzione di ampiezza	1.88×10 ⁷
skewness funzione di ampiezza	-0.182	kurtosis funzione di ampiezza	2.279
rapporto aree medie di due ordini adiacenti	3.42	rapporto di biforcazione	3.606
rapporto lunghezze medie di due ordini adiacenti	1.828	rapporto pendenze medie di due ordini adiacenti	1.83
densità di drenaggio	0.574	diametro topologico	16
lunghezza LDP	19.324	lunghezza asta principale	17.534
lunghezza totale reticolo idrografico	60.6	lunghezza media versanti	764
pendenza media LDP	10	media dell'afflusso totale annuo	1549
deviazione standard dell'afflusso totale annuo	80	media coeff. pluviale orario CPP	19.556
dev. standard coeff. pluviale orario CPP	1.189	media esponente CPP	0.546
dev. standard esponente CPP	0.022	coeff. di intensità	0.013
media LCV piogge 1 ora	0.178	dev. standard LCV piogge 1 ora	0.015
media LCV piogge 3 ore	0.165	dev. standard LCV piogge 3 ore	0.007
media LCV piogge 6 ore	0.16	dev. standard LCV piogge 6 ore	0.004
media LCV piogge 12 ore	0.169	dev. standard LCV piogge 12 ore	0.005
media LCV piogge 24 ore	0.18	dev. standard LCV piogge 24 ore	0.006
media LCA piogge 1 ora	0.27	dev. standard LCA piogge 1 ora	0.007
media LCA piogge 3 ore	0.295	dev. standard LCA piogge 3 ore	0.015
media LCA piogge 6 ore	0.309	dev. standard LCA piogge 6 ore	0.018
media LCA piogge 12 ore	0.261	dev. standard LCA piogge 12 ore	0.006
media LCA piogge 24 ore	0.218	dev. standard LCA piogge 24 ore	0.007
media coeff. B1 regime pluviometrico	-22.4	media coeff. C1 regime pluviometrico	-21.3
media coeff. B2 regime pluviometrico	-3.2	media coeff. C2 regime pluviometrico	-37.6
dev. standard regime pluviometrico	36.7	coeff. variaz. regime pluviometrico	0.29
classe 1 corine land cover	0	classe 2 corine land cover	39.2
classe 3 corine land cover	37.21	classe 4 corine land cover	22.14
classe 5 corine land cover	1.49	media NDVI	0.291
dev. standard NDVI	0.128	media curve number 1	42.7
media curve number 2	60.5	media curve number 3	76.1
dev. standard curve number 1	16.7	dev. standard curve number 2	17.7
dev. standard curve number 3	16.2	media indice di permeabilità vapi	0.479
dev. standard indice di permeabilità vapi	0.139		

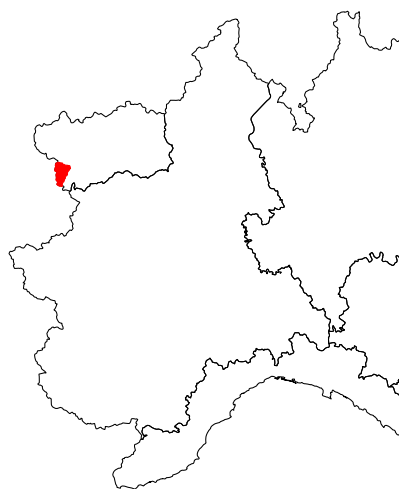


Dora Baltea a Aosta

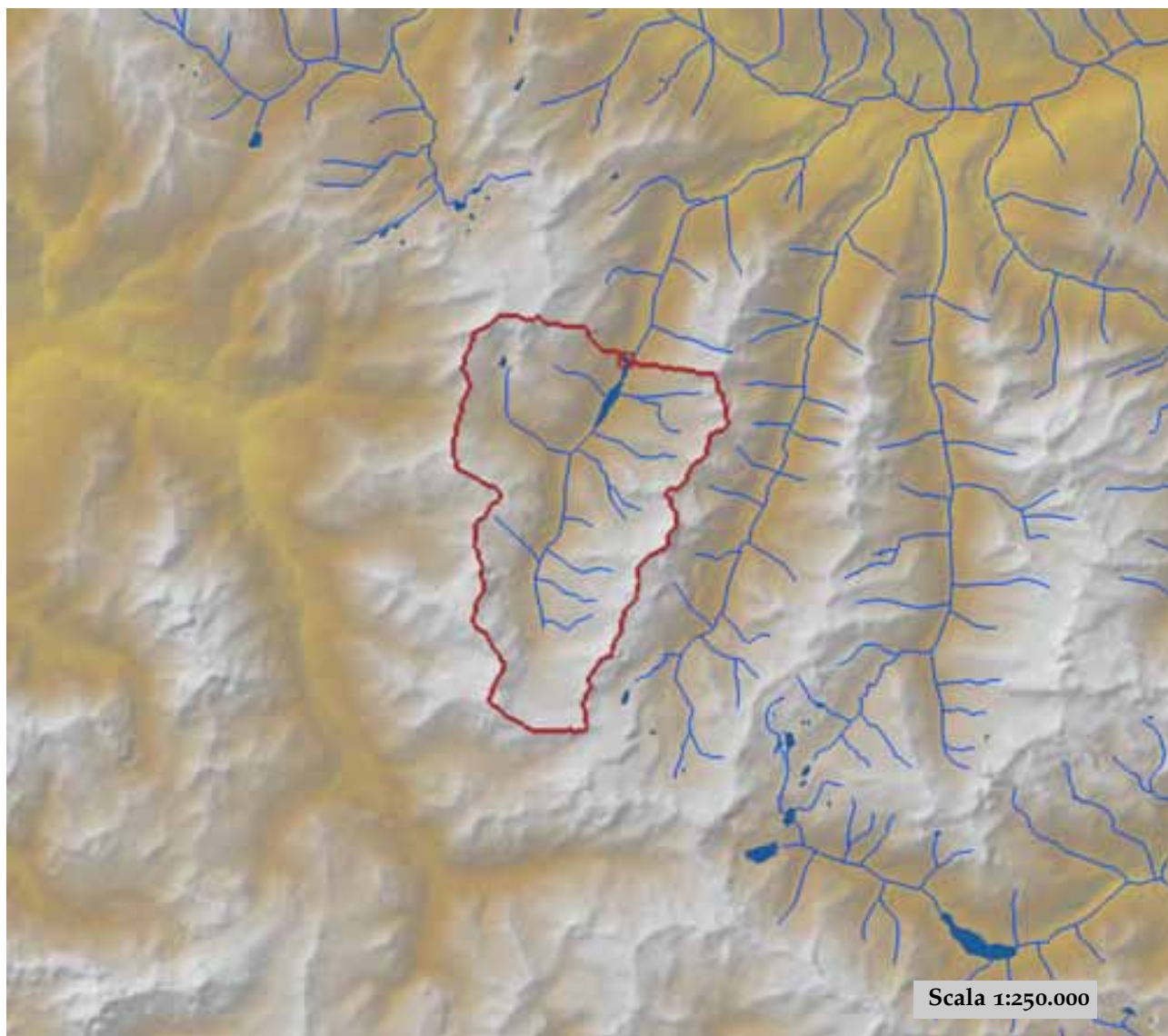


est (UTM _{32N} WGS84)	374919	nord (UTM _{32N} WGS84)	5066248
est DEM (UTM _{32N} WGS84)	371653	nord DEM (UTM _{32N} WGS84)	5066152
area bacino	1845.65	quota media	2265

quota massima	4743	quota minima	547
curva ipsografica 2,5%	3372	curva ipsografica 5%	3217
curva ipsografica 10%	3026	curva ipsografica 25%	2716
curva ipsografica 50%	2337	curva ipsografica 75%	1851
curva ipsografica 90%	1362	curva ipsografica 95%	1054
curva ipsografica 97,5%	845	distanza interquartile curva ipsografica	865
angolo di esposizione medio	104	lunghezza vettore orientamento	13.6
pendenza bacino	26.065	pendenza bacino quadrato equivalente	8.338
est baricentro (UTM _{32N} WGS84)	358150	nord baricentro (UTM _{32N} WGS84)	5064350
fattore di forma	0.528	rapporto di allungamento	0.82
media funzione di ampiezza	33607	varianza funzione di ampiezza	1.64×10 ⁸
skewness funzione di ampiezza	-0.099	kurtosis funzione di ampiezza	2.397
rapporto aree medie di due ordini adiacenti	4.999	rapporto di biforcazione	4.825
rapporto lunghezze medie di due ordini adiacenti	2.197	rapporto pendenze medie di due ordini adiacenti	1.887
densità di drenaggio	0.6	diametro topologico	71
lunghezza LDP	59.145	lunghezza asta principale	57.014
lunghezza totale reticolo idrografico	1106.9	lunghezza media versanti	823
pendenza media LDP	6	media dell'afflusso totale annuo	903
deviazione standard dell'afflusso totale annuo	162	media coeff. pluviale orario CPP	12.876
dev. standard coeff. pluviale orario CPP	1.728	media esponente CPP	0.527
dev. standard esponente CPP	0.034	coeff. di intensità	0.014
media LCV piogge 1 ora	0.216	dev. standard LCV piogge 1 ora	0.027
media LCV piogge 3 ore	0.19	dev. standard LCV piogge 3 ore	0.021
media LCV piogge 6 ore	0.191	dev. standard LCV piogge 6 ore	0.018
media LCV piogge 12 ore	0.207	dev. standard LCV piogge 12 ore	0.022
media LCV piogge 24 ore	0.232	dev. standard LCV piogge 24 ore	0.027
media LCA piogge 1 ora	0.187	dev. standard LCA piogge 1 ora	0.034
media LCA piogge 3 ore	0.211	dev. standard LCA piogge 3 ore	0.036
media LCA piogge 6 ore	0.241	dev. standard LCA piogge 6 ore	0.034
media LCA piogge 12 ore	0.279	dev. standard LCA piogge 12 ore	0.031
media LCA piogge 24 ore	0.286	dev. standard LCA piogge 24 ore	0.031
media coeff. B1 regime pluviometrico	0.3	media coeff. C1 regime pluviometrico	-3.5
media coeff. B2 regime pluviometrico	-2.6	media coeff. C2 regime pluviometrico	-12.2
dev. standard regime pluviometrico	14.4	coeff. variaz. regime pluviometrico	0.218
classe 1 corine land cover	1.18	classe 2 corine land cover	31.9
classe 3 corine land cover	17.95	classe 4 corine land cover	48.8
classe 5 corine land cover	0.17	media NDVI	0.242
dev. standard NDVI	0.157	media curve number 1	45.9
media curve number 2	62.9	media curve number 3	76.5
dev. standard curve number 1	17.5	dev. standard curve number 2	20.2
dev. standard curve number 3	21.8	media indice di permeabilità vapi	0.332
dev. standard indice di permeabilità vapi	0.188		

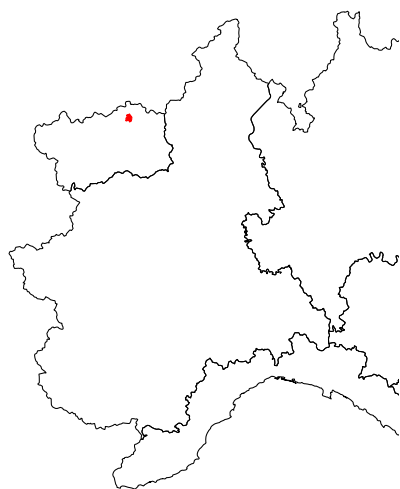


Dora Baltea a Beauregard

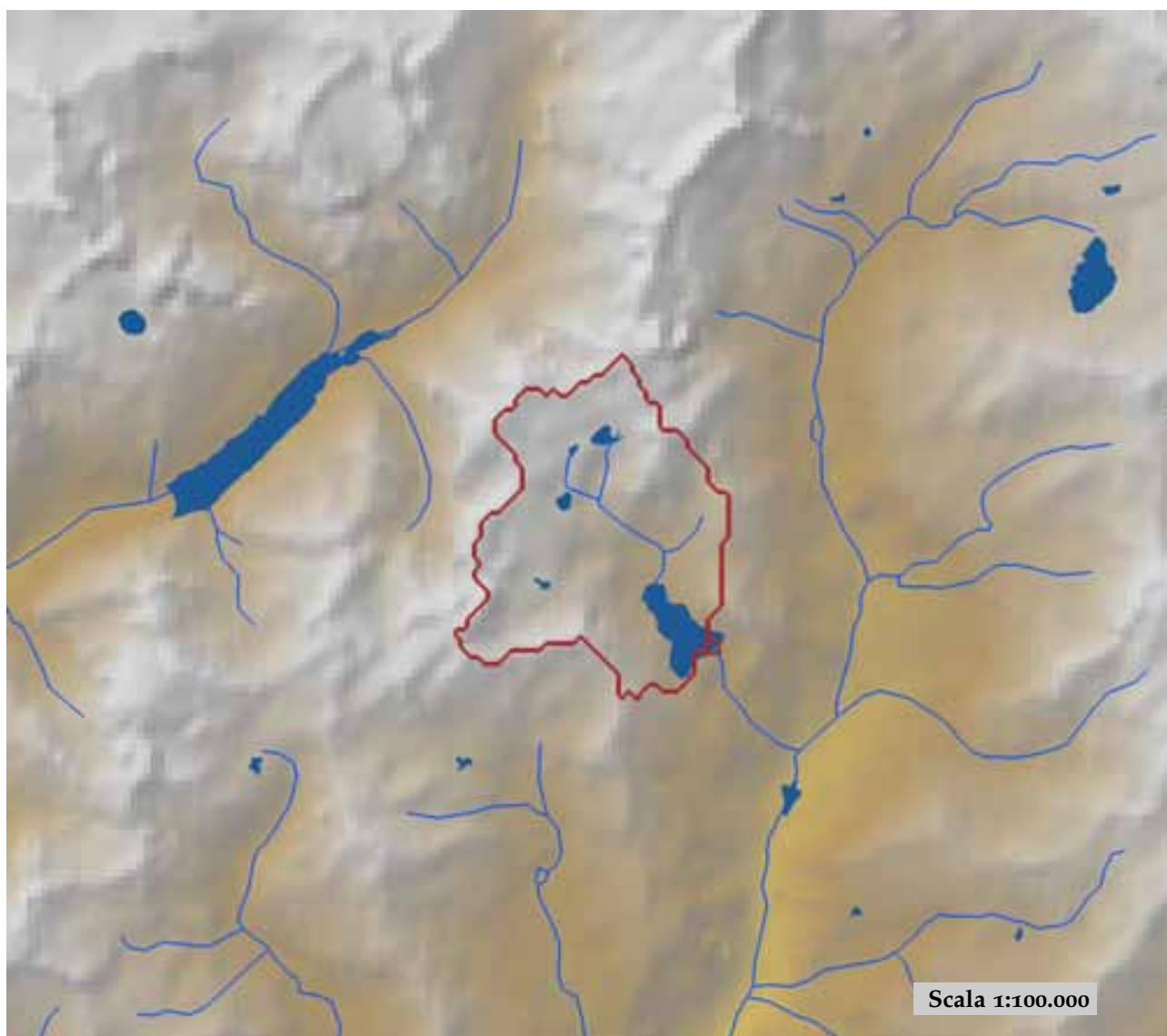


est (UTM ₃₂ N WGS84)	348670	nord (UTM ₃₂ N WGS84)	5053499
est DEM (UTM ₃₂ N WGS84)	348570	nord DEM (UTM ₃₂ N WGS84)	5053575
area bacino	92.18	quota media	2607

quota massima	3645	quota minima	1697
curva ipsografica 2,5%	3317	curva ipsografica 5%	3218
curva ipsografica 10%	3086	curva ipsografica 25%	2878
curva ipsografica 50%	2630	curva ipsografica 75%	2343
curva ipsografica 90%	2068	curva ipsografica 95%	1940
curva ipsografica 97,5%	1828	distanza interquartile curva ipsografica	535
angolo di esposizione medio	327	lunghezza vettore orientamento	5.5
pendenza bacino	24.818	pendenza bacino quadrato equivalente	19.456
est baricentro (UTM _{32N} WGS84)	346450	nord baricentro (UTM _{32N} WGS84)	5048550
fattore di forma	0.352	rapporto di allungamento	0.67
media funzione di ampiezza	8166	varianza funzione di ampiezza	1.39×10 ⁷
skewness funzione di ampiezza	0.114	kurtosis funzione di ampiezza	2.209
rapporto aree medie di due ordini adiacenti	7.968	rapporto di biforcazione	6
rapporto lunghezze medie di due ordini adiacenti	4.268	rapporto pendenze medie di due ordini adiacenti	1.378
densità di drenaggio	0.525	diametro topologico	17
lunghezza LDP	16.178	lunghezza asta principale	14.405
lunghezza totale reticolo idrografico	48.4	lunghezza media versanti	856
pendenza media LDP	9	media dell'afflusso totale annuo	990
deviazione standard dell'afflusso totale annuo	49	media coeff. pluviale orario CPP	12.553
dev. standard coeff. pluviale orario CPP	0.762	media esponente CPP	0.525
dev. standard esponente CPP	0.016	coeff. di intensità	0.013
media LCV piogge 1 ora	0.189	dev. standard LCV piogge 1 ora	0.015
media LCV piogge 3 ore	0.167	dev. standard LCV piogge 3 ore	0.009
media LCV piogge 6 ore	0.172	dev. standard LCV piogge 6 ore	0.008
media LCV piogge 12 ore	0.178	dev. standard LCV piogge 12 ore	0.013
media LCV piogge 24 ore	0.196	dev. standard LCV piogge 24 ore	0.016
media LCA piogge 1 ora	0.223	dev. standard LCA piogge 1 ora	0.035
media LCA piogge 3 ore	0.173	dev. standard LCA piogge 3 ore	0.008
media LCA piogge 6 ore	0.186	dev. standard LCA piogge 6 ore	0.011
media LCA piogge 12 ore	0.245	dev. standard LCA piogge 12 ore	0.013
media LCA piogge 24 ore	0.236	dev. standard LCA piogge 24 ore	0.013
media coeff. B1 regime pluviometrico	2.2	media coeff. C1 regime pluviometrico	-0.3
media coeff. B2 regime pluviometrico	-2.7	media coeff. C2 regime pluviometrico	-8.5
dev. standard regime pluviometrico	8.8	coeff. variaz. regime pluviometrico	0.111
classe 1 corine land cover	0	classe 2 corine land cover	17.38
classe 3 corine land cover	9.88	classe 4 corine land cover	72.16
classe 5 corine land cover	0.64	media NDVI	0.129
dev. standard NDVI	0.093	media curve number 1	46.3
media curve number 2	61.7	media curve number 3	73.5
dev. standard curve number 1	20.3	dev. standard curve number 2	25.1
dev. standard curve number 3	28.6	media indice di permeabilità vapi	0.344
dev. standard indice di permeabilità vapi	0.226		



Dora Baltea a Cignana

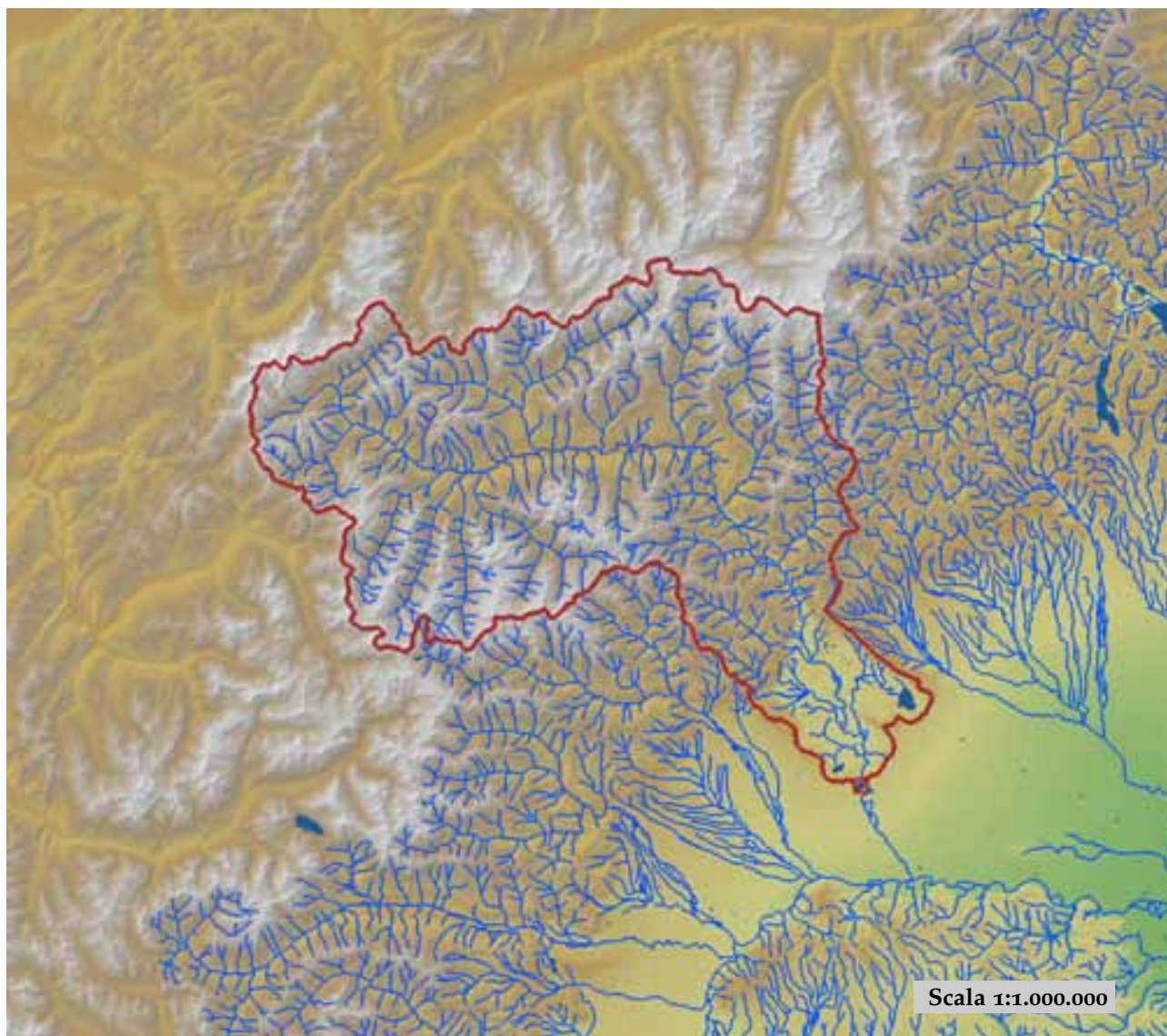


est (UTM ₃₂ N WGS84)	390990	nord (UTM ₃₂ N WGS84)	5081622
est DEM (UTM ₃₂ N WGS84)	390967	nord DEM (UTM ₃₂ N WGS84)	5081636
area bacino	12.69	quota media	2725

quota massima	3448	quota minima	2134
curva ipsografica 2,5%	3260	curva ipsografica 5%	3202
curva ipsografica 10%	3137	curva ipsografica 25%	2996
curva ipsografica 50%	2758	curva ipsografica 75%	2458
curva ipsografica 90%	2222	curva ipsografica 95%	2157
curva ipsografica 97,5%	2143	distanza interquartile curva ipsografica	538
angolo di esposizione medio	129	lunghezza vettore orientamento	2.4
pendenza bacino	25.324	pendenza bacino quadrato equivalente	35.09
est baricentro (UTM32N WGS84)	389350	nord baricentro (UTM32N WGS84)	5083350
fattore di forma	0.355	rapporto di allungamento	0.673
media funzione di ampiezza	3345	varianza funzione di ampiezza	1.83×10^6
skewness funzione di ampiezza	-0.349	kurtosis funzione di ampiezza	2.086
rapporto aree medie di due ordini adiacenti	-	rapporto di biforcazione	5.97
rapporto lunghezze medie di due ordini adiacenti	0.47	rapporto pendenze medie di due ordini adiacenti	-
densità di drenaggio	-	diametro topologico	2
lunghezza LDP	5.977	lunghezza asta principale	3.963
lunghezza totale reticolo idrografico	-	lunghezza media versanti	796
pendenza media LDP	14	media dell'afflusso totale annuo	945
deviazione standard dell'afflusso totale annuo	16	media coeff. pluviale orario CPP	12.162
dev. standard coeff. pluviale orario CPP	0.36	media esponente CPP	0.581
dev. standard esponente CPP	0.015	coeff. di intensità	0.013
media LCV piogge 1 ora	0.214	dev. standard LCV piogge 1 ora	0.007
media LCV piogge 3 ore	0.202	dev. standard LCV piogge 3 ore	0.002
media LCV piogge 6 ore	0.204	dev. standard LCV piogge 6 ore	0.002
media LCV piogge 12 ore	0.204	dev. standard LCV piogge 12 ore	0.002
media LCV piogge 24 ore	0.222	dev. standard LCV piogge 24 ore	0.005
media LCA piogge 1 ora	0.259	dev. standard LCA piogge 1 ora	0.007
media LCA piogge 3 ore	0.28	dev. standard LCA piogge 3 ore	0.007
media LCA piogge 6 ore	0.224	dev. standard LCA piogge 6 ore	0.004
media LCA piogge 12 ore	0.226	dev. standard LCA piogge 12 ore	0.005
media LCA piogge 24 ore	0.265	dev. standard LCA piogge 24 ore	0.003
media coeff. B1 regime pluviometrico	-5.5	media coeff. C1 regime pluviometrico	-0.3
media coeff. B2 regime pluviometrico	4.1	media coeff. C2 regime pluviometrico	-6.4
dev. standard regime pluviometrico	11	coeff. variaz. regime pluviometrico	0.152
classe 1 corine land cover	0	classe 2 corine land cover	13.77
classe 3 corine land cover	4.59	classe 4 corine land cover	77.37
classe 5 corine land cover	4.67	media NDVI	0.109
dev. standard NDVI	0.063	media curve number 1	58.2
media curve number 2	74.3	media curve number 3	85.3
dev. standard curve number 1	14.7	dev. standard curve number 2	17
dev. standard curve number 3	18.5	media indice di permeabilità vapi	0.533
dev. standard indice di permeabilità vapi	0.237		

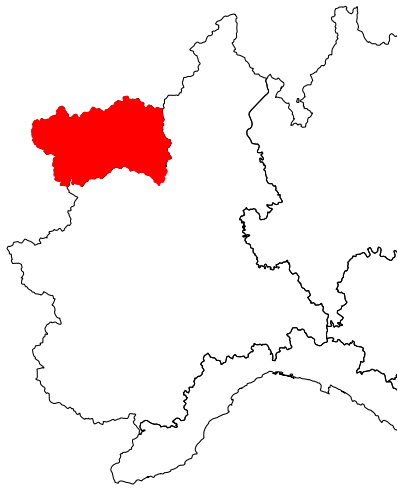


Dora Baltea a Mazzè

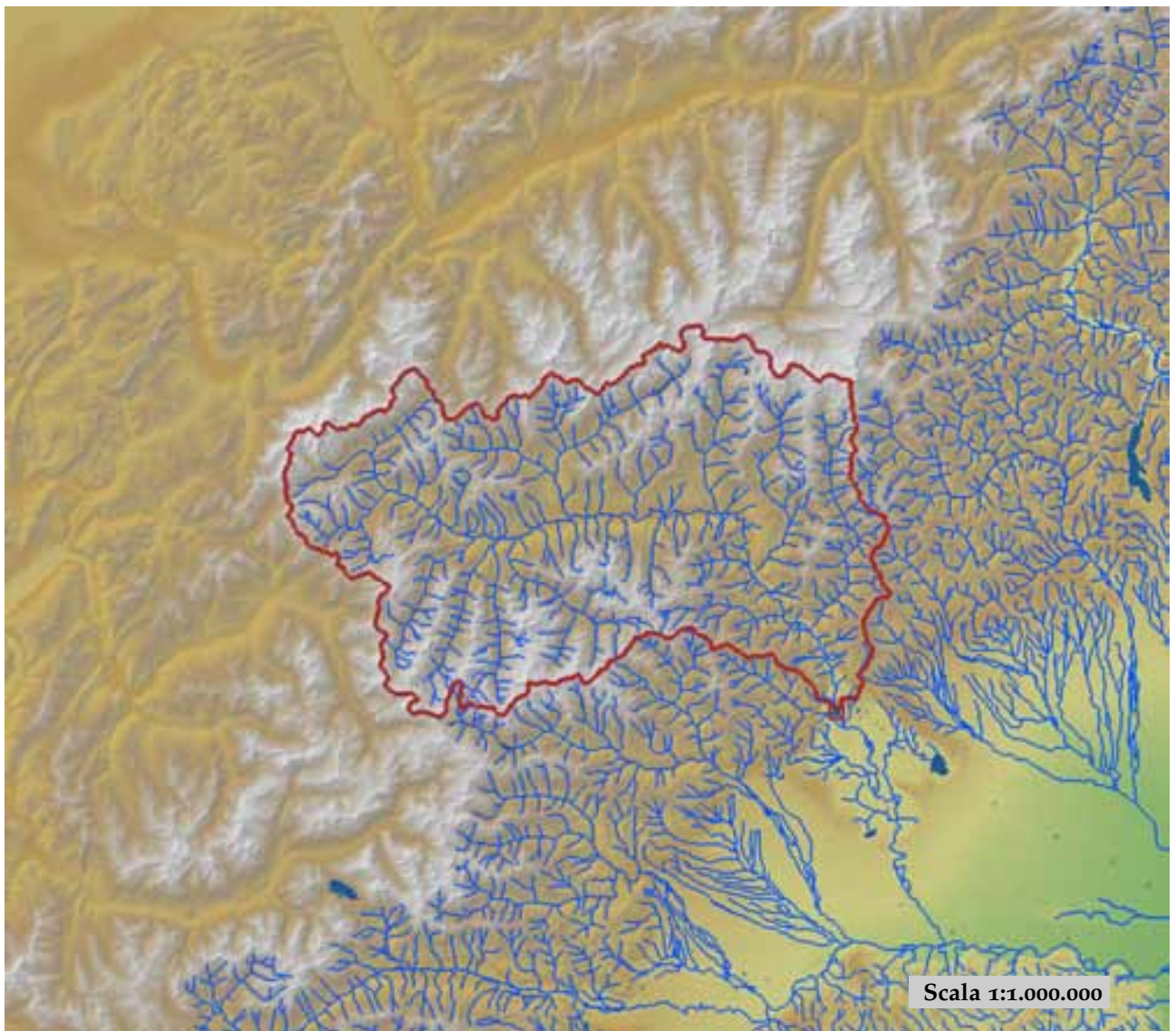


est (UTM _{32N} WGS84)	417900	nord (UTM _{32N} WGS84)	5017085
est DEM (UTM _{32N} WGS84)	417854	nord DEM (UTM _{32N} WGS84)	5017155
area bacino	3854.39	quota media	1883

quota massima	4743	quota minima	206
curva ipsografica 2,5%	3302	curva ipsografica 5%	3105
curva ipsografica 10%	2887	curva ipsografica 25%	2531
curva ipsografica 50%	2021	curva ipsografica 75%	1299
curva ipsografica 90%	458	curva ipsografica 95%	245
curva ipsografica 97,5%	230	distanza interquartile curva ipsografica	1232
angolo di esposizione medio	163	lunghezza vettore orientamento	57.8
pendenza bacino	23.412	pendenza bacino quadrato equivalente	5.85
est baricentro (UTM _{32N} WGS84)	379850	nord baricentro (UTM _{32N} WGS84)	5060750
fattore di forma	0.141	rapporto di allungamento	0.424
media funzione di ampiezza	104344	varianza funzione di ampiezza	1.63×10 ⁹
skewness funzione di ampiezza	-0.505	kurtosis funzione di ampiezza	2.235
rapporto aree medie di due ordini adiacenti	4.793	rapporto di biforcazione	5.728
rapporto lunghezze medie di due ordini adiacenti	2.089	rapporto pendenze medie di due ordini adiacenti	1.957
densità di drenaggio	0.616	diametro topologico	179
lunghezza LDP	165.26	lunghezza asta principale	163.128
lunghezza totale reticolo idrografico	2374.6	lunghezza media versanti	803
pendenza media LDP	3	media dell'afflusso totale annuo	975
deviazione standard dell'afflusso totale annuo	228	media coeff. pluviale orario CPP	16.751
dev. standard coeff. pluviale orario CPP	6.3	media esponente CPP	0.508
dev. standard esponente CPP	0.075	coeff. di intensità	0.017
media LCV piogge 1 ora	0.21	dev. standard LCV piogge 1 ora	0.033
media LCV piogge 3 ore	0.193	dev. standard LCV piogge 3 ore	0.027
media LCV piogge 6 ore	0.188	dev. standard LCV piogge 6 ore	0.021
media LCV piogge 12 ore	0.2	dev. standard LCV piogge 12 ore	0.024
media LCV piogge 24 ore	0.222	dev. standard LCV piogge 24 ore	0.028
media LCA piogge 1 ora	0.191	dev. standard LCA piogge 1 ora	0.048
media LCA piogge 3 ore	0.208	dev. standard LCA piogge 3 ore	0.042
media LCA piogge 6 ore	0.214	dev. standard LCA piogge 6 ore	0.047
media LCA piogge 12 ore	0.239	dev. standard LCA piogge 12 ore	0.055
media LCA piogge 24 ore	0.256	dev. standard LCA piogge 24 ore	0.045
media coeff. B1 regime pluviometrico	-11.2	media coeff. C1 regime pluviometrico	-6.9
media coeff. B2 regime pluviometrico	-1.4	media coeff. C2 regime pluviometrico	-18.7
dev. standard regime pluviometrico	22	coeff. variaz. regime pluviometrico	0.289
classe 1 corine land cover	1.93	classe 2 corine land cover	38.78
classe 3 corine land cover	24.28	classe 4 corine land cover	34.54
classe 5 corine land cover	0.47	media NDVI	0.322
dev. standard NDVI	0.174	media curve number 1	43.4
media curve number 2	61	media curve number 3	75.8
dev. standard curve number 1	16.9	dev. standard curve number 2	18.7
dev. standard curve number 3	18.9	media indice di permeabilità vapi	0.421
dev. standard indice di permeabilità vapi	0.225		

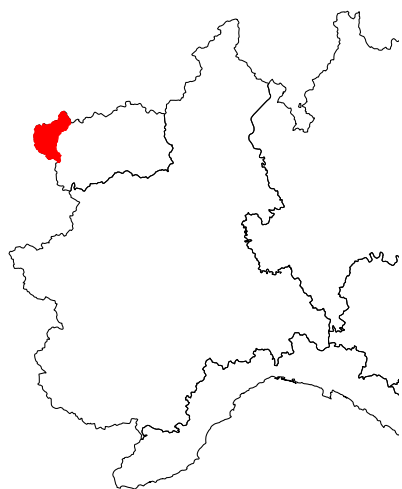


Dora Baltea a Ponte Baio

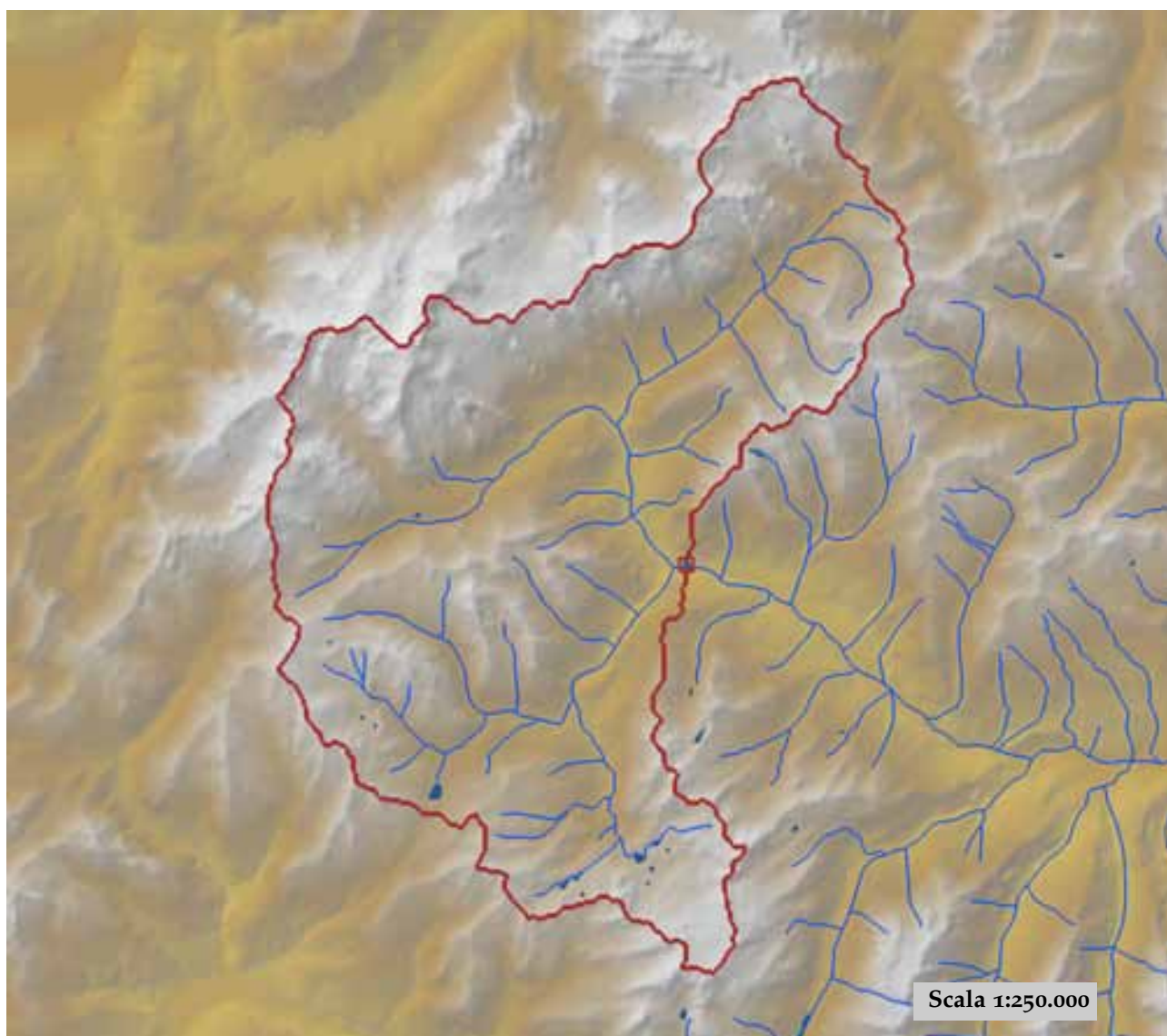


est (UTM ₃₂ N WGS84)	409329	nord (UTM ₃₂ N WGS84)	5039992
est DEM (UTM ₃₂ N WGS84)	409649	nord DEM (UTM ₃₂ N WGS84)	5037347
area bacino	3358.88	quota media	2071

quota massima	4743	quota minima	238
curva ipsografica 2,5%	3339	curva ipsografica 5%	3147
curva ipsografica 10%	2932	curva ipsografica 25%	2596
curva ipsografica 50%	2151	curva ipsografica 75%	1594
curva ipsografica 90%	1013	curva ipsografica 95%	704
curva ipsografica 97,5%	538	distanza interquartile curva ipsografica	1002
angolo di esposizione medio	175	lunghezza vettore orientamento	44
pendenza bacino	25.486	pendenza bacino quadrato equivalente	6.605
est baricentro (UTM _{32N} WGS84)	375350	nord baricentro (UTM _{32N} WGS84)	5064950
fattore di forma	0.207	rapporto di allungamento	0.514
media funzione di ampiezza	76852	varianza funzione di ampiezza	9.89×10 ⁸
skewness funzione di ampiezza	-0.36	kurtosis funzione di ampiezza	1.99
rapporto aree medie di due ordini adiacenti	5.06	rapporto di biforcazione	5.931
rapporto lunghezze medie di due ordini adiacenti	2.229	rapporto pendenze medie di due ordini adiacenti	1.87
densità di drenaggio	0.603	diametro topologico	155
lunghezza LDP	127.349	lunghezza asta principale	125.218
lunghezza totale reticolo idrografico	2026.8	lunghezza media versanti	815
pendenza media LDP	4	media dell'afflusso totale annuo	940
deviazione standard dell'afflusso totale annuo	206	media coeff. pluviale orario CPP	14.832
dev. standard coeff. pluviale orario CPP	4.083	media esponente CPP	0.531
dev. standard esponente CPP	0.041	coeff. di intensità	0.016
media LCV piogge 1 ora	0.218	dev. standard LCV piogge 1 ora	0.027
media LCV piogge 3 ore	0.199	dev. standard LCV piogge 3 ore	0.023
media LCV piogge 6 ore	0.193	dev. standard LCV piogge 6 ore	0.018
media LCV piogge 12 ore	0.206	dev. standard LCV piogge 12 ore	0.021
media LCV piogge 24 ore	0.227	dev. standard LCV piogge 24 ore	0.025
media LCA piogge 1 ora	0.193	dev. standard LCA piogge 1 ora	0.047
media LCA piogge 3 ore	0.213	dev. standard LCA piogge 3 ore	0.039
media LCA piogge 6 ore	0.218	dev. standard LCA piogge 6 ore	0.045
media LCA piogge 12 ore	0.243	dev. standard LCA piogge 12 ore	0.055
media LCA piogge 24 ore	0.262	dev. standard LCA piogge 24 ore	0.044
media coeff. B1 regime pluviometrico	-7.4	media coeff. C1 regime pluviometrico	-6.5
media coeff. B2 regime pluviometrico	-1.7	media coeff. C2 regime pluviometrico	-16.4
dev. standard regime pluviometrico	19.3	coeff. variaz. regime pluviometrico	0.275
classe 1 corine land cover	1.37	classe 2 corine land cover	40.03
classe 3 corine land cover	19.47	classe 4 corine land cover	38.95
classe 5 corine land cover	0.18	media NDVI	0.294
dev. standard NDVI	0.166	media curve number 1	42.7
media curve number 2	60.1	media curve number 3	74.9
dev. standard curve number 1	17.4	dev. standard curve number 2	19.4
dev. standard curve number 3	19.7	media indice di permeabilità vapi	0.435
dev. standard indice di permeabilità vapi	0.228		



Dora Baltea a Ponte di Mombardone

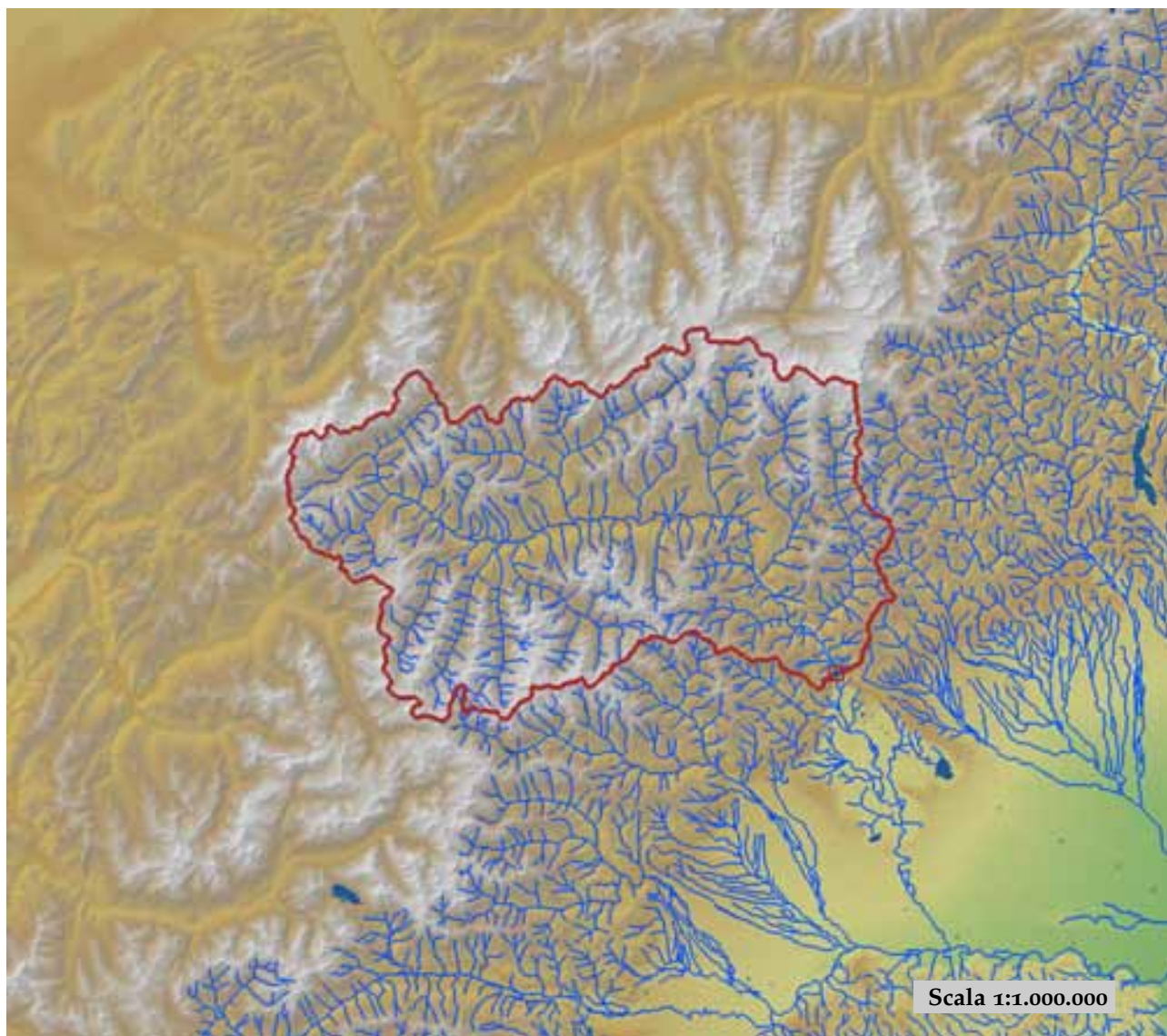


est (UTM ₃₂ N WGS84)	344193	nord (UTM ₃₂ N WGS84)	5069807
est DEM (UTM ₃₂ N WGS84)	344228	nord DEM (UTM ₃₂ N WGS84)	5069841
area bacino	372.06	quota media	2412

quota massima	4743	quota minima	995
curva ipsografica 2,5%	3709	curva ipsografica 5%	3466
curva ipsografica 10%	3200	curva ipsografica 25%	2745
curva ipsografica 50%	2400	curva ipsografica 75%	1999
curva ipsografica 90%	1650	curva ipsografica 95%	1490
curva ipsografica 97,5%	1319	distanza interquartile curva ipsografica	746
angolo di esposizione medio	133	lunghezza vettore orientamento	4.7
pendenza bacino	26.305	pendenza bacino quadrato equivalente	14.578
est baricentro (UTM _{32N} WGS84)	339850	nord baricentro (UTM _{32N} WGS84)	5071550
fattore di forma	0.688	rapporto di allungamento	0.936
media funzione di ampiezza	14824	varianza funzione di ampiezza	2.95×10^7
skewness funzione di ampiezza	-0.351	kurtosis funzione di ampiezza	2.413
rapporto aree medie di due ordini adiacenti	4.28	rapporto di biforcazione	3.498
rapporto lunghezze medie di due ordini adiacenti	1.912	rapporto pendenze medie di due ordini adiacenti	1.739
densità di drenaggio	0.619	diametro topologico	21
lunghezza LDP	23.252	lunghezza asta principale	21.121
lunghezza totale reticolo idrografico	230.4	lunghezza media versanti	822
pendenza media LDP	9	media dell'afflusso totale annuo	1048
deviazione standard dell'afflusso totale annuo	106	media coeff. pluviale orario CPP	12.771
dev. standard coeff. pluviale orario CPP	0.78	media esponente CPP	0.492
dev. standard esponente CPP	0.017	coeff. di intensità	0.012
media LCV piogge 1 ora	0.21	dev. standard LCV piogge 1 ora	0.015
media LCV piogge 3 ore	0.172	dev. standard LCV piogge 3 ore	0.012
media LCV piogge 6 ore	0.172	dev. standard LCV piogge 6 ore	0.011
media LCV piogge 12 ore	0.191	dev. standard LCV piogge 12 ore	0.01
media LCV piogge 24 ore	0.221	dev. standard LCV piogge 24 ore	0.011
media LCA piogge 1 ora	0.148	dev. standard LCA piogge 1 ora	0.01
media LCA piogge 3 ore	0.181	dev. standard LCA piogge 3 ore	0.027
media LCA piogge 6 ore	0.231	dev. standard LCA piogge 6 ore	0.028
media LCA piogge 12 ore	0.276	dev. standard LCA piogge 12 ore	0.03
media LCA piogge 24 ore	0.281	dev. standard LCA piogge 24 ore	0.026
media coeff. B1 regime pluviometrico	8	media coeff. C1 regime pluviometrico	-4.8
media coeff. B2 regime pluviometrico	-4.9	media coeff. C2 regime pluviometrico	-8.6
dev. standard regime pluviometrico	17.5	coeff. variaz. regime pluviometrico	0.22
classe 1 corine land cover	1.02	classe 2 corine land cover	23.18
classe 3 corine land cover	17.8	classe 4 corine land cover	57.85
classe 5 corine land cover	0.17	media NDVI	0.19
dev. standard NDVI	0.137	media curve number 1	46.5
media curve number 2	61.8	media curve number 3	73.2
dev. standard curve number 1	19.9	dev. standard curve number 2	25.3
dev. standard curve number 3	29.3	media indice di permeabilità vapi	0.227
dev. standard indice di permeabilità vapi	0.175		

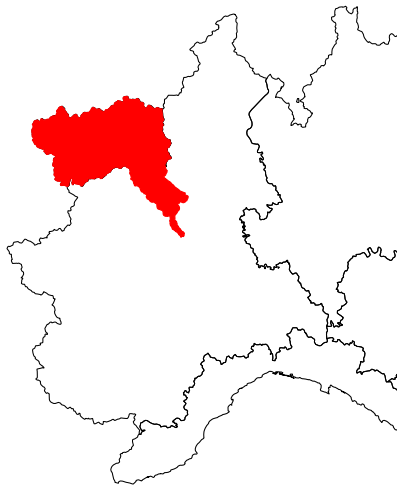


Dora Baltea a Tavagnasco

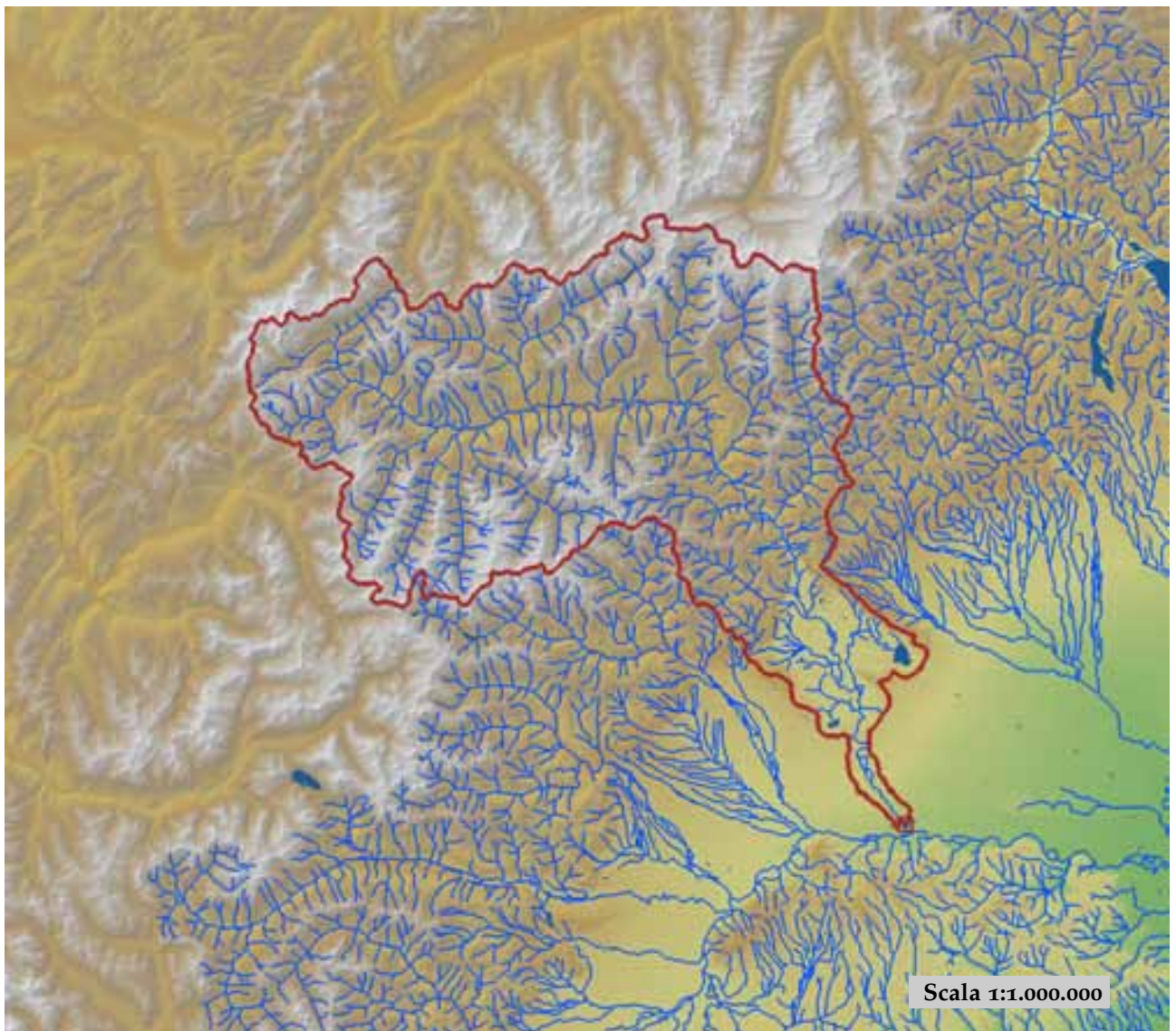


est (UTM ₃₂ N WGS84)	408421	nord (UTM ₃₂ N WGS84)	5044504
est DEM (UTM ₃₂ N WGS84)	408854	nord DEM (UTM ₃₂ N WGS84)	5043555
area bacino	3320.85	quota media	2087

quota massima	4743	quota minima	258
curva ipsografica 2,5%	3342	curva ipsografica 5%	3150
curva ipsografica 10%	2935	curva ipsografica 25%	2601
curva ipsografica 50%	2161	curva ipsografica 75%	1614
curva ipsografica 90%	1049	curva ipsografica 95%	749
curva ipsografica 97,5%	569	distanza interquartile curva ipsografica	987
angolo di esposizione medio	175	lunghezza vettore orientamento	40.2
pendenza bacino	25.603	pendenza bacino quadrato equivalente	6.608
est baricentro (UTM _{32N} WGS84)	374950	nord baricentro (UTM _{32N} WGS84)	5065150
fattore di forma	0.229	rapporto di allungamento	0.54
media funzione di ampiezza	70705	varianza funzione di ampiezza	9.44×10 ⁸
skewness funzione di ampiezza	-0.334	kurtosis funzione di ampiezza	1.933
rapporto aree medie di due ordini adiacenti	5.083	rapporto di biforcazione	5.929
rapporto lunghezze medie di due ordini adiacenti	2.242	rapporto pendenze medie di due ordini adiacenti	1.868
densità di drenaggio	0.602	diametro topologico	150
lunghezza LDP	120.404	lunghezza asta principale	118.272
lunghezza totale reticolo idrografico	1997.6	lunghezza media versanti	815
pendenza media LDP	4	media dell'afflusso totale annuo	936
deviazione standard dell'afflusso totale annuo	204	media coeff. pluviale orario CPP	14.653
dev. standard coeff. pluviale orario CPP	3.748	media esponente CPP	0.532
dev. standard esponente CPP	0.037	coeff. di intensità	0.016
media LCV piogge 1 ora	0.219	dev. standard LCV piogge 1 ora	0.027
media LCV piogge 3 ore	0.199	dev. standard LCV piogge 3 ore	0.023
media LCV piogge 6 ore	0.194	dev. standard LCV piogge 6 ore	0.018
media LCV piogge 12 ore	0.206	dev. standard LCV piogge 12 ore	0.02
media LCV piogge 24 ore	0.228	dev. standard LCV piogge 24 ore	0.025
media LCA piogge 1 ora	0.194	dev. standard LCA piogge 1 ora	0.046
media LCA piogge 3 ore	0.213	dev. standard LCA piogge 3 ore	0.039
media LCA piogge 6 ore	0.218	dev. standard LCA piogge 6 ore	0.045
media LCA piogge 12 ore	0.243	dev. standard LCA piogge 12 ore	0.055
media LCA piogge 24 ore	0.262	dev. standard LCA piogge 24 ore	0.044
media coeff. B1 regime pluviometrico	-7	media coeff. C1 regime pluviometrico	-6.4
media coeff. B2 regime pluviometrico	-1.7	media coeff. C2 regime pluviometrico	-16.1
dev. standard regime pluviometrico	19	coeff. variaz. regime pluviometrico	0.274
classe 1 corine land cover	1.35	classe 2 corine land cover	39.99
classe 3 corine land cover	19.13	classe 4 corine land cover	39.38
classe 5 corine land cover	0.16	media NDVI	0.291
dev. standard NDVI	0.165	media curve number 1	42.6
media curve number 2	60	media curve number 3	74.9
dev. standard curve number 1	17.5	dev. standard curve number 2	19.4
dev. standard curve number 3	19.8	media indice di permeabilità vapi	0.435
dev. standard indice di permeabilità vapi	0.228		



Dora Baltea a Verolengo

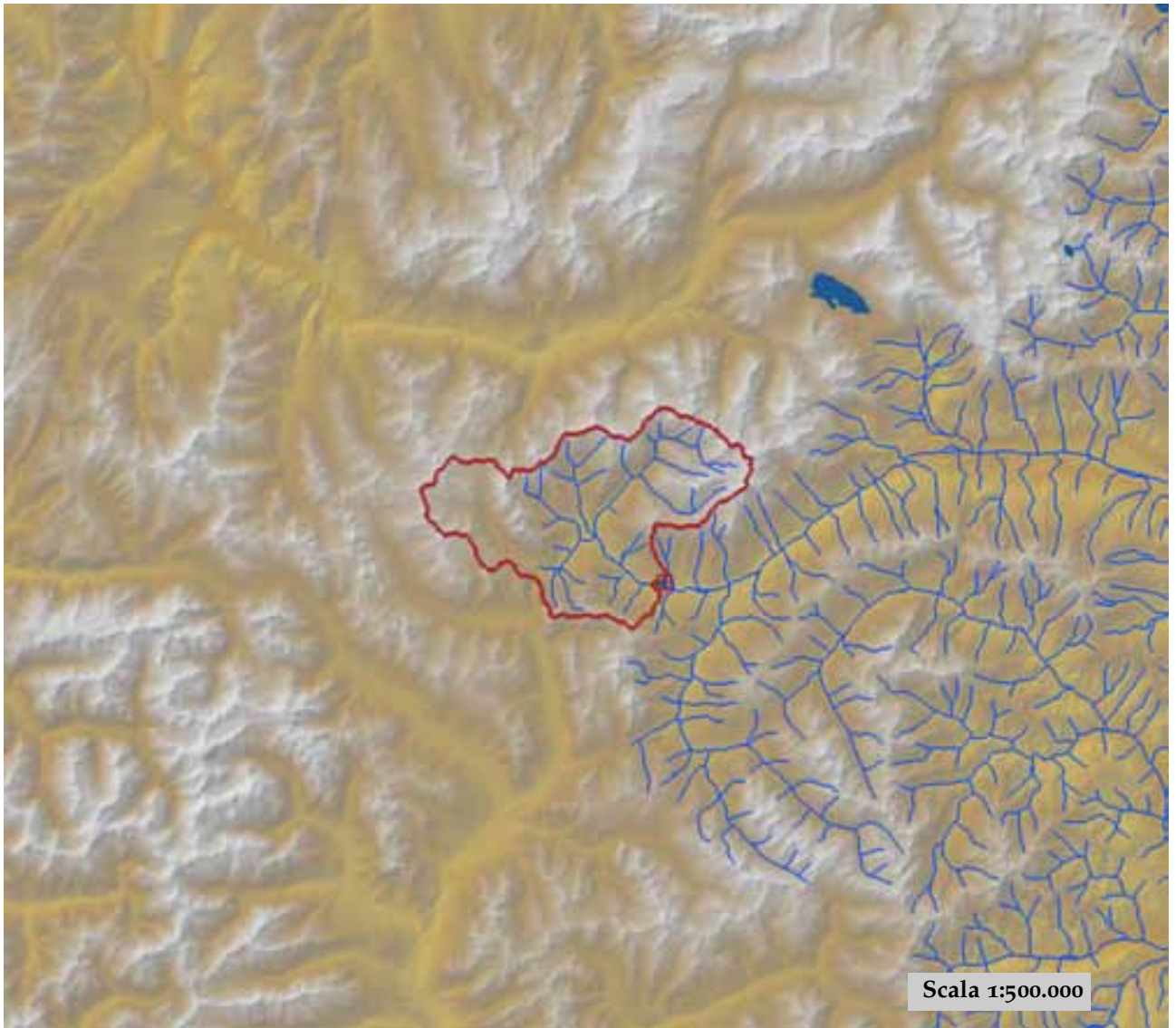


est (UTM ₃₂ N WGS84)	424689	nord (UTM ₃₂ N WGS84)	5004726
est DEM (UTM ₃₂ N WGS84)	424954	nord DEM (UTM ₃₂ N WGS84)	5004946
area bacino	3902.83	quota media	1862

quota massima	4743	quota minima	157
curva ipsografica 2,5%	3298	curva ipsografica 5%	3101
curva ipsografica 10%	2883	curva ipsografica 25%	2524
curva ipsografica 50%	2007	curva ipsografica 75%	1259
curva ipsografica 90%	375	curva ipsografica 95%	237
curva ipsografica 97,5%	226	distanza interquartile curva ipsografica	1265
angolo di esposizione medio	162	lunghezza vettore orientamento	71
pendenza bacino	23.138	pendenza bacino quadrato equivalente	5.926
est baricentro (UTM _{32N} WGS84)	380350	nord baricentro (UTM _{32N} WGS84)	5060150
fattore di forma	0.113	rapporto di allungamento	0.38
media funzione di ampiezza	123283	varianza funzione di ampiezza	1.76×10 ⁹
skewness funzione di ampiezza	-0.587	kurtosis funzione di ampiezza	2.459
rapporto aree medie di due ordini adiacenti	4.796	rapporto di biforcazione	5.754
rapporto lunghezze medie di due ordini adiacenti	2.089	rapporto pendenze medie di due ordini adiacenti	1.948
densità di drenaggio	0.618	diametro topologico	190
lunghezza LDP	185.605	lunghezza asta principale	183.473
lunghezza totale reticolo idrografico	2412.7	lunghezza media versanti	802
pendenza media LDP	3	media dell'afflusso totale annuo	974
deviazione standard dell'afflusso totale annuo	227	media coeff. pluviale orario CPP	16.911
dev. standard coeff. pluviale orario CPP	6.411	media esponente CPP	0.504
dev. standard esponente CPP	0.08	coeff. di intensità	0.017
media LCV piogge 1 ora	0.209	dev. standard LCV piogge 1 ora	0.034
media LCV piogge 3 ore	0.192	dev. standard LCV piogge 3 ore	0.027
media LCV piogge 6 ore	0.188	dev. standard LCV piogge 6 ore	0.021
media LCV piogge 12 ore	0.2	dev. standard LCV piogge 12 ore	0.024
media LCV piogge 24 ore	0.221	dev. standard LCV piogge 24 ore	0.029
media LCA piogge 1 ora	0.191	dev. standard LCA piogge 1 ora	0.048
media LCA piogge 3 ore	0.208	dev. standard LCA piogge 3 ore	0.042
media LCA piogge 6 ore	0.213	dev. standard LCA piogge 6 ore	0.047
media LCA piogge 12 ore	0.239	dev. standard LCA piogge 12 ore	0.055
media LCA piogge 24 ore	0.256	dev. standard LCA piogge 24 ore	0.045
media coeff. B1 regime pluviometrico	-11.2	media coeff. C1 regime pluviometrico	-6.9
media coeff. B2 regime pluviometrico	-1.3	media coeff. C2 regime pluviometrico	-18.8
dev. standard regime pluviometrico	22	coeff. variaz. regime pluviometrico	0.289
classe 1 corine land cover	1.98	classe 2 corine land cover	38.37
classe 3 corine land cover	24.96	classe 4 corine land cover	34.13
classe 5 corine land cover	0.56	media NDVI	0.324
dev. standard NDVI	0.174	media curve number 1	43.6
media curve number 2	61.1	media curve number 3	76
dev. standard curve number 1	16.9	dev. standard curve number 2	18.7
dev. standard curve number 3	18.9	media indice di permeabilità vapi	0.417
dev. standard indice di permeabilità vapi	0.226		



Dora di Bardonecchia a Beaulard

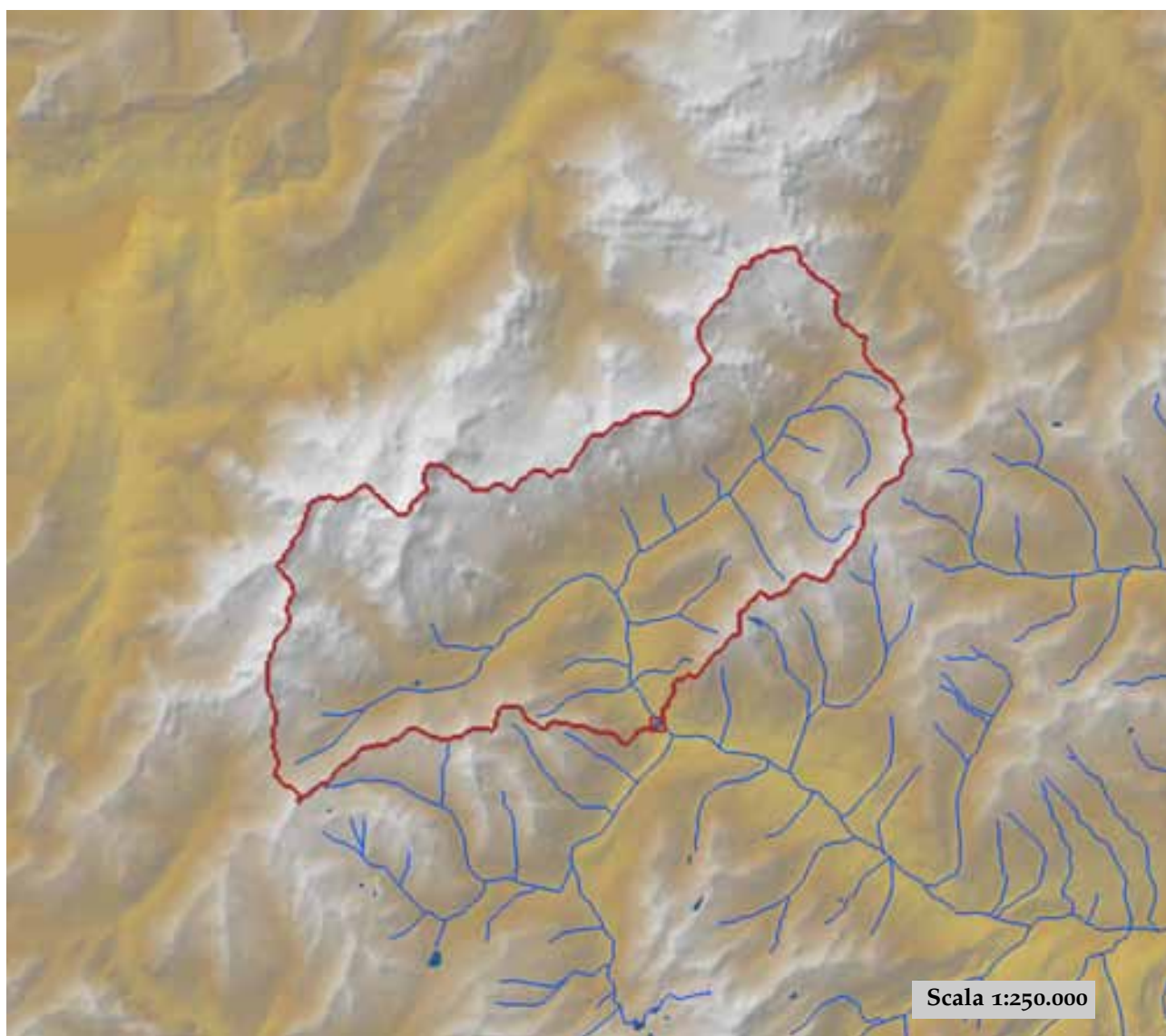


est (UTM _{32N} WGS84)	323449	nord (UTM _{32N} WGS84)	4990582
est DEM (UTM _{32N} WGS84)	324852	nord DEM (UTM _{32N} WGS84)	4990352
area bacino	207.28	quota media	2193

quota massima	3403	quota minima	1125
curva ipsografica 2,5%	2992	curva ipsografica 5%	2909
curva ipsografica 10%	2794	curva ipsografica 25%	2556
curva ipsografica 50%	2235	curva ipsografica 75%	1836
curva ipsografica 90%	1515	curva ipsografica 95%	1381
curva ipsografica 97,5%	1298	distanza interquartile curva ipsografica	720
angolo di esposizione medio	192	lunghezza vettore orientamento	7.6
pendenza bacino	24.268	pendenza bacino quadrato equivalente	15.434
est baricentro (UTM _{32N} WGS84)	319450	nord baricentro (UTM _{32N} WGS84)	4995650
fattore di forma	0.347	rapporto di allungamento	0.665
media funzione di ampiezza	14546	varianza funzione di ampiezza	3.18×10 ⁷
skewness funzione di ampiezza	-0.278	kurtosis funzione di ampiezza	2.389
rapporto aree medie di due ordini adiacenti	4.602	rapporto di biforcazione	4.95
rapporto lunghezze medie di due ordini adiacenti	2.337	rapporto pendenze medie di due ordini adiacenti	2.352
densità di drenaggio	0.542	diametro topologico	23
lunghezza LDP	24.439	lunghezza asta principale	22.891
lunghezza totale reticolo idrografico	112.3	lunghezza media versanti	791
pendenza media LDP	8	media dell'afflusso totale annuo	823
deviazione standard dell'afflusso totale annuo	45	media coeff. pluviale orario CPP	12.173
dev. standard coeff. pluviale orario CPP	0.569	media esponente CPP	0.495
dev. standard esponente CPP	0.019	coeff. di intensità	0.015
media LCV piogge 1 ora	0.198	dev. standard LCV piogge 1 ora	0.012
media LCV piogge 3 ore	0.15	dev. standard LCV piogge 3 ore	0.007
media LCV piogge 6 ore	0.158	dev. standard LCV piogge 6 ore	0.007
media LCV piogge 12 ore	0.156	dev. standard LCV piogge 12 ore	0.007
media LCV piogge 24 ore	0.162	dev. standard LCV piogge 24 ore	0.004
media LCA piogge 1 ora	0.203	dev. standard LCA piogge 1 ora	0.032
media LCA piogge 3 ore	0.152	dev. standard LCA piogge 3 ore	0.02
media LCA piogge 6 ore	0.172	dev. standard LCA piogge 6 ore	0.011
media LCA piogge 12 ore	0.135	dev. standard LCA piogge 12 ore	0.03
media LCA piogge 24 ore	0.143	dev. standard LCA piogge 24 ore	0.023
media coeff. B1 regime pluviometrico	2.3	media coeff. C1 regime pluviometrico	-4.7
media coeff. B2 regime pluviometrico	-4.9	media coeff. C2 regime pluviometrico	-22.2
dev. standard regime pluviometrico	19.7	coeff. variaz. regime pluviometrico	0.302
classe 1 corine land cover	1.21	classe 2 corine land cover	32.93
classe 3 corine land cover	19.31	classe 4 corine land cover	46.57
classe 5 corine land cover	0	media NDVI	0.28
dev. standard NDVI	0.123	media curve number 1	50.2
media curve number 2	68.4	media curve number 3	82.6
dev. standard curve number 1	13.7	dev. standard curve number 2	12.9
dev. standard curve number 3	10	media indice di permeabilità vapi	0.224
dev. standard indice di permeabilità vapi	0.103		



Dora di Courmayeur a Prè Saint Didier

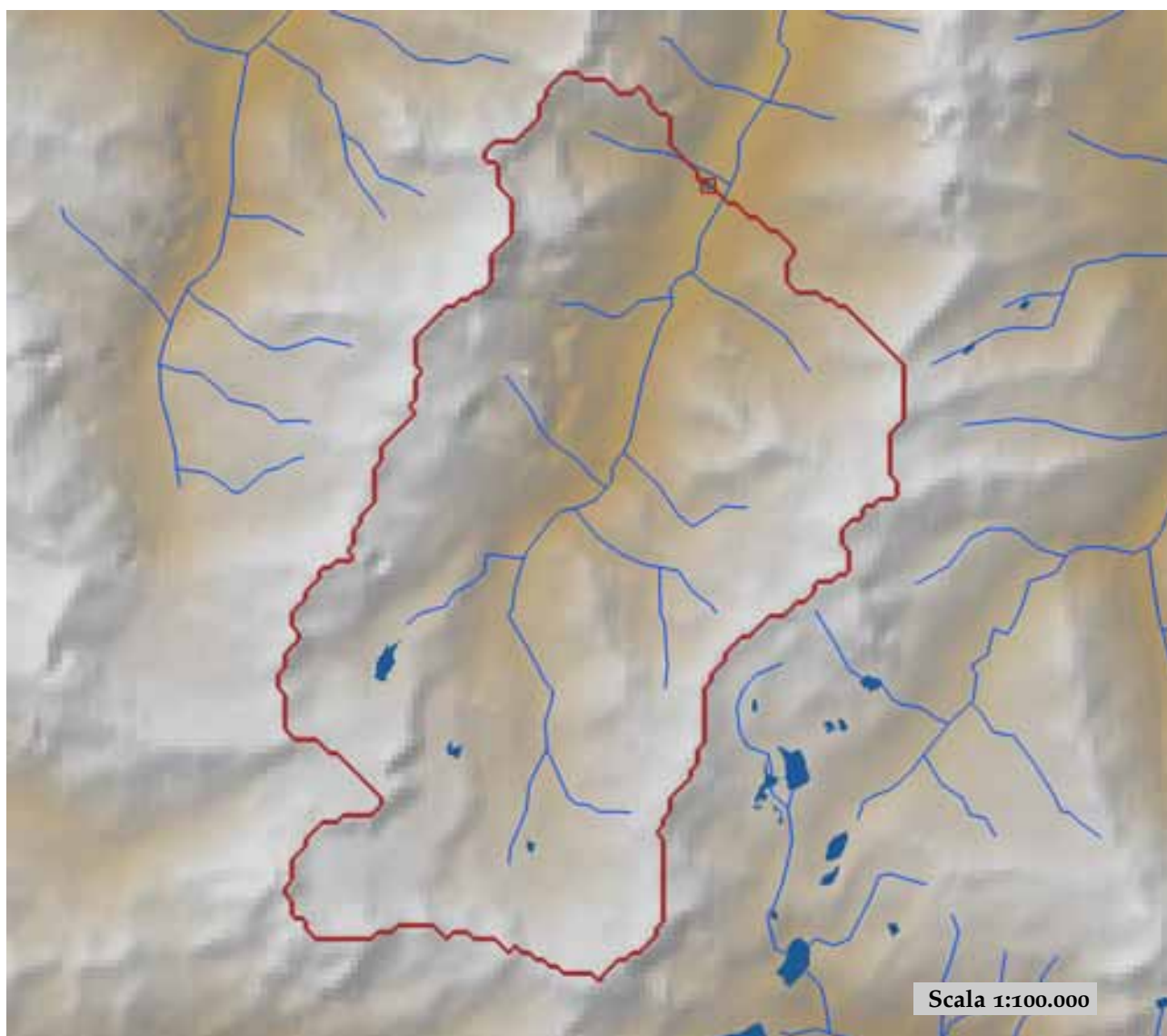


est (UTM _{32N} WGS84)	343253	nord (UTM _{32N} WGS84)	5070108
est DEM (UTM _{32N} WGS84)	343216	nord DEM (UTM _{32N} WGS84)	5070153
area bacino	222.44	quota media	2472

quota massima	4743	quota minima	1027
curva ipsografica 2,5%	3889	curva ipsografica 5%	3640
curva ipsografica 10%	3404	curva ipsografica 25%	2908
curva ipsografica 50%	2412	curva ipsografica 75%	1975
curva ipsografica 90%	1638	curva ipsografica 95%	1483
curva ipsografica 97,5%	1291	distanza interquartile curva ipsografica	933
angolo di esposizione medio	149	lunghezza vettore orientamento	6.9
pendenza bacino	28.527	pendenza bacino quadrato equivalente	18.586
est baricentro (UTM _{32N} WGS84)	340750	nord baricentro (UTM _{32N} WGS84)	5076650
fattore di forma	0.46	rapporto di allungamento	0.765
media funzione di ampiezza	14454	varianza funzione di ampiezza	3.16×10 ⁷
skewness funzione di ampiezza	-0.378	kurtosis funzione di ampiezza	2.178
rapporto aree medie di due ordini adiacenti	4.033	rapporto di biforcazione	3.742
rapporto lunghezze medie di due ordini adiacenti	2.019	rapporto pendenze medie di due ordini adiacenti	1.796
densità di drenaggio	0.643	diametro topologico	20
lunghezza LDP	21.986	lunghezza asta principale	19.855
lunghezza totale reticolo idrografico	142.9	lunghezza media versanti	857
pendenza media LDP	9	media dell'afflusso totale annuo	1094
deviazione standard dell'afflusso totale annuo	96	media coeff. pluviale orario CPP	12.868
dev. standard coeff. pluviale orario CPP	0.688	media esponente CPP	0.492
dev. standard esponente CPP	0.018	coeff. di intensità	0.012
media LCV piogge 1 ora	0.214	dev. standard LCV piogge 1 ora	0.015
media LCV piogge 3 ore	0.174	dev. standard LCV piogge 3 ore	0.012
media LCV piogge 6 ore	0.171	dev. standard LCV piogge 6 ore	0.011
media LCV piogge 12 ore	0.191	dev. standard LCV piogge 12 ore	0.01
media LCV piogge 24 ore	0.223	dev. standard LCV piogge 24 ore	0.012
media LCA piogge 1 ora	0.143	dev. standard LCA piogge 1 ora	0.008
media LCA piogge 3 ore	0.187	dev. standard LCA piogge 3 ore	0.033
media LCA piogge 6 ore	0.243	dev. standard LCA piogge 6 ore	0.03
media LCA piogge 12 ore	0.292	dev. standard LCA piogge 12 ore	0.026
media LCA piogge 24 ore	0.294	dev. standard LCA piogge 24 ore	0.024
media coeff. B1 regime pluviometrico	10.6	media coeff. C1 regime pluviometrico	-2
media coeff. B2 regime pluviometrico	-7.6	media coeff. C2 regime pluviometrico	-12.9
dev. standard regime pluviometrico	20.3	coeff. variaz. regime pluviometrico	0.251
classe 1 corine land cover	1.11	classe 2 corine land cover	25.45
classe 3 corine land cover	10.9	classe 4 corine land cover	62.29
classe 5 corine land cover	0.28	media NDVI	0.18
dev. standard NDVI	0.134	media curve number 1	45.6
media curve number 2	59.8	media curve number 3	70.3
dev. standard curve number 1	22	dev. standard curve number 2	28.1
dev. standard curve number 3	32.6	media indice di permeabilità vapi	0.187
dev. standard indice di permeabilità vapi	0.184		

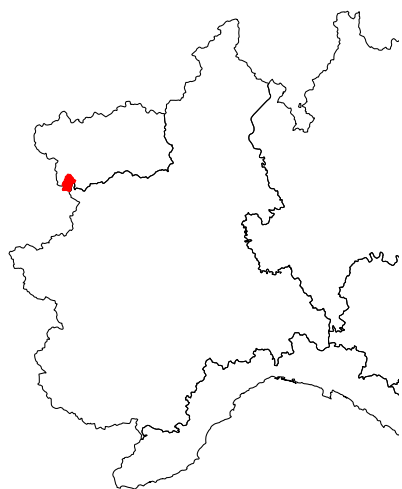


Dora di Rhemes a Notre Dame

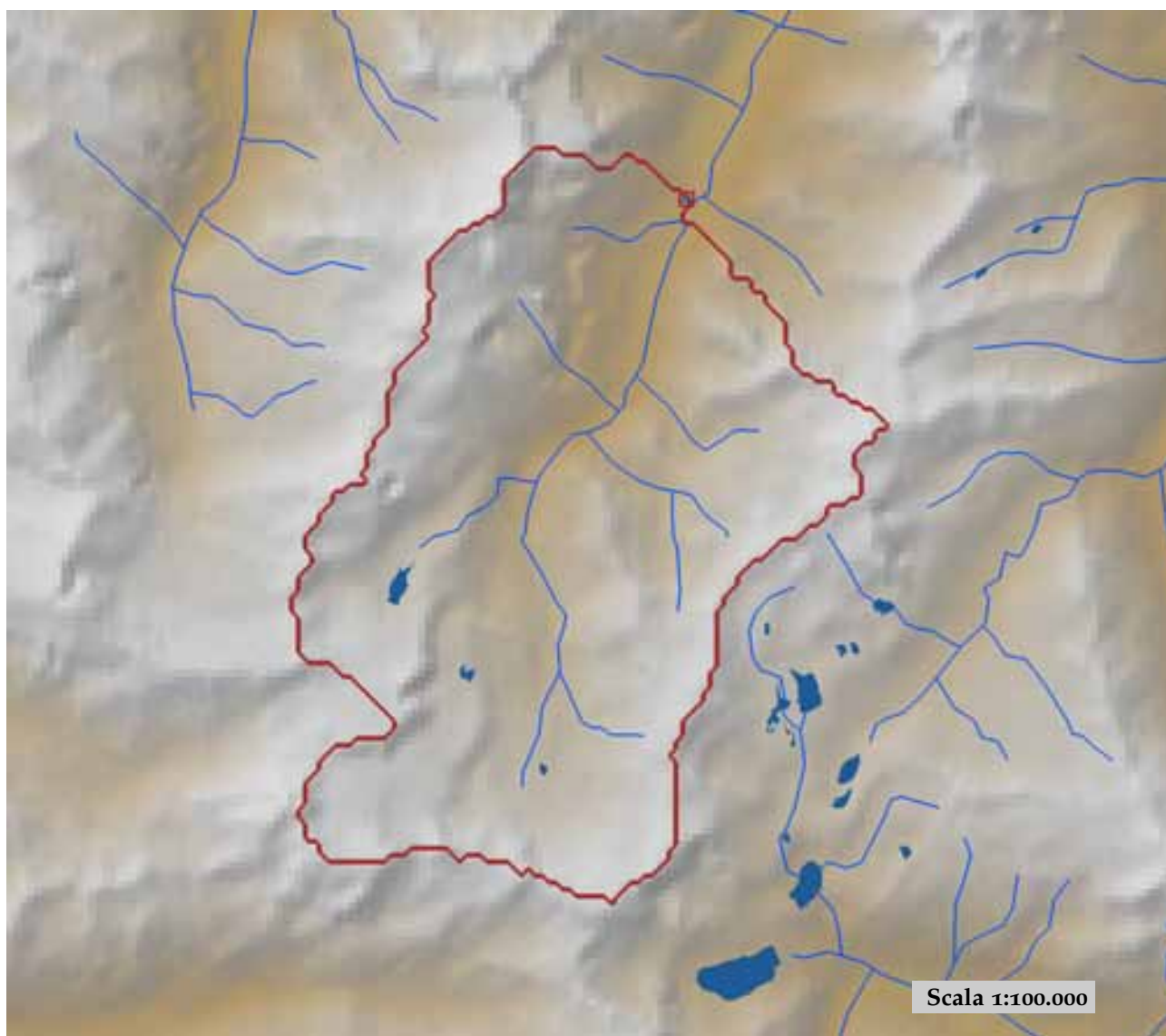


est (UTM _{32N} WGS84)	353389	nord (UTM _{32N} WGS84)	5048222
est DEM (UTM _{32N} WGS84)	353256	nord DEM (UTM _{32N} WGS84)	5048247
area bacino	69.23	quota media	2664

quota massima	3562	quota minima	1717
curva ipsografica 2,5%	3306	curva ipsografica 5%	3231
curva ipsografica 10%	3144	curva ipsografica 25%	2951
curva ipsografica 50%	2705	curva ipsografica 75%	2413
curva ipsografica 90%	2098	curva ipsografica 95%	1942
curva ipsografica 97,5%	1852	distanza interquartile curva ipsografica	538
angolo di esposizione medio	4	lunghezza vettore orientamento	5,6
pendenza bacino	24.533	pendenza bacino quadrato equivalente	23.773
est baricentro (UTM _{32N} WGS84)	351250	nord baricentro (UTM _{32N} WGS84)	5043050
fattore di forma	0.374	rapporto di allungamento	0.69
media funzione di ampiezza	7719	varianza funzione di ampiezza	1.33×10 ⁷
skewness funzione di ampiezza	0.004	kurtosis funzione di ampiezza	2.066
rapporto aree medie di due ordini adiacenti	4.236	rapporto di biforcazione	4.75
rapporto lunghezze medie di due ordini adiacenti	1.978	rapporto pendenze medie di due ordini adiacenti	1.063
densità di drenaggio	0.604	diametro topologico	14
lunghezza LDP	13.598	lunghezza asta principale	11.774
lunghezza totale reticolo idrografico	41.8	lunghezza media versanti	784
pendenza media LDP	9	media dell'afflusso totale annuo	1042
deviazione standard dell'afflusso totale annuo	56	media coeff. pluviale orario CPP	13.653
dev. standard coeff. pluviale orario CPP	0.491	media esponente CPP	0.55
dev. standard esponente CPP	0.014	coeff. di intensità	0.013
media LCV piogge 1 ora	0.178	dev. standard LCV piogge 1 ora	0.007
media LCV piogge 3 ore	0.162	dev. standard LCV piogge 3 ore	0.005
media LCV piogge 6 ore	0.168	dev. standard LCV piogge 6 ore	0.003
media LCV piogge 12 ore	0.166	dev. standard LCV piogge 12 ore	0.003
media LCV piogge 24 ore	0.181	dev. standard LCV piogge 24 ore	0.004
media LCA piogge 1 ora	0.255	dev. standard LCA piogge 1 ora	0.015
media LCA piogge 3 ore	0.19	dev. standard LCA piogge 3 ore	0.012
media LCA piogge 6 ore	0.198	dev. standard LCA piogge 6 ore	0.009
media LCA piogge 12 ore	0.27	dev. standard LCA piogge 12 ore	0.008
media LCA piogge 24 ore	0.227	dev. standard LCA piogge 24 ore	0.02
media coeff. B1 regime pluviometrico	-5.6	media coeff. C1 regime pluviometrico	3.3
media coeff. B2 regime pluviometrico	-5.2	media coeff. C2 regime pluviometrico	-20.7
dev. standard regime pluviometrico	18.2	coeff. variaz. regime pluviometrico	0.194
classe 1 corine land cover	0	classe 2 corine land cover	13.27
classe 3 corine land cover	11.46	classe 4 corine land cover	75.33
classe 5 corine land cover	0	media NDVI	0.105
dev. standard NDVI	0.087	media curve number 1	43.8
media curve number 2	59.4	media curve number 3	71.7
dev. standard curve number 1	20.3	dev. standard curve number 2	25.1
dev. standard curve number 3	28.4	media indice di permeabilità vapi	0.203
dev. standard indice di permeabilità vapi	0.227		

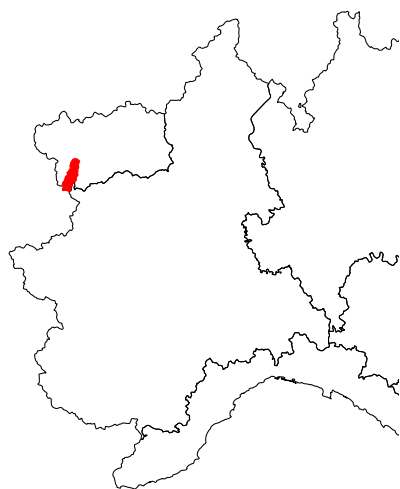


Dora di Rhemes a Pèlaud

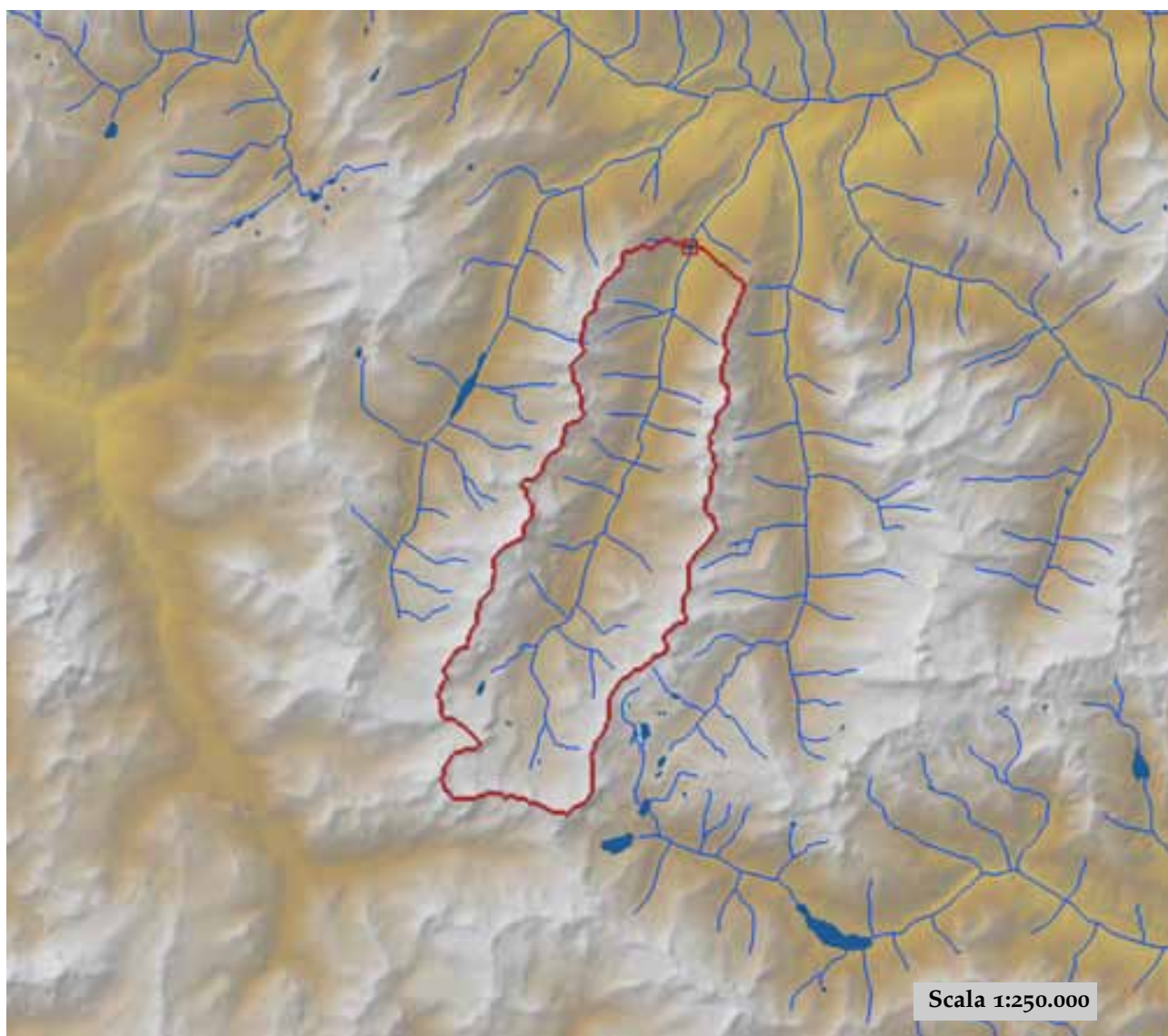


est (UTM _{32N} WGS84)	352495	nord (UTM _{32N} WGS84)	5046587
est DEM (UTM _{32N} WGS84)	352757	nord DEM (UTM _{32N} WGS84)	5046953
area bacino	56.54	quota media	2710

quota massima	3562	quota minima	1804
curva ipsografica 2,5%	3324	curva ipsografica 5%	3252
curva ipsografica 10%	3167	curva ipsografica 25%	2984
curva ipsografica 50%	2738	curva ipsografica 75%	2473
curva ipsografica 90%	2161	curva ipsografica 95%	2005
curva ipsografica 97,5%	1911	distanza interquartile curva ipsografica	511
angolo di esposizione medio	10	lunghezza vettore orientamento	5.2
pendenza bacino	23.981	pendenza bacino quadrato equivalente	24.869
est baricentro (UTM _{32N} WGS84)	350850	nord baricentro (UTM _{32N} WGS84)	5042150
fattore di forma	0.392	rapporto di allungamento	0.707
media funzione di ampiezza	7190	varianza funzione di ampiezza	9.73×10 ⁶
skewness funzione di ampiezza	-0.053	kurtosis funzione di ampiezza	2.269
rapporto aree medie di due ordini adiacenti	4.596	rapporto di biforcazione	5
rapporto lunghezze medie di due ordini adiacenti	2.007	rapporto pendenze medie di due ordini adiacenti	1.088
densità di drenaggio	0.608	diametro topologico	12
lunghezza LDP	12.008	lunghezza asta principale	10.184
lunghezza totale reticolo idrografico	34.4	lunghezza media versanti	782
pendenza media LDP	9	media dell'afflusso totale annuo	1060
deviazione standard dell'afflusso totale annuo	47	media coeff. pluviale orario CPP	13.687
dev. standard coeff. pluviale orario CPP	0.439	media esponente CPP	0.552
dev. standard esponente CPP	0.014	coeff. di intensità	0.013
media LCV piogge 1 ora	0.177	dev. standard LCV piogge 1 ora	0.007
media LCV piogge 3 ore	0.163	dev. standard LCV piogge 3 ore	0.005
media LCV piogge 6 ore	0.168	dev. standard LCV piogge 6 ore	0.003
media LCV piogge 12 ore	0.166	dev. standard LCV piogge 12 ore	0.002
media LCV piogge 24 ore	0.181	dev. standard LCV piogge 24 ore	0.003
media LCA piogge 1 ora	0.26	dev. standard LCA piogge 1 ora	0.01
media LCA piogge 3 ore	0.187	dev. standard LCA piogge 3 ore	0.011
media LCA piogge 6 ore	0.195	dev. standard LCA piogge 6 ore	0.007
media LCA piogge 12 ore	0.268	dev. standard LCA piogge 12 ore	0.006
media LCA piogge 24 ore	0.22	dev. standard LCA piogge 24 ore	0.015
media coeff. B1 regime pluviometrico	-7.4	media coeff. C1 regime pluviometrico	4.1
media coeff. B2 regime pluviometrico	-5.5	media coeff. C2 regime pluviometrico	-23.1
dev. standard regime pluviometrico	20.3	coeff. variaz. regime pluviometrico	0.212
classe 1 corine land cover	0	classe 2 corine land cover	11.29
classe 3 corine land cover	10.39	classe 4 corine land cover	78.39
classe 5 corine land cover	0	media NDVI	0.095
dev. standard NDVI	0.079	media curve number 1	44
media curve number 2	59.3	media curve number 3	71.1
dev. standard curve number 1	20.6	dev. standard curve number 2	25.9
dev. standard curve number 3	29.7	media indice di permeabilità vapi	0.181
dev. standard indice di permeabilità vapi	0.225		

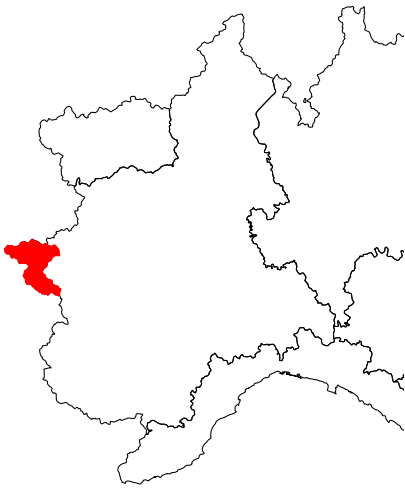


Dora di Rhemes a Saint Georges

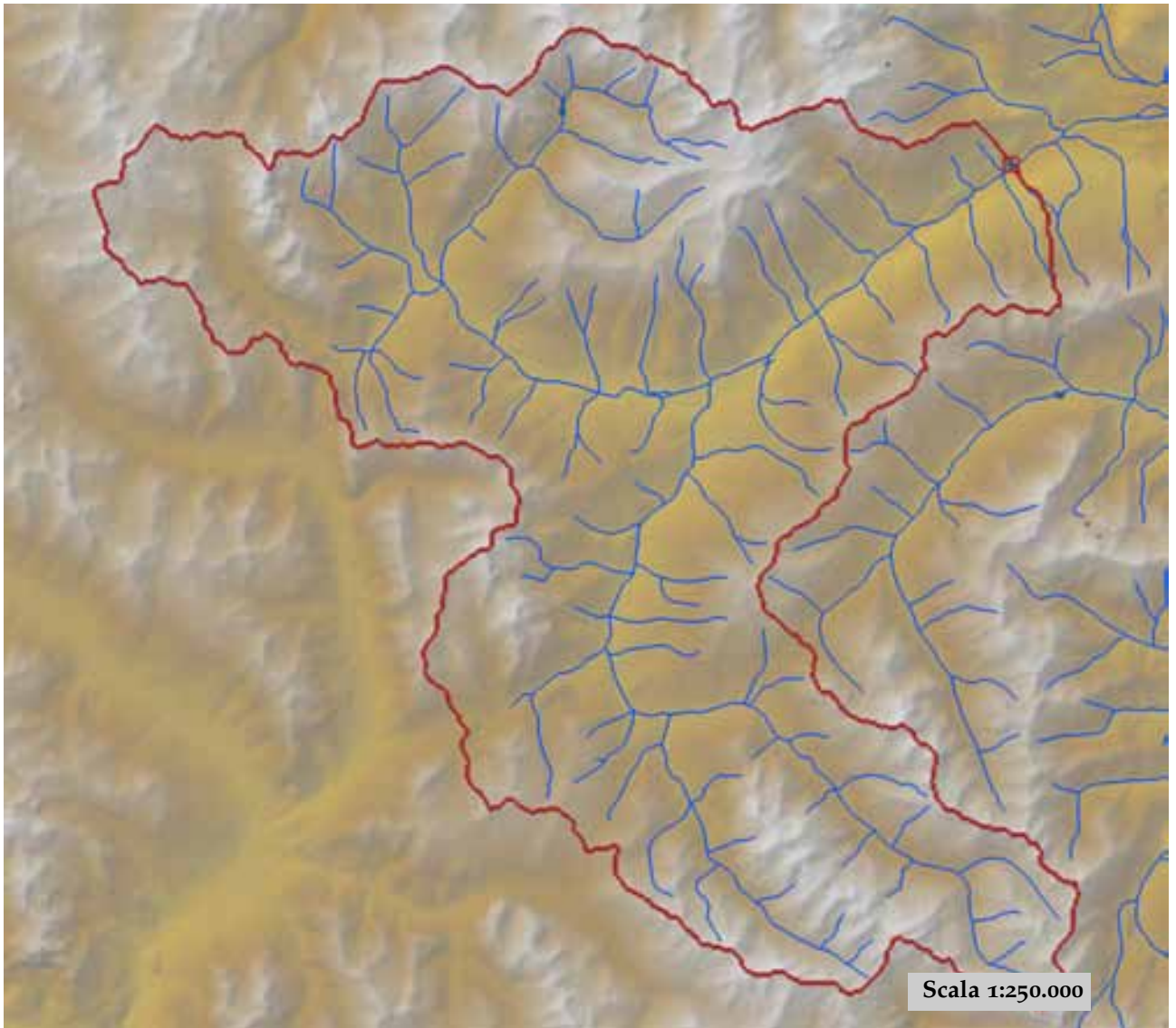


est (UTM ₃₂ N WGS84)	356155	nord (UTM ₃₂ N WGS84)	5057480
est DEM (UTM ₃₂ N WGS84)	356147	nord DEM (UTM ₃₂ N WGS84)	5057346
area bacino	119.12	quota media	2485

quota massima	3562	quota minima	1161
curva ipsografica 2,5%	3255	curva ipsografica 5%	3179
curva ipsografica 10%	3072	curva ipsografica 25%	2847
curva ipsografica 50%	2540	curva ipsografica 75%	2154
curva ipsografica 90%	1799	curva ipsografica 95%	1627
curva ipsografica 97,5%	1478	distanza interquartile curva ipsografica	693
angolo di esposizione medio	348	lunghezza vettore orientamento	10.9
pendenza bacino	27.542	pendenza bacino quadrato equivalente	25.288
est baricentro (UTM _{32N} WGS84)	352750	nord baricentro (UTM _{32N} WGS84)	5046950
fattore di forma	0.206	rapporto di allungamento	0.512
media funzione di ampiezza	13536	varianza funzione di ampiezza	4.30×10 ⁷
skewness funzione di ampiezza	-0.157	kurtosis funzione di ampiezza	1.944
rapporto aree medie di due ordini adiacenti	3.853	rapporto di biforcazione	6.4
rapporto lunghezze medie di due ordini adiacenti	1.601	rapporto pendenze medie di due ordini adiacenti	1.298
densità di drenaggio	0.595	diametro topologico	26
lunghezza LDP	24.065	lunghezza asta principale	22.241
lunghezza totale reticolo idrografico	70.9	lunghezza media versanti	811
pendenza media LDP	9	media dell'afflusso totale annuo	964
deviazione standard dell'afflusso totale annuo	109	media coeff. pluviale orario CPP	13.283
dev. standard coeff. pluviale orario CPP	0.79	media esponente CPP	0.542
dev. standard esponente CPP	0.019	coeff. di intensità	0.014
media LCV piogge 1 ora	0.186	dev. standard LCV piogge 1 ora	0.015
media LCV piogge 3 ore	0.166	dev. standard LCV piogge 3 ore	0.008
media LCV piogge 6 ore	0.171	dev. standard LCV piogge 6 ore	0.007
media LCV piogge 12 ore	0.174	dev. standard LCV piogge 12 ore	0.012
media LCV piogge 24 ore	0.191	dev. standard LCV piogge 24 ore	0.015
media LCA piogge 1 ora	0.231	dev. standard LCA piogge 1 ora	0.031
media LCA piogge 3 ore	0.203	dev. standard LCA piogge 3 ore	0.019
media LCA piogge 6 ore	0.214	dev. standard LCA piogge 6 ore	0.021
media LCA piogge 12 ore	0.28	dev. standard LCA piogge 12 ore	0.014
media LCA piogge 24 ore	0.251	dev. standard LCA piogge 24 ore	0.034
media coeff. B1 regime pluviometrico	-3.2	media coeff. C1 regime pluviometrico	2.2
media coeff. B2 regime pluviometrico	-4.4	media coeff. C2 regime pluviometrico	-16.5
dev. standard regime pluviometrico	14.4	coeff. variaz. regime pluviometrico	0.171
classe 1 corine land cover	0	classe 2 corine land cover	23.55
classe 3 corine land cover	11.36	classe 4 corine land cover	65.12
classe 5 corine land cover	0	media NDVI	0.172
dev. standard NDVI	0.116	media curve number 1	46
media curve number 2	62.6	media curve number 3	75.9
dev. standard curve number 1	18.2	dev. standard curve number 2	21.4
dev. standard curve number 3	23.2	media indice di permeabilità vapi	0.31
dev. standard indice di permeabilità vapi	0.221		

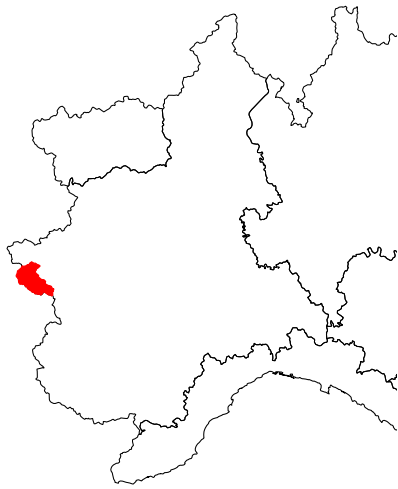


Dora Riparia a Chiomonte

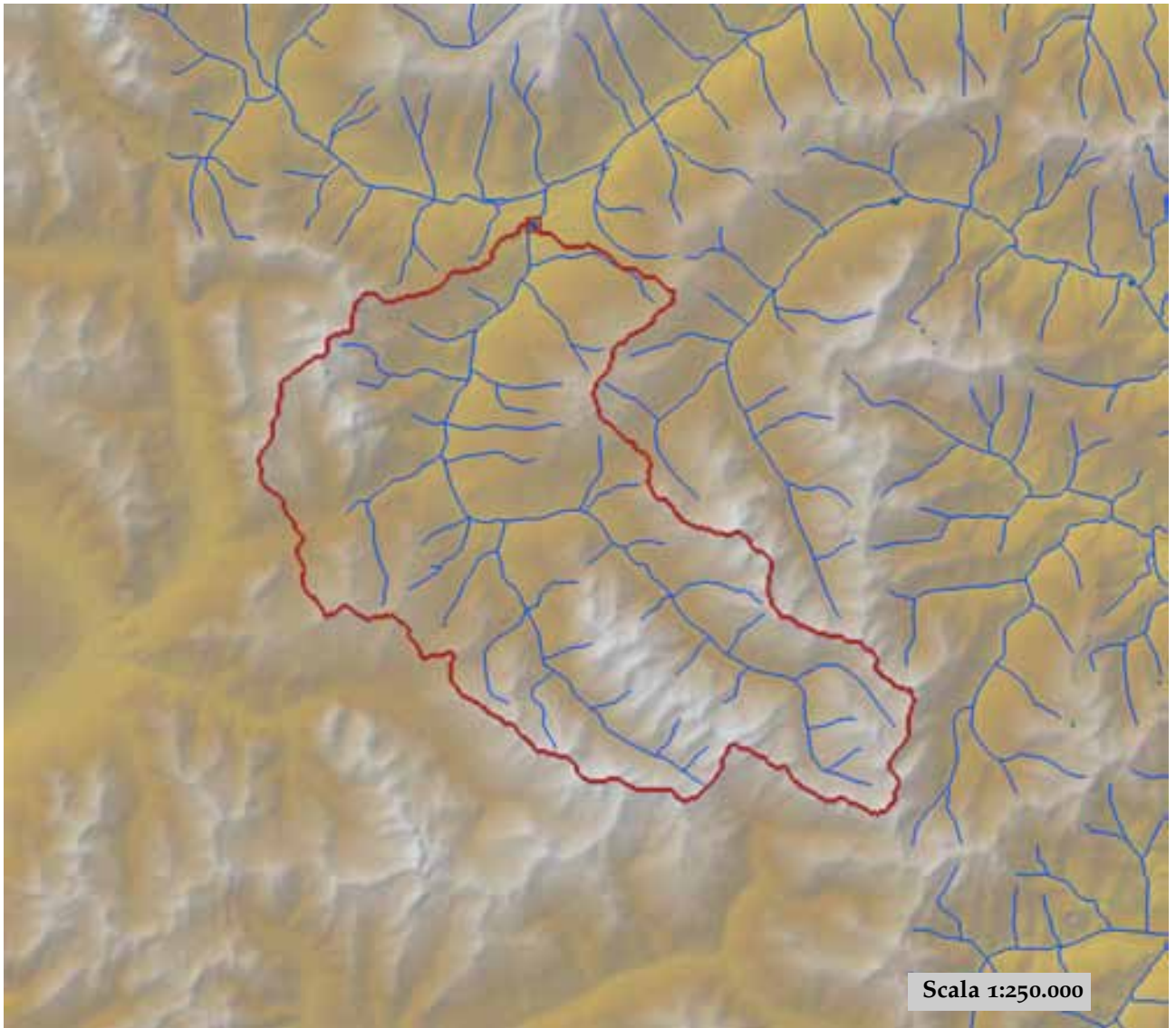


est (UTM ₃₂ N WGS84)	340659	nord (UTM ₃₂ N WGS84)	4998256
est DEM (UTM ₃₂ N WGS84)	340542	nord DEM (UTM ₃₂ N WGS84)	4998151
area bacino	623.21	quota media	2083

quota massima	3403	quota minima	673
curva ipsografica 2,5%	2982	curva ipsografica 5%	2880
curva ipsografica 10%	2738	curva ipsografica 25%	2468
curva ipsografica 50%	2109	curva ipsografica 75%	1711
curva ipsografica 90%	1376	curva ipsografica 95%	1199
curva ipsografica 97,5%	1075	distanza interquartile curva ipsografica	757
angolo di esposizione medio	259	lunghezza vettore orientamento	17.1
pendenza bacino	23.425	pendenza bacino quadrato equivalente	11.512
est baricentro (UTM _{32N} WGS84)	327150	nord baricentro (UTM _{32N} WGS84)	4987550
fattore di forma	0.221	rapporto di allungamento	0.53
media funzione di ampiezza	29951	varianza funzione di ampiezza	1.46×10 ⁸
skewness funzione di ampiezza	-0.539	kurtosis funzione di ampiezza	2.436
rapporto aree medie di due ordini adiacenti	4.667	rapporto di biforcazione	4.36
rapporto lunghezze medie di due ordini adiacenti	2.233	rapporto pendenze medie di due ordini adiacenti	2.387
densità di drenaggio	0.557	diametro topologico	50
lunghezza LDP	53.137	lunghezza asta principale	51.647
lunghezza totale reticolo idrografico	347.2	lunghezza media versanti	829
pendenza media LDP	6	media dell'afflusso totale annuo	830
deviazione standard dell'afflusso totale annuo	85	media coeff. pluviale orario CPP	13.306
dev. standard coeff. pluviale orario CPP	1.244	media esponente CPP	0.486
dev. standard esponente CPP	0.043	coeff. di intensità	0.016
media LCV piogge 1 ora	0.183	dev. standard LCV piogge 1 ora	0.018
media LCV piogge 3 ore	0.149	dev. standard LCV piogge 3 ore	0.008
media LCV piogge 6 ore	0.16	dev. standard LCV piogge 6 ore	0.008
media LCV piogge 12 ore	0.168	dev. standard LCV piogge 12 ore	0.013
media LCV piogge 24 ore	0.181	dev. standard LCV piogge 24 ore	0.018
media LCA piogge 1 ora	0.197	dev. standard LCA piogge 1 ora	0.033
media LCA piogge 3 ore	0.112	dev. standard LCA piogge 3 ore	0.039
media LCA piogge 6 ore	0.161	dev. standard LCA piogge 6 ore	0.025
media LCA piogge 12 ore	0.173	dev. standard LCA piogge 12 ore	0.04
media LCA piogge 24 ore	0.176	dev. standard LCA piogge 24 ore	0.037
media coeff. B1 regime pluviometrico	-0.7	media coeff. C1 regime pluviometrico	-2.2
media coeff. B2 regime pluviometrico	-3.3	media coeff. C2 regime pluviometrico	-21.5
dev. standard regime pluviometrico	18.8	coeff. variaz. regime pluviometrico	0.283
classe 1 corine land cover	1.1	classe 2 corine land cover	43.03
classe 3 corine land cover	20.32	classe 4 corine land cover	35.55
classe 5 corine land cover	0	media NDVI	0.323
dev. standard NDVI	0.122	media curve number 1	45.8
media curve number 2	64.4	media curve number 3	79.8
dev. standard curve number 1	13.3	dev. standard curve number 2	13.1
dev. standard curve number 3	11.3	media indice di permeabilità vapi	0.26
dev. standard indice di permeabilità vapi	0.099		

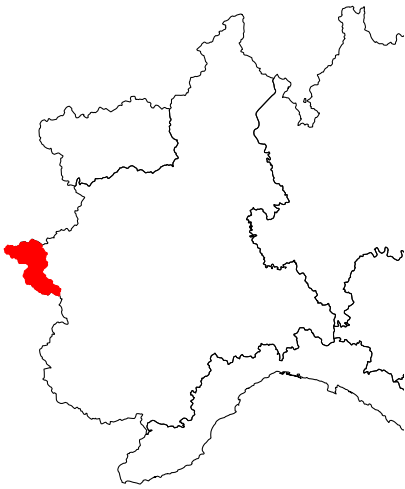


Dora Riparia a Oulx

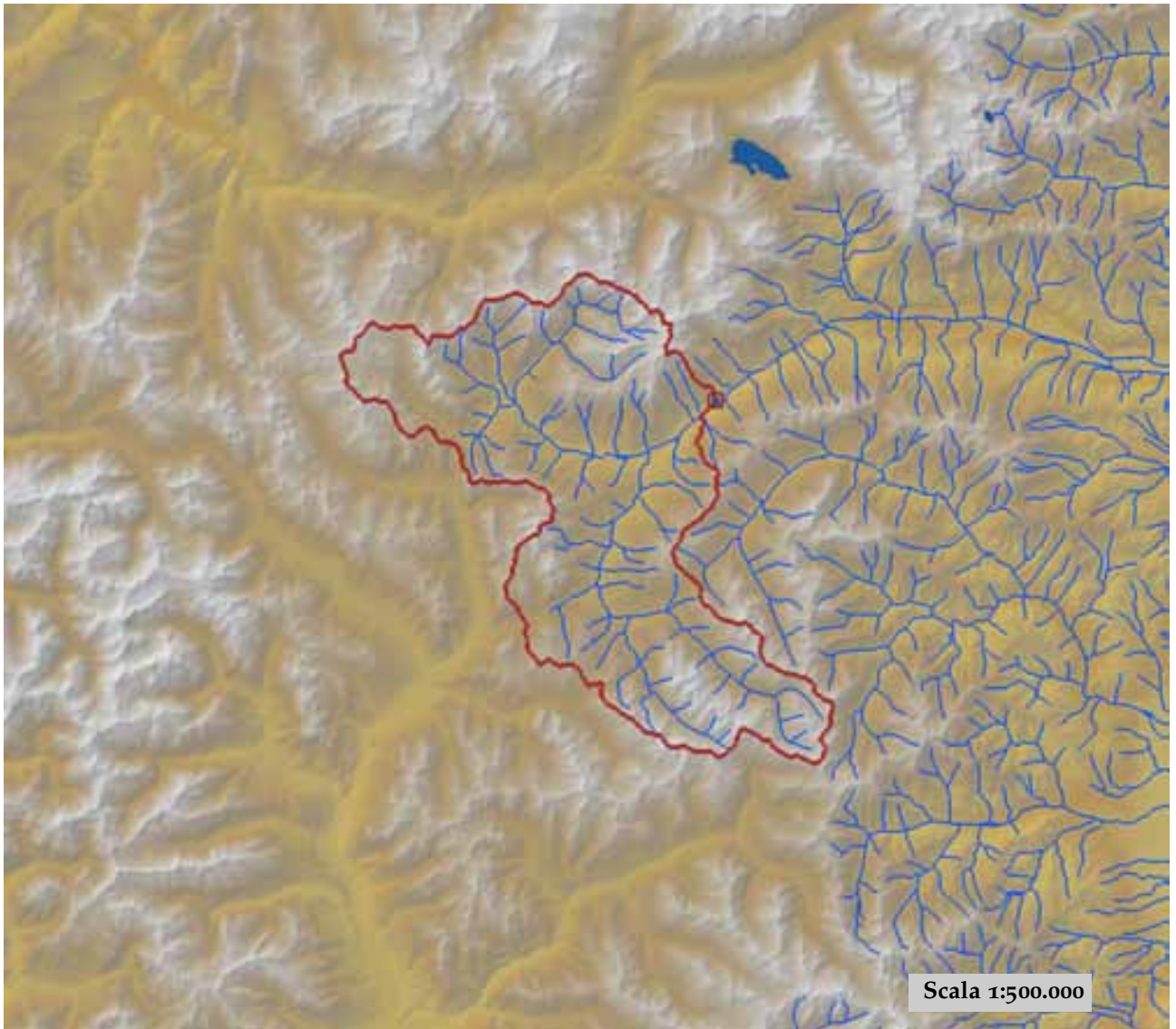


est (UTM ₃₂ N WGS84)	329337	nord (UTM ₃₂ N WGS84)	4988965
est DEM (UTM ₃₂ N WGS84)	329119	nord DEM (UTM ₃₂ N WGS84)	4988888
area bacino	260.04	quota media	2164

quota massima	3267	quota minima	1081
curva ipsografica 2,5%	2977	curva ipsografica 5%	2881
curva ipsografica 10%	2751	curva ipsografica 25%	2497
curva ipsografica 50%	2167	curva ipsografica 75%	1845
curva ipsografica 90%	1552	curva ipsografica 95%	1420
curva ipsografica 97,5%	1316	distanza interquartile curva ipsografica	652
angolo di esposizione medio	309	lunghezza vettore orientamento	11.5
pendenza bacino	22.408	pendenza bacino quadrato equivalente	13.482
est baricentro (UTM _{32N} WGS84)	329950	nord baricentro (UTM _{32N} WGS84)	4977450
fattore di forma	0.201	rapporto di allungamento	0.506
media funzione di ampiezza	18571	varianza funzione di ampiezza	6.99×10 ⁷
skewness funzione di ampiezza	-0.052	kurtosis funzione di ampiezza	2.218
rapporto aree medie di due ordini adiacenti	5.018	rapporto di biforcazione	4.509
rapporto lunghezze medie di due ordini adiacenti	2.363	rapporto pendenze medie di due ordini adiacenti	2.003
densità di drenaggio	0.544	diametro topologico	29
lunghezza LDP	35.992	lunghezza asta principale	34.502
lunghezza totale reticolo idrografico	141.5	lunghezza media versanti	806
pendenza media LDP	7	media dell'afflusso totale annuo	862
deviazione standard dell'afflusso totale annuo	104	media coeff. pluviale orario CPP	14.399
dev. standard coeff. pluviale orario CPP	0.76	media esponente CPP	0.463
dev. standard esponente CPP	0.042	coeff. di intensità	0.017
media LCV piogge 1 ora	0.168	dev. standard LCV piogge 1 ora	0.01
media LCV piogge 3 ore	0.147	dev. standard LCV piogge 3 ore	0.007
media LCV piogge 6 ore	0.158	dev. standard LCV piogge 6 ore	0.008
media LCV piogge 12 ore	0.171	dev. standard LCV piogge 12 ore	0.011
media LCV piogge 24 ore	0.194	dev. standard LCV piogge 24 ore	0.012
media LCA piogge 1 ora	0.205	dev. standard LCA piogge 1 ora	0.033
media LCA piogge 3 ore	0.083	dev. standard LCA piogge 3 ore	0.029
media LCA piogge 6 ore	0.149	dev. standard LCA piogge 6 ore	0.03
media LCA piogge 12 ore	0.187	dev. standard LCA piogge 12 ore	0.03
media LCA piogge 24 ore	0.179	dev. standard LCA piogge 24 ore	0.031
media coeff. B1 regime pluviometrico	-3.8	media coeff. C1 regime pluviometrico	-1.9
media coeff. B2 regime pluviometrico	-2.2	media coeff. C2 regime pluviometrico	-21.9
dev. standard regime pluviometrico	19.7	coeff. variaz. regime pluviometrico	0.288
classe 1 corine land cover	0.82	classe 2 corine land cover	39.44
classe 3 corine land cover	24.35	classe 4 corine land cover	35.42
classe 5 corine land cover	0	media NDVI	0.305
dev. standard NDVI	0.103	media curve number 1	44.8
media curve number 2	63.8	media curve number 3	79.7
dev. standard curve number 1	12	dev. standard curve number 2	11.7
dev. standard curve number 3	9.5	media indice di permeabilità vapi	0.295
dev. standard indice di permeabilità vapi	0.085		

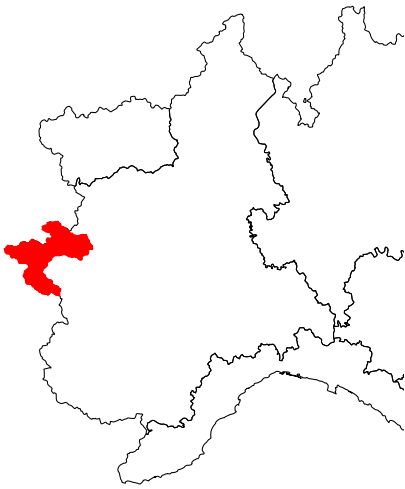


Dora Riparia a Salbertrand

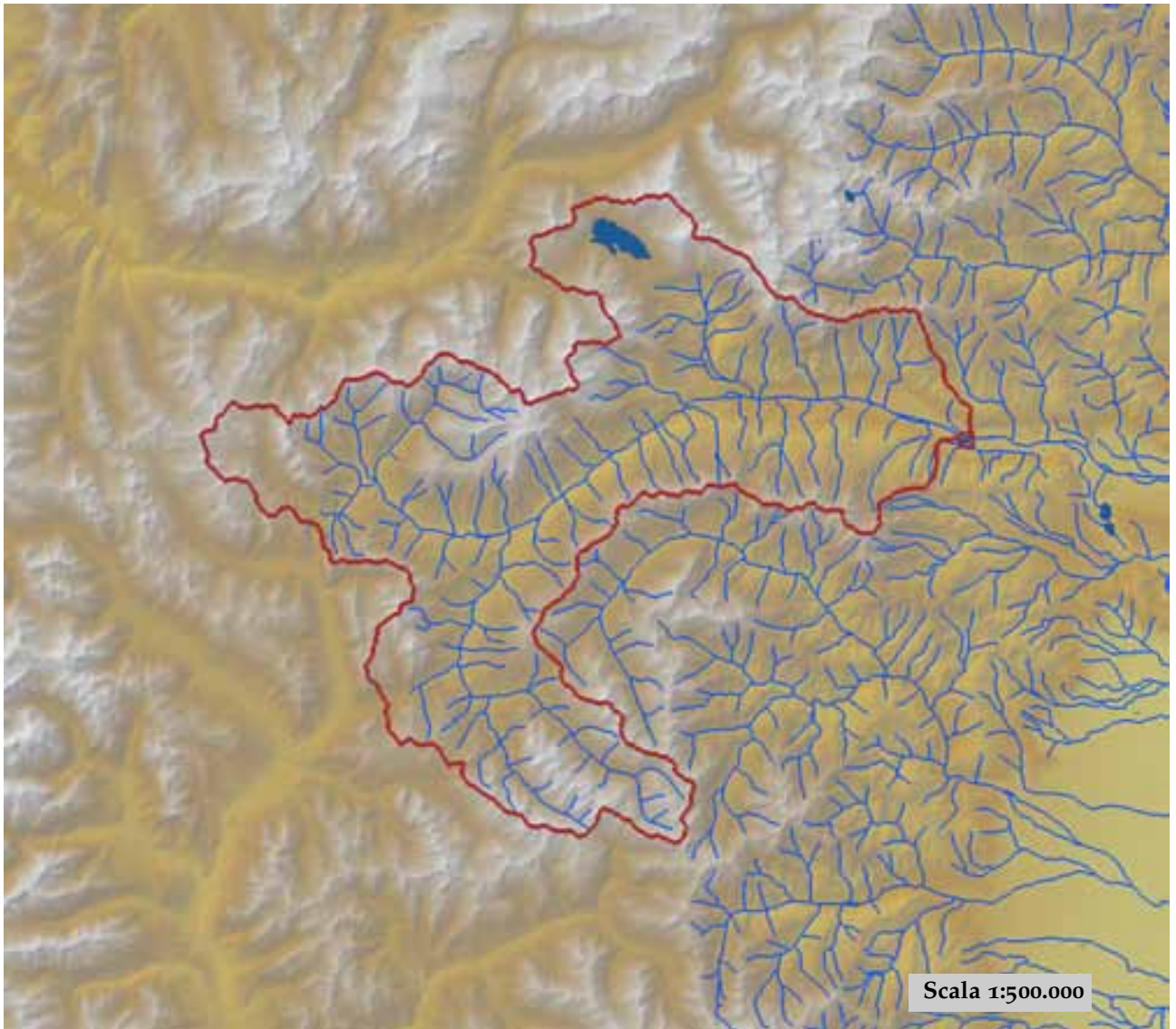


est (UTM _{32N} WGS84)	334481	nord (UTM _{32N} WGS84)	4993854
est DEM (UTM _{32N} WGS84)	334436	nord DEM (UTM _{32N} WGS84)	4993858
area bacino	547.88	quota media	2120

quota massima	3403	quota minima	1002
curva ipsografica 2,5%	2973	curva ipsografica 5%	2880
curva ipsografica 10%	2749	curva ipsografica 25%	2495
curva ipsografica 50%	2144	curva ipsografica 75%	1762
curva ipsografica 90%	1443	curva ipsografica 95%	1287
curva ipsografica 97,5%	1159	distanza interquartile curva ipsografica	733
angolo di esposizione medio	240	lunghezza vettore orientamento	11.3
pendenza bacino	23.093	pendenza bacino quadrato equivalente	9.766
est baricentro (UTM _{32N} WGS84)	325850	nord baricentro (UTM _{32N} WGS84)	4986450
fattore di forma	0.271	rapporto di allungamento	0.588
media funzione di ampiezza	24805	varianza funzione di ampiezza	8.77×10 ⁷
skewness funzione di ampiezza	-0.362	kurtosis funzione di ampiezza	2.522
rapporto aree medie di due ordini adiacenti	4.653	rapporto di biforcazione	4.112
rapporto lunghezze medie di due ordini adiacenti	2.213	rapporto pendenze medie di due ordini adiacenti	2.369
densità di drenaggio	0.562	diametro topologico	36
lunghezza LDP	44.939	lunghezza asta principale	43.449
lunghezza totale reticolo idrografico	308.1	lunghezza media versanti	803
pendenza media LDP	6	media dell'afflusso totale annuo	830
deviazione standard dell'afflusso totale annuo	89	media coeff. pluviale orario CPP	13.371
dev. standard coeff. pluviale orario CPP	1.278	media esponente CPP	0.478
dev. standard esponente CPP	0.038	coeff. di intensità	0.016
media LCV piogge 1 ora	0.182	dev. standard LCV piogge 1 ora	0.018
media LCV piogge 3 ore	0.149	dev. standard LCV piogge 3 ore	0.007
media LCV piogge 6 ore	0.159	dev. standard LCV piogge 6 ore	0.008
media LCV piogge 12 ore	0.166	dev. standard LCV piogge 12 ore	0.012
media LCV piogge 24 ore	0.18	dev. standard LCV piogge 24 ore	0.018
media LCA piogge 1 ora	0.199	dev. standard LCA piogge 1 ora	0.033
media LCA piogge 3 ore	0.112	dev. standard LCA piogge 3 ore	0.04
media LCA piogge 6 ore	0.162	dev. standard LCA piogge 6 ore	0.026
media LCA piogge 12 ore	0.169	dev. standard LCA piogge 12 ore	0.04
media LCA piogge 24 ore	0.171	dev. standard LCA piogge 24 ore	0.036
media coeff. B1 regime pluviometrico	-0.8	media coeff. C1 regime pluviometrico	-3.2
media coeff. B2 regime pluviometrico	-3.4	media coeff. C2 regime pluviometrico	-21.4
dev. standard regime pluviometrico	19	coeff. variaz. regime pluviometrico	0.287
classe 1 corine land cover	1.18	classe 2 corine land cover	39.8
classe 3 corine land cover	20.91	classe 4 corine land cover	38.12
classe 5 corine land cover	0	media NDVI	0.312
dev. standard NDVI	0.119	media curve number 1	46.1
media curve number 2	64.7	media curve number 3	80
dev. standard curve number 1	13.5	dev. standard curve number 2	13.2
dev. standard curve number 3	11	media indice di permeabilità vapi	0.264
dev. standard indice di permeabilità vapi	0.099		

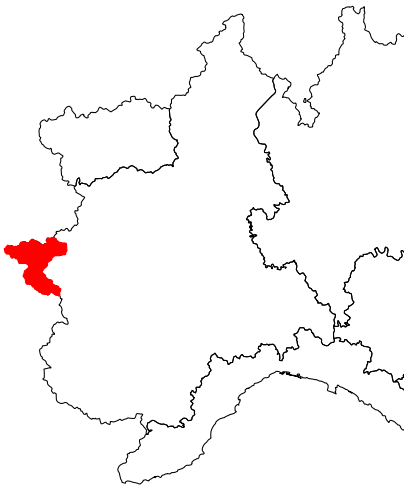


Dora Riparia a Sant'Antonino di Susa

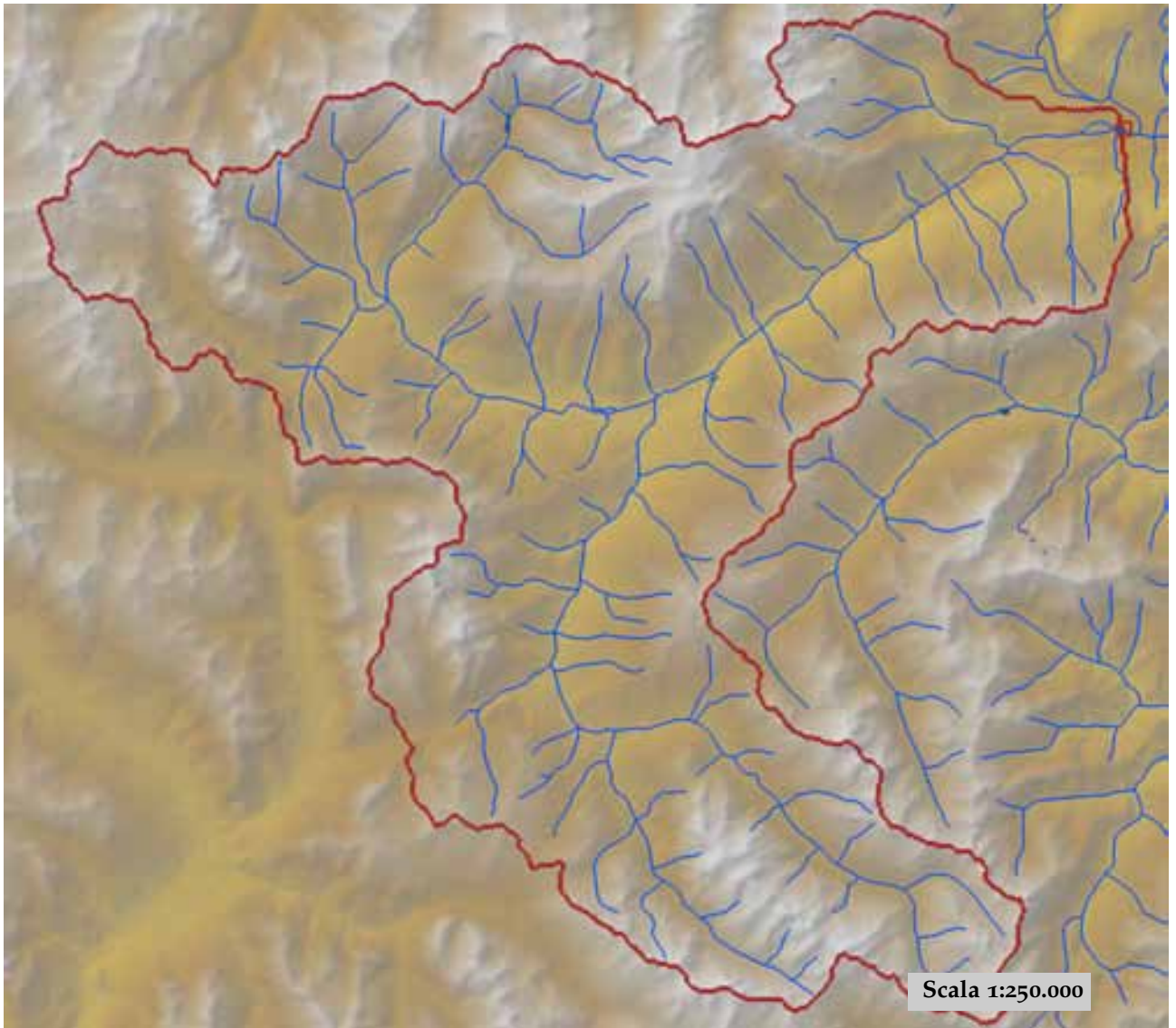


est (UTM _{32N} WGS84)	362771	nord (UTM _{32N} WGS84)	4996936
est DEM (UTM _{32N} WGS84)	362906	nord DEM (UTM _{32N} WGS84)	4996791
area bacino	1040.73	quota media	1899

quota massima	3583	quota minima	382
curva ipsografica 2,5%	2998	curva ipsografica 5%	2871
curva ipsografica 10%	2704	curva ipsografica 25%	2394
curva ipsografica 50%	1974	curva ipsografica 75%	1453
curva ipsografica 90%	927	curva ipsografica 95%	642
curva ipsografica 97,5%	477	distanza interquartile curva ipsografica	941
angolo di esposizione medio	169	lunghezza vettore orientamento	28
pendenza bacino	23.197	pendenza bacino quadrato equivalente	9.876
est baricentro (UTM _{32N} WGS84)	335150	nord baricentro (UTM _{32N} WGS84)	4993350
fattore di forma	0.156	rapporto di allungamento	0.445
media funzione di ampiezza	45039	varianza funzione di ampiezza	4.19×10 ⁸
skewness funzione di ampiezza	-0.255	kurtosis funzione di ampiezza	1.907
rapporto aree medie di due ordini adiacenti	4.383	rapporto di biforcazione	4.56
rapporto lunghezze medie di due ordini adiacenti	2.087	rapporto pendenze medie di due ordini adiacenti	2.102
densità di drenaggio	0.612	diametro topologico	83
lunghezza LDP	81.79	lunghezza asta principale	80.301
lunghezza totale reticolo idrografico	637.4	lunghezza media versanti	822
pendenza media LDP	5	media dell'afflusso totale annuo	867
deviazione standard dell'afflusso totale annuo	93	media coeff. pluviale orario CPP	14.104
dev. standard coeff. pluviale orario CPP	2.017	media esponente CPP	0.494
dev. standard esponente CPP	0.043	coeff. di intensità	0.016
media LCV piogge 1 ora	0.183	dev. standard LCV piogge 1 ora	0.017
media LCV piogge 3 ore	0.154	dev. standard LCV piogge 3 ore	0.011
media LCV piogge 6 ore	0.158	dev. standard LCV piogge 6 ore	0.009
media LCV piogge 12 ore	0.167	dev. standard LCV piogge 12 ore	0.015
media LCV piogge 24 ore	0.184	dev. standard LCV piogge 24 ore	0.02
media LCA piogge 1 ora	0.175	dev. standard LCA piogge 1 ora	0.05
media LCA piogge 3 ore	0.123	dev. standard LCA piogge 3 ore	0.042
media LCA piogge 6 ore	0.156	dev. standard LCA piogge 6 ore	0.035
media LCA piogge 12 ore	0.176	dev. standard LCA piogge 12 ore	0.048
media LCA piogge 24 ore	0.178	dev. standard LCA piogge 24 ore	0.037
media coeff. B1 regime pluviometrico	-4.5	media coeff. C1 regime pluviometrico	-3.1
media coeff. B2 regime pluviometrico	-3.2	media coeff. C2 regime pluviometrico	-24.4
dev. standard regime pluviometrico	21.3	coeff. variaz. regime pluviometrico	0.303
classe 1 corine land cover	1.64	classe 2 corine land cover	44.91
classe 3 corine land cover	24.17	classe 4 corine land cover	28.65
classe 5 corine land cover	0.64	media NDVI	0.365
dev. standard NDVI	0.137	media curve number 1	46.4
media curve number 2	65.1	media curve number 3	80.3
dev. standard curve number 1	12.1	dev. standard curve number 2	12.5
dev. standard curve number 3	11.6	media indice di permeabilità vapi	0.222
dev. standard indice di permeabilità vapi	0.098		



Dora Riparia a Susa

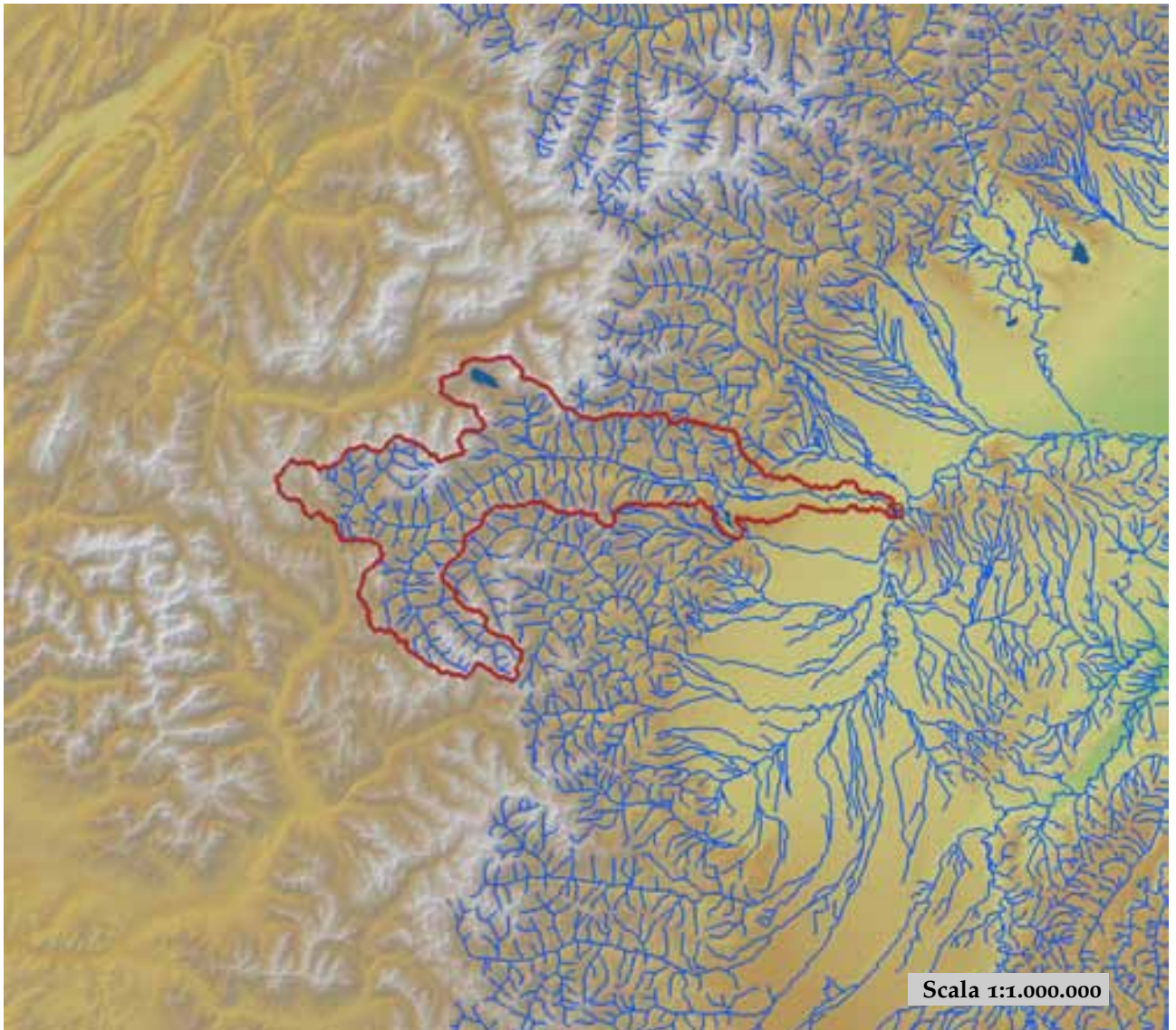


est (UTM ₃₂ N WGS84)	346587	nord (UTM ₃₂ N WGS84)	5000202
est DEM (UTM ₃₂ N WGS84)	346664	nord DEM (UTM ₃₂ N WGS84)	5000044
area bacino	694.11	quota media	2042

quota massima	3403	quota minima	499
curva ipsografica 2,5%	2994	curva ipsografica 5%	2886
curva ipsografica 10%	2738	curva ipsografica 25%	2459
curva ipsografica 50%	2078	curva ipsografica 75%	1653
curva ipsografica 90%	1287	curva ipsografica 95%	1080
curva ipsografica 97,5%	897	distanza interquartile curva ipsografica	806
angolo di esposizione medio	317	lunghezza vettore orientamento	21.3
pendenza bacino	23.416	pendenza bacino quadrato equivalente	11.994
est baricentro (UTM _{32N} WGS84)	328550	nord baricentro (UTM _{32N} WGS84)	4988750
fattore di forma	0.187	rapporto di allungamento	0.488
media funzione di ampiezza	34774	varianza funzione di ampiezza	2.08×10 ⁸
skewness funzione di ampiezza	-0.516	kurtosis funzione di ampiezza	2.194
rapporto aree medie di due ordini adiacenti	4.609	rapporto di biforcazione	4
rapporto lunghezze medie di due ordini adiacenti	2.19	rapporto pendenze medie di due ordini adiacenti	2.352
densità di drenaggio	0.575	diametro topologico	56
lunghezza LDP	60.9	lunghezza asta principale	59.4
lunghezza totale reticolo idrografico	398.9	lunghezza media versanti	830.5
pendenza media LDP	6.6	media dell'afflusso totale annuo	836
deviazione standard dell'afflusso totale annuo	84	media coeff. pluviale orario CPP	13.28
dev. standard coeff. pluviale orario CPP	1.21	media esponente CPP	0.493
dev. standard esponente CPP	0.045	coeff. di intensità	0.016
media LCV piogge 1 ora	0.017	dev. standard LCV piogge 1 ora	0.017
media LCV piogge 3 ore	0.008	dev. standard LCV piogge 3 ore	0.008
media LCV piogge 6 ore	0.009	dev. standard LCV piogge 6 ore	0.009
media LCV piogge 12 ore	0.014	dev. standard LCV piogge 12 ore	0.014
media LCV piogge 24 ore	0.018	dev. standard LCV piogge 24 ore	0.018
media LCA piogge 1 ora	0.033	dev. standard LCA piogge 1 ora	0.033
media LCA piogge 3 ore	0.039	dev. standard LCA piogge 3 ore	0.039
media LCA piogge 6 ore	0.027	dev. standard LCA piogge 6 ore	0.027
media LCA piogge 12 ore	0.043	dev. standard LCA piogge 12 ore	0.043
media LCA piogge 24 ore	0.037	dev. standard LCA piogge 24 ore	0.037
media coeff. B1 regime pluviometrico	-0.72	media coeff. C1 regime pluviometrico	-1.293
media coeff. B2 regime pluviometrico	-3.239	media coeff. C2 regime pluviometrico	-22.224
dev. standard regime pluviometrico	20.2	coeff. variaz. regime pluviometrico	0.289
classe 1 corine land cover	0.01	classe 2 corine land cover	0.45
classe 3 corine land cover	0.2	classe 4 corine land cover	0.34
classe 5 corine land cover	0	media NDVI	0.329
dev. standard NDVI	0.124	media curve number 1	45.77
media curve number 2	64.4	media curve number 3	79.82
dev. standard curve number 1	13.02	dev. standard curve number 2	13
dev. standard curve number 3	11.33	media indice di permeabilità vapi	0.25
dev. standard indice di permeabilità vapi	0.102		



Dora Riparia a Torino Ponte Washington

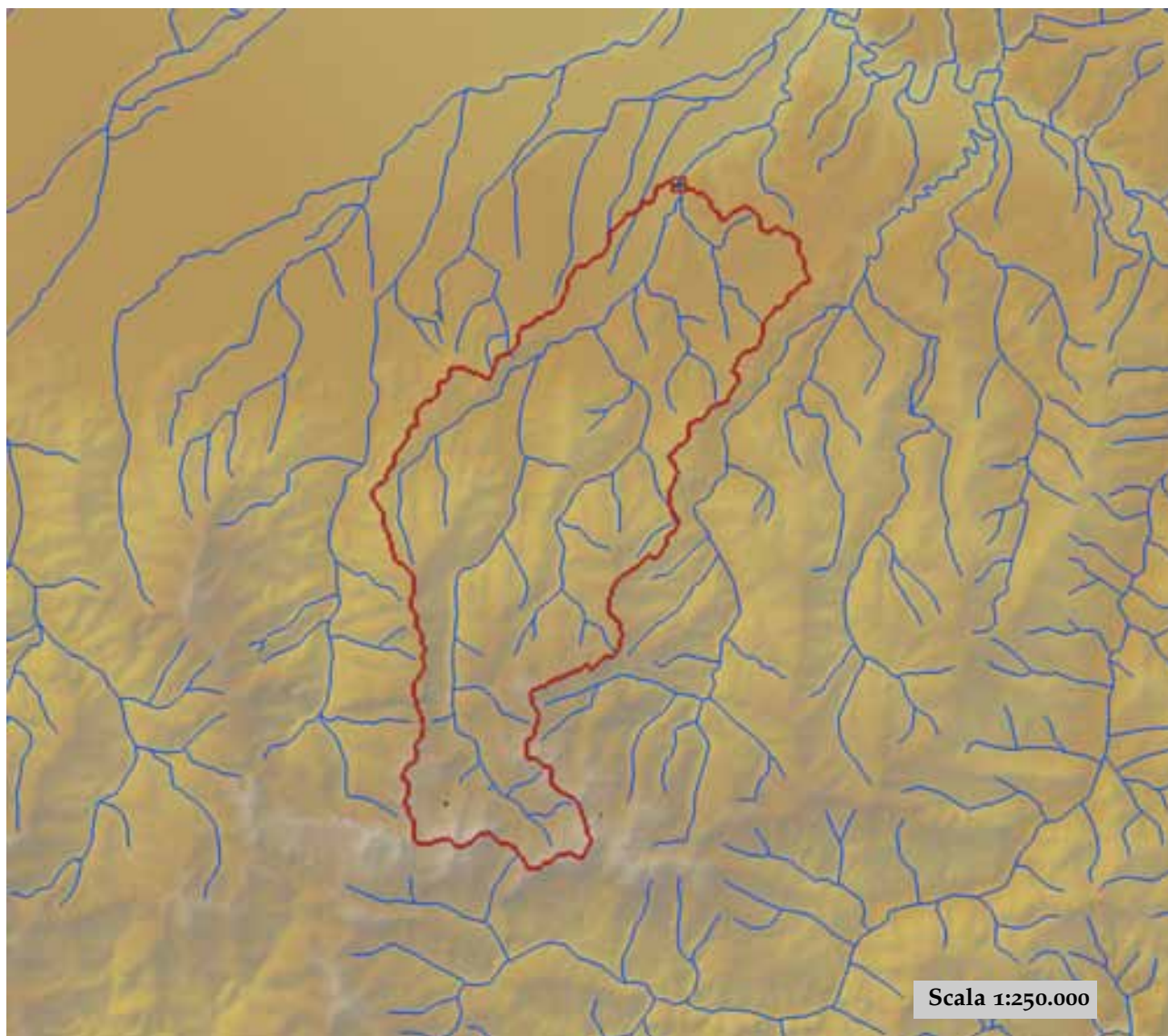


est (UTM ₃₂ N WGS84)	399094	nord (UTM ₃₂ N WGS84)	4992175
est DEM (UTM ₃₂ N WGS84)	397557	nord DEM (UTM ₃₂ N WGS84)	4992054
area bacino	1321.54	quota media	1655

quota massima	3583	quota minima	224
curva ipsografica 2,5%	2958	curva ipsografica 5%	2820
curva ipsografica 10%	2639	curva ipsografica 25%	2277
curva ipsografica 50%	1758	curva ipsografica 75%	1038
curva ipsografica 90%	412	curva ipsografica 95%	346
curva ipsografica 97,5%	310	distanza interquartile curva ipsografica	1239
angolo di esposizione medio	129	lunghezza vettore orientamento	54.2
pendenza bacino	20.95	pendenza bacino quadrato equivalente	8.445
est baricentro (UTM _{32N} WGS84)	343350	nord baricentro (UTM _{32N} WGS84)	4994150
fattore di forma	0.078	rapporto di allungamento	0.315
media funzione di ampiezza	81208	varianza funzione di ampiezza	9.34×10 ⁸
skewness funzione di ampiezza	-0.501	kurtosis funzione di ampiezza	2.317
rapporto aree medie di due ordini adiacenti	4.382	rapporto di biforcazione	4.999
rapporto lunghezze medie di due ordini adiacenti	2.071	rapporto pendenze medie di due ordini adiacenti	2.01
densità di drenaggio	0.635	diametro topologico	115
lunghezza LDP	130.286	lunghezza asta principale	128.796
lunghezza totale reticolo idrografico	838.6	lunghezza media versanti	805
pendenza media LDP	3	media dell'afflusso totale annuo	905
deviazione standard dell'afflusso totale annuo	122	media coeff. pluviale orario CPP	16.538
dev. standard coeff. pluviale orario CPP	5.148	media esponente CPP	0.473
dev. standard esponente CPP	0.062	coeff. di intensità	0.018
media LCV piogge 1 ora	0.179	dev. standard LCV piogge 1 ora	0.018
media LCV piogge 3 ore	0.155	dev. standard LCV piogge 3 ore	0.011
media LCV piogge 6 ore	0.159	dev. standard LCV piogge 6 ore	0.009
media LCV piogge 12 ore	0.169	dev. standard LCV piogge 12 ore	0.016
media LCV piogge 24 ore	0.187	dev. standard LCV piogge 24 ore	0.022
media LCA piogge 1 ora	0.171	dev. standard LCA piogge 1 ora	0.048
media LCA piogge 3 ore	0.135	dev. standard LCA piogge 3 ore	0.046
media LCA piogge 6 ore	0.161	dev. standard LCA piogge 6 ore	0.034
media LCA piogge 12 ore	0.176	dev. standard LCA piogge 12 ore	0.045
media LCA piogge 24 ore	0.185	dev. standard LCA piogge 24 ore	0.038
media coeff. B1 regime pluviometrico	-8.7	media coeff. C1 regime pluviometrico	-3.4
media coeff. B2 regime pluviometrico	-3	media coeff. C2 regime pluviometrico	-25.8
dev. standard regime pluviometrico	23.8	coeff. variaz. regime pluviometrico	0.323
classe 1 corine land cover	4.79	classe 2 corine land cover	44.81
classe 3 corine land cover	26.53	classe 4 corine land cover	23.22
classe 5 corine land cover	0.66	media NDVI	0.399
dev. standard NDVI	0.143	media curve number 1	46.9
media curve number 2	65.7	media curve number 3	80.9
dev. standard curve number 1	11.3	dev. standard curve number 2	11.6
dev. standard curve number 3	10.7	media indice di permeabilità vapi	0.214
dev. standard indice di permeabilità vapi	0.101		

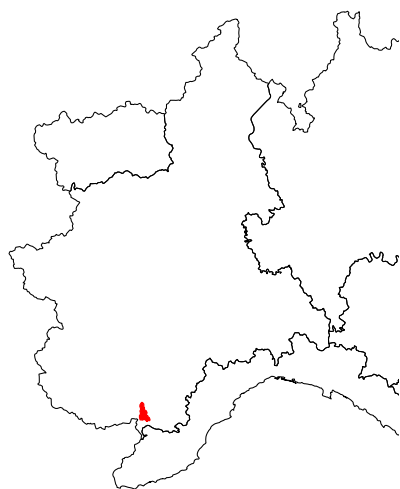


Ellero a Mondovì

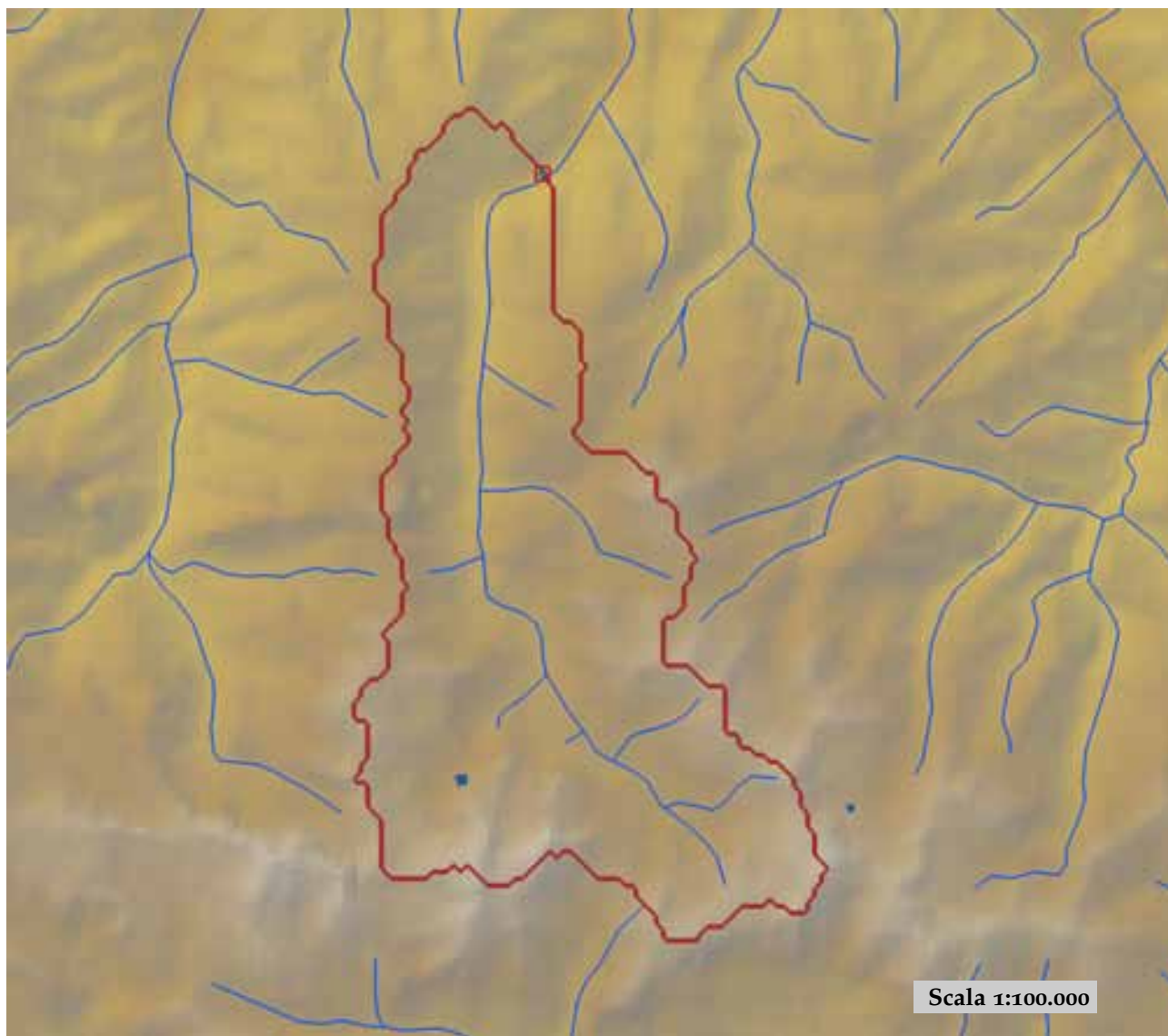


est (UTM _{32N} WGS84)	406021	nord (UTM _{32N} WGS84)	4915888
est DEM (UTM _{32N} WGS84)	405954	nord DEM (UTM _{32N} WGS84)	4915842
area bacino	180.5	quota media	1089

quota massima	2584	quota minima	389
curva ipsografica 2,5%	2239	curva ipsografica 5%	2157
curva ipsografica 10%	1993	curva ipsografica 25%	1532
curva ipsografica 50%	894	curva ipsografica 75%	603
curva ipsografica 90%	506	curva ipsografica 95%	475
curva ipsografica 97,5%	458	distanza interquartile curva ipsografica	929
angolo di esposizione medio	359	lunghezza vettore orientamento	12.2
pendenza bacino	16.056	pendenza bacino quadrato equivalente	7.533
est baricentro (UTM _{32N} WGS84)	401650	nord baricentro (UTM _{32N} WGS84)	4904450
fattore di forma	0.164	rapporto di allungamento	0.456
media funzione di ampiezza	15978	varianza funzione di ampiezza	6.49×10 ⁷
skewness funzione di ampiezza	0.195	kurtosis funzione di ampiezza	2.147
rapporto aree medie di due ordini adiacenti	5.653	rapporto di biforcazione	4.637
rapporto lunghezze medie di due ordini adiacenti	3.793	rapporto penienze medie di due ordini adiacenti	1.566
densità di drenaggio	0.624	diametro topologico	21
lunghezza LDP	33.212	lunghezza asta principale	30.981
lunghezza totale reticolo idrografico	112.6	lunghezza media versanti	683
pendenza media LDP	6	media dell'afflusso totale annuo	1243
deviazione standard dell'afflusso totale annuo	102	media coeff. pluviale orario CPP	25.142
dev. standard coeff. pluviale orario CPP	1.433	media esponente CPP	0.405
dev. standard esponente CPP	0.043	coeff. di intensità	0.02
media LCV piogge 1 ora	0.178	dev. standard LCV piogge 1 ora	0.008
media LCV piogge 3 ore	0.15	dev. standard LCV piogge 3 ore	0.007
media LCV piogge 6 ore	0.141	dev. standard LCV piogge 6 ore	0.005
media LCV piogge 12 ore	0.155	dev. standard LCV piogge 12 ore	0.009
media LCV piogge 24 ore	0.159	dev. standard LCV piogge 24 ore	0.009
media LCA piogge 1 ora	0.177	dev. standard LCA piogge 1 ora	0.054
media LCA piogge 3 ore	0.13	dev. standard LCA piogge 3 ore	0.039
media LCA piogge 6 ore	0.107	dev. standard LCA piogge 6 ore	0.046
media LCA piogge 12 ore	0.156	dev. standard LCA piogge 12 ore	0.057
media LCA piogge 24 ore	0.133	dev. standard LCA piogge 24 ore	0.035
media coeff. B1 regime pluviometrico	-0.3	media coeff. C1 regime pluviometrico	-1.5
media coeff. B2 regime pluviometrico	0.7	media coeff. C2 regime pluviometrico	-35.7
dev. standard regime pluviometrico	28.6	coeff. variaz. regime pluviometrico	0.271
classe 1 corine land cover	3.4	classe 2 corine land cover	55.35
classe 3 corine land cover	35.57	classe 4 corine land cover	5.71
classe 5 corine land cover	0	media NDVI	0.516
dev. standard NDVI	0.112	media curve number 1	43.3
media curve number 2	62.6	media curve number 3	79.1
dev. standard curve number 1	9.6	dev. standard curve number 2	9.8
dev. standard curve number 3	8	media indice di permeabilità vapi	0.446
dev. standard indice di permeabilità vapi	0.188		



Ellero a Rastello

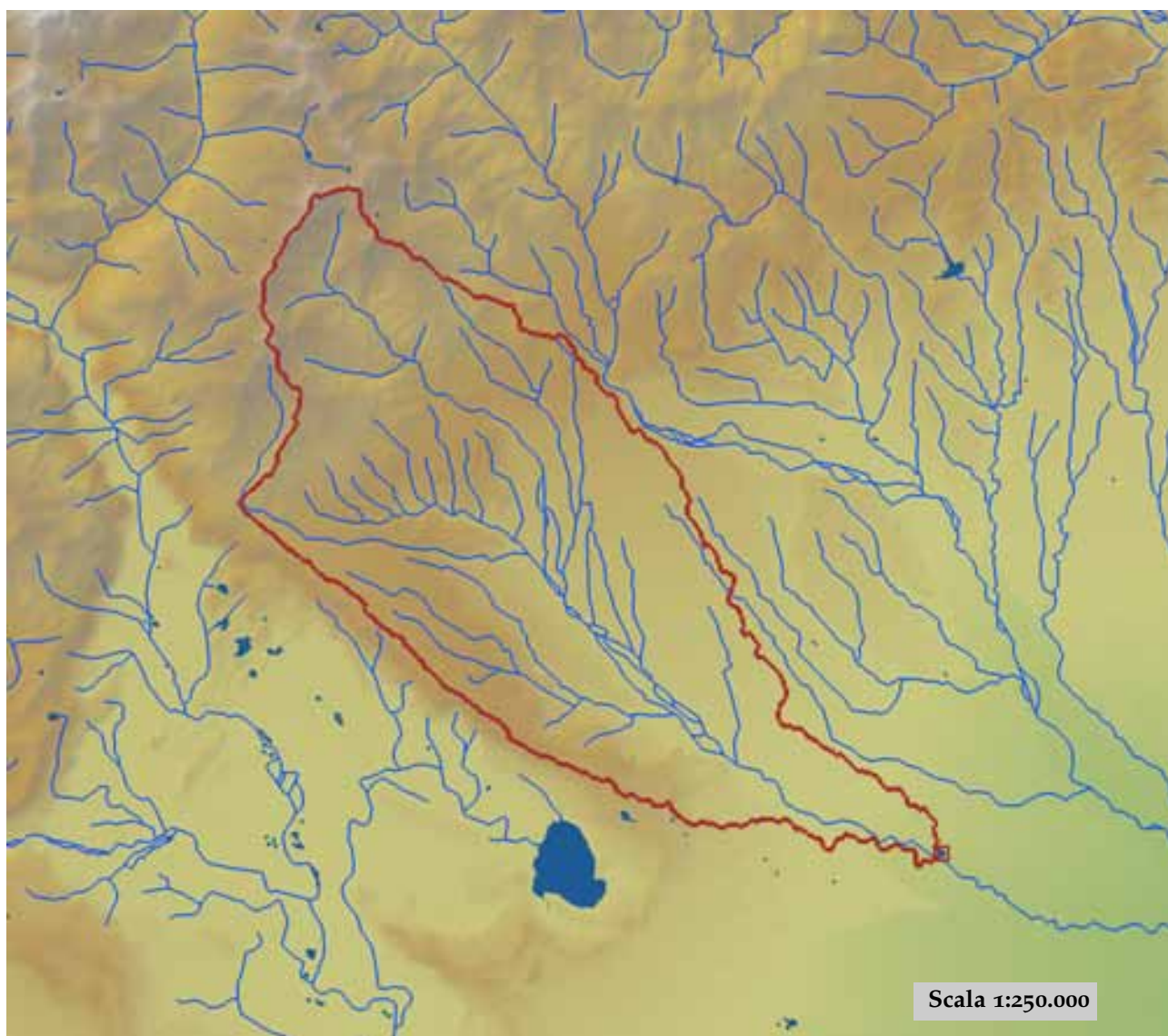


est (UTM _{32N} WGS84)	398721	nord (UTM _{32N} WGS84)	4902052
est DEM (UTM _{32N} WGS84)	398653	nord DEM (UTM _{32N} WGS84)	4902147
area bacino	43.1	quota media	1853

quota massima	2584	quota minima	842
curva ipsografica 2,5%	2357	curva ipsografica 5%	2311
curva ipsografica 10%	2243	curva ipsografica 25%	2125
curva ipsografica 50%	1917	curva ipsografica 75%	1648
curva ipsografica 90%	1334	curva ipsografica 95%	1160
curva ipsografica 97,5%	1028	distanza interquartile curva ipsografica	477
angolo di esposizione medio	350	lunghezza vettore orientamento	6
pendenza bacino	23.553	pendenza bacino quadrato equivalente	32.78
est baricentro (UTM _{32N} WGS84)	398550	nord baricentro (UTM _{32N} WGS84)	4896150
fattore di forma	0.193	rapporto di allungamento	0.495
media funzione di ampiezza	8357	varianza funzione di ampiezza	1.48×10 ⁷
skewness funzione di ampiezza	-0.345	kurtosis funzione di ampiezza	1.967
rapporto aree medie di due ordini adiacenti	3.935	rapporto di biforcazione	4.5
rapporto lunghezze medie di due ordini adiacenti	1.967	rapporto pendenze medie di due ordini adiacenti	1.991
densità di drenaggio	0.476	diametro topologico	8
lunghezza LDP	14.957	lunghezza asta principale	12.725
lunghezza totale reticolo idrografico	20.5	lunghezza media versanti	743
pendenza media LDP	10	media dell'afflusso totale annuo	1306
deviazione standard dell'afflusso totale annuo	34	media coeff. pluviale orario CPP	23.853
dev. standard coeff. pluviale orario CPP	1.315	media esponente CPP	0.465
dev. standard esponente CPP	0.031	coeff. di intensità	0.018
media LCV piogge 1 ora	0.174	dev. standard LCV piogge 1 ora	0.01
media LCV piogge 3 ore	0.152	dev. standard LCV piogge 3 ore	0.004
media LCV piogge 6 ore	0.143	dev. standard LCV piogge 6 ore	0.004
media LCV piogge 12 ore	0.163	dev. standard LCV piogge 12 ore	0.007
media LCV piogge 24 ore	0.169	dev. standard LCV piogge 24 ore	0.009
media LCA piogge 1 ora	0.163	dev. standard LCA piogge 1 ora	0.067
media LCA piogge 3 ore	0.158	dev. standard LCA piogge 3 ore	0.019
media LCA piogge 6 ore	0.157	dev. standard LCA piogge 6 ore	0.044
media LCA piogge 12 ore	0.227	dev. standard LCA piogge 12 ore	0.036
media LCA piogge 24 ore	0.179	dev. standard LCA piogge 24 ore	0.011
media coeff. B1 regime pluviometrico	2.1	media coeff. C1 regime pluviometrico	-4.1
media coeff. B2 regime pluviometrico	-0.7	media coeff. C2 regime pluviometrico	-35.4
dev. standard regime pluviometrico	28.9	coeff. variaz. regime pluviometrico	0.273
classe 1 corine land cover	0	classe 2 corine land cover	33.49
classe 3 corine land cover	43.29	classe 4 corine land cover	23.32
classe 5 corine land cover	0	media NDVI	0.357
dev. standard NDVI	0.085	media curve number 1	35.8
media curve number 2	54.6	media curve number 3	72.5
dev. standard curve number 1	12	dev. standard curve number 2	12.6
dev. standard curve number 3	10.5	media indice di permeabilità vapi	0.349
dev. standard indice di permeabilità vapi	0.234		

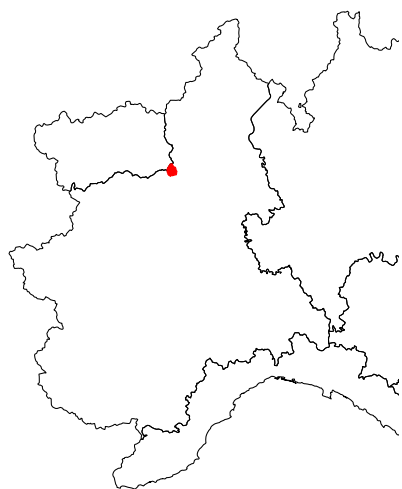


Elvo a Carisio

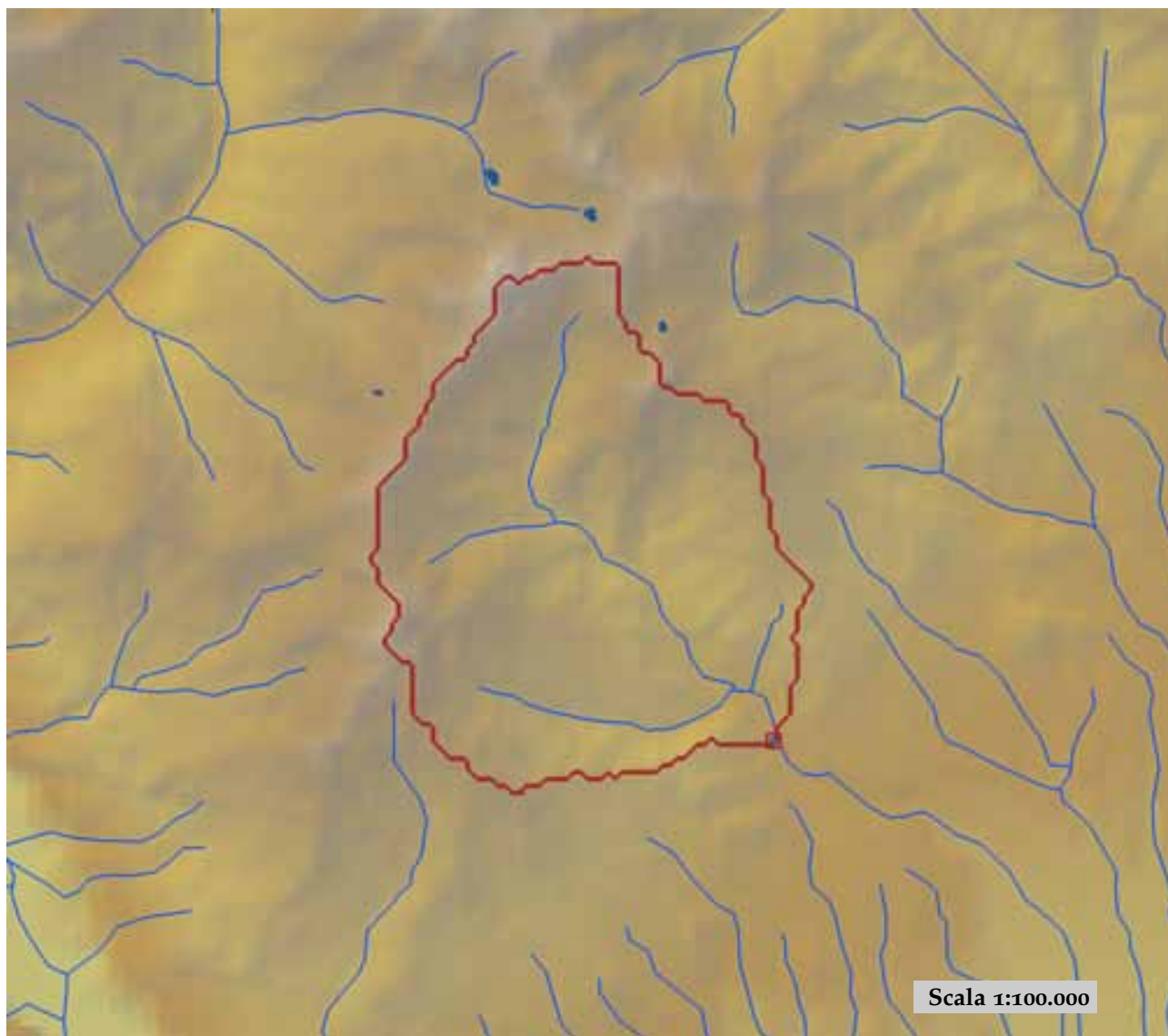


est (UTM ₃₂ N WGS84)	437996	nord (UTM ₃₂ N WGS84)	5029759
est DEM (UTM ₃₂ N WGS84)	438160	nord DEM (UTM ₃₂ N WGS84)	5030047
area bacino	256.2	quota media	603

quota massima	2579	quota minima	179
curva ipsografica 2,5%	1965	curva ipsografica 5%	1718
curva ipsografica 10%	1327	curva ipsografica 25%	666
curva ipsografica 50%	432	curva ipsografica 75%	305
curva ipsografica 90%	241	curva ipsografica 95%	214
curva ipsografica 97,5%	201	distanza interquartile curva ipsografica	361
angolo di esposizione medio	134	lunghezza vettore orientamento	18.9
pendenza bacino	8.112	pendenza bacino quadrato equivalente	3.174
est baricentro (UTM _{32N} WGS84)	423150	nord baricentro (UTM _{32N} WGS84)	5041450
fattore di forma	0.211	rapporto di allungamento	0.518
media funzione di ampiezza	24119	varianza funzione di ampiezza	8.46×10 ⁷
skewness funzione di ampiezza	-0.328	kurtosis funzione di ampiezza	2.446
rapporto aree medie di due ordini adiacenti	4.167	rapporto di biforcazione	4.546
rapporto lunghezze medie di due ordini adiacenti	1.341	rapporto penne medie di due ordini adiacenti	2.235
densità di drenaggio	0.885	diametro topologico	29
lunghezza LDP	34.848	lunghezza asta principale	32.758
lunghezza totale reticolo idrografico	226.6	lunghezza media versanti	738
pendenza media LDP	3	media dell'afflusso totale annuo	1381
deviazione standard dell'afflusso totale annuo	190	media coeff. pluviale orario CPP	31.512
dev. standard coeff. pluviale orario CPP	1.428	media esponente CPP	0.377
dev. standard esponente CPP	0.051	coeff. di intensità	0.023
media LCV piogge 1 ora	0.151	dev. standard LCV piogge 1 ora	0.011
media LCV piogge 3 ore	0.143	dev. standard LCV piogge 3 ore	0.01
media LCV piogge 6 ore	0.148	dev. standard LCV piogge 6 ore	0.009
media LCV piogge 12 ore	0.159	dev. standard LCV piogge 12 ore	0.011
media LCV piogge 24 ore	0.172	dev. standard LCV piogge 24 ore	0.012
media LCA piogge 1 ora	0.134	dev. standard LCA piogge 1 ora	0.039
media LCA piogge 3 ore	0.177	dev. standard LCA piogge 3 ore	0.029
media LCA piogge 6 ore	0.179	dev. standard LCA piogge 6 ore	0.022
media LCA piogge 12 ore	0.198	dev. standard LCA piogge 12 ore	0.04
media LCA piogge 24 ore	0.231	dev. standard LCA piogge 24 ore	0.035
media coeff. B1 regime pluviometrico	-39.3	media coeff. C1 regime pluviometrico	-12.8
media coeff. B2 regime pluviometrico	1.3	media coeff. C2 regime pluviometrico	-44.8
dev. standard regime pluviometrico	44.8	coeff. variaz. regime pluviometrico	0.375
classe 1 corine land cover	8.57	classe 2 corine land cover	33.78
classe 3 corine land cover	55.44	classe 4 corine land cover	2.07
classe 5 corine land cover	0.17	media NDVI	0.558
dev. standard NDVI	0.075	media curve number 1	50.1
media curve number 2	69	media curve number 3	83.8
dev. standard curve number 1	8	dev. standard curve number 2	7.7
dev. standard curve number 3	6.3	media indice di permeabilità vapi	0.47
dev. standard indice di permeabilità vapi	0.086		



Elvo a Sordevolo

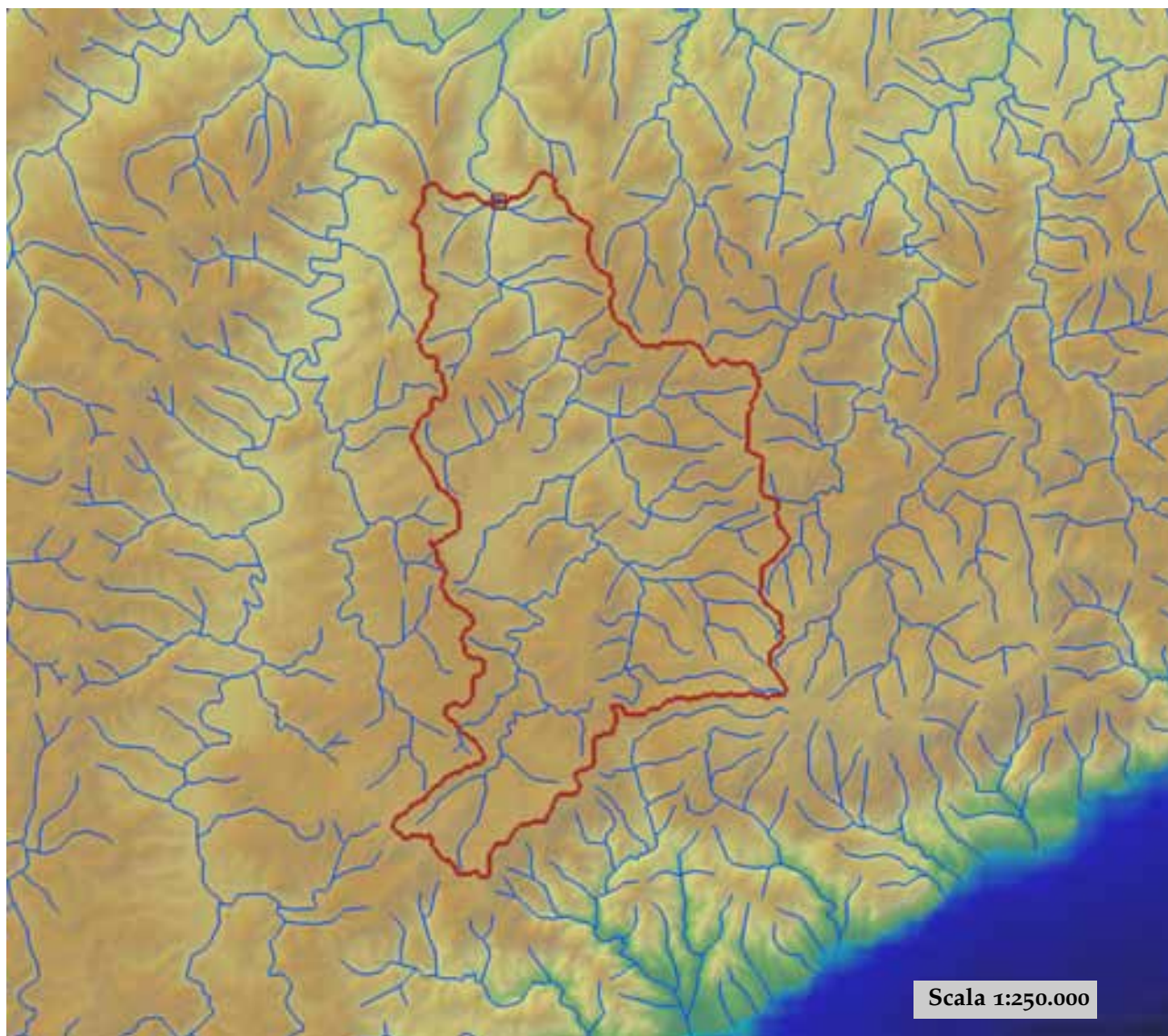


est (UTM ₃₂ N WGS84)	419328	nord (UTM ₃₂ N WGS84)	5047278
est DEM (UTM ₃₂ N WGS84)	419256	nord DEM (UTM ₃₂ N WGS84)	5047251
area bacino	33.97	quota media	1533

quota massima	2579	quota minima	622
curva ipsografica 2,5%	2268	curva ipsografica 5%	2198
curva ipsografica 10%	2100	curva ipsografica 25%	1882
curva ipsografica 50%	1531	curva ipsografica 75%	1194
curva ipsografica 90%	952	curva ipsografica 95%	849
curva ipsografica 97,5%	770	distanza interquartile curva ipsografica	688
angolo di esposizione medio	137	lunghezza vettore orientamento	4
pendenza bacino	24.836	pendenza bacino quadrato equivalente	31.227
est baricentro (UTM _{32N} WGS84)	416450	nord baricentro (UTM _{32N} WGS84)	5050050
fattore di forma	0.351	rapporto di allungamento	0.669
media funzione di ampiezza	5507	varianza funzione di ampiezza	4.89×10 ⁶
skewness funzione di ampiezza	-0.193	kurtosis funzione di ampiezza	2.296
rapporto aree medie di due ordini adiacenti	-	rapporto di biforcazione	16.127
rapporto lunghezze medie di due ordini adiacenti	0.475	rapporto pendenze medie di due ordini adiacenti	-
densità di drenaggio	-	diametro topologico	6
lunghezza LDP	9.833	lunghezza asta principale	8.243
lunghezza totale reticolo idrografico	-	lunghezza media versanti	803
pendenza media LDP	12	media dell'afflusso totale annuo	1651
deviazione standard dell'afflusso totale annuo	78	media coeff. pluviale orario CPP	30.997
dev. standard coeff. pluviale orario CPP	1.751	media esponente CPP	0.478
dev. standard esponente CPP	0.027	coeff. di intensità	0.019
media LCV piogge 1 ora	0.165	dev. standard LCV piogge 1 ora	0.012
media LCV piogge 3 ore	0.157	dev. standard LCV piogge 3 ore	0.012
media LCV piogge 6 ore	0.154	dev. standard LCV piogge 6 ore	0.01
media LCV piogge 12 ore	0.176	dev. standard LCV piogge 12 ore	0.008
media LCV piogge 24 ore	0.186	dev. standard LCV piogge 24 ore	0.007
media LCA piogge 1 ora	0.175	dev. standard LCA piogge 1 ora	0.009
media LCA piogge 3 ore	0.151	dev. standard LCA piogge 3 ore	0.012
media LCA piogge 6 ore	0.158	dev. standard LCA piogge 6 ore	0.009
media LCA piogge 12 ore	0.146	dev. standard LCA piogge 12 ore	0.018
media LCA piogge 24 ore	0.173	dev. standard LCA piogge 24 ore	0.025
media coeff. B1 regime pluviometrico	-51	media coeff. C1 regime pluviometrico	-24.9
media coeff. B2 regime pluviometrico	5.4	media coeff. C2 regime pluviometrico	-58.9
dev. standard regime pluviometrico	61.5	coeff. variaz. regime pluviometrico	0.446
classe 1 corine land cover	0	classe 2 corine land cover	34.39
classe 3 corine land cover	53.61	classe 4 corine land cover	12.11
classe 5 corine land cover	0	media NDVI	0.461
dev. standard NDVI	0.101	media curve number 1	41.3
media curve number 2	60.3	media curve number 3	77.3
dev. standard curve number 1	11.5	dev. standard curve number 2	11.6
dev. standard curve number 3	9.4	media indice di permeabilità vapi	0.507
dev. standard indice di permeabilità vapi	0.072		



Erro a Cartosio

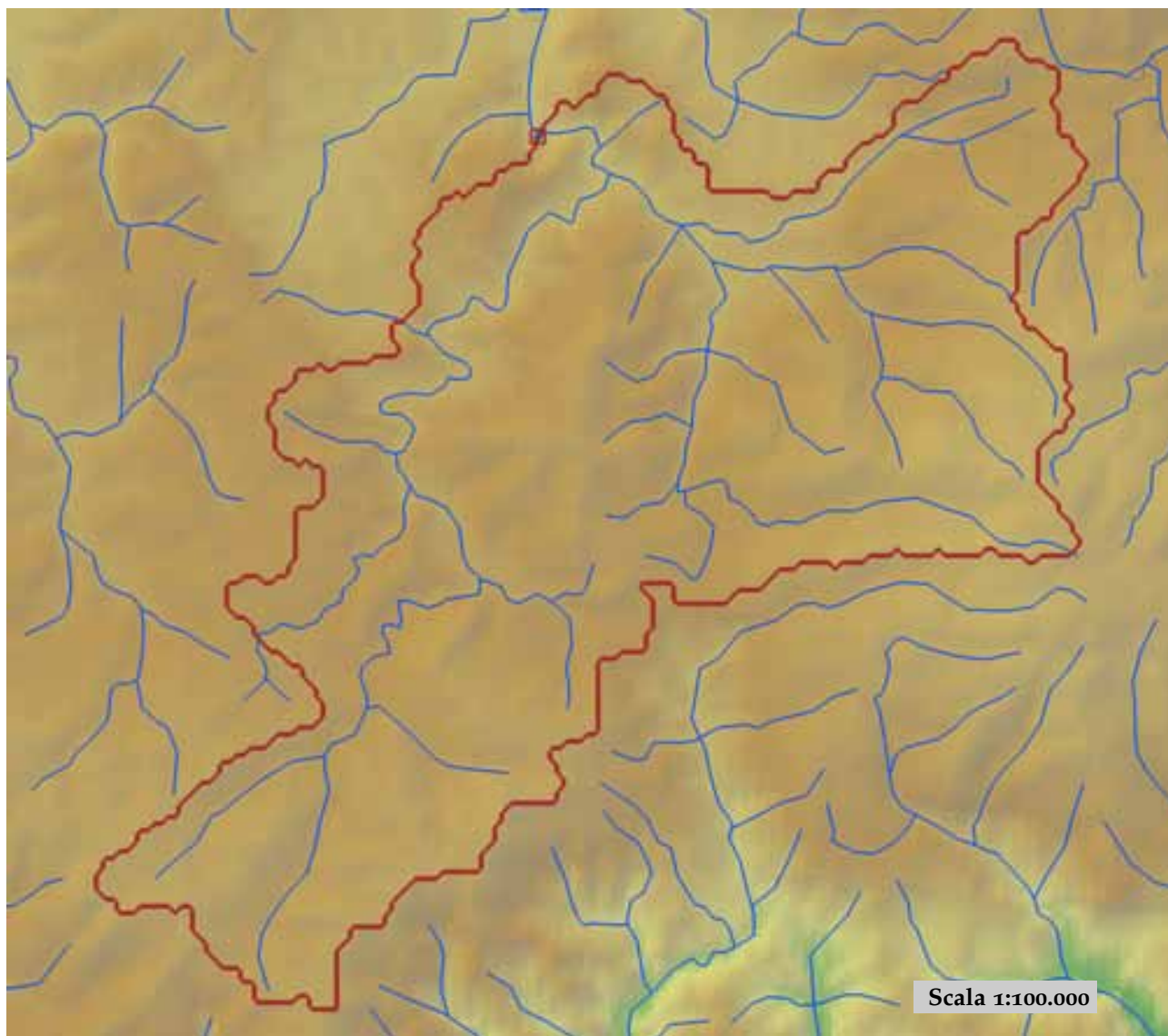


est (UTM ₃₂ N WGS84)	454040	nord (UTM ₃₂ N WGS84)	4935727
est DEM (UTM ₃₂ N WGS84)	453752	nord DEM (UTM ₃₂ N WGS84)	4938851
area bacino	212.04	quota media	499

quota massima	1241	quota minima	188
curva ipsografica 2,5%	845	curva ipsografica 5%	778
curva ipsografica 10%	704	curva ipsografica 25%	586
curva ipsografica 50%	466	curva ipsografica 75%	387
curva ipsografica 90%	336	curva ipsografica 95%	298
curva ipsografica 97,5%	264	distanza interquartile curva ipsografica	199
angolo di esposizione medio	299	lunghezza vettore orientamento	11.6
pendenza bacino	10.574	pendenza bacino quadrato equivalente	3.832
est baricentro (UTM _{32N} WGS84)	456550	nord baricentro (UTM _{32N} WGS84)	4927550
fattore di forma	0.144	rapporto di allungamento	0.429
media funzione di ampiezza	19234	varianza funzione di ampiezza	8.85×10 ⁷
skewness funzione di ampiezza	-0.079	kurtosis funzione di ampiezza	2.185
rapporto aree medie di due ordini adiacenti	4.312	rapporto di biforcazione	5.244
rapporto lunghezze medie di due ordini adiacenti	2.55	rapporto pendenze medie di due ordini adiacenti	2.126
densità di drenaggio	0.676	diametro topologico	23
lunghezza LDP	38.313	lunghezza asta principale	37.189
lunghezza totale reticolo idrografico	143.3	lunghezza media versanti	624
pendenza media LDP	5	media dell'afflusso totale annuo	1163
deviazione standard dell'afflusso totale annuo	186	media coeff. pluviale orario CPP	31.453
dev. standard coeff. pluviale orario CPP	2.713	media esponente CPP	0.417
dev. standard esponente CPP	0.016	coeff. di intensità	0.027
media LCV piogge 1 ora	0.181	dev. standard LCV piogge 1 ora	0.017
media LCV piogge 3 ore	0.216	dev. standard LCV piogge 3 ore	0.019
media LCV piogge 6 ore	0.21	dev. standard LCV piogge 6 ore	0.014
media LCV piogge 12 ore	0.209	dev. standard LCV piogge 12 ore	0.014
media LCV piogge 24 ore	0.203	dev. standard LCV piogge 24 ore	0.012
media LCA piogge 1 ora	0.135	dev. standard LCA piogge 1 ora	0.039
media LCA piogge 3 ore	0.223	dev. standard LCA piogge 3 ore	0.025
media LCA piogge 6 ore	0.214	dev. standard LCA piogge 6 ore	0.035
media LCA piogge 12 ore	0.228	dev. standard LCA piogge 12 ore	0.031
media LCA piogge 24 ore	0.218	dev. standard LCA piogge 24 ore	0.02
media coeff. B1 regime pluviometrico	26.2	media coeff. C1 regime pluviometrico	0
media coeff. B2 regime pluviometrico	-7.7	media coeff. C2 regime pluviometrico	-46.4
dev. standard regime pluviometrico	40.5	coeff. variaz. regime pluviometrico	0.398
classe 1 corine land cover	0.12	classe 2 corine land cover	71.17
classe 3 corine land cover	26.31	classe 4 corine land cover	2.42
classe 5 corine land cover	0	media NDVI	0.605
dev. standard NDVI	0.034	media curve number 1	46.6
media curve number 2	66.1	media curve number 3	82
dev. standard curve number 1	6.6	dev. standard curve number 2	5.9
dev. standard curve number 3	4	media indice di permeabilità vapi	0.606
dev. standard indice di permeabilità vapi	0.127		

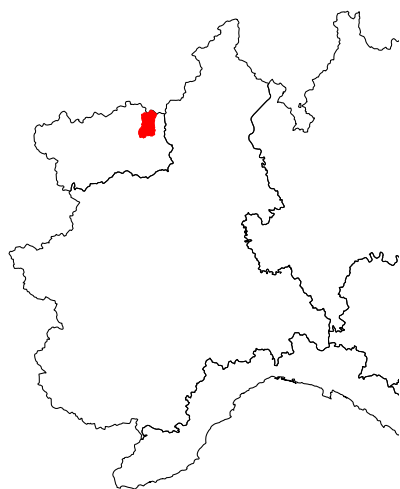


Erro a Sassello

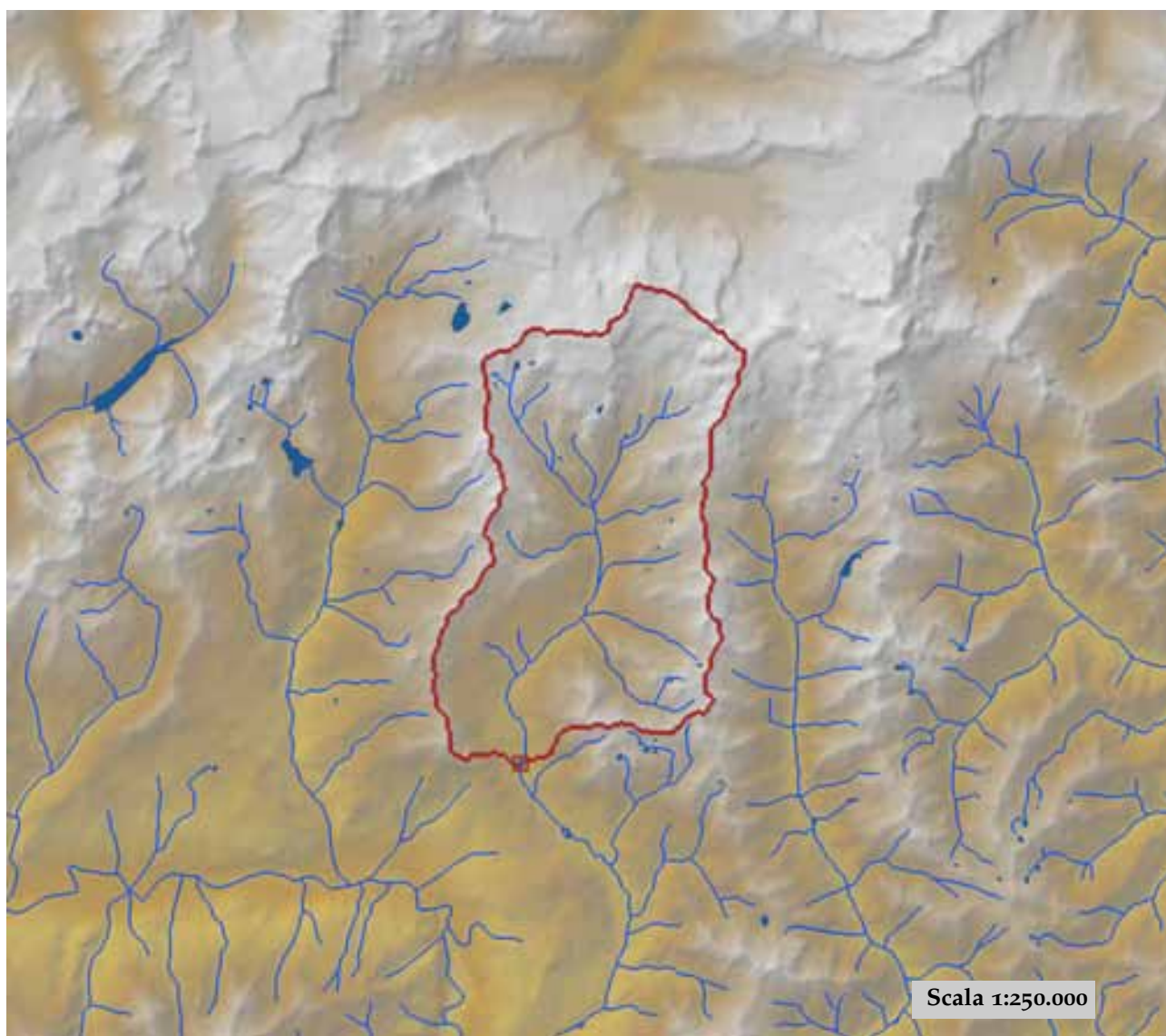


est (UTM _{32N} WGS84)	457432	nord (UTM _{32N} WGS84)	4926268
est DEM (UTM _{32N} WGS84)	456328	nord DEM (UTM _{32N} WGS84)	4926986
area bacino	91.3	quota media	595

quota massima	1241	quota minima	318
curva ipsografica 2,5%	980	curva ipsografica 5%	875
curva ipsografica 10%	791	curva ipsografica 25%	684
curva ipsografica 50%	569	curva ipsografica 75%	481
curva ipsografica 90%	417	curva ipsografica 95%	389
curva ipsografica 97,5%	372	distanza interquartile curva ipsografica	203
angolo di esposizione medio	318	lunghezza vettore orientamento	4.9
pendenza bacino	11.364	pendenza bacino quadrato equivalente	5.275
est baricentro (UTM _{32N} WGS84)	457350	nord baricentro (UTM _{32N} WGS84)	4922150
fattore di forma	0.21	rapporto di allungamento	0.517
media funzione di ampiezza	10455	varianza funzione di ampiezza	2.32×10 ⁷
skewness funzione di ampiezza	0.341	kurtosis funzione di ampiezza	2.362
rapporto aree medie di due ordini adiacenti	4.169	rapporto di biforcazione	3.391
rapporto lunghezze medie di due ordini adiacenti	2.437	rapporto pendenze medie di due ordini adiacenti	2.348
densità di drenaggio	0.718	diametro topologico	9
lunghezza LDP	20.869	lunghezza asta principale	19.745
lunghezza totale reticolo idrografico	65.6	lunghezza media versanti	621
pendenza media LDP	5	media dell'afflusso totale annuo	1346
deviazione standard dell'afflusso totale annuo	112	media coeff. pluviale orario CPP	33.34
dev. standard coeff. pluviale orario CPP	1.591	media esponente CPP	0.431
dev. standard esponente CPP	0.011	coeff. di intensità	0.025
media LCV piogge 1 ora	0.166	dev. standard LCV piogge 1 ora	0.006
media LCV piogge 3 ore	0.198	dev. standard LCV piogge 3 ore	0.009
media LCV piogge 6 ore	0.197	dev. standard LCV piogge 6 ore	0.01
media LCV piogge 12 ore	0.2	dev. standard LCV piogge 12 ore	0.012
media LCV piogge 24 ore	0.195	dev. standard LCV piogge 24 ore	0.01
media LCA piogge 1 ora	0.107	dev. standard LCA piogge 1 ora	0.026
media LCA piogge 3 ore	0.206	dev. standard LCA piogge 3 ore	0.019
media LCA piogge 6 ore	0.189	dev. standard LCA piogge 6 ore	0.023
media LCA piogge 12 ore	0.208	dev. standard LCA piogge 12 ore	0.023
media LCA piogge 24 ore	0.211	dev. standard LCA piogge 24 ore	0.016
media coeff. B1 regime pluviometrico	32.2	media coeff. C1 regime pluviometrico	3
media coeff. B2 regime pluviometrico	-11.7	media coeff. C2 regime pluviometrico	-54.6
dev. standard regime pluviometrico	47.6	coeff. variaz. regime pluviometrico	0.419
classe 1 corine land cover	0.28	classe 2 corine land cover	84.93
classe 3 corine land cover	12.1	classe 4 corine land cover	2.74
classe 5 corine land cover	0	media NDVI	0.638
dev. standard NDVI	0.015	media curve number 1	46.4
media curve number 2	66.1	media curve number 3	82
dev. standard curve number 1	5.4	dev. standard curve number 2	4.8
dev. standard curve number 3	3.3	media indice di permeabilità vapi	0.584
dev. standard indice di permeabilità vapi	0.124		

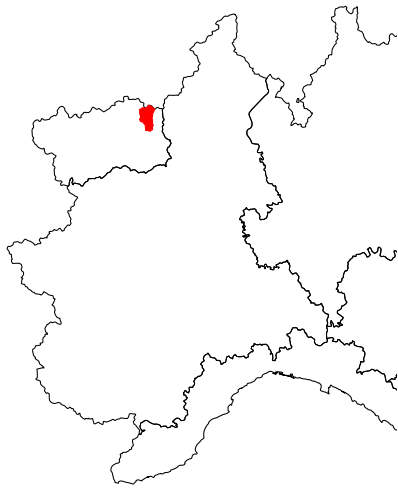


Evancon a Brusson

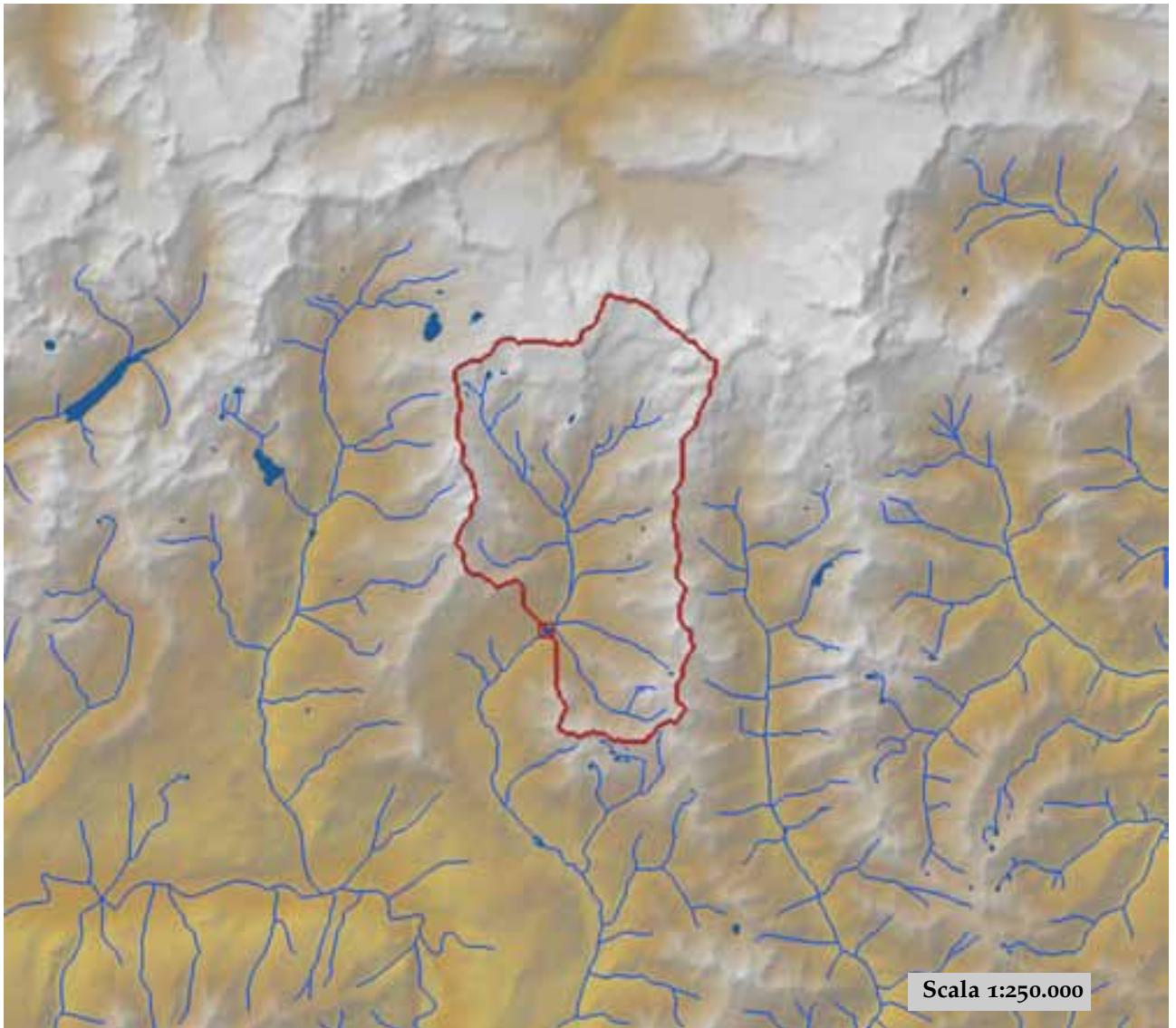


est (UTM _{32N} WGS84)	398845	nord (UTM _{32N} WGS84)	5070594
est DEM (UTM _{32N} WGS84)	398664	nord DEM (UTM _{32N} WGS84)	5070771
area bacino	133.63	quota media	2491

quota massima	4174	quota minima	1387
curva ipsografica 2,5%	3780	curva ipsografica 5%	3618
curva ipsografica 10%	3244	curva ipsografica 25%	2810
curva ipsografica 50%	2453	curva ipsografica 75%	2099
curva ipsografica 90%	1774	curva ipsografica 95%	1618
curva ipsografica 97,5%	1553	distanza interquartile curva ipsografica	711
angolo di esposizione medio	197	lunghezza vettore orientamento	8.8
pendenza bacino	23.974	pendenza bacino quadrato equivalente	18.46
est baricentro (UTM _{32N} WGS84)	401250	nord baricentro (UTM _{32N} WGS84)	5079150
fattore di forma	0.298	rapporto di allungamento	0.616
media funzione di ampiezza	12324	varianza funzione di ampiezza	2.55×10^7
skewness funzione di ampiezza	-0.344	kurtosis funzione di ampiezza	2.209
rapporto aree medie di due ordini adiacenti	4.554	rapporto di biforcazione	4.571
rapporto lunghezze medie di due ordini adiacenti	2.108	rapporto pendenze medie di due ordini adiacenti	1.467
densità di drenaggio	0.606	diametro topologico	21
lunghezza LDP	21.189	lunghezza asta principale	19.124
lunghezza totale reticolo idrografico	80.9	lunghezza media versanti	840
pendenza media LDP	10	media dell'afflusso totale annuo	932
deviazione standard dell'afflusso totale annuo	108	media coeff. pluviale orario CPP	13.948
dev. standard coeff. pluviale orario CPP	0.628	media esponente CPP	0.55
dev. standard esponente CPP	0.023	coeff. di intensità	0.015
media LCV piogge 1 ora	0.213	dev. standard LCV piogge 1 ora	0.012
media LCV piogge 3 ore	0.204	dev. standard LCV piogge 3 ore	0.013
media LCV piogge 6 ore	0.205	dev. standard LCV piogge 6 ore	0.006
media LCV piogge 12 ore	0.205	dev. standard LCV piogge 12 ore	0.006
media LCV piogge 24 ore	0.213	dev. standard LCV piogge 24 ore	0.006
media LCA piogge 1 ora	0.273	dev. standard LCA piogge 1 ora	0.016
media LCA piogge 3 ore	0.273	dev. standard LCA piogge 3 ore	0.013
media LCA piogge 6 ore	0.213	dev. standard LCA piogge 6 ore	0.008
media LCA piogge 12 ore	0.227	dev. standard LCA piogge 12 ore	0.006
media LCA piogge 24 ore	0.254	dev. standard LCA piogge 24 ore	0.01
media coeff. B1 regime pluviometrico	-14.5	media coeff. C1 regime pluviometrico	-5.2
media coeff. B2 regime pluviometrico	5.8	media coeff. C2 regime pluviometrico	-7.6
dev. standard regime pluviometrico	18.4	coeff. variaz. regime pluviometrico	0.373
classe 1 corine land cover	0.77	classe 2 corine land cover	27.96
classe 3 corine land cover	20.57	classe 4 corine land cover	50.75
classe 5 corine land cover	0	media NDVI	0.241
dev. standard NDVI	0.142	media curve number 1	43
media curve number 2	59.4	media curve number 3	72.9
dev. standard curve number 1	19.2	dev. standard curve number 2	22.8
dev. standard curve number 3	25	media indice di permeabilità vapi	0.524
dev. standard indice di permeabilità vapi	0.244		

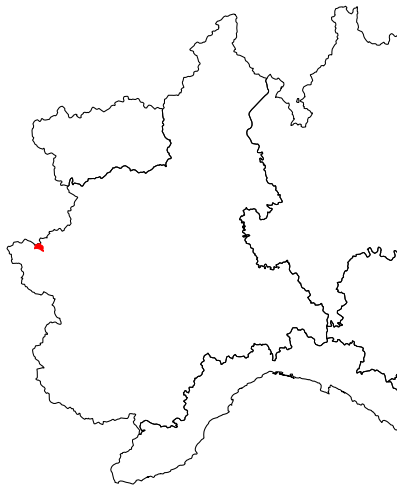


Evancon a Champoluc

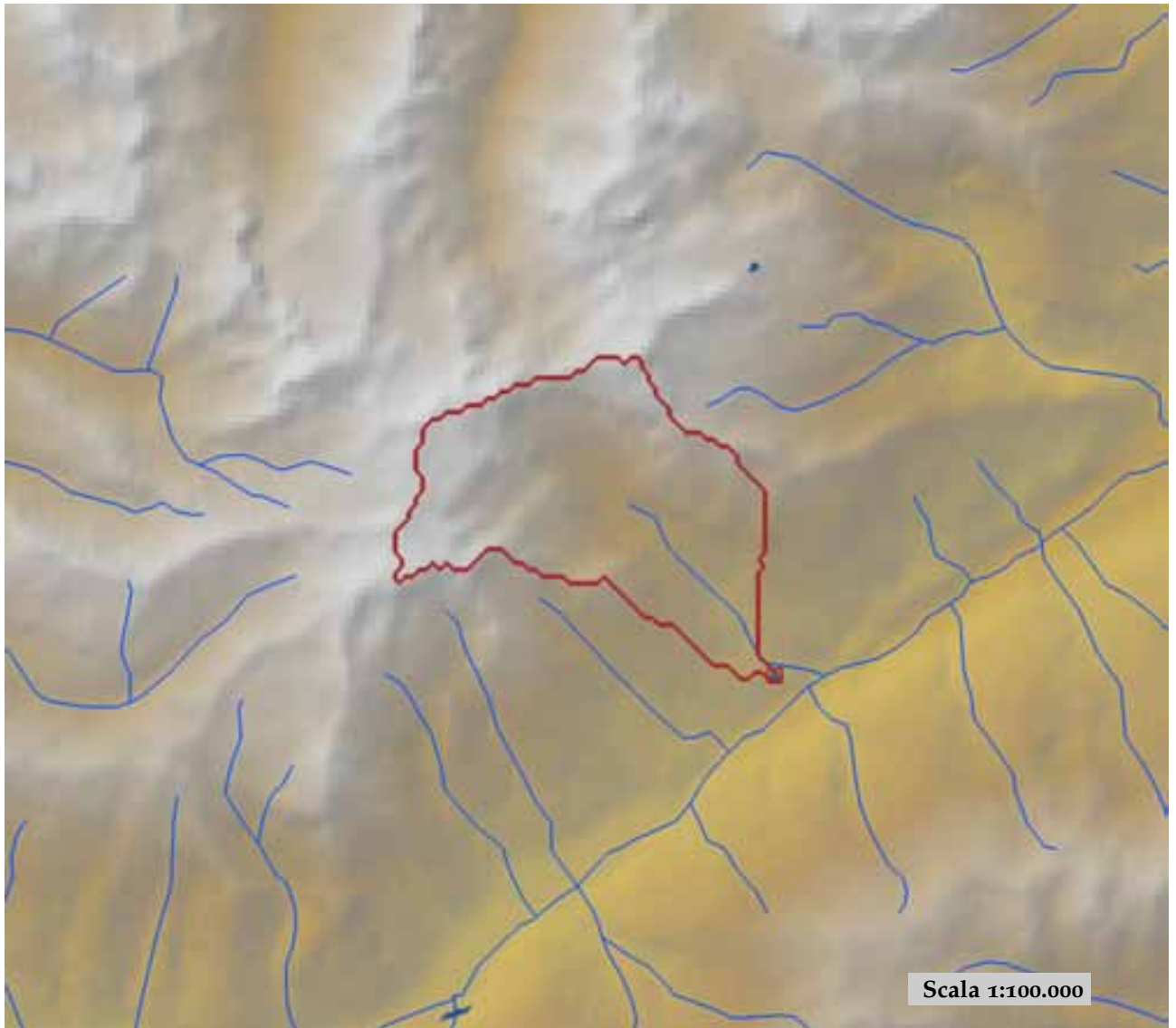


est (UTM ₃₂ N WGS84)	400645	nord (UTM ₃₂ N WGS84)	5075837
est DEM (UTM ₃₂ N WGS84)	400648	nord DEM (UTM ₃₂ N WGS84)	5075953
area bacino	102.36	quota media	2634

quota massima	4174	quota minima	1554
curva ipsografica 2,5%	3808	curva ipsografica 5%	3696
curva ipsografica 10%	3412	curva ipsografica 25%	2915
curva ipsografica 50%	2589	curva ipsografica 75%	2273
curva ipsografica 90%	2000	curva ipsografica 95%	1850
curva ipsografica 97,5%	1705	distanza interquartile curva ipsografica	642
angolo di esposizione medio	216	lunghezza vettore orientamento	4.8
pendenza bacino	24.19	pendenza bacino quadrato equivalente	20.48
est baricentro (UTM _{32N} WGS84)	402150	nord baricentro (UTM _{32N} WGS84)	5080550
fattore di forma	0.497	rapporto di allungamento	0.796
media funzione di ampiezza	7696	varianza funzione di ampiezza	1.11×10 ⁷
skewness funzione di ampiezza	0.022	kurtosis funzione di ampiezza	2.09
rapporto aree medie di due ordini adiacenti	4.275	rapporto di biforcazione	3.429
rapporto lunghezze medie di due ordini adiacenti	2.012	rapporto pendenze medie di due ordini adiacenti	1.518
densità di drenaggio	0.628	diametro topologico	13
lunghezza LDP	14.347	lunghezza asta principale	12.281
lunghezza totale reticolo idrografico	64.3	lunghezza media versanti	772
pendenza media LDP	13	media dell'afflusso totale annuo	973
deviazione standard dell'afflusso totale annuo	87	media coeff. pluviale orario CPP	13.803
dev. standard coeff. pluviale orario CPP	0.597	media esponente CPP	0.558
dev. standard esponente CPP	0.019	coeff. di intensità	0.014
media LCV piogge 1 ora	0.211	dev. standard LCV piogge 1 ora	0.012
media LCV piogge 3 ore	0.2	dev. standard LCV piogge 3 ore	0.011
media LCV piogge 6 ore	0.203	dev. standard LCV piogge 6 ore	0.005
media LCV piogge 12 ore	0.203	dev. standard LCV piogge 12 ore	0.006
media LCV piogge 24 ore	0.211	dev. standard LCV piogge 24 ore	0.005
media LCA piogge 1 ora	0.275	dev. standard LCA piogge 1 ora	0.014
media LCA piogge 3 ore	0.274	dev. standard LCA piogge 3 ore	0.013
media LCA piogge 6 ore	0.211	dev. standard LCA piogge 6 ore	0.008
media LCA piogge 12 ore	0.227	dev. standard LCA piogge 12 ore	0.006
media LCA piogge 24 ore	0.253	dev. standard LCA piogge 24 ore	0.011
media coeff. B1 regime pluviometrico	-15.1	media coeff. C1 regime pluviometrico	-3
media coeff. B2 regime pluviometrico	7	media coeff. C2 regime pluviometrico	-6.3
dev. standard regime pluviometrico	18.2	coeff. variaz. regime pluviometrico	0.388
classe 1 corine land cover	0.48	classe 2 corine land cover	21.49
classe 3 corine land cover	16.45	classe 4 corine land cover	61.62
classe 5 corine land cover	0	media NDVI	0.191
dev. standard NDVI	0.125	media curve number 1	45.7
media curve number 2	61.4	media curve number 3	73.5
dev. standard curve number 1	19.9	dev. standard curve number 2	24.4
dev. standard curve number 3	27.7	media indice di permeabilità vapi	0.554
dev. standard indice di permeabilità vapi	0.254		

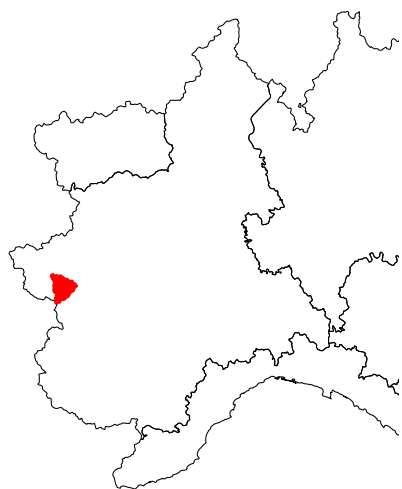


Galambra a presa centrale Chio- monte

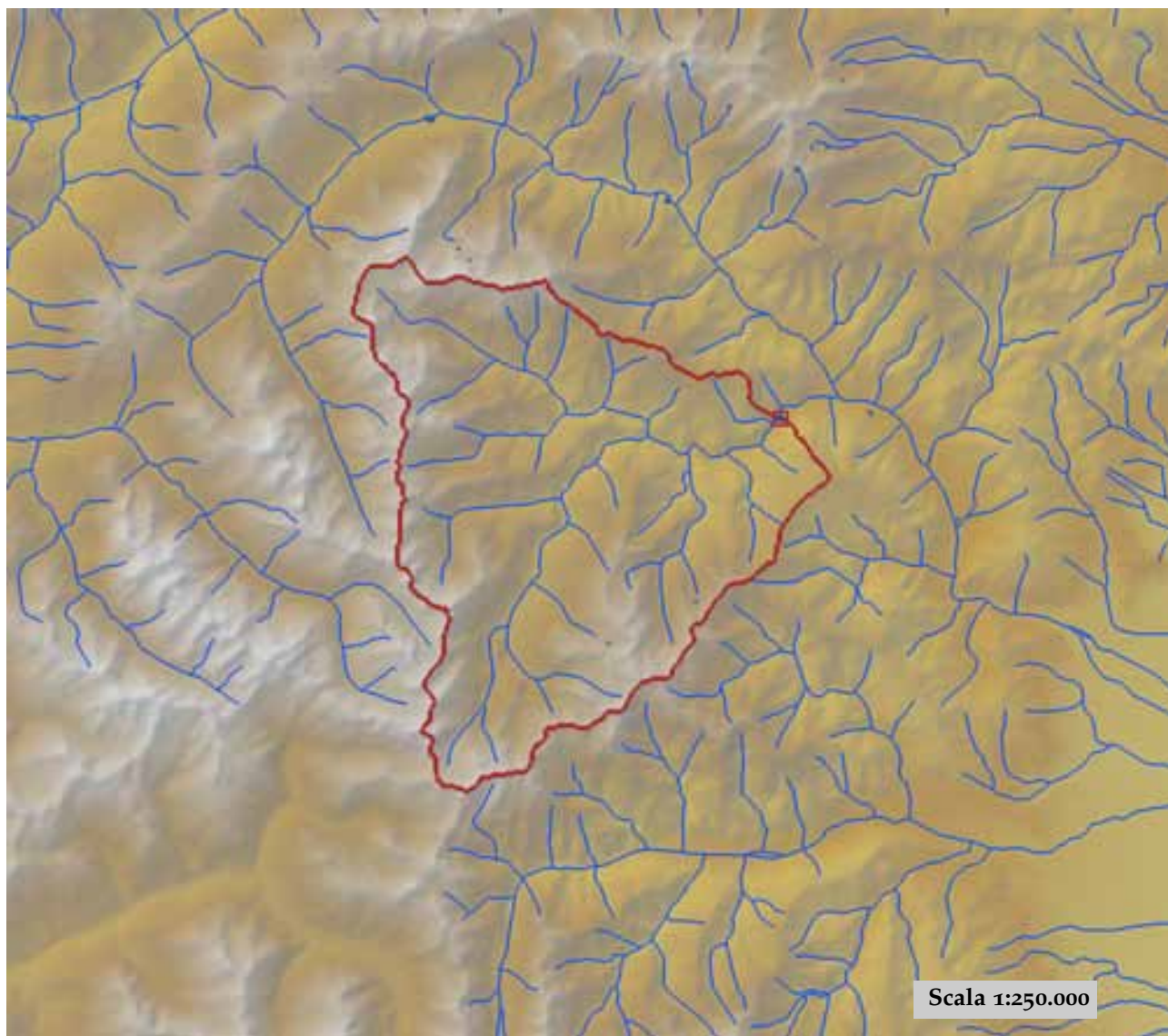


est (UTM ₃₂ N WGS84)	336552	nord (UTM ₃₂ N WGS84)	4995777
est DEM (UTM ₃₂ N WGS84)	336354	nord DEM (UTM ₃₂ N WGS84)	4995854
area bacino	14.71	quota media	2410

quota massima	3306	quota minima	1121
curva ipsografica 2,5%	3220	curva ipsografica 5%	3173
curva ipsografica 10%	3088	curva ipsografica 25%	2865
curva ipsografica 50%	2418	curva ipsografica 75%	2019
curva ipsografica 90%	1729	curva ipsografica 95%	1481
curva ipsografica 97,5%	1352	distanza interquartile curva ipsografica	846
angolo di esposizione medio	141	lunghezza vettore orientamento	3.7
pendenza bacino	27.411	pendenza bacino quadrato equivalente	67.738
est baricentro (UTM _{32N} WGS84)	333750	nord baricentro (UTM _{32N} WGS84)	4998450
fattore di forma	0.23	rapporto di allungamento	0.542
media funzione di ampiezza	4395	varianza funzione di ampiezza	2.95×10 ⁶
skewness funzione di ampiezza	-0.242	kurtosis funzione di ampiezza	2.331
rapporto aree medie di due ordini adiacenti	-	rapporto di biforcazione	8.174
rapporto lunghezze medie di due ordini adiacenti	0.556	rapporto pendenze medie di due ordini adiacenti	-
densità di drenaggio	-	diametro topologico	6
lunghezza LDP	7.991	lunghezza asta principale	6.243
lunghezza totale reticolo idrografico	-	lunghezza media versanti	860
pendenza media LDP	17	media dell'afflusso totale annuo	865
deviazione standard dell'afflusso totale annuo	20	media coeff. pluviale orario CPP	12.068
dev. standard coeff. pluviale orario CPP	0.528	media esponente CPP	0.552
dev. standard esponente CPP	0.008	coeff. di intensità	0.014
media LCV piogge 1 ora	0.196	dev. standard LCV piogge 1 ora	0.009
media LCV piogge 3 ore	0.141	dev. standard LCV piogge 3 ore	0.003
media LCV piogge 6 ore	0.152	dev. standard LCV piogge 6 ore	0.004
media LCV piogge 12 ore	0.163	dev. standard LCV piogge 12 ore	0.006
media LCV piogge 24 ore	0.172	dev. standard LCV piogge 24 ore	0.005
media LCA piogge 1 ora	0.169	dev. standard LCA piogge 1 ora	0.008
media LCA piogge 3 ore	0.147	dev. standard LCA piogge 3 ore	0.006
media LCA piogge 6 ore	0.179	dev. standard LCA piogge 6 ore	0.01
media LCA piogge 12 ore	0.167	dev. standard LCA piogge 12 ore	0.021
media LCA piogge 24 ore	0.184	dev. standard LCA piogge 24 ore	0.022
media coeff. B1 regime pluviometrico	-0.9	media coeff. C1 regime pluviometrico	3
media coeff. B2 regime pluviometrico	-4	media coeff. C2 regime pluviometrico	-20.8
dev. standard regime pluviometrico	16	coeff. variaz. regime pluviometrico	0.255
classe 1 corine land cover	0	classe 2 corine land cover	27.81
classe 3 corine land cover	15.68	classe 4 corine land cover	56.78
classe 5 corine land cover	0	media NDVI	0.241
dev. standard NDVI	0.155	media curve number 1	46.2
media curve number 2	62.3	media curve number 3	74.8
dev. standard curve number 1	18.2	dev. standard curve number 2	22.6
dev. standard curve number 3	26	media indice di permeabilità vapi	0.141
dev. standard indice di permeabilità vapi	0.055		



Germanasca a Perrero

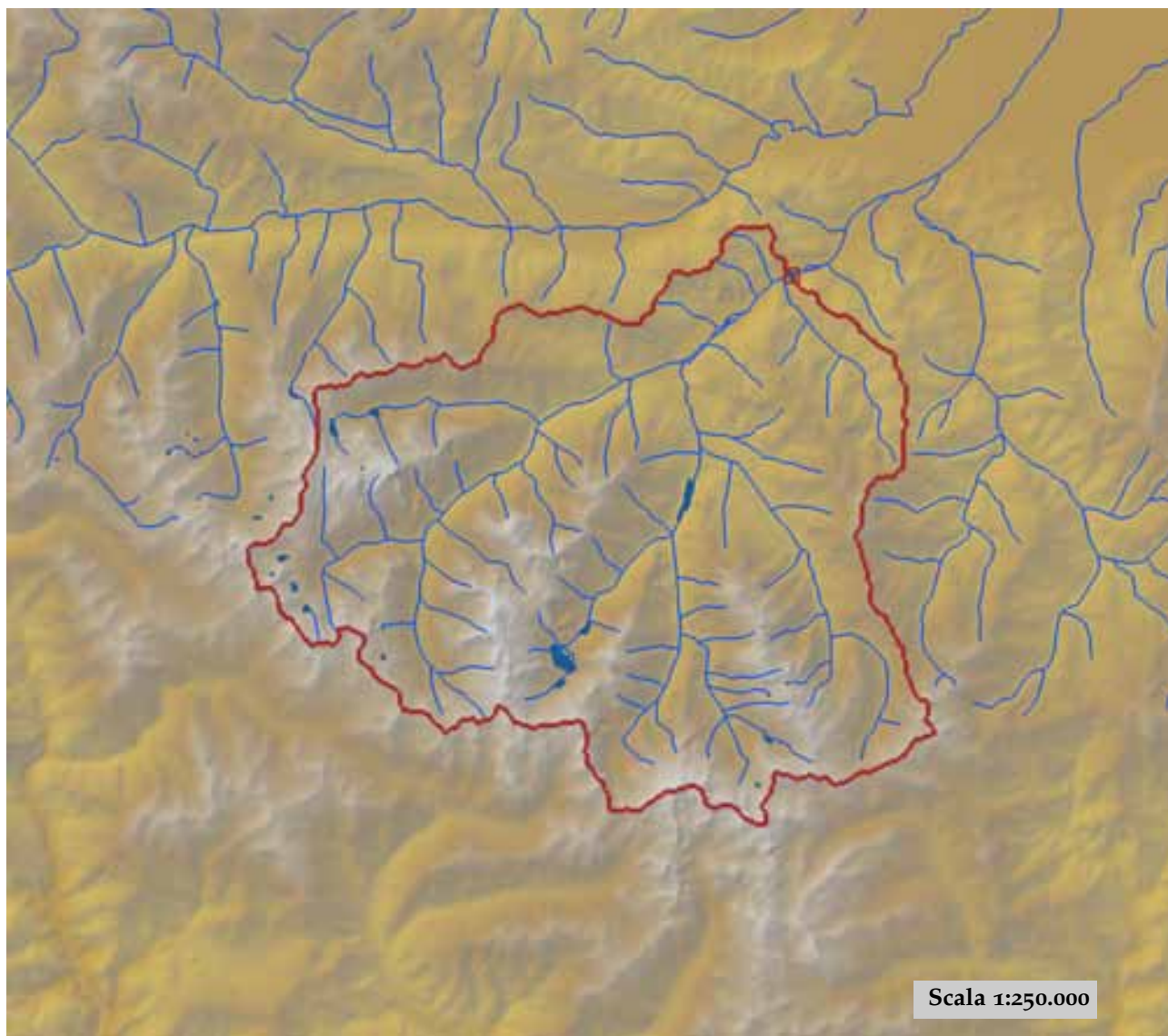


est (UTM _{32N} WGS84)	355062	nord (UTM _{32N} WGS84)	4978653
est DEM (UTM _{32N} WGS84)	355052	nord DEM (UTM _{32N} WGS84)	4978847
area bacino	189.1	quota media	1902

quota massima	3006	quota minima	665
curva ipsografica 2,5%	2793	curva ipsografica 5%	2713
curva ipsografica 10%	2594	curva ipsografica 25%	2305
curva ipsografica 50%	1909	curva ipsografica 75%	1517
curva ipsografica 90%	1198	curva ipsografica 95%	1027
curva ipsografica 97,5%	905	distanza interquartile curva ipsografica	788
angolo di esposizione medio	25	lunghezza vettore orientamento	8.5
pendenza bacino	26.3	pendenza bacino quadrato equivalente	18.107
est baricentro (UTM _{32N} WGS84)	347150	nord baricentro (UTM _{32N} WGS84)	4975750
fattore di forma	0.333	rapporto di allungamento	0.651
media funzione di ampiezza	13705	varianza funzione di ampiezza	2.96×10^7
skewness funzione di ampiezza	-0.384	kurtosis funzione di ampiezza	2.376
rapporto aree medie di due ordini adiacenti	5.061	rapporto di biforcazione	4.583
rapporto lunghezze medie di due ordini adiacenti	2.823	rapporto pendenze medie di due ordini adiacenti	2.179
densità di drenaggio	0.563	diametro topologico	17
lunghezza LDP	23.828	lunghezza asta principale	22.945
lunghezza totale reticolo idrografico	106.5	lunghezza media versanti	711
pendenza media LDP	10	media dell'afflusso totale annuo	1106
deviazione standard dell'afflusso totale annuo	80	media coeff. pluviale orario CPP	17.079
dev. standard coeff. pluviale orario CPP	1.855	media esponente CPP	0.525
dev. standard esponente CPP	0.029	coeff. di intensità	0.015
media LCV piogge 1 ora	0.179	dev. standard LCV piogge 1 ora	0.014
media LCV piogge 3 ore	0.162	dev. standard LCV piogge 3 ore	0.009
media LCV piogge 6 ore	0.169	dev. standard LCV piogge 6 ore	0.006
media LCV piogge 12 ore	0.2	dev. standard LCV piogge 12 ore	0.004
media LCV piogge 24 ore	0.224	dev. standard LCV piogge 24 ore	0.004
media LCA piogge 1 ora	0.166	dev. standard LCA piogge 1 ora	0.052
media LCA piogge 3 ore	0.068	dev. standard LCA piogge 3 ore	0.037
media LCA piogge 6 ore	0.138	dev. standard LCA piogge 6 ore	0.018
media LCA piogge 12 ore	0.206	dev. standard LCA piogge 12 ore	0.017
media LCA piogge 24 ore	0.256	dev. standard LCA piogge 24 ore	0.018
media coeff. B1 regime pluviometrico	-12.7	media coeff. C1 regime pluviometrico	-1.8
media coeff. B2 regime pluviometrico	-7.2	media coeff. C2 regime pluviometrico	-46.3
dev. standard regime pluviometrico	35.7	coeff. variaz. regime pluviometrico	0.382
classe 1 corine land cover	0	classe 2 corine land cover	58.46
classe 3 corine land cover	22.66	classe 4 corine land cover	18.9
classe 5 corine land cover	0	media NDVI	0.377
dev. standard NDVI	0.12	media curve number 1	45.9
media curve number 2	65.2	media curve number 3	81.2
dev. standard curve number 1	8.3	dev. standard curve number 2	7.5
dev. standard curve number 3	5.4	media indice di permeabilità vapi	0.421
dev. standard indice di permeabilità vapi	0.112		



Gesso a Andonno

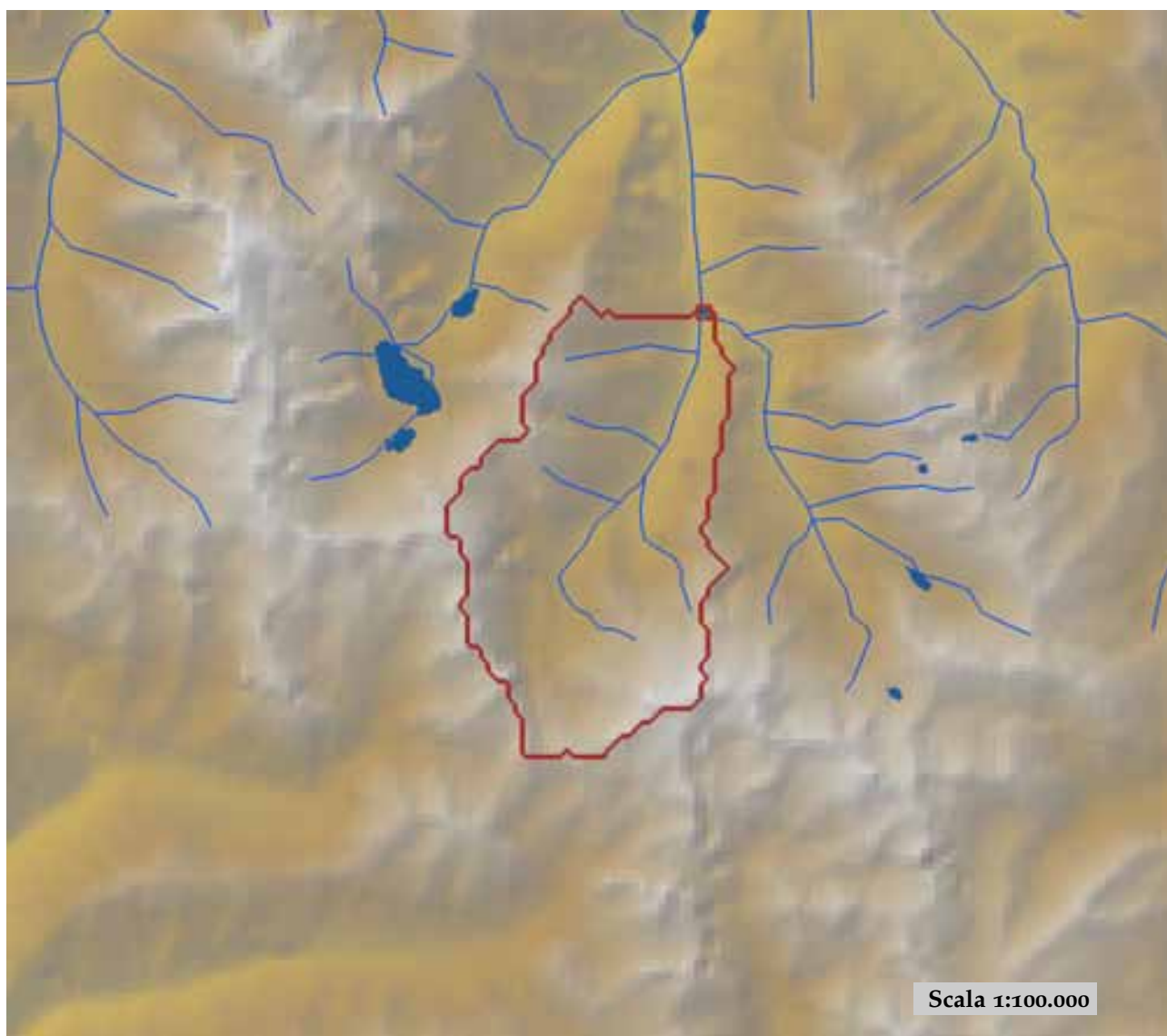


est (UTM ₃₂ N WGS84)	375079	nord (UTM ₃₂ N WGS84)	4905369
est DEM (UTM ₃₂ N WGS84)	375046	nord DEM (UTM ₃₂ N WGS84)	4905649
area bacino	336.47	quota media	1832

quota massima	3197	quota minima	705
curva ipsografica 2,5%	2762	curva ipsografica 5%	2672
curva ipsografica 10%	2551	curva ipsografica 25%	2289
curva ipsografica 50%	1847	curva ipsografica 75%	1382
curva ipsografica 90%	1068	curva ipsografica 95%	931
curva ipsografica 97,5%	844	distanza interquartile curva ipsografica	907
angolo di esposizione medio	27	lunghezza vettore orientamento	11.2
pendenza bacino	28.991	pendenza bacino quadrato equivalente	12.462
est baricentro (UTM _{32N} WGS84)	368950	nord baricentro (UTM _{32N} WGS84)	4896250
fattore di forma	0.518	rapporto di allungamento	0.812
media funzione di ampiezza	16822	varianza funzione di ampiezza	4.16×10 ⁷
skewness funzione di ampiezza	-0.565	kurtosis funzione di ampiezza	2.411
rapporto aree medie di due ordini adiacenti	5.666	rapporto di biforcazione	4.359
rapporto lunghezze medie di due ordini adiacenti	2.605	rapporto pendenze medie di due ordini adiacenti	2.652
densità di drenaggio	0.543	diametro topologico	19
lunghezza LDP	25.497	lunghezza asta principale	23.489
lunghezza totale reticolo idrografico	182.8	lunghezza media versanti	747
pendenza media LDP	10	media dell'afflusso totale annuo	1361
deviazione standard dell'afflusso totale annuo	59	media coeff. pluviale orario CPP	17.491
dev. standard coeff. pluviale orario CPP	1.883	media esponente CPP	0.533
dev. standard esponente CPP	0.035	coeff. di intensità	0.013
media LCV piogge 1 ora	0.185	dev. standard LCV piogge 1 ora	0.017
media LCV piogge 3 ore	0.141	dev. standard LCV piogge 3 ore	0.01
media LCV piogge 6 ore	0.141	dev. standard LCV piogge 6 ore	0.005
media LCV piogge 12 ore	0.156	dev. standard LCV piogge 12 ore	0.003
media LCV piogge 24 ore	0.167	dev. standard LCV piogge 24 ore	0.004
media LCA piogge 1 ora	0.153	dev. standard LCA piogge 1 ora	0.021
media LCA piogge 3 ore	0.161	dev. standard LCA piogge 3 ore	0.015
media LCA piogge 6 ore	0.173	dev. standard LCA piogge 6 ore	0.015
media LCA piogge 12 ore	0.253	dev. standard LCA piogge 12 ore	0.026
media LCA piogge 24 ore	0.25	dev. standard LCA piogge 24 ore	0.03
media coeff. B1 regime pluviometrico	10.8	media coeff. C1 regime pluviometrico	12.6
media coeff. B2 regime pluviometrico	-11.9	media coeff. C2 regime pluviometrico	-46.4
dev. standard regime pluviometrico	42.4	coeff. variaz. regime pluviometrico	0.338
classe 1 corine land cover	0.21	classe 2 corine land cover	44.59
classe 3 corine land cover	14.13	classe 4 corine land cover	40.81
classe 5 corine land cover	0.26	media NDVI	0.335
dev. standard NDVI	0.137	media curve number 1	33.7
media curve number 2	51.9	media curve number 3	69.5
dev. standard curve number 1	15.6	dev. standard curve number 2	16.3
dev. standard curve number 3	13.9	media indice di permeabilità vapi	0.286
dev. standard indice di permeabilità vapi	0.124		

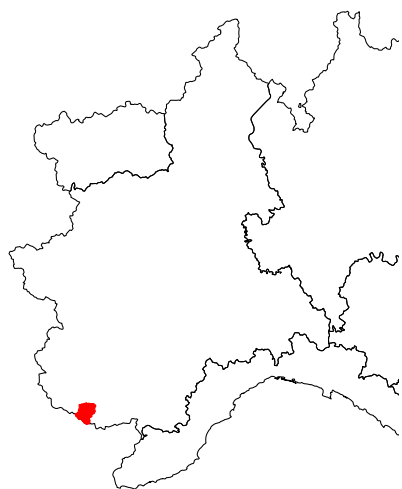


Gesso della Barra a San Giacomo

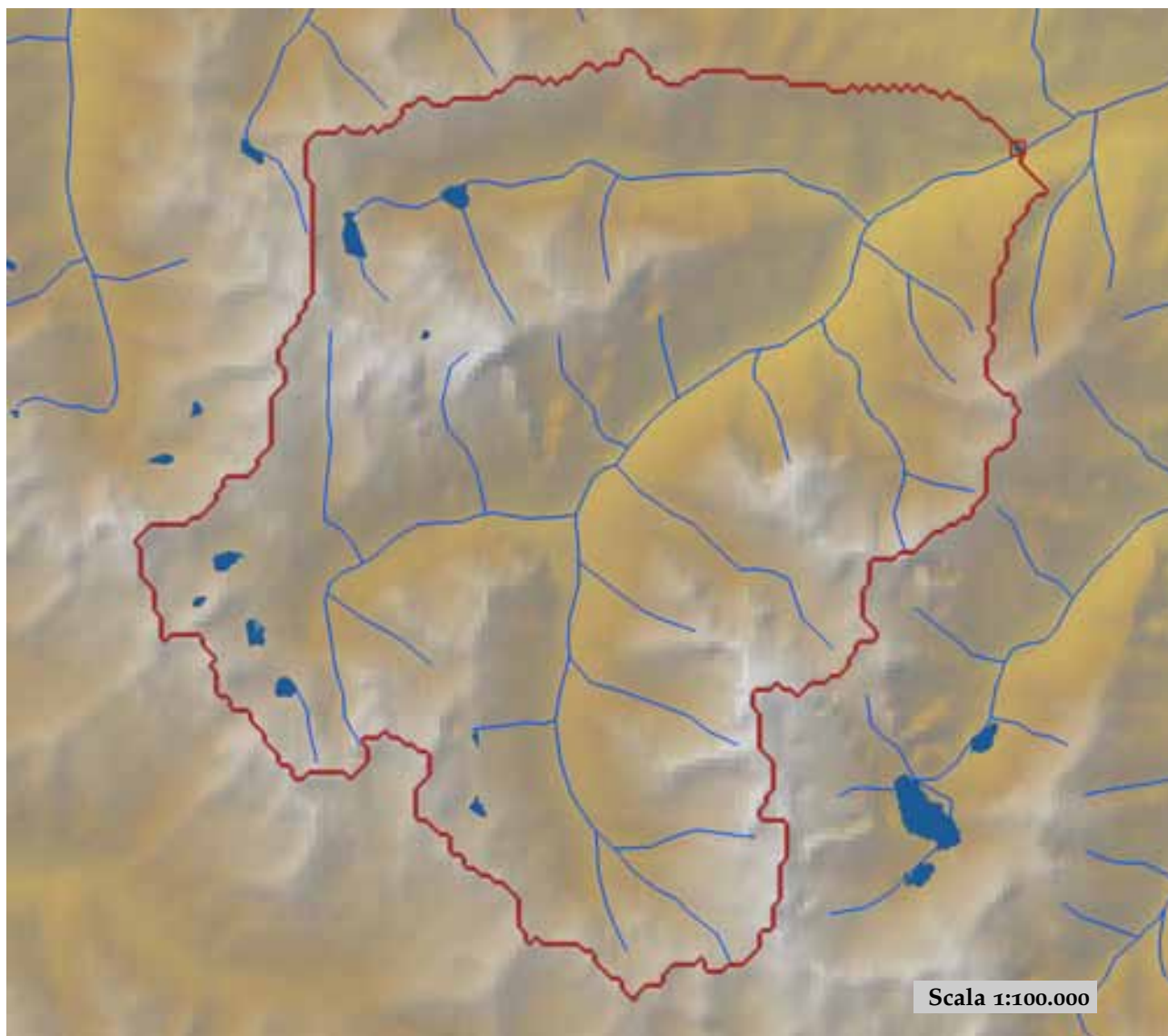


est (UTM _{32N} WGS84)	371050	nord (UTM _{32N} WGS84)	4892659
est DEM (UTM _{32N} WGS84)	371053	nord DEM (UTM _{32N} WGS84)	4892660
area bacino	19.62	quota media	2103

quota massima	2995	quota minima	1229
curva ipsografica 2,5%	2773	curva ipsografica 5%	2693
curva ipsografica 10%	2600	curva ipsografica 25%	2407
curva ipsografica 50%	2119	curva ipsografica 75%	1826
curva ipsografica 90%	1532	curva ipsografica 95%	1424
curva ipsografica 97,5%	1362	distanza interquartile curva ipsografica	581
angolo di esposizione medio	37	lunghezza vettore orientamento	3.5
pendenza bacino	32.281	pendenza bacino quadrato equivalente	40.231
est baricentro (UTM _{32N} WGS84)	369450	nord baricentro (UTM _{32N} WGS84)	4889550
fattore di forma	0.31	rapporto di allungamento	0.628
media funzione di ampiezza	4601	varianza funzione di ampiezza	3.72×10 ⁶
skewness funzione di ampiezza	-0.295	kurtosis funzione di ampiezza	2.076
rapporto aree medie di due ordini adiacenti	-	rapporto di biforcazione	10.184
rapporto lunghezze medie di due ordini adiacenti	0.519	rapporto pendenze medie di due ordini adiacenti	-
densità di drenaggio	-	diametro topologico	5
lunghezza LDP	7.96	lunghezza asta principale	6.753
lunghezza totale reticolo idrografico	-	lunghezza media versanti	796
pendenza media LDP	15	media dell'afflusso totale annuo	1405
deviazione standard dell'afflusso totale annuo	19	media coeff. pluviale orario CPP	17.888
dev. standard coeff. pluviale orario CPP	0.702	media esponente CPP	0.546
dev. standard esponente CPP	0.017	coeff. di intensità	0.013
media LCV piogge 1 ora	0.171	dev. standard LCV piogge 1 ora	0.007
media LCV piogge 3 ore	0.132	dev. standard LCV piogge 3 ore	0.003
media LCV piogge 6 ore	0.134	dev. standard LCV piogge 6 ore	0.002
media LCV piogge 12 ore	0.152	dev. standard LCV piogge 12 ore	0.002
media LCV piogge 24 ore	0.167	dev. standard LCV piogge 24 ore	0.004
media LCA piogge 1 ora	0.136	dev. standard LCA piogge 1 ora	0.006
media LCA piogge 3 ore	0.159	dev. standard LCA piogge 3 ore	0.006
media LCA piogge 6 ore	0.178	dev. standard LCA piogge 6 ore	0.003
media LCA piogge 12 ore	0.27	dev. standard LCA piogge 12 ore	0.005
media LCA piogge 24 ore	0.279	dev. standard LCA piogge 24 ore	0.005
media coeff. B1 regime pluviometrico	13.5	media coeff. C1 regime pluviometrico	0.9
media coeff. B2 regime pluviometrico	-14.8	media coeff. C2 regime pluviometrico	-54.3
dev. standard regime pluviometrico	42.1	coeff. variaz. regime pluviometrico	0.338
classe 1 corine land cover	0	classe 2 corine land cover	25.43
classe 3 corine land cover	15.68	classe 4 corine land cover	59.09
classe 5 corine land cover	0	media NDVI	0.241
dev. standard NDVI	0.078	media curve number 1	34.4
media curve number 2	52.2	media curve number 3	69.4
dev. standard curve number 1	16.8	dev. standard curve number 2	17.9
dev. standard curve number 3	15.4	media indice di permeabilità vapi	0.351
dev. standard indice di permeabilità vapi	0.173		



Gesso della Valletta a San Lorenzo

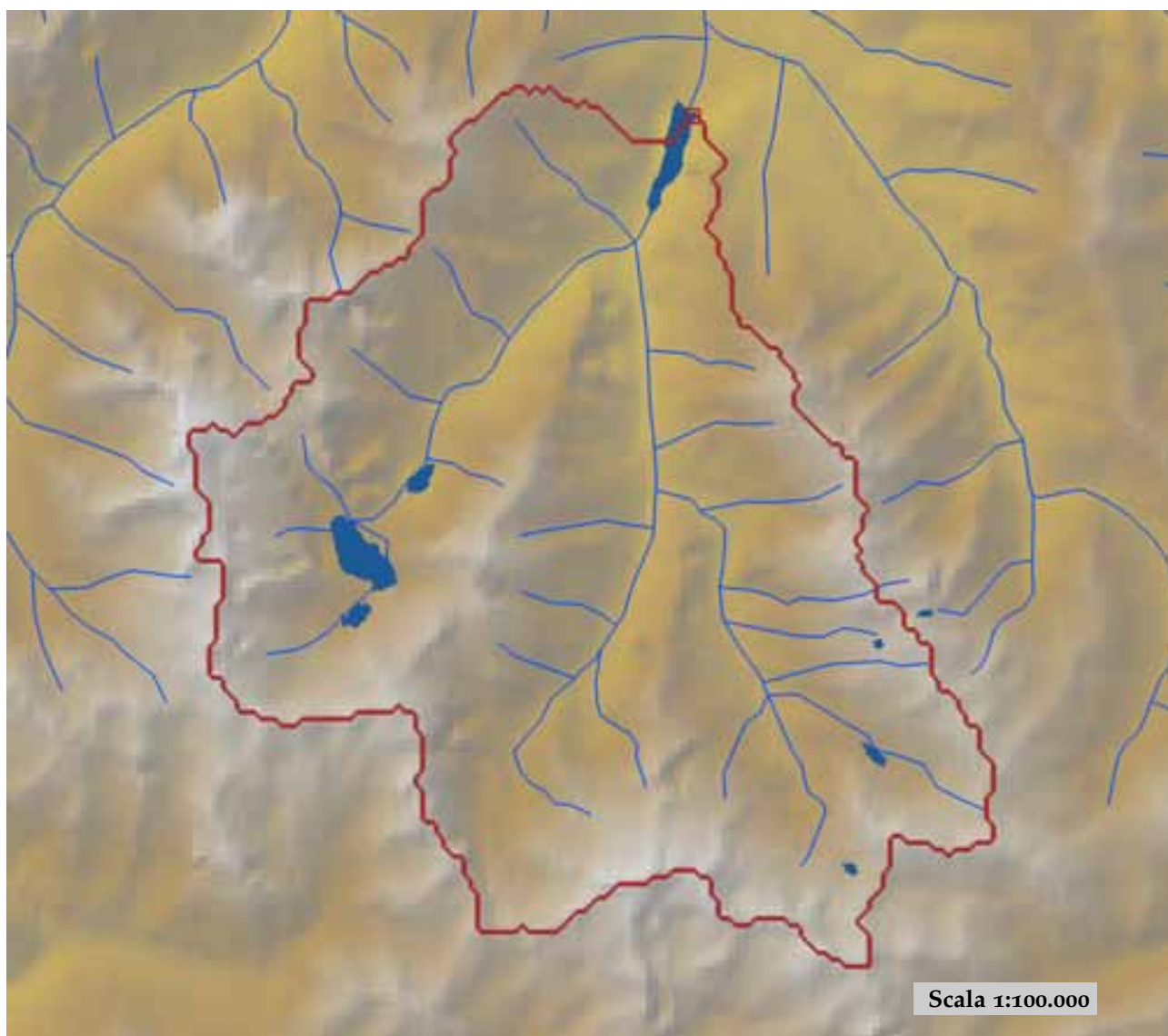


est (UTM _{32N} WGS84)	371071	nord (UTM _{32N} WGS84)	4901660
est DEM (UTM _{32N} WGS84)	368064	nord DEM (UTM _{32N} WGS84)	4901375
area bacino	110.79	quota media	2095

quota massima	3119	quota minima	895
curva ipsografica 2,5%	2808	curva ipsografica 5%	2730
curva ipsografica 10%	2628	curva ipsografica 25%	2443
curva ipsografica 50%	2160	curva ipsografica 75%	1779
curva ipsografica 90%	1450	curva ipsografica 95%	1254
curva ipsografica 97,5%	1126	distanza interquartile curva ipsografica	664
angolo di esposizione medio	38	lunghezza vettore orientamento	7.6
pendenza bacino	30.681	pendenza bacino quadrato equivalente	24.055
est baricentro (UTM _{32N} WGS84)	362050	nord baricentro (UTM _{32N} WGS84)	4896750
fattore di forma	0.383	rapporto di allungamento	0.699
media funzione di ampiezza	10675	varianza funzione di ampiezza	1.80×10 ⁷
skewness funzione di ampiezza	-0.353	kurtosis funzione di ampiezza	2.136
rapporto aree medie di due ordini adiacenti	7.255	rapporto di biforcazione	5.2
rapporto lunghezze medie di due ordini adiacenti	3.511	rapporto pendenze medie di due ordini adiacenti	1.915
densità di drenaggio	0.527	diametro topologico	16
lunghezza LDP	16.999	lunghezza asta principale	15.251
lunghezza totale reticolo idrografico	58.4	lunghezza media versanti	730
pendenza media LDP	10	media dell'afflusso totale annuo	1370
deviazione standard dell'afflusso totale annuo	66	media coeff. pluviale orario CPP	15.617
dev. standard coeff. pluviale orario CPP	0.992	media esponente CPP	0.562
dev. standard esponente CPP	0.019	coeff. di intensità	0.011
media LCV piogge 1 ora	0.202	dev. standard LCV piogge 1 ora	0.014
media LCV piogge 3 ore	0.15	dev. standard LCV piogge 3 ore	0.008
media LCV piogge 6 ore	0.141	dev. standard LCV piogge 6 ore	0.003
media LCV piogge 12 ore	0.158	dev. standard LCV piogge 12 ore	0.003
media LCV piogge 24 ore	0.17	dev. standard LCV piogge 24 ore	0.004
media LCA piogge 1 ora	0.142	dev. standard LCA piogge 1 ora	0.018
media LCA piogge 3 ore	0.156	dev. standard LCA piogge 3 ore	0.017
media LCA piogge 6 ore	0.185	dev. standard LCA piogge 6 ore	0.014
media LCA piogge 12 ore	0.246	dev. standard LCA piogge 12 ore	0.028
media LCA piogge 24 ore	0.254	dev. standard LCA piogge 24 ore	0.021
media coeff. B1 regime pluviometrico	13.3	media coeff. C1 regime pluviometrico	2.3
media coeff. B2 regime pluviometrico	-14.6	media coeff. C2 regime pluviometrico	-53.1
dev. standard regime pluviometrico	42.2	coeff. variaz. regime pluviometrico	0.337
classe 1 corine land cover	0.23	classe 2 corine land cover	28.97
classe 3 corine land cover	9.72	classe 4 corine land cover	61.13
classe 5 corine land cover	0	media NDVI	0.248
dev. standard NDVI	0.111	media curve number 1	34.2
media curve number 2	52.2	media curve number 3	69.6
dev. standard curve number 1	17	dev. standard curve number 2	17.4
dev. standard curve number 3	14.3	media indice di permeabilità vapi	0.354
dev. standard indice di permeabilità vapi	0.102		

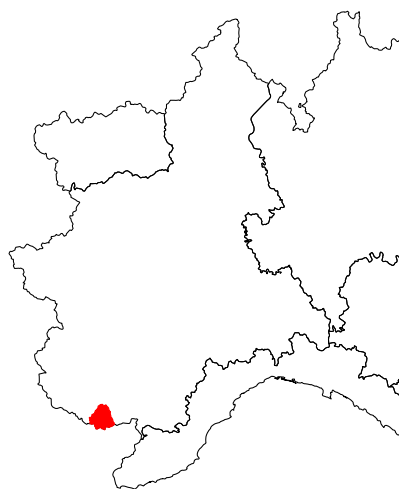


Gesso di Entracque a Diga di Piastra

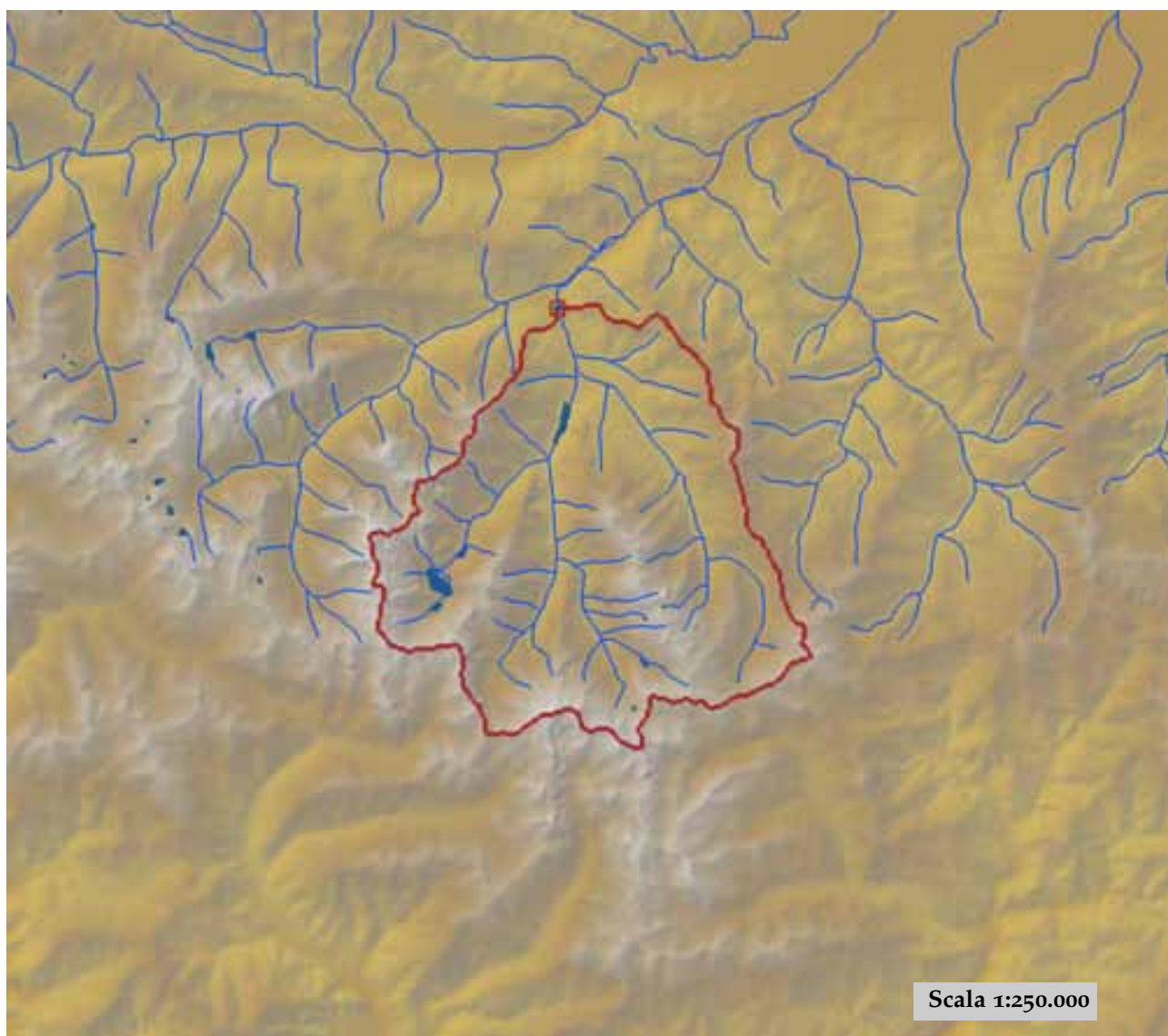


est (UTM ₃₂ N WGS84)	371532	nord (UTM ₃₂ N WGS84)	4898058
est DEM (UTM ₃₂ N WGS84)	371532	nord DEM (UTM ₃₂ N WGS84)	4898058
area bacino	87.44	quota media	2047

quota massima	3197	quota minima	948
curva ipsografica 2,5%	2860	curva ipsografica 5%	2751
curva ipsografica 10%	2635	curva ipsografica 25%	2420
curva ipsografica 50%	2076	curva ipsografica 75%	1691
curva ipsografica 90%	1396	curva ipsografica 95%	1237
curva ipsografica 97,5%	1125	distanza interquartile curva ipsografica	729
angolo di esposizione medio	28	lunghezza vettore orientamento	6.5
pendenza bacino	31.787	pendenza bacino quadrato equivalente	24.147
est baricentro (UTM _{32N} WGS84)	369950	nord baricentro (UTM _{32N} WGS84)	4891750
fattore di forma	0.402	rapporto di allungamento	0.716
media funzione di ampiezza	9070	varianza funzione di ampiezza	1.08×10 ⁷
skewness funzione di ampiezza	-0.467	kurtosis funzione di ampiezza	2.269
rapporto aree medie di due ordini adiacenti	12.005	rapporto di biforcazione	6.667
rapporto lunghezze medie di due ordini adiacenti	6.552	rapporto pendenze medie di due ordini adiacenti	3.415
densità di drenaggio	0.501	diametro topologico	9
lunghezza LDP	14.74	lunghezza asta principale	12.733
lunghezza totale reticolo idrografico	43.8	lunghezza media versanti	814
pendenza media LDP	13	media dell'afflusso totale annuo	1401
deviazione standard dell'afflusso totale annuo	28	media coeff. pluviale orario CPP	17.705
dev. standard coeff. pluviale orario CPP	1.046	media esponente CPP	0.545
dev. standard esponente CPP	0.024	coeff. di intensità	0.013
media LCV piogge 1 ora	0.175	dev. standard LCV piogge 1 ora	0.011
media LCV piogge 3 ore	0.133	dev. standard LCV piogge 3 ore	0.004
media LCV piogge 6 ore	0.136	dev. standard LCV piogge 6 ore	0.003
media LCV piogge 12 ore	0.154	dev. standard LCV piogge 12 ore	0.002
media LCV piogge 24 ore	0.167	dev. standard LCV piogge 24 ore	0.004
media LCA piogge 1 ora	0.14	dev. standard LCA piogge 1 ora	0.01
media LCA piogge 3 ore	0.158	dev. standard LCA piogge 3 ore	0.008
media LCA piogge 6 ore	0.176	dev. standard LCA piogge 6 ore	0.006
media LCA piogge 12 ore	0.272	dev. standard LCA piogge 12 ore	0.005
media LCA piogge 24 ore	0.278	dev. standard LCA piogge 24 ore	0.009
media coeff. B1 regime pluviometrico	12.4	media coeff. C1 regime pluviometrico	12.9
media coeff. B2 regime pluviometrico	-12.7	media coeff. C2 regime pluviometrico	-47.2
dev. standard regime pluviometrico	42.6	coeff. variaz. regime pluviometrico	0.334
classe 1 corine land cover	0	classe 2 corine land cover	31.3
classe 3 corine land cover	8.04	classe 4 corine land cover	59.84
classe 5 corine land cover	0.88	media NDVI	0.277
dev. standard NDVI	0.11	media curve number 1	34.5
media curve number 2	52.1	media curve number 3	69.1
dev. standard curve number 1	17.8	dev. standard curve number 2	18.6
dev. standard curve number 3	16.2	media indice di permeabilità vapi	0.276
dev. standard indice di permeabilità vapi	0.092		

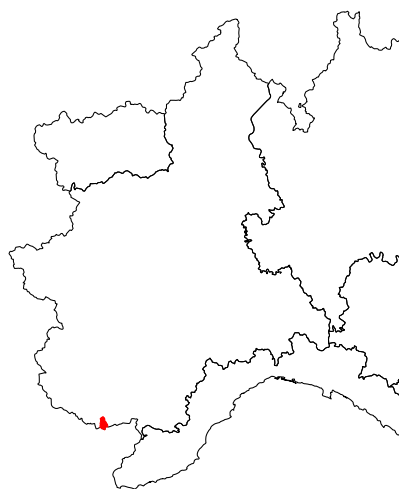


Gesso di Entracque a Entracque

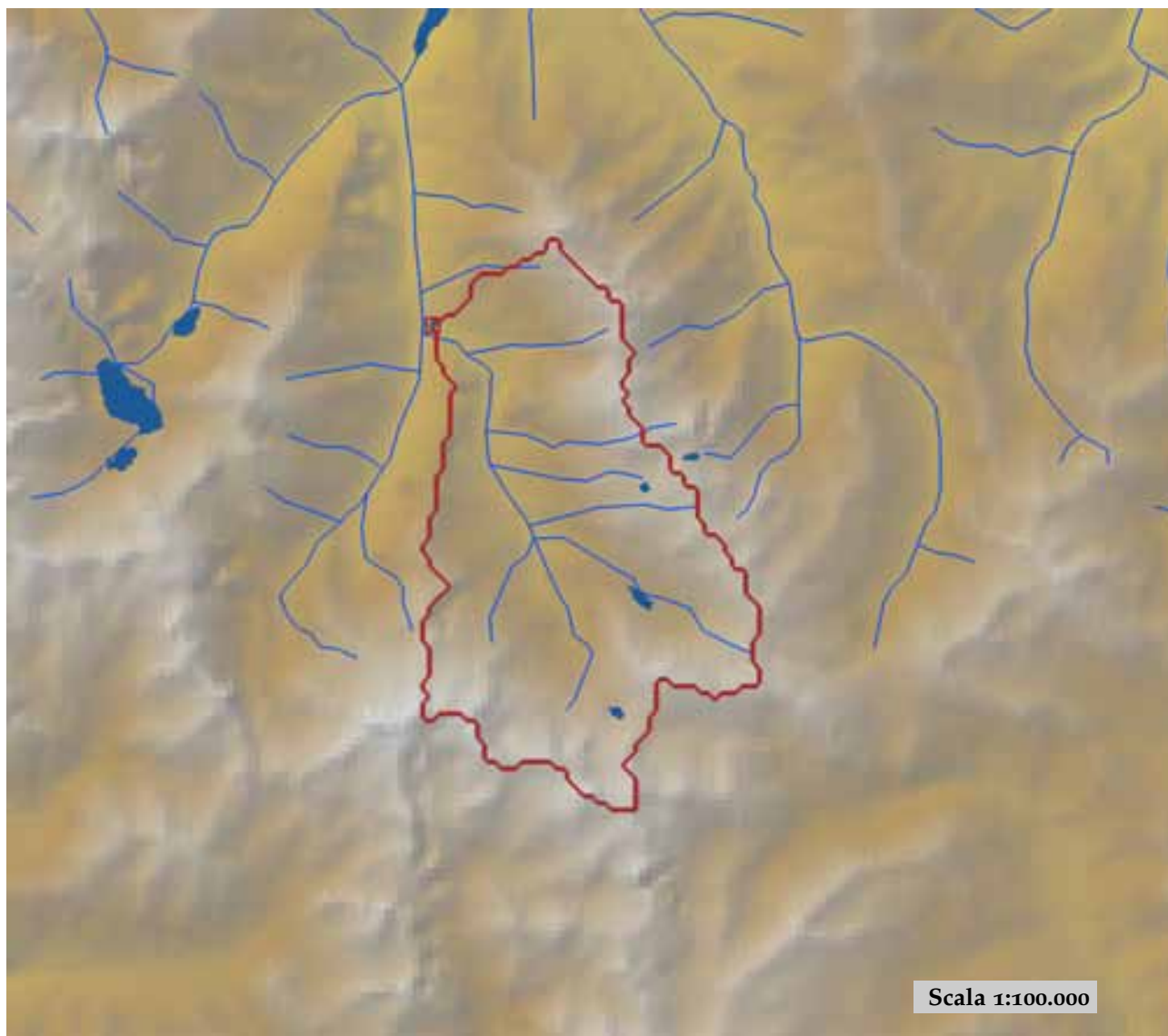


est (UTM _{32N} WGS84)	368094	nord (UTM _{32N} WGS84)	4901309
est DEM (UTM _{32N} WGS84)	371058	nord DEM (UTM _{32N} WGS84)	4901682
area bacino	159.89	quota media	1880

quota massima	3197	quota minima	804
curva ipsografica 2,5%	2770	curva ipsografica 5%	2676
curva ipsografica 10%	2560	curva ipsografica 25%	2289
curva ipsografica 50%	1900	curva ipsografica 75%	1471
curva ipsografica 90%	1160	curva ipsografica 95%	1043
curva ipsografica 97,5%	948	distanza interquartile curva ipsografica	818
angolo di esposizione medio	4	lunghezza vettore orientamento	8.5
pendenza bacino	29.562	pendenza bacino quadrato equivalente	17.351
est baricentro (UTM _{32N} WGS84)	372250	nord baricentro (UTM _{32N} WGS84)	4893250
fattore di forma	0.457	rapporto di allungamento	0.763
media funzione di ampiezza	11596	varianza funzione di ampiezza	1.93×10^7
skewness funzione di ampiezza	-0.376	kurtosis funzione di ampiezza	2.244
rapporto aree medie di due ordini adiacenti	5.767	rapporto di biforcazione	4.301
rapporto lunghezze medie di due ordini adiacenti	2.81	rapporto pendenze medie di due ordini adiacenti	2.611
densità di drenaggio	0.536	diametro topologico	12
lunghezza LDP	18.712	lunghezza asta principale	16.705
lunghezza totale reticolo idrografico	85.7	lunghezza media versanti	778
pendenza media LDP	12	media dell'afflusso totale annuo	1382
deviazione standard dell'afflusso totale annuo	37	media coeff. pluviale orario CPP	18.257
dev. standard coeff. pluviale orario CPP	1.262	media esponente CPP	0.531
dev. standard esponente CPP	0.026	coeff. di intensità	0.013
media LCV piogge 1 ora	0.174	dev. standard LCV piogge 1 ora	0.009
media LCV piogge 3 ore	0.134	dev. standard LCV piogge 3 ore	0.004
media LCV piogge 6 ore	0.138	dev. standard LCV piogge 6 ore	0.004
media LCV piogge 12 ore	0.155	dev. standard LCV piogge 12 ore	0.002
media LCV piogge 24 ore	0.166	dev. standard LCV piogge 24 ore	0.004
media LCA piogge 1 ora	0.153	dev. standard LCA piogge 1 ora	0.018
media LCA piogge 3 ore	0.163	dev. standard LCA piogge 3 ore	0.01
media LCA piogge 6 ore	0.173	dev. standard LCA piogge 6 ore	0.008
media LCA piogge 12 ore	0.269	dev. standard LCA piogge 12 ore	0.009
media LCA piogge 24 ore	0.265	dev. standard LCA piogge 24 ore	0.018
media coeff. B1 regime pluviometrico	12.7	media coeff. C1 regime pluviometrico	22.4
media coeff. B2 regime pluviometrico	-11.7	media coeff. C2 regime pluviometrico	-43
dev. standard regime pluviometrico	44.8	coeff. variaz. regime pluviometrico	0.339
classe 1 corine land cover	0.29	classe 2 corine land cover	42.02
classe 3 corine land cover	15.59	classe 4 corine land cover	41.58
classe 5 corine land cover	0.56	media NDVI	0.325
dev. standard NDVI	0.124	media curve number 1	30.8
media curve number 2	48.6	media curve number 3	66.7
dev. standard curve number 1	14.9	dev. standard curve number 2	15.8
dev. standard curve number 3	13.8	media indice di permeabilità vapi	0.292
dev. standard indice di permeabilità vapi	0.131		

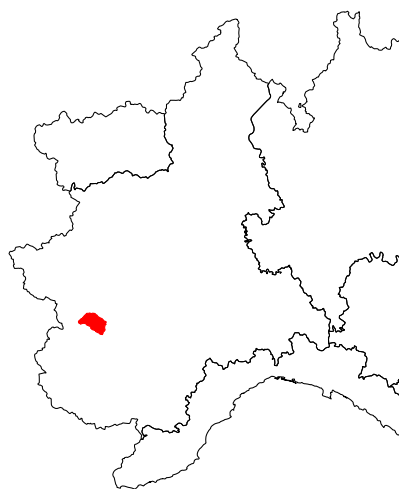


Gesso di Monte Colombo a San Giacomo

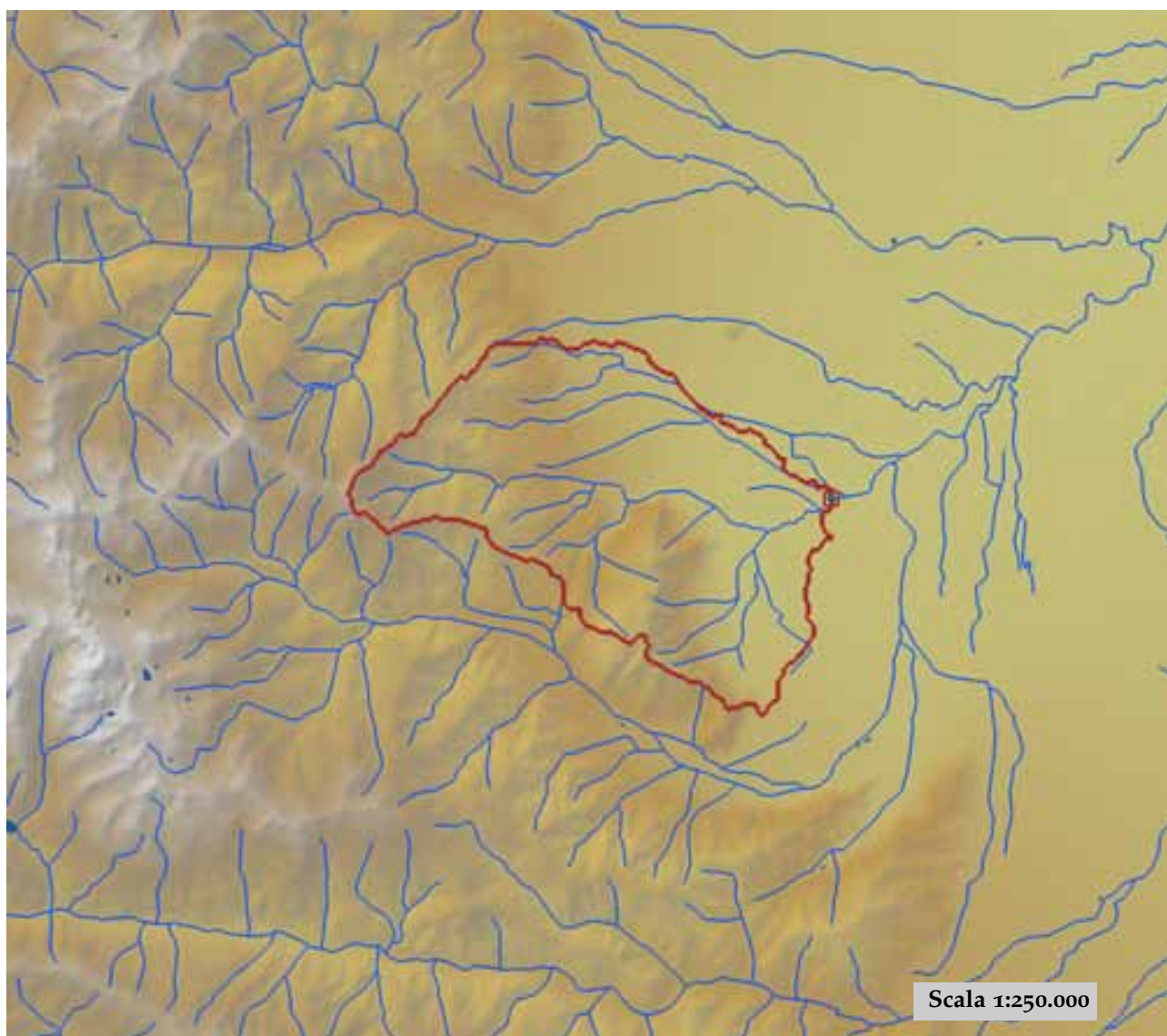


est (UTM ₃₂ N WGS84)	371309	nord (UTM ₃₂ N WGS84)	4892550
est DEM (UTM ₃₂ N WGS84)	371147	nord DEM (UTM ₃₂ N WGS84)	4892751
area bacino	25.18	quota media	2160

quota massima	3048	quota minima	1236
curva ipsografica 2,5%	2801	curva ipsografica 5%	2729
curva ipsografica 10%	2643	curva ipsografica 25%	2480
curva ipsografica 50%	2202	curva ipsografica 75%	1849
curva ipsografica 90%	1572	curva ipsografica 95%	1463
curva ipsografica 97,5%	1414	distanza interquartile curva ipsografica	631
angolo di esposizione medio	300	lunghezza vettore orientamento	3.6
pendenza bacino	30.492	pendenza bacino quadrato equivalente	38.581
est baricentro (UTM _{32N} WGS84)	373050	nord baricentro (UTM _{32N} WGS84)	4889650
fattore di forma	0.342	rapporto di allungamento	0.66
media funzione di ampiezza	5012	varianza funzione di ampiezza	4.23×10 ⁶
skewness funzione di ampiezza	-0.346	kurtosis funzione di ampiezza	1.994
rapporto aree medie di due ordini adiacenti	-	rapporto di biforcazione	11.84
rapporto lunghezze medie di due ordini adiacenti	0.47	rapporto pendenze medie di due ordini adiacenti	-
densità di drenaggio	-	diametro topologico	6
lunghezza LDP	8.577	lunghezza asta principale	6.57
lunghezza totale reticolo idrografico	-	lunghezza media versanti	870
pendenza media LDP	15	media dell'afflusso totale annuo	1394
deviazione standard dell'afflusso totale annuo	15	media coeff. pluviale orario CPP	18.621
dev. standard coeff. pluviale orario CPP	0.481	media esponente CPP	0.531
dev. standard esponente CPP	0.01	coeff. di intensità	0.013
media LCV piogge 1 ora	0.167	dev. standard LCV piogge 1 ora	0.005
media LCV piogge 3 ore	0.131	dev. standard LCV piogge 3 ore	0.002
media LCV piogge 6 ore	0.135	dev. standard LCV piogge 6 ore	0.001
media LCV piogge 12 ore	0.153	dev. standard LCV piogge 12 ore	0.002
media LCV piogge 24 ore	0.168	dev. standard LCV piogge 24 ore	0.004
media LCA piogge 1 ora	0.151	dev. standard LCA piogge 1 ora	0.005
media LCA piogge 3 ore	0.161	dev. standard LCA piogge 3 ore	0.006
media LCA piogge 6 ore	0.177	dev. standard LCA piogge 6 ore	0.003
media LCA piogge 12 ore	0.273	dev. standard LCA piogge 12 ore	0.004
media LCA piogge 24 ore	0.27	dev. standard LCA piogge 24 ore	0.004
media coeff. B1 regime pluviometrico	14	media coeff. C1 regime pluviometrico	36.9
media coeff. B2 regime pluviometrico	-10.9	media coeff. C2 regime pluviometrico	-37.2
dev. standard regime pluviometrico	49	coeff. variaz. regime pluviometrico	0.35
classe 1 corine land cover	0	classe 2 corine land cover	30.63
classe 3 corine land cover	9.9	classe 4 corine land cover	59.63
classe 5 corine land cover	0	media NDVI	0.269
dev. standard NDVI	0.088	media curve number 1	33.6
media curve number 2	51.9	media curve number 3	69.7
dev. standard curve number 1	15.3	dev. standard curve number 2	15.9
dev. standard curve number 3	13.1	media indice di permeabilità vapi	0.283
dev. standard indice di permeabilità vapi	0.108		

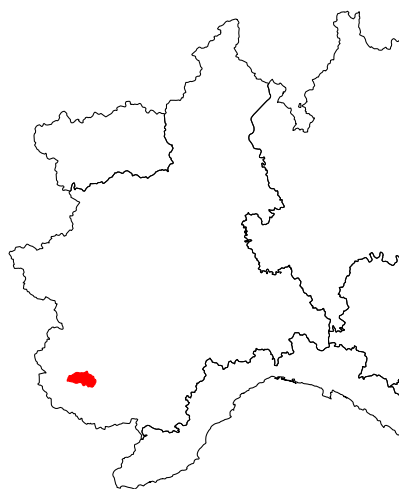


Ghiandone a Staffarda

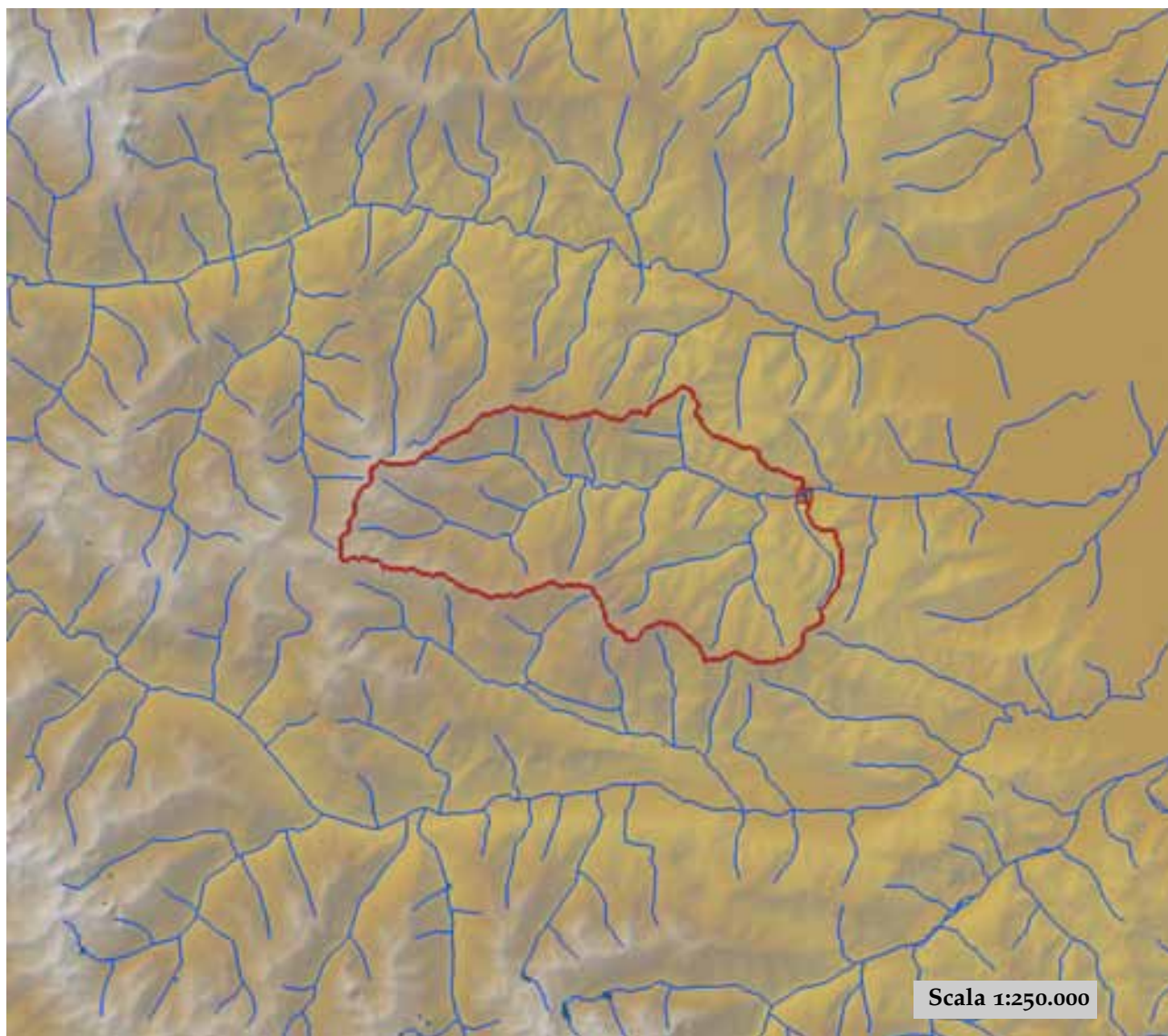


est (UTM ₃₂ N WGS84)	375770	nord (UTM ₃₂ N WGS84)	4953868
est DEM (UTM ₃₂ N WGS84)	374857	nord DEM (UTM ₃₂ N WGS84)	4953855
area bacino	129.3	quota media	605

quota massima	2366	quota minima	261
curva ipsografica 2,5%	1719	curva ipsografica 5%	1405
curva ipsografica 10%	1177	curva ipsografica 25%	761
curva ipsografica 50%	457	curva ipsografica 75%	311
curva ipsografica 90%	275	curva ipsografica 95%	271
curva ipsografica 97,5%	267	distanza interquartile curva ipsografica	450
angolo di esposizione medio	68	lunghezza vettore orientamento	7.7
pendenza bacino	10.743	pendenza bacino quadrato equivalente	3.465
est baricentro (UTM _{32N} WGS84)	367150	nord baricentro (UTM _{32N} WGS84)	4953650
fattore di forma	0.264	rapporto di allungamento	0.58
media funzione di ampiezza	11222	varianza funzione di ampiezza	2.31×10^7
skewness funzione di ampiezza	0.049	kurtosis funzione di ampiezza	2.267
rapporto aree medie di due ordini adiacenti	3.201	rapporto di biforcazione	2.915
rapporto lunghezze medie di due ordini adiacenti	1.248	rapporto pendenze medie di due ordini adiacenti	2.286
densità di drenaggio	0.863	diametro topologico	10
lunghezza LDP	22.138	lunghezza asta principale	20.831
lunghezza totale reticolo idrografico	111.6	lunghezza media versanti	805
pendenza media LDP	7	media dell'afflusso totale annuo	1138
deviazione standard dell'afflusso totale annuo	87	media coeff. pluviale orario CPP	26.504
dev. standard coeff. pluviale orario CPP	1.501	media esponente CPP	0.417
dev. standard esponente CPP	0.03	coeff. di intensità	0.023
media LCV piogge 1 ora	0.154	dev. standard LCV piogge 1 ora	0.026
media LCV piogge 3 ore	0.152	dev. standard LCV piogge 3 ore	0.023
media LCV piogge 6 ore	0.16	dev. standard LCV piogge 6 ore	0.022
media LCV piogge 12 ore	0.171	dev. standard LCV piogge 12 ore	0.02
media LCV piogge 24 ore	0.192	dev. standard LCV piogge 24 ore	0.017
media LCA piogge 1 ora	0.169	dev. standard LCA piogge 1 ora	0.039
media LCA piogge 3 ore	0.179	dev. standard LCA piogge 3 ore	0.029
media LCA piogge 6 ore	0.16	dev. standard LCA piogge 6 ore	0.034
media LCA piogge 12 ore	0.128	dev. standard LCA piogge 12 ore	0.013
media LCA piogge 24 ore	0.114	dev. standard LCA piogge 24 ore	0.024
media coeff. B1 regime pluviometrico	-30	media coeff. C1 regime pluviometrico	-2.3
media coeff. B2 regime pluviometrico	-3.3	media coeff. C2 regime pluviometrico	-44.6
dev. standard regime pluviometrico	40.2	coeff. variaz. regime pluviometrico	0.398
classe 1 corine land cover	3.1	classe 2 corine land cover	43.57
classe 3 corine land cover	52.8	classe 4 corine land cover	0.57
classe 5 corine land cover	0	media NDVI	0.574
dev. standard NDVI	0.072	media curve number 1	49.2
media curve number 2	68.4	media curve number 3	83.5
dev. standard curve number 1	7.1	dev. standard curve number 2	6.8
dev. standard curve number 3	5.3	media indice di permeabilità vapi	0.542
dev. standard indice di permeabilità vapi	0.099		

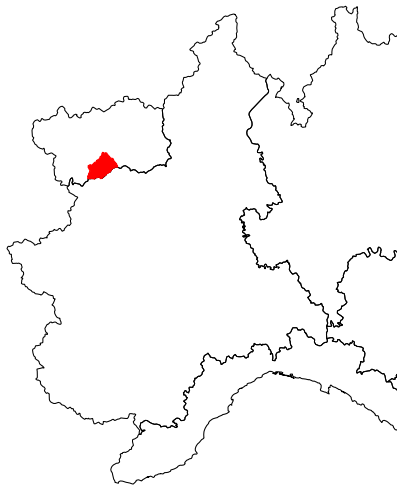


Grana a Monterosso



est (UTM ₃₂ N WGS84)	366585	nord (UTM ₃₂ N WGS84)	4918708
est DEM (UTM ₃₂ N WGS84)	367078	nord DEM (UTM ₃₂ N WGS84)	4918842
area bacino	109.77	quota media	1542

quota massima	2618	quota minima	713
curva ipsografica 2,5%	2420	curva ipsografica 5%	2321
curva ipsografica 10%	2189	curva ipsografica 25%	1891
curva ipsografica 50%	1471	curva ipsografica 75%	1188
curva ipsografica 90%	997	curva ipsografica 95%	904
curva ipsografica 97,5%	836	distanza interquartile curva ipsografica	703
angolo di esposizione medio	64	lunghezza vettore orientamento	7.1
pendenza bacino	24.164	pendenza bacino quadrato equivalente	14.489
est baricentro (UTM _{32N} WGS84)	360050	nord baricentro (UTM _{32N} WGS84)	4917850
fattore di forma	0.249	rapporto di allungamento	0.564
media funzione di ampiezza	10270	varianza funzione di ampiezza	2.51×10 ⁷
skewness funzione di ampiezza	0.236	kurtosis funzione di ampiezza	2.05
rapporto aree medie di due ordini adiacenti	4.407	rapporto di biforcazione	3.536
rapporto lunghezze medie di due ordini adiacenti	2.312	rapporto pendenze medie di due ordini adiacenti	2.047
densità di drenaggio	0.561	diametro topologico	16
lunghezza LDP	20.979	lunghezza asta principale	19.672
lunghezza totale reticolo idrografico	61.6	lunghezza media versanti	660
pendenza media LDP	9	media dell'afflusso totale annuo	1146
deviazione standard dell'afflusso totale annuo	30	media coeff. pluviale orario CPP	17.866
dev. standard coeff. pluviale orario CPP	1.243	media esponente CPP	0.45
dev. standard esponente CPP	0.019	coeff. di intensità	0.016
media LCV piogge 1 ora	0.178	dev. standard LCV piogge 1 ora	0.011
media LCV piogge 3 ore	0.158	dev. standard LCV piogge 3 ore	0.005
media LCV piogge 6 ore	0.141	dev. standard LCV piogge 6 ore	0.006
media LCV piogge 12 ore	0.142	dev. standard LCV piogge 12 ore	0.009
media LCV piogge 24 ore	0.155	dev. standard LCV piogge 24 ore	0.007
media LCA piogge 1 ora	0.231	dev. standard LCA piogge 1 ora	0.026
media LCA piogge 3 ore	0.167	dev. standard LCA piogge 3 ore	0.019
media LCA piogge 6 ore	0.13	dev. standard LCA piogge 6 ore	0.026
media LCA piogge 12 ore	0.092	dev. standard LCA piogge 12 ore	0.041
media LCA piogge 24 ore	0.121	dev. standard LCA piogge 24 ore	0.013
media coeff. B1 regime pluviometrico	-9.4	media coeff. C1 regime pluviometrico	4.2
media coeff. B2 regime pluviometrico	-0.2	media coeff. C2 regime pluviometrico	-37.2
dev. standard regime pluviometrico	30.2	coeff. variaz. regime pluviometrico	0.297
classe 1 corine land cover	0.25	classe 2 corine land cover	66.44
classe 3 corine land cover	28.26	classe 4 corine land cover	5.09
classe 5 corine land cover	0	media NDVI	0.458
dev. standard NDVI	0.105	media curve number 1	26.5
media curve number 2	44.9	media curve number 3	64.5
dev. standard curve number 1	7.8	dev. standard curve number 2	9
dev. standard curve number 3	8.4	media indice di permeabilità vapi	0.283
dev. standard indice di permeabilità vapi	0.099		

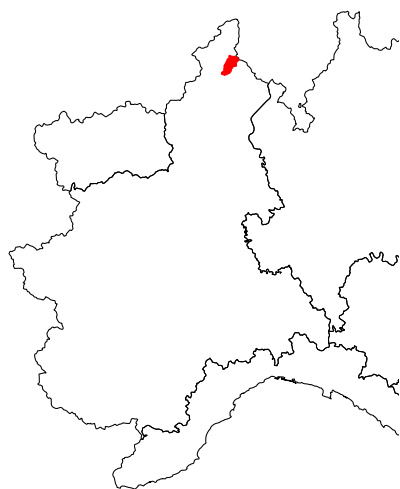


Grand'Eyvia a Cretaz

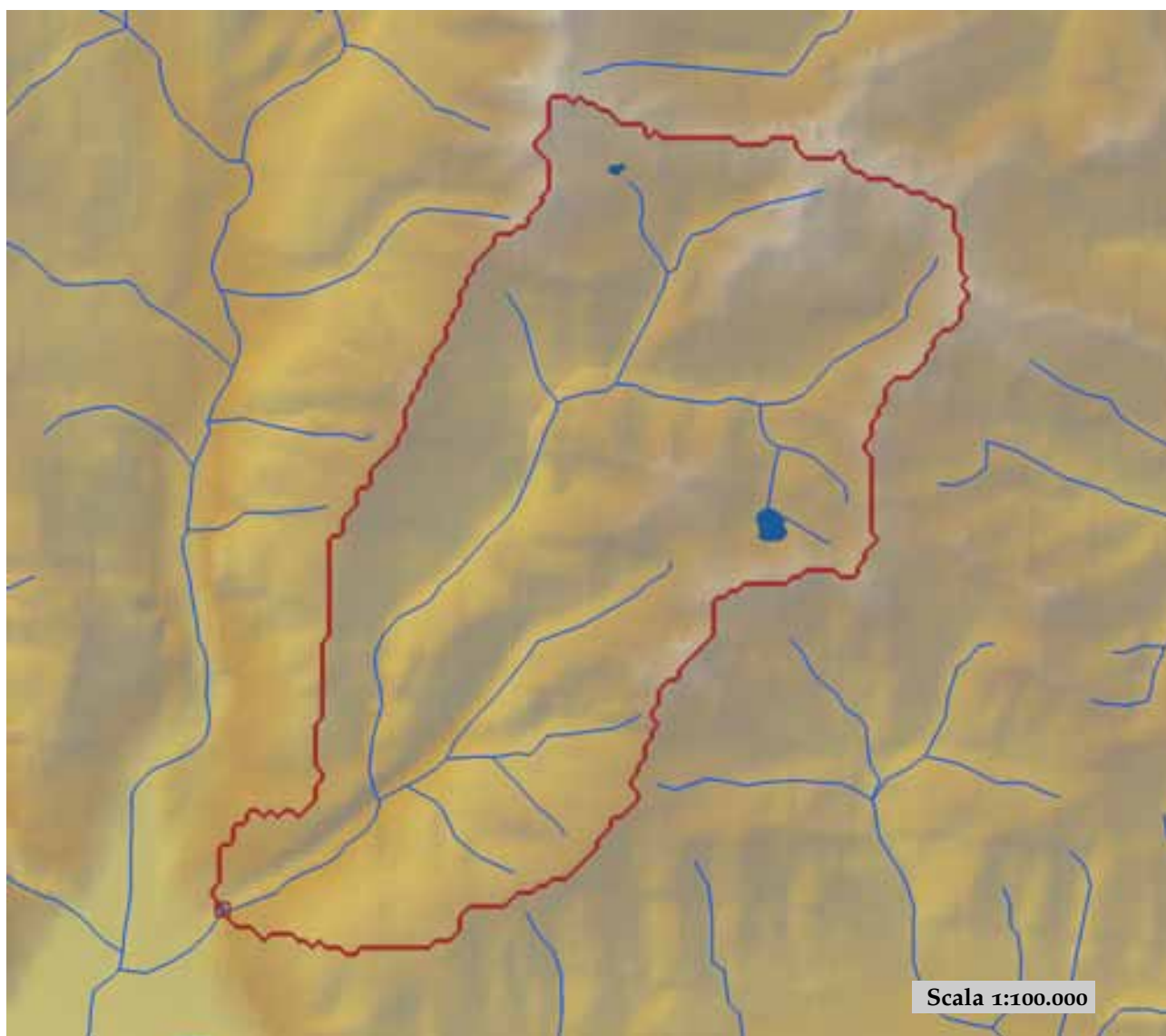


est (UTM ₃₂ N WGS84)	370093	nord (UTM ₃₂ N WGS84)	5053194
est DEM (UTM ₃₂ N WGS84)	370040	nord DEM (UTM ₃₂ N WGS84)	5053146
area bacino	179.68	quota media	2582

quota massima	3938	quota minima	1450
curva ipsografica 2,5%	3464	curva ipsografica 5%	3302
curva ipsografica 10%	3139	curva ipsografica 25%	2890
curva ipsografica 50%	2626	curva ipsografica 75%	2291
curva ipsografica 90%	1903	curva ipsografica 95%	1732
curva ipsografica 97,5%	1647	distanza interquartile curva ipsografica	599
angolo di esposizione medio	357	lunghezza vettore orientamento	5.2
pendenza bacino	25.865	pendenza bacino quadrato equivalente	17.561
est baricentro (UTM _{32N} WGS84)	373350	nord baricentro (UTM _{32N} WGS84)	5049150
fattore di forma	0.627	rapporto di allungamento	0.894
media funzione di ampiezza	10122	varianza funzione di ampiezza	1.22×10 ⁷
skewness funzione di ampiezza	-0.504	kurtosis funzione di ampiezza	2.534
rapporto aree medie di due ordini adiacenti	4.853	rapporto di biforcazione	3.786
rapporto lunghezze medie di due ordini adiacenti	2.031	rapporto pendenze medie di due ordini adiacenti	2.031
densità di drenaggio	0.562	diametro topologico	16
lunghezza LDP	16.924	lunghezza asta principale	15.392
lunghezza totale reticolo idrografico	101	lunghezza media versanti	810
pendenza media LDP	9	media dell'afflusso totale annuo	956
deviazione standard dell'afflusso totale annuo	122	media coeff. pluviale orario CPP	16.523
dev. standard coeff. pluviale orario CPP	1.434	media esponente CPP	0.561
dev. standard esponente CPP	0.013	coeff. di intensità	0.017
media LCV piogge 1 ora	0.193	dev. standard LCV piogge 1 ora	0.019
media LCV piogge 3 ore	0.19	dev. standard LCV piogge 3 ore	0.01
media LCV piogge 6 ore	0.195	dev. standard LCV piogge 6 ore	0.009
media LCV piogge 12 ore	0.214	dev. standard LCV piogge 12 ore	0.012
media LCV piogge 24 ore	0.233	dev. standard LCV piogge 24 ore	0.016
media LCA piogge 1 ora	0.201	dev. standard LCA piogge 1 ora	0.035
media LCA piogge 3 ore	0.171	dev. standard LCA piogge 3 ore	0.03
media LCA piogge 6 ore	0.222	dev. standard LCA piogge 6 ore	0.021
media LCA piogge 12 ore	0.281	dev. standard LCA piogge 12 ore	0.031
media LCA piogge 24 ore	0.283	dev. standard LCA piogge 24 ore	0.019
media coeff. B1 regime pluviometrico	-13.1	media coeff. C1 regime pluviometrico	-8.1
media coeff. B2 regime pluviometrico	-3.8	media coeff. C2 regime pluviometrico	-25.1
dev. standard regime pluviometrico	24	coeff. variaz. regime pluviometrico	0.393
classe 1 corine land cover	0.4	classe 2 corine land cover	18.34
classe 3 corine land cover	13.7	classe 4 corine land cover	67.59
classe 5 corine land cover	0	media NDVI	0.147
dev. standard NDVI	0.111	media curve number 1	45
media curve number 2	61.3	media curve number 3	74.5
dev. standard curve number 1	19.7	dev. standard curve number 2	22.5
dev. standard curve number 3	23.6	media indice di permeabilità vapi	0.353
dev. standard indice di permeabilità vapi	0.211		

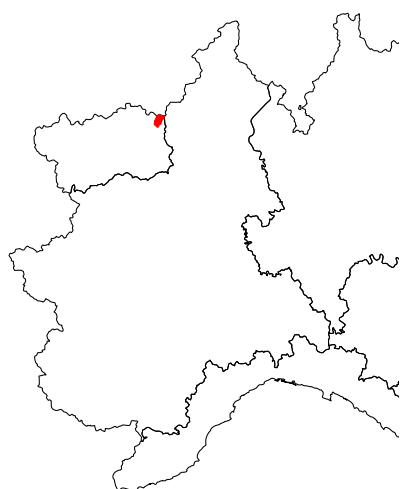


Isorno a Pontetto

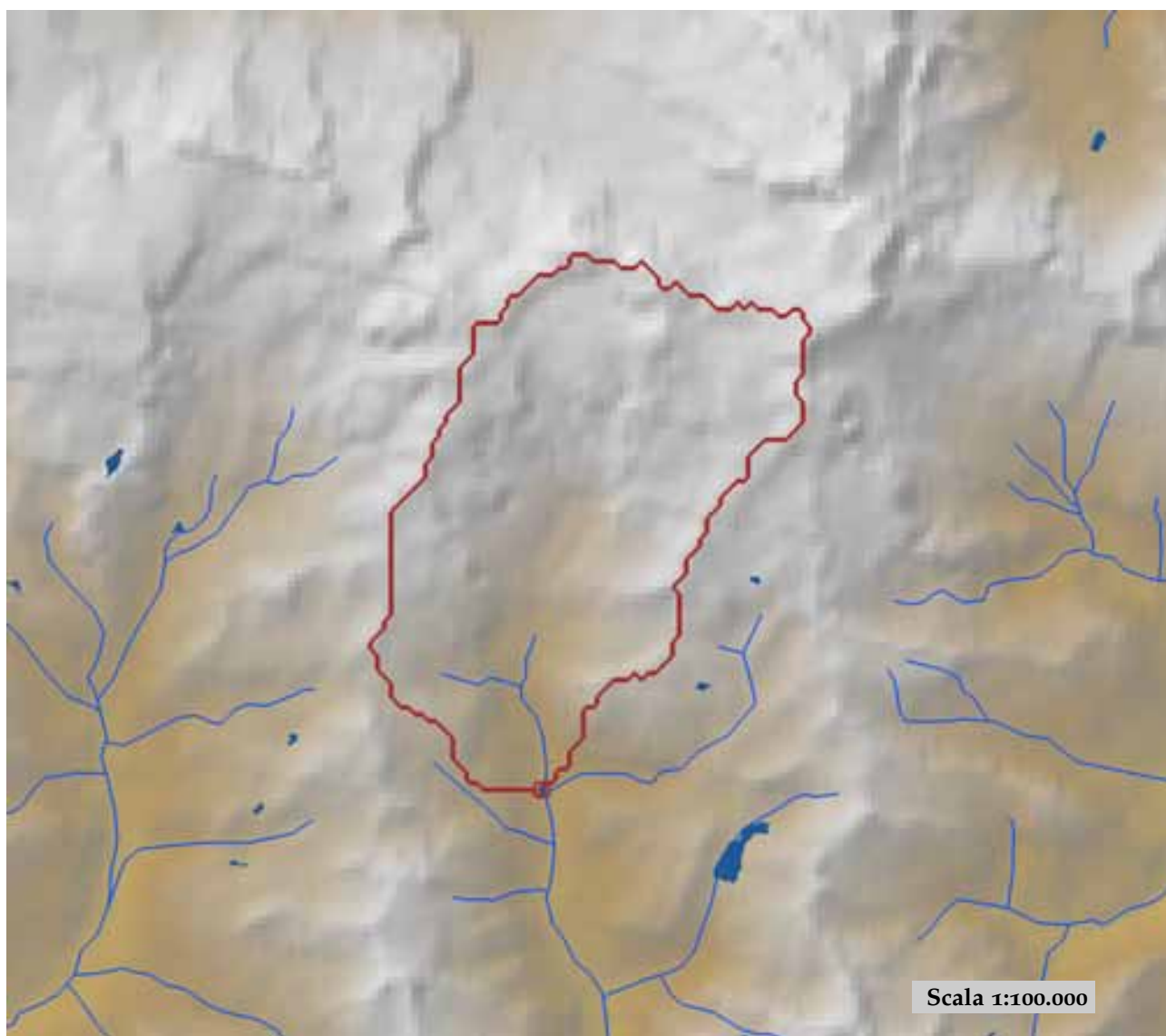


est (UTM ₃₂ N WGS84)	448127	nord (UTM ₃₂ N WGS84)	5111126
est DEM (UTM ₃₂ N WGS84)	448053	nord DEM (UTM ₃₂ N WGS84)	5111149
area bacino	70.3	quota media	1617

quota massima	2670	quota minima	345
curva ipsografica 2,5%	2393	curva ipsografica 5%	2315
curva ipsografica 10%	2208	curva ipsografica 25%	2019
curva ipsografica 50%	1694	curva ipsografica 75%	1259
curva ipsografica 90%	872	curva ipsografica 95%	675
curva ipsografica 97,5%	537	distanza interquartile curva ipsografica	760
angolo di esposizione medio	224	lunghezza vettore orientamento	7.9
pendenza bacino	28.785	pendenza bacino quadrato equivalente	32.202
est baricentro (UTM _{32N} WGS84)	453350	nord baricentro (UTM _{32N} WGS84)	5116950
fattore di forma	0.196	rapporto di allungamento	0.5
media funzione di ampiezza	10290	varianza funzione di ampiezza	2.25×10 ⁷
skewness funzione di ampiezza	-0.076	kurtosis funzione di ampiezza	1.843
rapporto aree medie di due ordini adiacenti	4.017	rapporto di biforcazione	3.5
rapporto lunghezze medie di due ordini adiacenti	2.325	rapporto pendenze medie di due ordini adiacenti	4.194
densità di drenaggio	0.554	diametro topologico	7
lunghezza LDP	18.921	lunghezza asta principale	17.755
lunghezza totale reticolo idrografico	38.9	lunghezza media versanti	693
pendenza media LDP	13	media dell'afflusso totale annuo	1598
deviazione standard dell'afflusso totale annuo	75	media coeff. pluviale orario CPP	22.77
dev. standard coeff. pluviale orario CPP	0.887	media esponente CPP	0.539
dev. standard esponente CPP	0.014	coeff. di intensità	0.014
media LCV piogge 1 ora	0.184	dev. standard LCV piogge 1 ora	0.01
media LCV piogge 3 ore	0.172	dev. standard LCV piogge 3 ore	0.006
media LCV piogge 6 ore	0.152	dev. standard LCV piogge 6 ore	0.003
media LCV piogge 12 ore	0.165	dev. standard LCV piogge 12 ore	0.003
media LCV piogge 24 ore	0.18	dev. standard LCV piogge 24 ore	0.006
media LCA piogge 1 ora	0.164	dev. standard LCA piogge 1 ora	0.012
media LCA piogge 3 ore	0.204	dev. standard LCA piogge 3 ore	0.008
media LCA piogge 6 ore	0.214	dev. standard LCA piogge 6 ore	0.014
media LCA piogge 12 ore	0.21	dev. standard LCA piogge 12 ore	0.012
media LCA piogge 24 ore	0.198	dev. standard LCA piogge 24 ore	0.007
media coeff. B1 regime pluviometrico	-26.3	media coeff. C1 regime pluviometrico	-23.8
media coeff. B2 regime pluviometrico	-2.2	media coeff. C2 regime pluviometrico	-42.5
dev. standard regime pluviometrico	42.8	coeff. variaz. regime pluviometrico	0.335
classe 1 corine land cover	0	classe 2 corine land cover	72.97
classe 3 corine land cover	16.42	classe 4 corine land cover	10.67
classe 5 corine land cover	0	media NDVI	0.426
dev. standard NDVI	0.104	media curve number 1	28.7
media curve number 2	47.2	media curve number 3	66.3
dev. standard curve number 1	10.4	dev. standard curve number 2	11.3
dev. standard curve number 3	9.8	media indice di permeabilità vapi	0.581
dev. standard indice di permeabilità vapi	0.15		

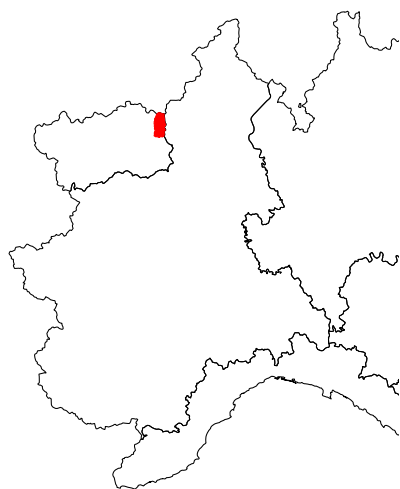


Lys a d'Ejola

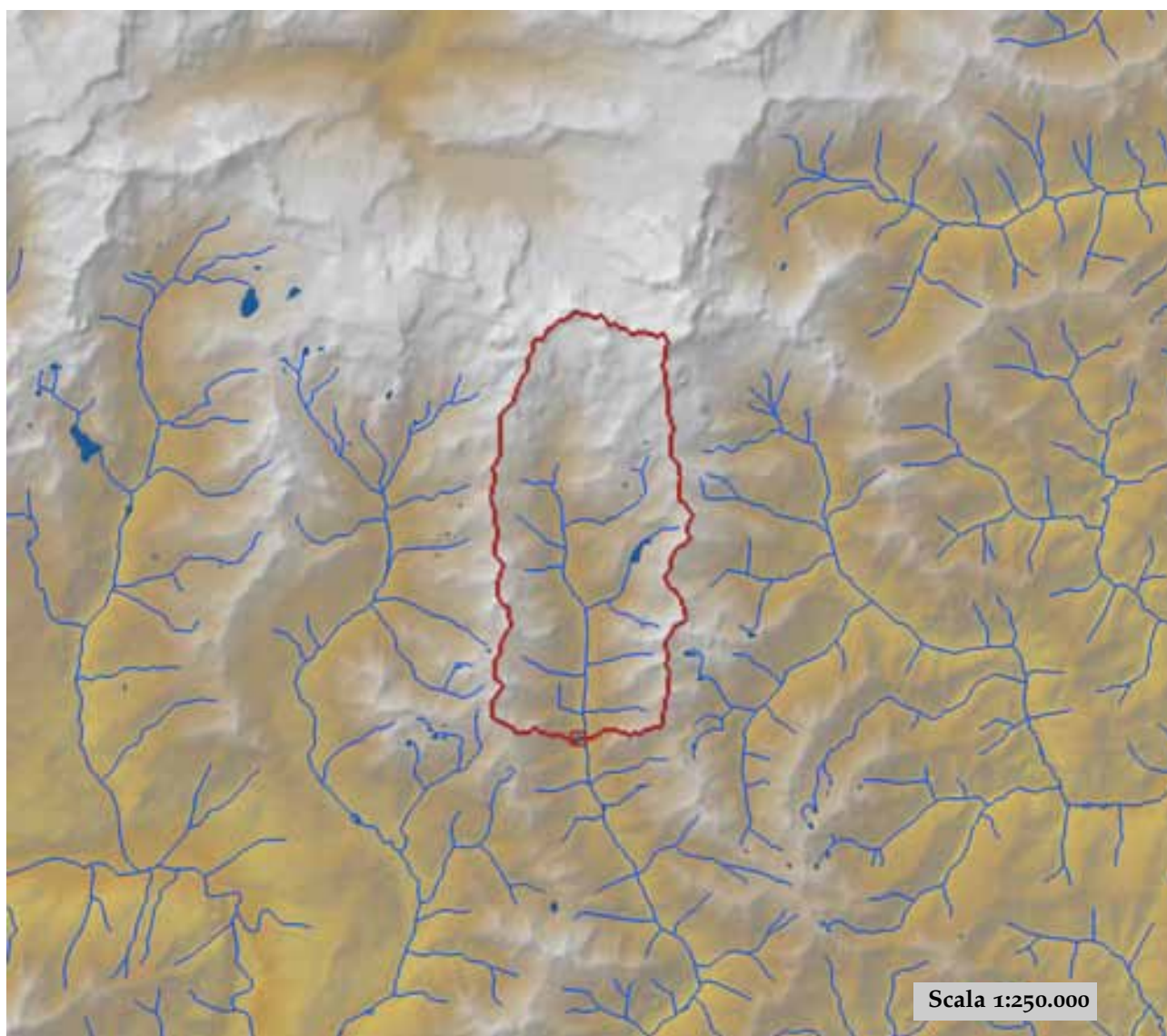


est (UTM ₃₂ N WGS84)	407796	nord (UTM ₃₂ N WGS84)	5078893
est DEM (UTM ₃₂ N WGS84)	407799	nord DEM (UTM ₃₂ N WGS84)	5078900
area bacino	29.61	quota media	3136

quota massima	4487	quota minima	1819
curva ipsografica 2,5%	4199	curva ipsografica 5%	4124
curva ipsografica 10%	4028	curva ipsografica 25%	3712
curva ipsografica 50%	3084	curva ipsografica 75%	2615
curva ipsografica 90%	2297	curva ipsografica 95%	2112
curva ipsografica 97,5%	2006	distanza interquartile curva ipsografica	1097
angolo di esposizione medio	187	lunghezza vettore orientamento	4.2
pendenza bacino	25.189	pendenza bacino quadrato equivalente	46.531
est baricentro (UTM _{32N} WGS84)	408250	nord baricentro (UTM _{32N} WGS84)	5083050
fattore di forma	0.283	rapporto di allungamento	0.6
media funzione di ampiezza	5455	varianza funzione di ampiezza	5.49×10 ⁶
skewness funzione di ampiezza	-0.096	kurtosis funzione di ampiezza	2.137
rapporto aree medie di due ordini adiacenti	4.685	rapporto di biforcazione	4
rapporto lunghezze medie di due ordini adiacenti	1.714	rapporto pendenze medie di due ordini adiacenti	1.158
densità di drenaggio	0.578	diametro topologico	6
lunghezza LDP	10.225	lunghezza asta principale	8.053
lunghezza totale reticolo idrografico	17.1	lunghezza media versanti	1054
pendenza media LDP	15	media dell'afflusso totale annuo	1161
deviazione standard dell'afflusso totale annuo	44	media coeff. pluviale orario CPP	14.332
dev. standard coeff. pluviale orario CPP	0.451	media esponente CPP	0.582
dev. standard esponente CPP	0.015	coeff. di intensità	0.012
media LCV piogge 1 ora	0.197	dev. standard LCV piogge 1 ora	0.008
media LCV piogge 3 ore	0.184	dev. standard LCV piogge 3 ore	0.005
media LCV piogge 6 ore	0.189	dev. standard LCV piogge 6 ore	0.005
media LCV piogge 12 ore	0.195	dev. standard LCV piogge 12 ore	0.003
media LCV piogge 24 ore	0.207	dev. standard LCV piogge 24 ore	0.002
media LCA piogge 1 ora	0.261	dev. standard LCA piogge 1 ora	0.018
media LCA piogge 3 ore	0.228	dev. standard LCA piogge 3 ore	0.017
media LCA piogge 6 ore	0.189	dev. standard LCA piogge 6 ore	0.005
media LCA piogge 12 ore	0.208	dev. standard LCA piogge 12 ore	0.005
media LCA piogge 24 ore	0.228	dev. standard LCA piogge 24 ore	0.014
media coeff. B1 regime pluviometrico	-28.9	media coeff. C1 regime pluviometrico	-13.9
media coeff. B2 regime pluviometrico	-6.9	media coeff. C2 regime pluviometrico	-30.7
dev. standard regime pluviometrico	44.8	coeff. variaz. regime pluviometrico	0.5
classe 1 corine land cover	0	classe 2 corine land cover	13.29
classe 3 corine land cover	5.26	classe 4 corine land cover	81.59
classe 5 corine land cover	0	media NDVI	0.08
dev. standard NDVI	0.103	media curve number 1	29.5
media curve number 2	39.5	media curve number 3	47.7
dev. standard curve number 1	24.2	dev. standard curve number 2	32.1
dev. standard curve number 3	38.2	media indice di permeabilità vapi	0.145
dev. standard indice di permeabilità vapi	0.175		

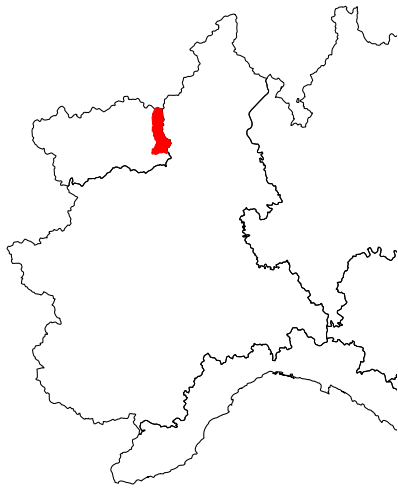


Lys a Gressoney Saint Jean

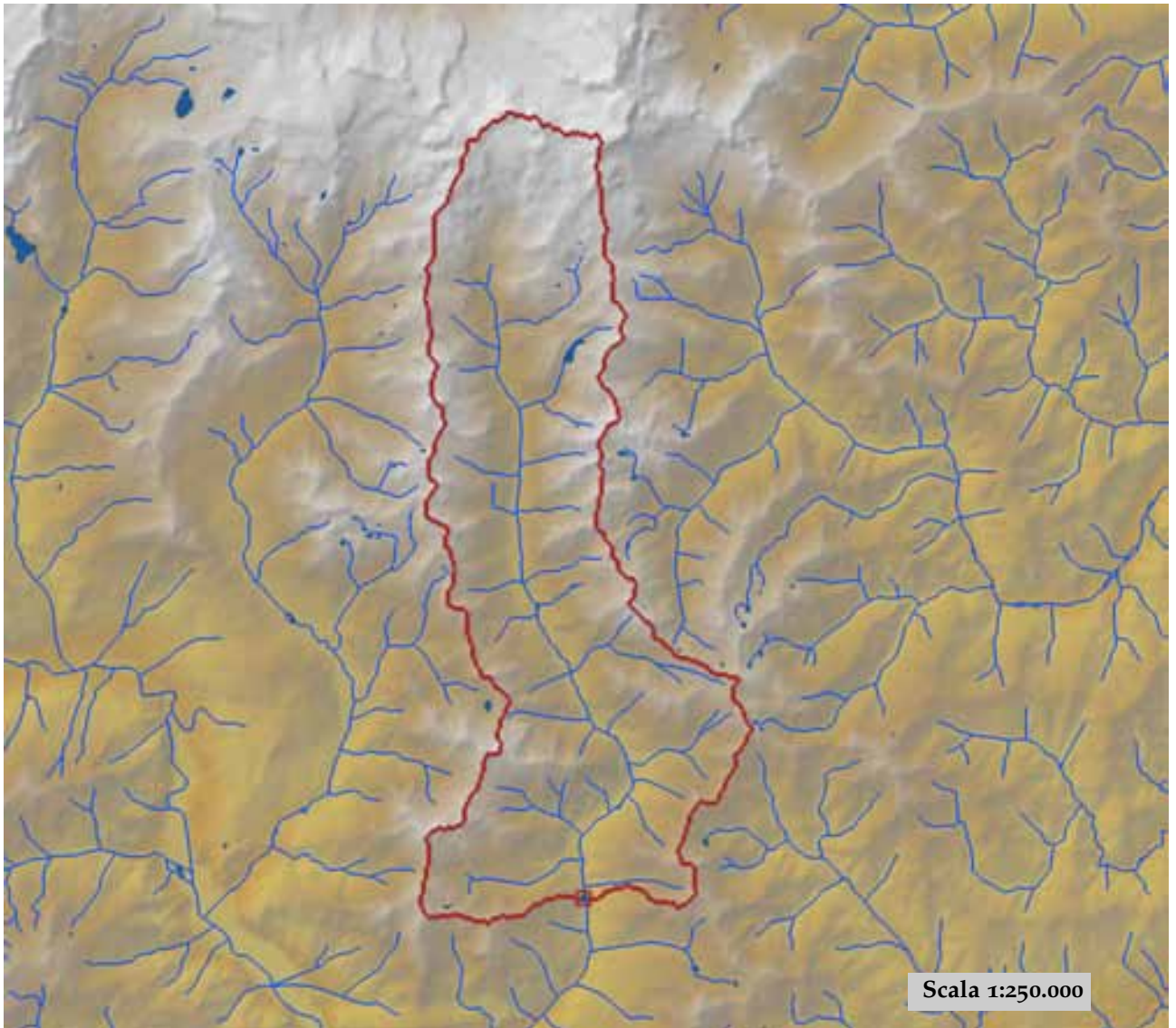


est (UTM ₃₂ N WGS84)	408689	nord (UTM ₃₂ N WGS84)	5071087
est DEM (UTM ₃₂ N WGS84)	408449	nord DEM (UTM ₃₂ N WGS84)	5071177
area bacino	90.72	quota media	2645

quota massima	4487	quota minima	1399
curva ipsografica 2,5%	4064	curva ipsografica 5%	3932
curva ipsografica 10%	3615	curva ipsografica 25%	2928
curva ipsografica 50%	2590	curva ipsografica 75%	2217
curva ipsografica 90%	1886	curva ipsografica 95%	1729
curva ipsografica 97,5%	1622	distanza interquartile curva ipsografica	711
angolo di esposizione medio	191	lunghezza vettore orientamento	7.5
pendenza bacino	26.457	pendenza bacino quadrato equivalente	25.03
est baricentro (UTM _{32N} WGS84)	408750	nord baricentro (UTM _{32N} WGS84)	5078650
fattore di forma	0.257	rapporto di allungamento	0.573
media funzione di ampiezza	9639	varianza funzione di ampiezza	2.09×10 ⁷
skewness funzione di ampiezza	-0.055	kurtosis funzione di ampiezza	1.913
rapporto aree medie di due ordini adiacenti	3.976	rapporto di biforcazione	4.6
rapporto lunghezze medie di due ordini adiacenti	1.641	rapporto pendenze medie di due ordini adiacenti	1.322
densità di drenaggio	0.6	diametro topologico	16
lunghezza LDP	18.771	lunghezza asta principale	16.598
lunghezza totale reticolo idrografico	54.4	lunghezza media versanti	842
pendenza media LDP	11	media dell'afflusso totale annuo	1107
deviazione standard dell'afflusso totale annuo	73	media coeff. pluviale orario CPP	14.416
dev. standard coeff. pluviale orario CPP	0.672	media esponente CPP	0.575
dev. standard esponente CPP	0.015	coeff. di intensità	0.013
media LCV piogge 1 ora	0.211	dev. standard LCV piogge 1 ora	0.017
media LCV piogge 3 ore	0.198	dev. standard LCV piogge 3 ore	0.016
media LCV piogge 6 ore	0.195	dev. standard LCV piogge 6 ore	0.009
media LCV piogge 12 ore	0.201	dev. standard LCV piogge 12 ore	0.008
media LCV piogge 24 ore	0.211	dev. standard LCV piogge 24 ore	0.005
media LCA piogge 1 ora	0.26	dev. standard LCA piogge 1 ora	0.015
media LCA piogge 3 ore	0.23	dev. standard LCA piogge 3 ore	0.02
media LCA piogge 6 ore	0.196	dev. standard LCA piogge 6 ore	0.011
media LCA piogge 12 ore	0.214	dev. standard LCA piogge 12 ore	0.01
media LCA piogge 24 ore	0.237	dev. standard LCA piogge 24 ore	0.013
media coeff. B1 regime pluviometrico	-23.2	media coeff. C1 regime pluviometrico	-10.3
media coeff. B2 regime pluviometrico	-4.6	media coeff. C2 regime pluviometrico	-26.4
dev. standard regime pluviometrico	34.2	coeff. variaz. regime pluviometrico	0.389
classe 1 corine land cover	0	classe 2 corine land cover	26.98
classe 3 corine land cover	15.72	classe 4 corine land cover	57.35
classe 5 corine land cover	0	media NDVI	0.188
dev. standard NDVI	0.125	media curve number 1	41.5
media curve number 2	57.1	media curve number 3	69.9
dev. standard curve number 1	20.6	dev. standard curve number 2	25.1
dev. standard curve number 3	28.2	media indice di permeabilità vapi	0.231
dev. standard indice di permeabilità vapi	0.161		



Lys a Guillemore

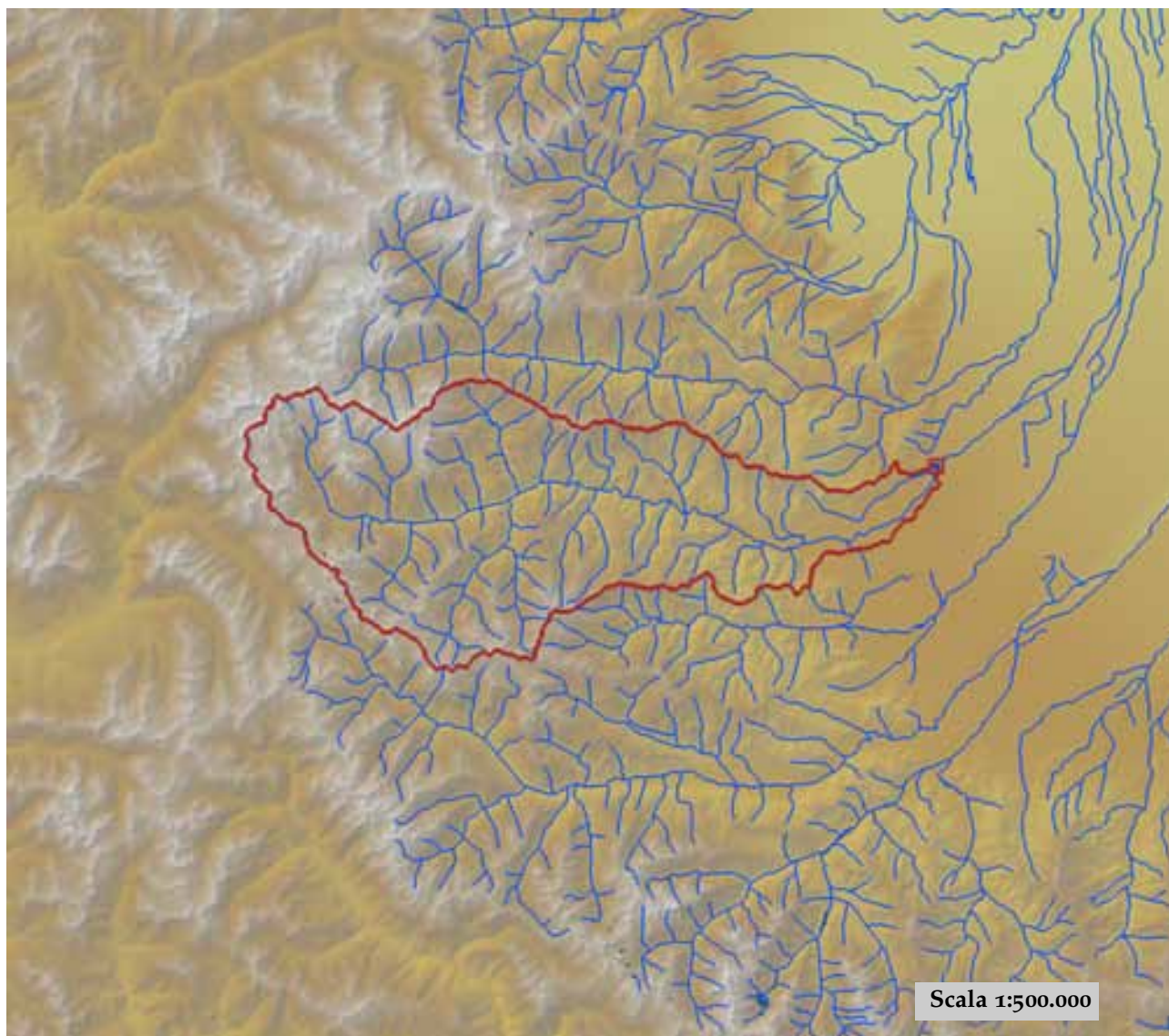


est (UTM ₃₂ N WGS84)	411124	nord (UTM ₃₂ N WGS84)	5058000
est DEM (UTM ₃₂ N WGS84)	411051	nord DEM (UTM ₃₂ N WGS84)	5058033
area bacino	201.47	quota media	2260

quota massima	4487	quota minima	912
curva ipsografica 2,5%	3912	curva ipsografica 5%	3554
curva ipsografica 10%	2999	curva ipsografica 25%	2595
curva ipsografica 50%	2221	curva ipsografica 75%	1853
curva ipsografica 90%	1471	curva ipsografica 95%	1305
curva ipsografica 97,5%	1119	distanza interquartile curva ipsografica	742
angolo di esposizione medio	187	lunghezza vettore orientamento	12.7
pendenza bacino	27.611	pendenza bacino quadrato equivalente	18.458
est baricentro (UTM _{32N} WGS84)	409850	nord baricentro (UTM _{32N} WGS84)	5070650
fattore di forma	0.161	rapporto di allungamento	0.453
media funzione di ampiezza	17114	varianza funzione di ampiezza	8.94×10 ⁷
skewness funzione di ampiezza	0.114	kurtosis funzione di ampiezza	1.756
rapporto aree medie di due ordini adiacenti	4.098	rapporto di biforcazione	4.5
rapporto lunghezze medie di due ordini adiacenti	2.125	rapporto pendenze medie di due ordini adiacenti	1.333
densità di drenaggio	0.583	diametro topologico	35
lunghezza LDP	35.322	lunghezza asta principale	33.149
lunghezza totale reticolo idrografico	117.4	lunghezza media versanti	784
pendenza media LDP	9	media dell'afflusso totale annuo	1169
deviazione standard dell'afflusso totale annuo	129	media coeff. pluviale orario CPP	17.06
dev. standard coeff. pluviale orario CPP	3.366	media esponente CPP	0.575
dev. standard esponente CPP	0.017	coeff. di intensità	0.015
media LCV piogge 1 ora	0.22	dev. standard LCV piogge 1 ora	0.021
media LCV piogge 3 ore	0.207	dev. standard LCV piogge 3 ore	0.016
media LCV piogge 6 ore	0.193	dev. standard LCV piogge 6 ore	0.009
media LCV piogge 12 ore	0.202	dev. standard LCV piogge 12 ore	0.008
media LCV piogge 24 ore	0.214	dev. standard LCV piogge 24 ore	0.009
media LCA piogge 1 ora	0.249	dev. standard LCA piogge 1 ora	0.023
media LCA piogge 3 ore	0.216	dev. standard LCA piogge 3 ore	0.024
media LCA piogge 6 ore	0.192	dev. standard LCA piogge 6 ore	0.019
media LCA piogge 12 ore	0.196	dev. standard LCA piogge 12 ore	0.028
media LCA piogge 24 ore	0.221	dev. standard LCA piogge 24 ore	0.025
media coeff. B1 regime pluviometrico	-21.8	media coeff. C1 regime pluviometrico	-12.8
media coeff. B2 regime pluviometrico	0	media coeff. C2 regime pluviometrico	-27
dev. standard regime pluviometrico	32	coeff. variaz. regime pluviometrico	0.379
classe 1 corine land cover	0.28	classe 2 corine land cover	42.83
classe 3 corine land cover	16.65	classe 4 corine land cover	40.26
classe 5 corine land cover	0	media NDVI	0.282
dev. standard NDVI	0.134	media curve number 1	39
media curve number 2	56.1	media curve number 3	71.5
dev. standard curve number 1	17.9	dev. standard curve number 2	20.3
dev. standard curve number 3	21.1	media indice di permeabilità vapi	0.477
dev. standard indice di permeabilità vapi	0.259		

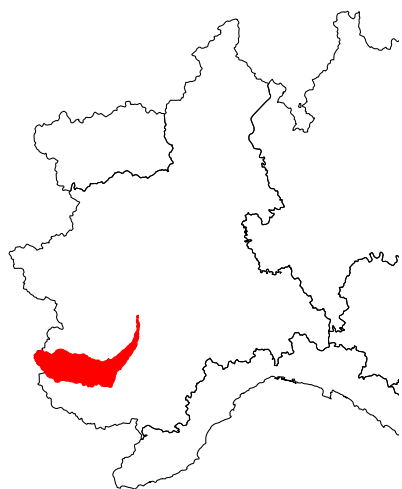


Maira a Busca

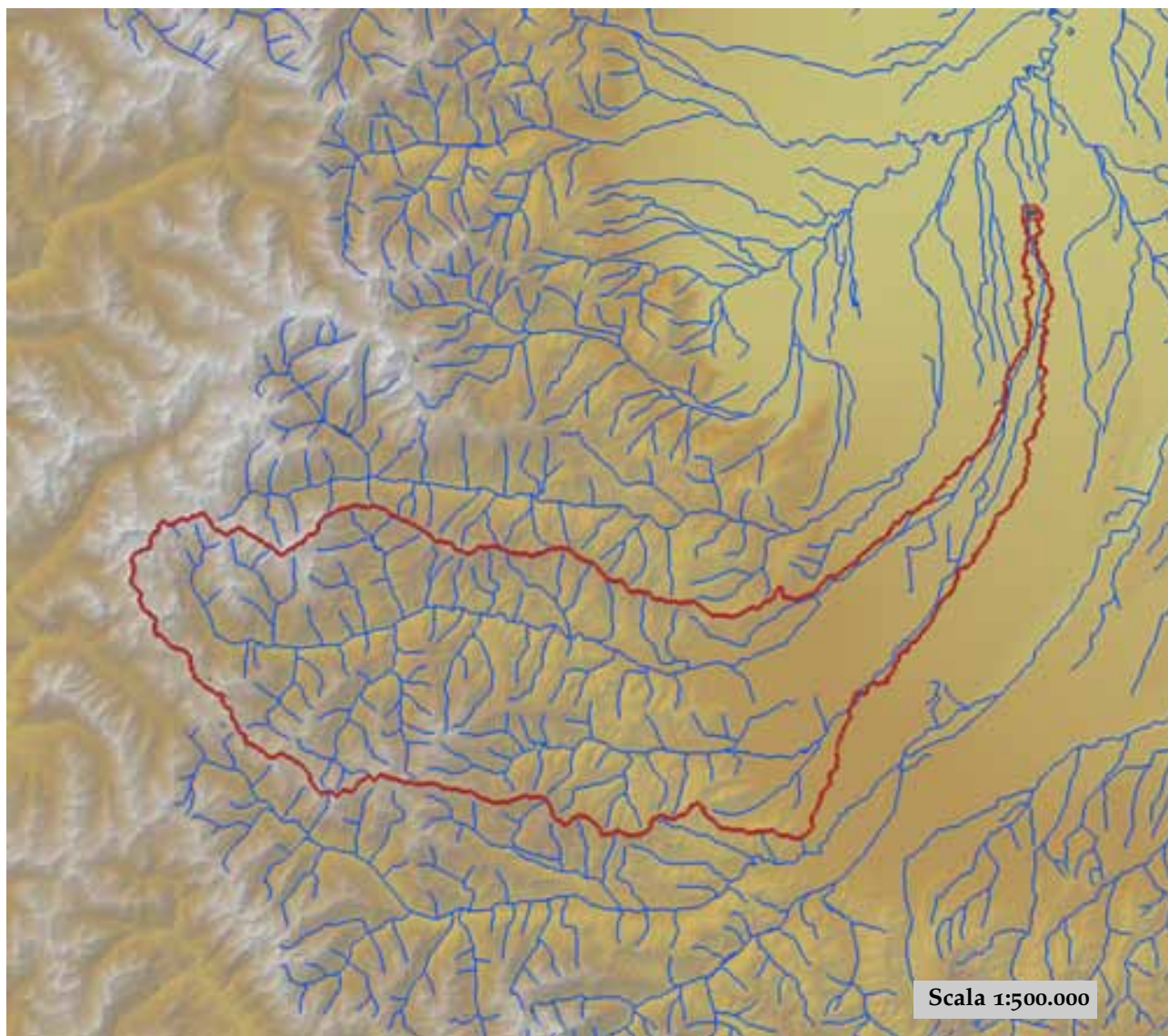


est (UTM ₃₂ N WGS84)	379305	nord (UTM ₃₂ N WGS84)	4930199
est DEM (UTM ₃₂ N WGS84)	379352	nord DEM (UTM ₃₂ N WGS84)	4930550
area bacino	572.63	quota media	1689

quota massima	3196	quota minima	476
curva ipsografica 2,5%	2778	curva ipsografica 5%	2674
curva ipsografica 10%	2511	curva ipsografica 25%	2199
curva ipsografica 50%	1706	curva ipsografica 75%	1184
curva ipsografica 90%	807	curva ipsografica 95%	620
curva ipsografica 97,5%	557	distanza interquartile curva ipsografica	1015
angolo di esposizione medio	123	lunghezza vettore orientamento	28,9
pendenza bacino	22.306	pendenza bacino quadrato equivalente	10.288
est baricentro (UTM _{32N} WGS84)	350650	nord baricentro (UTM _{32N} WGS84)	4927150
fattore di forma	0.129	rapporto di allungamento	0.405
media funzione di ampiezza	40697	varianza funzione di ampiezza	2.39×10 ⁸
skewness funzione di ampiezza	-0.573	kurtosis funzione di ampiezza	2.428
rapporto aree medie di due ordini adiacenti	4.612	rapporto di biforcazione	4.69
rapporto lunghezze medie di due ordini adiacenti	2.256	rapporto pendenze medie di due ordini adiacenti	1.667
densità di drenaggio	0.61	diametro topologico	53
lunghezza LDP	66.708	lunghezza asta principale	64.777
lunghezza totale reticolo idrografico	349	lunghezza media versanti	718
pendenza media LDP	6	media dell'afflusso totale annuo	966
deviazione standard dell'afflusso totale annuo	52	media coeff. pluviale orario CPP	16.425
dev. standard coeff. pluviale orario CPP	2.572	media esponente CPP	0.448
dev. standard esponente CPP	0.036	coeff. di intensità	0.017
media LCV piogge 1 ora	0.188	dev. standard LCV piogge 1 ora	0.023
media LCV piogge 3 ore	0.163	dev. standard LCV piogge 3 ore	0.011
media LCV piogge 6 ore	0.15	dev. standard LCV piogge 6 ore	0.009
media LCV piogge 12 ore	0.149	dev. standard LCV piogge 12 ore	0.012
media LCV piogge 24 ore	0.166	dev. standard LCV piogge 24 ore	0.012
media LCA piogge 1 ora	0.237	dev. standard LCA piogge 1 ora	0.057
media LCA piogge 3 ore	0.169	dev. standard LCA piogge 3 ore	0.028
media LCA piogge 6 ore	0.109	dev. standard LCA piogge 6 ore	0.028
media LCA piogge 12 ore	0.085	dev. standard LCA piogge 12 ore	0.034
media LCA piogge 24 ore	0.127	dev. standard LCA piogge 24 ore	0.033
media coeff. B1 regime pluviometrico	-4	media coeff. C1 regime pluviometrico	1
media coeff. B2 regime pluviometrico	-2.9	media coeff. C2 regime pluviometrico	-32.3
dev. standard regime pluviometrico	26.3	coeff. variaz. regime pluviometrico	0.319
classe 1 corine land cover	0.59	classe 2 corine land cover	48.98
classe 3 corine land cover	29.88	classe 4 corine land cover	20.56
classe 5 corine land cover	0	media NDVI	0.412
dev. standard NDVI	0.158	media curve number 1	39.8
media curve number 2	58.5	media curve number 3	75.5
dev. standard curve number 1	13.9	dev. standard curve number 2	13.9
dev. standard curve number 3	11	media indice di permeabilità vapi	0.232
dev. standard indice di permeabilità vapi	0.083		



Maira a Racconigi

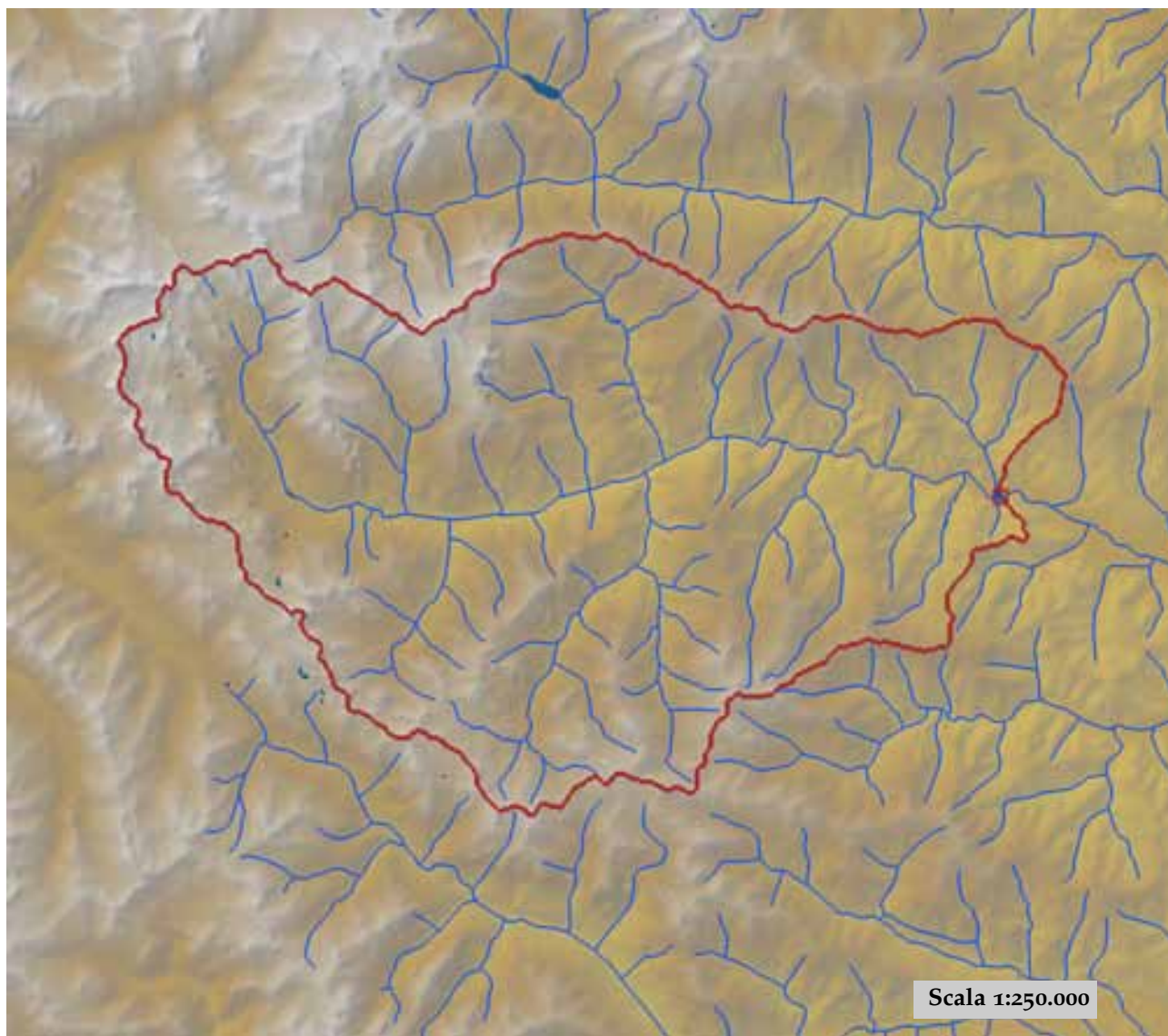


est (UTM ₃₂ N WGS84)	394538	nord (UTM ₃₂ N WGS84)	4957991
est DEM (UTM ₃₂ N WGS84)	394538	nord DEM (UTM ₃₂ N WGS84)	4958040
area bacino	976.25	quota media	1326

quota massima	3196	quota minima	255
curva ipsografica 2,5%	2700	curva ipsografica 5%	2556
curva ipsografica 10%	2362	curva ipsografica 25%	1942
curva ipsografica 50%	1255	curva ipsografica 75%	591
curva ipsografica 90%	431	curva ipsografica 95%	356
curva ipsografica 97,5%	318	distanza interquartile curva ipsografica	1351
angolo di esposizione medio	71	lunghezza vettore orientamento	46.3
pendenza bacino	17.091	pendenza bacino quadrato equivalente	6.407
est baricentro (UTM _{32N} WGS84)	360850	nord baricentro (UTM _{32N} WGS84)	4926250
fattore di forma	0.083	rapporto di allungamento	0.325
media funzione di ampiezza	70954	varianza funzione di ampiezza	5.03×10 ⁸
skewness funzione di ampiezza	-0.649	kurtosis funzione di ampiezza	2.863
rapporto aree medie di due ordini adiacenti	5.513	rapporto di biforcazione	4.785
rapporto lunghezze medie di due ordini adiacenti	3.239	rapporto pendenze medie di due ordini adiacenti	2.483
densità di drenaggio	0.759	diametro topologico	62
lunghezza LDP	108.488	lunghezza asta principale	106.557
lunghezza totale reticolo idrografico	740.7	lunghezza media versanti	711
pendenza media LDP	4	media dell'afflusso totale annuo	975
deviazione standard dell'afflusso totale annuo	102	media coeff. pluviale orario CPP	18.737
dev. standard coeff. pluviale orario CPP	3.911	media esponente CPP	0.419
dev. standard esponente CPP	0.058	coeff. di intensità	0.019
media LCV piogge 1 ora	0.182	dev. standard LCV piogge 1 ora	0.021
media LCV piogge 3 ore	0.161	dev. standard LCV piogge 3 ore	0.01
media LCV piogge 6 ore	0.149	dev. standard LCV piogge 6 ore	0.01
media LCV piogge 12 ore	0.149	dev. standard LCV piogge 12 ore	0.012
media LCV piogge 24 ore	0.165	dev. standard LCV piogge 24 ore	0.011
media LCA piogge 1 ora	0.205	dev. standard LCA piogge 1 ora	0.07
media LCA piogge 3 ore	0.162	dev. standard LCA piogge 3 ore	0.029
media LCA piogge 6 ore	0.125	dev. standard LCA piogge 6 ore	0.035
media LCA piogge 12 ore	0.106	dev. standard LCA piogge 12 ore	0.044
media LCA piogge 24 ore	0.134	dev. standard LCA piogge 24 ore	0.031
media coeff. B1 regime pluviometrico	-5.3	media coeff. C1 regime pluviometrico	2.1
media coeff. B2 regime pluviometrico	-2.6	media coeff. C2 regime pluviometrico	-32.9
dev. standard regime pluviometrico	26.4	coeff. variaz. regime pluviometrico	0.315
classe 1 corine land cover	1.72	classe 2 corine land cover	41.94
classe 3 corine land cover	43.57	classe 4 corine land cover	12.77
classe 5 corine land cover	0	media NDVI	0.464
dev. standard NDVI	0.145	media curve number 1	42.2
media curve number 2	60.8	media curve number 3	77.2
dev. standard curve number 1	14.1	dev. standard curve number 2	14.2
dev. standard curve number 3	11.4	media indice di permeabilità vapi	0.232
dev. standard indice di permeabilità vapi	0.092		



Maira a San Damiano Macra

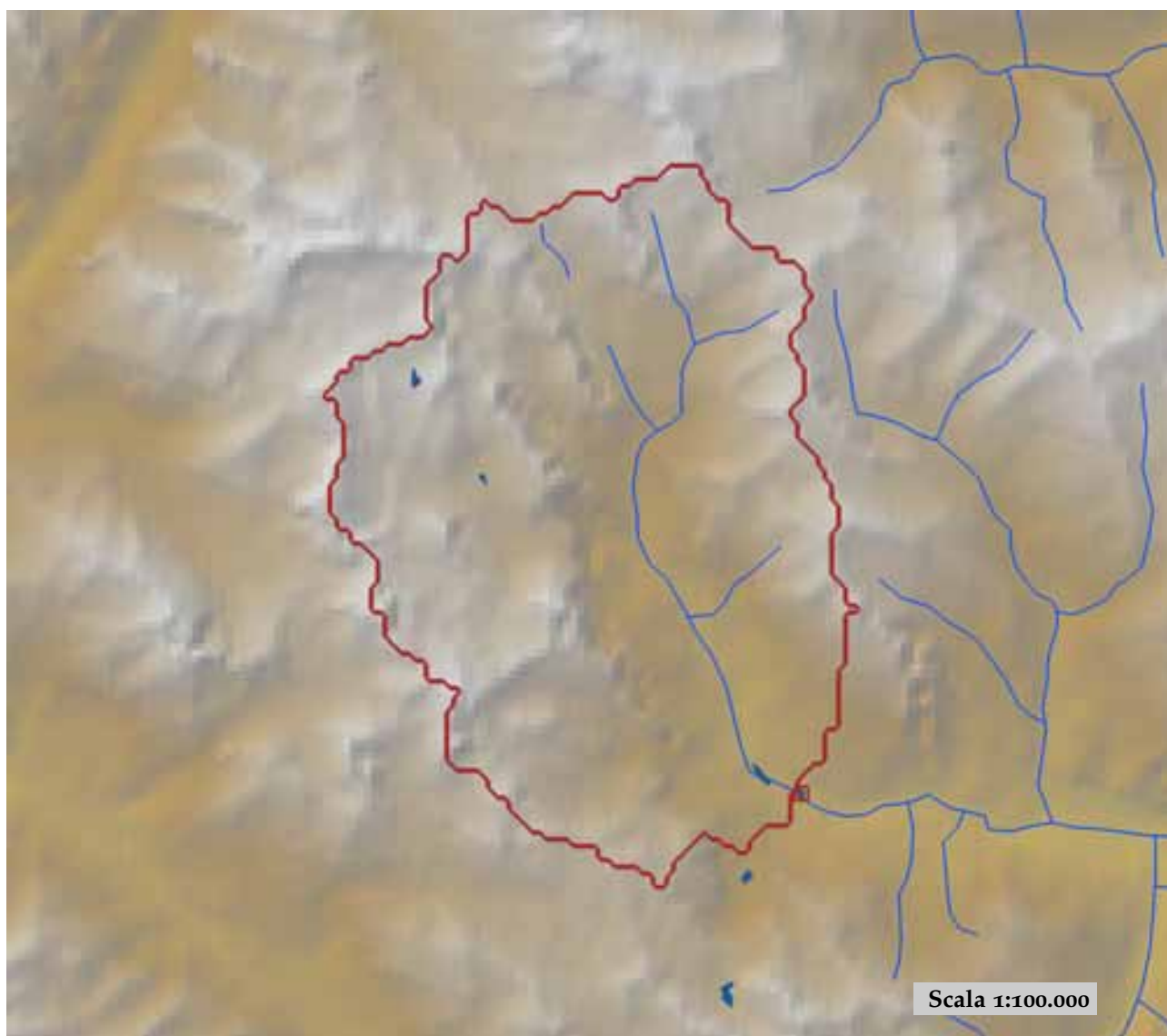


est (UTM ₃₂ N WGS84)	361439	nord (UTM ₃₂ N WGS84)	4927199
est DEM (UTM ₃₂ N WGS84)	361247	nord DEM (UTM ₃₂ N WGS84)	4927242
area bacino	452.18	quota media	1899

quota massima	3196	quota minima	710
curva ipsografica 2,5%	2807	curva ipsografica 5%	2712
curva ipsografica 10%	2574	curva ipsografica 25%	2293
curva ipsografica 50%	1920	curva ipsografica 75%	1501
curva ipsografica 90%	1189	curva ipsografica 95%	1043
curva ipsografica 97,5%	946	distanza interquartile curva ipsografica	792
angolo di esposizione medio	140	lunghezza vettore orientamento	15.3
pendenza bacino	24.3	pendenza bacino quadrato equivalente	11.39
est baricentro (UTM _{32N} WGS84)	345950	nord baricentro (UTM _{32N} WGS84)	4927450
fattore di forma	0.25	rapporto di allungamento	0.565
media funzione di ampiezza	22813	varianza funzione di ampiezza	9.93×10^7
skewness funzione di ampiezza	-0.267	kurtosis funzione di ampiezza	2.206
rapporto aree medie di due ordini adiacenti	4.559	rapporto di biforcazione	4.203
rapporto lunghezze medie di due ordini adiacenti	2.243	rapporto pendenze medie di due ordini adiacenti	1.764
densità di drenaggio	0.581	diametro topologico	39
lunghezza LDP	42.493	lunghezza asta principale	40.562
lunghezza totale reticolo idrografico	262.6	lunghezza media versanti	722
pendenza media LDP	8	media dell'afflusso totale annuo	970
deviazione standard dell'afflusso totale annuo	49	media coeff. pluviale orario CPP	15.436
dev. standard coeff. pluviale orario CPP	1.684	media esponente CPP	0.459
dev. standard esponente CPP	0.03	coeff. di intensità	0.016
media LCV piogge 1 ora	0.196	dev. standard LCV piogge 1 ora	0.018
media LCV piogge 3 ore	0.167	dev. standard LCV piogge 3 ore	0.007
media LCV piogge 6 ore	0.151	dev. standard LCV piogge 6 ore	0.01
media LCV piogge 12 ore	0.146	dev. standard LCV piogge 12 ore	0.013
media LCV piogge 24 ore	0.163	dev. standard LCV piogge 24 ore	0.012
media LCA piogge 1 ora	0.258	dev. standard LCA piogge 1 ora	0.028
media LCA piogge 3 ore	0.174	dev. standard LCA piogge 3 ore	0.024
media LCA piogge 6 ore	0.103	dev. standard LCA piogge 6 ore	0.027
media LCA piogge 12 ore	0.076	dev. standard LCA piogge 12 ore	0.03
media LCA piogge 24 ore	0.121	dev. standard LCA piogge 24 ore	0.032
media coeff. B1 regime pluviometrico	-1.8	media coeff. C1 regime pluviometrico	0.5
media coeff. B2 regime pluviometrico	-3.6	media coeff. C2 regime pluviometrico	-31.9
dev. standard regime pluviometrico	26.1	coeff. variaz. regime pluviometrico	0.314
classe 1 corine land cover	0	classe 2 corine land cover	45.64
classe 3 corine land cover	28.41	classe 4 corine land cover	25.97
classe 5 corine land cover	0	media NDVI	0.364
dev. standard NDVI	0.141	media curve number 1	38.2
media curve number 2	56.8	media curve number 3	74
dev. standard curve number 1	14.8	dev. standard curve number 2	14.7
dev. standard curve number 3	11.7	media indice di permeabilità vapi	0.248
dev. standard indice di permeabilità vapi	0.075		

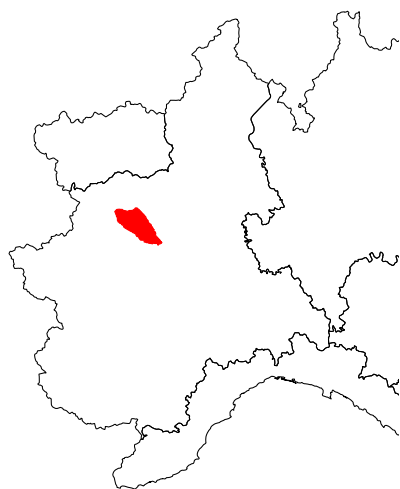


Maira a Saretto

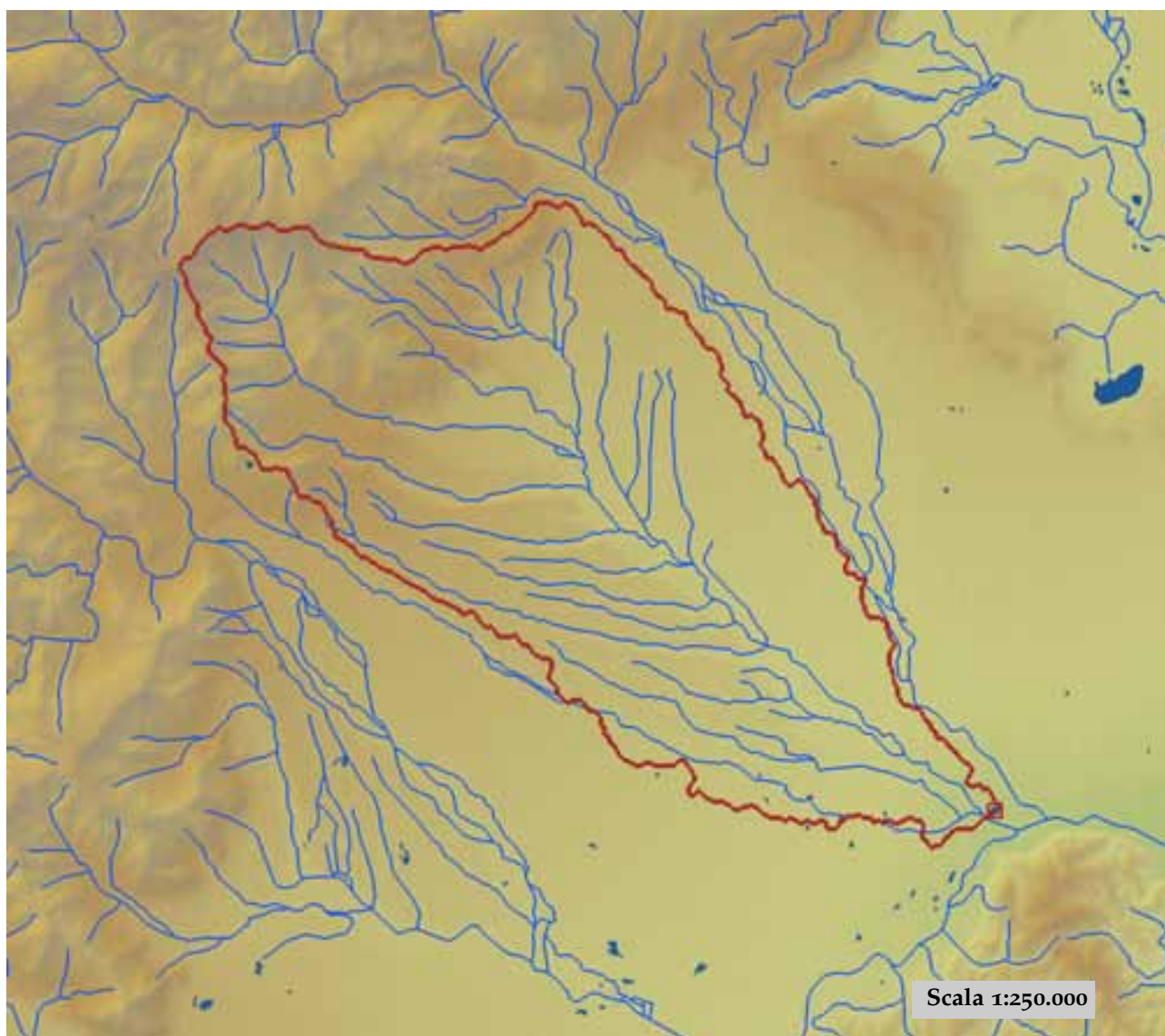


est (UTM _{32N} WGS84)	335576	nord (UTM _{32N} WGS84)	4927181
est DEM (UTM _{32N} WGS84)	336060	nord DEM (UTM _{32N} WGS84)	4927056
area bacino	55.55	quota media	2411

quota massima	3196	quota minima	1521
curva ipsografica 2,5%	2971	curva ipsografica 5%	2913
curva ipsografica 10%	2831	curva ipsografica 25%	2700
curva ipsografica 50%	2483	curva ipsografica 75%	2156
curva ipsografica 90%	1824	curva ipsografica 95%	1689
curva ipsografica 97,5%	1630	distanza interquartile curva ipsografica	544
angolo di esposizione medio	151	lunghezza vettore orientamento	4.9
pendenza bacino	24.231	pendenza bacino quadrato equivalente	25.868
est baricentro (UTM _{32N} WGS84)	333150	nord baricentro (UTM _{32N} WGS84)	4931050
fattore di forma	0.37	rapporto di allungamento	0.686
media funzione di ampiezza	7068	varianza funzione di ampiezza	8.45×10 ⁶
skewness funzione di ampiezza	-0.293	kurtosis funzione di ampiezza	2.114
rapporto aree medie di due ordini adiacenti	3.286	rapporto di biforcazione	3.5
rapporto lunghezze medie di due ordini adiacenti	1.352	rapporto pendenze medie di due ordini adiacenti	1.414
densità di drenaggio	0.611	diametro topologico	10
lunghezza LDP	12.254	lunghezza asta principale	10.323
lunghezza totale reticolo idrografico	33.9	lunghezza media versanti	781
pendenza media LDP	9	media dell'afflusso totale annuo	1016
deviazione standard dell'afflusso totale annuo	18	media coeff. pluviale orario CPP	13.088
dev. standard coeff. pluviale orario CPP	0.391	media esponente CPP	0.502
dev. standard esponente CPP	0.01	coeff. di intensità	0.013
media LCV piogge 1 ora	0.211	dev. standard LCV piogge 1 ora	0.01
media LCV piogge 3 ore	0.17	dev. standard LCV piogge 3 ore	0.005
media LCV piogge 6 ore	0.159	dev. standard LCV piogge 6 ore	0.004
media LCV piogge 12 ore	0.149	dev. standard LCV piogge 12 ore	0.002
media LCV piogge 24 ore	0.166	dev. standard LCV piogge 24 ore	0.002
media LCA piogge 1 ora	0.247	dev. standard LCA piogge 1 ora	0.01
media LCA piogge 3 ore	0.163	dev. standard LCA piogge 3 ore	0.009
media LCA piogge 6 ore	0.096	dev. standard LCA piogge 6 ore	0.016
media LCA piogge 12 ore	0.069	dev. standard LCA piogge 12 ore	0.018
media LCA piogge 24 ore	0.102	dev. standard LCA piogge 24 ore	0.016
media coeff. B1 regime pluviometrico	9.2	media coeff. C1 regime pluviometrico	3.1
media coeff. B2 regime pluviometrico	-8.6	media coeff. C2 regime pluviometrico	-33.3
dev. standard regime pluviometrico	30.6	coeff. variaz. regime pluviometrico	0.31
classe 1 corine land cover	0	classe 2 corine land cover	6.88
classe 3 corine land cover	19.68	classe 4 corine land cover	73.51
classe 5 corine land cover	0	media NDVI	0.171
dev. standard NDVI	0.077	media curve number 1	56.3
media curve number 2	73.7	media curve number 3	86.5
dev. standard curve number 1	12.6	dev. standard curve number 2	11.3
dev. standard curve number 3	8	media indice di permeabilità vapi	0.253
dev. standard indice di permeabilità vapi	0.053		

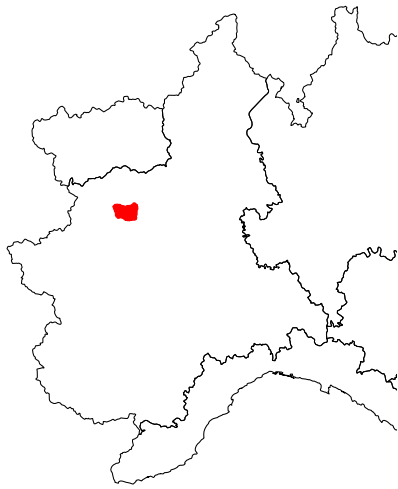


Malone a Brandizzo

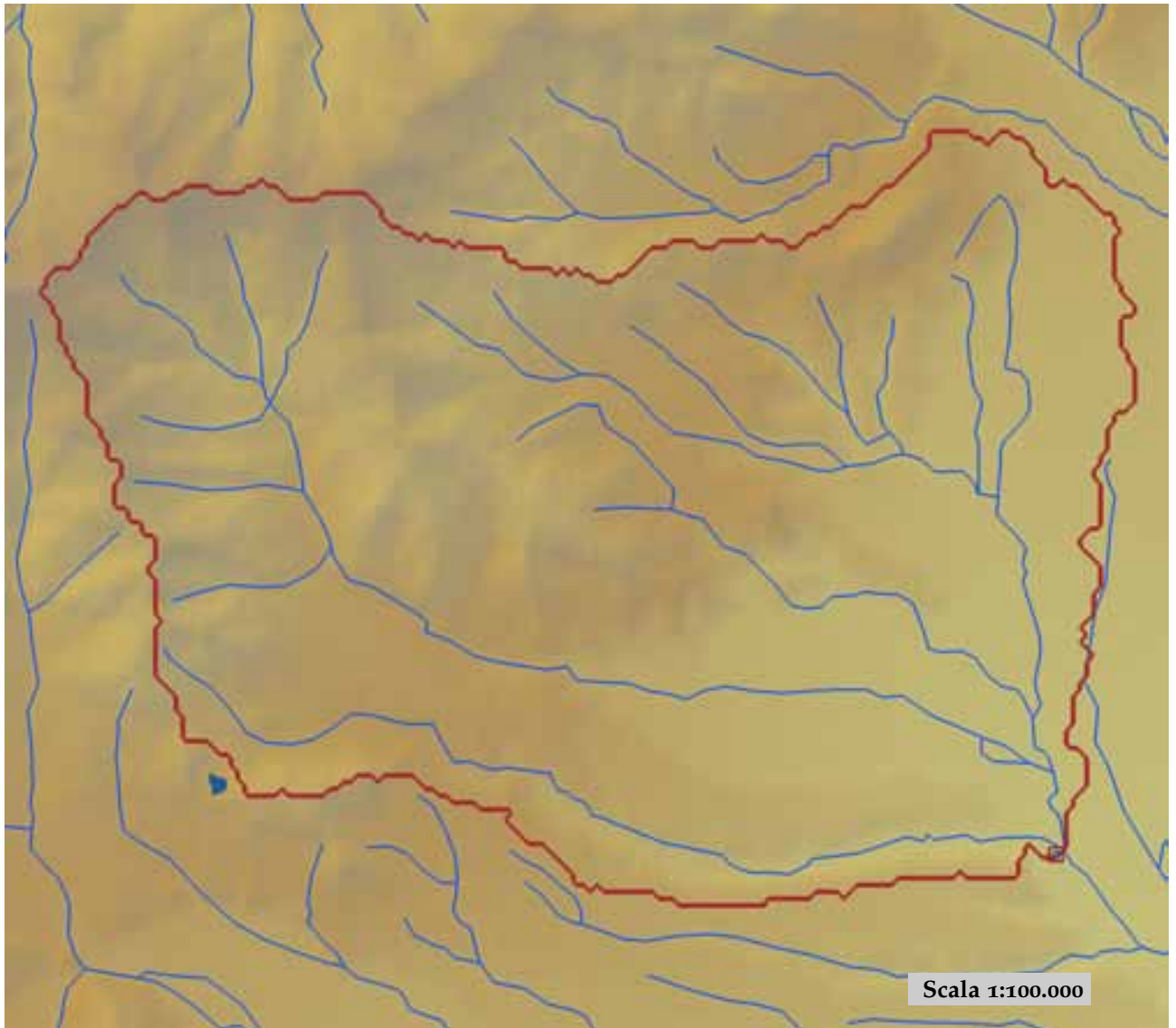


est (UTM ₃₂ N WGS84)	409801	nord (UTM ₃₂ N WGS84)	5003811
est DEM (UTM ₃₂ N WGS84)	410060	nord DEM (UTM ₃₂ N WGS84)	5004142
area bacino	333.37	quota media	439

quota massima	2107	quota minima	181
curva ipsografica 2,5%	1475	curva ipsografica 5%	1208
curva ipsografica 10%	867	curva ipsografica 25%	453
curva ipsografica 50%	320	curva ipsografica 75%	258
curva ipsografica 90%	219	curva ipsografica 95%	207
curva ipsografica 97,5%	197	distanza interquartile curva ipsografica	195
angolo di esposizione medio	132	lunghezza vettore orientamento	19
pendenza bacino	5.13	pendenza bacino quadrato equivalente	1.534
est baricentro (UTM _{32N} WGS84)	394850	nord baricentro (UTM _{32N} WGS84)	5015450
fattore di forma	0.149	rapporto di allungamento	0.435
media funzione di ampiezza	26107	varianza funzione di ampiezza	1.19×10 ⁸
skewness funzione di ampiezza	-0.176	kurtosis funzione di ampiezza	2.214
rapporto aree medie di due ordini adiacenti	3.435	rapporto di biforcazione	4.243
rapporto lunghezze medie di due ordini adiacenti	1.1	rapporto pendenze medie di due ordini adiacenti	3.014
densità di drenaggio	0.973	diametro topologico	34
lunghezza LDP	47.333	lunghezza asta principale	45.909
lunghezza totale reticolo idrografico	324.4	lunghezza media versanti	690
pendenza media LDP	3	media dell'afflusso totale annuo	1163
deviazione standard dell'afflusso totale annuo	172	media coeff. pluviale orario CPP	29.911
dev. standard coeff. pluviale orario CPP	1.314	media esponente CPP	0.353
dev. standard esponente CPP	0.048	coeff. di intensità	0.026
media LCV piogge 1 ora	0.145	dev. standard LCV piogge 1 ora	0.02
media LCV piogge 3 ore	0.141	dev. standard LCV piogge 3 ore	0.025
media LCV piogge 6 ore	0.139	dev. standard LCV piogge 6 ore	0.017
media LCV piogge 12 ore	0.151	dev. standard LCV piogge 12 ore	0.019
media LCV piogge 24 ore	0.167	dev. standard LCV piogge 24 ore	0.02
media LCA piogge 1 ora	0.109	dev. standard LCA piogge 1 ora	0.034
media LCA piogge 3 ore	0.069	dev. standard LCA piogge 3 ore	0.064
media LCA piogge 6 ore	0.072	dev. standard LCA piogge 6 ore	0.041
media LCA piogge 12 ore	0.083	dev. standard LCA piogge 12 ore	0.027
media LCA piogge 24 ore	0.101	dev. standard LCA piogge 24 ore	0.027
media coeff. B1 regime pluviometrico	-31.8	media coeff. C1 regime pluviometrico	-7.8
media coeff. B2 regime pluviometrico	0.8	media coeff. C2 regime pluviometrico	-43.2
dev. standard regime pluviometrico	41.3	coeff. variaz. regime pluviometrico	0.394
classe 1 corine land cover	5.4	classe 2 corine land cover	27.88
classe 3 corine land cover	65.42	classe 4 corine land cover	1.31
classe 5 corine land cover	0	media NDVI	0.568
dev. standard NDVI	0.044	media curve number 1	47.8
media curve number 2	66.9	media curve number 3	82.3
dev. standard curve number 1	9	dev. standard curve number 2	8.5
dev. standard curve number 3	6.6	media indice di permeabilità vapi	0.442
dev. standard indice di permeabilità vapi	0.115		

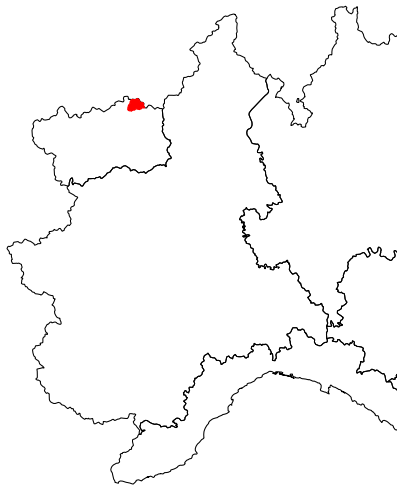


Malone a Front

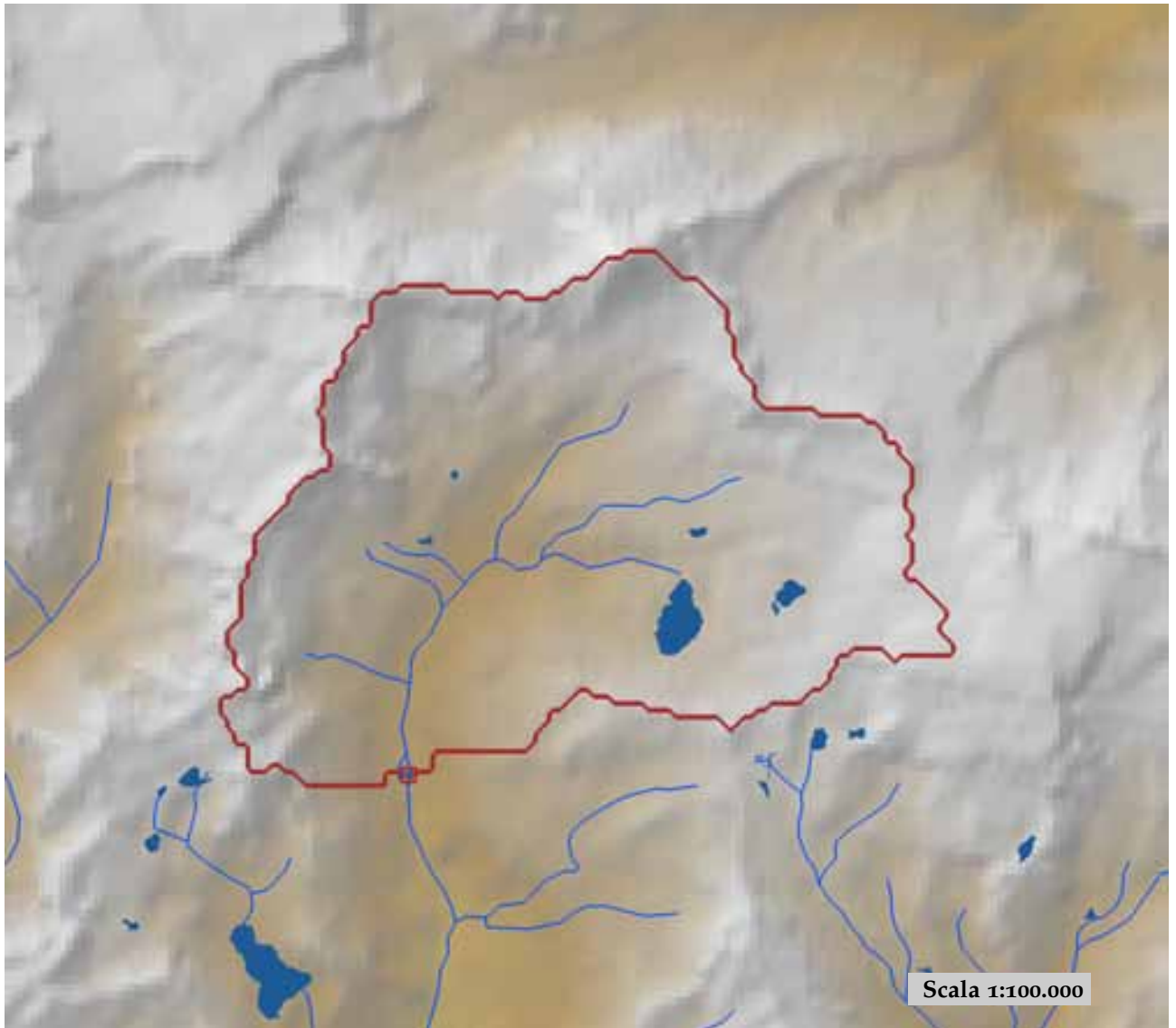


est (UTM _{32N} WGS84)	395360	nord (UTM _{32N} WGS84)	5015295
est DEM (UTM _{32N} WGS84)	395153	nord DEM (UTM _{32N} WGS84)	5015741
area bacino	131.2	quota media	675

quota massima	2107	quota minima	271
curva ipsografica 2,5%	1747	curva ipsografica 5%	1554
curva ipsografica 10%	1300	curva ipsografica 25%	875
curva ipsografica 50%	515	curva ipsografica 75%	364
curva ipsografica 90%	322	curva ipsografica 95%	305
curva ipsografica 97,5%	294	distanza interquartile curva ipsografica	511
angolo di esposizione medio	128	lunghezza vettore orientamento	7.9
pendenza bacino	10.874	pendenza bacino quadrato equivalente	4.278
est baricentro (UTM _{32N} WGS84)	388950	nord baricentro (UTM _{32N} WGS84)	5020650
fattore di forma	0.258	rapporto di allungamento	0.573
media funzione di ampiezza	11711	varianza funzione di ampiezza	2.72×10^7
skewness funzione di ampiezza	0.129	kurtosis funzione di ampiezza	2.222
rapporto aree medie di due ordini adiacenti	4.204	rapporto di biforcazione	3.937
rapporto lunghezze medie di due ordini adiacenti	1.33	rapporto pendenze medie di due ordini adiacenti	3.43
densità di drenaggio	0.79	diametro topologico	17
lunghezza LDP	22.545	lunghezza asta principale	21.121
lunghezza totale reticolo idrografico	103.7	lunghezza media versanti	729
pendenza media LDP	6	media dell'afflusso totale annuo	1334
deviazione standard dell'afflusso totale annuo	93	media coeff. pluviale orario CPP	30.819
dev. standard coeff. pluviale orario CPP	1.276	media esponente CPP	0.399
dev. standard esponente CPP	0.038	coeff. di intensità	0.023
media LCV piogge 1 ora	0.164	dev. standard LCV piogge 1 ora	0.017
media LCV piogge 3 ore	0.165	dev. standard LCV piogge 3 ore	0.016
media LCV piogge 6 ore	0.153	dev. standard LCV piogge 6 ore	0.013
media LCV piogge 12 ore	0.168	dev. standard LCV piogge 12 ore	0.014
media LCV piogge 24 ore	0.185	dev. standard LCV piogge 24 ore	0.016
media LCA piogge 1 ora	0.134	dev. standard LCA piogge 1 ora	0.033
media LCA piogge 3 ore	0.13	dev. standard LCA piogge 3 ore	0.03
media LCA piogge 6 ore	0.104	dev. standard LCA piogge 6 ore	0.03
media LCA piogge 12 ore	0.089	dev. standard LCA piogge 12 ore	0.034
media LCA piogge 24 ore	0.108	dev. standard LCA piogge 24 ore	0.034
media coeff. B1 regime pluviometrico	-38.9	media coeff. C1 regime pluviometrico	-10.3
media coeff. B2 regime pluviometrico	1.6	media coeff. C2 regime pluviometrico	-49.7
dev. standard regime pluviometrico	46.5	coeff. variaz. regime pluviometrico	0.389
classe 1 corine land cover	2.82	classe 2 corine land cover	49.56
classe 3 corine land cover	45.34	classe 4 corine land cover	2.32
classe 5 corine land cover	0	media NDVI	0.582
dev. standard NDVI	0.045	media curve number 1	46
media curve number 2	65.3	media curve number 3	81.2
dev. standard curve number 1	8.4	dev. standard curve number 2	8.1
dev. standard curve number 3	6.2	media indice di permeabilità vapi	0.484
dev. standard indice di permeabilità vapi	0.107		

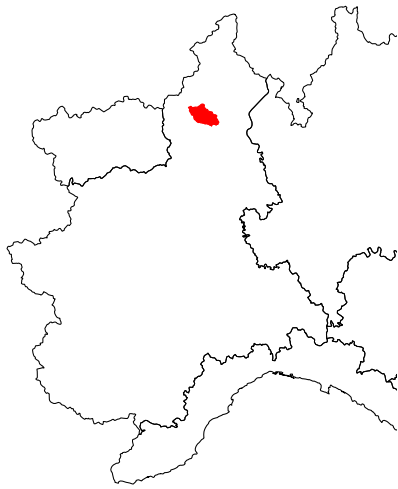


Marmore a Perreres

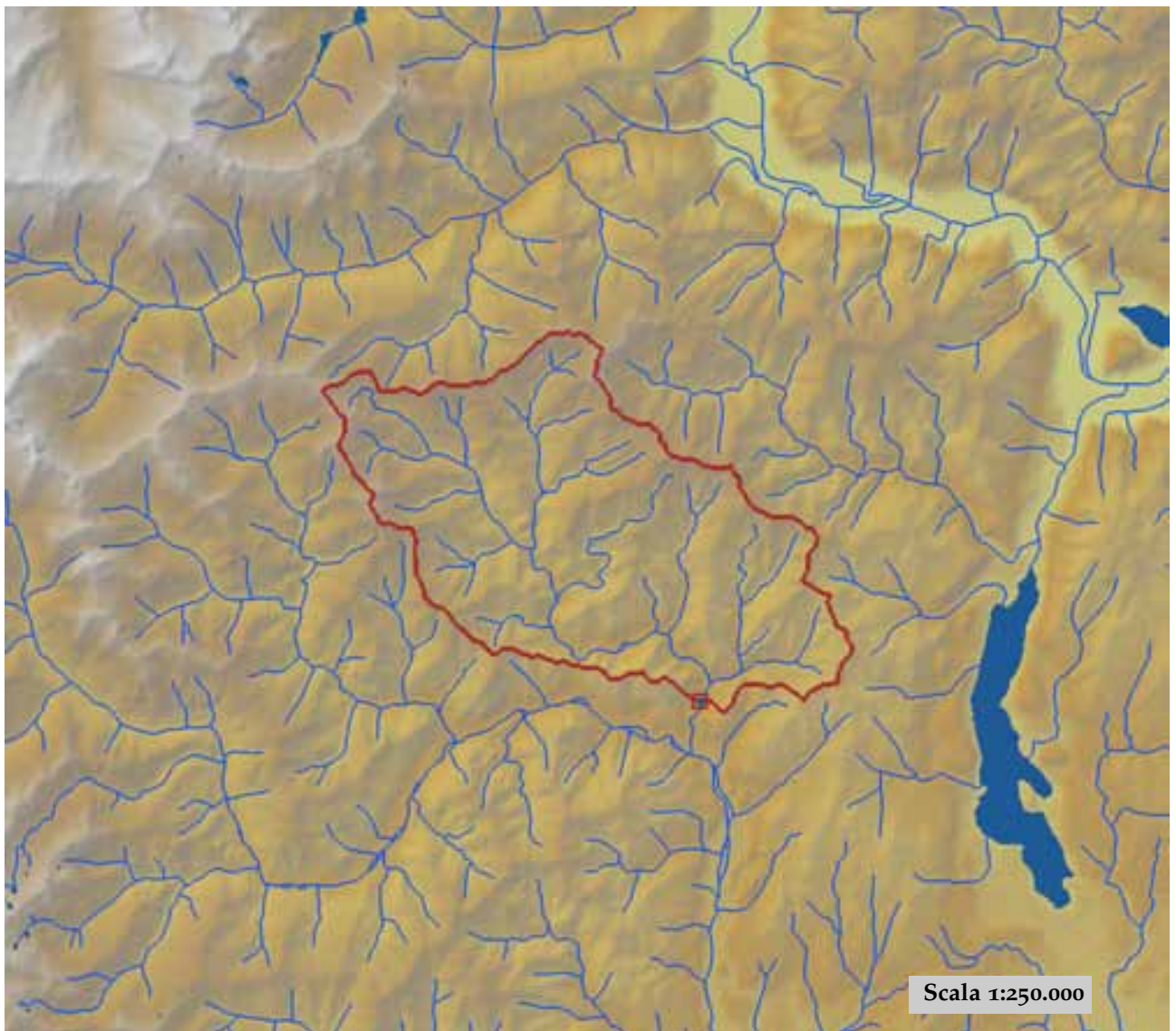


est (UTM ₃₂ N WGS84)	392605	nord (UTM ₃₂ N WGS84)	5084497
est DEM (UTM ₃₂ N WGS84)	392553	nord DEM (UTM ₃₂ N WGS84)	5084754
area bacino	54.47	quota media	2739

quota massima	4383	quota minima	1839
curva ipsografica 2,5%	3716	curva ipsografica 5%	3513
curva ipsografica 10%	3336	curva ipsografica 25%	3036
curva ipsografica 50%	2725	curva ipsografica 75%	2393
curva ipsografica 90%	2144	curva ipsografica 95%	2035
curva ipsografica 97,5%	1992	distanza interquartile curva ipsografica	643
angolo di esposizione medio	209	lunghezza vettore orientamento	4.2
pendenza bacino	23.617	pendenza bacino quadrato equivalente	24.037
est baricentro (UTM _{32N} WGS84)	394750	nord baricentro (UTM _{32N} WGS84)	5088350
fattore di forma	0.369	rapporto di allungamento	0.685
media funzione di ampiezza	6382	varianza funzione di ampiezza	7.14×10 ⁶
skewness funzione di ampiezza	-0.2	kurtosis funzione di ampiezza	2.251
rapporto aree medie di due ordini adiacenti	3.041	rapporto di biforcazione	3.8
rapporto lunghezze medie di due ordini adiacenti	1.174	rapporto pendenze medie di due ordini adiacenti	2.088
densità di drenaggio	0.566	diametro topologico	11
lunghezza LDP	12.157	lunghezza asta principale	9.691
lunghezza totale reticolo idrografico	30.8	lunghezza media versanti	897
pendenza media LDP	10	media dell'afflusso totale annuo	1016
deviazione standard dell'afflusso totale annuo	40	media coeff. pluviale orario CPP	12.597
dev. standard coeff. pluviale orario CPP	0.438	media esponente CPP	0.577
dev. standard esponente CPP	0.011	coeff. di intensità	0.012
media LCV piogge 1 ora	0.194	dev. standard LCV piogge 1 ora	0.008
media LCV piogge 3 ore	0.188	dev. standard LCV piogge 3 ore	0.004
media LCV piogge 6 ore	0.197	dev. standard LCV piogge 6 ore	0.003
media LCV piogge 12 ore	0.196	dev. standard LCV piogge 12 ore	0.002
media LCV piogge 24 ore	0.207	dev. standard LCV piogge 24 ore	0.005
media LCA piogge 1 ora	0.245	dev. standard LCA piogge 1 ora	0.008
media LCA piogge 3 ore	0.279	dev. standard LCA piogge 3 ore	0.006
media LCA piogge 6 ore	0.22	dev. standard LCA piogge 6 ore	0.007
media LCA piogge 12 ore	0.227	dev. standard LCA piogge 12 ore	0.002
media LCA piogge 24 ore	0.245	dev. standard LCA piogge 24 ore	0.01
media coeff. B1 regime pluviometrico	-4.7	media coeff. C1 regime pluviometrico	-5.9
media coeff. B2 regime pluviometrico	4.5	media coeff. C2 regime pluviometrico	-8.1
dev. standard regime pluviometrico	17.3	coeff. variaz. regime pluviometrico	0.27
classe 1 corine land cover	1.3	classe 2 corine land cover	11.16
classe 3 corine land cover	18.68	classe 4 corine land cover	68.09
classe 5 corine land cover	0.88	media NDVI	0.137
dev. standard NDVI	0.096	media curve number 1	52.5
media curve number 2	68.7	media curve number 3	80.4
dev. standard curve number 1	17.2	dev. standard curve number 2	20.7
dev. standard curve number 3	23.1	media indice di permeabilità vapi	0.4
dev. standard indice di permeabilità vapi	0.307		

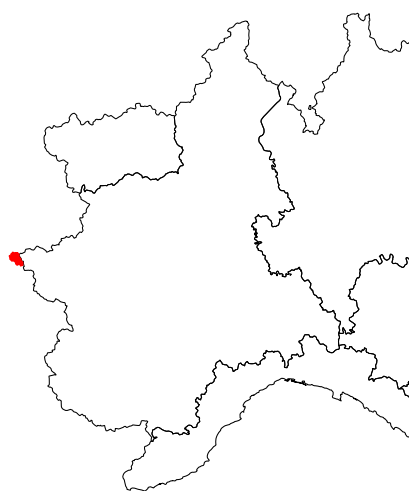


Mastallone a Varallo

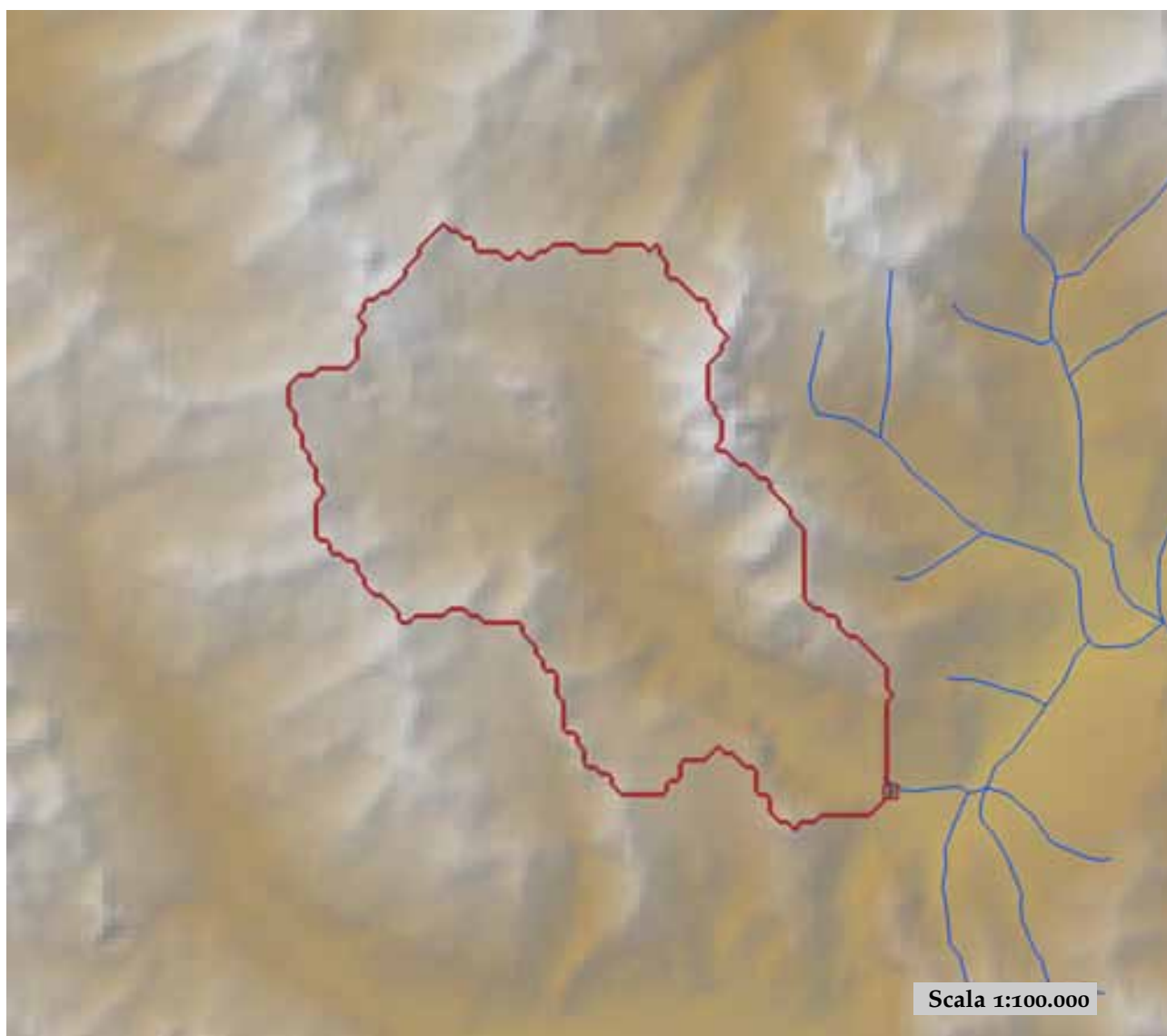


est (UTM _{32N} WGS84)	442190	nord (UTM _{32N} WGS84)	5075482
est DEM (UTM _{32N} WGS84)	442083	nord DEM (UTM _{32N} WGS84)	5075487
area bacino	146.55	quota media	1335

quota massima	2427	quota minima	479
curva ipsografica 2,5%	2161	curva ipsografica 5%	2060
curva ipsografica 10%	1908	curva ipsografica 25%	1632
curva ipsografica 50%	1300	curva ipsografica 75%	1015
curva ipsografica 90%	814	curva ipsografica 95%	713
curva ipsografica 97,5%	639	distanza interquartile curva ipsografica	617
angolo di esposizione medio	172	lunghezza vettore orientamento	7.5
pendenza bacino	27.072	pendenza bacino quadrato equivalente	13.58
est baricentro (UTM _{32N} WGS84)	437950	nord baricentro (UTM _{32N} WGS84)	5081750
fattore di forma	0.254	rapporto di allungamento	0.569
media funzione di ampiezza	13546	varianza funzione di ampiezza	4.14×10 ⁷
skewness funzione di ampiezza	-0.169	kurtosis funzione di ampiezza	1.656
rapporto aree medie di due ordini adiacenti	3.104	rapporto di biforcazione	2.887
rapporto lunghezze medie di due ordini adiacenti	1.323	rapporto pendenze medie di due ordini adiacenti	1.834
densità di drenaggio	0.573	diametro topologico	11
lunghezza LDP	24.001	lunghezza asta principale	22.394
lunghezza totale reticolo idrografico	84	lunghezza media versanti	625
pendenza media LDP	10	media dell'afflusso totale annuo	1985
deviazione standard dell'afflusso totale annuo	133	media coeff. pluviale orario CPP	29.488
dev. standard coeff. pluviale orario CPP	3.108	media esponente CPP	0.537
dev. standard esponente CPP	0.018	coeff. di intensità	0.015
media LCV piogge 1 ora	0.165	dev. standard LCV piogge 1 ora	0.012
media LCV piogge 3 ore	0.16	dev. standard LCV piogge 3 ore	0.011
media LCV piogge 6 ore	0.147	dev. standard LCV piogge 6 ore	0.012
media LCV piogge 12 ore	0.156	dev. standard LCV piogge 12 ore	0.011
media LCV piogge 24 ore	0.157	dev. standard LCV piogge 24 ore	0.006
media LCA piogge 1 ora	0.146	dev. standard LCA piogge 1 ora	0.037
media LCA piogge 3 ore	0.123	dev. standard LCA piogge 3 ore	0.026
media LCA piogge 6 ore	0.122	dev. standard LCA piogge 6 ore	0.021
media LCA piogge 12 ore	0.098	dev. standard LCA piogge 12 ore	0.021
media LCA piogge 24 ore	0.082	dev. standard LCA piogge 24 ore	0.02
media coeff. B1 regime pluviometrico	-47.5	media coeff. C1 regime pluviometrico	-32.1
media coeff. B2 regime pluviometrico	-8.8	media coeff. C2 regime pluviometrico	-62.8
dev. standard regime pluviometrico	63.3	coeff. variaz. regime pluviometrico	0.375
classe 1 corine land cover	0	classe 2 corine land cover	71.27
classe 3 corine land cover	27.04	classe 4 corine land cover	1.72
classe 5 corine land cover	0	media NDVI	0.494
dev. standard NDVI	0.082	media curve number 1	32.3
media curve number 2	50.9	media curve number 3	69.3
dev. standard curve number 1	11.9	dev. standard curve number 2	13.3
dev. standard curve number 3	12	media indice di permeabilità vapi	0.588
dev. standard indice di permeabilità vapi	0.024		

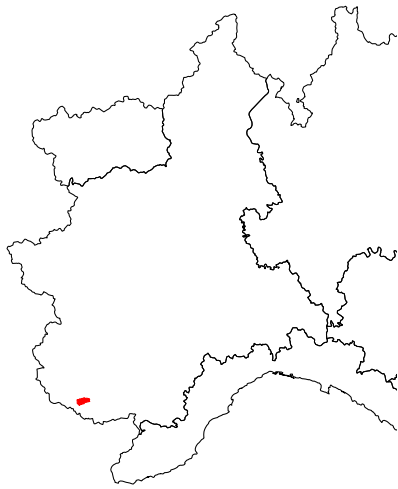


Melezet a Melezet

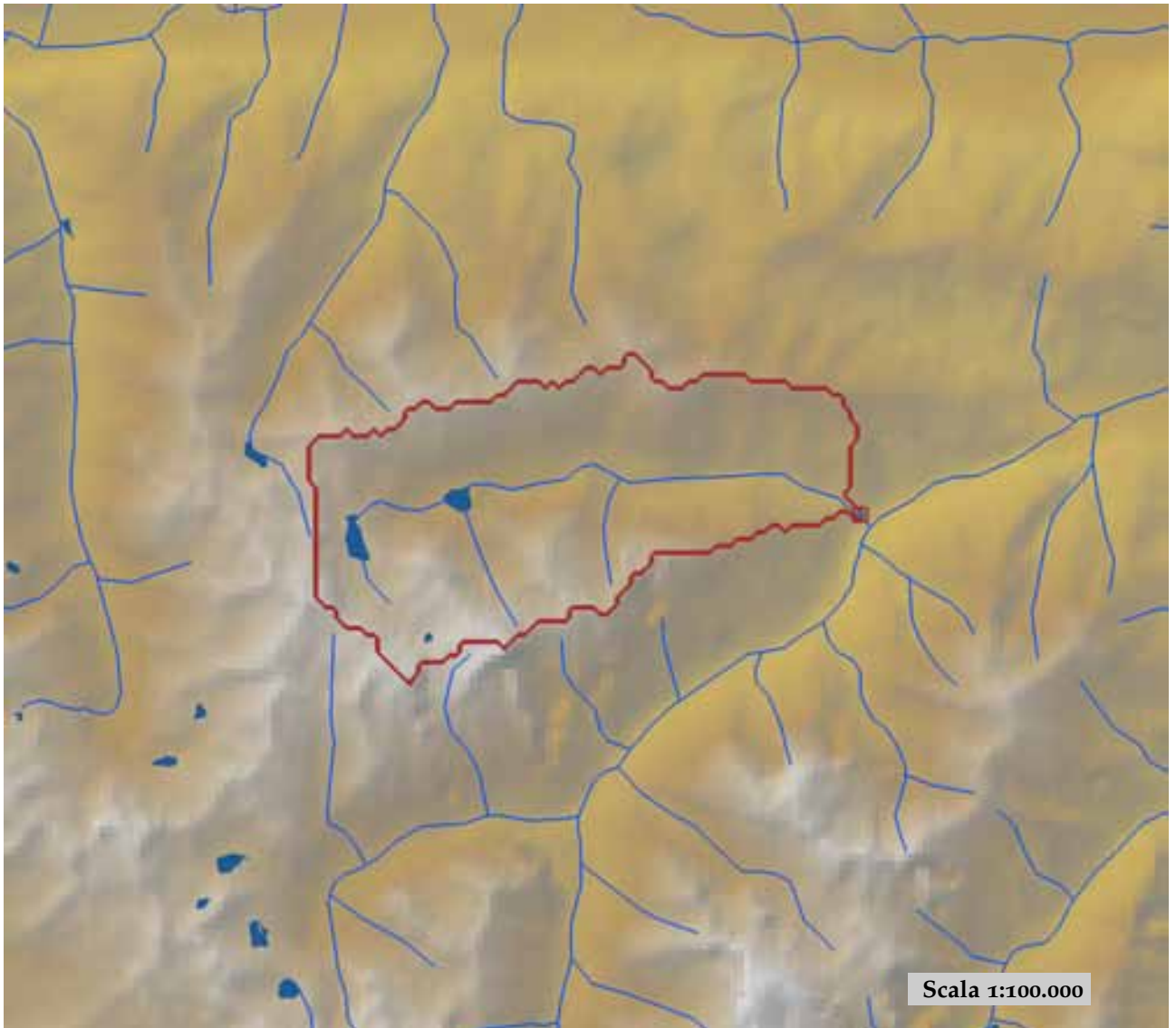


est (UTM _{32N} WGS84)	315867	nord (UTM _{32N} WGS84)	4991349
est DEM (UTM _{32N} WGS84)	315855	nord DEM (UTM _{32N} WGS84)	4991340
area bacino	43.2	quota media	2389

quota massima	3164	quota minima	1497
curva ipsografica 2,5%	2949	curva ipsografica 5%	2885
curva ipsografica 10%	2797	curva ipsografica 25%	2622
curva ipsografica 50%	2419	curva ipsografica 75%	2199
curva ipsografica 90%	1902	curva ipsografica 95%	1763
curva ipsografica 97,5%	1692	distanza interquartile curva ipsografica	423
angolo di esposizione medio	125	lunghezza vettore orientamento	6
pendenza bacino	23.973	pendenza bacino quadrato equivalente	28.086
est baricentro (UTM _{32N} WGS84)	311450	nord baricentro (UTM _{32N} WGS84)	4995350
fattore di forma	0.304	rapporto di allungamento	0.622
media funzione di ampiezza	7420	varianza funzione di ampiezza	9.15×10 ⁶
skewness funzione di ampiezza	-0.439	kurtosis funzione di ampiezza	2.177
rapporto aree medie di due ordini adiacenti	3.231	rapporto di biforcazione	4
rapporto lunghezze medie di due ordini adiacenti	1.628	rapporto pendenze medie di due ordini adiacenti	2.573
densità di drenaggio	0.51	diametro topologico	10
lunghezza LDP	11.92	lunghezza asta principale	10.371
lunghezza totale reticolo idrografico	22	lunghezza media versanti	804
pendenza media LDP	10	media dell'afflusso totale annuo	849
deviazione standard dell'afflusso totale annuo	17	media coeff. pluviale orario CPP	12.4
dev. standard coeff. pluviale orario CPP	0.378	media esponente CPP	0.493
dev. standard esponente CPP	0.009	coeff. di intensità	0.015
media LCV piogge 1 ora	0.186	dev. standard LCV piogge 1 ora	0.009
media LCV piogge 3 ore	0.142	dev. standard LCV piogge 3 ore	0.007
media LCV piogge 6 ore	0.146	dev. standard LCV piogge 6 ore	0.006
media LCV piogge 12 ore	0.144	dev. standard LCV piogge 12 ore	0.004
media LCV piogge 24 ore	0.162	dev. standard LCV piogge 24 ore	0.003
media LCA piogge 1 ora	0.182	dev. standard LCA piogge 1 ora	0.011
media LCA piogge 3 ore	0.137	dev. standard LCA piogge 3 ore	0.005
media LCA piogge 6 ore	0.16	dev. standard LCA piogge 6 ore	0.002
media LCA piogge 12 ore	0.122	dev. standard LCA piogge 12 ore	0.01
media LCA piogge 24 ore	0.116	dev. standard LCA piogge 24 ore	0.007
media coeff. B1 regime pluviometrico	0.5	media coeff. C1 regime pluviometrico	-6
media coeff. B2 regime pluviometrico	-9.2	media coeff. C2 regime pluviometrico	-38.3
dev. standard regime pluviometrico	34.3	coeff. variaz. regime pluviometrico	0.527
classe 1 corine land cover	0	classe 2 corine land cover	12.16
classe 3 corine land cover	11.28	classe 4 corine land cover	76.65
classe 5 corine land cover	0	media NDVI	0.187
dev. standard NDVI	0.097	media curve number 1	52.8
media curve number 2	71	media curve number 3	84.8
dev. standard curve number 1	11.8	dev. standard curve number 2	10.3
dev. standard curve number 3	7.2	media indice di permeabilità vapi	0.046
dev. standard indice di permeabilità vapi	0.05		



Meris a Sant'Anna Valdieri

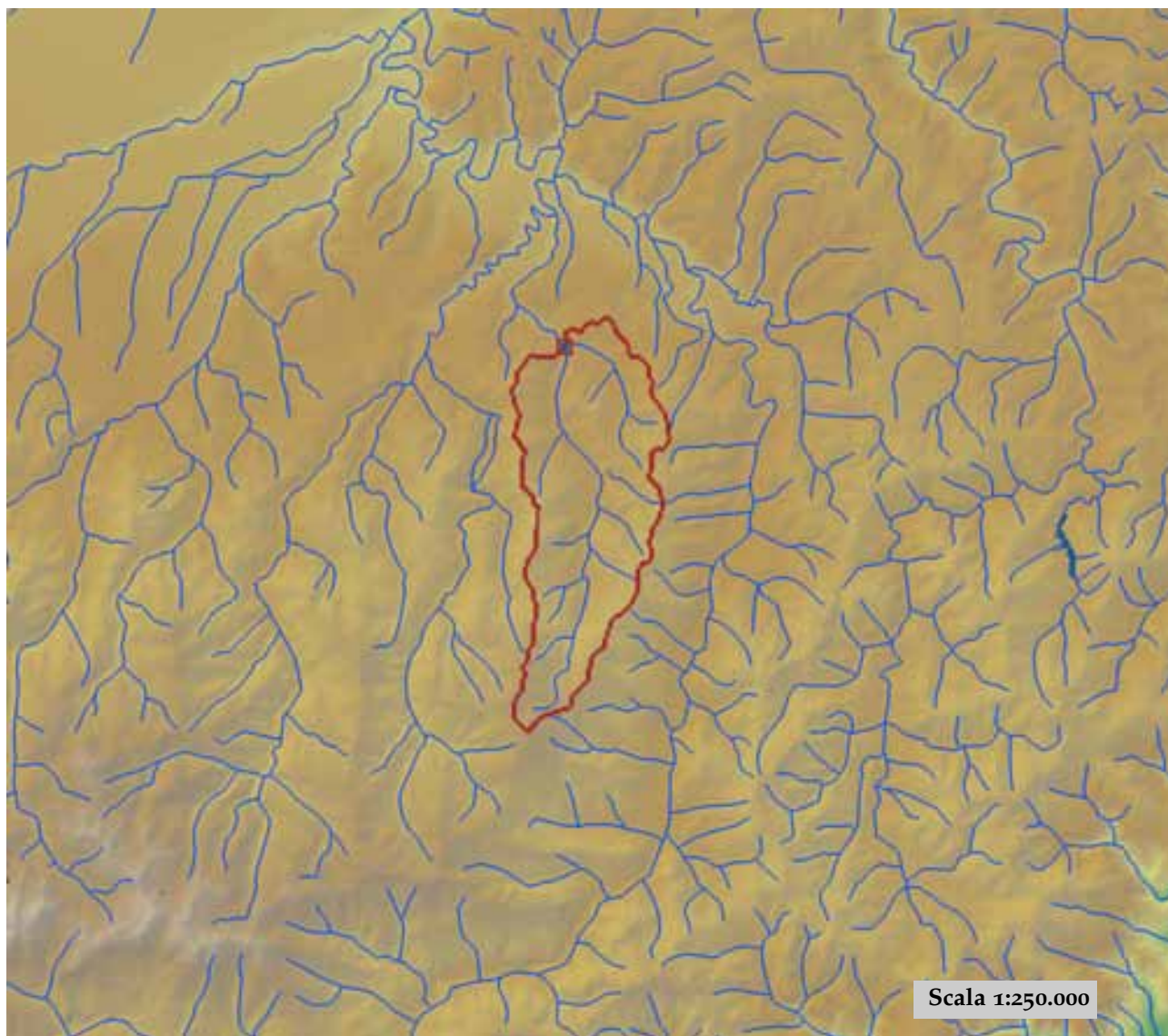


est (UTM _{32N} WGS84)	365656	nord (UTM _{32N} WGS84)	4900453
est DEM (UTM _{32N} WGS84)	365754	nord DEM (UTM _{32N} WGS84)	4900451
area bacino	23.13	quota media	2110

quota massima	2959	quota minima	1056
curva ipsografica 2,5%	2767	curva ipsografica 5%	2677
curva ipsografica 10%	2576	curva ipsografica 25%	2400
curva ipsografica 50%	2134	curva ipsografica 75%	1833
curva ipsografica 90%	1581	curva ipsografica 95%	1431
curva ipsografica 97,5%	1326	distanza interquartile curva ipsografica	567
angolo di esposizione medio	103	lunghezza vettore orientamento	4.4
pendenza bacino	30.136	pendenza bacino quadrato equivalente	44.871
est baricentro (UTM _{32N} WGS84)	361350	nord baricentro (UTM _{32N} WGS84)	4900750
fattore di forma	0.174	rapporto di allungamento	0.471
media funzione di ampiezza	5969	varianza funzione di ampiezza	7.48×10 ⁶
skewness funzione di ampiezza	-0.067	kurtosis funzione di ampiezza	1.955
rapporto aree medie di due ordini adiacenti	-	rapporto di biforcazione	11.491
rapporto lunghezze medie di due ordini adiacenti	0.497	rapporto pendenze medie di due ordini adiacenti	-
densità di drenaggio	-	diametro topologico	3
lunghezza LDP	11.533	lunghezza asta principale	9.884
lunghezza totale reticolo idrografico	-	lunghezza media versanti	705
pendenza media LDP	13	media dell'afflusso totale annuo	1289
deviazione standard dell'afflusso totale annuo	40	media coeff. pluviale orario CPP	14.564
dev. standard coeff. pluviale orario CPP	0.697	media esponente CPP	0.558
dev. standard esponente CPP	0.015	coeff. di intensità	0.011
media LCV piogge 1 ora	0.213	dev. standard LCV piogge 1 ora	0.01
media LCV piogge 3 ore	0.156	dev. standard LCV piogge 3 ore	0.007
media LCV piogge 6 ore	0.143	dev. standard LCV piogge 6 ore	0.001
media LCV piogge 12 ore	0.159	dev. standard LCV piogge 12 ore	0.002
media LCV piogge 24 ore	0.171	dev. standard LCV piogge 24 ore	0.004
media LCA piogge 1 ora	0.166	dev. standard LCA piogge 1 ora	0.008
media LCA piogge 3 ore	0.16	dev. standard LCA piogge 3 ore	0.017
media LCA piogge 6 ore	0.185	dev. standard LCA piogge 6 ore	0.013
media LCA piogge 12 ore	0.235	dev. standard LCA piogge 12 ore	0.016
media LCA piogge 24 ore	0.239	dev. standard LCA piogge 24 ore	0.01
media coeff. B1 regime pluviometrico	10.5	media coeff. C1 regime pluviometrico	4.9
media coeff. B2 regime pluviometrico	-11.7	media coeff. C2 regime pluviometrico	-47.8
dev. standard regime pluviometrico	38.4	coeff. variaz. regime pluviometrico	0.321
classe 1 corine land cover	0	classe 2 corine land cover	26.03
classe 3 corine land cover	21.91	classe 4 corine land cover	52.23
classe 5 corine land cover	0	media NDVI	0.26
dev. standard NDVI	0.096	media curve number 1	31.5
media curve number 2	49.6	media curve number 3	67.9
dev. standard curve number 1	14.9	dev. standard curve number 2	15
dev. standard curve number 3	12.1	media indice di permeabilità vapi	0.309
dev. standard indice di permeabilità vapi	0.026		

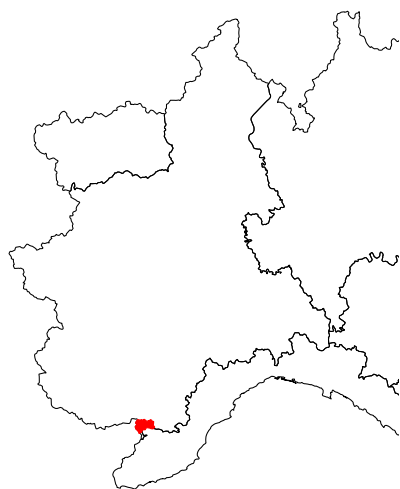


Mongia a Mombasiglio

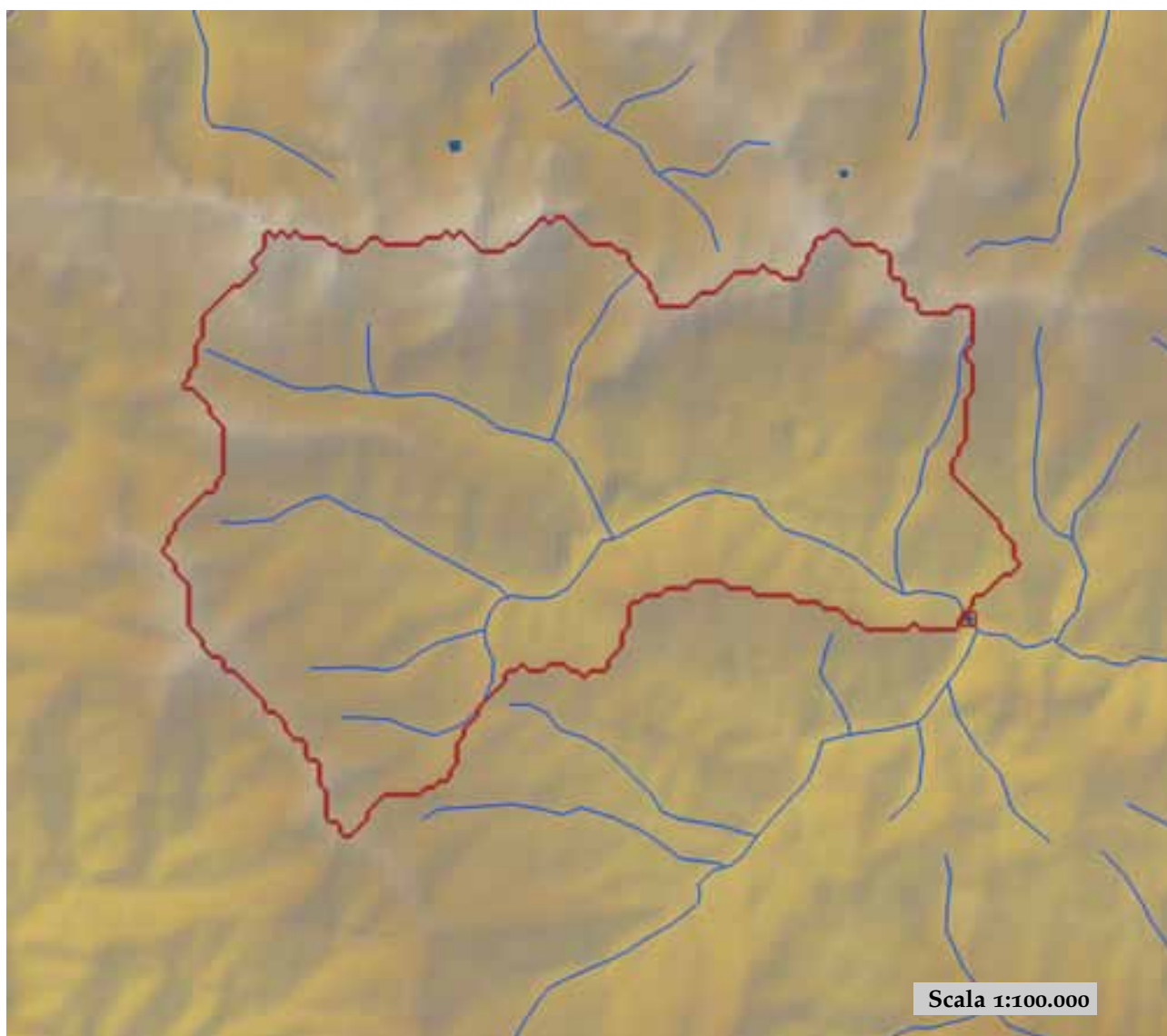


est (UTM _{32N} WGS84)	417497	nord (UTM _{32N} WGS84)	4913268
est DEM (UTM _{32N} WGS84)	417747	nord DEM (UTM _{32N} WGS84)	4912749
area bacino	54.4	quota media	818

quota massima	1814	quota minima	447
curva ipsografica 2,5%	1635	curva ipsografica 5%	1502
curva ipsografica 10%	1191	curva ipsografica 25%	920
curva ipsografica 50%	751	curva ipsografica 75%	624
curva ipsografica 90%	531	curva ipsografica 95%	501
curva ipsografica 97,5%	480	distanza interquartile curva ipsografica	296
angolo di esposizione medio	13	lunghezza vettore orientamento	5.6
pendenza bacino	15.116	pendenza bacino quadrato equivalente	8.27
est baricentro (UTM _{32N} WGS84)	418450	nord baricentro (UTM _{32N} WGS84)	4907150
fattore di forma	0.183	rapporto di allungamento	0.483
media funzione di ampiezza	7595	varianza funzione di ampiezza	1.67×10^7
skewness funzione di ampiezza	0.266	kurtosis funzione di ampiezza	2.082
rapporto aree medie di due ordini adiacenti	9.266	rapporto di biforcazione	5.5
rapporto lunghezze medie di due ordini adiacenti	4.833	rapporto pendenze medie di due ordini adiacenti	5.149
densità di drenaggio	0.539	diametro topologico	10
lunghezza LDP	17.22	lunghezza asta principale	15.712
lunghezza totale reticolo idrografico	29.3	lunghezza media versanti	700
pendenza media LDP	8	media dell'afflusso totale annuo	1091
deviazione standard dell'afflusso totale annuo	85	media coeff. pluviale orario CPP	24.303
dev. standard coeff. pluviale orario CPP	0.556	media esponente CPP	0.424
dev. standard esponente CPP	0.024	coeff. di intensità	0.022
media LCV piogge 1 ora	0.162	dev. standard LCV piogge 1 ora	0.005
media LCV piogge 3 ore	0.152	dev. standard LCV piogge 3 ore	0.003
media LCV piogge 6 ore	0.147	dev. standard LCV piogge 6 ore	0.005
media LCV piogge 12 ore	0.162	dev. standard LCV piogge 12 ore	0.009
media LCV piogge 24 ore	0.166	dev. standard LCV piogge 24 ore	0.007
media LCA piogge 1 ora	0.138	dev. standard LCA piogge 1 ora	0.019
media LCA piogge 3 ore	0.111	dev. standard LCA piogge 3 ore	0.015
media LCA piogge 6 ore	0.143	dev. standard LCA piogge 6 ore	0.024
media LCA piogge 12 ore	0.212	dev. standard LCA piogge 12 ore	0.023
media LCA piogge 24 ore	0.182	dev. standard LCA piogge 24 ore	0.014
media coeff. B1 regime pluviometrico	7.4	media coeff. C1 regime pluviometrico	-6.6
media coeff. B2 regime pluviometrico	4.2	media coeff. C2 regime pluviometrico	-36.2
dev. standard regime pluviometrico	33.8	coeff. variaz. regime pluviometrico	0.394
classe 1 corine land cover	1.67	classe 2 corine land cover	80.94
classe 3 corine land cover	17.46	classe 4 corine land cover	0
classe 5 corine land cover	0	media NDVI	0.598
dev. standard NDVI	0.026	media curve number 1	45.8
media curve number 2	65.5	media curve number 3	81.5
dev. standard curve number 1	6.1	dev. standard curve number 2	5.7
dev. standard curve number 3	4.2	media indice di permeabilità vapi	0.643
dev. standard indice di permeabilità vapi	0.109		

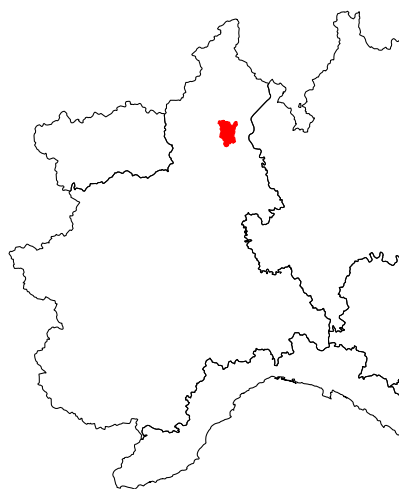


Negrone a Ormea

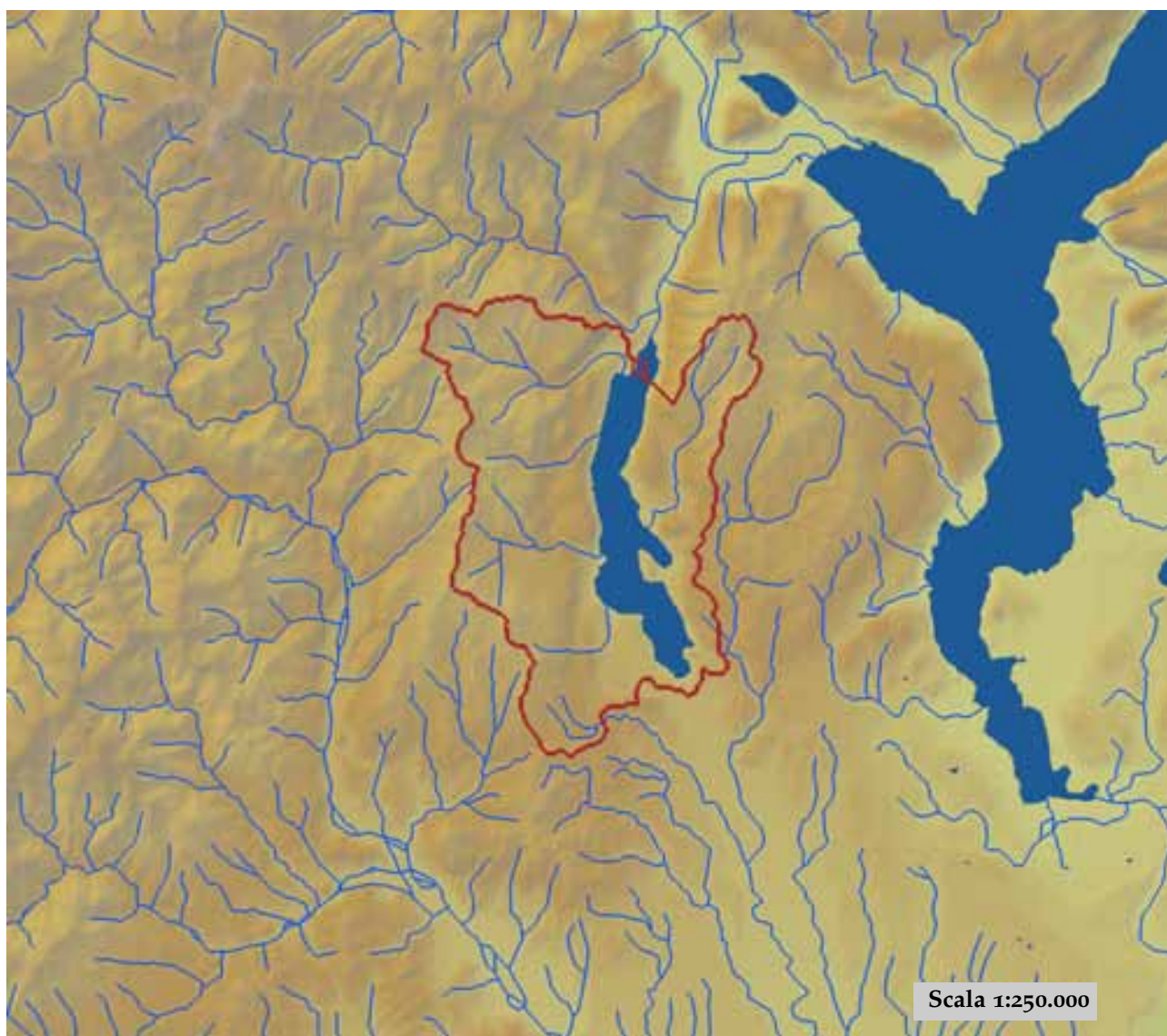


est (UTM _{32N} WGS84)	404967	nord (UTM _{32N} WGS84)	4886432
est DEM (UTM _{32N} WGS84)	404950	nord DEM (UTM _{32N} WGS84)	4886453
area bacino	67.7	quota media	1798

quota massima	2622	quota minima	931
curva ipsografica 2,5%	2449	curva ipsografica 5%	2374
curva ipsografica 10%	2286	curva ipsografica 25%	2097
curva ipsografica 50%	1811	curva ipsografica 75%	1493
curva ipsografica 90%	1296	curva ipsografica 95%	1189
curva ipsografica 97,5%	1111	distanza interquartile curva ipsografica	604
angolo di esposizione medio	144	lunghezza vettore orientamento	6.5
pendenza bacino	23.994	pendenza bacino quadrato equivalente	21.415
est baricentro (UTM _{32N} WGS84)	398850	nord baricentro (UTM _{32N} WGS84)	4888650
fattore di forma	0.31	rapporto di allungamento	0.628
media funzione di ampiezza	9082	varianza funzione di ampiezza	1.30×10 ⁷
skewness funzione di ampiezza	-0.447	kurtosis funzione di ampiezza	2.172
rapporto aree medie di due ordini adiacenti	5.394	rapporto di biforcazione	4.75
rapporto lunghezze medie di due ordini adiacenti	2.749	rapporto pendenze medie di due ordini adiacenti	1.461
densità di drenaggio	0.616	diametro topologico	11
lunghezza LDP	14.785	lunghezza asta principale	13.261
lunghezza totale reticolo idrografico	41.7	lunghezza media versanti	685
pendenza media LDP	11	media dell'afflusso totale annuo	1237
deviazione standard dell'afflusso totale annuo	39	media coeff. pluviale orario CPP	22.752
dev. standard coeff. pluviale orario CPP	0.715	media esponente CPP	0.509
dev. standard esponente CPP	0.006	coeff. di intensità	0.018
media LCV piogge 1 ora	0.161	dev. standard LCV piogge 1 ora	0.006
media LCV piogge 3 ore	0.151	dev. standard LCV piogge 3 ore	0.003
media LCV piogge 6 ore	0.156	dev. standard LCV piogge 6 ore	0.006
media LCV piogge 12 ore	0.178	dev. standard LCV piogge 12 ore	0.005
media LCV piogge 24 ore	0.19	dev. standard LCV piogge 24 ore	0.006
media LCA piogge 1 ora	0.135	dev. standard LCA piogge 1 ora	0.032
media LCA piogge 3 ore	0.189	dev. standard LCA piogge 3 ore	0.023
media LCA piogge 6 ore	0.227	dev. standard LCA piogge 6 ore	0.027
media LCA piogge 12 ore	0.274	dev. standard LCA piogge 12 ore	0.018
media LCA piogge 24 ore	0.227	dev. standard LCA piogge 24 ore	0.018
media coeff. B1 regime pluviometrico	10.3	media coeff. C1 regime pluviometrico	-5.7
media coeff. B2 regime pluviometrico	3.3	media coeff. C2 regime pluviometrico	-38.3
dev. standard regime pluviometrico	32.2	coeff. variaz. regime pluviometrico	0.344
classe 1 corine land cover	0	classe 2 corine land cover	53.88
classe 3 corine land cover	23.43	classe 4 corine land cover	22.75
classe 5 corine land cover	0	media NDVI	0.451
dev. standard NDVI	0.111	media curve number 1	40.5
media curve number 2	59.7	media curve number 3	76.5
dev. standard curve number 1	10.9	dev. standard curve number 2	11.9
dev. standard curve number 3	10.5	media indice di permeabilità vapi	0.332
dev. standard indice di permeabilità vapi	0.179		

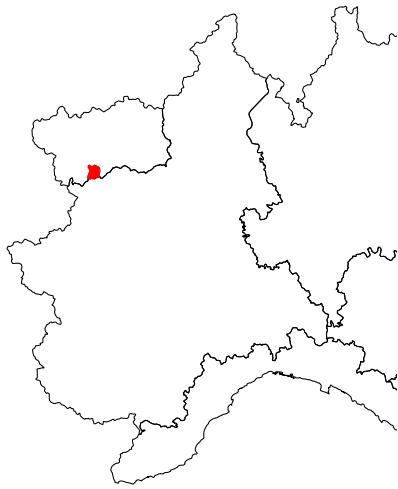


Niguglia a Omega

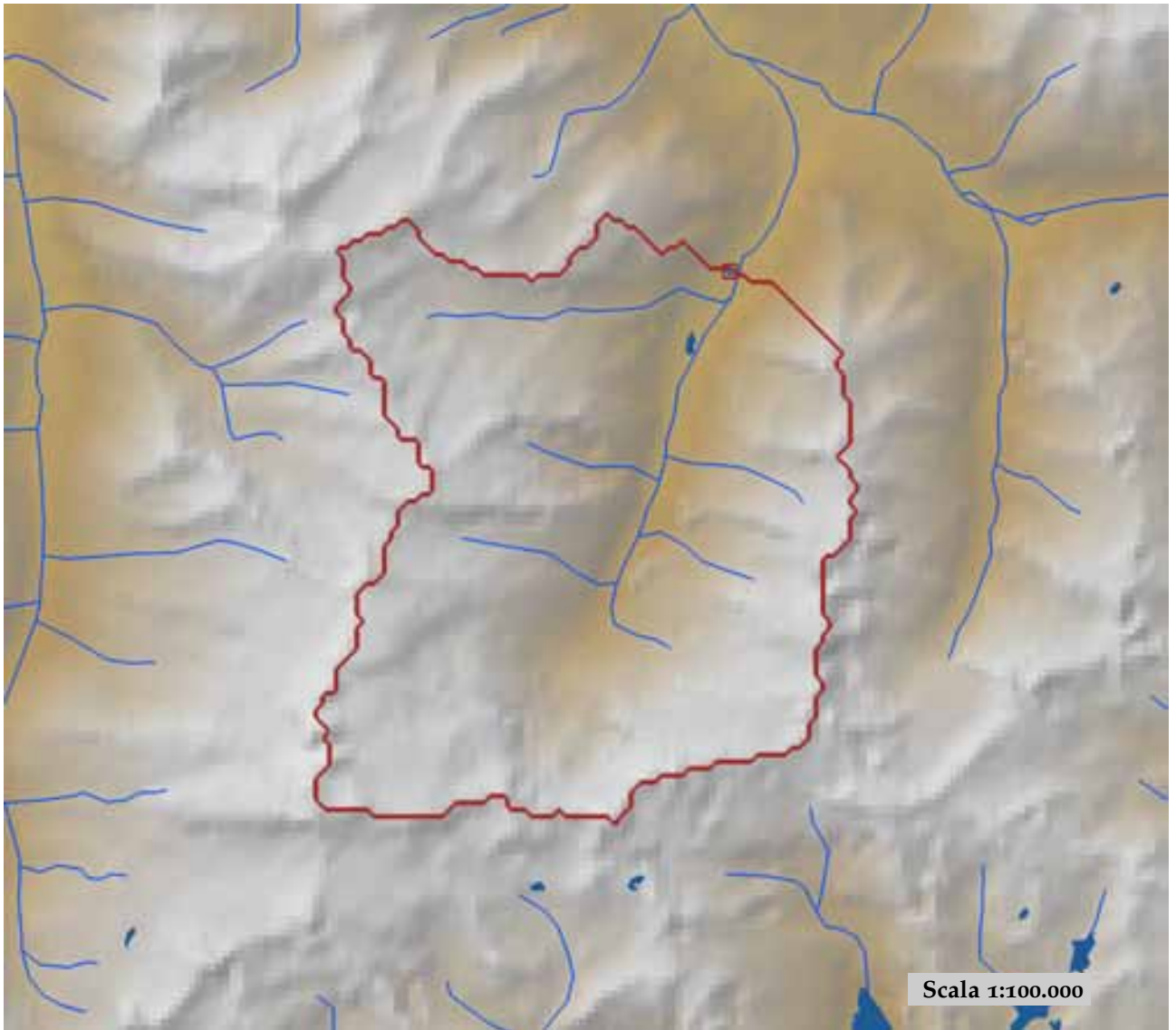


est (UTM ₃₂ N WGS84)	454127	nord (UTM ₃₂ N WGS84)	5080362
est DEM (UTM ₃₂ N WGS84)	453735	nord DEM (UTM ₃₂ N WGS84)	5079241
area bacino	125.08	quota media	655

quota massima	1623	quota minima	266
curva ipsografica 2,5%	1286	curva ipsografica 5%	1210
curva ipsografica 10%	1082	curva ipsografica 25%	881
curva ipsografica 50%	591	curva ipsografica 75%	386
curva ipsografica 90%	293	curva ipsografica 95%	289
curva ipsografica 97,5%	289	distanza interquartile curva ipsografica	495
angolo di esposizione medio	113	lunghezza vettore orientamento	5.2
pendenza bacino	13.877	pendenza bacino quadrato equivalente	5.83
est baricentro (UTM _{32N} WGS84)	451850	nord baricentro (UTM _{32N} WGS84)	5074350
fattore di forma	0.236	rapporto di allungamento	0.548
media funzione di ampiezza	11617	varianza funzione di ampiezza	2.02×10^7
skewness funzione di ampiezza	-0.105	kurtosis funzione di ampiezza	2.707
rapporto aree medie di due ordini adiacenti	3.477	rapporto di biforcazione	3.464
rapporto lunghezze medie di due ordini adiacenti	1.561	rapporto pendenze medie di due ordini adiacenti	1.901
densità di drenaggio	0.674	diametro topologico	17
lunghezza LDP	23.018	lunghezza asta principale	20.845
lunghezza totale reticolo idrografico	84.3	lunghezza media versanti	720
pendenza media LDP	3	media dell'afflusso totale annuo	1991
deviazione standard dell'afflusso totale annuo	123	media coeff. pluviale orario CPP	33.842
dev. standard coeff. pluviale orario CPP	1.259	media esponente CPP	0.464
dev. standard esponente CPP	0.033	coeff. di intensità	0.017
media LCV piogge 1 ora	0.148	dev. standard LCV piogge 1 ora	0.014
media LCV piogge 3 ore	0.15	dev. standard LCV piogge 3 ore	0.015
media LCV piogge 6 ore	0.141	dev. standard LCV piogge 6 ore	0.011
media LCV piogge 12 ore	0.147	dev. standard LCV piogge 12 ore	0.011
media LCV piogge 24 ore	0.146	dev. standard LCV piogge 24 ore	0.01
media LCA piogge 1 ora	0.153	dev. standard LCA piogge 1 ora	0.02
media LCA piogge 3 ore	0.144	dev. standard LCA piogge 3 ore	0.02
media LCA piogge 6 ore	0.12	dev. standard LCA piogge 6 ore	0.032
media LCA piogge 12 ore	0.138	dev. standard LCA piogge 12 ore	0.027
media LCA piogge 24 ore	0.108	dev. standard LCA piogge 24 ore	0.009
media coeff. B1 regime pluviometrico	-51.7	media coeff. C1 regime pluviometrico	-27.3
media coeff. B2 regime pluviometrico	-4.9	media coeff. C2 regime pluviometrico	-68.4
dev. standard regime pluviometrico	68.9	coeff. variaz. regime pluviometrico	0.388
classe 1 corine land cover	5.27	classe 2 corine land cover	65.21
classe 3 corine land cover	14.65	classe 4 corine land cover	0.86
classe 5 corine land cover	14.05	media NDVI	0.571
dev. standard NDVI	0.033	media curve number 1	40.4
media curve number 2	57.2	media curve number 3	70.8
dev. standard curve number 1	15.5	dev. standard curve number 2	21.7
dev. standard curve number 3	26.7	media indice di permeabilità vapi	0.275
dev. standard indice di permeabilità vapi	0.134		

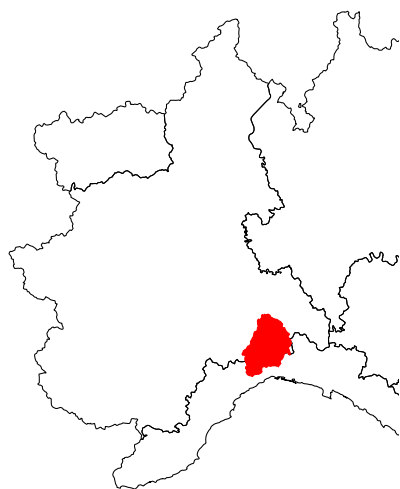


Nontey a Valnontey

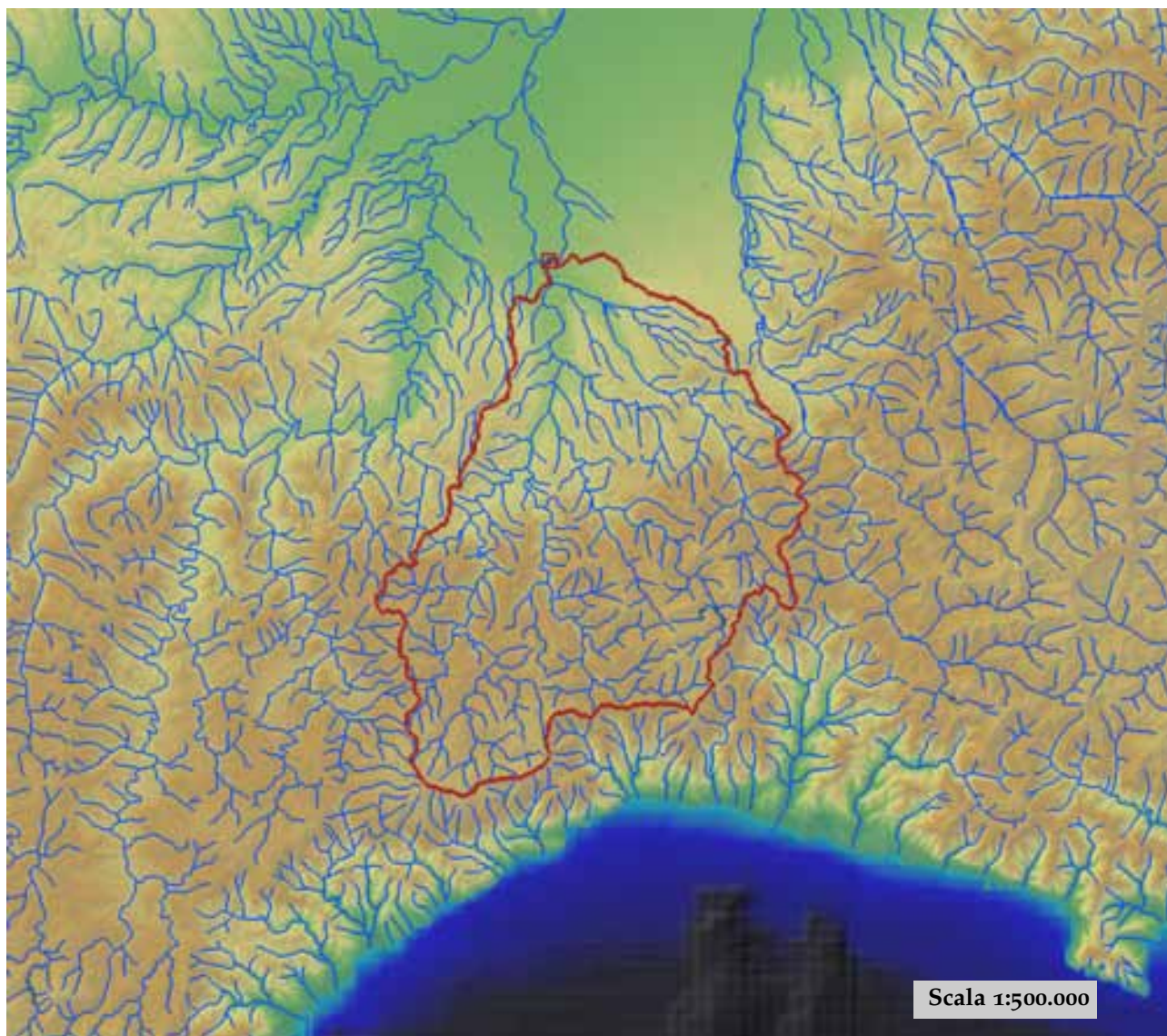


est (UTM ₃₂ N WGS84)	370540	nord (UTM ₃₂ N WGS84)	5049494
est DEM (UTM ₃₂ N WGS84)	370454	nord DEM (UTM ₃₂ N WGS84)	5049547
area bacino	53.11	quota media	2781

quota massima	3938	quota minima	1669
curva ipsografica 2,5%	3600	curva ipsografica 5%	3541
curva ipsografica 10%	3412	curva ipsografica 25%	3146
curva ipsografica 50%	2815	curva ipsografica 75%	2442
curva ipsografica 90%	2075	curva ipsografica 95%	1858
curva ipsografica 97,5%	1753	distanza interquartile curva ipsografica	704
angolo di esposizione medio	32	lunghezza vettore orientamento	4.3
pendenza bacino	27.153	pendenza bacino quadrato equivalente	31.478
est baricentro (UTM _{32N} WGS84)	368350	nord baricentro (UTM _{32N} WGS84)	5045850
fattore di forma	0.602	rapporto di allungamento	0.876
media funzione di ampiezza	6103	varianza funzione di ampiezza	6.63×10 ⁶
skewness funzione di ampiezza	-0.102	kurtosis funzione di ampiezza	2.378
rapporto aree medie di due ordini adiacenti	9.616	rapporto di biforcazione	7.5
rapporto lunghezze medie di due ordini adiacenti	3.352	rapporto pendenze medie di due ordini adiacenti	1.899
densità di drenaggio	0.577	diametro topologico	12
lunghezza LDP	9.391	lunghezza asta principale	7.925
lunghezza totale reticolo idrografico	30.7	lunghezza media versanti	879
pendenza media LDP	13	media dell'afflusso totale annuo	1023
deviazione standard dell'afflusso totale annuo	86	media coeff. pluviale orario CPP	16.199
dev. standard coeff. pluviale orario CPP	0.93	media esponente CPP	0.557
dev. standard esponente CPP	0.011	coeff. di intensità	0.016
media LCV piogge 1 ora	0.194	dev. standard LCV piogge 1 ora	0.009
media LCV piogge 3 ore	0.186	dev. standard LCV piogge 3 ore	0.004
media LCV piogge 6 ore	0.188	dev. standard LCV piogge 6 ore	0.005
media LCV piogge 12 ore	0.201	dev. standard LCV piogge 12 ore	0.008
media LCV piogge 24 ore	0.217	dev. standard LCV piogge 24 ore	0.009
media LCA piogge 1 ora	0.239	dev. standard LCA piogge 1 ora	0.007
media LCA piogge 3 ore	0.202	dev. standard LCA piogge 3 ore	0.017
media LCA piogge 6 ore	0.235	dev. standard LCA piogge 6 ore	0.012
media LCA piogge 12 ore	0.312	dev. standard LCA piogge 12 ore	0.013
media LCA piogge 24 ore	0.289	dev. standard LCA piogge 24 ore	0.016
media coeff. B1 regime pluviometrico	-14.5	media coeff. C1 regime pluviometrico	-4.9
media coeff. B2 regime pluviometrico	-3.5	media coeff. C2 regime pluviometrico	-26.8
dev. standard regime pluviometrico	25.9	coeff. variaz. regime pluviometrico	0.37
classe 1 corine land cover	0	classe 2 corine land cover	11.19
classe 3 corine land cover	7.86	classe 4 corine land cover	81.03
classe 5 corine land cover	0	media NDVI	0.076
dev. standard NDVI	0.083	media curve number 1	39.4
media curve number 2	52.6	media curve number 3	63.1
dev. standard curve number 1	24.8	dev. standard curve number 2	30.3
dev. standard curve number 3	33.7	media indice di permeabilità vapi	0.267
dev. standard indice di permeabilità vapi	0.258		



Orba a Basaluzzo

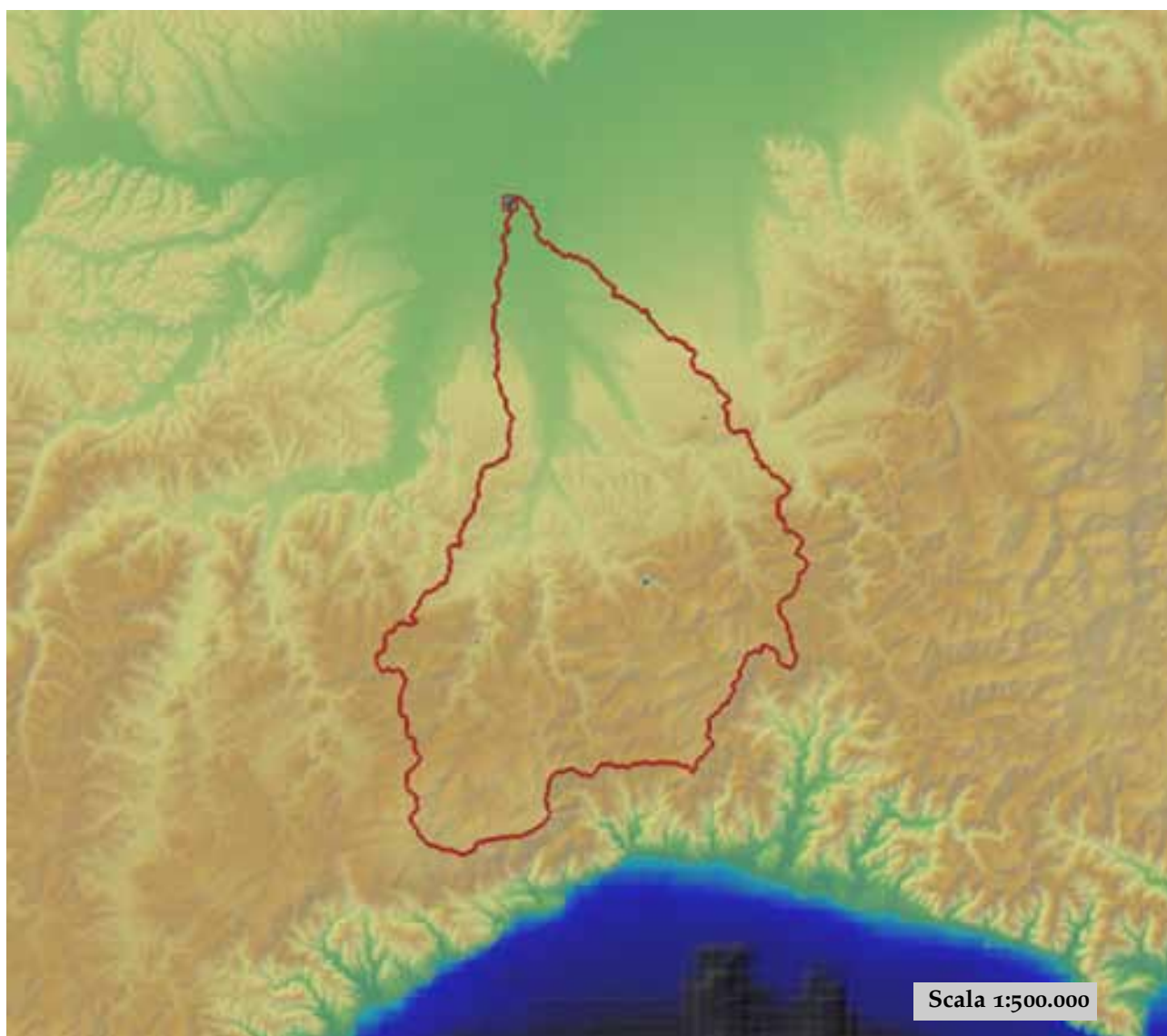


est (UTM _{32N} WGS84)	474020	nord (UTM _{32N} WGS84)	4957173
est DEM (UTM _{32N} WGS84)	473647	nord DEM (UTM _{32N} WGS84)	4958449
area bacino	730.9	quota media	467

quota massima	1268	quota minima	115
curva ipsografica 2,5%	982	curva ipsografica 5%	893
curva ipsografica 10%	805	curva ipsografica 25%	640
curva ipsografica 50%	431	curva ipsografica 75%	259
curva ipsografica 90%	186	curva ipsografica 95%	156
curva ipsografica 97,5%	139	distanza interquartile curva ipsografica	381
angolo di esposizione medio	341	lunghezza vettore orientamento	19.7
pendenza bacino	10.87	pendenza bacino quadrato equivalente	2.345
est baricentro (UTM _{32N} WGS84)	476650	nord baricentro (UTM _{32N} WGS84)	4938950
fattore di forma	0.198	rapporto di allungamento	0.502
media funzione di ampiezza	30772	varianza funzione di ampiezza	1.86×10 ⁸
skewness funzione di ampiezza	0.058	kurtosis funzione di ampiezza	2.245
rapporto aree medie di due ordini adiacenti	5.33	rapporto di biforcazione	4.42
rapporto lunghezze medie di due ordini adiacenti	2.542	rapporto penne medie di due ordini adiacenti	2.432
densità di drenaggio	0.701	diametro topologico	35
lunghezza LDP	60.828	lunghezza asta principale	59.68
lunghezza totale reticolo idrografico	512.1	lunghezza media versanti	619
pendenza media LDP	4	media dell'afflusso totale annuo	1339
deviazione standard dell'afflusso totale annuo	315	media coeff. pluviale orario CPP	33.718
dev. standard coeff. pluviale orario CPP	3.522	media esponente CPP	0.432
dev. standard esponente CPP	0.028	coeff. di intensità	0.025
media LCV piogge 1 ora	0.188	dev. standard LCV piogge 1 ora	0.013
media LCV piogge 3 ore	0.228	dev. standard LCV piogge 3 ore	0.02
media LCV piogge 6 ore	0.23	dev. standard LCV piogge 6 ore	0.02
media LCV piogge 12 ore	0.24	dev. standard LCV piogge 12 ore	0.018
media LCV piogge 24 ore	0.234	dev. standard LCV piogge 24 ore	0.016
media LCA piogge 1 ora	0.174	dev. standard LCA piogge 1 ora	0.046
media LCA piogge 3 ore	0.255	dev. standard LCA piogge 3 ore	0.026
media LCA piogge 6 ore	0.271	dev. standard LCA piogge 6 ore	0.032
media LCA piogge 12 ore	0.286	dev. standard LCA piogge 12 ore	0.028
media LCA piogge 24 ore	0.27	dev. standard LCA piogge 24 ore	0.027
media coeff. B1 regime pluviometrico	37.7	media coeff. C1 regime pluviometrico	-5.7
media coeff. B2 regime pluviometrico	-12.6	media coeff. C2 regime pluviometrico	-46.6
dev. standard regime pluviometrico	46.2	coeff. variaz. regime pluviometrico	0.409
classe 1 corine land cover	1.93	classe 2 corine land cover	59.29
classe 3 corine land cover	34.34	classe 4 corine land cover	4.02
classe 5 corine land cover	0.43	media NDVI	0.577
dev. standard NDVI	0.042	media curve number 1	48.5
media curve number 2	67.8	media curve number 3	83.1
dev. standard curve number 1	8	dev. standard curve number 2	7.1
dev. standard curve number 3	5.2	media indice di permeabilità vapi	0.658
dev. standard indice di permeabilità vapi	0.115		

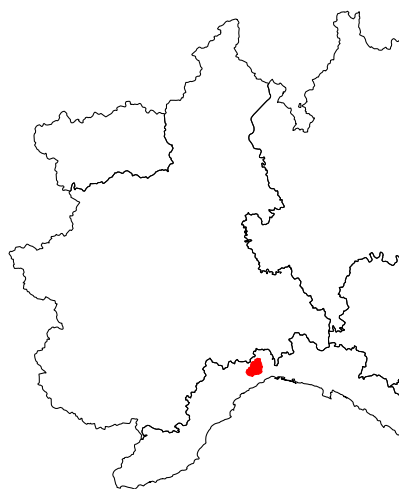


Orba a Casal Cermelli

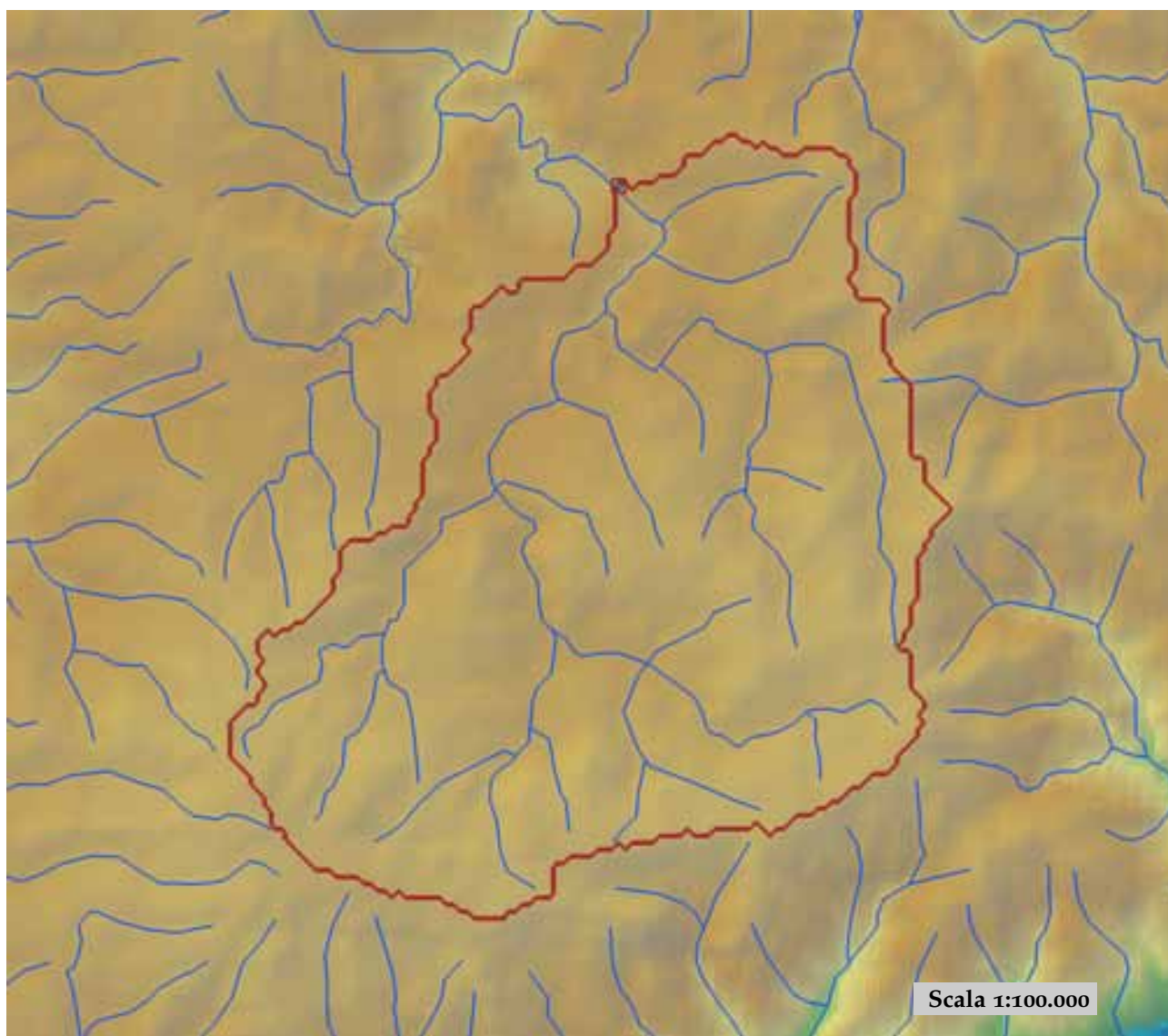


est (UTM ₃₂ N WGS84)	470871	nord (UTM ₃₂ N WGS84)	4964452
est DEM (UTM ₃₂ N WGS84)	470850	nord DEM (UTM ₃₂ N WGS84)	4966945
area bacino	800.9	quota media	438

quota massima	1268	quota minima	93
curva ipsografica 2,5%	969	curva ipsografica 5%	882
curva ipsografica 10%	792	curva ipsografica 25%	618
curva ipsografica 50%	384	curva ipsografica 75%	229
curva ipsografica 90%	148	curva ipsografica 95%	126
curva ipsografica 97,5%	114	distanza interquartile curva ipsografica	389
angolo di esposizione medio	342	lunghezza vettore orientamento	26.7
pendenza bacino	9.994	pendenza bacino quadrato equivalente	2.064
est baricentro (UTM _{32N} WGS84)	476450	nord baricentro (UTM _{32N} WGS84)	4940850
fattore di forma	0.151	rapporto di allungamento	0.439
media funzione di ampiezza	39948	varianza funzione di ampiezza	2.51×10 ⁸
skewness funzione di ampiezza	-0.178	kurtosis funzione di ampiezza	2.393
rapporto aree medie di due ordini adiacenti	5.318	rapporto di biforcazione	4.545
rapporto lunghezze medie di due ordini adiacenti	2.502	rapporto penidenze medie di due ordini adiacenti	2.37
densità di drenaggio	0.725	diametro topologico	42
lunghezza LDP	72.751	lunghezza asta principale	71.602
lunghezza totale reticolo idrografico	580.4	lunghezza media versanti	622
pendenza media LDP	3	media dell'afflusso totale annuo	1290
deviazione standard dell'afflusso totale annuo	342	media coeff. pluviale orario CPP	33.173
dev. standard coeff. pluviale orario CPP	3.819	media esponente CPP	0.424
dev. standard esponente CPP	0.038	coeff. di intensità	0.026
media LCV piogge 1 ora	0.186	dev. standard LCV piogge 1 ora	0.013
media LCV piogge 3 ore	0.227	dev. standard LCV piogge 3 ore	0.02
media LCV piogge 6 ore	0.229	dev. standard LCV piogge 6 ore	0.02
media LCV piogge 12 ore	0.239	dev. standard LCV piogge 12 ore	0.018
media LCV piogge 24 ore	0.233	dev. standard LCV piogge 24 ore	0.016
media LCA piogge 1 ora	0.168	dev. standard LCA piogge 1 ora	0.049
media LCA piogge 3 ore	0.249	dev. standard LCA piogge 3 ore	0.031
media LCA piogge 6 ore	0.268	dev. standard LCA piogge 6 ore	0.032
media LCA piogge 12 ore	0.287	dev. standard LCA piogge 12 ore	0.027
media LCA piogge 24 ore	0.27	dev. standard LCA piogge 24 ore	0.026
media coeff. B1 regime pluviometrico	35.7	media coeff. C1 regime pluviometrico	-5.6
media coeff. B2 regime pluviometrico	-12.1	media coeff. C2 regime pluviometrico	-44.7
dev. standard regime pluviometrico	44.1	coeff. variaz. regime pluviometrico	0.404
classe 1 corine land cover	2.3	classe 2 corine land cover	54.11
classe 3 corine land cover	39.35	classe 4 corine land cover	3.83
classe 5 corine land cover	0.41	media NDVI	0.572
dev. standard NDVI	0.046	media curve number 1	48.5
media curve number 2	67.7	media curve number 3	82.9
dev. standard curve number 1	8.3	dev. standard curve number 2	7.6
dev. standard curve number 3	6.3	media indice di permeabilità vapi	0.657
dev. standard indice di permeabilità vapi	0.12		



Orba a Tiglieto

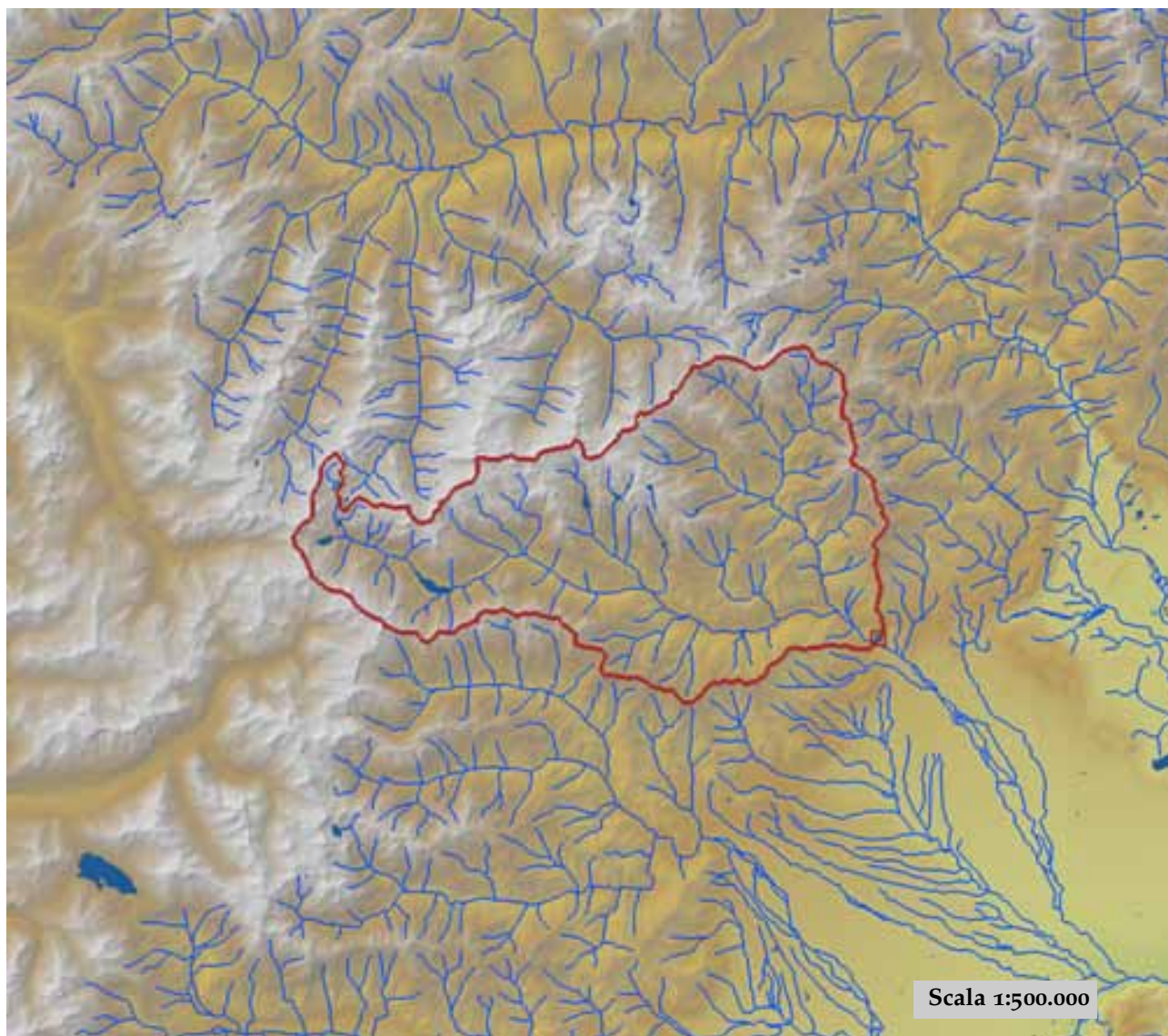


est (UTM ₃₂ N WGS84)	468888	nord (UTM ₃₂ N WGS84)	4930332
est DEM (UTM ₃₂ N WGS84)	469264	nord DEM (UTM ₃₂ N WGS84)	4930253
area bacino	74.07	quota media	814

quota massima	1268	quota minima	391
curva ipsografica 2,5%	1173	curva ipsografica 5%	1123
curva ipsografica 10%	1060	curva ipsografica 25%	955
curva ipsografica 50%	813	curva ipsografica 75%	668
curva ipsografica 90%	558	curva ipsografica 95%	510
curva ipsografica 97,5%	480	distanza interquartile curva ipsografica	287
angolo di esposizione medio	345	lunghezza vettore orientamento	5.4
pendenza bacino	13.114	pendenza bacino quadrato equivalente	9.83
est baricentro (UTM _{32N} WGS84)	469250	nord baricentro (UTM _{32N} WGS84)	4924850
fattore di forma	0.28	rapporto di allungamento	0.597
media funzione di ampiezza	9277	varianza funzione di ampiezza	1.41×10 ⁷
skewness funzione di ampiezza	-0.378	kurtosis funzione di ampiezza	2.195
rapporto aree medie di due ordini adiacenti	4.581	rapporto di biforcazione	4.25
rapporto lunghezze medie di due ordini adiacenti	1.926	rapporto pendenze medie di due ordini adiacenti	1.837
densità di drenaggio	0.651	diametro topologico	9
lunghezza LDP	16.265	lunghezza asta principale	15.117
lunghezza totale reticolo idrografico	48.2	lunghezza media versanti	622
pendenza media LDP	6	media dell'afflusso totale annuo	1695
deviazione standard dell'afflusso totale annuo	80	media coeff. pluviale orario CPP	36.412
dev. standard coeff. pluviale orario CPP	1.115	media esponente CPP	0.459
dev. standard esponente CPP	0.01	coeff. di intensità	0.021
media LCV piogge 1 ora	0.171	dev. standard LCV piogge 1 ora	0.007
media LCV piogge 3 ore	0.193	dev. standard LCV piogge 3 ore	0.004
media LCV piogge 6 ore	0.194	dev. standard LCV piogge 6 ore	0.004
media LCV piogge 12 ore	0.214	dev. standard LCV piogge 12 ore	0.004
media LCV piogge 24 ore	0.216	dev. standard LCV piogge 24 ore	0.005
media LCA piogge 1 ora	0.188	dev. standard LCA piogge 1 ora	0.025
media LCA piogge 3 ore	0.245	dev. standard LCA piogge 3 ore	0.018
media LCA piogge 6 ore	0.235	dev. standard LCA piogge 6 ore	0.016
media LCA piogge 12 ore	0.252	dev. standard LCA piogge 12 ore	0.009
media LCA piogge 24 ore	0.265	dev. standard LCA piogge 24 ore	0.016
media coeff. B1 regime pluviometrico	49.6	media coeff. C1 regime pluviometrico	-0.3
media coeff. B2 regime pluviometrico	-15.8	media coeff. C2 regime pluviometrico	-62.2
dev. standard regime pluviometrico	60.1	coeff. variaz. regime pluviometrico	0.428
classe 1 corine land cover	0	classe 2 corine land cover	87.67
classe 3 corine land cover	11.7	classe 4 corine land cover	0.69
classe 5 corine land cover	0	media NDVI	0.602
dev. standard NDVI	0.023	media curve number 1	45.9
media curve number 2	65.7	media curve number 3	81.8
dev. standard curve number 1	4.3	dev. standard curve number 2	3.8
dev. standard curve number 3	2.6	media indice di permeabilità vapi	0.691
dev. standard indice di permeabilità vapi	0.049		

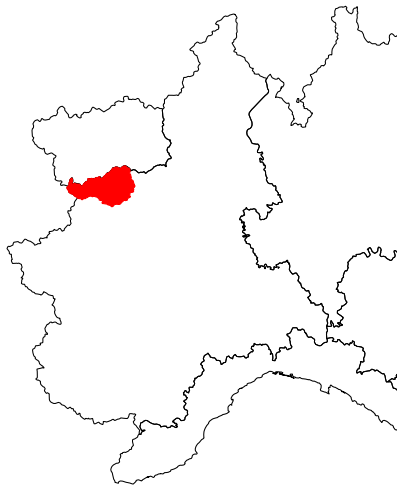


Orco a Cuornè

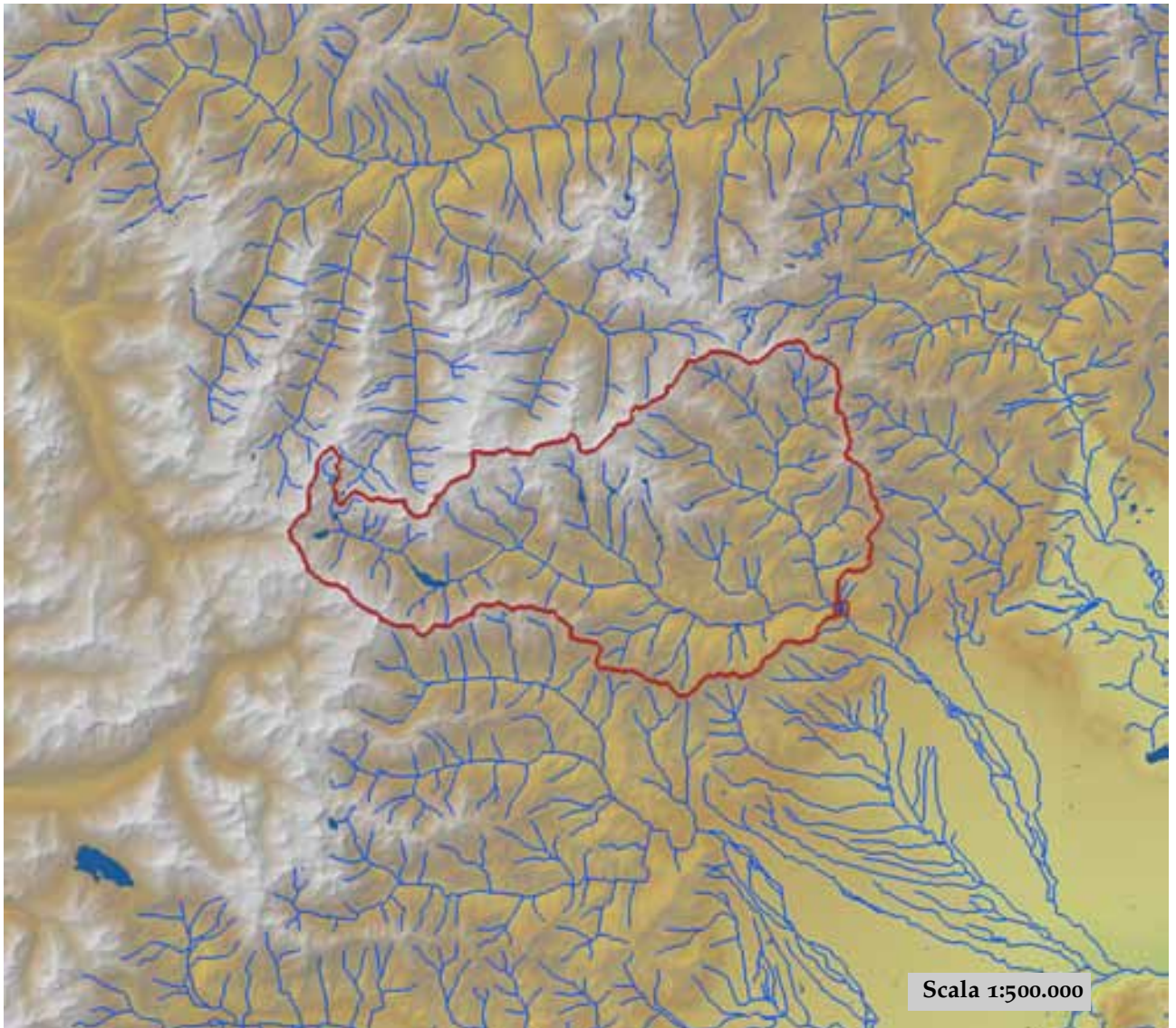


est (UTM _{32N} WGS84)	394628	nord (UTM _{32N} WGS84)	5027688
est DEM (UTM _{32N} WGS84)	393754	nord DEM (UTM _{32N} WGS84)	5028552
area bacino	629.48	quota media	1909

quota massima	3885	quota minima	392
curva ipsografica 2,5%	3131	curva ipsografica 5%	2989
curva ipsografica 10%	2805	curva ipsografica 25%	2435
curva ipsografica 50%	1925	curva ipsografica 75%	1392
curva ipsografica 90%	971	curva ipsografica 95%	758
curva ipsografica 97,5%	605	distanza interquartile curva ipsografica	1043
angolo di esposizione medio	130	lunghezza vettore orientamento	18.7
pendenza bacino	27.166	pendenza bacino quadrato equivalente	12.228
est baricentro (UTM _{32N} WGS84)	376650	nord baricentro (UTM _{32N} WGS84)	5036150
fattore di forma	0.196	rapporto di allungamento	0.5
media funzione di ampiezza	26961	varianza funzione di ampiezza	1.43×10 ⁸
skewness funzione di ampiezza	0.367	kurtosis funzione di ampiezza	2.621
rapporto aree medie di due ordini adiacenti	5.177	rapporto di biforcazione	4.395
rapporto lunghezze medie di due ordini adiacenti	2.623	rapporto pendenze medie di due ordini adiacenti	2.13
densità di drenaggio	0.58	diametro topologico	50
lunghezza LDP	56.61	lunghezza asta principale	54.844
lunghezza totale reticolo idrografico	365.4	lunghezza media versanti	768
pendenza media LDP	6	media dell'afflusso totale annuo	1284
deviazione standard dell'afflusso totale annuo	97	media coeff. pluviale orario CPP	21.888
dev. standard coeff. pluviale orario CPP	4.167	media esponente CPP	0.526
dev. standard esponente CPP	0.041	coeff. di intensità	0.017
media LCV piogge 1 ora	0.177	dev. standard LCV piogge 1 ora	0.02
media LCV piogge 3 ore	0.173	dev. standard LCV piogge 3 ore	0.015
media LCV piogge 6 ore	0.171	dev. standard LCV piogge 6 ore	0.016
media LCV piogge 12 ore	0.185	dev. standard LCV piogge 12 ore	0.016
media LCV piogge 24 ore	0.201	dev. standard LCV piogge 24 ore	0.013
media LCA piogge 1 ora	0.179	dev. standard LCA piogge 1 ora	0.054
media LCA piogge 3 ore	0.153	dev. standard LCA piogge 3 ore	0.06
media LCA piogge 6 ore	0.145	dev. standard LCA piogge 6 ore	0.063
media LCA piogge 12 ore	0.175	dev. standard LCA piogge 12 ore	0.068
media LCA piogge 24 ore	0.178	dev. standard LCA piogge 24 ore	0.055
media coeff. B1 regime pluviometrico	-28.2	media coeff. C1 regime pluviometrico	-7.6
media coeff. B2 regime pluviometrico	-5.5	media coeff. C2 regime pluviometrico	-40.7
dev. standard regime pluviometrico	38.6	coeff. variaz. regime pluviometrico	0.36
classe 1 corine land cover	0.36	classe 2 corine land cover	42.63
classe 3 corine land cover	21.82	classe 4 corine land cover	34.7
classe 5 corine land cover	0.5	media NDVI	0.321
dev. standard NDVI	0.171	media curve number 1	42.7
media curve number 2	60.8	media curve number 3	76.5
dev. standard curve number 1	15.6	dev. standard curve number 2	16.5
dev. standard curve number 3	15.4	media indice di permeabilità vapi	0.525
dev. standard indice di permeabilità vapi	0.164		



Orco a Pont Canavese

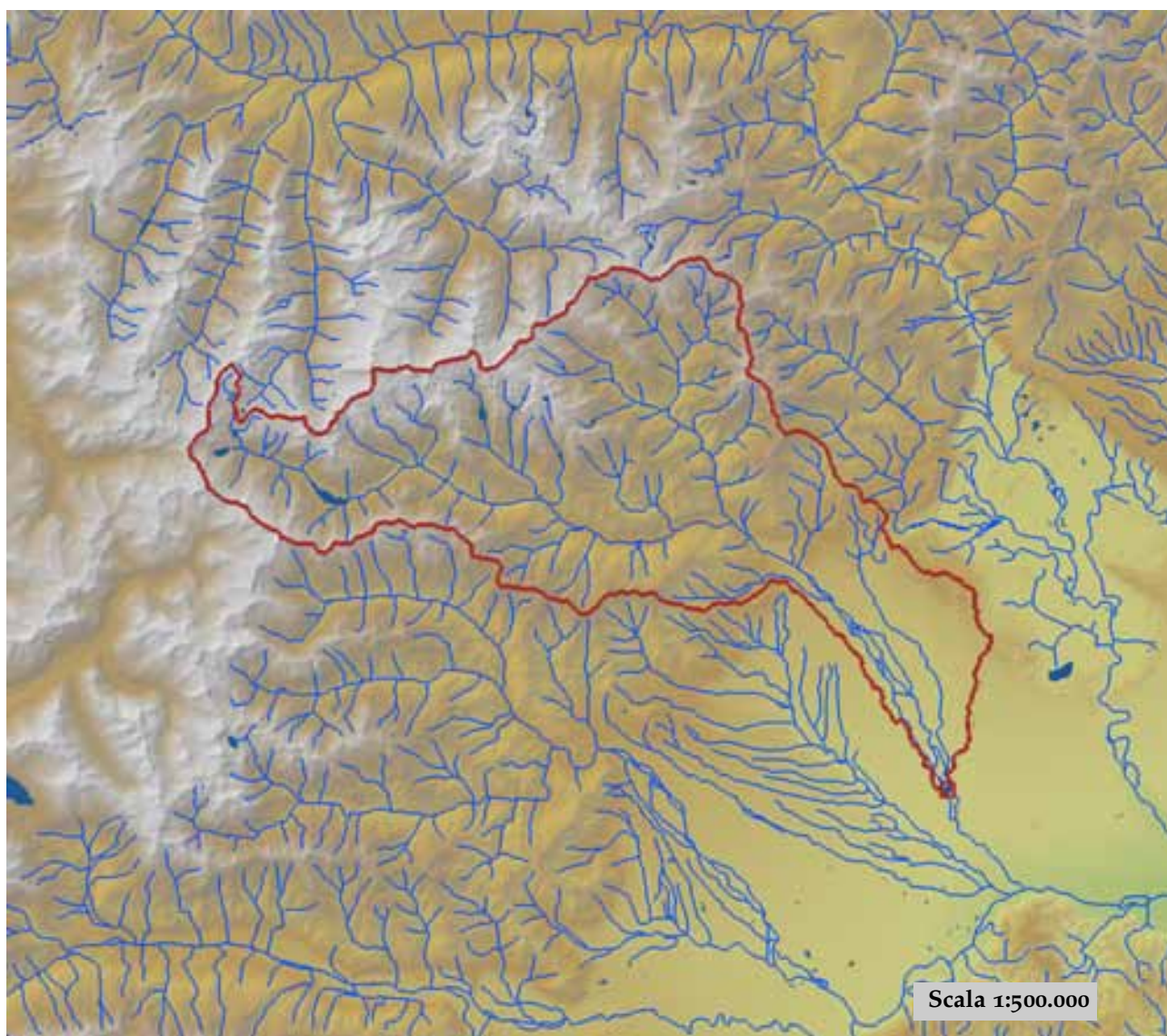


est (UTM _{32N} WGS84)	391506	nord (UTM _{32N} WGS84)	5030005
est DEM (UTM _{32N} WGS84)	391455	nord DEM (UTM _{32N} WGS84)	5030182
area bacino	613.9	quota media	1938

quota massima	3885	quota minima	431
curva ipsografica 2,5%	3135	curva ipsografica 5%	2994
curva ipsografica 10%	2814	curva ipsografica 25%	2449
curva ipsografica 50%	1949	curva ipsografica 75%	1434
curva ipsografica 90%	1026	curva ipsografica 95%	824
curva ipsografica 97,5%	663	distanza interquartile curva ipsografica	1015
angolo di esposizione medio	127	lunghezza vettore orientamento	16.4
pendenza bacino	27.426	pendenza bacino quadrato equivalente	12.261
est baricentro (UTM _{32N} WGS84)	376250	nord baricentro (UTM _{32N} WGS84)	5036250
fattore di forma	0.217	rapporto di allungamento	0.526
media funzione di ampiezza	24127	varianza funzione di ampiezza	1.33×10 ⁸
skewness funzione di ampiezza	0.477	kurtosis funzione di ampiezza	2.585
rapporto aree medie di due ordini adiacenti	5.164	rapporto di biforcazione	4.339
rapporto lunghezze medie di due ordini adiacenti	2.617	rapporto pendenze medie di due ordini adiacenti	2.146
densità di drenaggio	0.579	diametro topologico	47
lunghezza LDP	53.188	lunghezza asta principale	51.423
lunghezza totale reticolo idrografico	355.6	lunghezza media versanti	766
pendenza media LDP	6	media dell'afflusso totale annuo	1282
deviazione standard dell'afflusso totale annuo	97	media coeff. pluviale orario CPP	21.688
dev. standard coeff. pluviale orario CPP	4.021	media esponente CPP	0.529
dev. standard esponente CPP	0.037	coeff. di intensità	0.017
media LCV piogge 1 ora	0.177	dev. standard LCV piogge 1 ora	0.02
media LCV piogge 3 ore	0.173	dev. standard LCV piogge 3 ore	0.015
media LCV piogge 6 ore	0.171	dev. standard LCV piogge 6 ore	0.016
media LCV piogge 12 ore	0.186	dev. standard LCV piogge 12 ore	0.016
media LCV piogge 24 ore	0.201	dev. standard LCV piogge 24 ore	0.013
media LCA piogge 1 ora	0.179	dev. standard LCA piogge 1 ora	0.055
media LCA piogge 3 ore	0.153	dev. standard LCA piogge 3 ore	0.061
media LCA piogge 6 ore	0.145	dev. standard LCA piogge 6 ore	0.064
media LCA piogge 12 ore	0.178	dev. standard LCA piogge 12 ore	0.067
media LCA piogge 24 ore	0.18	dev. standard LCA piogge 24 ore	0.053
media coeff. B1 regime pluviometrico	-27.8	media coeff. C1 regime pluviometrico	-7.4
media coeff. B2 regime pluviometrico	-5.6	media coeff. C2 regime pluviometrico	-40.6
dev. standard regime pluviometrico	38.4	coeff. variaz. regime pluviometrico	0.359
classe 1 corine land cover	0.32	classe 2 corine land cover	42.03
classe 3 corine land cover	21.67	classe 4 corine land cover	35.5
classe 5 corine land cover	0.5	media NDVI	0.315
dev. standard NDVI	0.168	media curve number 1	42.6
media curve number 2	60.7	media curve number 3	76.4
dev. standard curve number 1	15.7	dev. standard curve number 2	16.6
dev. standard curve number 3	15.4	media indice di permeabilità vapi	0.523
dev. standard indice di permeabilità vapi	0.165		



Orco a San Benigno Canavese

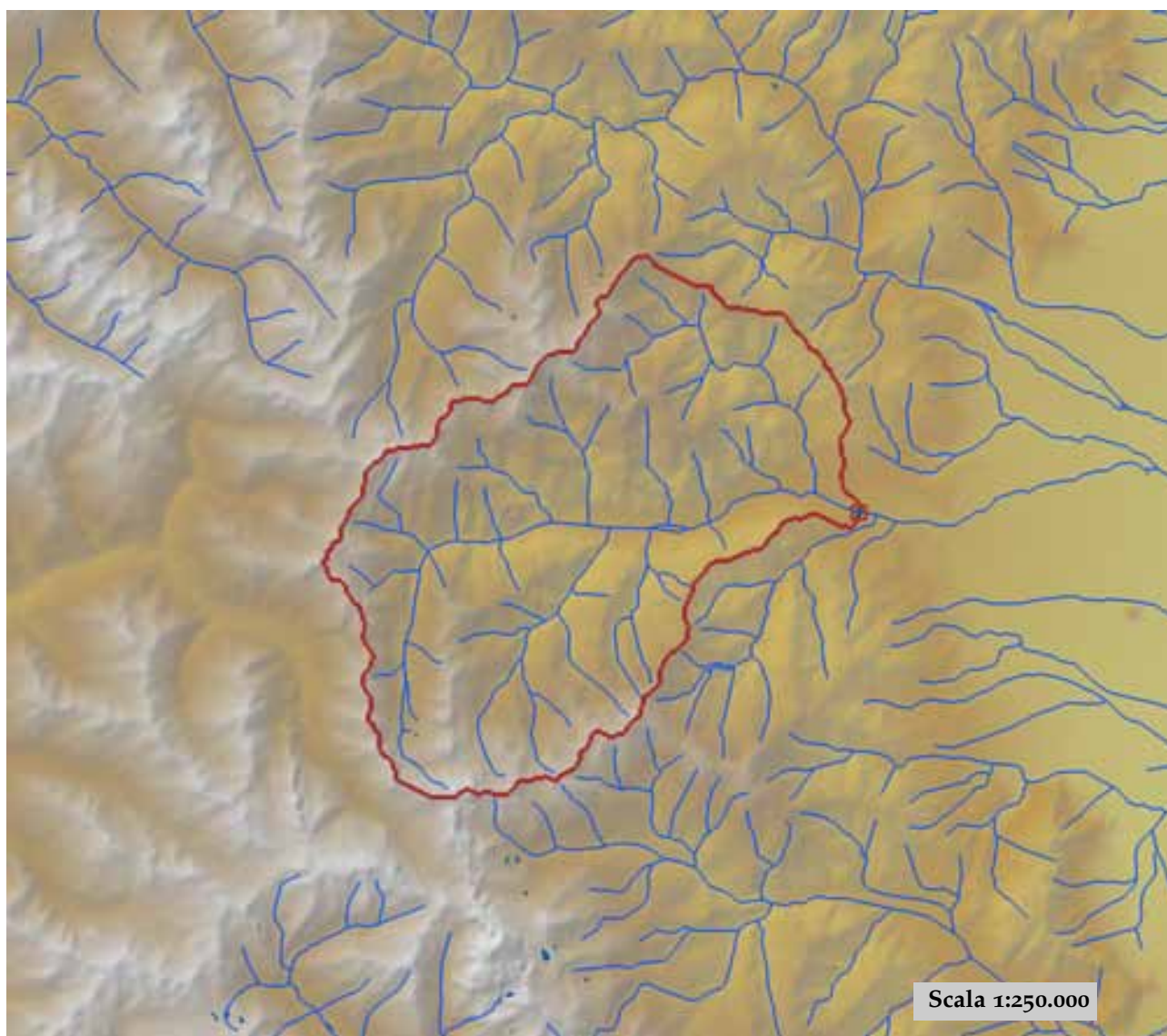


est (UTM _{32N} WGS84)	406313	nord (UTM _{32N} WGS84)	5011059
est DEM (UTM _{32N} WGS84)	406349	nord DEM (UTM _{32N} WGS84)	5011051
area bacino	838.01	quota media	1567

quota massima	3885	quota minima	212
curva ipsografica 2,5%	3074	curva ipsografica 5%	2922
curva ipsografica 10%	2708	curva ipsografica 25%	2269
curva ipsografica 50%	1600	curva ipsografica 75%	804
curva ipsografica 90%	334	curva ipsografica 95%	278
curva ipsografica 97,5%	255	distanza interquartile curva ipsografica	1465
angolo di esposizione medio	147	lunghezza vettore orientamento	32.7
pendenza bacino	22.102	pendenza bacino quadrato equivalente	9.596
est baricentro (UTM _{32N} WGS84)	382450	nord baricentro (UTM _{32N} WGS84)	5033350
fattore di forma	0.122	rapporto di allungamento	0.395
media funzione di ampiezza	44920	varianza funzione di ampiezza	3.27×10 ⁸
skewness funzione di ampiezza	-0.269	kurtosis funzione di ampiezza	2.487
rapporto aree medie di due ordini adiacenti	5.06	rapporto di biforcazione	4.686
rapporto lunghezze medie di due ordini adiacenti	2.476	rapporto pendenze medie di due ordini adiacenti	2.028
densità di drenaggio	0.674	diametro topologico	60
lunghezza LDP	82.725	lunghezza asta principale	80.959
lunghezza totale reticolo idrografico	564.9	lunghezza media versanti	746
pendenza media LDP	4	media dell'afflusso totale annuo	1271
deviazione standard dell'afflusso totale annuo	115	media coeff. pluviale orario CPP	23.784
dev. standard coeff. pluviale orario CPP	4.978	media esponente CPP	0.484
dev. standard esponente CPP	0.085	coeff. di intensità	0.019
media LCV piogge 1 ora	0.172	dev. standard LCV piogge 1 ora	0.022
media LCV piogge 3 ore	0.168	dev. standard LCV piogge 3 ore	0.018
media LCV piogge 6 ore	0.164	dev. standard LCV piogge 6 ore	0.019
media LCV piogge 12 ore	0.178	dev. standard LCV piogge 12 ore	0.02
media LCV piogge 24 ore	0.194	dev. standard LCV piogge 24 ore	0.018
media LCA piogge 1 ora	0.17	dev. standard LCA piogge 1 ora	0.054
media LCA piogge 3 ore	0.144	dev. standard LCA piogge 3 ore	0.062
media LCA piogge 6 ore	0.138	dev. standard LCA piogge 6 ore	0.06
media LCA piogge 12 ore	0.161	dev. standard LCA piogge 12 ore	0.069
media LCA piogge 24 ore	0.165	dev. standard LCA piogge 24 ore	0.056
media coeff. B1 regime pluviometrico	-30	media coeff. C1 regime pluviometrico	-8.7
media coeff. B2 regime pluviometrico	-3.6	media coeff. C2 regime pluviometrico	-39.6
dev. standard regime pluviometrico	38.7	coeff. variaz. regime pluviometrico	0.362
classe 1 corine land cover	1.68	classe 2 corine land cover	40.24
classe 3 corine land cover	30.66	classe 4 corine land cover	26.99
classe 5 corine land cover	0.44	media NDVI	0.38
dev. standard NDVI	0.185	media curve number 1	43.9
media curve number 2	62.1	media curve number 3	77.5
dev. standard curve number 1	14.9	dev. standard curve number 2	16
dev. standard curve number 3	15.5	media indice di permeabilità vapi	0.477
dev. standard indice di permeabilità vapi	0.203		



Pellice a Luserna San Giovanni

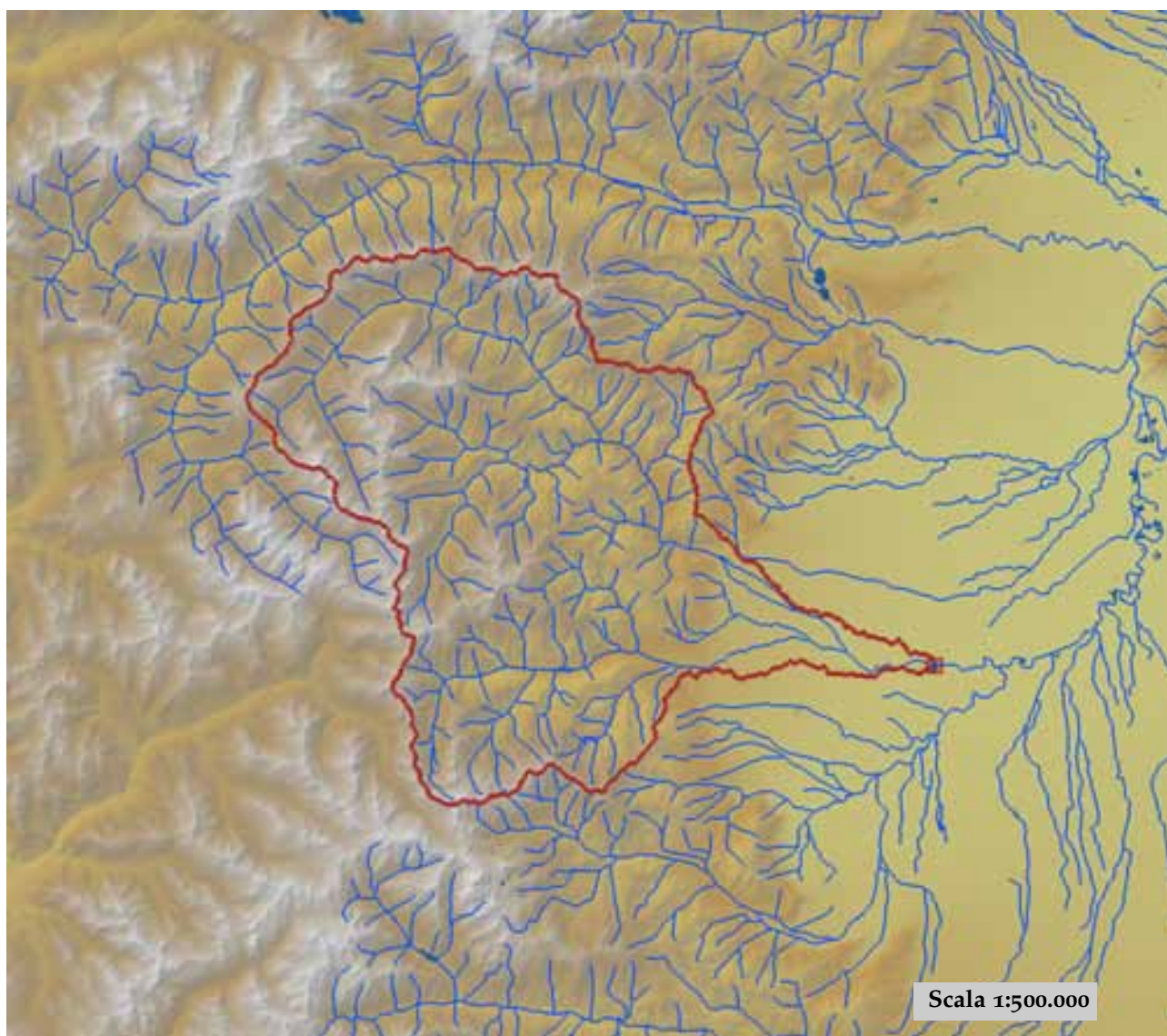


est (UTM _{32N} WGS84)	361138	nord (UTM _{32N} WGS84)	4963467
est DEM (UTM _{32N} WGS84)	361358	nord DEM (UTM _{32N} WGS84)	4963554
area bacino	216.02	quota media	1634

quota massima	3092	quota minima	464
curva ipsografica 2,5%	2652	curva ipsografica 5%	2564
curva ipsografica 10%	2435	curva ipsografica 25%	2112
curva ipsografica 50%	1646	curva ipsografica 75%	1149
curva ipsografica 90%	804	curva ipsografica 95%	667
curva ipsografica 97,5%	586	distanza interquartile curva ipsografica	963
angolo di esposizione medio	97	lunghezza vettore orientamento	10.2
pendenza bacino	26.025	pendenza bacino quadrato equivalente	16.098
est baricentro (UTM _{32N} WGS84)	351150	nord baricentro (UTM _{32N} WGS84)	4962950
fattore di forma	0.245	rapporto di allungamento	0.558
media funzione di ampiezza	14885	varianza funzione di ampiezza	3.39×10 ⁷
skewness funzione di ampiezza	-0.158	kurtosis funzione di ampiezza	2.543
rapporto aree medie di due ordini adiacenti	4.85	rapporto di biforcazione	4.123
rapporto lunghezze medie di due ordini adiacenti	2.68	rapporto pendenze medie di due ordini adiacenti	1.835
densità di drenaggio	0.55	diametro topologico	20
lunghezza LDP	29.704	lunghezza asta principale	27.714
lunghezza totale reticolo idrografico	118.8	lunghezza media versanti	733
pendenza media LDP	8	media dell'afflusso totale annuo	1220
deviazione standard dell'afflusso totale annuo	114	media coeff. pluviale orario CPP	21.015
dev. standard coeff. pluviale orario CPP	2.535	media esponente CPP	0.501
dev. standard esponente CPP	0.03	coeff. di intensità	0.017
media LCV piogge 1 ora	0.172	dev. standard LCV piogge 1 ora	0.01
media LCV piogge 3 ore	0.159	dev. standard LCV piogge 3 ore	0.007
media LCV piogge 6 ore	0.17	dev. standard LCV piogge 6 ore	0.007
media LCV piogge 12 ore	0.197	dev. standard LCV piogge 12 ore	0.005
media LCV piogge 24 ore	0.222	dev. standard LCV piogge 24 ore	0.007
media LCA piogge 1 ora	0.131	dev. standard LCA piogge 1 ora	0.03
media LCA piogge 3 ore	0.083	dev. standard LCA piogge 3 ore	0.029
media LCA piogge 6 ore	0.114	dev. standard LCA piogge 6 ore	0.02
media LCA piogge 12 ore	0.188	dev. standard LCA piogge 12 ore	0.028
media LCA piogge 24 ore	0.242	dev. standard LCA piogge 24 ore	0.023
media coeff. B1 regime pluviometrico	-18.6	media coeff. C1 regime pluviometrico	0.3
media coeff. B2 regime pluviometrico	-7.6	media coeff. C2 regime pluviometrico	-53.8
dev. standard regime pluviometrico	42.4	coeff. variaz. regime pluviometrico	0.4
classe 1 corine land cover	1.17	classe 2 corine land cover	55.99
classe 3 corine land cover	23.59	classe 4 corine land cover	19.28
classe 5 corine land cover	0	media NDVI	0.413
dev. standard NDVI	0.128	media curve number 1	36.7
media curve number 2	55.4	media curve number 3	72.9
dev. standard curve number 1	13.8	dev. standard curve number 2	14.5
dev. standard curve number 3	12.2	media indice di permeabilità vapi	0.561
dev. standard indice di permeabilità vapi	0.179		

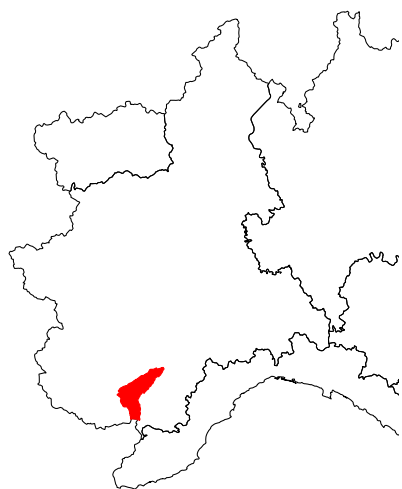


Pellice a Villafranca Piemonte

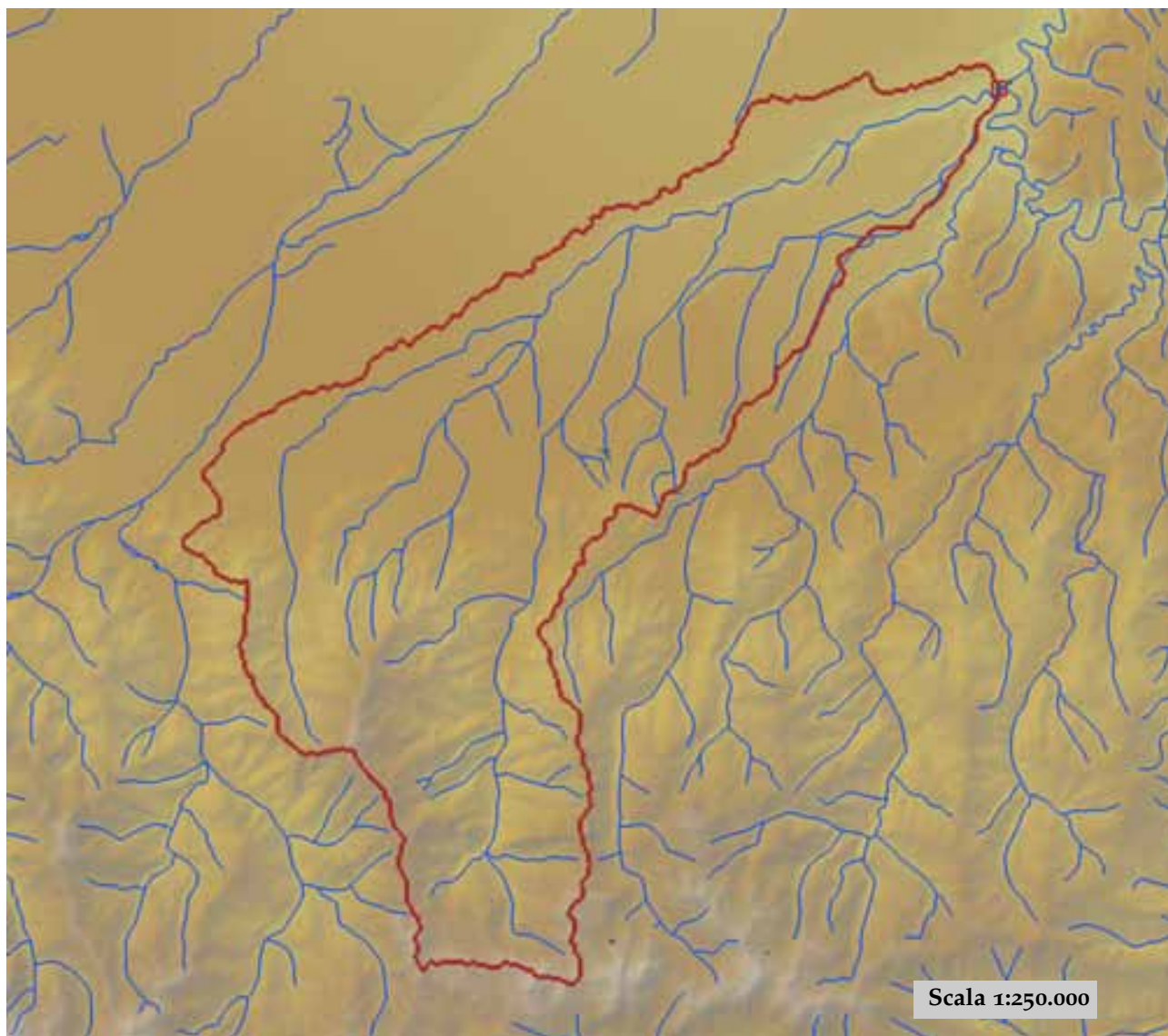


est (UTM _{32N} WGS84)	381346	nord (UTM _{32N} WGS84)	4963166
est DEM (UTM _{32N} WGS84)	381353	nord DEM (UTM _{32N} WGS84)	4963254
area bacino	952.89	quota media	1542

quota massima	3234	quota minima	251
curva ipsografica 2,5%	2698	curva ipsografica 5%	2597
curva ipsografica 10%	2457	curva ipsografica 25%	2110
curva ipsografica 50%	1583	curva ipsografica 75%	985
curva ipsografica 90%	513	curva ipsografica 95%	350
curva ipsografica 97,5%	302	distanza interquartile curva ipsografica	1125
angolo di esposizione medio	101	lunghezza vettore orientamento	31.3
pendenza bacino	22.346	pendenza bacino quadrato equivalente	8.637
est baricentro (UTM _{32N} WGS84)	351850	nord baricentro (UTM _{32N} WGS84)	4973850
fattore di forma	0.142	rapporto di allungamento	0.425
media funzione di ampiezza	45310	varianza funzione di ampiezza	2.55×10 ⁸
skewness funzione di ampiezza	-0.069	kurtosis funzione di ampiezza	2.737
rapporto aree medie di due ordini adiacenti	4.814	rapporto di biforcazione	4.162
rapporto lunghezze medie di due ordini adiacenti	2.403	rapporto pendenze medie di due ordini adiacenti	2.111
densità di drenaggio	0.62	diametro topologico	67
lunghezza LDP	81.949	lunghezza asta principale	80.701
lunghezza totale reticolo idrografico	591.2	lunghezza media versanti	734
pendenza media LDP	4	media dell'afflusso totale annuo	1116
deviazione standard dell'afflusso totale annuo	163	media coeff. pluviale orario CPP	19.523
dev. standard coeff. pluviale orario CPP	4.18	media esponente CPP	0.492
dev. standard esponente CPP	0.047	coeff. di intensità	0.017
media LCV piogge 1 ora	0.176	dev. standard LCV piogge 1 ora	0.018
media LCV piogge 3 ore	0.159	dev. standard LCV piogge 3 ore	0.015
media LCV piogge 6 ore	0.167	dev. standard LCV piogge 6 ore	0.014
media LCV piogge 12 ore	0.192	dev. standard LCV piogge 12 ore	0.014
media LCV piogge 24 ore	0.216	dev. standard LCV piogge 24 ore	0.015
media LCA piogge 1 ora	0.172	dev. standard LCA piogge 1 ora	0.044
media LCA piogge 3 ore	0.089	dev. standard LCA piogge 3 ore	0.033
media LCA piogge 6 ore	0.122	dev. standard LCA piogge 6 ore	0.028
media LCA piogge 12 ore	0.181	dev. standard LCA piogge 12 ore	0.031
media LCA piogge 24 ore	0.233	dev. standard LCA piogge 24 ore	0.033
media coeff. B1 regime pluviometrico	-16.7	media coeff. C1 regime pluviometrico	-2.6
media coeff. B2 regime pluviometrico	-6	media coeff. C2 regime pluviometrico	-44.6
dev. standard regime pluviometrico	36.1	coeff. variaz. regime pluviometrico	0.38
classe 1 corine land cover	1.45	classe 2 corine land cover	54.05
classe 3 corine land cover	29.29	classe 4 corine land cover	15.22
classe 5 corine land cover	0	media NDVI	0.427
dev. standard NDVI	0.134	media curve number 1	43.3
media curve number 2	62.3	media curve number 3	78.5
dev. standard curve number 1	11.7	dev. standard curve number 2	12.1
dev. standard curve number 3	10.8	media indice di permeabilità vapi	0.408
dev. standard indice di permeabilità vapi	0.166		

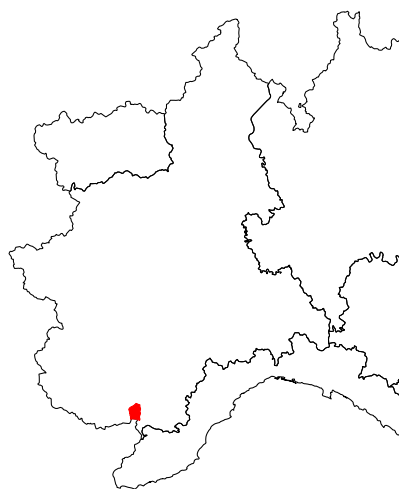


Pesio a Carrù

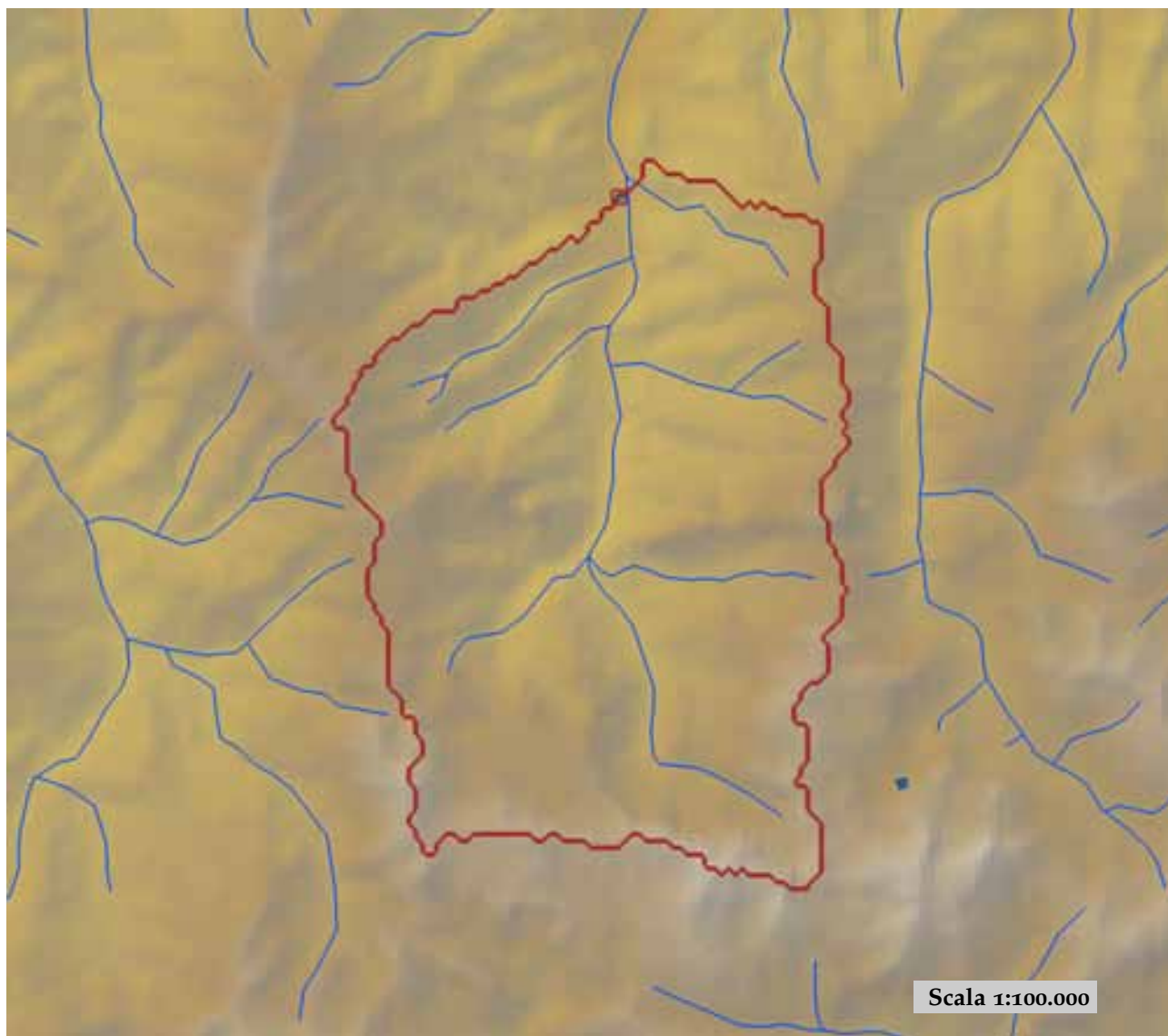


est (UTM _{32N} WGS84)	411141	nord (UTM _{32N} WGS84)	4924107
est DEM (UTM _{32N} WGS84)	411549	nord DEM (UTM _{32N} WGS84)	4924351
area bacino	359.53	quota media	810

quota massima	2625	quota minima	272
curva ipsografica 2,5%	2063	curva ipsografica 5%	1931
curva ipsografica 10%	1649	curva ipsografica 25%	1042
curva ipsografica 50%	571	curva ipsografica 75%	460
curva ipsografica 90%	396	curva ipsografica 95%	376
curva ipsografica 97,5%	345	distanza interquartile curva ipsografica	582
angolo di esposizione medio	25	lunghezza vettore orientamento	22.3
pendenza bacino	10.523	pendenza bacino quadrato equivalente	3.164
est baricentro (UTM _{32N} WGS84)	394750	nord baricentro (UTM _{32N} WGS84)	4909750
fattore di forma	0.22	rapporto di allungamento	0.529
media funzione di ampiezza	29508	varianza funzione di ampiezza	1.61×10 ⁸
skewness funzione di ampiezza	-0.37	kurtosis funzione di ampiezza	2.071
rapporto aree medie di due ordini adiacenti	4.109	rapporto di biforcazione	3.625
rapporto lunghezze medie di due ordini adiacenti	2.106	rapporto pendenze medie di due ordini adiacenti	2.559
densità di drenaggio	0.856	diametro topologico	24
lunghezza LDP	40.425	lunghezza asta principale	38.376
lunghezza totale reticolo idrografico	307.7	lunghezza media versanti	678
pendenza media LDP	4	media dell'afflusso totale annuo	1171
deviazione standard dell'afflusso totale annuo	204	media coeff. pluviale orario CPP	24.867
dev. standard coeff. pluviale orario CPP	1.91	media esponente CPP	0.381
dev. standard esponente CPP	0.041	coeff. di intensità	0.021
media LCV piogge 1 ora	0.189	dev. standard LCV piogge 1 ora	0.011
media LCV piogge 3 ore	0.166	dev. standard LCV piogge 3 ore	0.01
media LCV piogge 6 ore	0.149	dev. standard LCV piogge 6 ore	0.008
media LCV piogge 12 ore	0.152	dev. standard LCV piogge 12 ore	0.009
media LCV piogge 24 ore	0.159	dev. standard LCV piogge 24 ore	0.008
media LCA piogge 1 ora	0.24	dev. standard LCA piogge 1 ora	0.073
media LCA piogge 3 ore	0.216	dev. standard LCA piogge 3 ore	0.035
media LCA piogge 6 ore	0.128	dev. standard LCA piogge 6 ore	0.036
media LCA piogge 12 ore	0.152	dev. standard LCA piogge 12 ore	0.05
media LCA piogge 24 ore	0.156	dev. standard LCA piogge 24 ore	0.028
media coeff. B1 regime pluviometrico	-4.6	media coeff. C1 regime pluviometrico	-0.1
media coeff. B2 regime pluviometrico	-1.7	media coeff. C2 regime pluviometrico	-37.4
dev. standard regime pluviometrico	29.4	coeff. variaz. regime pluviometrico	0.294
classe 1 corine land cover	3.52	classe 2 corine land cover	38.74
classe 3 corine land cover	55.07	classe 4 corine land cover	2.68
classe 5 corine land cover	0	media NDVI	0.55
dev. standard NDVI	0.084	media curve number 1	48.9
media curve number 2	68.1	media curve number 3	83.3
dev. standard curve number 1	6.7	dev. standard curve number 2	6.1
dev. standard curve number 3	4.5	media indice di permeabilità vapi	0.499
dev. standard indice di permeabilità vapi	0.151		



Pesio a San Bartolomeo

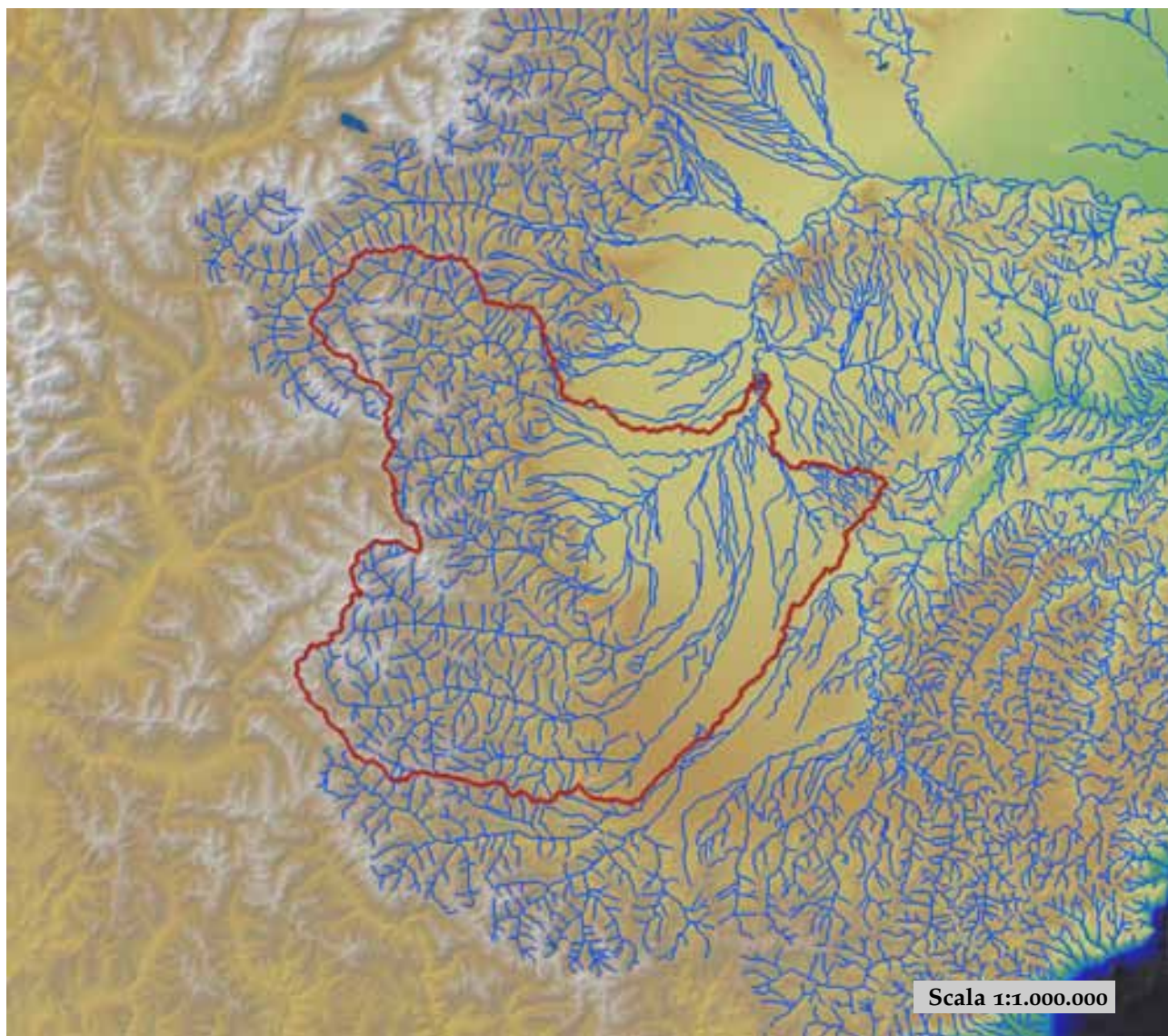


est (UTM ₃₂ N WGS84)	393299	nord (UTM ₃₂ N WGS84)	4902836
est DEM (UTM ₃₂ N WGS84)	393362	nord DEM (UTM ₃₂ N WGS84)	4901856
area bacino	57.48	quota media	1571

quota massima	2625	quota minima	764
curva ipsografica 2,5%	2275	curva ipsografica 5%	2180
curva ipsografica 10%	2076	curva ipsografica 25%	1904
curva ipsografica 50%	1573	curva ipsografica 75%	1242
curva ipsografica 90%	1028	curva ipsografica 95%	934
curva ipsografica 97,5%	875	distanza interquartile curva ipsografica	662
angolo di esposizione medio	340	lunghezza vettore orientamento	4.8
pendenza bacino	25.101	pendenza bacino quadrato equivalente	21.368
est baricentro (UTM _{32N} WGS84)	393250	nord baricentro (UTM _{32N} WGS84)	4897050
fattore di forma	0.343	rapporto di allungamento	0.661
media funzione di ampiezza	6850	varianza funzione di ampiezza	8.68×10 ⁶
skewness funzione di ampiezza	-0.201	kurtosis funzione di ampiezza	2.049
rapporto aree medie di due ordini adiacenti	3.537	rapporto di biforcazione	4.25
rapporto lunghezze medie di due ordini adiacenti	1.439	rapporto pendenze medie di due ordini adiacenti	1.255
densità di drenaggio	0.637	diametro topologico	10
lunghezza LDP	12.947	lunghezza asta principale	11.257
lunghezza totale reticolo idrografico	36.6	lunghezza media versanti	643
pendenza media LDP	12	media dell'afflusso totale annuo	1331
deviazione standard dell'afflusso totale annuo	18	media coeff. pluviale orario CPP	26.158
dev. standard coeff. pluviale orario CPP	2.39	media esponente CPP	0.441
dev. standard esponente CPP	0.032	coeff. di intensità	0.02
media LCV piogge 1 ora	0.196	dev. standard LCV piogge 1 ora	0.01
media LCV piogge 3 ore	0.162	dev. standard LCV piogge 3 ore	0.006
media LCV piogge 6 ore	0.148	dev. standard LCV piogge 6 ore	0.004
media LCV piogge 12 ore	0.16	dev. standard LCV piogge 12 ore	0.004
media LCV piogge 24 ore	0.167	dev. standard LCV piogge 24 ore	0.006
media LCA piogge 1 ora	0.301	dev. standard LCA piogge 1 ora	0.047
media LCA piogge 3 ore	0.226	dev. standard LCA piogge 3 ore	0.035
media LCA piogge 6 ore	0.144	dev. standard LCA piogge 6 ore	0.013
media LCA piogge 12 ore	0.218	dev. standard LCA piogge 12 ore	0.018
media LCA piogge 24 ore	0.197	dev. standard LCA piogge 24 ore	0.01
media coeff. B1 regime pluviometrico	0.3	media coeff. C1 regime pluviometrico	-3.6
media coeff. B2 regime pluviometrico	-3.2	media coeff. C2 regime pluviometrico	-39
dev. standard regime pluviometrico	31.8	coeff. variaz. regime pluviometrico	0.274
classe 1 corine land cover	0	classe 2 corine land cover	65.29
classe 3 corine land cover	18	classe 4 corine land cover	16.78
classe 5 corine land cover	0	media NDVI	0.437
dev. standard NDVI	0.112	media curve number 1	42.5
media curve number 2	62.1	media curve number 3	78.8
dev. standard curve number 1	8.7	dev. standard curve number 2	8.8
dev. standard curve number 3	6.9	media indice di permeabilità vapi	0.338
dev. standard indice di permeabilità vapi	0.232		

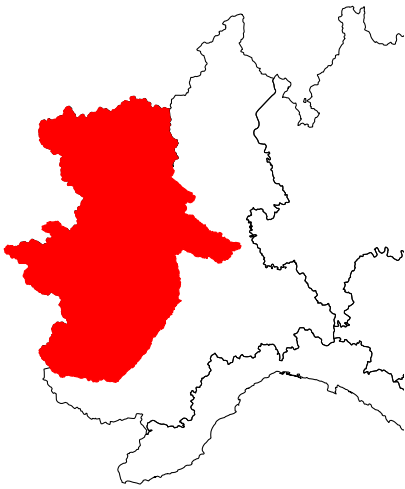


Po a Carignano

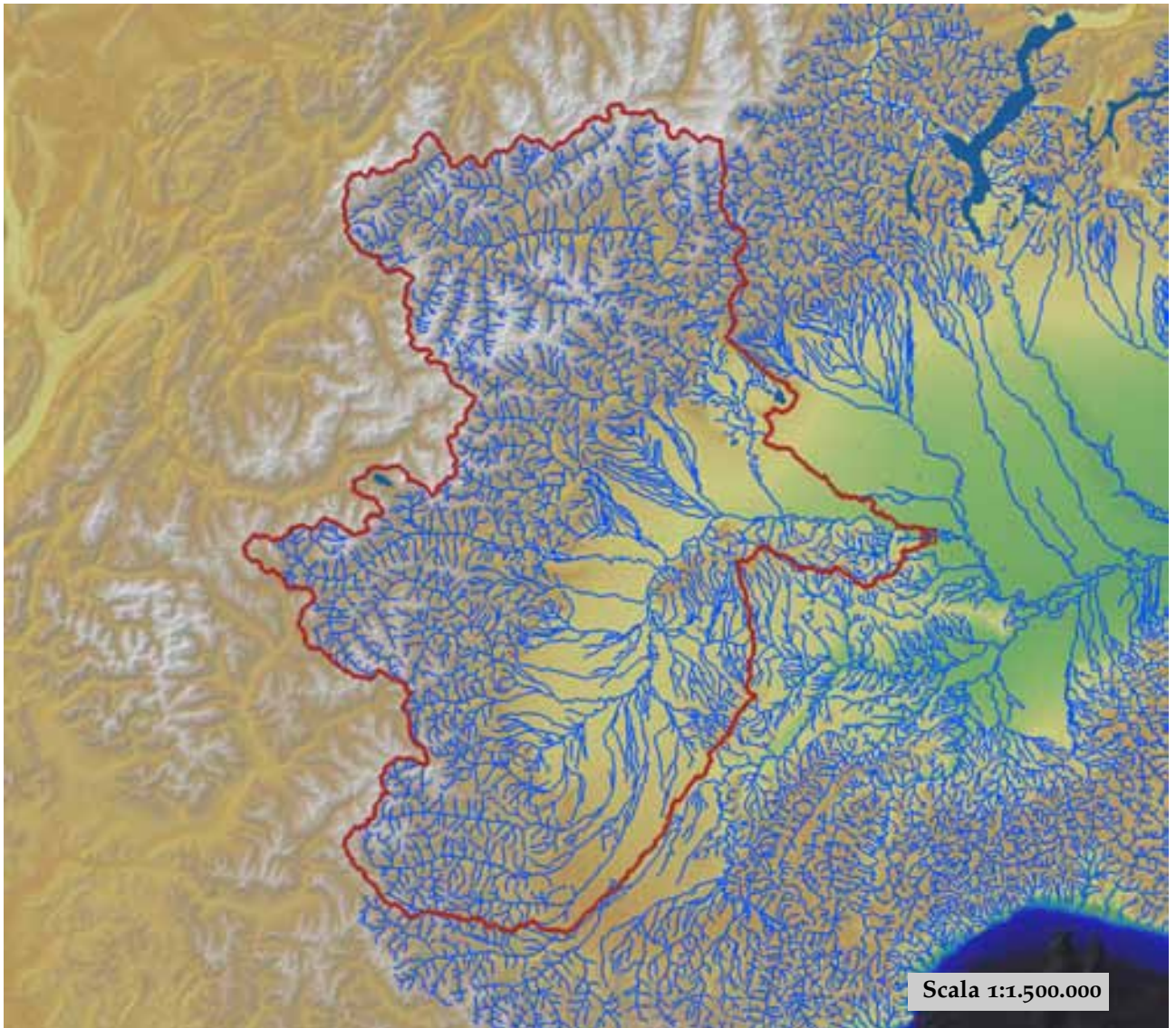


est (UTM _{32N} WGS84)	396682	nord (UTM _{32N} WGS84)	4973652
est DEM (UTM _{32N} WGS84)	396757	nord DEM (UTM _{32N} WGS84)	4973755
area bacino	3955.59	quota media	1101

quota massima	3760	quota minima	207
curva ipsografica 2,5%	2703	curva ipsografica 5%	2549
curva ipsografica 10%	2326	curva ipsografica 25%	1768
curva ipsografica 50%	876	curva ipsografica 75%	344
curva ipsografica 90%	267	curva ipsografica 95%	254
curva ipsografica 97,5%	245	distanza interquartile curva ipsografica	1424
angolo di esposizione medio	56	lunghezza vettore orientamento	39.2
pendenza bacino	14.125	pendenza bacino quadrato equivalente	2.131
est baricentro (UTM _{32N} WGS84)	366550	nord baricentro (UTM _{32N} WGS84)	4948750
fattore di forma	0.267	rapporto di allungamento	0.583
media funzione di ampiezza	70353	varianza funzione di ampiezza	7.20×10 ⁸
skewness funzione di ampiezza	-0.019	kurtosis funzione di ampiezza	2.274
rapporto aree medie di due ordini adiacenti	4.384	rapporto di biforcazione	3.964
rapporto lunghezze medie di due ordini adiacenti	2.149	rapporto pendenze medie di due ordini adiacenti	2.608
densità di drenaggio	0.8	diametro topologico	84
lunghezza LDP	121.749	lunghezza asta principale	109.727
lunghezza totale reticolo idrografico	3163.8	lunghezza media versanti	722
pendenza media LDP	3	media dell'afflusso totale annuo	985
deviazione standard dell'afflusso totale annuo	158	media coeff. pluviale orario CPP	21.247
dev. standard coeff. pluviale orario CPP	4.502	media esponente CPP	0.415
dev. standard esponente CPP	0.077	coeff. di intensità	0.022
media LCV piogge 1 ora	0.172	dev. standard LCV piogge 1 ora	0.022
media LCV piogge 3 ore	0.159	dev. standard LCV piogge 3 ore	0.017
media LCV piogge 6 ore	0.156	dev. standard LCV piogge 6 ore	0.019
media LCV piogge 12 ore	0.163	dev. standard LCV piogge 12 ore	0.024
media LCV piogge 24 ore	0.182	dev. standard LCV piogge 24 ore	0.028
media LCA piogge 1 ora	0.175	dev. standard LCA piogge 1 ora	0.061
media LCA piogge 3 ore	0.139	dev. standard LCA piogge 3 ore	0.051
media LCA piogge 6 ore	0.135	dev. standard LCA piogge 6 ore	0.05
media LCA piogge 12 ore	0.149	dev. standard LCA piogge 12 ore	0.047
media LCA piogge 24 ore	0.176	dev. standard LCA piogge 24 ore	0.05
media coeff. B1 regime pluviometrico	-12.7	media coeff. C1 regime pluviometrico	-0.3
media coeff. B2 regime pluviometrico	-2.7	media coeff. C2 regime pluviometrico	-35.9
dev. standard regime pluviometrico	29.4	coeff. variaz. regime pluviometrico	0.347
classe 1 corine land cover	2.12	classe 2 corine land cover	35.89
classe 3 corine land cover	51.85	classe 4 corine land cover	10.05
classe 5 corine land cover	0.09	media NDVI	0.481
dev. standard NDVI	0.135	media curve number 1	46.3
media curve number 2	65.1	media curve number 3	80.7
dev. standard curve number 1	11.8	dev. standard curve number 2	11.8
dev. standard curve number 3	9.7	media indice di permeabilità vapi	0.323
dev. standard indice di permeabilità vapi	0.177		

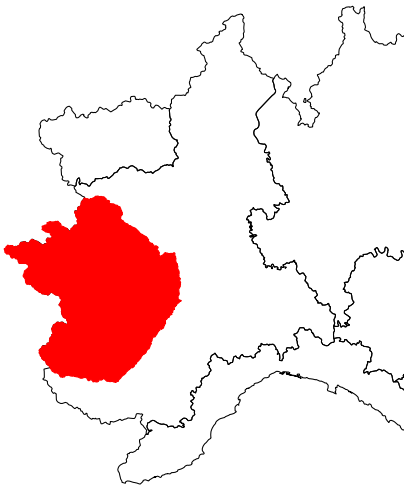


Po a Casale Monferrato

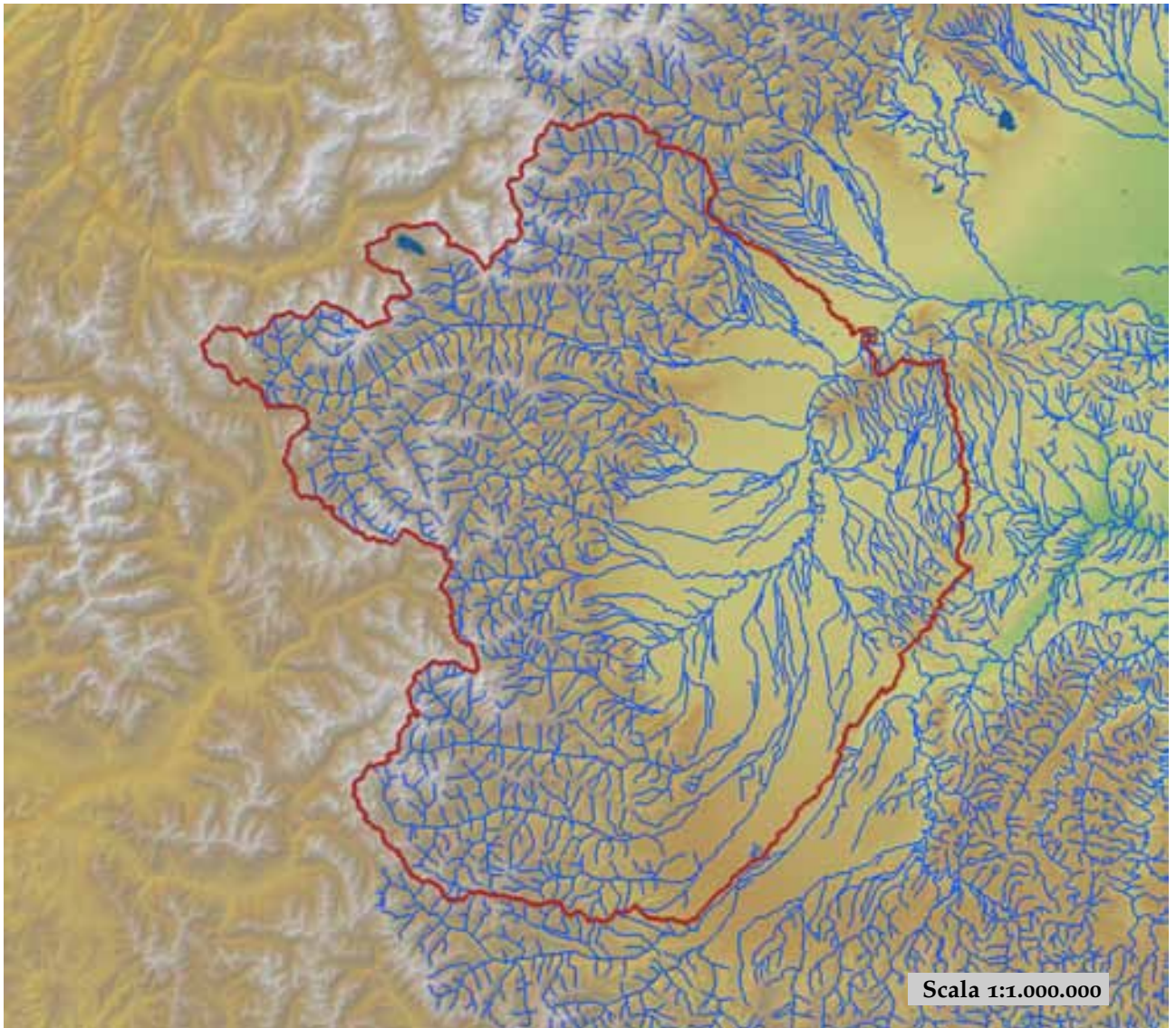


est (UTM ₃₂ N WGS84)	456575	nord (UTM ₃₂ N WGS84)	4998852
est DEM (UTM ₃₂ N WGS84)	457083	nord DEM (UTM ₃₂ N WGS84)	4999277
area bacino	13732.09	quota media	1257

quota massima	4743	quota minima	92
curva ipsografica 2,5%	3012	curva ipsografica 5%	2819
curva ipsografica 10%	2588	curva ipsografica 25%	2076
curva ipsografica 50%	1114	curva ipsografica 75%	314
curva ipsografica 90%	242	curva ipsografica 95%	219
curva ipsografica 97,5%	181	distanza interquartile curva ipsografica	1762
angolo di esposizione medio	103	lunghezza vettore orientamento	79.9
pendenza bacino	16.147	pendenza bacino quadrato equivalente	1.746
est baricentro (UTM _{32N} WGS84)	377250	nord baricentro (UTM _{32N} WGS84)	5003150
fattore di forma	0.268	rapporto di allungamento	0.584
media funzione di ampiezza	154845	varianza funzione di ampiezza	2.32×10 ⁹
skewness funzione di ampiezza	-0.547	kurtosis funzione di ampiezza	2.922
rapporto aree medie di due ordini adiacenti	4.644	rapporto di biforcazione	4.337
rapporto lunghezze medie di due ordini adiacenti	2.332	rapporto pendenze medie di due ordini adiacenti	2.499
densità di drenaggio	0.738	diametro topologico	170
lunghezza LDP	226.442	lunghezza asta principale	225.193
lunghezza totale reticolo idrografico	10131.8	lunghezza media versanti	744
pendenza media LDP	2	media dell'afflusso totale annuo	987
deviazione standard dell'afflusso totale annuo	207	media coeff. pluviale orario CPP	21.148
dev. standard coeff. pluviale orario CPP	6.329	media esponente CPP	0.43
dev. standard esponente CPP	0.105	coeff. di intensità	0.021
media LCV piogge 1 ora	0.18	dev. standard LCV piogge 1 ora	0.031
media LCV piogge 3 ore	0.167	dev. standard LCV piogge 3 ore	0.027
media LCV piogge 6 ore	0.166	dev. standard LCV piogge 6 ore	0.024
media LCV piogge 12 ore	0.175	dev. standard LCV piogge 12 ore	0.028
media LCV piogge 24 ore	0.191	dev. standard LCV piogge 24 ore	0.034
media LCA piogge 1 ora	0.169	dev. standard LCA piogge 1 ora	0.056
media LCA piogge 3 ore	0.155	dev. standard LCA piogge 3 ore	0.061
media LCA piogge 6 ore	0.161	dev. standard LCA piogge 6 ore	0.059
media LCA piogge 12 ore	0.187	dev. standard LCA piogge 12 ore	0.064
media LCA piogge 24 ore	0.204	dev. standard LCA piogge 24 ore	0.06
media coeff. B1 regime pluviometrico	-15	media coeff. C1 regime pluviometrico	-3.7
media coeff. B2 regime pluviometrico	-1.5	media coeff. C2 regime pluviometrico	-29.5
dev. standard regime pluviometrico	27.7	coeff. variaz. regime pluviometrico	0.333
classe 1 corine land cover	3.98	classe 2 corine land cover	34.59
classe 3 corine land cover	42.77	classe 4 corine land cover	18.2
classe 5 corine land cover	0.46	media NDVI	0.425
dev. standard NDVI	0.163	media curve number 1	46.1
media curve number 2	64.4	media curve number 3	79.5
dev. standard curve number 1	13.7	dev. standard curve number 2	14.5
dev. standard curve number 3	13.8	media indice di permeabilità vapi	0.358
dev. standard indice di permeabilità vapi	0.204		

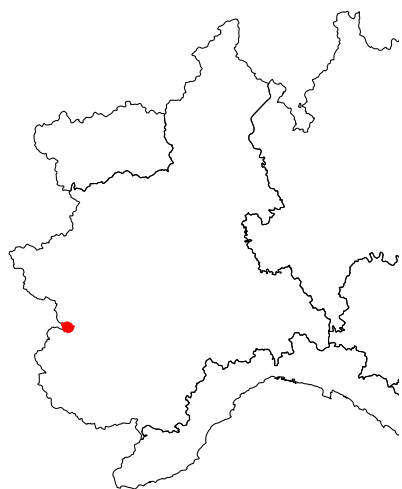


Po a Castiglione Torinese

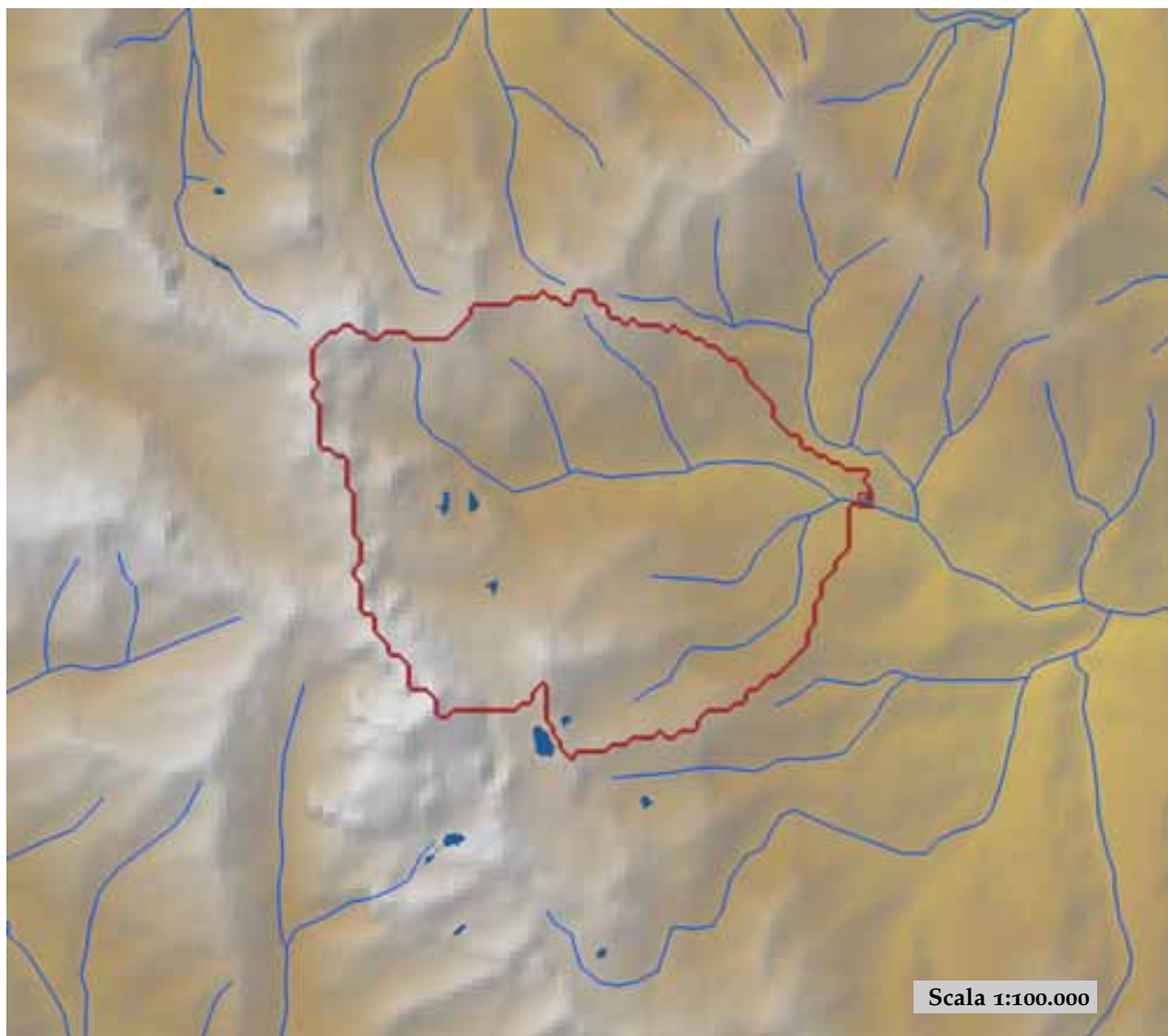


est (UTM ₃₂ N WGS84)	404428	nord (UTM ₃₂ N WGS84)	4998161
est DEM (UTM ₃₂ N WGS84)	404454	nord DEM (UTM ₃₂ N WGS84)	4998347
area bacino	7684.58	quota media	1083

quota massima	3760	quota minima	188
curva ipsografica 2,5%	2773	curva ipsografica 5%	2603
curva ipsografica 10%	2361	curva ipsografica 25%	1785
curva ipsografica 50%	802	curva ipsografica 75%	308
curva ipsografica 90%	254	curva ipsografica 95%	241
curva ipsografica 97,5%	234	distanza interquartile curva ipsografica	1477
angolo di esposizione medio	79	lunghezza vettore orientamento	45.7
pendenza bacino	13.954	pendenza bacino quadrato equivalente	1.403
est baricentro (UTM _{32N} WGS84)	368350	nord baricentro (UTM _{32N} WGS84)	4970250
fattore di forma	0.346	rapporto di allungamento	0.664
media funzione di ampiezza	87793	varianza funzione di ampiezza	1.27×10 ⁹
skewness funzione di ampiezza	0.013	kurtosis funzione di ampiezza	2.155
rapporto aree medie di due ordini adiacenti	4.33	rapporto di biforcazione	3.958
rapporto lunghezze medie di due ordini adiacenti	2.179	rapporto pendenze medie di due ordini adiacenti	2.475
densità di drenaggio	0.773	diametro topologico	113
lunghezza LDP	149.073	lunghezza asta principale	147.824
lunghezza totale reticolo idrografico	5943.8	lunghezza media versanti	729
pendenza media LDP	3	media dell'afflusso totale annuo	976
deviazione standard dell'afflusso totale annuo	182	media coeff. pluviale orario CPP	21.862
dev. standard coeff. pluviale orario CPP	5.368	media esponente CPP	0.409
dev. standard esponente CPP	0.093	coeff. di intensità	0.022
media LCV piogge 1 ora	0.171	dev. standard LCV piogge 1 ora	0.02
media LCV piogge 3 ore	0.159	dev. standard LCV piogge 3 ore	0.017
media LCV piogge 6 ore	0.159	dev. standard LCV piogge 6 ore	0.017
media LCV piogge 12 ore	0.167	dev. standard LCV piogge 12 ore	0.022
media LCV piogge 24 ore	0.182	dev. standard LCV piogge 24 ore	0.028
media LCA piogge 1 ora	0.167	dev. standard LCA piogge 1 ora	0.054
media LCA piogge 3 ore	0.141	dev. standard LCA piogge 3 ore	0.048
media LCA piogge 6 ore	0.148	dev. standard LCA piogge 6 ore	0.047
media LCA piogge 12 ore	0.168	dev. standard LCA piogge 12 ore	0.052
media LCA piogge 24 ore	0.189	dev. standard LCA piogge 24 ore	0.049
media coeff. B1 regime pluviometrico	-15.1	media coeff. C1 regime pluviometrico	-1.7
media coeff. B2 regime pluviometrico	-2	media coeff. C2 regime pluviometrico	-33.4
dev. standard regime pluviometrico	29.1	coeff. variaz. regime pluviometrico	0.349
classe 1 corine land cover	5.02	classe 2 corine land cover	34.22
classe 3 corine land cover	48.39	classe 4 corine land cover	12.1
classe 5 corine land cover	0.27	media NDVI	0.466
dev. standard NDVI	0.137	media curve number 1	46.8
media curve number 2	65.5	media curve number 3	80.8
dev. standard curve number 1	12	dev. standard curve number 2	12.1
dev. standard curve number 3	10.5	media indice di permeabilità vapi	0.324
dev. standard indice di permeabilità vapi	0.186		

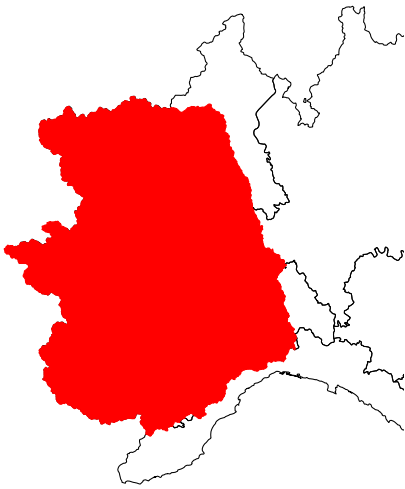


Po a Crissolo

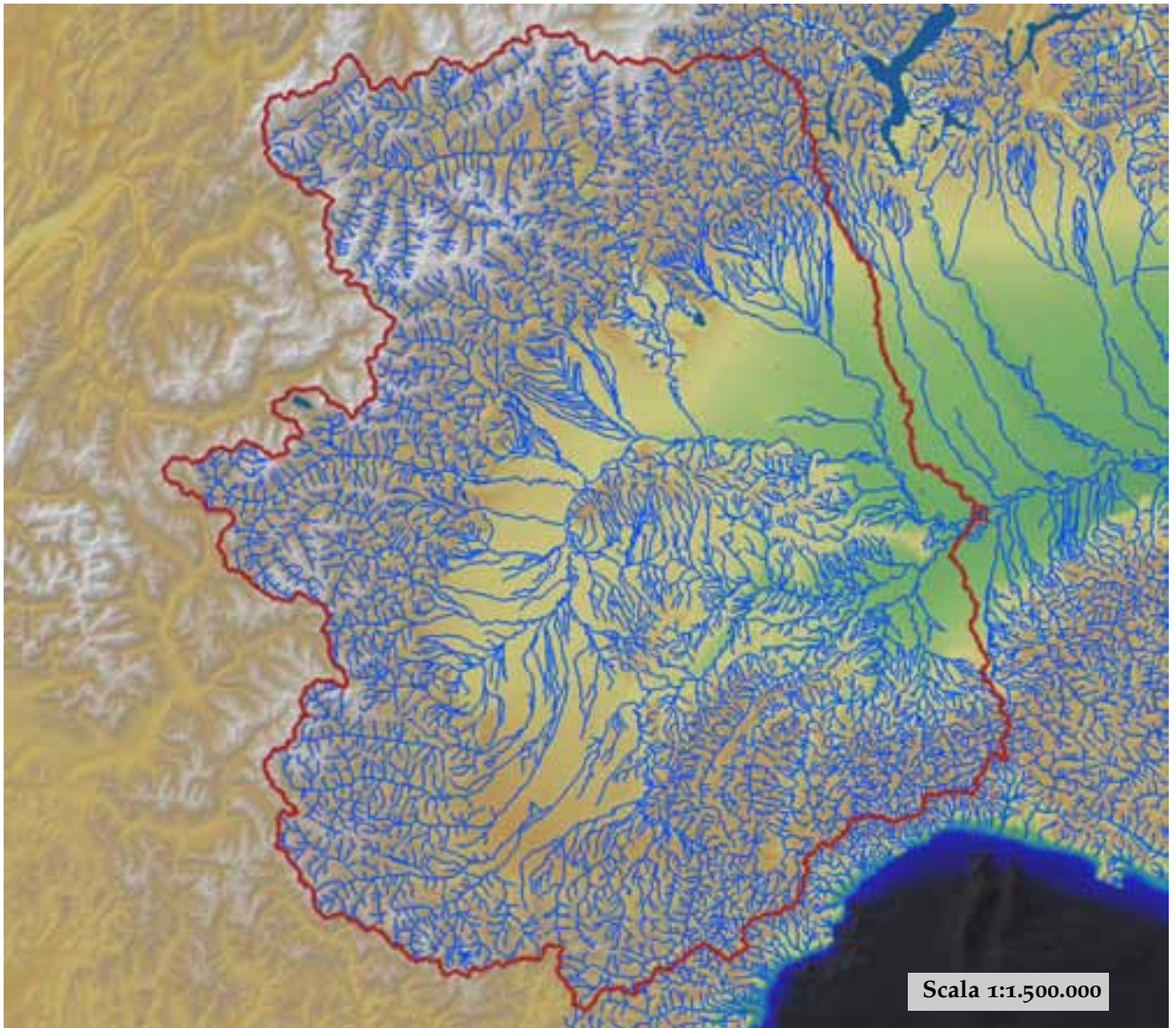


est (UTM _{32N} WGS84)	354451	nord (UTM _{32N} WGS84)	4950954
est DEM (UTM _{32N} WGS84)	354654	nord DEM (UTM _{32N} WGS84)	4950949
area bacino	37.59	quota media	2251

quota massima	3707	quota minima	1319
curva ipsografica 2,5%	3023	curva ipsografica 5%	2908
curva ipsografica 10%	2749	curva ipsografica 25%	2523
curva ipsografica 50%	2277	curva ipsografica 75%	1948
curva ipsografica 90%	1715	curva ipsografica 95%	1575
curva ipsografica 97,5%	1478	distanza interquartile curva ipsografica	575
angolo di esposizione medio	82	lunghezza vettore orientamento	4.2
pendenza bacino	23.519	pendenza bacino quadrato equivalente	31.283
est baricentro (UTM _{32N} WGS84)	350450	nord baricentro (UTM _{32N} WGS84)	4950750
fattore di forma	0.357	rapporto di allungamento	0.674
media funzione di ampiezza	6050	varianza funzione di ampiezza	6.17×10 ⁶
skewness funzione di ampiezza	-0.218	kurtosis funzione di ampiezza	2.119
rapporto aree medie di due ordini adiacenti	-	rapporto di biforcazione	22.862
rapporto lunghezze medie di due ordini adiacenti	0.608	rapporto penne medie di due ordini adiacenti	-
densità di drenaggio	-	diametro topologico	8
lunghezza LDP	10.257	lunghezza asta principale	8.433
lunghezza totale reticolo idrografico	-	lunghezza media versanti	738
pendenza media LDP	13	media dell'afflusso totale annuo	1105
deviazione standard dell'afflusso totale annuo	40	media coeff. pluviale orario CPP	18.211
dev. standard coeff. pluviale orario CPP	1.277	media esponente CPP	0.489
dev. standard esponente CPP	0.018	coeff. di intensità	0.016
media LCV piogge 1 ora	0.177	dev. standard LCV piogge 1 ora	0.005
media LCV piogge 3 ore	0.179	dev. standard LCV piogge 3 ore	0.005
media LCV piogge 6 ore	0.183	dev. standard LCV piogge 6 ore	0.007
media LCV piogge 12 ore	0.193	dev. standard LCV piogge 12 ore	0.004
media LCV piogge 24 ore	0.215	dev. standard LCV piogge 24 ore	0.002
media LCA piogge 1 ora	0.215	dev. standard LCA piogge 1 ora	0.02
media LCA piogge 3 ore	0.119	dev. standard LCA piogge 3 ore	0.018
media LCA piogge 6 ore	0.111	dev. standard LCA piogge 6 ore	0.021
media LCA piogge 12 ore	0.136	dev. standard LCA piogge 12 ore	0.018
media LCA piogge 24 ore	0.195	dev. standard LCA piogge 24 ore	0.013
media coeff. B1 regime pluviometrico	-25.2	media coeff. C1 regime pluviometrico	-2
media coeff. B2 regime pluviometrico	-7.8	media coeff. C2 regime pluviometrico	-40.8
dev. standard regime pluviometrico	35.5	coeff. variaz. regime pluviometrico	0.361
classe 1 corine land cover	0	classe 2 corine land cover	8.71
classe 3 corine land cover	32.17	classe 4 corine land cover	59.23
classe 5 corine land cover	0	media NDVI	0.234
dev. standard NDVI	0.09	media curve number 1	35
media curve number 2	53.5	media curve number 3	71.3
dev. standard curve number 1	14.4	dev. standard curve number 2	14.5
dev. standard curve number 3	11.7	media indice di permeabilità vapi	0.548
dev. standard indice di permeabilità vapi	0.137		

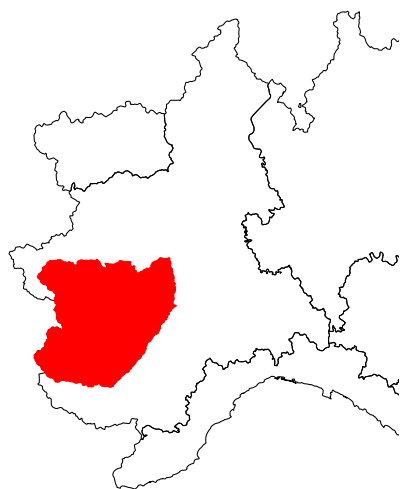


Po a Isola Sant'Antonio

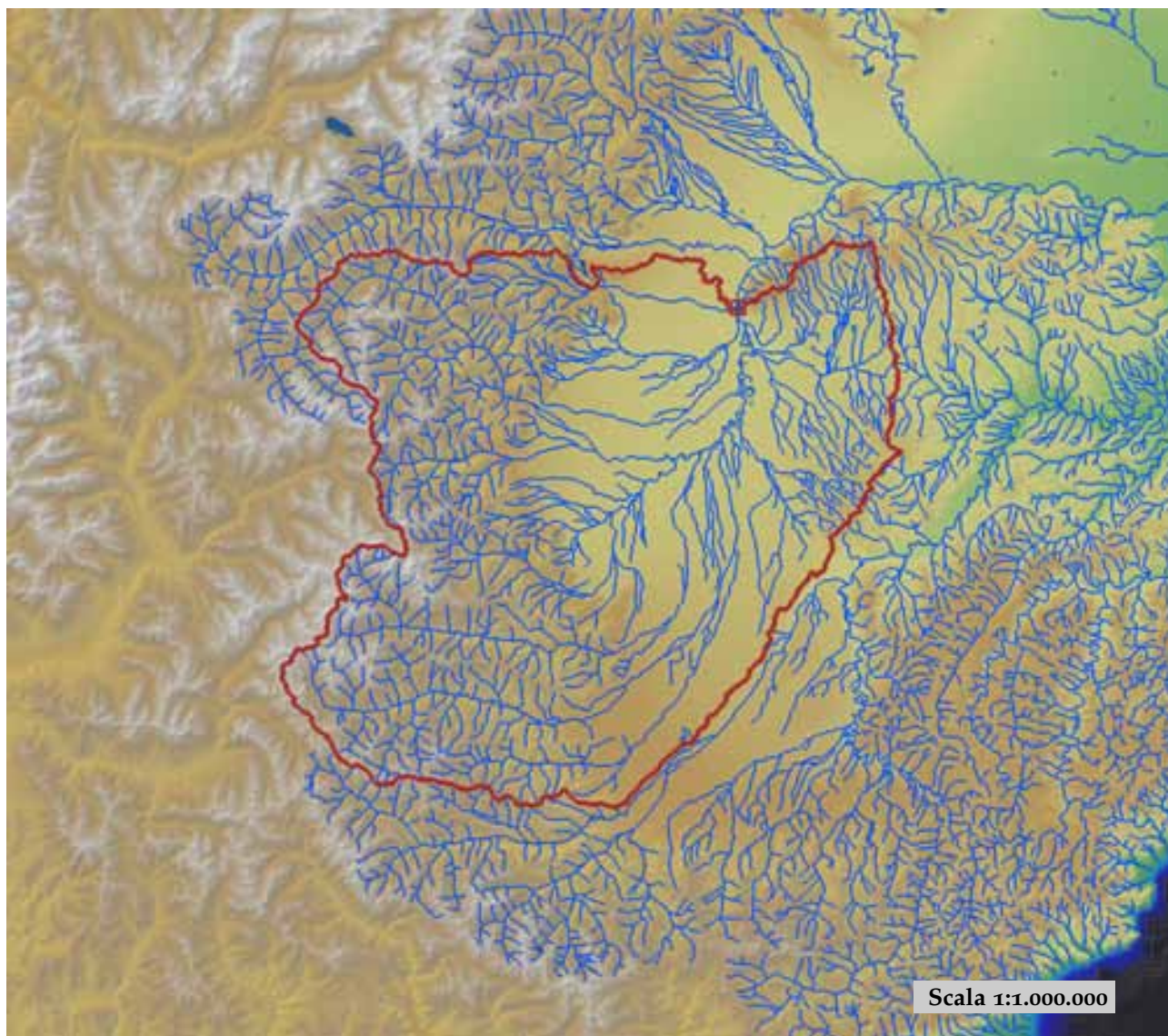


est (UTM ₃₂ N WGS84)	485975	nord (UTM ₃₂ N WGS84)	4986981
est DEM (UTM ₃₂ N WGS84)	485857	nord DEM (UTM ₃₂ N WGS84)	4987167
area bacino	25639.61	quota media	959

quota massima	4743	quota minima	32
curva ipsografica 2,5%	2849	curva ipsografica 5%	2634
curva ipsografica 10%	2346	curva ipsografica 25%	1618
curva ipsografica 50%	548	curva ipsografica 75%	254
curva ipsografica 90%	160	curva ipsografica 95%	123
curva ipsografica 97,5%	105	distanza interquartile curva ipsografica	1364
angolo di esposizione medio	96	lunghezza vettore orientamento	84.1
pendenza bacino	13.528	pendenza bacino quadrato equivalente	0.646
est baricentro (UTM _{32N} WGS84)	401850	nord baricentro (UTM _{32N} WGS84)	4983450
fattore di forma	0.338	rapporto di allungamento	0.656
media funzione di ampiezza	167365	varianza funzione di ampiezza	4.31×10 ⁹
skewness funzione di ampiezza	-0.285	kurtosis funzione di ampiezza	2.145
rapporto aree medie di due ordini adiacenti	4.354	rapporto di biforcazione	3.937
rapporto lunghezze medie di due ordini adiacenti	1.763	rapporto pendenze medie di due ordini adiacenti	2.646
densità di drenaggio	0.751	diametro topologico	200
lunghezza LDP	275.512	lunghezza asta principale	274.264
lunghezza totale reticolo idrografico	19244.1	lunghezza media versanti	701
pendenza media LDP	2	media dell'afflusso totale annuo	1018
deviazione standard dell'afflusso totale annuo	282	media coeff. pluviale orario CPP	23.418
dev. standard coeff. pluviale orario CPP	6.184	media esponente CPP	0.405
dev. standard esponente CPP	0.102	coeff. di intensità	0.023
media LCV piogge 1 ora	0.177	dev. standard LCV piogge 1 ora	0.028
media LCV piogge 3 ore	0.169	dev. standard LCV piogge 3 ore	0.029
media LCV piogge 6 ore	0.167	dev. standard LCV piogge 6 ore	0.026
media LCV piogge 12 ore	0.174	dev. standard LCV piogge 12 ore	0.029
media LCV piogge 24 ore	0.185	dev. standard LCV piogge 24 ore	0.031
media LCA piogge 1 ora	0.157	dev. standard LCA piogge 1 ora	0.061
media LCA piogge 3 ore	0.171	dev. standard LCA piogge 3 ore	0.064
media LCA piogge 6 ore	0.181	dev. standard LCA piogge 6 ore	0.064
media LCA piogge 12 ore	0.206	dev. standard LCA piogge 12 ore	0.067
media LCA piogge 24 ore	0.21	dev. standard LCA piogge 24 ore	0.058
media coeff. B1 regime pluviometrico	-8.8	media coeff. C1 regime pluviometrico	-3.4
media coeff. B2 regime pluviometrico	-2.1	media coeff. C2 regime pluviometrico	-31.6
dev. standard regime pluviometrico	29.7	coeff. variaz. regime pluviometrico	0.34
classe 1 corine land cover	3.58	classe 2 corine land cover	35.75
classe 3 corine land cover	48.36	classe 4 corine land cover	11.87
classe 5 corine land cover	0.45	media NDVI	0.464
dev. standard NDVI	0.144	media curve number 1	46.8
media curve number 2	65.4	media curve number 3	80.6
dev. standard curve number 1	12.3	dev. standard curve number 2	12.8
dev. standard curve number 3	11.8	media indice di permeabilità vapi	0.396
dev. standard indice di permeabilità vapi	0.201		

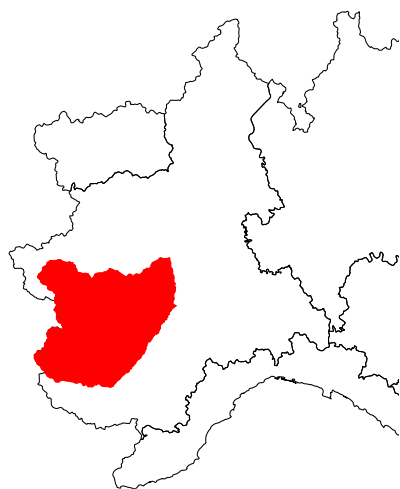


Po a Meirano Moncalieri

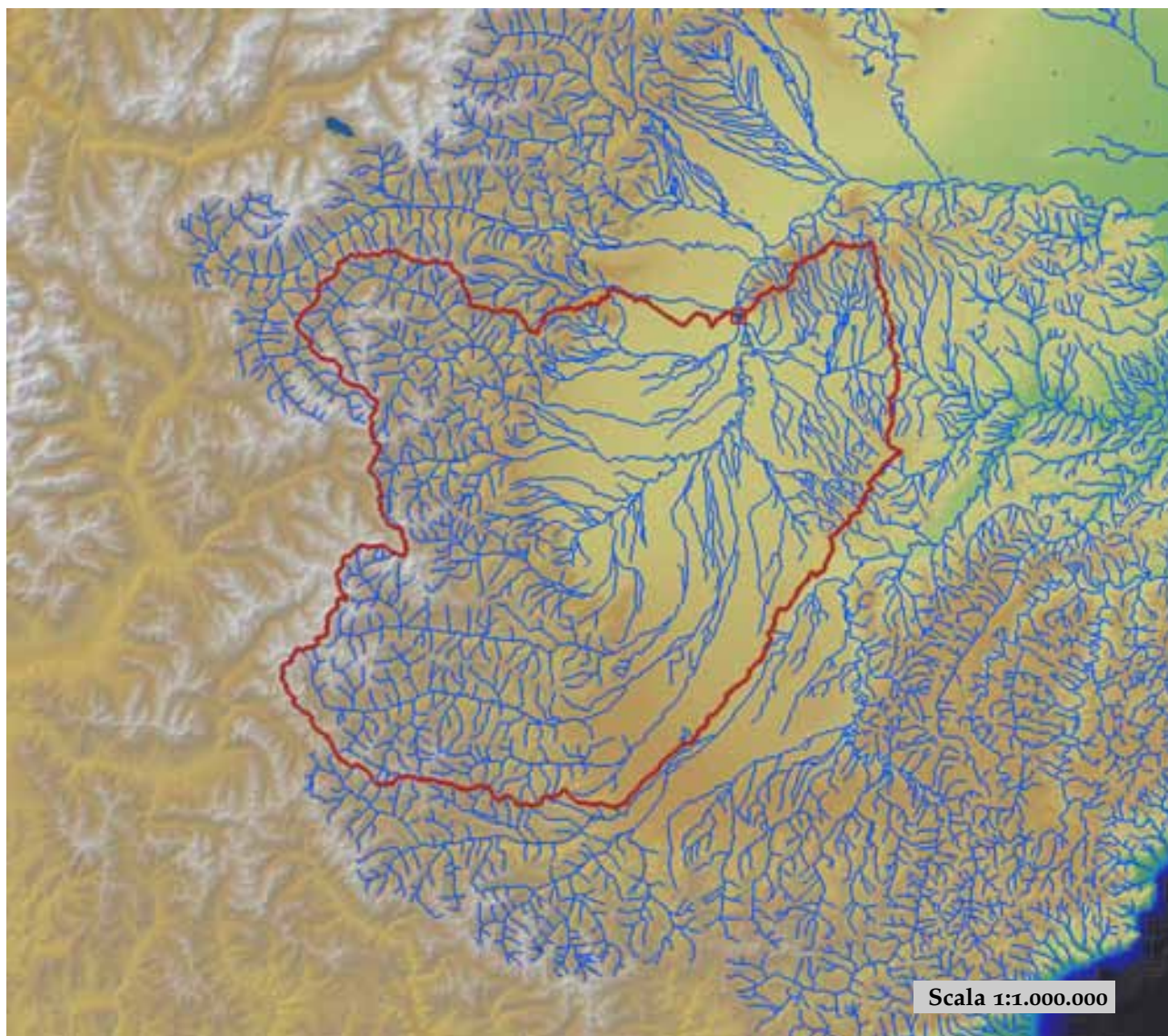


est (UTM ₃₂ N WGS84)	395654	nord (UTM ₃₂ N WGS84)	4983807
est DEM (UTM ₃₂ N WGS84)	395605	nord DEM (UTM ₃₂ N WGS84)	4985188
area bacino	5309.75	quota media	919

quota massima	3760	quota minima	195
curva ipsografica 2,5%	2645	curva ipsografica 5%	2468
curva ipsografica 10%	2202	curva ipsografica 25%	1490
curva ipsografica 50%	508	curva ipsografica 75%	281
curva ipsografica 90%	249	curva ipsografica 95%	239
curva ipsografica 97,5%	233	distanza interquartile curva ipsografica	1209
angolo di esposizione medio	68	lunghezza vettore orientamento	36.5
pendenza bacino	11.571	pendenza bacino quadrato equivalente	0.862
est baricentro (UTM _{32N} WGS84)	373050	nord baricentro (UTM _{32N} WGS84)	4956450
fattore di forma	0.321	rapporto di allungamento	0.639
media funzione di ampiezza	73638	varianza funzione di ampiezza	1.17×10 ⁹
skewness funzione di ampiezza	0.046	kurtosis funzione di ampiezza	1.996
rapporto aree medie di due ordini adiacenti	4.199	rapporto di biforcazione	3.844
rapporto lunghezze medie di due ordini adiacenti	1.959	rapporto pendenze medie di due ordini adiacenti	2.612
densità di drenaggio	0.824	diametro topologico	97
lunghezza LDP	128.603	lunghezza asta principale	127.355
lunghezza totale reticolo idrografico	4375	lunghezza media versanti	704
pendenza media LDP	3	media dell'afflusso totale annuo	952
deviazione standard dell'afflusso totale annuo	167	media coeff. pluviale orario CPP	22.514
dev. standard coeff. pluviale orario CPP	4.519	media esponente CPP	0.388
dev. standard esponente CPP	0.089	coeff. di intensità	0.024
media LCV piogge 1 ora	0.169	dev. standard LCV piogge 1 ora	0.021
media LCV piogge 3 ore	0.158	dev. standard LCV piogge 3 ore	0.017
media LCV piogge 6 ore	0.157	dev. standard LCV piogge 6 ore	0.018
media LCV piogge 12 ore	0.164	dev. standard LCV piogge 12 ore	0.023
media LCV piogge 24 ore	0.178	dev. standard LCV piogge 24 ore	0.029
media LCA piogge 1 ora	0.17	dev. standard LCA piogge 1 ora	0.057
media LCA piogge 3 ore	0.141	dev. standard LCA piogge 3 ore	0.048
media LCA piogge 6 ore	0.139	dev. standard LCA piogge 6 ore	0.047
media LCA piogge 12 ore	0.159	dev. standard LCA piogge 12 ore	0.052
media LCA piogge 24 ore	0.185	dev. standard LCA piogge 24 ore	0.05
media coeff. B1 regime pluviometrico	-14.2	media coeff. C1 regime pluviometrico	-1
media coeff. B2 regime pluviometrico	-1.6	media coeff. C2 regime pluviometrico	-34
dev. standard regime pluviometrico	28.7	coeff. variaz. regime pluviometrico	0.349
classe 1 corine land cover	4.04	classe 2 corine land cover	30.76
classe 3 corine land cover	57.39	classe 4 corine land cover	7.67
classe 5 corine land cover	0.15	media NDVI	0.49
dev. standard NDVI	0.123	media curve number 1	47.7
media curve number 2	66.4	media curve number 3	81.7
dev. standard curve number 1	11.1	dev. standard curve number 2	11
dev. standard curve number 3	9.1	media indice di permeabilità vapi	0.313
dev. standard indice di permeabilità vapi	0.169		

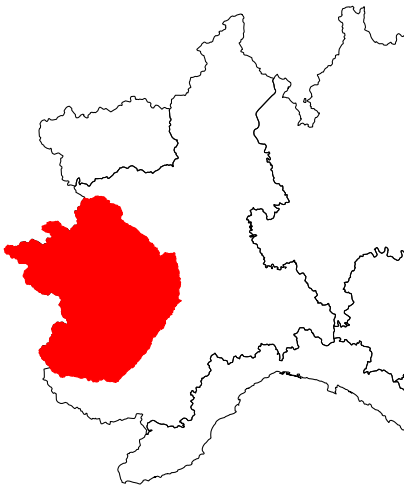


Po a Moncalieri

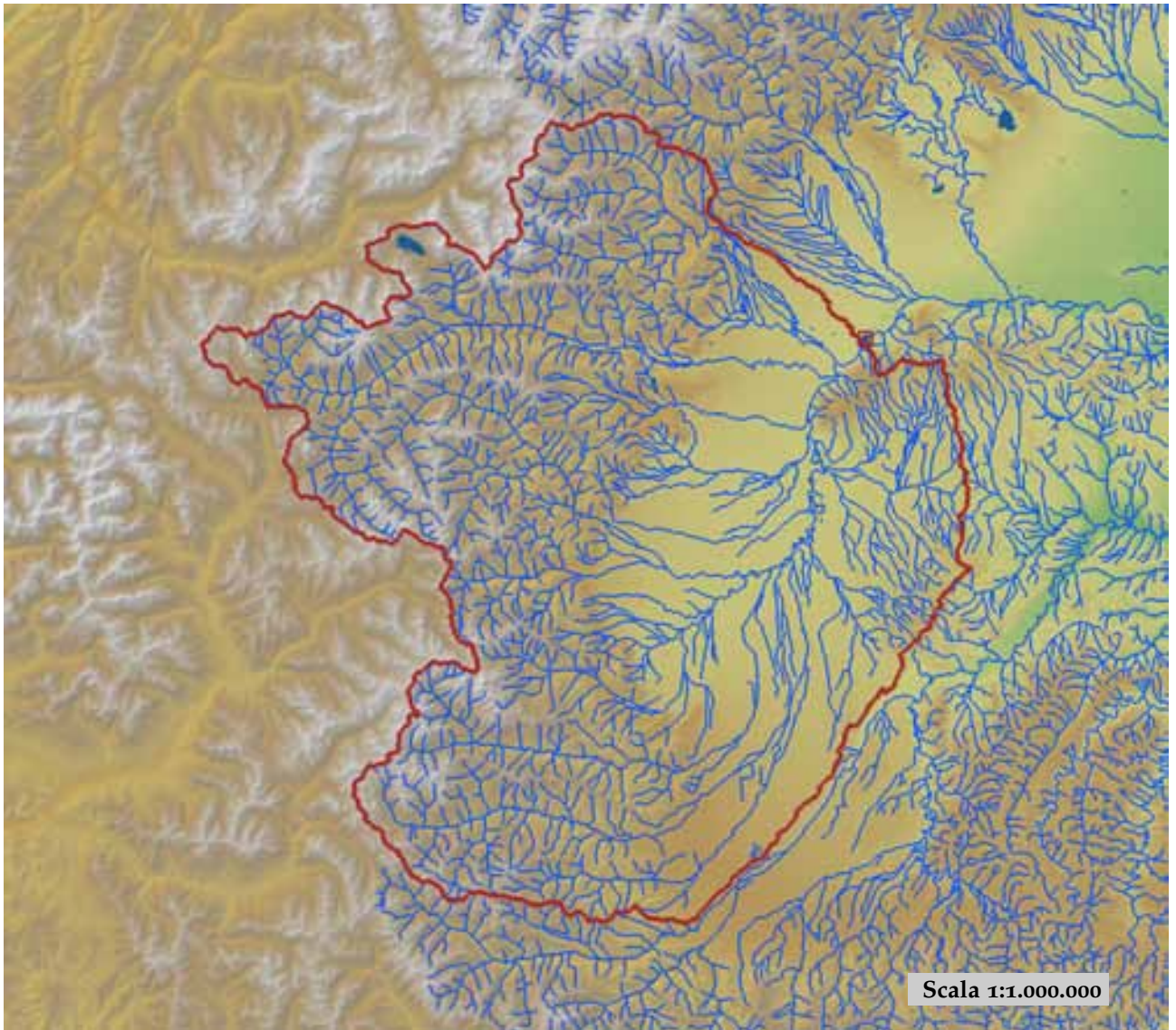


est (UTM ₃₂ N WGS84)	395895	nord (UTM ₃₂ N WGS84)	4983881
est DEM (UTM ₃₂ N WGS84)	395749	nord DEM (UTM ₃₂ N WGS84)	4983949
area bacino	5048.37	quota media	927

quota massima	3760	quota minima	195
curva ipsografica 2,5%	2655	curva ipsografica 5%	2482
curva ipsografica 10%	2222	curva ipsografica 25%	1517
curva ipsografica 50%	507	curva ipsografica 75%	281
curva ipsografica 90%	249	curva ipsografica 95%	239
curva ipsografica 97,5%	233	distanza interquartile curva ipsografica	1236
angolo di esposizione medio	64	lunghezza vettore orientamento	37
pendenza bacino	11.605	pendenza bacino quadrato equivalente	0.881
est baricentro (UTM _{32N} WGS84)	372950	nord baricentro (UTM _{32N} WGS84)	4954850
fattore di forma	0.313	rapporto di allungamento	0.631
media funzione di ampiezza	74374	varianza funzione di ampiezza	1.11×10 ⁹
skewness funzione di ampiezza	0.006	kurtosis funzione di ampiezza	2.022
rapporto aree medie di due ordini adiacenti	4.206	rapporto di biforcazione	3.815
rapporto lunghezze medie di due ordini adiacenti	1.971	rapporto pendenze medie di due ordini adiacenti	2.612
densità di drenaggio	0.826	diametro topologico	95
lunghezza LDP	127.031	lunghezza asta principale	125.782
lunghezza totale reticolo idrografico	4168.8	lunghezza media versanti	706
pendenza media LDP	3	media dell'afflusso totale annuo	947
deviazione standard dell'afflusso totale annuo	166	media coeff. pluviale orario CPP	22.376
dev. standard coeff. pluviale orario CPP	4.566	media esponente CPP	0.387
dev. standard esponente CPP	0.089	coeff. di intensità	0.024
media LCV piogge 1 ora	0.169	dev. standard LCV piogge 1 ora	0.021
media LCV piogge 3 ore	0.157	dev. standard LCV piogge 3 ore	0.017
media LCV piogge 6 ore	0.156	dev. standard LCV piogge 6 ore	0.018
media LCV piogge 12 ore	0.163	dev. standard LCV piogge 12 ore	0.022
media LCV piogge 24 ore	0.176	dev. standard LCV piogge 24 ore	0.027
media LCA piogge 1 ora	0.17	dev. standard LCA piogge 1 ora	0.058
media LCA piogge 3 ore	0.139	dev. standard LCA piogge 3 ore	0.048
media LCA piogge 6 ore	0.138	dev. standard LCA piogge 6 ore	0.047
media LCA piogge 12 ore	0.158	dev. standard LCA piogge 12 ore	0.053
media LCA piogge 24 ore	0.183	dev. standard LCA piogge 24 ore	0.05
media coeff. B1 regime pluviometrico	-13.5	media coeff. C1 regime pluviometrico	-0.6
media coeff. B2 regime pluviometrico	-1.6	media coeff. C2 regime pluviometrico	-33.6
dev. standard regime pluviometrico	28.1	coeff. variaz. regime pluviometrico	0.345
classe 1 corine land cover	3.27	classe 2 corine land cover	30.3
classe 3 corine land cover	58.33	classe 4 corine land cover	7.94
classe 5 corine land cover	0.15	media NDVI	0.491
dev. standard NDVI	0.123	media curve number 1	47.7
media curve number 2	66.4	media curve number 3	81.7
dev. standard curve number 1	11.2	dev. standard curve number 2	11.2
dev. standard curve number 3	9.2	media indice di permeabilità vapi	0.308
dev. standard indice di permeabilità vapi	0.17		

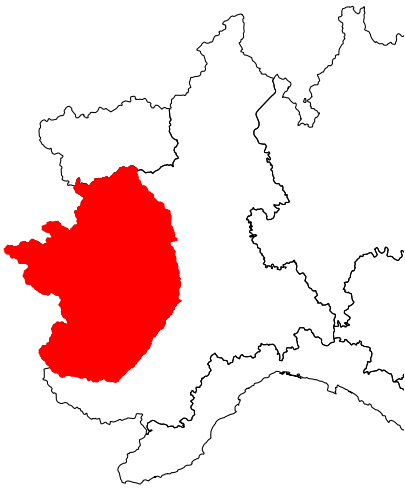


Po a San Mauro Torinese

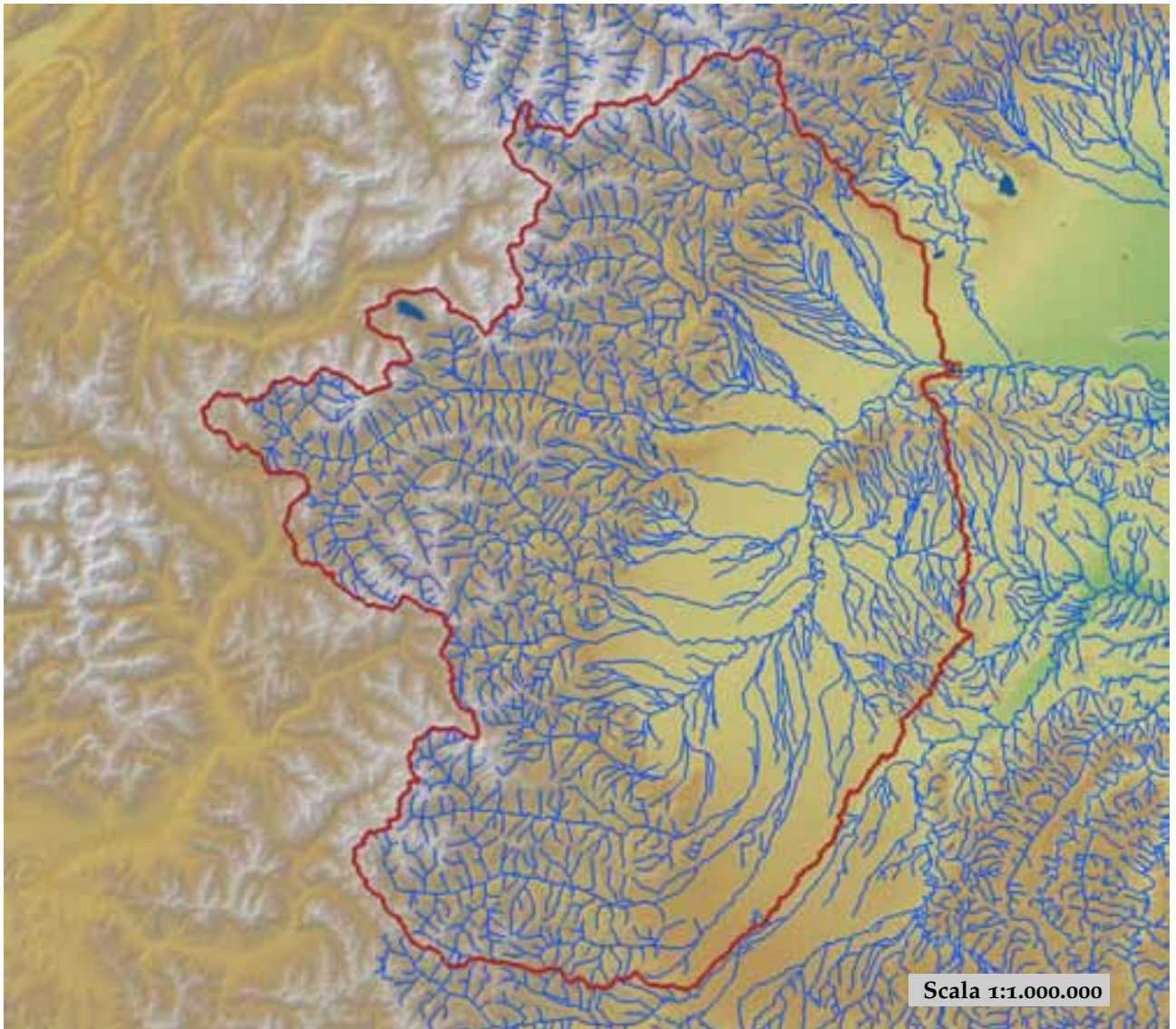


est (UTM ₃₂ N WGS84)	404376	nord (UTM ₃₂ N WGS84)	4998217
est DEM (UTM ₃₂ N WGS84)	403852	nord DEM (UTM ₃₂ N WGS84)	4997764
area bacino	7682.15	quota media	1083

quota massima	3760	quota minima	191
curva ipsografica 2,5%	2773	curva ipsografica 5%	2603
curva ipsografica 10%	2362	curva ipsografica 25%	1785
curva ipsografica 50%	803	curva ipsografica 75%	308
curva ipsografica 90%	254	curva ipsografica 95%	241
curva ipsografica 97,5%	234	distanza interquartile curva ipsografica	1477
angolo di esposizione medio	79	lunghezza vettore orientamento	44.9
pendenza bacino	13.958	pendenza bacino quadrato equivalente	1.399
est baricentro (UTM _{32N} WGS84)	368350	nord baricentro (UTM _{32N} WGS84)	4970250
fattore di forma	0.35	rapporto di allungamento	0.668
media funzione di ampiezza	86796	varianza funzione di ampiezza	1.27×10 ⁹
skewness funzione di ampiezza	0.015	kurtosis funzione di ampiezza	2.152
rapporto aree medie di due ordini adiacenti	4.33	rapporto di biforcazione	3.958
rapporto lunghezze medie di due ordini adiacenti	2.178	rapporto pendenze medie di due ordini adiacenti	2.475
densità di drenaggio	0.774	diametro topologico	112
lunghezza LDP	148.048	lunghezza asta principale	146.8
lunghezza totale reticolo idrografico	5942.7	lunghezza media versanti	729
pendenza media LDP	3	media dell'afflusso totale annuo	976
deviazione standard dell'afflusso totale annuo	182	media coeff. pluviale orario CPP	21.86
dev. standard coeff. pluviale orario CPP	5.367	media esponente CPP	0.409
dev. standard esponente CPP	0.093	coeff. di intensità	0.022
media LCV piogge 1 ora	0.171	dev. standard LCV piogge 1 ora	0.02
media LCV piogge 3 ore	0.159	dev. standard LCV piogge 3 ore	0.017
media LCV piogge 6 ore	0.159	dev. standard LCV piogge 6 ore	0.017
media LCV piogge 12 ore	0.167	dev. standard LCV piogge 12 ore	0.022
media LCV piogge 24 ore	0.182	dev. standard LCV piogge 24 ore	0.028
media LCA piogge 1 ora	0.167	dev. standard LCA piogge 1 ora	0.054
media LCA piogge 3 ore	0.141	dev. standard LCA piogge 3 ore	0.048
media LCA piogge 6 ore	0.148	dev. standard LCA piogge 6 ore	0.047
media LCA piogge 12 ore	0.168	dev. standard LCA piogge 12 ore	0.052
media LCA piogge 24 ore	0.189	dev. standard LCA piogge 24 ore	0.049
media coeff. B1 regime pluviometrico	-15.1	media coeff. C1 regime pluviometrico	-1.7
media coeff. B2 regime pluviometrico	-2	media coeff. C2 regime pluviometrico	-33.4
dev. standard regime pluviometrico	29.1	coeff. variaz. regime pluviometrico	0.349
classe 1 corine land cover	5.01	classe 2 corine land cover	34.23
classe 3 corine land cover	48.39	classe 4 corine land cover	12.1
classe 5 corine land cover	0.27	media NDVI	0.466
dev. standard NDVI	0.137	media curve number 1	46.8
media curve number 2	65.5	media curve number 3	80.8
dev. standard curve number 1	12	dev. standard curve number 2	12.1
dev. standard curve number 3	10.5	media indice di permeabilità vapi	0.324
dev. standard indice di permeabilità vapi	0.186		

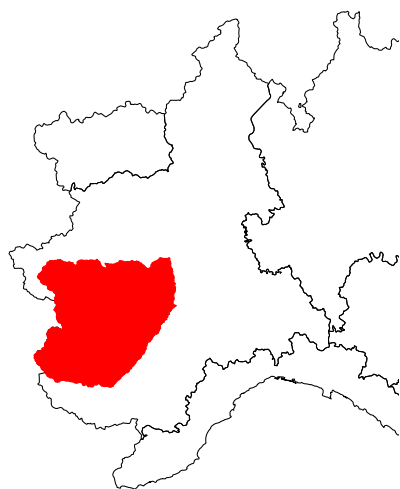


Po a San Sebastiano

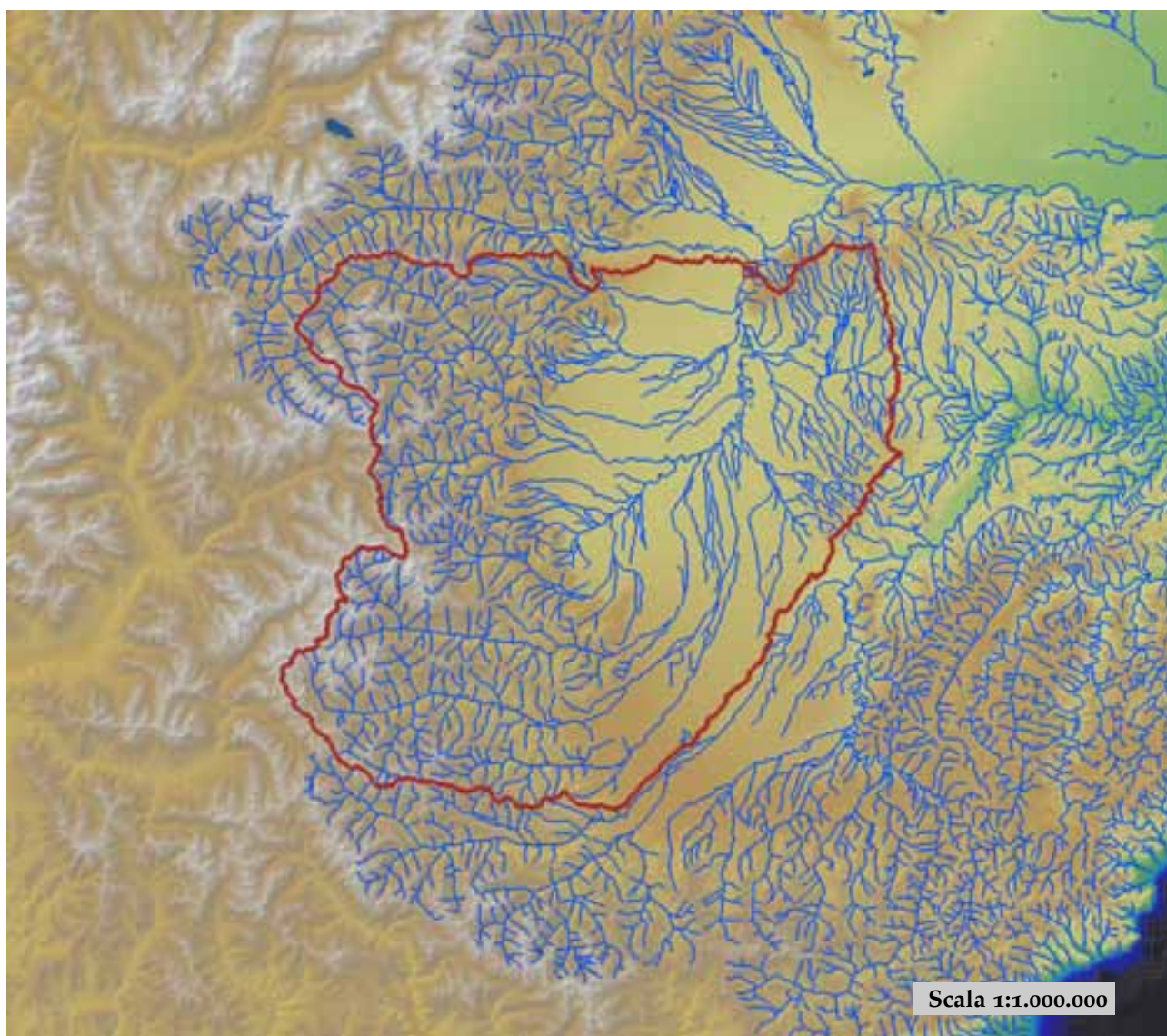


est (UTM ₃₂ N WGS84)	416953	nord (UTM ₃₂ N WGS84)	5002644
est DEM (UTM ₃₂ N WGS84)	416657	nord DEM (UTM ₃₂ N WGS84)	5002752
area bacino	9114.23	quota media	1081

quota massima	3885	quota minima	159
curva ipsografica 2,5%	2805	curva ipsografica 5%	2628
curva ipsografica 10%	2379	curva ipsografica 25%	1788
curva ipsografica 50%	781	curva ipsografica 75%	305
curva ipsografica 90%	251	curva ipsografica 95%	237
curva ipsografica 97,5%	224	distanza interquartile curva ipsografica	1483
angolo di esposizione medio	94	lunghezza vettore orientamento	51
pendenza bacino	14.086	pendenza bacino quadrato equivalente	1.305
est baricentro (UTM _{32N} WGS84)	371650	nord baricentro (UTM _{32N} WGS84)	4978750
fattore di forma	0.321	rapporto di allungamento	0.639
media funzione di ampiezza	98556	varianza funzione di ampiezza	1.58×10 ⁹
skewness funzione di ampiezza	0.004	kurtosis funzione di ampiezza	2.215
rapporto aree medie di due ordini adiacenti	4.386	rapporto di biforcazione	4.022
rapporto lunghezze medie di due ordini adiacenti	2.185	rapporto pendenze medie di due ordini adiacenti	2.445
densità di drenaggio	0.778	diametro topologico	132
lunghezza LDP	168.625	lunghezza asta principale	167.376
lunghezza totale reticolo idrografico	7095.2	lunghezza media versanti	727
pendenza media LDP	2	media dell'afflusso totale annuo	1009
deviazione standard dell'afflusso totale annuo	197	media coeff. pluviale orario CPP	22.509
dev. standard coeff. pluviale orario CPP	5.485	media esponente CPP	0.411
dev. standard esponente CPP	0.095	coeff. di intensità	0.022
media LCV piogge 1 ora	0.17	dev. standard LCV piogge 1 ora	0.022
media LCV piogge 3 ore	0.158	dev. standard LCV piogge 3 ore	0.019
media LCV piogge 6 ore	0.158	dev. standard LCV piogge 6 ore	0.018
media LCV piogge 12 ore	0.166	dev. standard LCV piogge 12 ore	0.023
media LCV piogge 24 ore	0.181	dev. standard LCV piogge 24 ore	0.028
media LCA piogge 1 ora	0.163	dev. standard LCA piogge 1 ora	0.055
media LCA piogge 3 ore	0.137	dev. standard LCA piogge 3 ore	0.052
media LCA piogge 6 ore	0.142	dev. standard LCA piogge 6 ore	0.051
media LCA piogge 12 ore	0.162	dev. standard LCA piogge 12 ore	0.055
media LCA piogge 24 ore	0.182	dev. standard LCA piogge 24 ore	0.052
media coeff. B1 regime pluviometrico	-17.2	media coeff. C1 regime pluviometrico	-2.6
media coeff. B2 regime pluviometrico	-1.8	media coeff. C2 regime pluviometrico	-34.3
dev. standard regime pluviometrico	30.5	coeff. variaz. regime pluviometrico	0.354
classe 1 corine land cover	4.89	classe 2 corine land cover	34.13
classe 3 corine land cover	47.89	classe 4 corine land cover	12.78
classe 5 corine land cover	0.31	media NDVI	0.463
dev. standard NDVI	0.143	media curve number 1	46.7
media curve number 2	65.3	media curve number 3	80.6
dev. standard curve number 1	12.2	dev. standard curve number 2	12.4
dev. standard curve number 3	11	media indice di permeabilità vapi	0.34
dev. standard indice di permeabilità vapi	0.191		

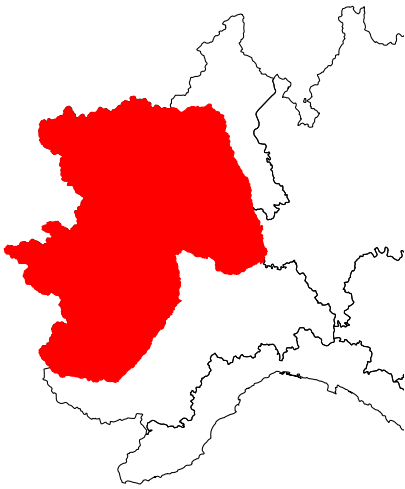


Po a Torino Murazzi

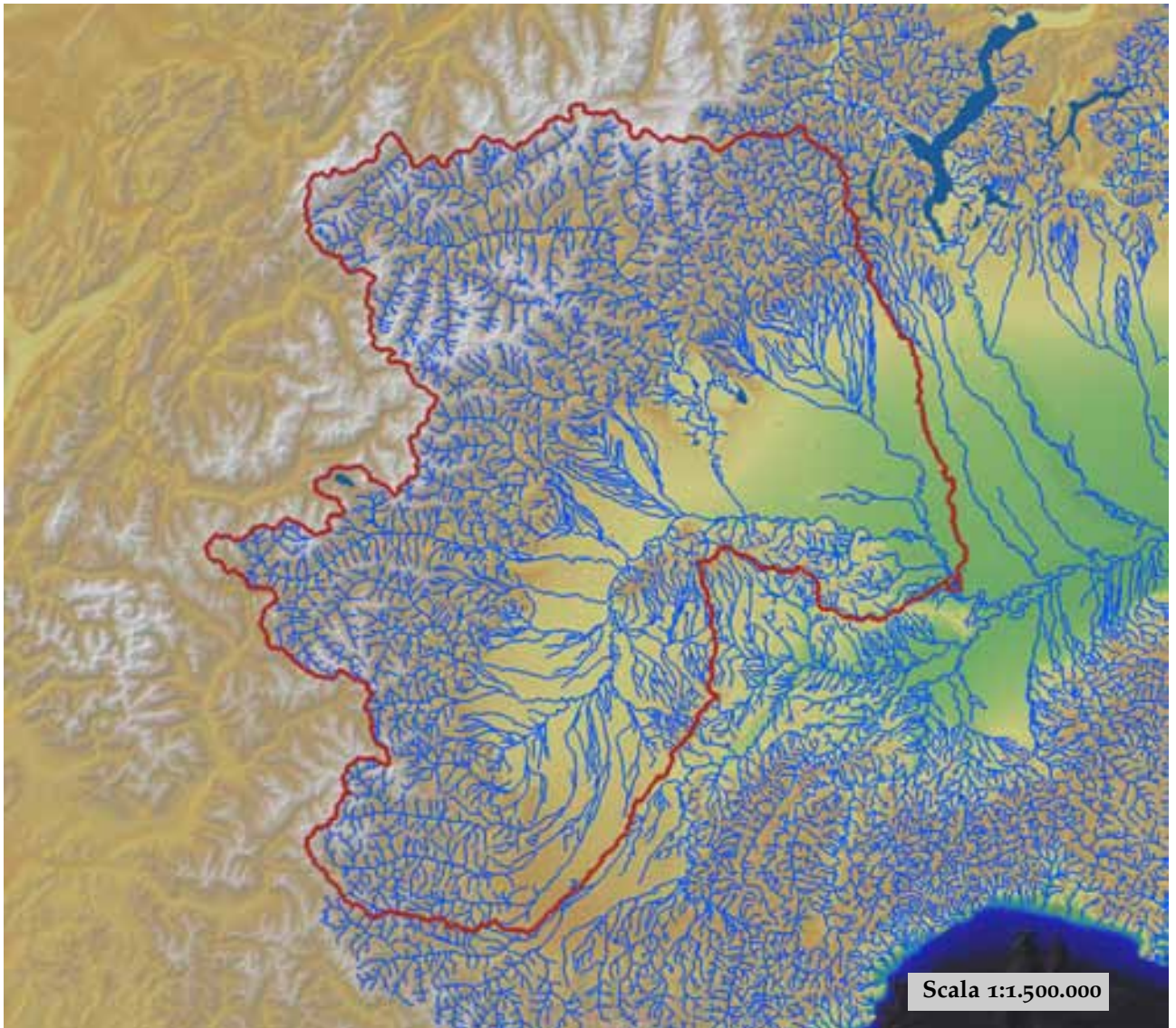


est (UTM _{32N} WGS84)	397499	nord (UTM _{32N} WGS84)	4990961
est DEM (UTM _{32N} WGS84)	397440	nord DEM (UTM _{32N} WGS84)	4990954
area bacino	5355.47	quota media	914

quota massima	3760	quota minima	195
curva ipsografica 2,5%	2643	curva ipsografica 5%	2465
curva ipsografica 10%	2197	curva ipsografica 25%	1481
curva ipsografica 50%	500	curva ipsografica 75%	280
curva ipsografica 90%	249	curva ipsografica 95%	239
curva ipsografica 97,5%	233	distanza interquartile curva ipsografica	1201
angolo di esposizione medio	68	lunghezza vettore orientamento	41.9
pendenza bacino	11.504	pendenza bacino quadrato equivalente	0.836
est baricentro (UTM _{32N} WGS84)	373250	nord baricentro (UTM _{32N} WGS84)	4956750
fattore di forma	0.291	rapporto di allungamento	0.608
media funzione di ampiezza	80197	varianza funzione di ampiezza	1.20×10 ⁹
skewness funzione di ampiezza	0.022	kurtosis funzione di ampiezza	2.026
rapporto aree medie di due ordini adiacenti	4.199	rapporto di biforcazione	3.855
rapporto lunghezze medie di due ordini adiacenti	1.959	rapporto pendenze medie di due ordini adiacenti	2.607
densità di drenaggio	0.824	diametro topologico	102
lunghezza LDP	135.763	lunghezza asta principale	134.515
lunghezza totale reticolo idrografico	4412.6	lunghezza media versanti	704
pendenza media LDP	3	media dell'afflusso totale annuo	951
deviazione standard dell'afflusso totale annuo	166	media coeff. pluviale orario CPP	22.56
dev. standard coeff. pluviale orario CPP	4.528	media esponente CPP	0.386
dev. standard esponente CPP	0.089	coeff. di intensità	0.024
media LCV piogge 1 ora	0.169	dev. standard LCV piogge 1 ora	0.021
media LCV piogge 3 ore	0.158	dev. standard LCV piogge 3 ore	0.017
media LCV piogge 6 ore	0.157	dev. standard LCV piogge 6 ore	0.018
media LCV piogge 12 ore	0.164	dev. standard LCV piogge 12 ore	0.023
media LCV piogge 24 ore	0.178	dev. standard LCV piogge 24 ore	0.028
media LCA piogge 1 ora	0.171	dev. standard LCA piogge 1 ora	0.057
media LCA piogge 3 ore	0.141	dev. standard LCA piogge 3 ore	0.048
media LCA piogge 6 ore	0.14	dev. standard LCA piogge 6 ore	0.047
media LCA piogge 12 ore	0.16	dev. standard LCA piogge 12 ore	0.052
media LCA piogge 24 ore	0.185	dev. standard LCA piogge 24 ore	0.049
media coeff. B1 regime pluviometrico	-14.3	media coeff. C1 regime pluviometrico	-1
media coeff. B2 regime pluviometrico	-1.5	media coeff. C2 regime pluviometrico	-34
dev. standard regime pluviometrico	28.7	coeff. variaz. regime pluviometrico	0.349
classe 1 corine land cover	4.58	classe 2 corine land cover	30.58
classe 3 corine land cover	57.08	classe 4 corine land cover	7.6
classe 5 corine land cover	0.16	media NDVI	0.489
dev. standard NDVI	0.124	media curve number 1	47.7
media curve number 2	66.5	media curve number 3	81.7
dev. standard curve number 1	11.1	dev. standard curve number 2	11
dev. standard curve number 3	9	media indice di permeabilità vapi	0.312
dev. standard indice di permeabilità vapi	0.169		

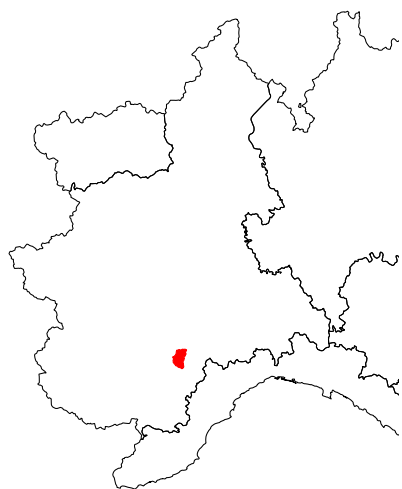


Po a Valenza



est (UTM _{32N} WGS84)	470988	nord (UTM _{32N} WGS84)	4988677
est DEM (UTM _{32N} WGS84)	471054	nord DEM (UTM _{32N} WGS84)	4988753
area bacino	17290.61	quota media	1117

quota massima	4743	quota minima	32
curva ipsografica 2,5%	2958	curva ipsografica 5%	2757
curva ipsografica 10%	2504	curva ipsografica 25%	1912
curva ipsografica 50%	811	curva ipsografica 75%	268
curva ipsografica 90%	183	curva ipsografica 95%	139
curva ipsografica 97,5%	117	distanza interquartile curva ipsografica	1644
angolo di esposizione medio	116	lunghezza vettore orientamento	83.4
pendenza bacino	14.722	pendenza bacino quadrato equivalente	1.186
est baricentro (UTM _{32N} WGS84)	390450	nord baricentro (UTM _{32N} WGS84)	5010350
fattore di forma	0.273	rapporto di allungamento	0.589
media funzione di ampiezza	161074	varianza funzione di ampiezza	3.59×10 ⁹
skewness funzione di ampiezza	-0.45	kurtosis funzione di ampiezza	2.447
rapporto aree medie di due ordini adiacenti	4.925	rapporto di biforcazione	4.474
rapporto lunghezze medie di due ordini adiacenti	2.281	rapporto pendenze medie di due ordini adiacenti	2.796
densità di drenaggio	0.762	diametro topologico	185
lunghezza LDP	251.698	lunghezza asta principale	250.45
lunghezza totale reticolo idrografico	13174.9	lunghezza media versanti	727
pendenza media LDP	2	media dell'afflusso totale annuo	1039
deviazione standard dell'afflusso totale annuo	283	media coeff. pluviale orario CPP	22.797
dev. standard coeff. pluviale orario CPP	6.766	media esponente CPP	0.417
dev. standard esponente CPP	0.108	coeff. di intensità	0.022
media LCV piogge 1 ora	0.175	dev. standard LCV piogge 1 ora	0.031
media LCV piogge 3 ore	0.164	dev. standard LCV piogge 3 ore	0.026
media LCV piogge 6 ore	0.163	dev. standard LCV piogge 6 ore	0.023
media LCV piogge 12 ore	0.17	dev. standard LCV piogge 12 ore	0.027
media LCV piogge 24 ore	0.185	dev. standard LCV piogge 24 ore	0.033
media LCA piogge 1 ora	0.164	dev. standard LCA piogge 1 ora	0.059
media LCA piogge 3 ore	0.16	dev. standard LCA piogge 3 ore	0.062
media LCA piogge 6 ore	0.166	dev. standard LCA piogge 6 ore	0.058
media LCA piogge 12 ore	0.189	dev. standard LCA piogge 12 ore	0.061
media LCA piogge 24 ore	0.202	dev. standard LCA piogge 24 ore	0.057
media coeff. B1 regime pluviometrico	-17	media coeff. C1 regime pluviometrico	-5.2
media coeff. B2 regime pluviometrico	-1.6	media coeff. C2 regime pluviometrico	-31
dev. standard regime pluviometrico	29.8	coeff. variaz. regime pluviometrico	0.335
classe 1 corine land cover	4.08	classe 2 corine land cover	33.94
classe 3 corine land cover	46.35	classe 4 corine land cover	15.19
classe 5 corine land cover	0.44	media NDVI	0.435
dev. standard NDVI	0.152	media curve number 1	46.5
media curve number 2	64.9	media curve number 3	80
dev. standard curve number 1	13.1	dev. standard curve number 2	13.9
dev. standard curve number 3	13.2	media indice di permeabilità vapi	0.372
dev. standard indice di permeabilità vapi	0.201		



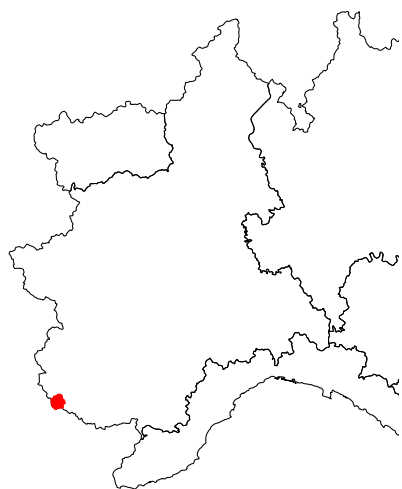
Rea a Dogliani



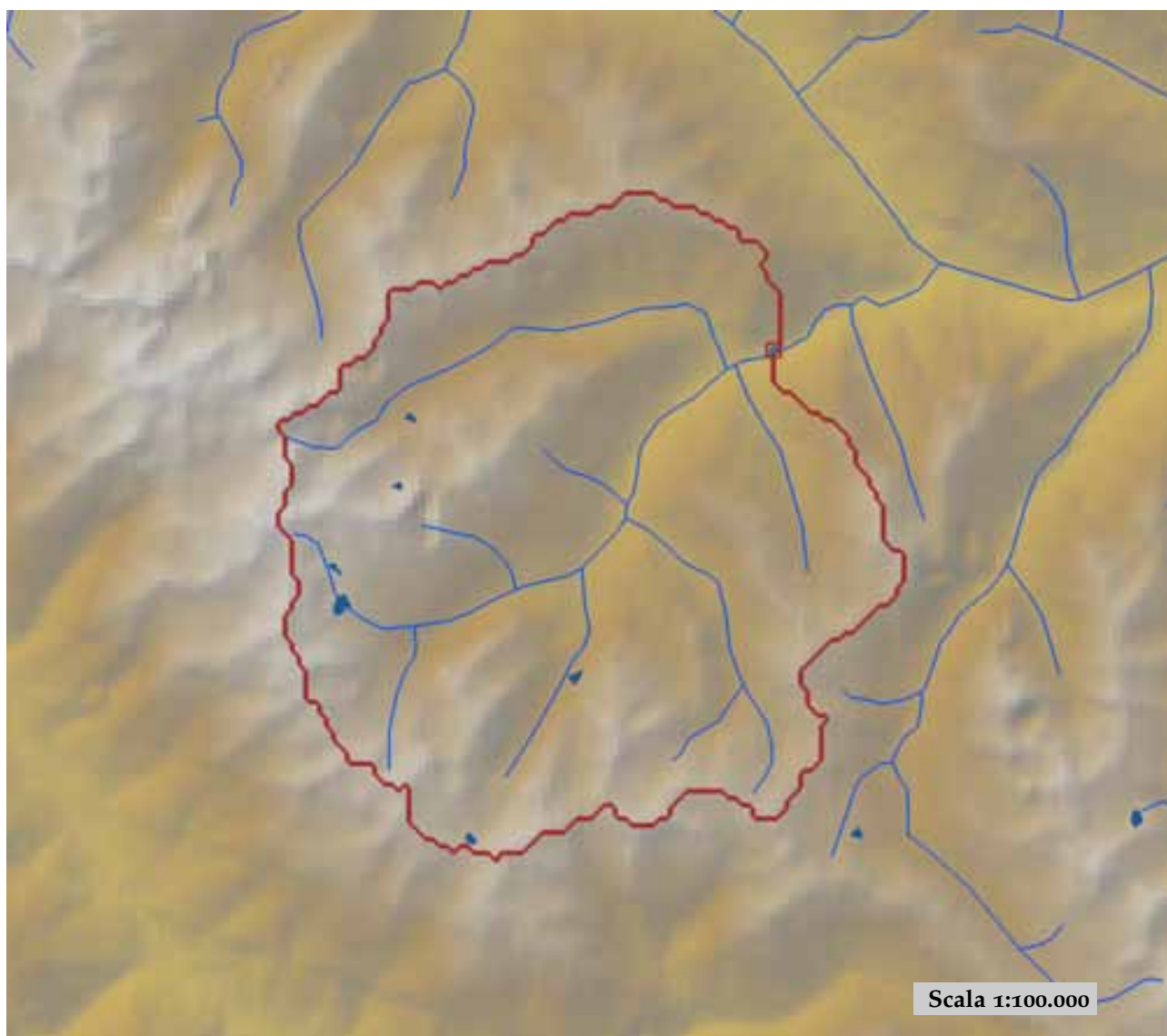
Scala 1:100.000

est (UTM ₃₂ N WGS84)	416921	nord (UTM ₃₂ N WGS84)	4931461
est DEM (UTM ₃₂ N WGS84)	417053	nord DEM (UTM ₃₂ N WGS84)	4931551
area bacino	68.87	quota media	558

quota massima	782	quota minima	291
curva ipsografica 2,5%	723	curva ipsografica 5%	706
curva ipsografica 10%	682	curva ipsografica 25%	631
curva ipsografica 50%	560	curva ipsografica 75%	489
curva ipsografica 90%	431	curva ipsografica 95%	389
curva ipsografica 97,5%	357	distanza interquartile curva ipsografica	142
angolo di esposizione medio	297	lunghezza vettore orientamento	4.4
pendenza bacino	10.931	pendenza bacino quadrato equivalente	6.507
est baricentro (UTM _{32N} WGS84)	421450	nord baricentro (UTM _{32N} WGS84)	4931050
fattore di forma	0.522	rapporto di allungamento	0.815
media funzione di ampiezza	6921	varianza funzione di ampiezza	6.14×10 ⁶
skewness funzione di ampiezza	-0.282	kurtosis funzione di ampiezza	2.448
rapporto aree medie di due ordini adiacenti	3.924	rapporto di biforcazione	3.4
rapporto lunghezze medie di due ordini adiacenti	1.818	rapporto pendenze medie di due ordini adiacenti	1.256
densità di drenaggio	0.747	diametro topologico	9
lunghezza LDP	11.488	lunghezza asta principale	9.857
lunghezza totale reticolo idrografico	51.4	lunghezza media versanti	537
pendenza media LDP	7	media dell'afflusso totale annuo	826
deviazione standard dell'afflusso totale annuo	48	media coeff. pluviale orario CPP	23.006
dev. standard coeff. pluviale orario CPP	0.734	media esponente CPP	0.334
dev. standard esponente CPP	0.012	coeff. di intensità	0.028
media LCV piogge 1 ora	0.188	dev. standard LCV piogge 1 ora	0.009
media LCV piogge 3 ore	0.181	dev. standard LCV piogge 3 ore	0.004
media LCV piogge 6 ore	0.167	dev. standard LCV piogge 6 ore	0.005
media LCV piogge 12 ore	0.167	dev. standard LCV piogge 12 ore	0.005
media LCV piogge 24 ore	0.174	dev. standard LCV piogge 24 ore	0.006
media LCA piogge 1 ora	0.114	dev. standard LCA piogge 1 ora	0.027
media LCA piogge 3 ore	0.191	dev. standard LCA piogge 3 ore	0.018
media LCA piogge 6 ore	0.233	dev. standard LCA piogge 6 ore	0.039
media LCA piogge 12 ore	0.249	dev. standard LCA piogge 12 ore	0.029
media LCA piogge 24 ore	0.245	dev. standard LCA piogge 24 ore	0.022
media coeff. B1 regime pluviometrico	2.3	media coeff. C1 regime pluviometrico	0.1
media coeff. B2 regime pluviometrico	2.2	media coeff. C2 regime pluviometrico	-28.5
dev. standard regime pluviometrico	22.2	coeff. variaz. regime pluviometrico	0.295
classe 1 corine land cover	0.89	classe 2 corine land cover	33.74
classe 3 corine land cover	65.44	classe 4 corine land cover	0
classe 5 corine land cover	0	media NDVI	0.564
dev. standard NDVI	0.023	media curve number 1	48.5
media curve number 2	67.5	media curve number 3	82.8
dev. standard curve number 1	8.3	dev. standard curve number 2	7.5
dev. standard curve number 3	5.3	media indice di permeabilità vapi	0.413
dev. standard indice di permeabilità vapi	0.01		



Rio Bagni a Bagni di Vinadio



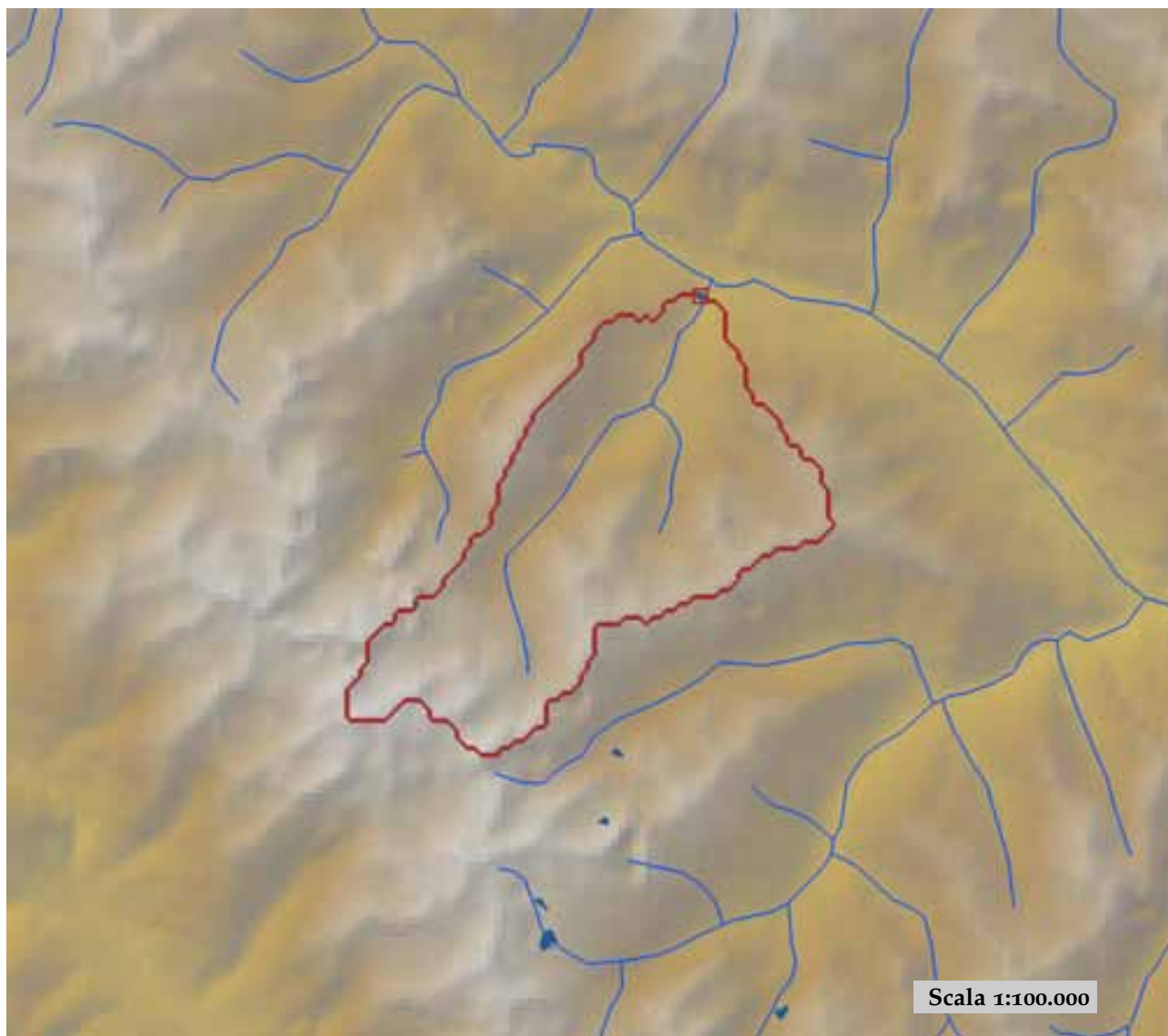
Scala 1:100.000

est (UTM ₃₂ N WGS84)	347299	nord (UTM ₃₂ N WGS84)	4905908
est DEM (UTM ₃₂ N WGS84)	347105	nord DEM (UTM ₃₂ N WGS84)	4906010
area bacino	61.44	quota media	2142

quota massima	2951	quota minima	1249
curva ipsografica 2,5%	2753	curva ipsografica 5%	2676
curva ipsografica 10%	2576	curva ipsografica 25%	2406
curva ipsografica 50%	2173	curva ipsografica 75%	1908
curva ipsografica 90%	1634	curva ipsografica 95%	1497
curva ipsografica 97,5%	1410	distanza interquartile curva ipsografica	498
angolo di esposizione medio	64	lunghezza vettore orientamento	3.9
pendenza bacino	27.085	pendenza bacino quadrato equivalente	23.602
est baricentro (UTM _{32N} WGS84)	344250	nord baricentro (UTM _{32N} WGS84)	4903350
fattore di forma	0.53	rapporto di allungamento	0.822
media funzione di ampiezza	6098	varianza funzione di ampiezza	6.18×10 ⁶
skewness funzione di ampiezza	-0.268	kurtosis funzione di ampiezza	2.039
rapporto aree medie di due ordini adiacenti	4.672	rapporto di biforcazione	3
rapporto lunghezze medie di due ordini adiacenti	2.952	rapporto pendenze medie di due ordini adiacenti	1.79
densità di drenaggio	0.542	diametro topologico	9
lunghezza LDP	10.764	lunghezza asta principale	9.157
lunghezza totale reticolo idrografico	33.3	lunghezza media versanti	711
pendenza media LDP	12	media dell'afflusso totale annuo	1186
deviazione standard dell'afflusso totale annuo	83	media coeff. pluviale orario CPP	16.948
dev. standard coeff. pluviale orario CPP	1.163	media esponente CPP	0.492
dev. standard esponente CPP	0.013	coeff. di intensità	0.014
media LCV piogge 1 ora	0.199	dev. standard LCV piogge 1 ora	0.008
media LCV piogge 3 ore	0.155	dev. standard LCV piogge 3 ore	0.003
media LCV piogge 6 ore	0.134	dev. standard LCV piogge 6 ore	0.002
media LCV piogge 12 ore	0.146	dev. standard LCV piogge 12 ore	0.004
media LCV piogge 24 ore	0.16	dev. standard LCV piogge 24 ore	0.005
media LCA piogge 1 ora	0.157	dev. standard LCA piogge 1 ora	0.019
media LCA piogge 3 ore	0.091	dev. standard LCA piogge 3 ore	0.011
media LCA piogge 6 ore	0.102	dev. standard LCA piogge 6 ore	0.022
media LCA piogge 12 ore	0.131	dev. standard LCA piogge 12 ore	0.01
media LCA piogge 24 ore	0.143	dev. standard LCA piogge 24 ore	0.011
media coeff. B1 regime pluviometrico	11.5	media coeff. C1 regime pluviometrico	3.7
media coeff. B2 regime pluviometrico	2	media coeff. C2 regime pluviometrico	-38.7
dev. standard regime pluviometrico	31.5	coeff. variaz. regime pluviometrico	0.328
classe 1 corine land cover	0	classe 2 corine land cover	35.21
classe 3 corine land cover	13.93	classe 4 corine land cover	50.93
classe 5 corine land cover	0	media NDVI	0.267
dev. standard NDVI	0.102	media curve number 1	35.2
media curve number 2	53.6	media curve number 3	71.2
dev. standard curve number 1	15.6	dev. standard curve number 2	15.7
dev. standard curve number 3	12.5	media indice di permeabilità vapi	0.29
dev. standard indice di permeabilità vapi	0.144		

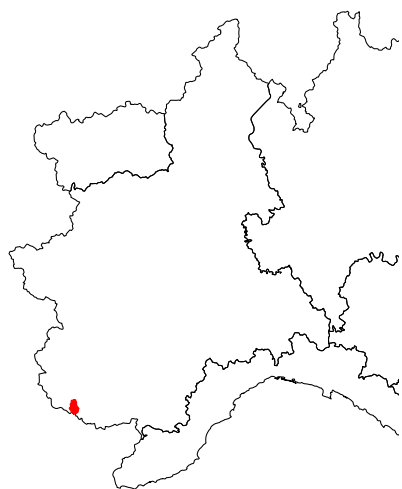


Rio del Piz a Pietraporzio

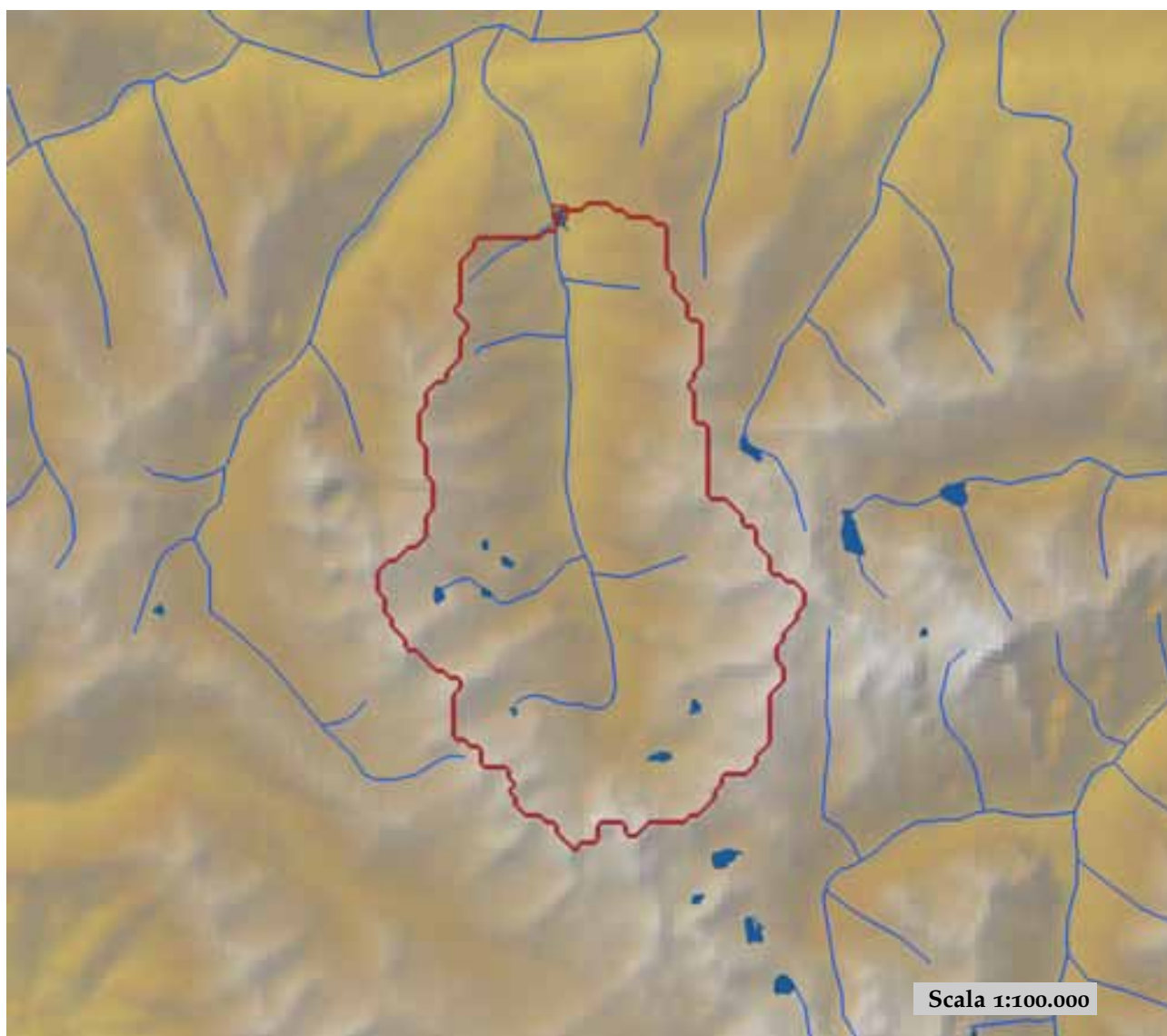


est (UTM ₃₂ N WGS84)	343090	nord (UTM ₃₂ N WGS84)	4911605
est DEM (UTM ₃₂ N WGS84)	343044	nord DEM (UTM ₃₂ N WGS84)	4911675
area bacino	21.68	quota media	2182

quota massima	2957	quota minima	1277
curva ipsografica 2,5%	2829	curva ipsografica 5%	2752
curva ipsografica 10%	2650	curva ipsografica 25%	2446
curva ipsografica 50%	2225	curva ipsografica 75%	1936
curva ipsografica 90%	1628	curva ipsografica 95%	1514
curva ipsografica 97,5%	1452	distanza interquartile curva ipsografica	510
angolo di esposizione medio	14	lunghezza vettore orientamento	3.6
pendenza bacino	26.895	pendenza bacino quadrato equivalente	40.763
est baricentro (UTM _{32N} WGS84)	341550	nord baricentro (UTM _{32N} WGS84)	4908350
fattore di forma	0.272	rapporto di allungamento	0.588
media funzione di ampiezza	4605	varianza funzione di ampiezza	4.62×10 ⁶
skewness funzione di ampiezza	0.184	kurtosis funzione di ampiezza	2.156
rapporto aree medie di due ordini adiacenti	-	rapporto di biforcazione	12.73
rapporto lunghezze medie di due ordini adiacenti	0.587	rapporto pendenze medie di due ordini adiacenti	-
densità di drenaggio	-	diametro topologico	4
lunghezza LDP	8.933	lunghezza asta principale	7.443
lunghezza totale reticolo idrografico	-	lunghezza media versanti	673
pendenza media LDP	13	media dell'afflusso totale annuo	1071
deviazione standard dell'afflusso totale annuo	41	media coeff. pluviale orario CPP	15.419
dev. standard coeff. pluviale orario CPP	0.28	media esponente CPP	0.498
dev. standard esponente CPP	0.009	coeff. di intensità	0.014
media LCV piogge 1 ora	0.207	dev. standard LCV piogge 1 ora	0.005
media LCV piogge 3 ore	0.16	dev. standard LCV piogge 3 ore	0.003
media LCV piogge 6 ore	0.137	dev. standard LCV piogge 6 ore	0.002
media LCV piogge 12 ore	0.138	dev. standard LCV piogge 12 ore	0.003
media LCV piogge 24 ore	0.153	dev. standard LCV piogge 24 ore	0.006
media LCA piogge 1 ora	0.181	dev. standard LCA piogge 1 ora	0.007
media LCA piogge 3 ore	0.098	dev. standard LCA piogge 3 ore	0.014
media LCA piogge 6 ore	0.055	dev. standard LCA piogge 6 ore	0.006
media LCA piogge 12 ore	0.094	dev. standard LCA piogge 12 ore	0.008
media LCA piogge 24 ore	0.099	dev. standard LCA piogge 24 ore	0.011
media coeff. B1 regime pluviometrico	6.8	media coeff. C1 regime pluviometrico	3.9
media coeff. B2 regime pluviometrico	0.9	media coeff. C2 regime pluviometrico	-27
dev. standard regime pluviometrico	22.1	coeff. variaz. regime pluviometrico	0.302
classe 1 corine land cover	0	classe 2 corine land cover	33.55
classe 3 corine land cover	25.28	classe 4 corine land cover	41.36
classe 5 corine land cover	0	media NDVI	0.256
dev. standard NDVI	0.114	media curve number 1	34
media curve number 2	52.6	media curve number 3	70.9
dev. standard curve number 1	12.8	dev. standard curve number 2	13.2
dev. standard curve number 3	10.6	media indice di permeabilità vapi	0.292
dev. standard indice di permeabilità vapi	0.135		



Rio Freddo a Rio Freddo

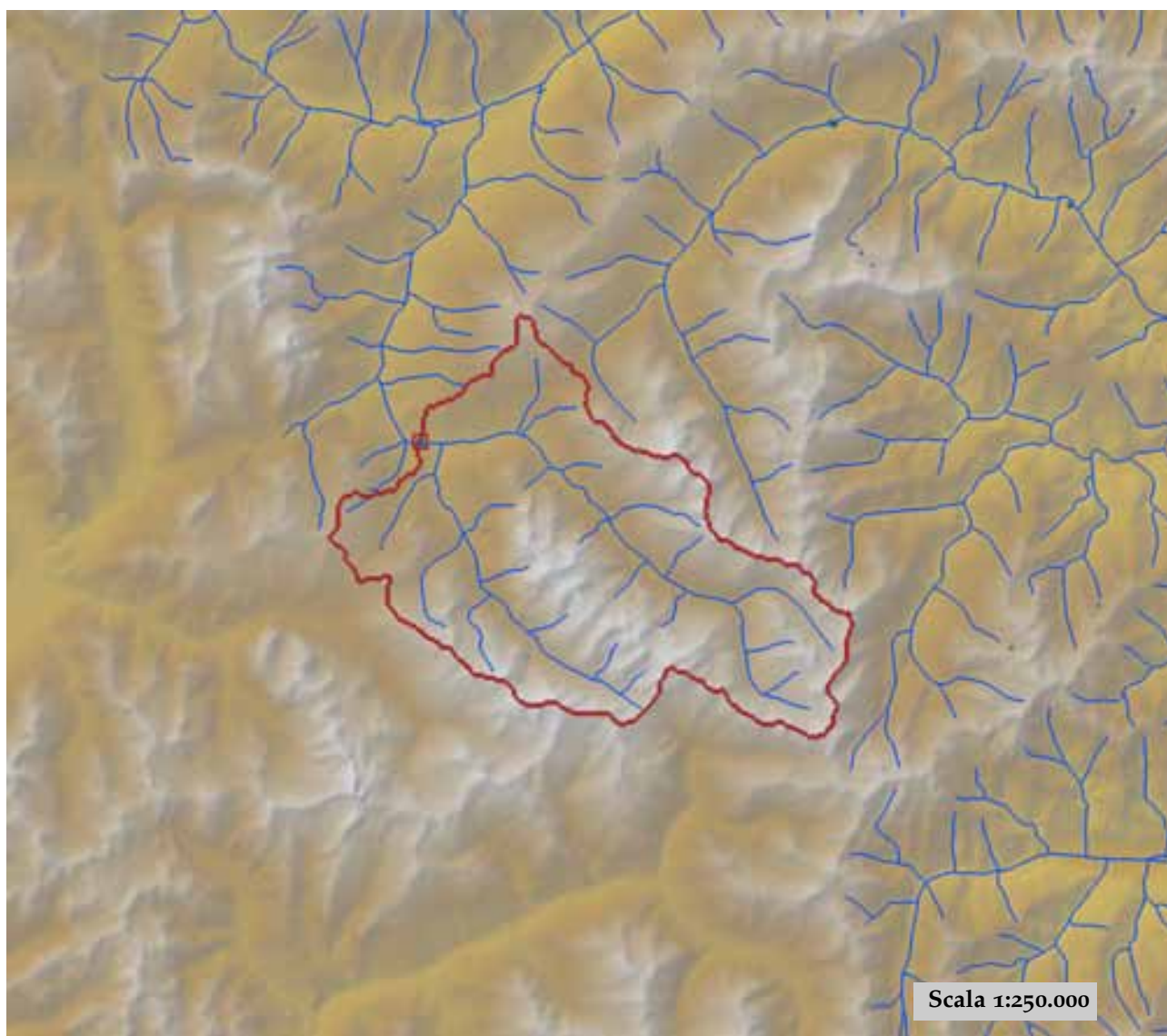


est (UTM ₃₂ N WGS84)	354141	nord (UTM ₃₂ N WGS84)	4904744
est DEM (UTM ₃₂ N WGS84)	354149	nord DEM (UTM ₃₂ N WGS84)	4904757
area bacino	36,58	quota media	2123

quota massima	2872	quota minima	1185
curva ipsografica 2,5%	2664	curva ipsografica 5%	2615
curva ipsografica 10%	2544	curva ipsografica 25%	2397
curva ipsografica 50%	2168	curva ipsografica 75%	1873
curva ipsografica 90%	1618	curva ipsografica 95%	1483
curva ipsografica 97,5%	1394	distanza interquartile curva ipsografica	524
angolo di esposizione medio	351	lunghezza vettore orientamento	4.7
pendenza bacino	27.583	pendenza bacino quadrato equivalente	32.572
est baricentro (UTM _{32N} WGS84)	354550	nord baricentro (UTM _{32N} WGS84)	4900050
fattore di forma	0.258	rapporto di allungamento	0.573
media funzione di ampiezza	6337	varianza funzione di ampiezza	8.10×10 ⁶
skewness funzione di ampiezza	-0.211	kurtosis funzione di ampiezza	1.958
rapporto aree medie di due ordini adiacenti	-	rapporto di biforcazione	21.554
rapporto lunghezze medie di due ordini adiacenti	0.589	rapporto pendenze medie di due ordini adiacenti	-
densità di drenaggio	-	diametro topologico	9
lunghezza LDP	11.901	lunghezza asta principale	10.236
lunghezza totale reticolo idrografico	-	lunghezza media versanti	733
pendenza media LDP	12	media dell'afflusso totale annuo	1147
deviazione standard dell'afflusso totale annuo	52	media coeff. pluviale orario CPP	14.363
dev. standard coeff. pluviale orario CPP	0.861	media esponente CPP	0.53
dev. standard esponente CPP	0.024	coeff. di intensità	0.013
media LCV piogge 1 ora	0.22	dev. standard LCV piogge 1 ora	0.012
media LCV piogge 3 ore	0.17	dev. standard LCV piogge 3 ore	0.006
media LCV piogge 6 ore	0.143	dev. standard LCV piogge 6 ore	0.003
media LCV piogge 12 ore	0.157	dev. standard LCV piogge 12 ore	0.002
media LCV piogge 24 ore	0.167	dev. standard LCV piogge 24 ore	0.003
media LCA piogge 1 ora	0.146	dev. standard LCA piogge 1 ora	0.021
media LCA piogge 3 ore	0.156	dev. standard LCA piogge 3 ore	0.019
media LCA piogge 6 ore	0.164	dev. standard LCA piogge 6 ore	0.013
media LCA piogge 12 ore	0.145	dev. standard LCA piogge 12 ore	0.023
media LCA piogge 24 ore	0.185	dev. standard LCA piogge 24 ore	0.016
media coeff. B1 regime pluviometrico	3.7	media coeff. C1 regime pluviometrico	3.6
media coeff. B2 regime pluviometrico	-0.1	media coeff. C2 regime pluviometrico	-33.2
dev. standard regime pluviometrico	24.5	coeff. variaz. regime pluviometrico	0.277
classe 1 corine land cover	0	classe 2 corine land cover	42.39
classe 3 corine land cover	10.02	classe 4 corine land cover	47.7
classe 5 corine land cover	0	media NDVI	0.258
dev. standard NDVI	0.091	media curve number 1	41
media curve number 2	59.1	media curve number 3	75.3
dev. standard curve number 1	17.7	dev. standard curve number 2	17.2
dev. standard curve number 3	13.3	media indice di permeabilità vapi	0.272
dev. standard indice di permeabilità vapi	0.08		

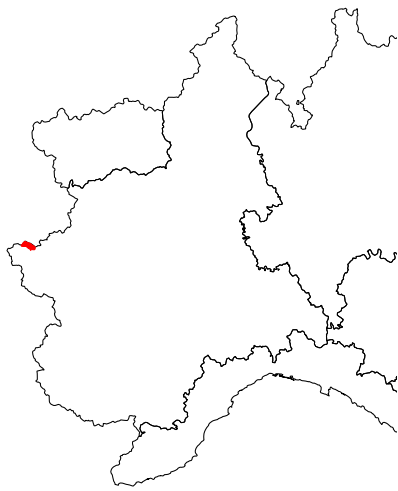


Ripa a Bousson

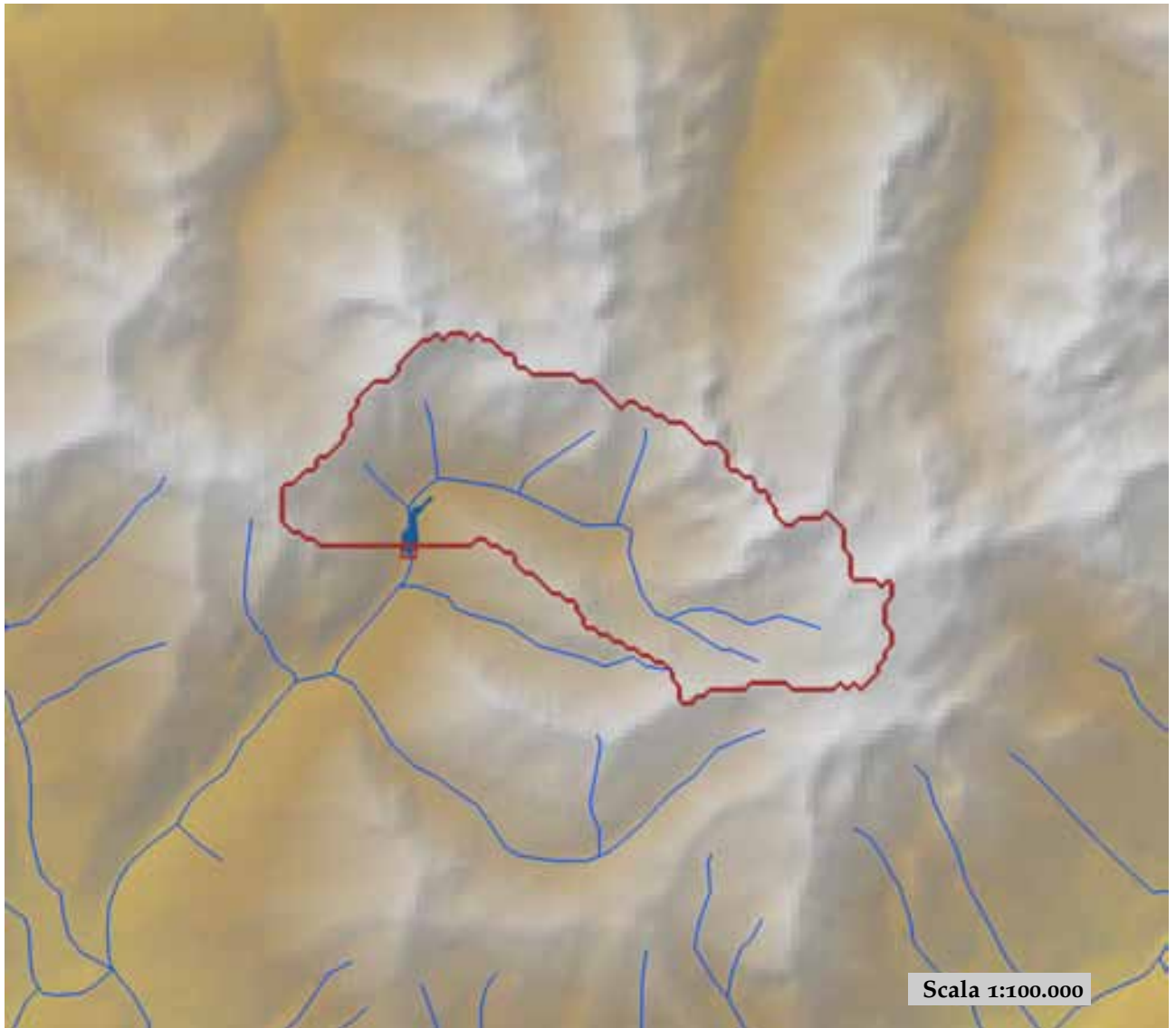


est (UTM ₃₂ N WGS84)	327797	nord (UTM ₃₂ N WGS84)	4977949
est DEM (UTM ₃₂ N WGS84)	327295	nord DEM (UTM ₃₂ N WGS84)	4978166
area bacino	147.04	quota media	2330

quota massima	3267	quota minima	1415
curva ipsografica 2,5%	3040	curva ipsografica 5%	2959
curva ipsografica 10%	2847	curva ipsografica 25%	2643
curva ipsografica 50%	2330	curva ipsografica 75%	2034
curva ipsografica 90%	1792	curva ipsografica 95%	1660
curva ipsografica 97,5%	1562	distanza interquartile curva ipsografica	609
angolo di esposizione medio	289	lunghezza vettore orientamento	7.4
pendenza bacino	23.36	pendenza bacino quadrato equivalente	15.108
est baricentro (UTM _{32N} WGS84)	333250	nord baricentro (UTM _{32N} WGS84)	4973850
fattore di forma	0.291	rapporto di allungamento	0.609
media funzione di ampiezza	10838	varianza funzione di ampiezza	2.73×10^7
skewness funzione di ampiezza	0.294	kurtosis funzione di ampiezza	2.239
rapporto aree medie di due ordini adiacenti	5.575	rapporto di biforcazione	4.123
rapporto lunghezze medie di due ordini adiacenti	2.651	rapporto pendenze medie di due ordini adiacenti	2.392
densità di drenaggio	0.511	diametro topologico	16
lunghezza LDP	22.486	lunghezza asta principale	20.997
lunghezza totale reticolo idrografico	75.1	lunghezza media versanti	801
pendenza media LDP	8	media dell'afflusso totale annuo	922
deviazione standard dell'afflusso totale annuo	87	media coeff. pluviale orario CPP	14.648
dev. standard coeff. pluviale orario CPP	0.559	media esponente CPP	0.486
dev. standard esponente CPP	0.037	coeff. di intensità	0.016
media LCV piogge 1 ora	0.165	dev. standard LCV piogge 1 ora	0.008
media LCV piogge 3 ore	0.147	dev. standard LCV piogge 3 ore	0.007
media LCV piogge 6 ore	0.156	dev. standard LCV piogge 6 ore	0.007
media LCV piogge 12 ore	0.174	dev. standard LCV piogge 12 ore	0.009
media LCV piogge 24 ore	0.199	dev. standard LCV piogge 24 ore	0.01
media LCA piogge 1 ora	0.201	dev. standard LCA piogge 1 ora	0.034
media LCA piogge 3 ore	0.07	dev. standard LCA piogge 3 ore	0.032
media LCA piogge 6 ore	0.135	dev. standard LCA piogge 6 ore	0.028
media LCA piogge 12 ore	0.168	dev. standard LCA piogge 12 ore	0.02
media LCA piogge 24 ore	0.184	dev. standard LCA piogge 24 ore	0.032
media coeff. B1 regime pluviometrico	-5.3	media coeff. C1 regime pluviometrico	-2.3
media coeff. B2 regime pluviometrico	-4.8	media coeff. C2 regime pluviometrico	-25.7
dev. standard regime pluviometrico	21.3	coeff. variaz. regime pluviometrico	0.285
classe 1 corine land cover	0.64	classe 2 corine land cover	24.27
classe 3 corine land cover	32.45	classe 4 corine land cover	42.67
classe 5 corine land cover	0	media NDVI	0.273
dev. standard NDVI	0.094	media curve number 1	46.7
media curve number 2	65.4	media curve number 3	80.9
dev. standard curve number 1	11.9	dev. standard curve number 2	11.5
dev. standard curve number 3	9.2	media indice di permeabilità vapi	0.299
dev. standard indice di permeabilità vapi	0.065		



Rochemolles a Rochemolles

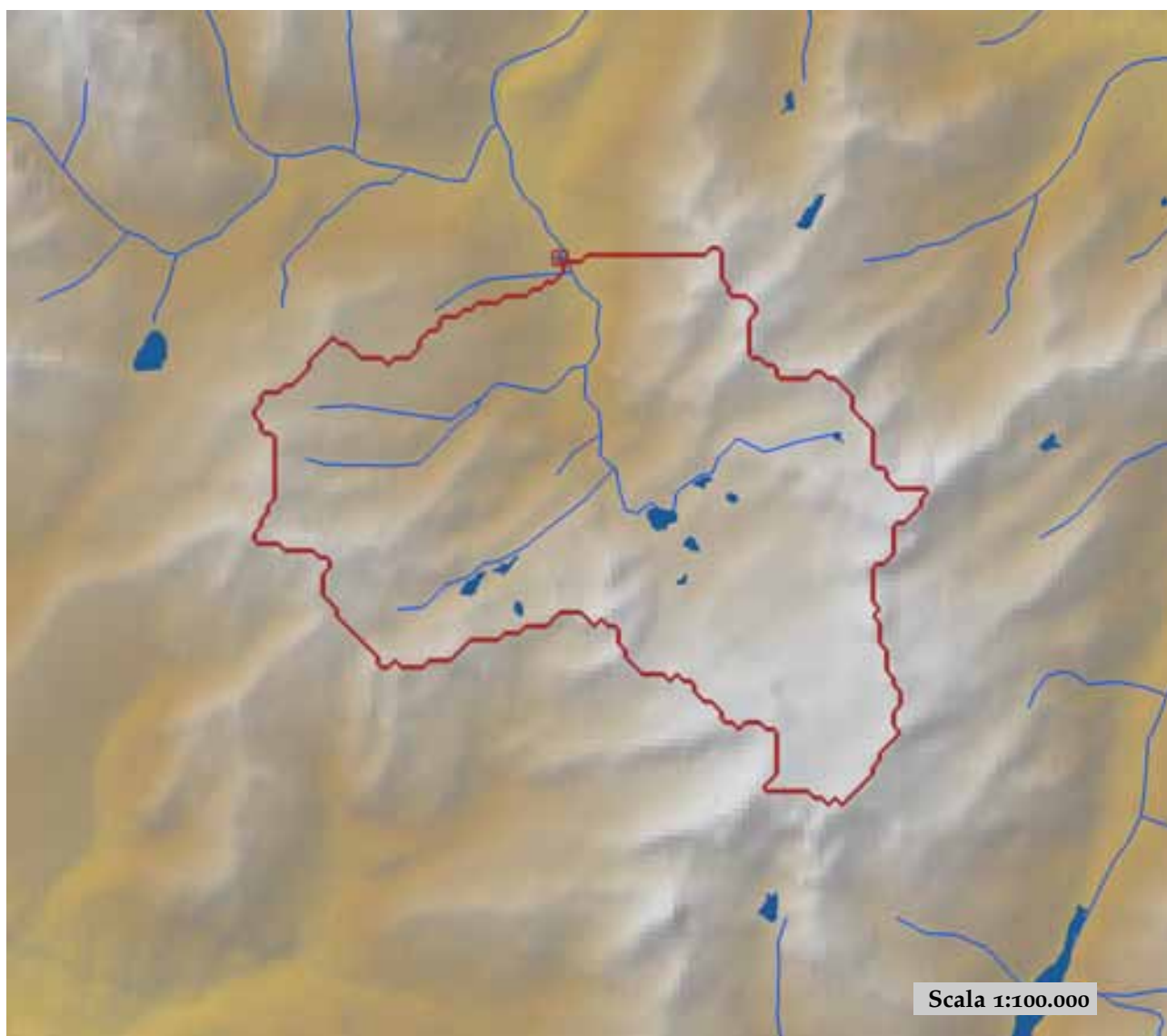


est (UTM _{32N} WGS84)	324207	nord (UTM _{32N} WGS84)	4999927
est DEM (UTM _{32N} WGS84)	324148	nord DEM (UTM _{32N} WGS84)	4999923
area bacino	24.07	quota media	2641

quota massima	3403	quota minima	1955
curva ipsografica 2,5%	3183	curva ipsografica 5%	3111
curva ipsografica 10%	3017	curva ipsografica 25%	2864
curva ipsografica 50%	2667	curva ipsografica 75%	2433
curva ipsografica 90%	2183	curva ipsografica 95%	2095
curva ipsografica 97,5%	2014	distanza interquartile curva ipsografica	431
angolo di esposizione medio	221	lunghezza vettore orientamento	2.8
pendenza bacino	25.964	pendenza bacino quadrato equivalente	29.066
est baricentro (UTM _{32N} WGS84)	326850	nord baricentro (UTM _{32N} WGS84)	5000450
fattore di forma	0.244	rapporto di allungamento	0.557
media funzione di ampiezza	4898	varianza funzione di ampiezza	6.49×10 ⁶
skewness funzione di ampiezza	0.2	kurtosis funzione di ampiezza	1.992
rapporto aree medie di due ordini adiacenti	-	rapporto di biforcazione	11.415
rapporto lunghezze medie di due ordini adiacenti	0.474	rapporto pendenze medie di due ordini adiacenti	-
densità di drenaggio	-	diametro topologico	10
lunghezza LDP	9.933	lunghezza asta principale	7.943
lunghezza totale reticolo idrografico	-	lunghezza media versanti	794
pendenza media LDP	11	media dell'afflusso totale annuo	874
deviazione standard dell'afflusso totale annuo	13	media coeff. pluviale orario CPP	12.445
dev. standard coeff. pluviale orario CPP	0.496	media esponente CPP	0.502
dev. standard esponente CPP	0.022	coeff. di intensità	0.014
media LCV piogge 1 ora	0.199	dev. standard LCV piogge 1 ora	0.006
media LCV piogge 3 ore	0.143	dev. standard LCV piogge 3 ore	0.003
media LCV piogge 6 ore	0.155	dev. standard LCV piogge 6 ore	0.005
media LCV piogge 12 ore	0.161	dev. standard LCV piogge 12 ore	0.004
media LCV piogge 24 ore	0.16	dev. standard LCV piogge 24 ore	0.003
media LCA piogge 1 ora	0.239	dev. standard LCA piogge 1 ora	0.025
media LCA piogge 3 ore	0.187	dev. standard LCA piogge 3 ore	0.014
media LCA piogge 6 ore	0.189	dev. standard LCA piogge 6 ore	0.009
media LCA piogge 12 ore	0.104	dev. standard LCA piogge 12 ore	0.014
media LCA piogge 24 ore	0.143	dev. standard LCA piogge 24 ore	0.013
media coeff. B1 regime pluviometrico	3.5	media coeff. C1 regime pluviometrico	-3.1
media coeff. B2 regime pluviometrico	-1.8	media coeff. C2 regime pluviometrico	-5.5
dev. standard regime pluviometrico	7.8	coeff. variaz. regime pluviometrico	0.112
classe 1 corine land cover	0	classe 2 corine land cover	6.99
classe 3 corine land cover	21.18	classe 4 corine land cover	71.99
classe 5 corine land cover	0	media NDVI	0.167
dev. standard NDVI	0.075	media curve number 1	58.3
media curve number 2	74.5	media curve number 3	85.6
dev. standard curve number 1	12.9	dev. standard curve number 2	14.6
dev. standard curve number 3	15.3	media indice di permeabilità vapi	0.265
dev. standard indice di permeabilità vapi	0.065		

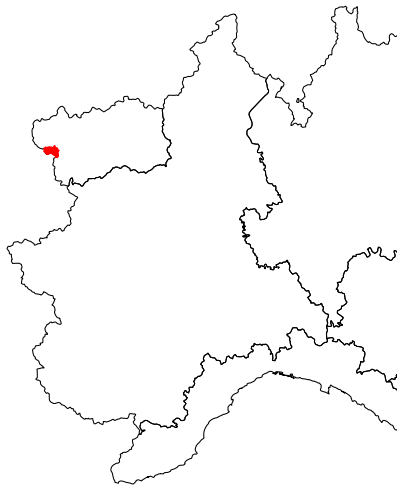


Rutor a Promise

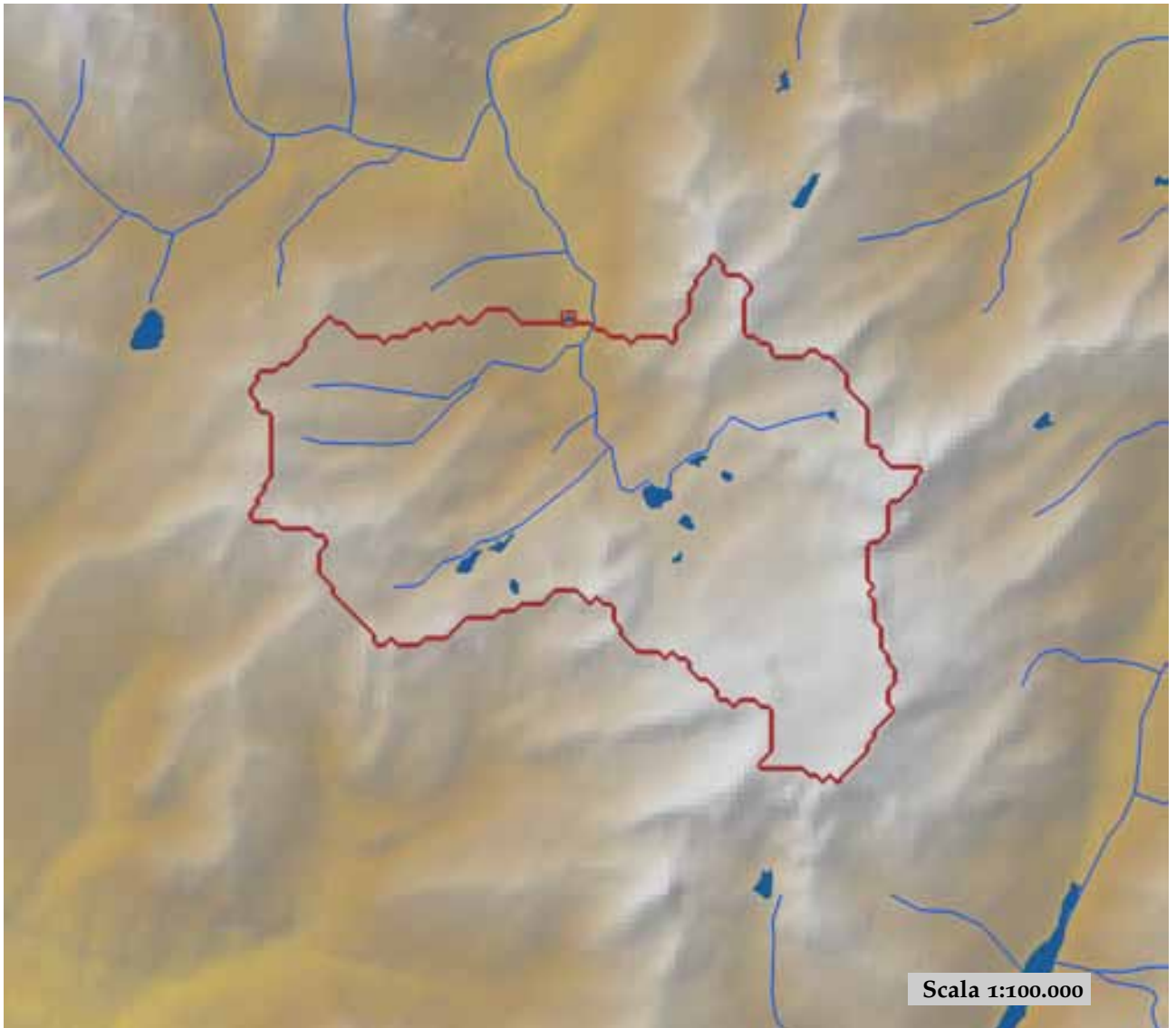


est (UTM _{32N} WGS84)	340966	nord (UTM _{32N} WGS84)	5063082
est DEM (UTM _{32N} WGS84)	341051	nord DEM (UTM _{32N} WGS84)	5062949
area bacino	45.76	quota media	2525

quota massima	3343	quota minima	1496
curva ipsografica 2,5%	3223	curva ipsografica 5%	3161
curva ipsografica 10%	2995	curva ipsografica 25%	2771
curva ipsografica 50%	2552	curva ipsografica 75%	2289
curva ipsografica 90%	2033	curva ipsografica 95%	1818
curva ipsografica 97,5%	1667	distanza interquartile curva ipsografica	482
angolo di esposizione medio	345	lunghezza vettore orientamento	3.6
pendenza bacino	19.965	pendenza bacino quadrato equivalente	31.251
est baricentro (UTM _{32N} WGS84)	341750	nord baricentro (UTM _{32N} WGS84)	5059450
fattore di forma	0.317	rapporto di allungamento	0.635
media funzione di ampiezza	6202	varianza funzione di ampiezza	6.49×10 ⁶
skewness funzione di ampiezza	-0.072	kurtosis funzione di ampiezza	2.551
rapporto aree medie di due ordini adiacenti	7.265	rapporto di biforcazione	5.5
rapporto lunghezze medie di due ordini adiacenti	2.596	rapporto pendenze medie di due ordini adiacenti	1.002
densità di drenaggio	0.669	diametro topologico	9
lunghezza LDP	12.015	lunghezza asta principale	10.65
lunghezza totale reticolo idrografico	30.6	lunghezza media versanti	708
pendenza media LDP	9	media dell'afflusso totale annuo	955
deviazione standard dell'afflusso totale annuo	67	media coeff. pluviale orario CPP	11.888
dev. standard coeff. pluviale orario CPP	0.837	media esponente CPP	0.506
dev. standard esponente CPP	0.015	coeff. di intensità	0.012
media LCV piogge 1 ora	0.212	dev. standard LCV piogge 1 ora	0.014
media LCV piogge 3 ore	0.177	dev. standard LCV piogge 3 ore	0.011
media LCV piogge 6 ore	0.181	dev. standard LCV piogge 6 ore	0.007
media LCV piogge 12 ore	0.199	dev. standard LCV piogge 12 ore	0.008
media LCV piogge 24 ore	0.225	dev. standard LCV piogge 24 ore	0.01
media LCA piogge 1 ora	0.163	dev. standard LCA piogge 1 ora	0.005
media LCA piogge 3 ore	0.182	dev. standard LCA piogge 3 ore	0.006
media LCA piogge 6 ore	0.208	dev. standard LCA piogge 6 ore	0.007
media LCA piogge 12 ore	0.239	dev. standard LCA piogge 12 ore	0.007
media LCA piogge 24 ore	0.254	dev. standard LCA piogge 24 ore	0.008
media coeff. B1 regime pluviometrico	6.4	media coeff. C1 regime pluviometrico	-5.6
media coeff. B2 regime pluviometrico	4.5	media coeff. C2 regime pluviometrico	1
dev. standard regime pluviometrico	9.6	coeff. variaz. regime pluviometrico	0.123
classe 1 corine land cover	0	classe 2 corine land cover	12.67
classe 3 corine land cover	15.51	classe 4 corine land cover	71.91
classe 5 corine land cover	0	media NDVI	0.156
dev. standard NDVI	0.126	media curve number 1	44.7
media curve number 2	59.1	media curve number 3	69.8
dev. standard curve number 1	21.7	dev. standard curve number 2	27.8
dev. standard curve number 3	32.3	media indice di permeabilità vapi	0.306
dev. standard indice di permeabilità vapi	0.207		

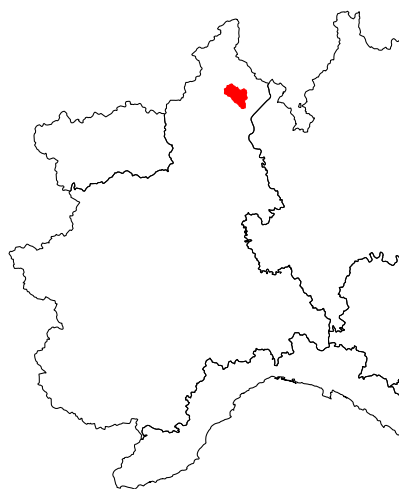


Rutor a La Joux

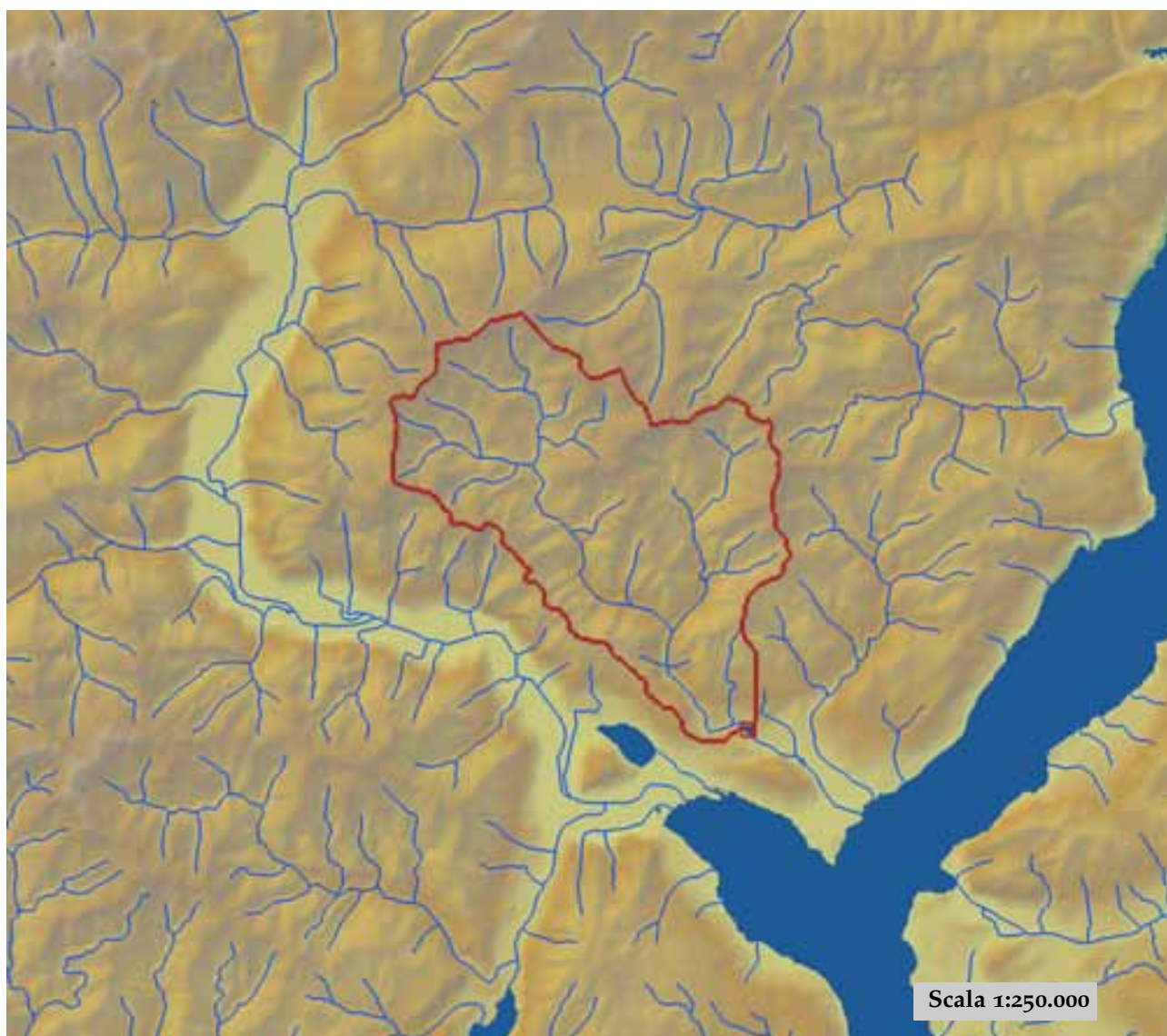


est (UTM32N WGS84)	341334	nord (UTM32N WGS84)	5061405
est DEM (UTM32N WGS84)	341242	nord DEM (UTM32N WGS84)	5061756
area bacino	41.71	quota media	2570

quota massima	3343	quota minima	1600
curva ipsografica 2,5%	3232	curva ipsografica 5%	3180
curva ipsografica 10%	3013	curva ipsografica 25%	2787
curva ipsografica 50%	2576	curva ipsografica 75%	2355
curva ipsografica 90%	2138	curva ipsografica 95%	1983
curva ipsografica 97,5%	1834	distanza interquartile curva ipsografica	432
angolo di esposizione medio	350	lunghezza vettore orientamento	2.7
pendenza bacino	19.095	pendenza bacino quadrato equivalente	30.256
est baricentro (UTM _{32N} WGS84)	341750	nord baricentro (UTM _{32N} WGS84)	5059150
fattore di forma	0.374	rapporto di allungamento	0.69
media funzione di ampiezza	5194	varianza funzione di ampiezza	4.89×10 ⁶
skewness funzione di ampiezza	0.162	kurtosis funzione di ampiezza	2.636
rapporto aree medie di due ordini adiacenti	7.265	rapporto di biforcazione	5.5
rapporto lunghezze medie di due ordini adiacenti	2.596	rapporto pendenze medie di due ordini adiacenti	1.002
densità di drenaggio	0.699	diametro topologico	9
lunghezza LDP	10.567	lunghezza asta principale	9.201
lunghezza totale reticolo idrografico	29.2	lunghezza media versanti	678
pendenza media LDP	10	media dell'afflusso totale annuo	961
deviazione standard dell'afflusso totale annuo	65	media coeff. pluviale orario CPP	11.857
dev. standard coeff. pluviale orario CPP	0.854	media esponente CPP	0.507
dev. standard esponente CPP	0.015	coeff. di intensità	0.012
media LCV piogge 1 ora	0.212	dev. standard LCV piogge 1 ora	0.014
media LCV piogge 3 ore	0.177	dev. standard LCV piogge 3 ore	0.011
media LCV piogge 6 ore	0.181	dev. standard LCV piogge 6 ore	0.008
media LCV piogge 12 ore	0.199	dev. standard LCV piogge 12 ore	0.008
media LCV piogge 24 ore	0.225	dev. standard LCV piogge 24 ore	0.01
media LCA piogge 1 ora	0.164	dev. standard LCA piogge 1 ora	0.005
media LCA piogge 3 ore	0.183	dev. standard LCA piogge 3 ore	0.006
media LCA piogge 6 ore	0.207	dev. standard LCA piogge 6 ore	0.007
media LCA piogge 12 ore	0.239	dev. standard LCA piogge 12 ore	0.007
media LCA piogge 24 ore	0.254	dev. standard LCA piogge 24 ore	0.007
media coeff. B1 regime pluviometrico	6.4	media coeff. C1 regime pluviometrico	-5.6
media coeff. B2 regime pluviometrico	4.5	media coeff. C2 regime pluviometrico	1.2
dev. standard regime pluviometrico	9.7	coeff. variaz. regime pluviometrico	0.123
classe 1 corine land cover	0	classe 2 corine land cover	9.34
classe 3 corine land cover	15.36	classe 4 corine land cover	75.4
classe 5 corine land cover	0	media NDVI	0.146
dev. standard NDVI	0.113	media curve number 1	44.6
media curve number 2	58.9	media curve number 3	69.4
dev. standard curve number 1	22.1	dev. standard curve number 2	28.3
dev. standard curve number 3	32.9	media indice di permeabilità vapi	0.298
dev. standard indice di permeabilità vapi	0.206		

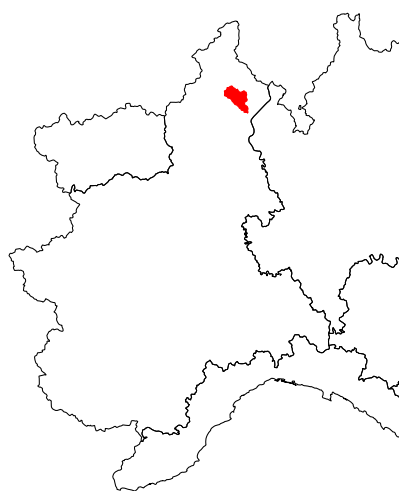


San Bernardino a San Bernardino Santino



est (UTM _{32N} WGS84)	463224	nord (UTM _{32N} WGS84)	5089336
est DEM (UTM _{32N} WGS84)	462832	nord DEM (UTM _{32N} WGS84)	5089696
area bacino	121.5	quota media	1259

quota massima	2277	quota minima	281
curva ipsografica 2,5%	2005	curva ipsografica 5%	1921
curva ipsografica 10%	1817	curva ipsografica 25%	1579
curva ipsografica 50%	1275	curva ipsografica 75%	953
curva ipsografica 90%	660	curva ipsografica 95%	523
curva ipsografica 97,5%	431	distanza interquartile curva ipsografica	626
angolo di esposizione medio	169	lunghezza vettore orientamento	9.6
pendenza bacino	28.942	pendenza bacino quadrato equivalente	18.054
est baricentro (UTM _{32N} WGS84)	457650	nord baricentro (UTM _{32N} WGS84)	5097750
fattore di forma	0.211	rapporto di allungamento	0.519
media funzione di ampiezza	14484	varianza funzione di ampiezza	3.33×10 ⁷
skewness funzione di ampiezza	-0.374	kurtosis funzione di ampiezza	2.338
rapporto aree medie di due ordini adiacenti	5.049	rapporto di biforcazione	3.937
rapporto lunghezze medie di due ordini adiacenti	2.926	rapporto pendenze medie di due ordini adiacenti	2.308
densità di drenaggio	0.564	diametro topologico	16
lunghezza LDP	23.984	lunghezza asta principale	22.718
lunghezza totale reticolo idrografico	68.6	lunghezza media versanti	672
pendenza media LDP	12	media dell'afflusso totale annuo	2183
deviazione standard dell'afflusso totale annuo	162	media coeff. pluviale orario CPP	34.195
dev. standard coeff. pluviale orario CPP	6.39	media esponente CPP	0.492
dev. standard esponente CPP	0.04	coeff. di intensità	0.016
media LCV piogge 1 ora	0.204	dev. standard LCV piogge 1 ora	0.014
media LCV piogge 3 ore	0.198	dev. standard LCV piogge 3 ore	0.01
media LCV piogge 6 ore	0.179	dev. standard LCV piogge 6 ore	0.013
media LCV piogge 12 ore	0.183	dev. standard LCV piogge 12 ore	0.006
media LCV piogge 24 ore	0.191	dev. standard LCV piogge 24 ore	0.009
media LCA piogge 1 ora	0.162	dev. standard LCA piogge 1 ora	0.036
media LCA piogge 3 ore	0.218	dev. standard LCA piogge 3 ore	0.022
media LCA piogge 6 ore	0.18	dev. standard LCA piogge 6 ore	0.026
media LCA piogge 12 ore	0.142	dev. standard LCA piogge 12 ore	0.016
media LCA piogge 24 ore	0.141	dev. standard LCA piogge 24 ore	0.015
media coeff. B1 regime pluviometrico	-56.2	media coeff. C1 regime pluviometrico	-57.6
media coeff. B2 regime pluviometrico	-12.1	media coeff. C2 regime pluviometrico	-84.9
dev. standard regime pluviometrico	89	coeff. variaz. regime pluviometrico	0.42
classe 1 corine land cover	0.38	classe 2 corine land cover	80.63
classe 3 corine land cover	16.43	classe 4 corine land cover	2.6
classe 5 corine land cover	0	media NDVI	0.508
dev. standard NDVI	0.074	media curve number 1	31.6
media curve number 2	50.3	media curve number 3	68.8
dev. standard curve number 1	11.4	dev. standard curve number 2	13
dev. standard curve number 3	11.9	media indice di permeabilità vapi	0.596
dev. standard indice di permeabilità vapi	0.105		

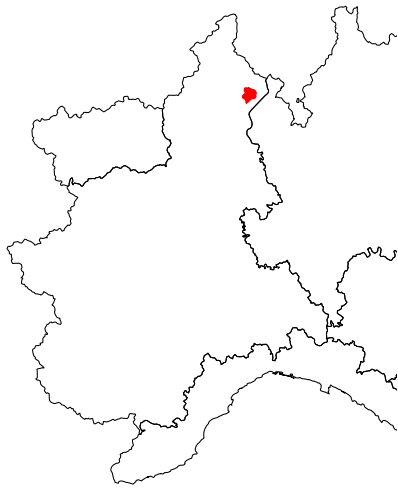


San Bernardino a Trobaso



est (UTM ₃₂ N WGS84)	464983	nord (UTM ₃₂ N WGS84)	5088294
est DEM (UTM ₃₂ N WGS84)	464747	nord DEM (UTM ₃₂ N WGS84)	5088550
area bacino	129.24	quota media	1211

quota massima	2277	quota minima	224
curva ipsografica 2,5%	1999	curva ipsografica 5%	1913
curva ipsografica 10%	1804	curva ipsografica 25%	1560
curva ipsografica 50%	1240	curva ipsografica 75%	880
curva ipsografica 90%	551	curva ipsografica 95%	406
curva ipsografica 97,5%	328	distanza interquartile curva ipsografica	680
angolo di esposizione medio	166	lunghezza vettore orientamento	11.1
pendenza bacino	28.108	pendenza bacino quadrato equivalente	17.892
est baricentro (UTM _{32N} WGS84)	458050	nord baricentro (UTM _{32N} WGS84)	5097350
fattore di forma	0.185	rapporto di allungamento	0.486
media funzione di ampiezza	16028	varianza funzione di ampiezza	4.32×10 ⁷
skewness funzione di ampiezza	-0.493	kurtosis funzione di ampiezza	2.402
rapporto aree medie di due ordini adiacenti	5.118	rapporto di biforcazione	4.062
rapporto lunghezze medie di due ordini adiacenti	2.983	rapporto pendenze medie di due ordini adiacenti	2.273
densità di drenaggio	0.565	diametro topologico	17
lunghezza LDP	26.398	lunghezza asta principale	25.132
lunghezza totale reticolo idrografico	73	lunghezza media versanti	680
pendenza media LDP	12	media dell'afflusso totale annuo	2177
deviazione standard dell'afflusso totale annuo	162	media coeff. pluviale orario CPP	34.607
dev. standard coeff. pluviale orario CPP	6.387	media esponente CPP	0.487
dev. standard esponente CPP	0.042	coeff. di intensità	0.016
media LCV piogge 1 ora	0.203	dev. standard LCV piogge 1 ora	0.014
media LCV piogge 3 ore	0.198	dev. standard LCV piogge 3 ore	0.01
media LCV piogge 6 ore	0.18	dev. standard LCV piogge 6 ore	0.014
media LCV piogge 12 ore	0.183	dev. standard LCV piogge 12 ore	0.006
media LCV piogge 24 ore	0.19	dev. standard LCV piogge 24 ore	0.01
media LCA piogge 1 ora	0.166	dev. standard LCA piogge 1 ora	0.039
media LCA piogge 3 ore	0.222	dev. standard LCA piogge 3 ore	0.026
media LCA piogge 6 ore	0.185	dev. standard LCA piogge 6 ore	0.032
media LCA piogge 12 ore	0.146	dev. standard LCA piogge 12 ore	0.024
media LCA piogge 24 ore	0.144	dev. standard LCA piogge 24 ore	0.021
media coeff. B1 regime pluviometrico	-55.2	media coeff. C1 regime pluviometrico	-55.9
media coeff. B2 regime pluviometrico	-12.8	media coeff. C2 regime pluviometrico	-82.5
dev. standard regime pluviometrico	87.1	coeff. variaz. regime pluviometrico	0.416
classe 1 corine land cover	1.42	classe 2 corine land cover	80.37
classe 3 corine land cover	15.79	classe 4 corine land cover	2.46
classe 5 corine land cover	0	media NDVI	0.509
dev. standard NDVI	0.075	media curve number 1	32.4
media curve number 2	51.1	media curve number 3	69.5
dev. standard curve number 1	11.6	dev. standard curve number 2	13.2
dev. standard curve number 3	12	media indice di permeabilità vapi	0.586
dev. standard indice di permeabilità vapi	0.123		

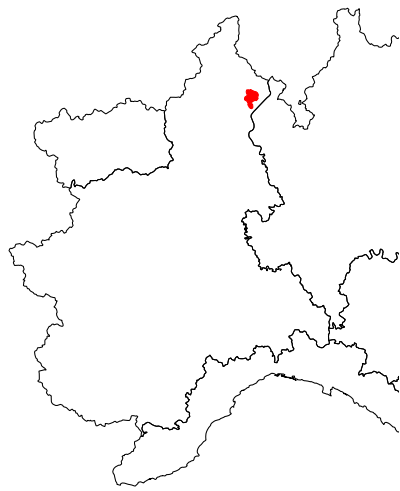


San Giovanni a Possaccio



est (UTM _{32N} WGS84)	465266	nord (UTM _{32N} WGS84)	5089297
est DEM (UTM _{32N} WGS84)	465142	nord DEM (UTM _{32N} WGS84)	5089546
area bacino	53,6	quota media	1002

quota massima	2131	quota minima	275
curva ipsografica 2,5%	1767	curva ipsografica 5%	1603
curva ipsografica 10%	1446	curva ipsografica 25%	1218
curva ipsografica 50%	988	curva ipsografica 75%	757
curva ipsografica 90%	557	curva ipsografica 95%	460
curva ipsografica 97,5%	381	distanza interquartile curva ipsografica	461
angolo di esposizione medio	169	lunghezza vettore orientamento	5,8
pendenza bacino	24.571	pendenza bacino quadrato equivalente	19.505
est baricentro (UTM _{32N} WGS84)	466850	nord baricentro (UTM _{32N} WGS84)	5095050
fattore di forma	0.29	rapporto di allungamento	0.608
media funzione di ampiezza	8081	varianza funzione di ampiezza	9.30×10 ⁶
skewness funzione di ampiezza	-0.294	kurtosis funzione di ampiezza	2.229
rapporto aree medie di due ordini adiacenti	2.335	rapporto di biforcazione	2.75
rapporto lunghezze medie di due ordini adiacenti	1.258	rapporto pendenze medie di due ordini adiacenti	1.61
densità di drenaggio	0.604	diametro topologico	7
lunghezza LDP	13.595	lunghezza asta principale	12.03
lunghezza totale reticolo idrografico	32.4	lunghezza media versanti	608
pendenza media LDP	13	media dell'afflusso totale annuo	2202
deviazione standard dell'afflusso totale annuo	118	media coeff. pluviale orario CPP	37.663
dev. standard coeff. pluviale orario CPP	1.667	media esponente CPP	0.439
dev. standard esponente CPP	0.017	coeff. di intensità	0.017
media LCV piogge 1 ora	0.19	dev. standard LCV piogge 1 ora	0.014
media LCV piogge 3 ore	0.193	dev. standard LCV piogge 3 ore	0.009
media LCV piogge 6 ore	0.194	dev. standard LCV piogge 6 ore	0.003
media LCV piogge 12 ore	0.187	dev. standard LCV piogge 12 ore	0.003
media LCV piogge 24 ore	0.185	dev. standard LCV piogge 24 ore	0.01
media LCA piogge 1 ora	0.18	dev. standard LCA piogge 1 ora	0.029
media LCA piogge 3 ore	0.238	dev. standard LCA piogge 3 ore	0.022
media LCA piogge 6 ore	0.264	dev. standard LCA piogge 6 ore	0.021
media LCA piogge 12 ore	0.194	dev. standard LCA piogge 12 ore	0.031
media LCA piogge 24 ore	0.153	dev. standard LCA piogge 24 ore	0.01
media coeff. B1 regime pluviometrico	-57.4	media coeff. C1 regime pluviometrico	-52.5
media coeff. B2 regime pluviometrico	1.2	media coeff. C2 regime pluviometrico	-64.6
dev. standard regime pluviometrico	80	coeff. variaz. regime pluviometrico	0.418
classe 1 corine land cover	0.67	classe 2 corine land cover	79.39
classe 3 corine land cover	20.01	classe 4 corine land cover	0
classe 5 corine land cover	0	media NDVI	0.564
dev. standard NDVI	0.058	media curve number 1	36.9
media curve number 2	56.2	media curve number 3	74.2
dev. standard curve number 1	10.2	dev. standard curve number 2	10.9
dev. standard curve number 3	9.2	media indice di permeabilità vapi	0.596
dev. standard indice di permeabilità vapi	0.014		

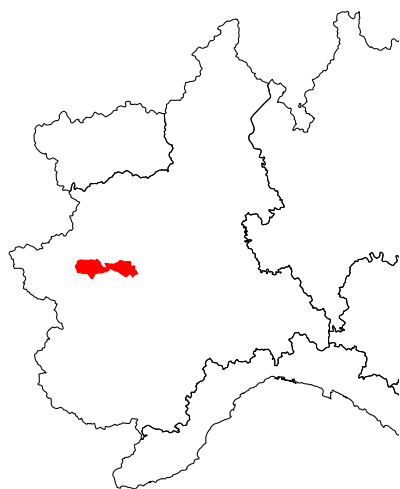


San Giovanni a Verbania

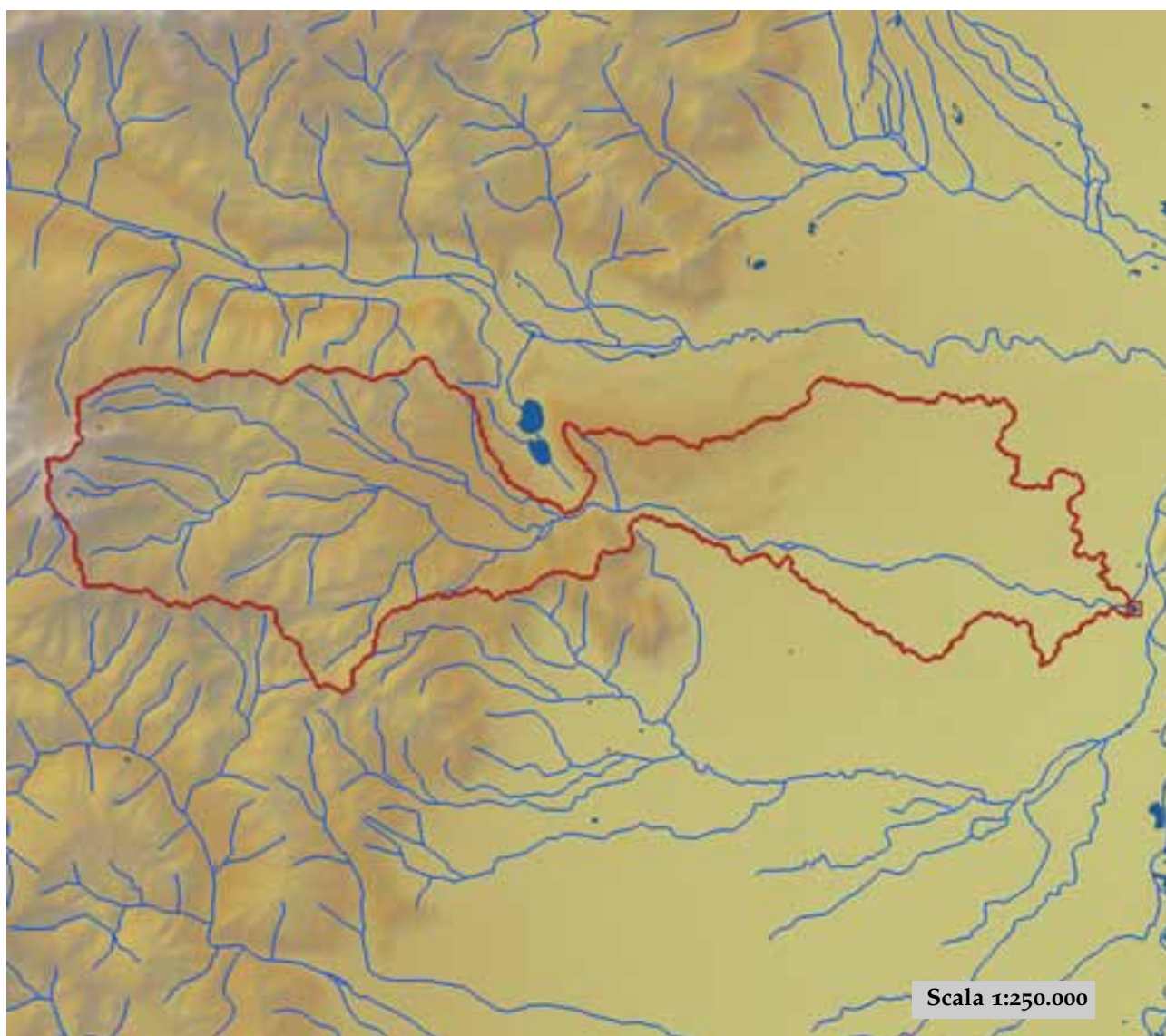


est (UTM ₃₂ N WGS84)	467272	nord (UTM ₃₂ N WGS84)	5087416
est DEM (UTM ₃₂ N WGS84)	467252	nord DEM (UTM ₃₂ N WGS84)	5087457
area bacino	60.41	quota media	933

quota massima	2131	quota minima	201
curva ipsografica 2,5%	1748	curva ipsografica 5%	1578
curva ipsografica 10%	1420	curva ipsografica 25%	1182
curva ipsografica 50%	933	curva ipsografica 75%	650
curva ipsografica 90%	417	curva ipsografica 95%	307
curva ipsografica 97,5%	251	distanza interquartile curva ipsografica	532
angolo di esposizione medio	175	lunghezza vettore orientamento	6.9
pendenza bacino	22.952	pendenza bacino quadrato equivalente	18.862
est baricentro (UTM _{32N} WGS84)	466850	nord baricentro (UTM _{32N} WGS84)	5094350
fattore di forma	0.211	rapporto di allungamento	0.518
media funzione di ampiezza	10386	varianza funzione di ampiezza	1.65×10 ⁷
skewness funzione di ampiezza	-0.637	kurtosis funzione di ampiezza	2.615
rapporto aree medie di due ordini adiacenti	2.461	rapporto di biforcazione	3.25
rapporto lunghezze medie di due ordini adiacenti	1.113	rapporto pendenze medie di due ordini adiacenti	1.592
densità di drenaggio	0.605	diametro topologico	9
lunghezza LDP	16.917	lunghezza asta principale	15.351
lunghezza totale reticolo idrografico	36.5	lunghezza media versanti	637
pendenza media LDP	11	media dell'afflusso totale annuo	2166
deviazione standard dell'afflusso totale annuo	140	media coeff. pluviale orario CPP	37.88
dev. standard coeff. pluviale orario CPP	1.688	media esponente CPP	0.435
dev. standard esponente CPP	0.018	coeff. di intensità	0.017
media LCV piogge 1 ora	0.187	dev. standard LCV piogge 1 ora	0.014
media LCV piogge 3 ore	0.191	dev. standard LCV piogge 3 ore	0.01
media LCV piogge 6 ore	0.194	dev. standard LCV piogge 6 ore	0.003
media LCV piogge 12 ore	0.186	dev. standard LCV piogge 12 ore	0.004
media LCV piogge 24 ore	0.183	dev. standard LCV piogge 24 ore	0.011
media LCA piogge 1 ora	0.189	dev. standard LCA piogge 1 ora	0.034
media LCA piogge 3 ore	0.243	dev. standard LCA piogge 3 ore	0.023
media LCA piogge 6 ore	0.267	dev. standard LCA piogge 6 ore	0.021
media LCA piogge 12 ore	0.199	dev. standard LCA piogge 12 ore	0.031
media LCA piogge 24 ore	0.157	dev. standard LCA piogge 24 ore	0.017
media coeff. B1 regime pluviometrico	-56.6	media coeff. C1 regime pluviometrico	-49.8
media coeff. B2 regime pluviometrico	-0.7	media coeff. C2 regime pluviometrico	-63.1
dev. standard regime pluviometrico	77.4	coeff. variaz. regime pluviometrico	0.412
classe 1 corine land cover	5.76	classe 2 corine land cover	75.72
classe 3 corine land cover	18.59	classe 4 corine land cover	0
classe 5 corine land cover	0	media NDVI	0.557
dev. standard NDVI	0.061	media curve number 1	37.8
media curve number 2	57.2	media curve number 3	74.9
dev. standard curve number 1	10.3	dev. standard curve number 2	10.9
dev. standard curve number 3	9.1	media indice di permeabilità vapi	0.548
dev. standard indice di permeabilità vapi	0.135		



Sangone a Moncalieri

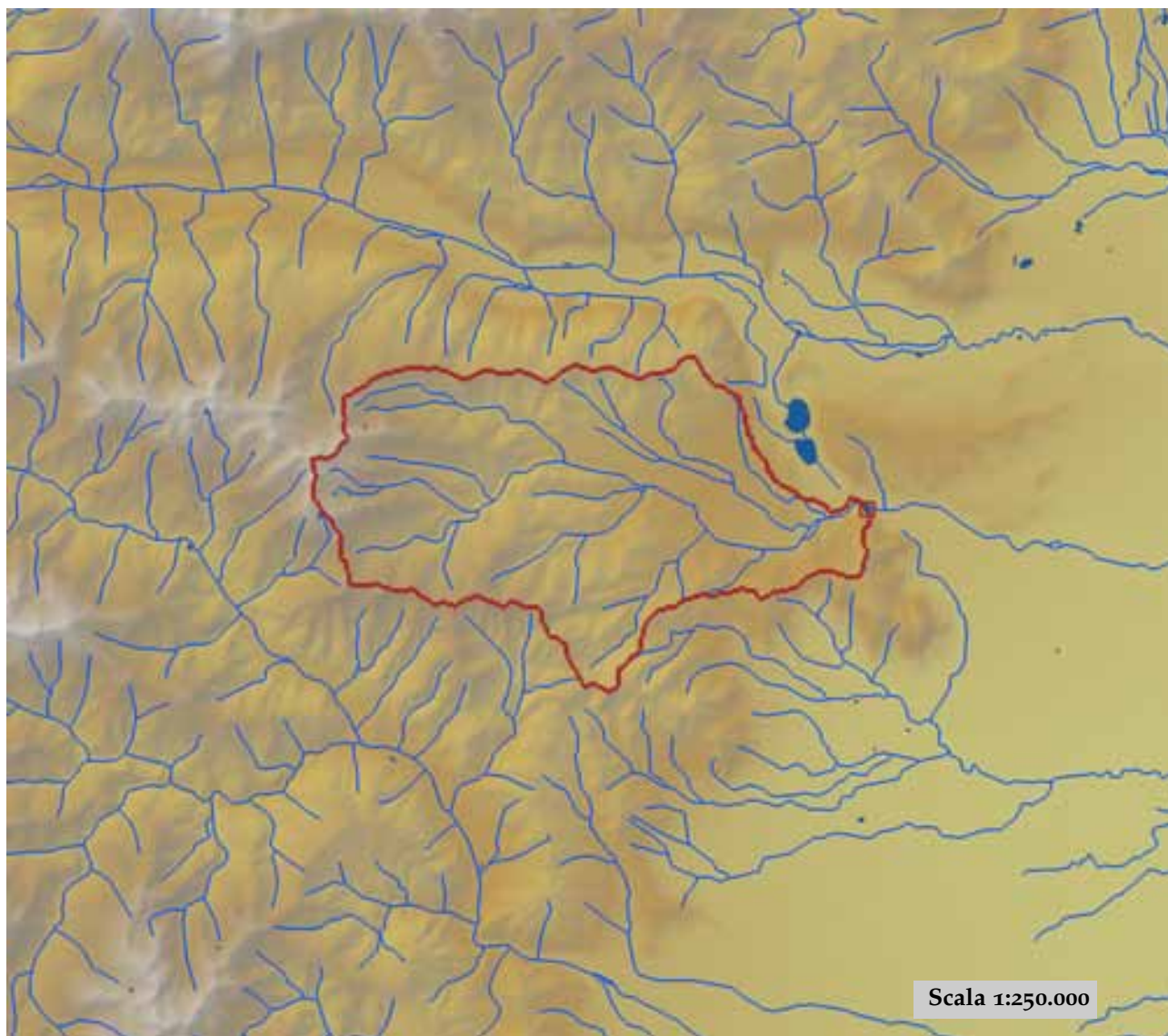


est (UTM _{32N} WGS84)	395076	nord (UTM _{32N} WGS84)	4984680
est DEM (UTM _{32N} WGS84)	394965	nord DEM (UTM _{32N} WGS84)	4984549
area bacino	257.97	quota media	770

quota massima	2697	quota minima	220
curva ipsografica 2,5%	2156	curva ipsografica 5%	1956
curva ipsografica 10%	1659	curva ipsografica 25%	1108
curva ipsografica 50%	533	curva ipsografica 75%	297
curva ipsografica 90%	259	curva ipsografica 95%	249
curva ipsografica 97,5%	240	distanza interquartile curva ipsografica	811
angolo di esposizione medio	112	lunghezza vettore orientamento	21.6
pendenza bacino	10.966	pendenza bacino quadrato equivalente	3.91
est baricentro (UTM _{32N} WGS84)	373750	nord baricentro (UTM _{32N} WGS84)	4988350
fattore di forma	0.105	rapporto di allungamento	0.366
media funzione di ampiezza	28146	varianza funzione di ampiezza	1.93×10 ⁸
skewness funzione di ampiezza	-0.169	kurtosis funzione di ampiezza	1.661
rapporto aree medie di due ordini adiacenti	6.568	rapporto di biforcazione	5.292
rapporto lunghezze medie di due ordini adiacenti	3.162	rapporto pendenze medie di due ordini adiacenti	2.846
densità di drenaggio	0.786	diametro topologico	33
lunghezza LDP	49.574	lunghezza asta principale	48.126
lunghezza totale reticolo idrografico	202.8	lunghezza media versanti	670
pendenza media LDP	4	media dell'afflusso totale annuo	1052
deviazione standard dell'afflusso totale annuo	140	media coeff. pluviale orario CPP	25.147
dev. standard coeff. pluviale orario CPP	2.155	media esponente CPP	0.391
dev. standard esponente CPP	0.087	coeff. di intensità	0.024
media LCV piogge 1 ora	0.171	dev. standard LCV piogge 1 ora	0.019
media LCV piogge 3 ore	0.169	dev. standard LCV piogge 3 ore	0.021
media LCV piogge 6 ore	0.169	dev. standard LCV piogge 6 ore	0.019
media LCV piogge 12 ore	0.183	dev. standard LCV piogge 12 ore	0.031
media LCV piogge 24 ore	0.203	dev. standard LCV piogge 24 ore	0.041
media LCA piogge 1 ora	0.168	dev. standard LCA piogge 1 ora	0.038
media LCA piogge 3 ore	0.189	dev. standard LCA piogge 3 ore	0.021
media LCA piogge 6 ore	0.177	dev. standard LCA piogge 6 ore	0.025
media LCA piogge 12 ore	0.177	dev. standard LCA piogge 12 ore	0.035
media LCA piogge 24 ore	0.216	dev. standard LCA piogge 24 ore	0.03
media coeff. B1 regime pluviometrico	-28.3	media coeff. C1 regime pluviometrico	-8.8
media coeff. B2 regime pluviometrico	-1.7	media coeff. C2 regime pluviometrico	-42.5
dev. standard regime pluviometrico	39.9	coeff. variaz. regime pluviometrico	0.436
classe 1 corine land cover	18.62	classe 2 corine land cover	40.16
classe 3 corine land cover	38.92	classe 4 corine land cover	2.32
classe 5 corine land cover	0	media NDVI	0.476
dev. standard NDVI	0.115	media curve number 1	47.9
media curve number 2	67.2	media curve number 3	82.6
dev. standard curve number 1	7.5	dev. standard curve number 2	6.9
dev. standard curve number 3	5.2	media indice di permeabilità vapi	0.425
dev. standard indice di permeabilità vapi	0.076		



Sangone a Trana

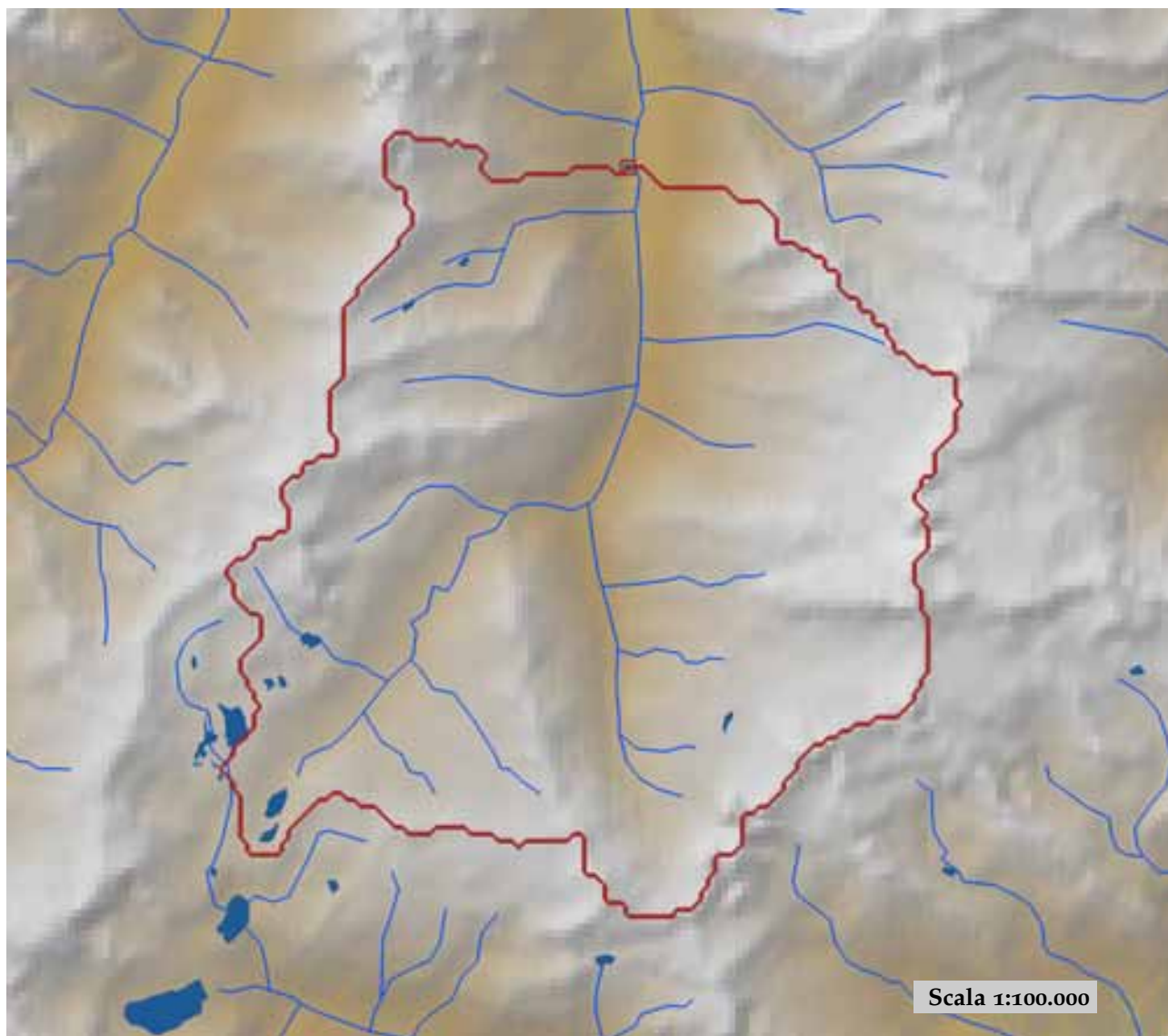


est (UTM ₃₂ N WGS84)	375550	nord (UTM ₃₂ N WGS84)	4988107
est DEM (UTM ₃₂ N WGS84)	375550	nord DEM (UTM ₃₂ N WGS84)	4988145
area bacino	145.04	quota media	1125

quota massima	2697	quota minima	372
curva ipsografica 2,5%	2279	curva ipsografica 5%	2121
curva ipsografica 10%	1916	curva ipsografica 25%	1477
curva ipsografica 50%	1021	curva ipsografica 75%	689
curva ipsografica 90%	507	curva ipsografica 95%	462
curva ipsografica 97,5%	434	distanza interquartile curva ipsografica	788
angolo di esposizione medio	93	lunghezza vettore orientamento	10.8
pendenza bacino	17.768	pendenza bacino quadrato equivalente	10.794
est baricentro (UTM _{32N} WGS84)	364750	nord baricentro (UTM _{32N} WGS84)	4988550
fattore di forma	0.234	rapporto di allungamento	0.546
media funzione di ampiezza	14501	varianza funzione di ampiezza	3.80×10 ⁷
skewness funzione di ampiezza	-0.15	kurtosis funzione di ampiezza	2.058
rapporto aree medie di due ordini adiacenti	6.713	rapporto di biforcazione	5
rapporto lunghezze medie di due ordini adiacenti	3.62	rapporto pendenze medie di due ordini adiacenti	2.412
densità di drenaggio	0.68	diametro topologico	18
lunghezza LDP	24.901	lunghezza asta principale	23.452
lunghezza totale reticolo idrografico	98.6	lunghezza media versanti	696
pendenza media LDP	8	media dell'afflusso totale annuo	1159
deviazione standard dell'afflusso totale annuo	76	media coeff. pluviale orario CPP	24.308
dev. standard coeff. pluviale orario CPP	2.532	media esponente CPP	0.459
dev. standard esponente CPP	0.049	coeff. di intensità	0.021
media LCV piogge 1 ora	0.178	dev. standard LCV piogge 1 ora	0.018
media LCV piogge 3 ore	0.18	dev. standard LCV piogge 3 ore	0.019
media LCV piogge 6 ore	0.182	dev. standard LCV piogge 6 ore	0.015
media LCV piogge 12 ore	0.206	dev. standard LCV piogge 12 ore	0.021
media LCV piogge 24 ore	0.233	dev. standard LCV piogge 24 ore	0.027
media LCA piogge 1 ora	0.15	dev. standard LCA piogge 1 ora	0.017
media LCA piogge 3 ore	0.194	dev. standard LCA piogge 3 ore	0.024
media LCA piogge 6 ore	0.164	dev. standard LCA piogge 6 ore	0.026
media LCA piogge 12 ore	0.164	dev. standard LCA piogge 12 ore	0.036
media LCA piogge 24 ore	0.234	dev. standard LCA piogge 24 ore	0.028
media coeff. B1 regime pluviometrico	-33.4	media coeff. C1 regime pluviometrico	-10.2
media coeff. B2 regime pluviometrico	-5.7	media coeff. C2 regime pluviometrico	-47.6
dev. standard regime pluviometrico	45.4	coeff. variaz. regime pluviometrico	0.462
classe 1 corine land cover	4.21	classe 2 corine land cover	60.96
classe 3 corine land cover	30.76	classe 4 corine land cover	4.11
classe 5 corine land cover	0	media NDVI	0.498
dev. standard NDVI	0.122	media curve number 1	47.9
media curve number 2	67.3	media curve number 3	82.8
dev. standard curve number 1	5.7	dev. standard curve number 2	5
dev. standard curve number 3	3.4	media indice di permeabilità vapi	0.44
dev. standard indice di permeabilità vapi	0.044		

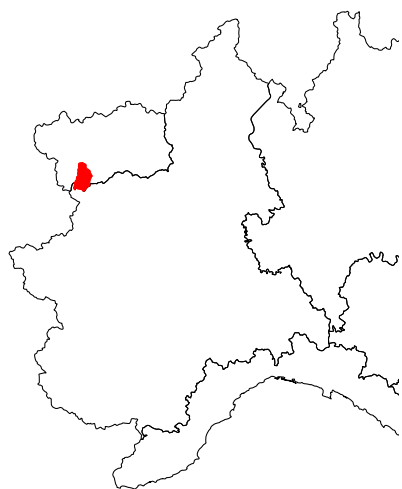


Savara a Eau Rousse

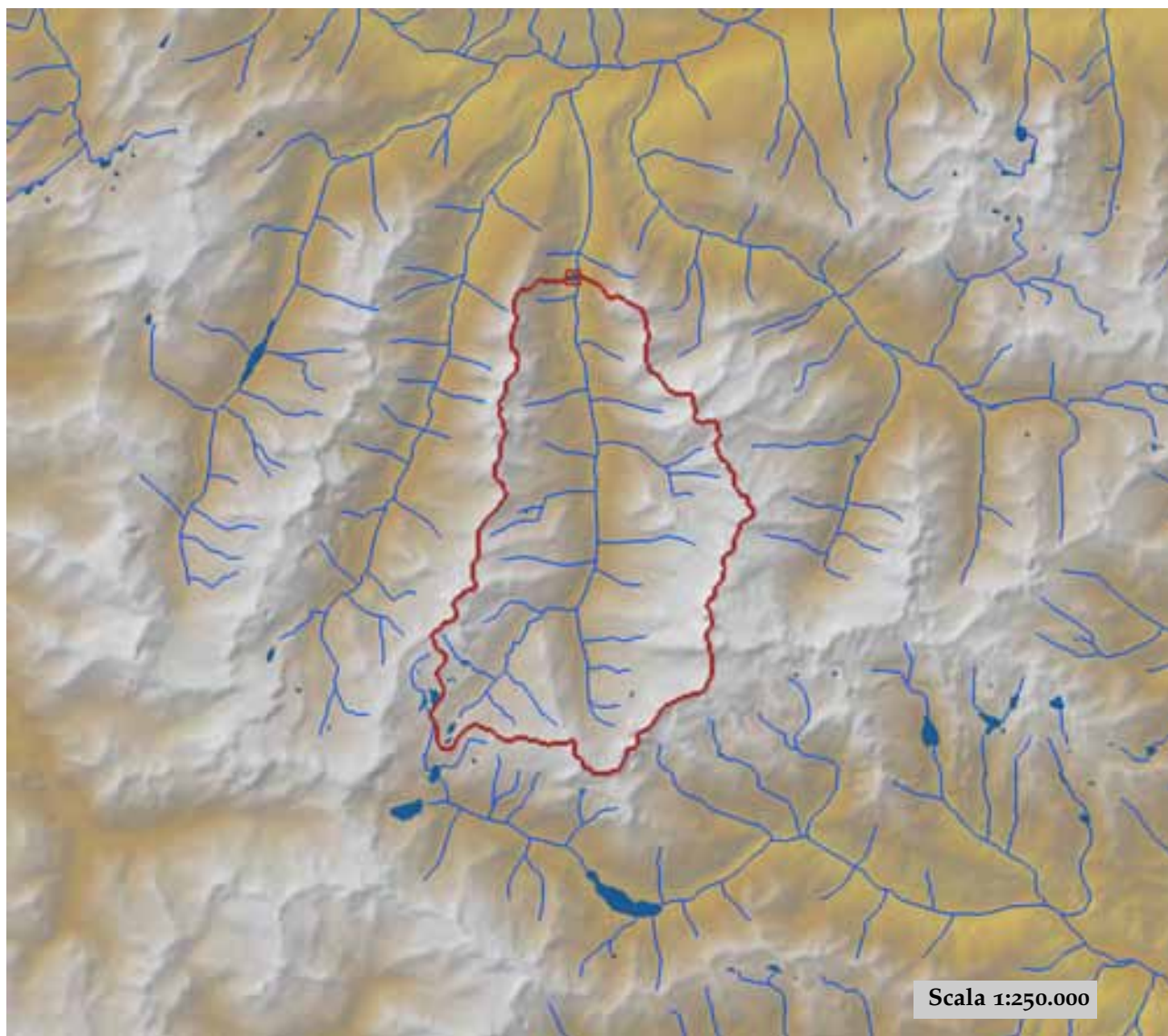


est (UTM ₃₂ N WGS84)	360294	nord (UTM ₃₂ N WGS84)	5047742
est DEM (UTM ₃₂ N WGS84)	360242	nord DEM (UTM ₃₂ N WGS84)	5047894
area bacino	82.39	quota media	2682

quota massima	3915	quota minima	1643
curva ipsografica 2,5%	3374	curva ipsografica 5%	3280
curva ipsografica 10%	3149	curva ipsografica 25%	2928
curva ipsografica 50%	2702	curva ipsografica 75%	2462
curva ipsografica 90%	2155	curva ipsografica 95%	1984
curva ipsografica 97,5%	1881	distanza interquartile curva ipsografica	466
angolo di esposizione medio	312	lunghezza vettore orientamento	5.3
pendenza bacino	23.775	pendenza bacino quadrato equivalente	23.356
est baricentro (UTM _{32N} WGS84)	359650	nord baricentro (UTM _{32N} WGS84)	5042650
fattore di forma	0.576	rapporto di allungamento	0.856
media funzione di ampiezza	7729	varianza funzione di ampiezza	1.03×10 ⁷
skewness funzione di ampiezza	-0.258	kurtosis funzione di ampiezza	2.077
rapporto aree medie di due ordini adiacenti	3.678	rapporto di biforcazione	3.6
rapporto lunghezze medie di due ordini adiacenti	1.12	rapporto pendenze medie di due ordini adiacenti	1.035
densità di drenaggio	0.591	diametro topologico	10
lunghezza LDP	11.96	lunghezza asta principale	10.677
lunghezza totale reticolo idrografico	48.7	lunghezza media versanti	841
pendenza media LDP	12	media dell'afflusso totale annuo	1043
deviazione standard dell'afflusso totale annuo	71	media coeff. pluviale orario CPP	15.019
dev. standard coeff. pluviale orario CPP	0.629	media esponente CPP	0.56
dev. standard esponente CPP	0.012	coeff. di intensità	0.014
media LCV piogge 1 ora	0.183	dev. standard LCV piogge 1 ora	0.009
media LCV piogge 3 ore	0.168	dev. standard LCV piogge 3 ore	0.006
media LCV piogge 6 ore	0.172	dev. standard LCV piogge 6 ore	0.004
media LCV piogge 12 ore	0.174	dev. standard LCV piogge 12 ore	0.005
media LCV piogge 24 ore	0.192	dev. standard LCV piogge 24 ore	0.006
media LCA piogge 1 ora	0.241	dev. standard LCA piogge 1 ora	0.016
media LCA piogge 3 ore	0.216	dev. standard LCA piogge 3 ore	0.01
media LCA piogge 6 ore	0.222	dev. standard LCA piogge 6 ore	0.011
media LCA piogge 12 ore	0.294	dev. standard LCA piogge 12 ore	0.022
media LCA piogge 24 ore	0.247	dev. standard LCA piogge 24 ore	0.026
media coeff. B1 regime pluviometrico	-10.4	media coeff. C1 regime pluviometrico	-2.5
media coeff. B2 regime pluviometrico	-4.4	media coeff. C2 regime pluviometrico	-23.3
dev. standard regime pluviometrico	21	coeff. variaz. regime pluviometrico	0.245
classe 1 corine land cover	0	classe 2 corine land cover	11.82
classe 3 corine land cover	9.56	classe 4 corine land cover	78.68
classe 5 corine land cover	0	media NDVI	0.122
dev. standard NDVI	0.074	media curve number 1	45.5
media curve number 2	61.7	media curve number 3	74.7
dev. standard curve number 1	20.3	dev. standard curve number 2	23
dev. standard curve number 3	23.9	media indice di permeabilità vapi	0.368
dev. standard indice di permeabilità vapi	0.23		

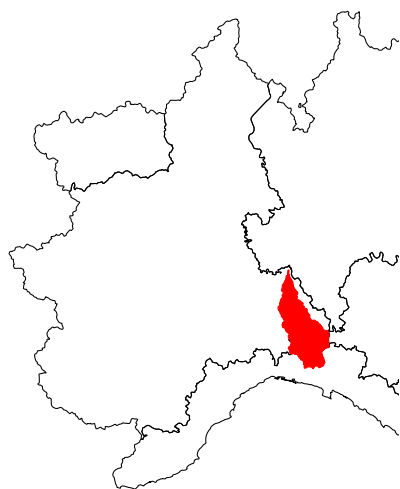


Savara a Fenille

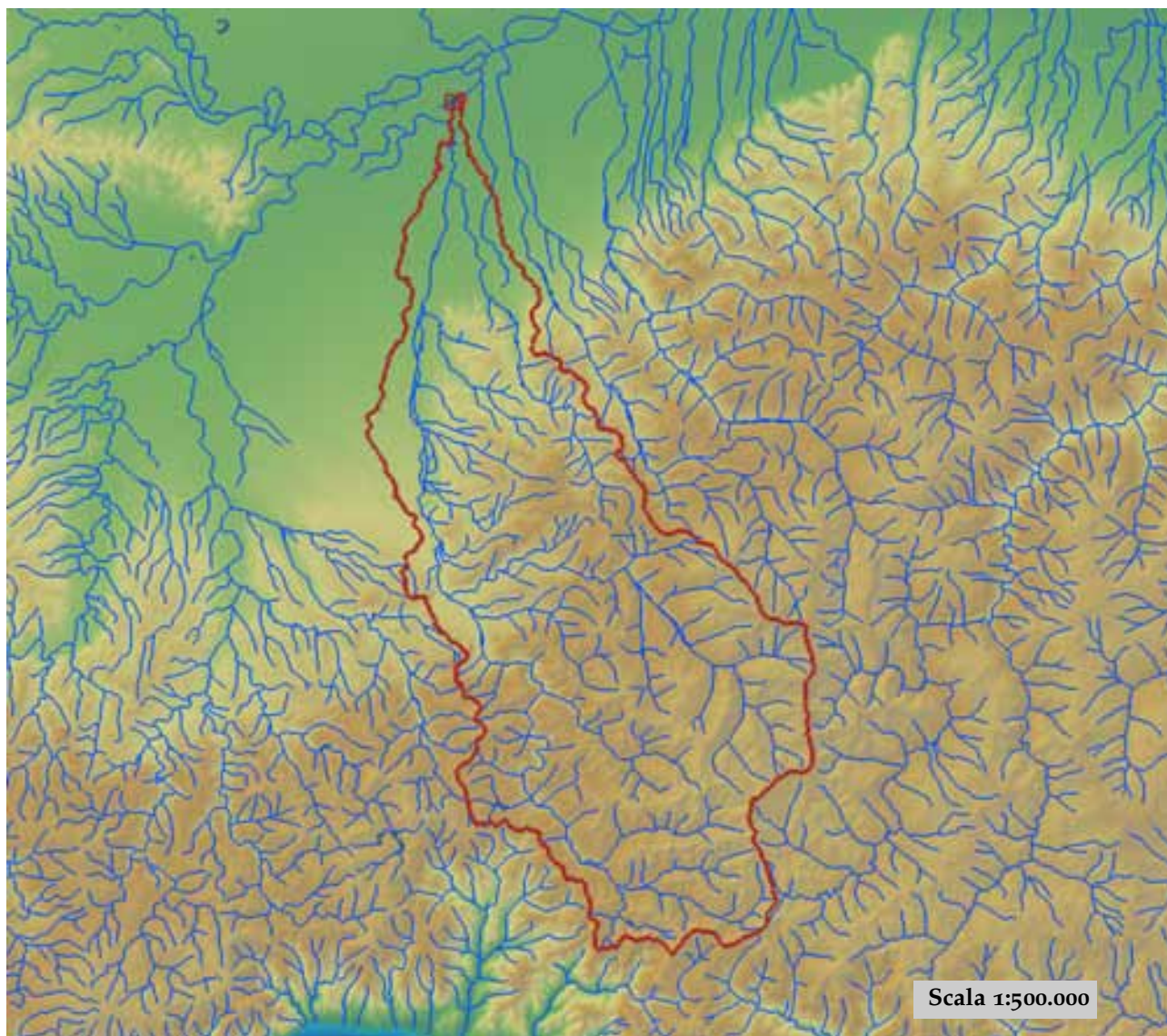


est (UTM _{32N} WGS84)	359591	nord (UTM _{32N} WGS84)	5055032
est DEM (UTM _{32N} WGS84)	359548	nord DEM (UTM _{32N} WGS84)	5055018
area bacino	131.34	quota media	2594

quota massima	3915	quota minima	1294
curva ipsografica 2,5%	3371	curva ipsografica 5%	3277
curva ipsografica 10%	3150	curva ipsografica 25%	2922
curva ipsografica 50%	2663	curva ipsografica 75%	2314
curva ipsografica 90%	1901	curva ipsografica 95%	1677
curva ipsografica 97,5%	1547	distanza interquartile curva ipsografica	608
angolo di esposizione medio	308	lunghezza vettore orientamento	9.5
pendenza bacino	26.572	pendenza bacino quadrato equivalente	23.908
est baricentro (UTM _{32N} WGS84)	360150	nord baricentro (UTM _{32N} WGS84)	5045550
fattore di forma	0.336	rapporto di allungamento	0.654
media funzione di ampiezza	12420	varianza funzione di ampiezza	2.74×10 ⁷
skewness funzione di ampiezza	-0.336	kurtosis funzione di ampiezza	2.155
rapporto aree medie di due ordini adiacenti	4.395	rapporto di biforcazione	5.333
rapporto lunghezze medie di due ordini adiacenti	1.514	rapporto pendenze medie di due ordini adiacenti	1.184
densità di drenaggio	0.602	diametro topologico	21
lunghezza LDP	19.781	lunghezza asta principale	18.498
lunghezza totale reticolo idrografico	79	lunghezza media versanti	830
pendenza media LDP	10	media dell'afflusso totale annuo	971
deviazione standard dell'afflusso totale annuo	119	media coeff. pluviale orario CPP	14.654
dev. standard coeff. pluviale orario CPP	0.861	media esponente CPP	0.555
dev. standard esponente CPP	0.016	coeff. di intensità	0.015
media LCV piogge 1 ora	0.187	dev. standard LCV piogge 1 ora	0.011
media LCV piogge 3 ore	0.169	dev. standard LCV piogge 3 ore	0.007
media LCV piogge 6 ore	0.173	dev. standard LCV piogge 6 ore	0.004
media LCV piogge 12 ore	0.179	dev. standard LCV piogge 12 ore	0.008
media LCV piogge 24 ore	0.197	dev. standard LCV piogge 24 ore	0.01
media LCA piogge 1 ora	0.226	dev. standard LCA piogge 1 ora	0.025
media LCA piogge 3 ore	0.219	dev. standard LCA piogge 3 ore	0.009
media LCA piogge 6 ore	0.23	dev. standard LCA piogge 6 ore	0.014
media LCA piogge 12 ore	0.305	dev. standard LCA piogge 12 ore	0.023
media LCA piogge 24 ore	0.267	dev. standard LCA piogge 24 ore	0.034
media coeff. B1 regime pluviometrico	-8.5	media coeff. C1 regime pluviometrico	-4.5
media coeff. B2 regime pluviometrico	-3.4	media coeff. C2 regime pluviometrico	-18.6
dev. standard regime pluviometrico	17.4	coeff. variaz. regime pluviometrico	0.226
classe 1 corine land cover	0	classe 2 corine land cover	16.86
classe 3 corine land cover	10.93	classe 4 corine land cover	72.24
classe 5 corine land cover	0	media NDVI	0.152
dev. standard NDVI	0.098	media curve number 1	46.8
media curve number 2	63.3	media curve number 3	76.4
dev. standard curve number 1	19.6	dev. standard curve number 2	21.7
dev. standard curve number 3	22.1	media indice di permeabilità vapi	0.371
dev. standard indice di permeabilità vapi	0.211		



Scrivia a Guazzora

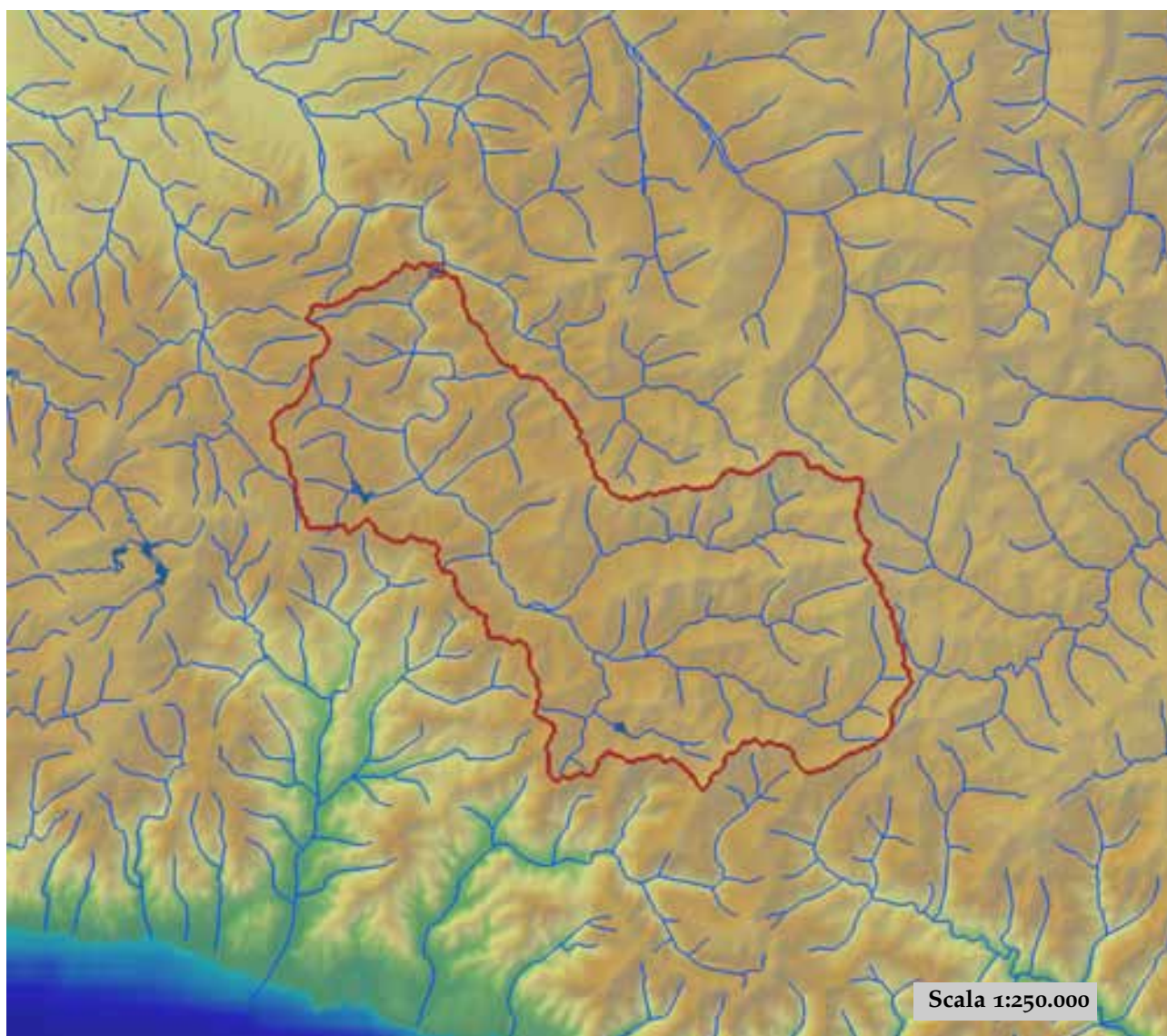


est (UTM ₃₂ N WGS84)	490258	nord (UTM ₃₂ N WGS84)	4986143
est DEM (UTM ₃₂ N WGS84)	490057	nord DEM (UTM ₃₂ N WGS84)	4986340
area bacino	949.05	quota media	520

quota massima	1678	quota minima	68
curva ipsografica 2,5%	1273	curva ipsografica 5%	1136
curva ipsografica 10%	960	curva ipsografica 25%	714
curva ipsografica 50%	482	curva ipsografica 75%	253
curva ipsografica 90%	136	curva ipsografica 95%	102
curva ipsografica 97,5%	89	distanza interquartile curva ipsografica	461
angolo di esposizione medio	303	lunghezza vettore orientamento	37.5
pendenza bacino	12.766	pendenza bacino quadrato equivalente	2.694
est baricentro (UTM _{32N} WGS84)	499150	nord baricentro (UTM _{32N} WGS84)	4949950
fattore di forma	0.102	rapporto di allungamento	0.36
media funzione di ampiezza	55132	varianza funzione di ampiezza	5.27×10 ⁸
skewness funzione di ampiezza	-0.313	kurtosis funzione di ampiezza	2.016
rapporto aree medie di due ordini adiacenti	4.899	rapporto di biforcazione	4.75
rapporto lunghezze medie di due ordini adiacenti	2.516	rapporto pendenze medie di due ordini adiacenti	2.263
densità di drenaggio	0.681	diametro topologico	64
lunghezza LDP	96.685	lunghezza asta principale	95.519
lunghezza totale reticolo idrografico	646.4	lunghezza media versanti	642
pendenza media LDP	3	media dell'afflusso totale annuo	1181
deviazione standard dell'afflusso totale annuo	373	media coeff. pluviale orario CPP	30.909
dev. standard coeff. pluviale orario CPP	4.214	media esponente CPP	0.37
dev. standard esponente CPP	0.044	coeff. di intensità	0.026
media LCV piogge 1 ora	0.177	dev. standard LCV piogge 1 ora	0.016
media LCV piogge 3 ore	0.202	dev. standard LCV piogge 3 ore	0.019
media LCV piogge 6 ore	0.208	dev. standard LCV piogge 6 ore	0.016
media LCV piogge 12 ore	0.214	dev. standard LCV piogge 12 ore	0.011
media LCV piogge 24 ore	0.213	dev. standard LCV piogge 24 ore	0.007
media LCA piogge 1 ora	0.165	dev. standard LCA piogge 1 ora	0.04
media LCA piogge 3 ore	0.228	dev. standard LCA piogge 3 ore	0.035
media LCA piogge 6 ore	0.229	dev. standard LCA piogge 6 ore	0.024
media LCA piogge 12 ore	0.266	dev. standard LCA piogge 12 ore	0.03
media LCA piogge 24 ore	0.261	dev. standard LCA piogge 24 ore	0.037
media coeff. B1 regime pluviometrico	30.1	media coeff. C1 regime pluviometrico	-4.7
media coeff. B2 regime pluviometrico	-5.4	media coeff. C2 regime pluviometrico	-32.6
dev. standard regime pluviometrico	36.6	coeff. variaz. regime pluviometrico	0.352
classe 1 corine land cover	3.44	classe 2 corine land cover	57.43
classe 3 corine land cover	37.16	classe 4 corine land cover	1.98
classe 5 corine land cover	0	media NDVI	0.582
dev. standard NDVI	0.067	media curve number 1	48.8
media curve number 2	67.7	media curve number 3	82.5
dev. standard curve number 1	8.8	dev. standard curve number 2	10
dev. standard curve number 3	10.8	media indice di permeabilità vapi	0.596
dev. standard indice di permeabilità vapi	0.133		

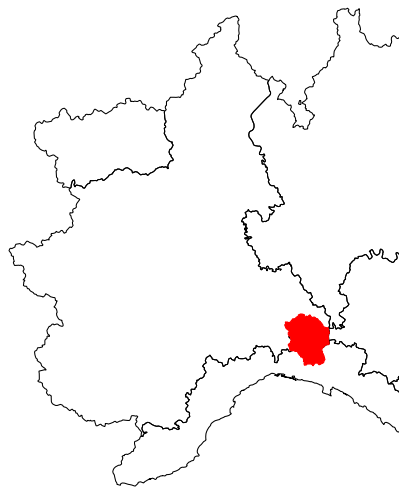


Scrivia a Isola del Cantone

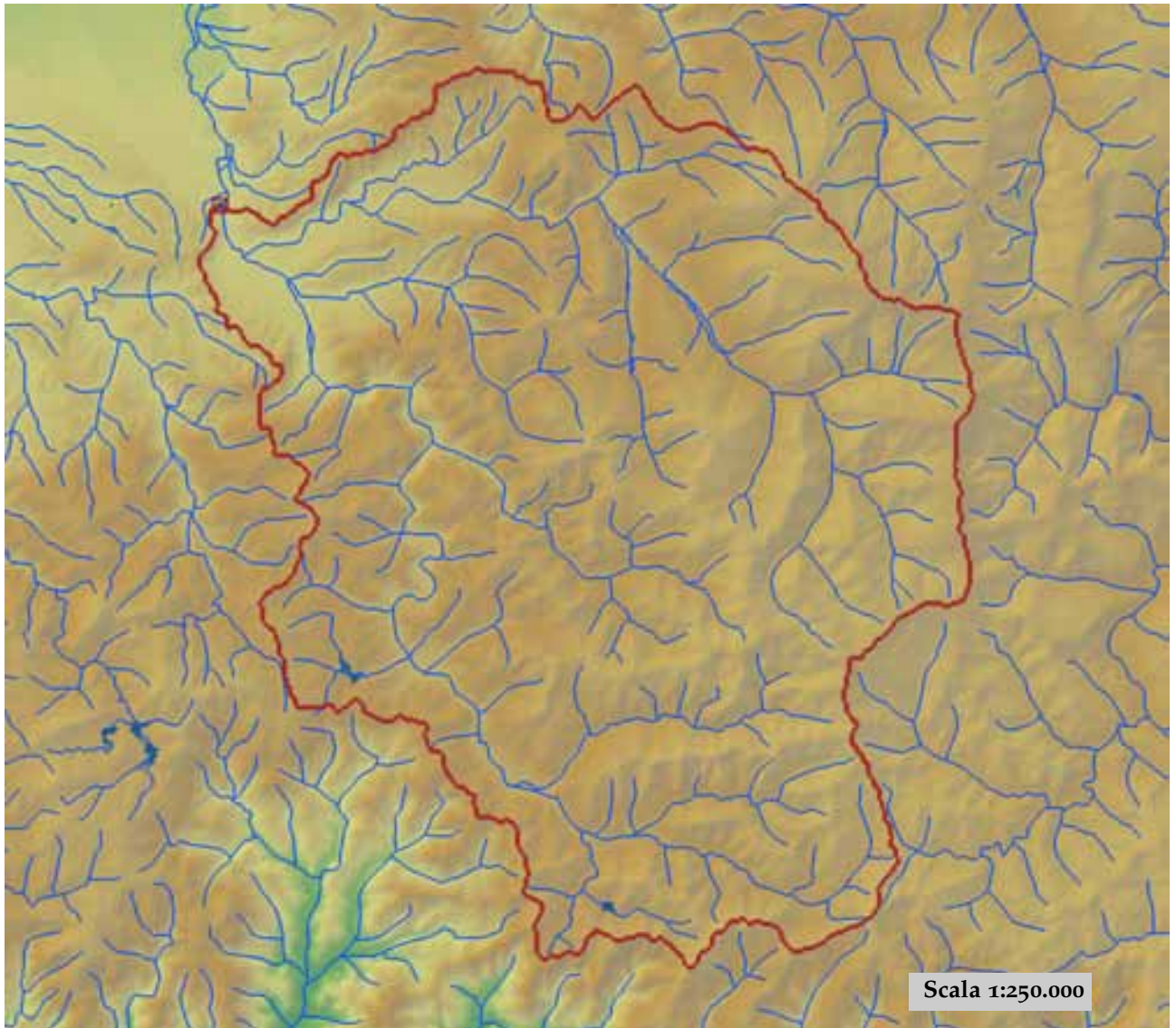


est (UTM ₃₂ N WGS84)	496640	nord (UTM ₃₂ N WGS84)	4943533
est DEM (UTM ₃₂ N WGS84)	496347	nord DEM (UTM ₃₂ N WGS84)	4943253
area bacino	215.8	quota media	668

quota massima	1526	quota minima	293
curva ipsografica 2,5%	1142	curva ipsografica 5%	1039
curva ipsografica 10%	935	curva ipsografica 25%	779
curva ipsografica 50%	639	curva ipsografica 75%	519
curva ipsografica 90%	438	curva ipsografica 95%	398
curva ipsografica 97,5%	366	distanza interquartile curva ipsografica	260
angolo di esposizione medio	233	lunghezza vettore orientamento	11.7
pendenza bacino	17.413	pendenza bacino quadrato equivalente	4.724
est baricentro (UTM _{32N} WGS84)	502150	nord baricentro (UTM _{32N} WGS84)	4933150
fattore di forma	0.139	rapporto di allungamento	0.421
media funzione di ampiezza	22257	varianza funzione di ampiezza	9.10×10 ⁷
skewness funzione di ampiezza	-0.388	kurtosis funzione di ampiezza	2.136
rapporto aree medie di due ordini adiacenti	5.495	rapporto di biforcazione	4.95
rapporto lunghezze medie di due ordini adiacenti	2.456	rapporto pendenze medie di due ordini adiacenti	2.617
densità di drenaggio	0.61	diametro topologico	28
lunghezza LDP	39.352	lunghezza asta principale	38.186
lunghezza totale reticolo idrografico	131.6	lunghezza media versanti	615
pendenza media LDP	5	media dell'afflusso totale annuo	1674
deviazione standard dell'afflusso totale annuo	203	media coeff. pluviale orario CPP	36.746
dev. standard coeff. pluviale orario CPP	1.76	media esponente CPP	0.41
dev. standard esponente CPP	0.008	coeff. di intensità	0.022
media LCV piogge 1 ora	0.162	dev. standard LCV piogge 1 ora	0.011
media LCV piogge 3 ore	0.185	dev. standard LCV piogge 3 ore	0.015
media LCV piogge 6 ore	0.194	dev. standard LCV piogge 6 ore	0.011
media LCV piogge 12 ore	0.203	dev. standard LCV piogge 12 ore	0.008
media LCV piogge 24 ore	0.207	dev. standard LCV piogge 24 ore	0.005
media LCA piogge 1 ora	0.145	dev. standard LCA piogge 1 ora	0.033
media LCA piogge 3 ore	0.221	dev. standard LCA piogge 3 ore	0.014
media LCA piogge 6 ore	0.225	dev. standard LCA piogge 6 ore	0.021
media LCA piogge 12 ore	0.279	dev. standard LCA piogge 12 ore	0.023
media LCA piogge 24 ore	0.277	dev. standard LCA piogge 24 ore	0.032
media coeff. B1 regime pluviometrico	50.1	media coeff. C1 regime pluviometrico	-1.5
media coeff. B2 regime pluviometrico	-7.1	media coeff. C2 regime pluviometrico	-45.1
dev. standard regime pluviometrico	53.6	coeff. variaz. regime pluviometrico	0.371
classe 1 corine land cover	6.15	classe 2 corine land cover	87.37
classe 3 corine land cover	6.38	classe 4 corine land cover	0.13
classe 5 corine land cover	0	media NDVI	0.643
dev. standard NDVI	0.023	media curve number 1	50.2
media curve number 2	69.4	media curve number 3	84.2
dev. standard curve number 1	7.1	dev. standard curve number 2	6.2
dev. standard curve number 3	4.5	media indice di permeabilità vapi	0.645
dev. standard indice di permeabilità vapi	0.08		

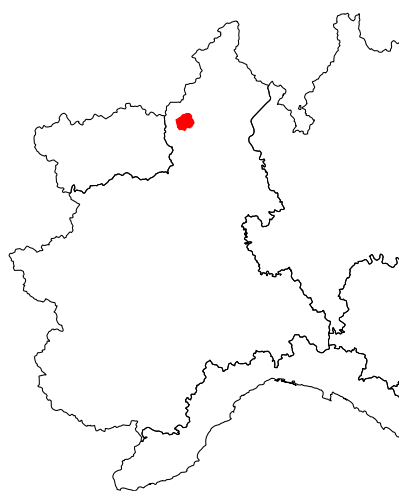


Scrivia a Serravalle Scrivia

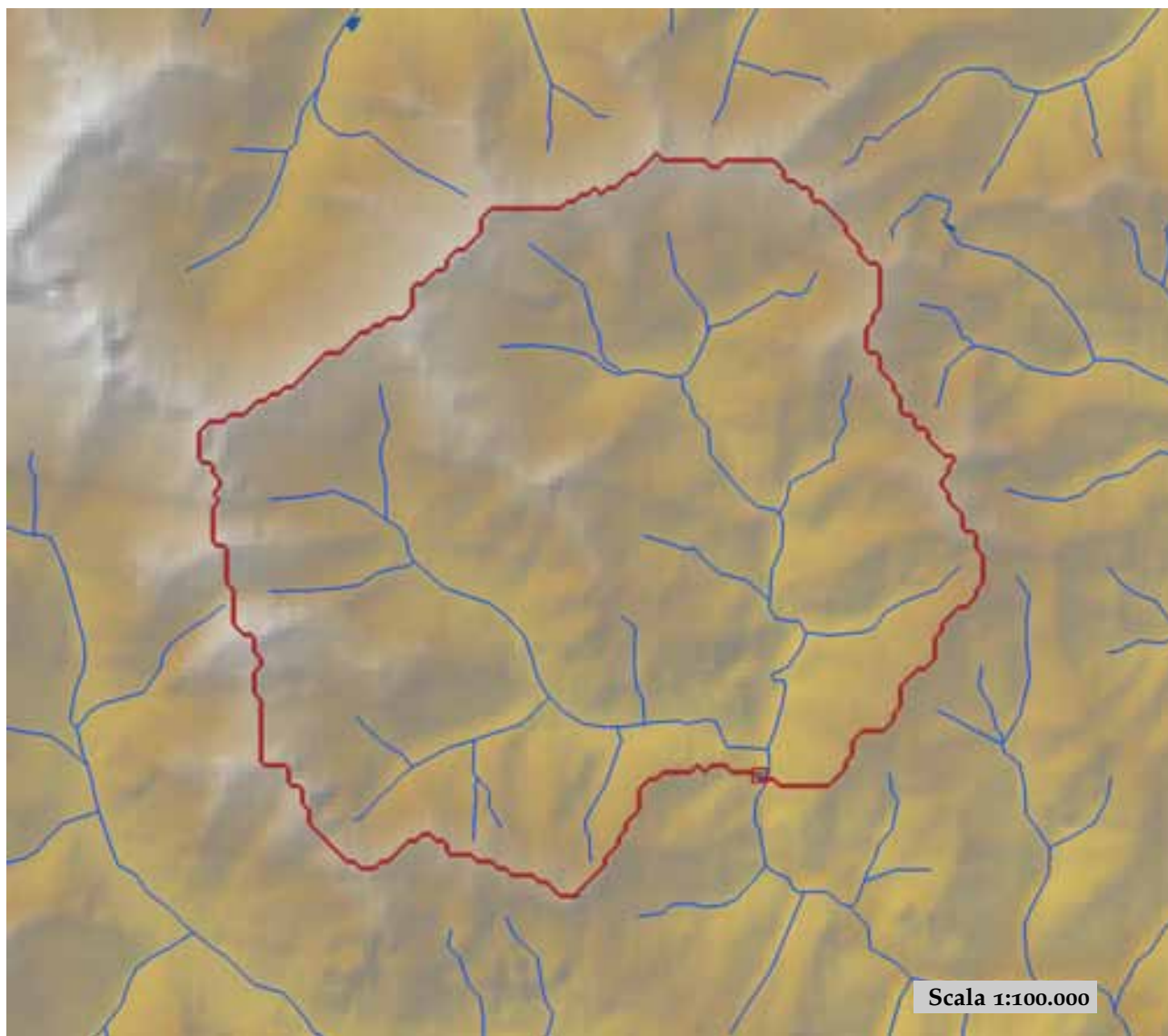


est (UTM ₃₂ N WGS84)	488989	nord (UTM ₃₂ N WGS84)	4952417
est DEM (UTM ₃₂ N WGS84)	488864	nord DEM (UTM ₃₂ N WGS84)	4952192
area bacino	614.12	quota media	682

quota massima	1678	quota minima	195
curva ipsografica 2,5%	1342	curva ipsografica 5%	1228
curva ipsografica 10%	1071	curva ipsografica 25%	834
curva ipsografica 50%	639	curva ipsografica 75%	484
curva ipsografica 90%	361	curva ipsografica 95%	296
curva ipsografica 97,5%	257	distanza interquartile curva ipsografica	350
angolo di esposizione medio	278	lunghezza vettore orientamento	17.6
pendenza bacino	16.882	pendenza bacino quadrato equivalente	3.591
est baricentro (UTM _{32N} WGS84)	502950	nord baricentro (UTM _{32N} WGS84)	4941650
fattore di forma	0.199	rapporto di allungamento	0.503
media funzione di ampiezza	28645	varianza funzione di ampiezza	1.52×10 ⁸
skewness funzione di ampiezza	-0.041	kurtosis funzione di ampiezza	2.227
rapporto aree medie di due ordini adiacenti	4.978	rapporto di biforcazione	4.127
rapporto lunghezze medie di due ordini adiacenti	2.645	rapporto pendenze medie di due ordini adiacenti	2.533
densità di drenaggio	0.596	diametro topologico	41
lunghezza LDP	55.603	lunghezza asta principale	54.437
lunghezza totale reticolo idrografico	365.8	lunghezza media versanti	646
pendenza media LDP	5	media dell'afflusso totale annuo	1397
deviazione standard dell'afflusso totale annuo	280	media coeff. pluviale orario CPP	33.228
dev. standard coeff. pluviale orario CPP	3.321	media esponente CPP	0.397
dev. standard esponente CPP	0.019	coeff. di intensità	0.024
media LCV piogge 1 ora	0.174	dev. standard LCV piogge 1 ora	0.017
media LCV piogge 3 ore	0.198	dev. standard LCV piogge 3 ore	0.022
media LCV piogge 6 ore	0.202	dev. standard LCV piogge 6 ore	0.017
media LCV piogge 12 ore	0.209	dev. standard LCV piogge 12 ore	0.011
media LCV piogge 24 ore	0.21	dev. standard LCV piogge 24 ore	0.005
media LCA piogge 1 ora	0.18	dev. standard LCA piogge 1 ora	0.037
media LCA piogge 3 ore	0.244	dev. standard LCA piogge 3 ore	0.028
media LCA piogge 6 ore	0.219	dev. standard LCA piogge 6 ore	0.018
media LCA piogge 12 ore	0.259	dev. standard LCA piogge 12 ore	0.033
media LCA piogge 24 ore	0.255	dev. standard LCA piogge 24 ore	0.043
media coeff. B1 regime pluviometrico	37.4	media coeff. C1 regime pluviometrico	-5.1
media coeff. B2 regime pluviometrico	-6.9	media coeff. C2 regime pluviometrico	-38.6
dev. standard regime pluviometrico	44	coeff. variaz. regime pluviometrico	0.367
classe 1 corine land cover	2.75	classe 2 corine land cover	78.26
classe 3 corine land cover	17.64	classe 4 corine land cover	1.36
classe 5 corine land cover	0	media NDVI	0.615
dev. standard NDVI	0.037	media curve number 1	48.3
media curve number 2	67.5	media curve number 3	82.6
dev. standard curve number 1	7.7	dev. standard curve number 2	8.3
dev. standard curve number 3	8.5	media indice di permeabilità vapi	0.613
dev. standard indice di permeabilità vapi	0.093		



Sermenza a Rimasco

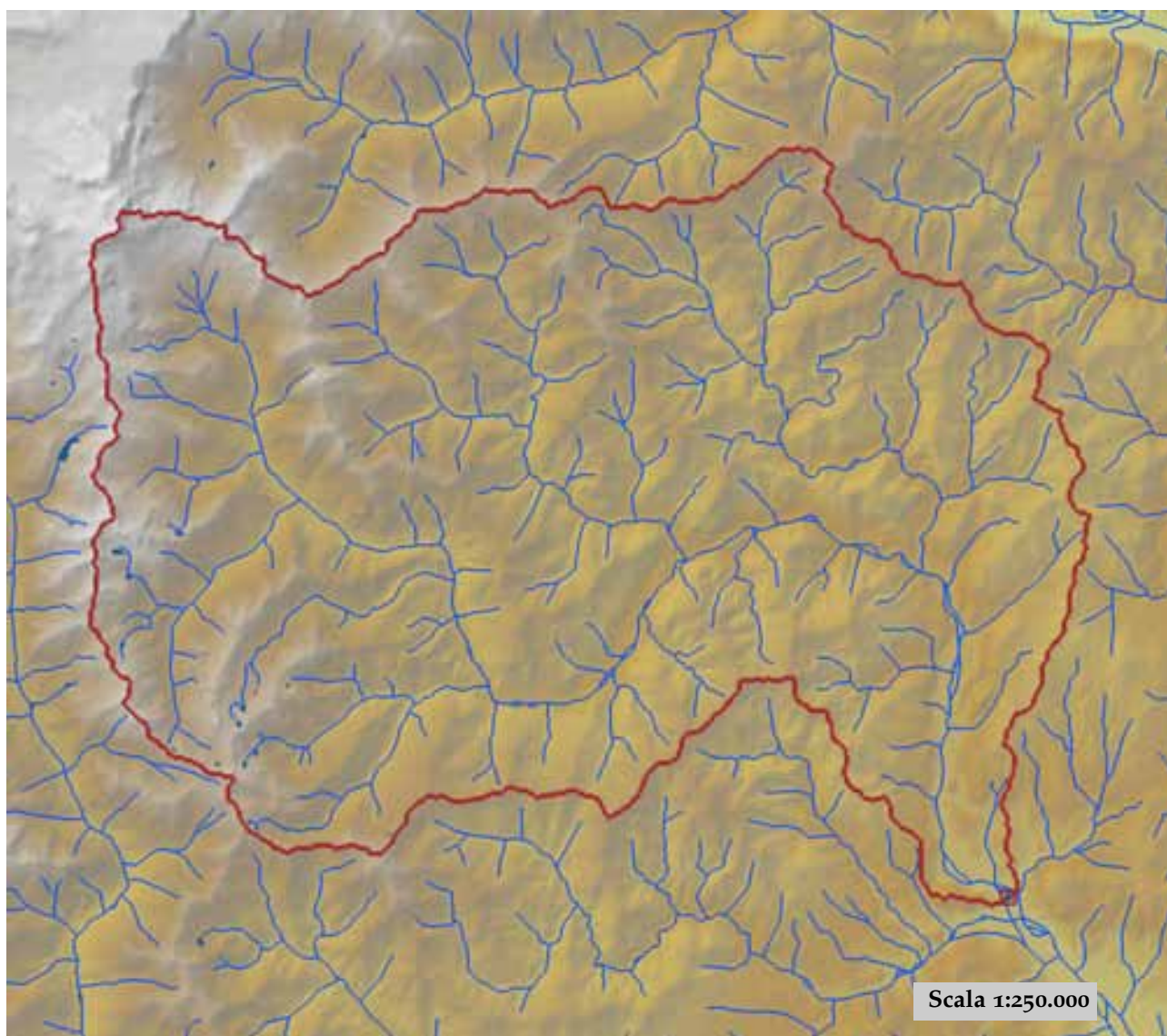


est (UTM ₃₂ N WGS84)	427374	nord (UTM ₃₂ N WGS84)	5078429
est DEM (UTM ₃₂ N WGS84)	427353	nord DEM (UTM ₃₂ N WGS84)	5078449
area bacino	82.33	quota media	1855

quota massima	2878	quota minima	893
curva ipsografica 2,5%	2582	curva ipsografica 5%	2509
curva ipsografica 10%	2401	curva ipsografica 25%	2173
curva ipsografica 50%	1861	curva ipsografica 75%	1542
curva ipsografica 90%	1293	curva ipsografica 95%	1161
curva ipsografica 97,5%	1067	distanza interquartile curva ipsografica	631
angolo di esposizione medio	141	lunghezza vettore orientamento	4.5
pendenza bacino	30.032	pendenza bacino quadrato equivalente	21.359
est baricentro (UTM _{32N} WGS84)	424850	nord baricentro (UTM _{32N} WGS84)	5082150
fattore di forma	0.558	rapporto di allungamento	0.843
media funzione di ampiezza	7167	varianza funzione di ampiezza	7.27×10 ⁶
skewness funzione di ampiezza	-0.392	kurtosis funzione di ampiezza	2.249
rapporto aree medie di due ordini adiacenti	4.37	rapporto di biforcazione	3.606
rapporto lunghezze medie di due ordini adiacenti	2.487	rapporto pendenze medie di due ordini adiacenti	2.638
densità di drenaggio	0.517	diametro topologico	12
lunghezza LDP	12.147	lunghezza asta principale	9.633
lunghezza totale reticolo idrografico	42.6	lunghezza media versanti	731
pendenza media LDP	14	media dell'afflusso totale annuo	1625
deviazione standard dell'afflusso totale annuo	89	media coeff. pluviale orario CPP	22.899
dev. standard coeff. pluviale orario CPP	2.311	media esponente CPP	0.556
dev. standard esponente CPP	0.02	coeff. di intensità	0.014
media LCV piogge 1 ora	0.18	dev. standard LCV piogge 1 ora	0.01
media LCV piogge 3 ore	0.172	dev. standard LCV piogge 3 ore	0.008
media LCV piogge 6 ore	0.155	dev. standard LCV piogge 6 ore	0.007
media LCV piogge 12 ore	0.161	dev. standard LCV piogge 12 ore	0.006
media LCV piogge 24 ore	0.174	dev. standard LCV piogge 24 ore	0.007
media LCA piogge 1 ora	0.187	dev. standard LCA piogge 1 ora	0.036
media LCA piogge 3 ore	0.123	dev. standard LCA piogge 3 ore	0.021
media LCA piogge 6 ore	0.14	dev. standard LCA piogge 6 ore	0.007
media LCA piogge 12 ore	0.141	dev. standard LCA piogge 12 ore	0.012
media LCA piogge 24 ore	0.116	dev. standard LCA piogge 24 ore	0.022
media coeff. B1 regime pluviometrico	-35.7	media coeff. C1 regime pluviometrico	-12.6
media coeff. B2 regime pluviometrico	-10.7	media coeff. C2 regime pluviometrico	-48.4
dev. standard regime pluviometrico	45.7	coeff. variaz. regime pluviometrico	0.343
classe 1 corine land cover	0	classe 2 corine land cover	53.58
classe 3 corine land cover	27.07	classe 4 corine land cover	19.39
classe 5 corine land cover	0	media NDVI	0.363
dev. standard NDVI	0.097	media curve number 1	35
media curve number 2	53.1	media curve number 3	70.7
dev. standard curve number 1	15.5	dev. standard curve number 2	16.6
dev. standard curve number 3	14.4	media indice di permeabilità vapi	0.561
dev. standard indice di permeabilità vapi	0.078		

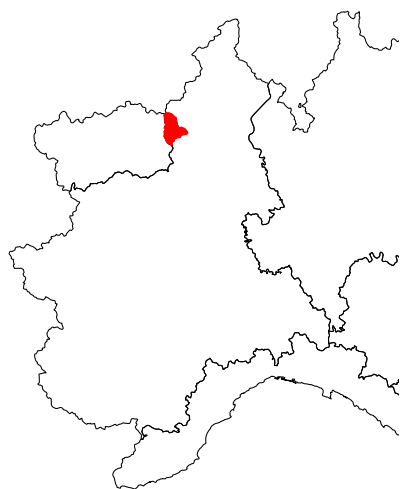


Sesia a Borgosesia Ponte Aranco

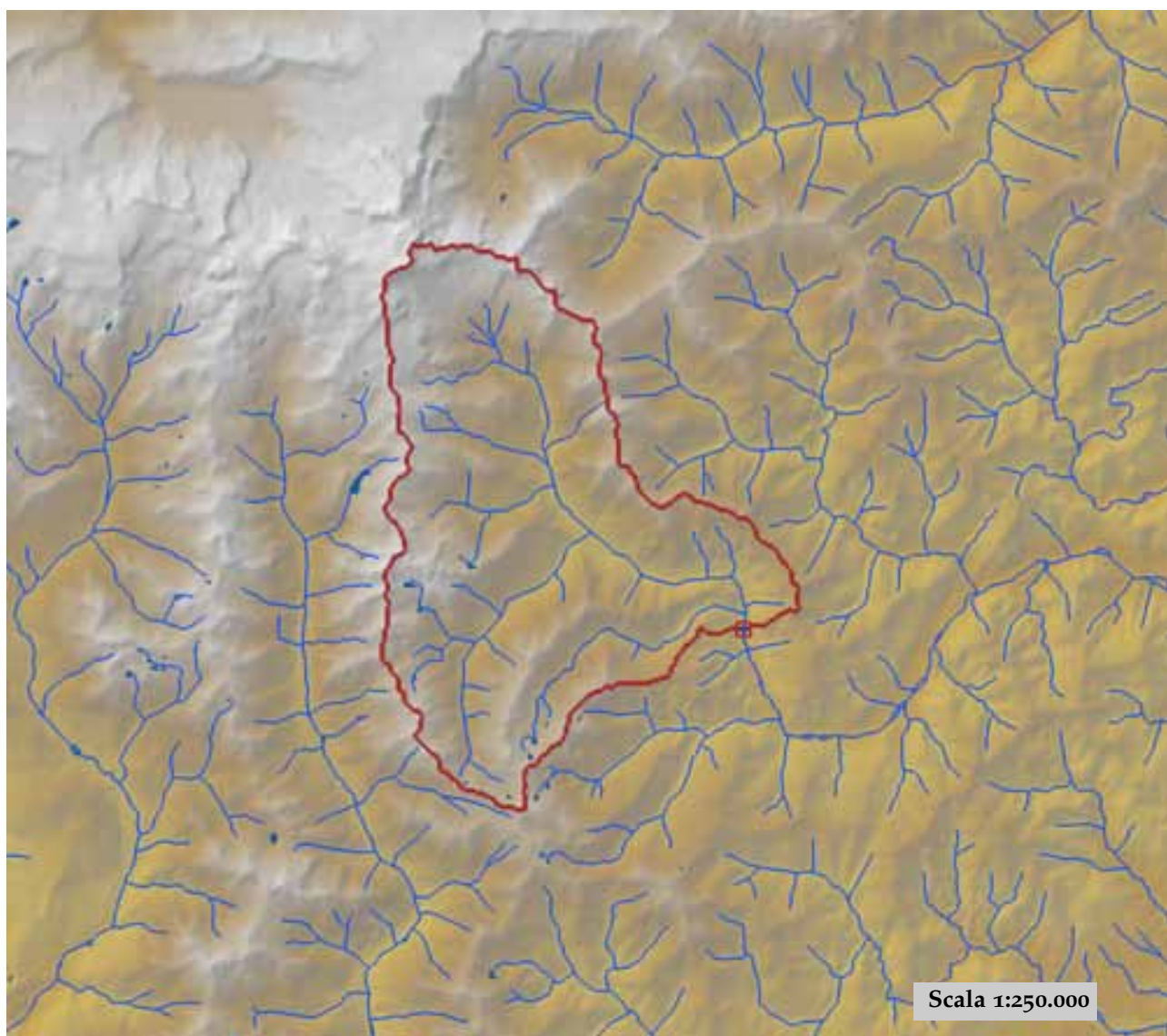


est (UTM _{32N} WGS84)	443803	nord (UTM _{32N} WGS84)	5062352
est DEM (UTM _{32N} WGS84)	444885	nord DEM (UTM _{32N} WGS84)	5061708
area bacino	702.89	quota media	1504

quota massima	4530	quota minima	330
curva ipsografica 2,5%	2832	curva ipsografica 5%	2585
curva ipsografica 10%	2365	curva ipsografica 25%	1929
curva ipsografica 50%	1445	curva ipsografica 75%	1013
curva ipsografica 90%	705	curva ipsografica 95%	561
curva ipsografica 97,5%	450	distanza interquartile curva ipsografica	916
angolo di esposizione medio	128	lunghezza vettore orientamento	21.2
pendenza bacino	26.923	pendenza bacino quadrato equivalente	8.419
est baricentro (UTM _{32N} WGS84)	429150	nord baricentro (UTM _{32N} WGS84)	5075850
fattore di forma	0.171	rapporto di allungamento	0.466
media funzione di ampiezza	37017	varianza funzione di ampiezza	2.09×10 ⁸
skewness funzione di ampiezza	-0.241	kurtosis funzione di ampiezza	2.448
rapporto aree medie di due ordini adiacenti	4.239	rapporto di biforcazione	3.81
rapporto lunghezze medie di due ordini adiacenti	2.341	rapporto pendenze medie di due ordini adiacenti	2.208
densità di drenaggio	0.568	diametro topologico	48
lunghezza LDP	64.176	lunghezza asta principale	62.286
lunghezza totale reticolo idrografico	399.1	lunghezza media versanti	704
pendenza media LDP	7	media dell'afflusso totale annuo	1725
deviazione standard dell'afflusso totale annuo	262	media coeff. pluviale orario CPP	26.451
dev. standard coeff. pluviale orario CPP	5.519	media esponente CPP	0.537
dev. standard esponente CPP	0.034	coeff. di intensità	0.015
media LCV piogge 1 ora	0.176	dev. standard LCV piogge 1 ora	0.016
media LCV piogge 3 ore	0.175	dev. standard LCV piogge 3 ore	0.017
media LCV piogge 6 ore	0.16	dev. standard LCV piogge 6 ore	0.017
media LCV piogge 12 ore	0.165	dev. standard LCV piogge 12 ore	0.015
media LCV piogge 24 ore	0.171	dev. standard LCV piogge 24 ore	0.017
media LCA piogge 1 ora	0.204	dev. standard LCA piogge 1 ora	0.053
media LCA piogge 3 ore	0.182	dev. standard LCA piogge 3 ore	0.058
media LCA piogge 6 ore	0.184	dev. standard LCA piogge 6 ore	0.054
media LCA piogge 12 ore	0.166	dev. standard LCA piogge 12 ore	0.049
media LCA piogge 24 ore	0.14	dev. standard LCA piogge 24 ore	0.055
media coeff. B1 regime pluviometrico	-42.4	media coeff. C1 regime pluviometrico	-22.8
media coeff. B2 regime pluviometrico	-7.7	media coeff. C2 regime pluviometrico	-53.8
dev. standard regime pluviometrico	56.1	coeff. variaz. regime pluviometrico	0.391
classe 1 corine land cover	1	classe 2 corine land cover	66.69
classe 3 corine land cover	20.65	classe 4 corine land cover	11.67
classe 5 corine land cover	0	media NDVI	0.444
dev. standard NDVI	0.132	media curve number 1	37.8
media curve number 2	56.4	media curve number 3	73.5
dev. standard curve number 1	13.3	dev. standard curve number 2	14.8
dev. standard curve number 3	14.2	media indice di permeabilità vapi	0.543
dev. standard indice di permeabilità vapi	0.101		

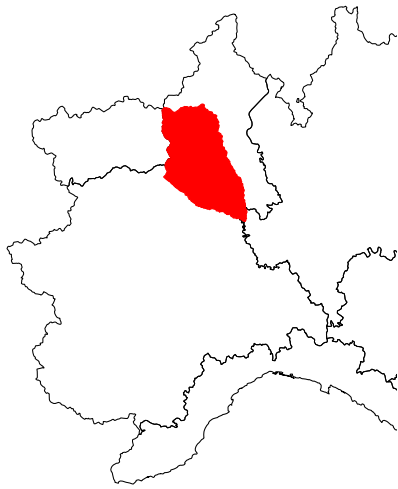


Sesia a Campertogno

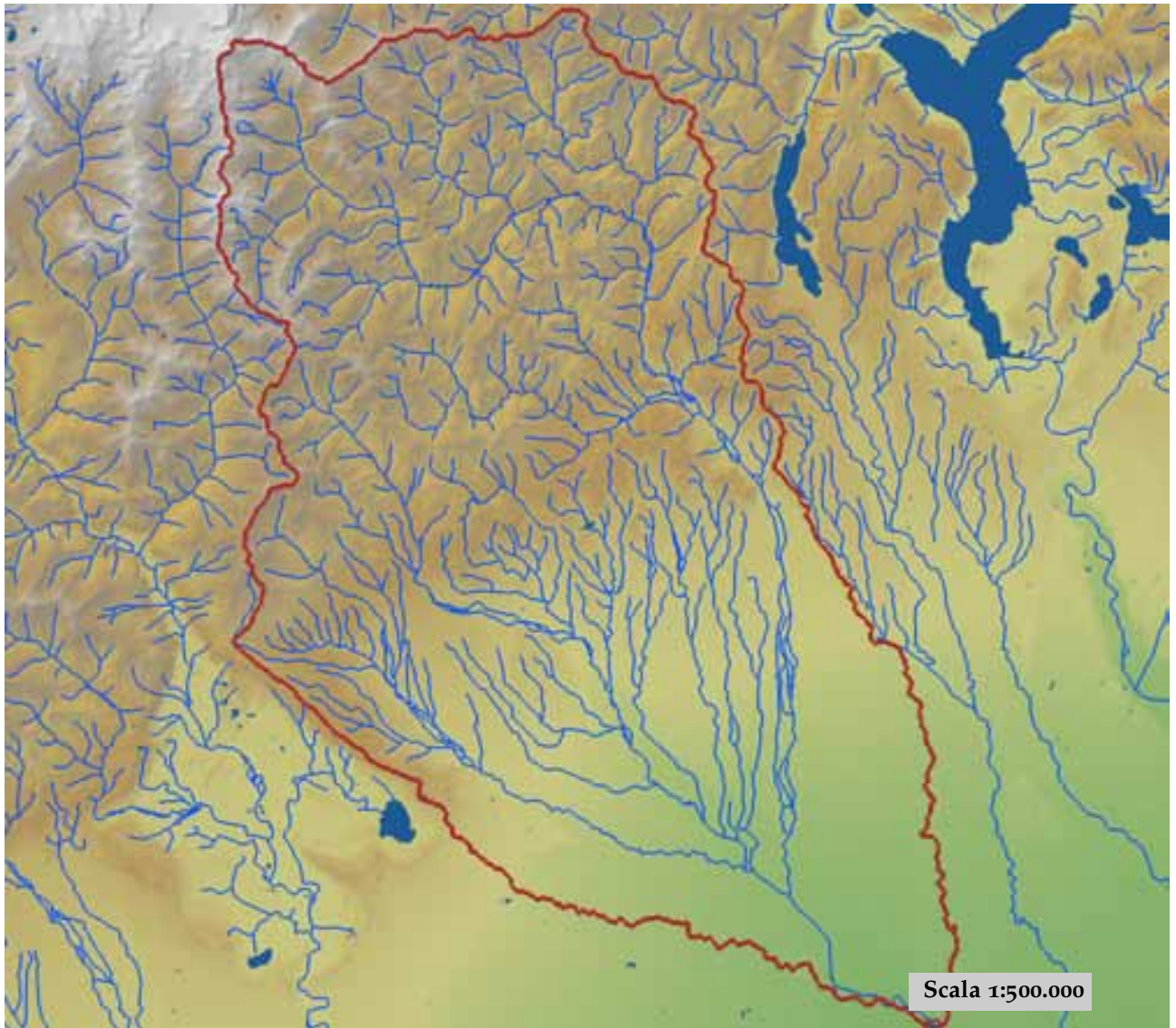


est (UTM ₃₂ N WGS84)	424762	nord (UTM ₃₂ N WGS84)	5072125
est DEM (UTM ₃₂ N WGS84)	424653	nord DEM (UTM ₃₂ N WGS84)	5072656
area bacino	170.56	quota media	2127

quota massima	4530	quota minima	830
curva ipsografica 2,5%	3488	curva ipsografica 5%	3129
curva ipsografica 10%	2842	curva ipsografica 25%	2476
curva ipsografica 50%	2130	curva ipsografica 75%	1709
curva ipsografica 90%	1346	curva ipsografica 95%	1163
curva ipsografica 97,5%	1065	distanza interquartile curva ipsografica	767
angolo di esposizione medio	132	lunghezza vettore orientamento	8.6
pendenza bacino	29.397	pendenza bacino quadrato equivalente	19.924
est baricentro (UTM _{32N} WGS84)	416950	nord baricentro (UTM _{32N} WGS84)	5076450
fattore di forma	0.327	rapporto di allungamento	0.645
media funzione di ampiezza	13723	varianza funzione di ampiezza	2.99×10 ⁷
skewness funzione di ampiezza	-0.549	kurtosis funzione di ampiezza	2.349
rapporto aree medie di due ordini adiacenti	5.063	rapporto di biforcazione	4.416
rapporto lunghezze medie di due ordini adiacenti	2.859	rapporto pendenze medie di due ordini adiacenti	2.178
densità di drenaggio	0.574	diametro topologico	19
lunghezza LDP	22.838	lunghezza asta principale	20.948
lunghezza totale reticolo idrografico	97.9	lunghezza media versanti	787
pendenza media LDP	12	media dell'afflusso totale annuo	1362
deviazione standard dell'afflusso totale annuo	110	media coeff. pluviale orario CPP	19.223
dev. standard coeff. pluviale orario CPP	2.717	media esponente CPP	0.571
dev. standard esponente CPP	0.016	coeff. di intensità	0.014
media LCV piogge 1 ora	0.181	dev. standard LCV piogge 1 ora	0.02
media LCV piogge 3 ore	0.185	dev. standard LCV piogge 3 ore	0.014
media LCV piogge 6 ore	0.177	dev. standard LCV piogge 6 ore	0.007
media LCV piogge 12 ore	0.182	dev. standard LCV piogge 12 ore	0.007
media LCV piogge 24 ore	0.192	dev. standard LCV piogge 24 ore	0.007
media LCA piogge 1 ora	0.194	dev. standard LCA piogge 1 ora	0.041
media LCA piogge 3 ore	0.174	dev. standard LCA piogge 3 ore	0.041
media LCA piogge 6 ore	0.186	dev. standard LCA piogge 6 ore	0.028
media LCA piogge 12 ore	0.193	dev. standard LCA piogge 12 ore	0.023
media LCA piogge 24 ore	0.197	dev. standard LCA piogge 24 ore	0.022
media coeff. B1 regime pluviometrico	-29.8	media coeff. C1 regime pluviometrico	-13.1
media coeff. B2 regime pluviometrico	-3.5	media coeff. C2 regime pluviometrico	-41.7
dev. standard regime pluviometrico	45.8	coeff. variaz. regime pluviometrico	0.424
classe 1 corine land cover	0	classe 2 corine land cover	39.49
classe 3 corine land cover	29.26	classe 4 corine land cover	31.28
classe 5 corine land cover	0	media NDVI	0.303
dev. standard NDVI	0.141	media curve number 1	36.5
media curve number 2	54.1	media curve number 3	70.4
dev. standard curve number 1	15.9	dev. standard curve number 2	18.3
dev. standard curve number 3	19.1	media indice di permeabilità vapi	0.44
dev. standard indice di permeabilità vapi	0.146		

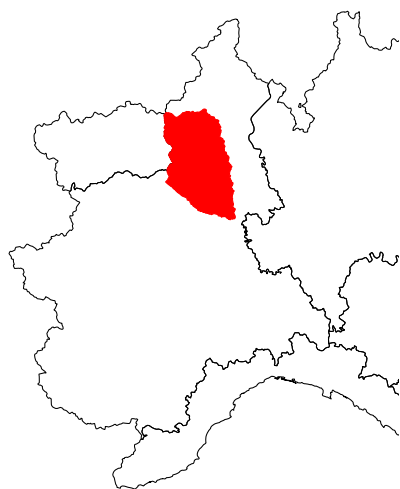


Sesia a Palestro

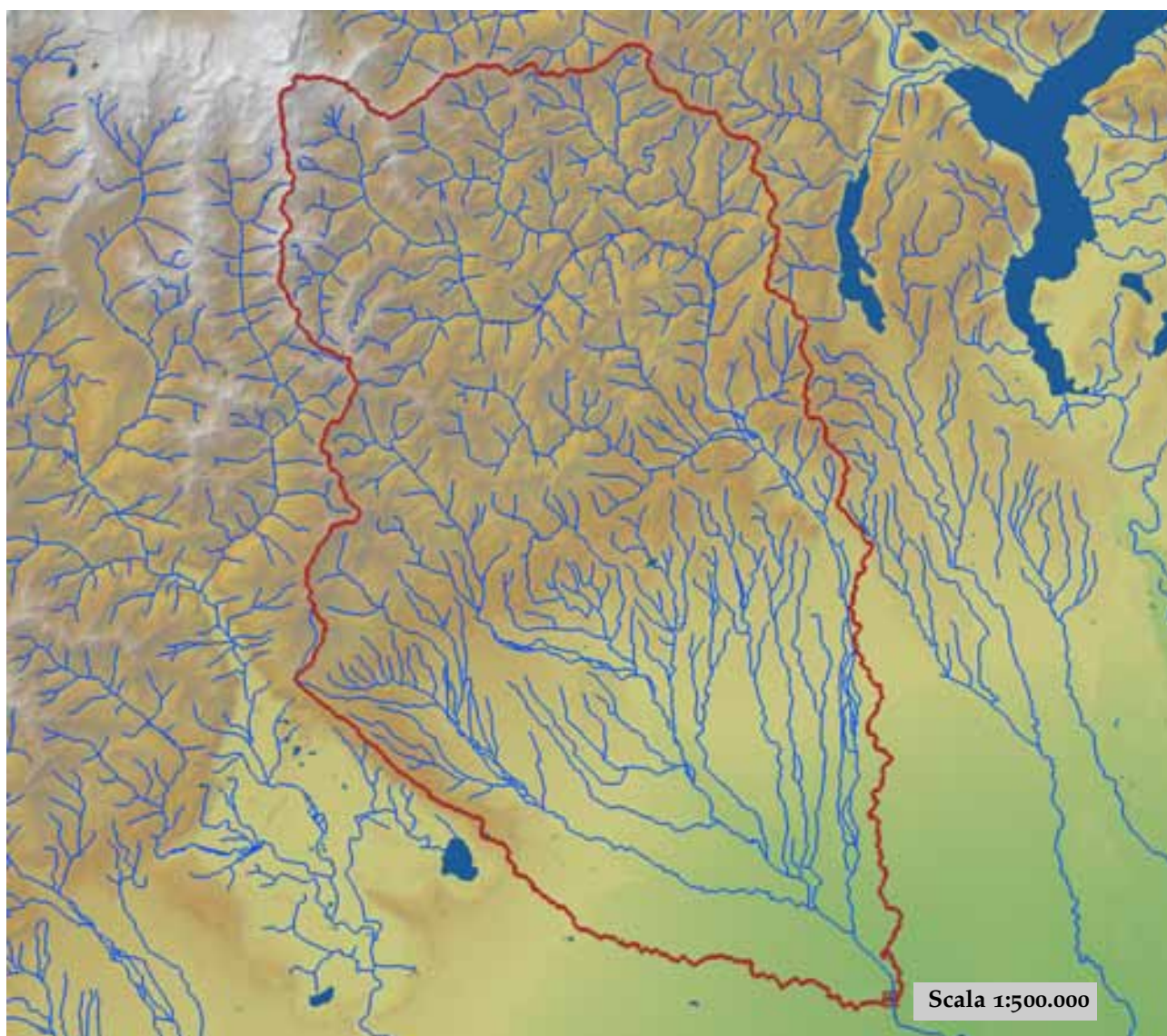


est (UTM _{32N} WGS84)	463769	nord (UTM _{32N} WGS84)	5014565
est DEM (UTM _{32N} WGS84)	463650	nord DEM (UTM _{32N} WGS84)	5014650
area bacino	2464.01	quota media	768

quota massima	4530	quota minima	101
curva ipsografica 2,5%	2412	curva ipsografica 5%	2179
curva ipsografica 10%	1836	curva ipsografica 25%	1223
curva ipsografica 50%	455	curva ipsografica 75%	206
curva ipsografica 90%	149	curva ipsografica 95%	133
curva ipsografica 97,5%	125	distanza interquartile curva ipsografica	1017
angolo di esposizione medio	145	lunghezza vettore orientamento	46.5
pendenza bacino	12.716	pendenza bacino quadrato equivalente	1.43
est baricentro (UTM _{32N} WGS84)	436650	nord baricentro (UTM _{32N} WGS84)	5052550
fattore di forma	0.141	rapporto di allungamento	0.424
media funzione di ampiezza	68677	varianza funzione di ampiezza	9.12×10 ⁸
skewness funzione di ampiezza	0.085	kurtosis funzione di ampiezza	2.192
rapporto aree medie di due ordini adiacenti	4.466	rapporto di biforcazione	4.037
rapporto lunghezze medie di due ordini adiacenti	2.205	rapporto pendenze medie di due ordini adiacenti	2.39
densità di drenaggio	0.818	diametro topologico	75
lunghezza LDP	132.045	lunghezza asta principale	130.155
lunghezza totale reticolo idrografico	2015.7	lunghezza media versanti	675
pendenza media LDP	4	media dell'afflusso totale annuo	1430
deviazione standard dell'afflusso totale annuo	360	media coeff. pluviale orario CPP	30.344
dev. standard coeff. pluviale orario CPP	4.272	media esponente CPP	0.41
dev. standard esponente CPP	0.102	coeff. di intensità	0.021
media LCV piogge 1 ora	0.153	dev. standard LCV piogge 1 ora	0.023
media LCV piogge 3 ore	0.152	dev. standard LCV piogge 3 ore	0.021
media LCV piogge 6 ore	0.152	dev. standard LCV piogge 6 ore	0.014
media LCV piogge 12 ore	0.154	dev. standard LCV piogge 12 ore	0.015
media LCV piogge 24 ore	0.162	dev. standard LCV piogge 24 ore	0.016
media LCA piogge 1 ora	0.157	dev. standard LCA piogge 1 ora	0.072
media LCA piogge 3 ore	0.203	dev. standard LCA piogge 3 ore	0.05
media LCA piogge 6 ore	0.202	dev. standard LCA piogge 6 ore	0.041
media LCA piogge 12 ore	0.188	dev. standard LCA piogge 12 ore	0.044
media LCA piogge 24 ore	0.187	dev. standard LCA piogge 24 ore	0.051
media coeff. B1 regime pluviometrico	-33.5	media coeff. C1 regime pluviometrico	-14.7
media coeff. B2 regime pluviometrico	-2.3	media coeff. C2 regime pluviometrico	-42.7
dev. standard regime pluviometrico	45.6	coeff. variaz. regime pluviometrico	0.363
classe 1 corine land cover	4.78	classe 2 corine land cover	43.82
classe 3 corine land cover	46.29	classe 4 corine land cover	5.05
classe 5 corine land cover	0.06	media NDVI	0.478
dev. standard NDVI	0.107	media curve number 1	46.1
media curve number 2	65	media curve number 3	80.4
dev. standard curve number 1	11.3	dev. standard curve number 2	12.3
dev. standard curve number 3	11.7	media indice di permeabilità vapi	0.491
dev. standard indice di permeabilità vapi	0.122		

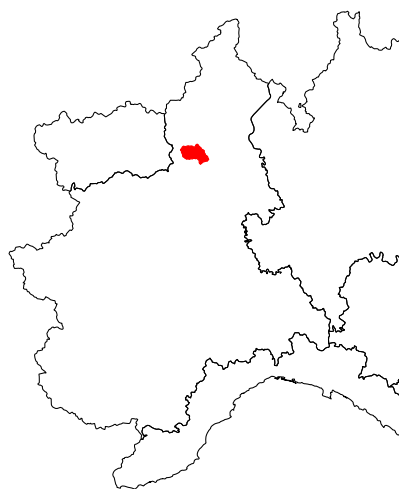


Sesia a Vercelli

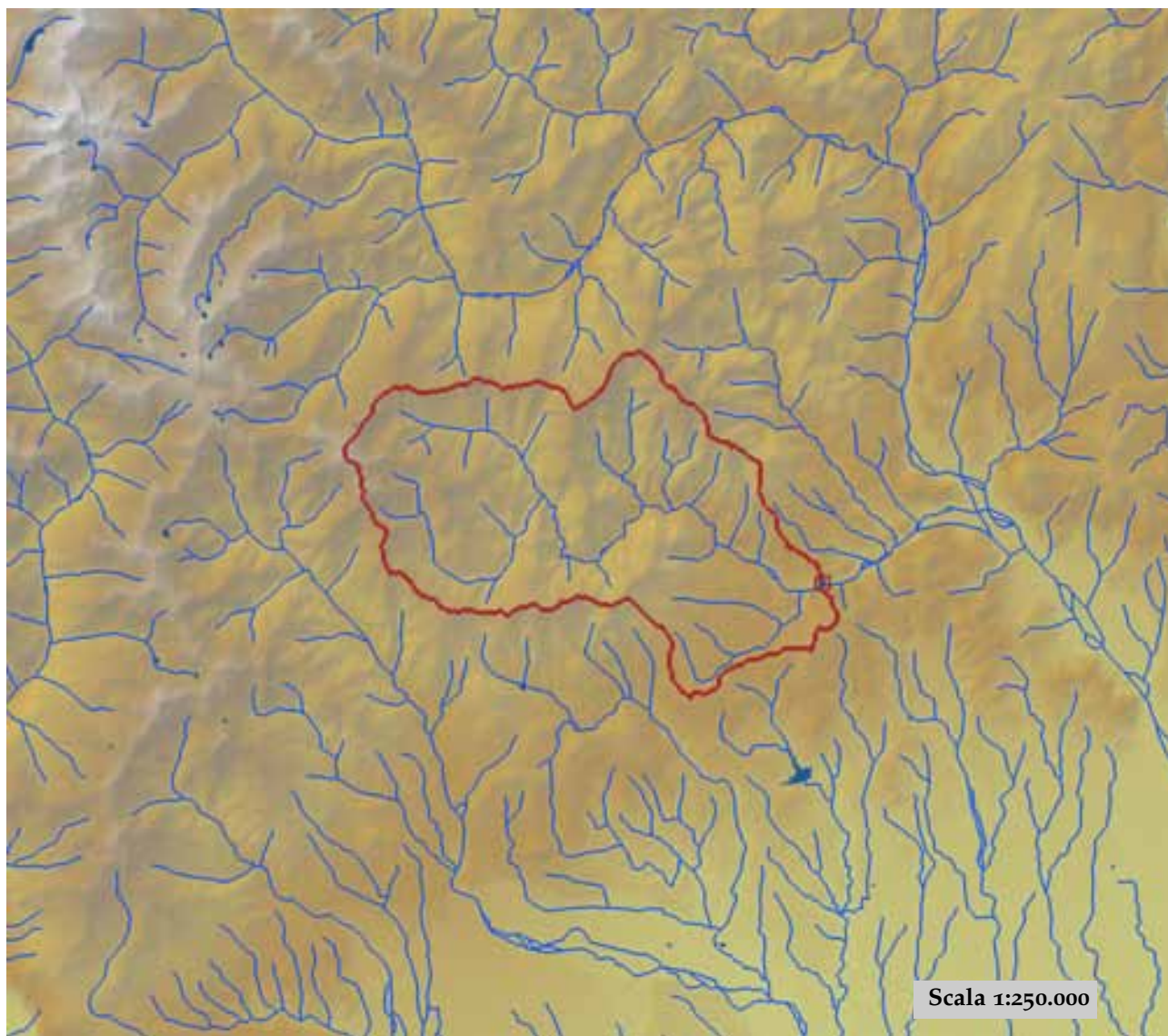


est (UTM ₃₂ N WGS84)	455957	nord (UTM ₃₂ N WGS84)	5019293
est DEM (UTM ₃₂ N WGS84)	455947	nord DEM (UTM ₃₂ N WGS84)	5019480
area bacino	2213,99	quota media	837

quota massima	4530	quota minima	116
curva ipsografica 2,5%	2444	curva ipsografica 5%	2221
curva ipsografica 10%	1893	curva ipsografica 25%	1315
curva ipsografica 50%	560	curva ipsografica 75%	247
curva ipsografica 90%	171	curva ipsografica 95%	150
curva ipsografica 97,5%	139	distanza interquartile curva ipsografica	1068
angolo di esposizione medio	141	lunghezza vettore orientamento	41.7
pendenza bacino	14.093	pendenza bacino quadrato equivalente	1.891
est baricentro (UTM _{32N} WGS84)	434150	nord baricentro (UTM _{32N} WGS84)	5055050
fattore di forma	0.156	rapporto di allungamento	0.446
media funzione di ampiezza	60718	varianza funzione di ampiezza	7.57×10 ⁸
skewness funzione di ampiezza	0.147	kurtosis funzione di ampiezza	2.162
rapporto aree medie di due ordini adiacenti	4.503	rapporto di biforcazione	3.969
rapporto lunghezze medie di due ordini adiacenti	2.277	rapporto pendenze medie di due ordini adiacenti	2.432
densità di drenaggio	0.781	diametro topologico	69
lunghezza LDP	119.157	lunghezza asta principale	117.267
lunghezza totale reticolo idrografico	1729.1	lunghezza media versanti	684
pendenza media LDP	4	media dell'afflusso totale annuo	1483
deviazione standard dell'afflusso totale annuo	340	media coeff. pluviale orario CPP	30.452
dev. standard coeff. pluviale orario CPP	4.467	media esponente CPP	0.423
dev. standard esponente CPP	0.1	coeff. di intensità	0.021
media LCV piogge 1 ora	0.155	dev. standard LCV piogge 1 ora	0.023
media LCV piogge 3 ore	0.154	dev. standard LCV piogge 3 ore	0.022
media LCV piogge 6 ore	0.152	dev. standard LCV piogge 6 ore	0.015
media LCV piogge 12 ore	0.155	dev. standard LCV piogge 12 ore	0.016
media LCV piogge 24 ore	0.162	dev. standard LCV piogge 24 ore	0.017
media LCA piogge 1 ora	0.167	dev. standard LCA piogge 1 ora	0.069
media LCA piogge 3 ore	0.207	dev. standard LCA piogge 3 ore	0.049
media LCA piogge 6 ore	0.203	dev. standard LCA piogge 6 ore	0.042
media LCA piogge 12 ore	0.184	dev. standard LCA piogge 12 ore	0.043
media LCA piogge 24 ore	0.185	dev. standard LCA piogge 24 ore	0.053
media coeff. B1 regime pluviometrico	-36.5	media coeff. C1 regime pluviometrico	-15.2
media coeff. B2 regime pluviometrico	-2.3	media coeff. C2 regime pluviometrico	-44.6
dev. standard regime pluviometrico	48.1	coeff. variaz. regime pluviometrico	0.372
classe 1 corine land cover	4.76	classe 2 corine land cover	48.53
classe 3 corine land cover	41.1	classe 4 corine land cover	5.56
classe 5 corine land cover	0.05	media NDVI	0.487
dev. standard NDVI	0.106	media curve number 1	45.3
media curve number 2	64.1	media curve number 3	79.7
dev. standard curve number 1	11.5	dev. standard curve number 2	12.7
dev. standard curve number 3	12.1	media indice di permeabilità vapi	0.497
dev. standard indice di permeabilità vapi	0.112		

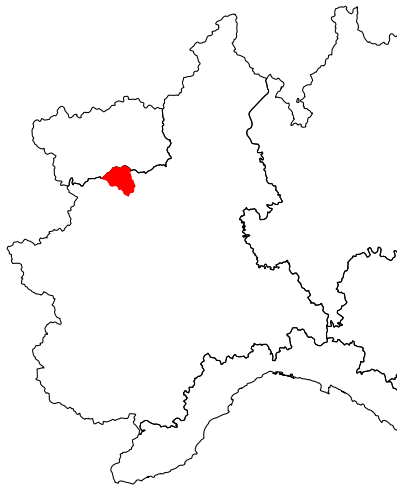


Sessera a Pray

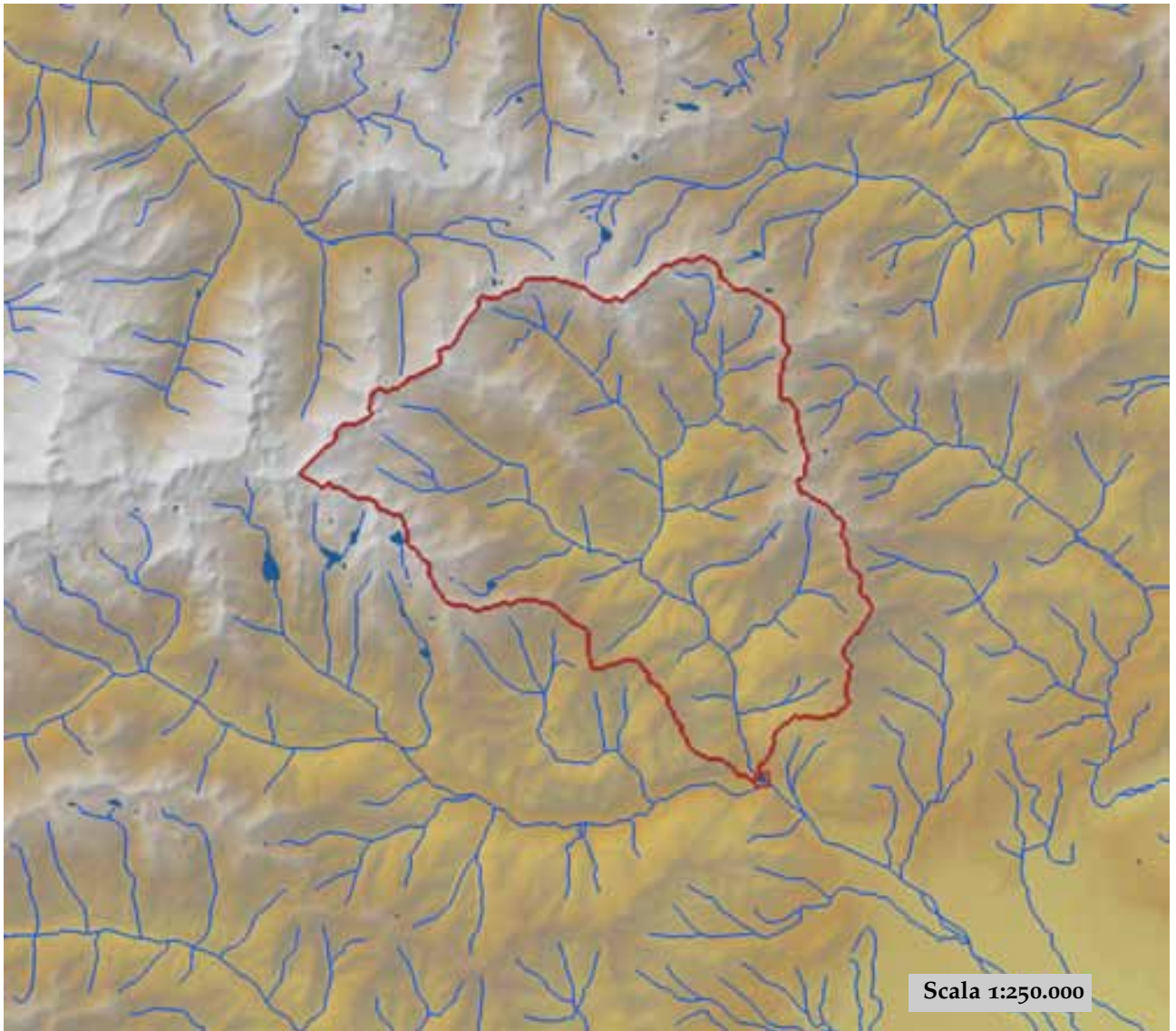


est (UTM ₃₂ N WGS84)	439377	nord (UTM ₃₂ N WGS84)	5058122
est DEM (UTM ₃₂ N WGS84)	439368	nord DEM (UTM ₃₂ N WGS84)	5058242
area bacino	126.38	quota media	1174

quota massima	2512	quota minima	404
curva ipsografica 2,5%	2023	curva ipsografica 5%	1895
curva ipsografica 10%	1754	curva ipsografica 25%	1486
curva ipsografica 50%	1184	curva ipsografica 75%	800
curva ipsografica 90%	564	curva ipsografica 95%	509
curva ipsografica 97,5%	476	distanza interquartile curva ipsografica	686
angolo di esposizione medio	127	lunghezza vettore orientamento	8.9
pendenza bacino	21.96	pendenza bacino quadrato equivalente	13.894
est baricentro (UTM _{32N} WGS84)	430850	nord baricentro (UTM _{32N} WGS84)	5060850
fattore di forma	0.15	rapporto di allungamento	0.438
media funzione di ampiezza	14397	varianza funzione di ampiezza	5.57×10 ⁷
skewness funzione di ampiezza	0.032	kurtosis funzione di ampiezza	1.766
rapporto aree medie di due ordini adiacenti	5.055	rapporto di biforcazione	3.873
rapporto lunghezze medie di due ordini adiacenti	2.601	rapporto pendenze medie di due ordini adiacenti	2.582
densità di drenaggio	0.637	diametro topologico	17
lunghezza LDP	28.981	lunghezza asta principale	27.432
lunghezza totale reticolo idrografico	80.6	lunghezza media versanti	645
pendenza media LDP	10	media dell'afflusso totale annuo	1794
deviazione standard dell'afflusso totale annuo	67	media coeff. pluviale orario CPP	33.745
dev. standard coeff. pluviale orario CPP	1.769	media esponente CPP	0.469
dev. standard esponente CPP	0.031	coeff. di intensità	0.019
media LCV piogge 1 ora	0.16	dev. standard LCV piogge 1 ora	0.009
media LCV piogge 3 ore	0.161	dev. standard LCV piogge 3 ore	0.012
media LCV piogge 6 ore	0.155	dev. standard LCV piogge 6 ore	0.008
media LCV piogge 12 ore	0.156	dev. standard LCV piogge 12 ore	0.008
media LCV piogge 24 ore	0.163	dev. standard LCV piogge 24 ore	0.011
media LCA piogge 1 ora	0.258	dev. standard LCA piogge 1 ora	0.024
media LCA piogge 3 ore	0.255	dev. standard LCA piogge 3 ore	0.017
media LCA piogge 6 ore	0.245	dev. standard LCA piogge 6 ore	0.031
media LCA piogge 12 ore	0.215	dev. standard LCA piogge 12 ore	0.023
media LCA piogge 24 ore	0.197	dev. standard LCA piogge 24 ore	0.02
media coeff. B1 regime pluviometrico	-45.1	media coeff. C1 regime pluviometrico	-28.1
media coeff. B2 regime pluviometrico	1.5	media coeff. C2 regime pluviometrico	-58.2
dev. standard regime pluviometrico	60.9	coeff. variaz. regime pluviometrico	0.433
classe 1 corine land cover	4.89	classe 2 corine land cover	72.21
classe 3 corine land cover	20.52	classe 4 corine land cover	2.42
classe 5 corine land cover	0	media NDVI	0.498
dev. standard NDVI	0.075	media curve number 1	44.4
media curve number 2	63.9	media curve number 3	80.2
dev. standard curve number 1	8.3	dev. standard curve number 2	8.8
dev. standard curve number 3	7.8	media indice di permeabilità vapi	0.507
dev. standard indice di permeabilità vapi	0.016		

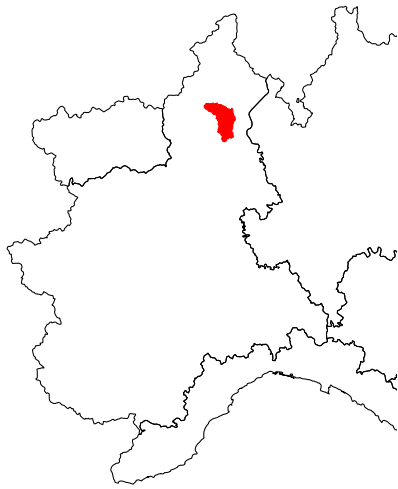


Soana a Pont Canavese



est (UTM ₃₂ N WGS84)	390596	nord (UTM ₃₂ N WGS84)	5030736
est DEM (UTM ₃₂ N WGS84)	390449	nord DEM (UTM ₃₂ N WGS84)	5030752
area bacino	214.6	quota media	1898

quota massima	3335	quota minima	456
curva ipsografica 2,5%	2948	curva ipsografica 5%	2836
curva ipsografica 10%	2663	curva ipsografica 25%	2355
curva ipsografica 50%	1908	curva ipsografica 75%	1453
curva ipsografica 90%	1100	curva ipsografica 95%	937
curva ipsografica 97,5%	811	distanza interquartile curva ipsografica	902
angolo di esposizione medio	147	lunghezza vettore orientamento	11.6
pendenza bacino	28.364	pendenza bacino quadrato equivalente	19.837
est baricentro (UTM _{32N} WGS84)	385450	nord baricentro (UTM _{32N} WGS84)	5041250
fattore di forma	0.333	rapporto di allungamento	0.651
media funzione di ampiezza	16559	varianza funzione di ampiezza	3.87×10^7
skewness funzione di ampiezza	-0.474	kurtosis funzione di ampiezza	2.236
rapporto aree medie di due ordini adiacenti	5.573	rapporto di biforcazione	5.339
rapporto lunghezze medie di due ordini adiacenti	2.951	rapporto pendenze medie di due ordini adiacenti	1.854
densità di drenaggio	0.558	diametro topologico	21
lunghezza LDP	25.379	lunghezza asta principale	23.797
lunghezza totale reticolo idrografico	119.7	lunghezza media versanti	749
pendenza media LDP	12	media dell'afflusso totale annuo	1311
deviazione standard dell'afflusso totale annuo	101	media coeff. pluviale orario CPP	23.171
dev. standard coeff. pluviale orario CPP	2.872	media esponente CPP	0.519
dev. standard esponente CPP	0.036	coeff. di intensità	0.018
media LCV piogge 1 ora	0.163	dev. standard LCV piogge 1 ora	0.015
media LCV piogge 3 ore	0.162	dev. standard LCV piogge 3 ore	0.013
media LCV piogge 6 ore	0.161	dev. standard LCV piogge 6 ore	0.015
media LCV piogge 12 ore	0.18	dev. standard LCV piogge 12 ore	0.017
media LCV piogge 24 ore	0.197	dev. standard LCV piogge 24 ore	0.015
media LCA piogge 1 ora	0.133	dev. standard LCA piogge 1 ora	0.035
media LCA piogge 3 ore	0.1	dev. standard LCA piogge 3 ore	0.05
media LCA piogge 6 ore	0.096	dev. standard LCA piogge 6 ore	0.053
media LCA piogge 12 ore	0.133	dev. standard LCA piogge 12 ore	0.056
media LCA piogge 24 ore	0.154	dev. standard LCA piogge 24 ore	0.057
media coeff. B1 regime pluviometrico	-35.2	media coeff. C1 regime pluviometrico	-10.4
media coeff. B2 regime pluviometrico	-3.6	media coeff. C2 regime pluviometrico	-36.5
dev. standard regime pluviometrico	38.7	coeff. variaz. regime pluviometrico	0.357
classe 1 corine land cover	0.16	classe 2 corine land cover	44.55
classe 3 corine land cover	27	classe 4 corine land cover	28.31
classe 5 corine land cover	0	media NDVI	0.347
dev. standard NDVI	0.147	media curve number 1	41.5
media curve number 2	59.9	media curve number 3	76.3
dev. standard curve number 1	14.9	dev. standard curve number 2	15.3
dev. standard curve number 3	12.9	media indice di permeabilità vapi	0.469
dev. standard indice di permeabilità vapi	0.16		

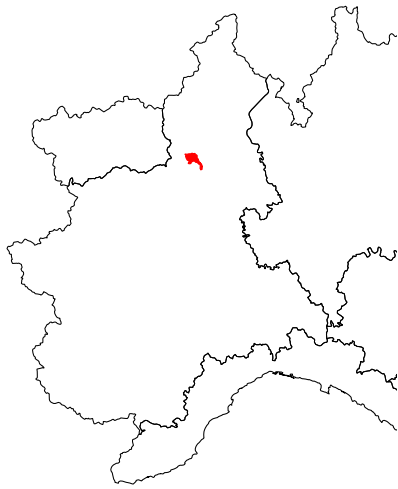


Strona di Omegna a Gravellona Toce

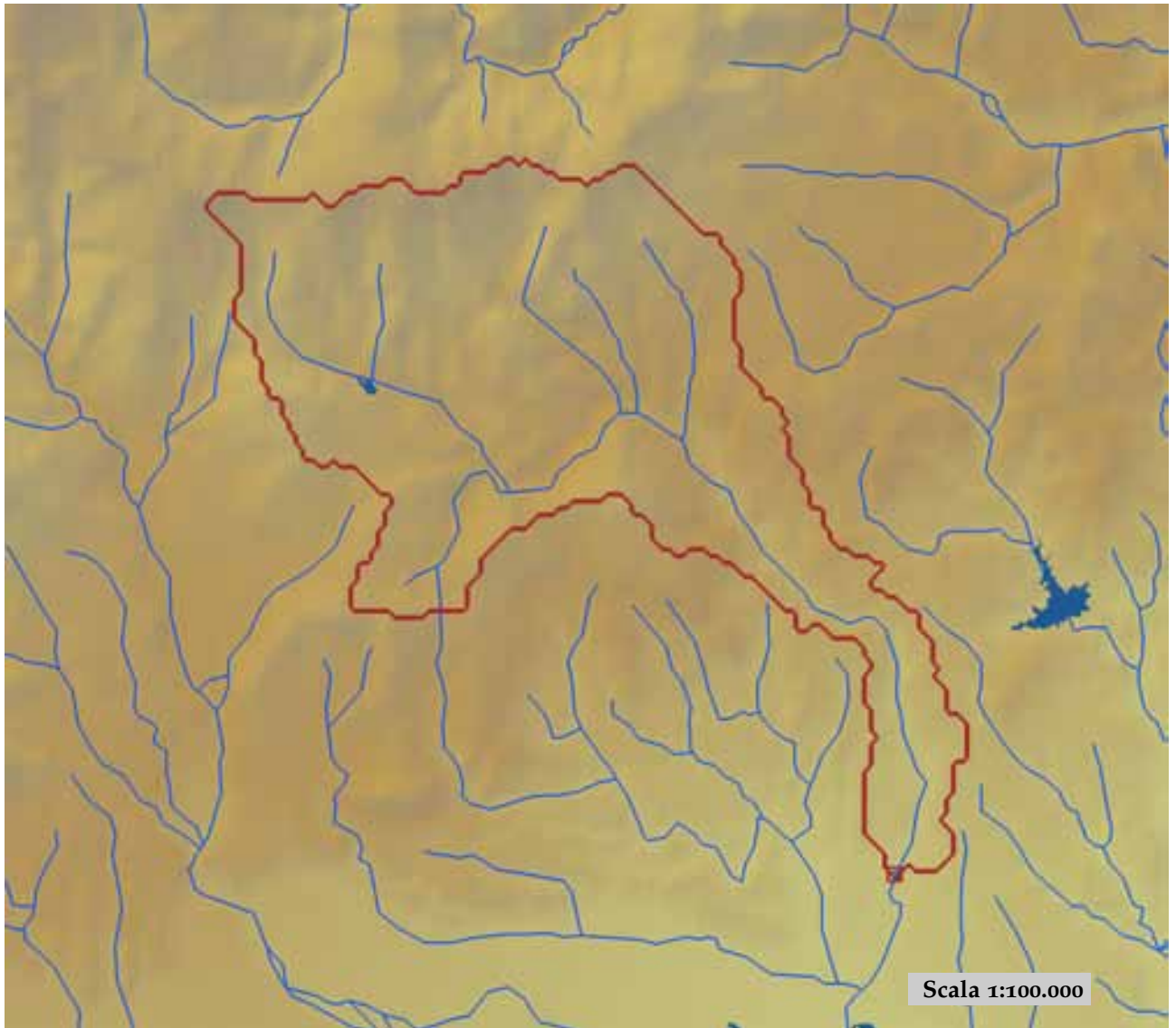


est (UTM ₃₂ N WGS84)	456135	nord (UTM ₃₂ N WGS84)	5086079
est DEM (UTM ₃₂ N WGS84)	456049	nord DEM (UTM ₃₂ N WGS84)	5086152
area bacino	234.83	quota media	877

quota massima	2390	quota minima	213
curva ipsografica 2,5%	1930	curva ipsografica 5%	1788
curva ipsografica 10%	1587	curva ipsografica 25%	1173
curva ipsografica 50%	810	curva ipsografica 75%	470
curva ipsografica 90%	303	curva ipsografica 95%	289
curva ipsografica 97,5%	288	distanza interquartile curva ipsografica	703
angolo di esposizione medio	116	lunghezza vettore orientamento	9.1
pendenza bacino	19.467	pendenza bacino quadrato equivalente	7.805
est baricentro (UTM _{32N} WGS84)	450150	nord baricentro (UTM _{32N} WGS84)	5079250
fattore di forma	0.238	rapporto di allungamento	0.551
media funzione di ampiezza	18045	varianza funzione di ampiezza	3.97×10 ⁷
skewness funzione di ampiezza	-0.561	kurtosis funzione di ampiezza	2.8
rapporto aree medie di due ordini adiacenti	4.238	rapporto di biforcazione	3.969
rapporto lunghezze medie di due ordini adiacenti	2.423	rapporto pendenze medie di due ordini adiacenti	2.208
densità di drenaggio	0.638	diametro topologico	24
lunghezza LDP	31.402	lunghezza asta principale	29.229
lunghezza totale reticolo idrografico	149.8	lunghezza media versanti	706
pendenza media LDP	3	media dell'afflusso totale annuo	2068
deviazione standard dell'afflusso totale annuo	135	media coeff. pluviale orario CPP	32.656
dev. standard coeff. pluviale orario CPP	2.484	media esponente CPP	0.494
dev. standard esponente CPP	0.046	coeff. di intensità	0.016
media LCV piogge 1 ora	0.153	dev. standard LCV piogge 1 ora	0.014
media LCV piogge 3 ore	0.158	dev. standard LCV piogge 3 ore	0.014
media LCV piogge 6 ore	0.148	dev. standard LCV piogge 6 ore	0.012
media LCV piogge 12 ore	0.156	dev. standard LCV piogge 12 ore	0.013
media LCV piogge 24 ore	0.155	dev. standard LCV piogge 24 ore	0.013
media LCA piogge 1 ora	0.12	dev. standard LCA piogge 1 ora	0.044
media LCA piogge 3 ore	0.131	dev. standard LCA piogge 3 ore	0.024
media LCA piogge 6 ore	0.113	dev. standard LCA piogge 6 ore	0.026
media LCA piogge 12 ore	0.131	dev. standard LCA piogge 12 ore	0.023
media LCA piogge 24 ore	0.112	dev. standard LCA piogge 24 ore	0.013
media coeff. B1 regime pluviometrico	-53.8	media coeff. C1 regime pluviometrico	-32
media coeff. B2 regime pluviometrico	-8.1	media coeff. C2 regime pluviometrico	-65.4
dev. standard regime pluviometrico	69.7	coeff. variaz. regime pluviometrico	0.384
classe 1 corine land cover	5.08	classe 2 corine land cover	66.32
classe 3 corine land cover	19.66	classe 4 corine land cover	1.07
classe 5 corine land cover	7.89	media NDVI	0.534
dev. standard NDVI	0.074	media curve number 1	37.8
media curve number 2	55.4	media curve number 3	71
dev. standard curve number 1	14.4	dev. standard curve number 2	18.5
dev. standard curve number 3	21.3	media indice di permeabilità vapi	0.342
dev. standard indice di permeabilità vapi	0.16		

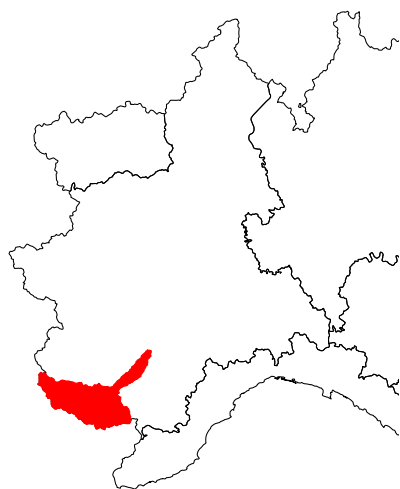


Strona di Vallemosso a Cossato

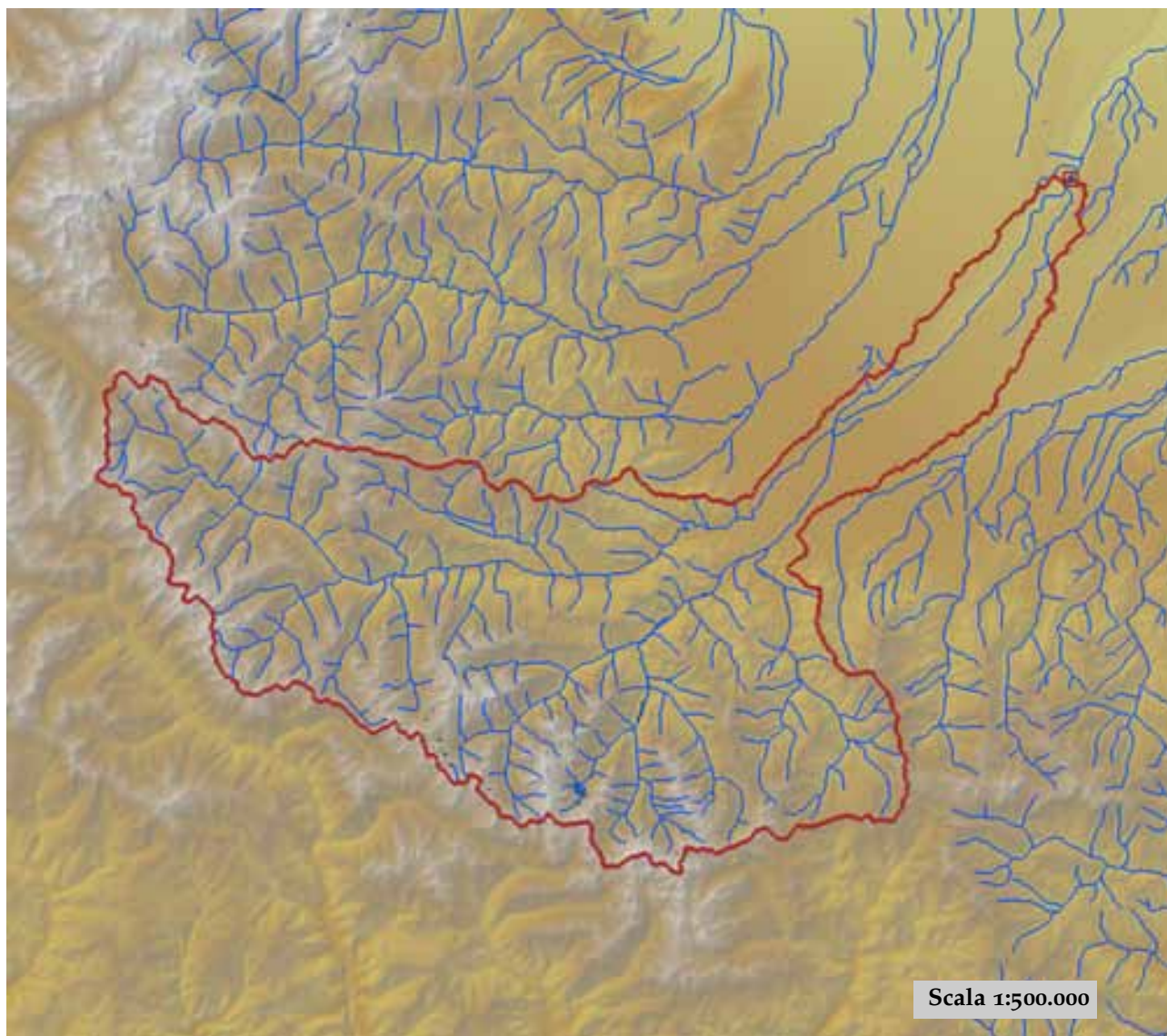


est (UTM _{32N} WGS84)	436248	nord (UTM _{32N} WGS84)	5046479
est DEM (UTM _{32N} WGS84)	436150	nord DEM (UTM _{32N} WGS84)	5047349
area bacino	43.8	quota media	777

quota massima	1616	quota minima	267
curva ipsografica 2,5%	1481	curva ipsografica 5%	1390
curva ipsografica 10%	1251	curva ipsografica 25%	981
curva ipsografica 50%	722	curva ipsografica 75%	541
curva ipsografica 90%	388	curva ipsografica 95%	330
curva ipsografica 97,5%	305	distanza interquartile curva ipsografica	440
angolo di esposizione medio	154	lunghezza vettore orientamento	8.3
pendenza bacino	15.056	pendenza bacino quadrato equivalente	13.78
est baricentro (UTM _{32N} WGS84)	431350	nord baricentro (UTM _{32N} WGS84)	5054150
fattore di forma	0.115	rapporto di allungamento	0.383
media funzione di ampiezza	11991	varianza funzione di ampiezza	2.06×10 ⁷
skewness funzione di ampiezza	-0.763	kurtosis funzione di ampiezza	2.932
rapporto aree medie di due ordini adiacenti	-	rapporto di biforcazione	33.353
rapporto lunghezze medie di due ordini adiacenti	0.761	rapporto pendenze medie di due ordini adiacenti	-
densità di drenaggio	-	diametro topologico	9
lunghezza LDP	19.499	lunghezza asta principale	18.475
lunghezza totale reticolo idrografico	-	lunghezza media versanti	595
pendenza media LDP	7	media dell'afflusso totale annuo	1683
deviazione standard dell'afflusso totale annuo	119	media coeff. pluviale orario CPP	34.452
dev. standard coeff. pluviale orario CPP	0.591	media esponente CPP	0.421
dev. standard esponente CPP	0.024	coeff. di intensità	0.02
media LCV piogge 1 ora	0.156	dev. standard LCV piogge 1 ora	0.013
media LCV piogge 3 ore	0.156	dev. standard LCV piogge 3 ore	0.012
media LCV piogge 6 ore	0.151	dev. standard LCV piogge 6 ore	0.007
media LCV piogge 12 ore	0.155	dev. standard LCV piogge 12 ore	0.01
media LCV piogge 24 ore	0.157	dev. standard LCV piogge 24 ore	0.009
media LCA piogge 1 ora	0.174	dev. standard LCA piogge 1 ora	0.036
media LCA piogge 3 ore	0.251	dev. standard LCA piogge 3 ore	0.021
media LCA piogge 6 ore	0.2	dev. standard LCA piogge 6 ore	0.017
media LCA piogge 12 ore	0.18	dev. standard LCA piogge 12 ore	0.015
media LCA piogge 24 ore	0.201	dev. standard LCA piogge 24 ore	0.011
media coeff. B1 regime pluviometrico	-51.5	media coeff. C1 regime pluviometrico	-18.6
media coeff. B2 regime pluviometrico	2.6	media coeff. C2 regime pluviometrico	-58.7
dev. standard regime pluviometrico	60	coeff. variaz. regime pluviometrico	0.423
classe 1 corine land cover	10.08	classe 2 corine land cover	71.22
classe 3 corine land cover	18.08	classe 4 corine land cover	0.73
classe 5 corine land cover	0	media NDVI	0.576
dev. standard NDVI	0.042	media curve number 1	46.9
media curve number 2	66.5	media curve number 3	82.3
dev. standard curve number 1	5.5	dev. standard curve number 2	4.9
dev. standard curve number 3	3.4	media indice di permeabilità vapi	0.481
dev. standard indice di permeabilità vapi	0.007		



Stura di Demonte a Fossano

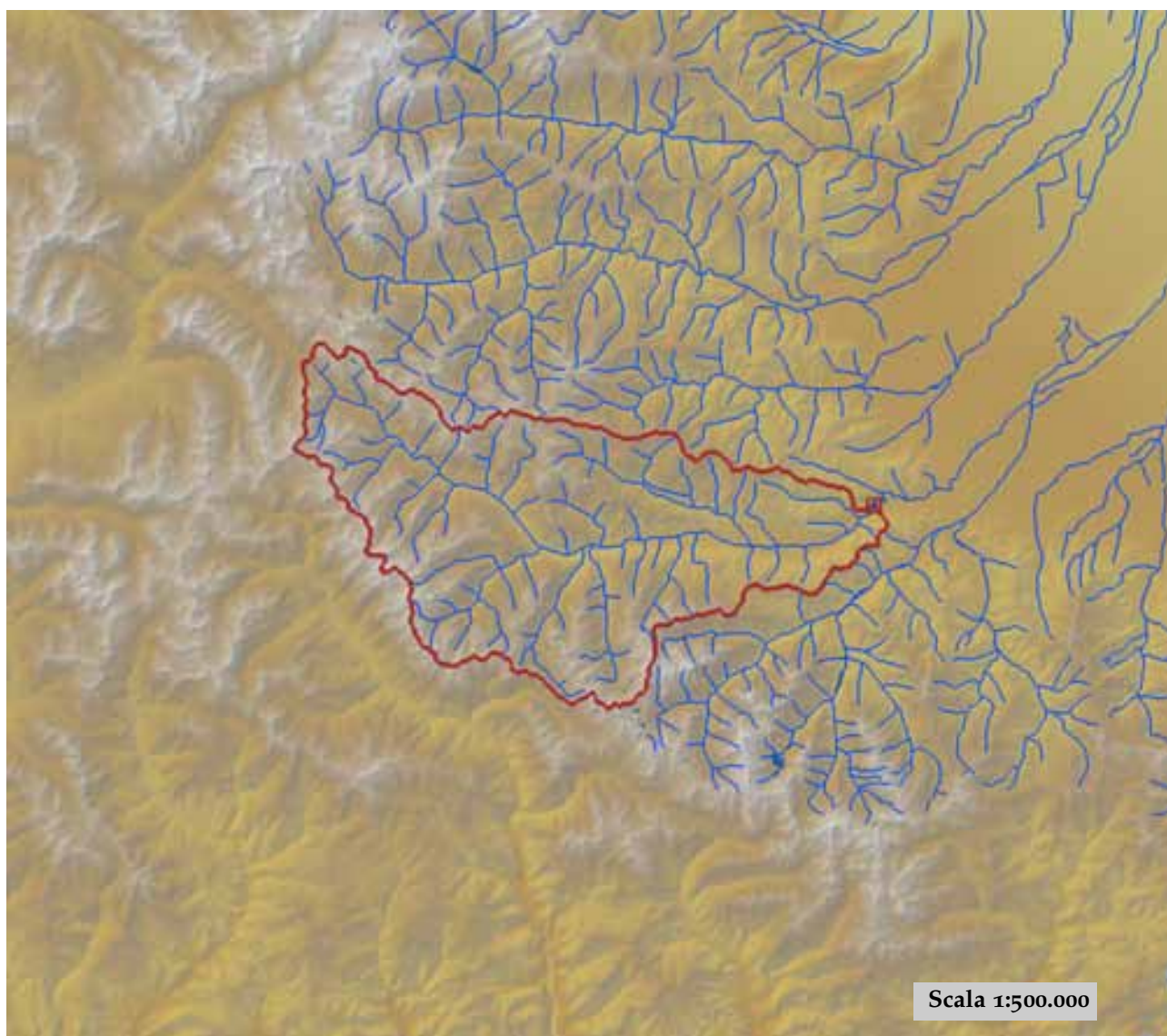


est (UTM ₃₂ N WGS84)	398628	nord (UTM ₃₂ N WGS84)	4930850
est DEM (UTM ₃₂ N WGS84)	402452	nord DEM (UTM ₃₂ N WGS84)	4936127
area bacino	1326.78	quota media	1518

quota massima	3197	quota minima	269
curva ipsografica 2,5%	2647	curva ipsografica 5%	2545
curva ipsografica 10%	2413	curva ipsografica 25%	2108
curva ipsografica 50%	1569	curva ipsografica 75%	931
curva ipsografica 90%	473	curva ipsografica 95%	398
curva ipsografica 97,5%	368	distanza interquartile curva ipsografica	1177
angolo di esposizione medio	42	lunghezza vettore orientamento	46.5
pendenza bacino	21.662	pendenza bacino quadrato equivalente	7.143
est baricentro (UTM _{32N} WGS84)	366950	nord baricentro (UTM _{32N} WGS84)	4906150
fattore di forma	0.122	rapporto di allungamento	0.394
media funzione di ampiezza	62147	varianza funzione di ampiezza	4.90×10 ⁸
skewness funzione di ampiezza	-0.693	kurtosis funzione di ampiezza	3.124
rapporto aree medie di due ordini adiacenti	4.907	rapporto di biforcazione	4.167
rapporto lunghezze medie di due ordini adiacenti	2.507	rapporto pendenze medie di due ordini adiacenti	2.502
densità di drenaggio	0.65	diametro topologico	63
lunghezza LDP	104.268	lunghezza asta principale	102.42
lunghezza totale reticolo idrografico	863	lunghezza media versanti	737
pendenza media LDP	4	media dell'afflusso totale annuo	1173
deviazione standard dell'afflusso totale annuo	172	media coeff. pluviale orario CPP	18.787
dev. standard coeff. pluviale orario CPP	3.709	media esponente CPP	0.472
dev. standard esponente CPP	0.072	coeff. di intensità	0.016
media LCV piogge 1 ora	0.189	dev. standard LCV piogge 1 ora	0.017
media LCV piogge 3 ore	0.155	dev. standard LCV piogge 3 ore	0.013
media LCV piogge 6 ore	0.145	dev. standard LCV piogge 6 ore	0.009
media LCV piogge 12 ore	0.152	dev. standard LCV piogge 12 ore	0.011
media LCV piogge 24 ore	0.163	dev. standard LCV piogge 24 ore	0.008
media LCA piogge 1 ora	0.18	dev. standard LCA piogge 1 ora	0.047
media LCA piogge 3 ore	0.159	dev. standard LCA piogge 3 ore	0.039
media LCA piogge 6 ore	0.143	dev. standard LCA piogge 6 ore	0.043
media LCA piogge 12 ore	0.177	dev. standard LCA piogge 12 ore	0.064
media LCA piogge 24 ore	0.178	dev. standard LCA piogge 24 ore	0.056
media coeff. B1 regime pluviometrico	4.2	media coeff. C1 regime pluviometrico	7.3
media coeff. B2 regime pluviometrico	-4.5	media coeff. C2 regime pluviometrico	-37.8
dev. standard regime pluviometrico	33.1	coeff. variaz. regime pluviometrico	0.318
classe 1 corine land cover	1.78	classe 2 corine land cover	43.62
classe 3 corine land cover	29.64	classe 4 corine land cover	24.9
classe 5 corine land cover	0.07	media NDVI	0.409
dev. standard NDVI	0.144	media curve number 1	40.2
media curve number 2	58.8	media curve number 3	75.4
dev. standard curve number 1	14.5	dev. standard curve number 2	15.1
dev. standard curve number 3	13.3	media indice di permeabilità vapi	0.291
dev. standard indice di permeabilità vapi	0.134		



Stura di Demonte a Gaiola

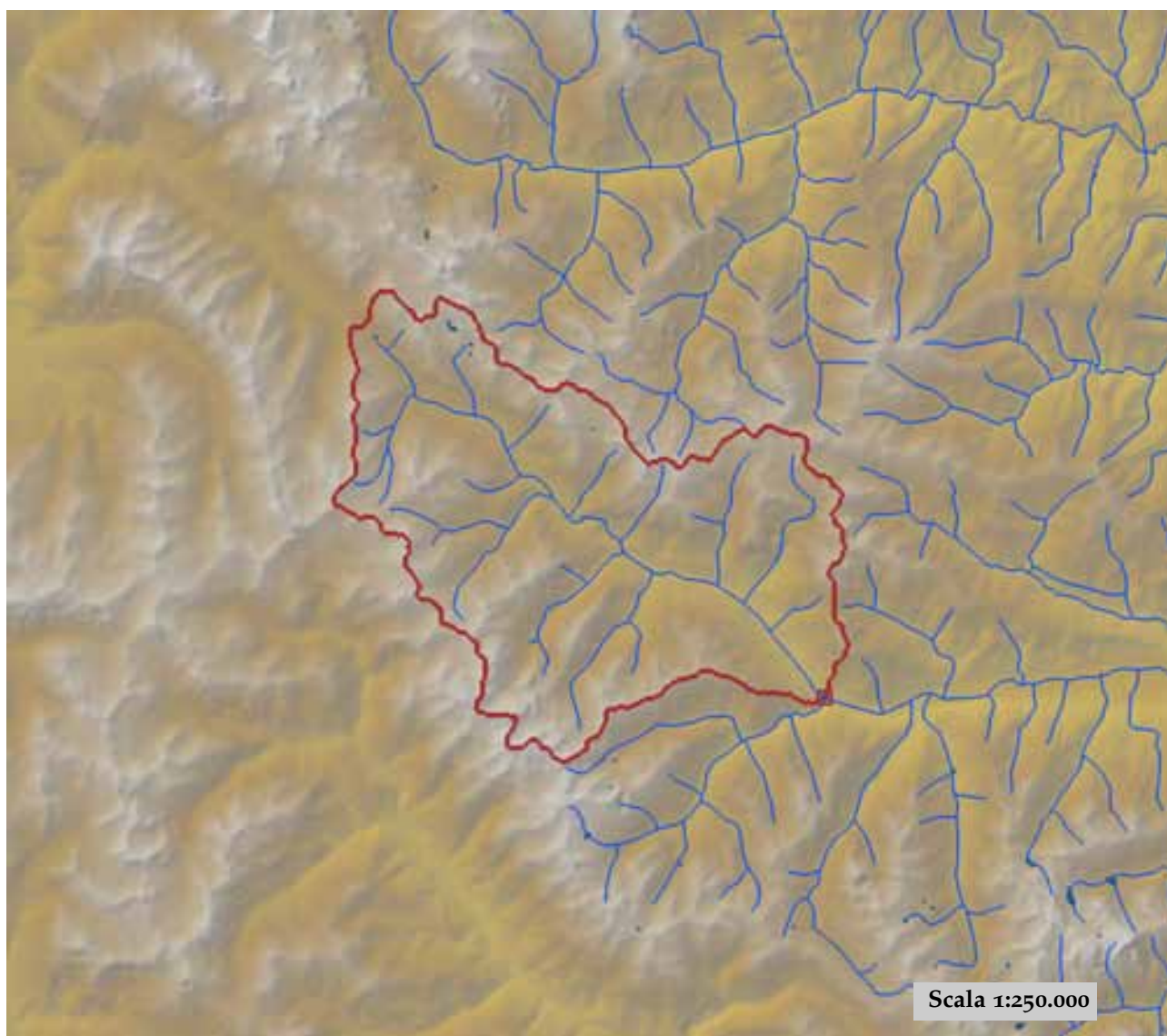


est (UTM ₃₂ N WGS84)	373755	nord (UTM ₃₂ N WGS84)	4909963
est DEM (UTM ₃₂ N WGS84)	373774	nord DEM (UTM ₃₂ N WGS84)	4910281
area bacino	560.4	quota media	1819

quota massima	2957	quota minima	655
curva ipsografica 2,5%	2644	curva ipsografica 5%	2559
curva ipsografica 10%	2457	curva ipsografica 25%	2250
curva ipsografica 50%	1904	curva ipsografica 75%	1424
curva ipsografica 90%	1005	curva ipsografica 95%	825
curva ipsografica 97,5%	751	distanza interquartile curva ipsografica	826
angolo di esposizione medio	69	lunghezza vettore orientamento	22.8
pendenza bacino	24.969	pendenza bacino quadrato equivalente	10.561
est baricentro (UTM _{32N} WGS84)	351050	nord baricentro (UTM _{32N} WGS84)	4908650
fattore di forma	0.163	rapporto di allungamento	0.456
media funzione di ampiezza	32600	varianza funzione di ampiezza	1.82×10 ⁸
skewness funzione di ampiezza	-0.381	kurtosis funzione di ampiezza	2.312
rapporto aree medie di due ordini adiacenti	5.577	rapporto di biforcazione	5.196
rapporto lunghezze medie di due ordini adiacenti	2.865	rapporto pendenze medie di due ordini adiacenti	1.946
densità di drenaggio	0.56	diametro topologico	40
lunghezza LDP	58.594	lunghezza asta principale	56.745
lunghezza totale reticolo idrografico	313.9	lunghezza media versanti	74 ⁰
pendenza media LDP	5	media dell'afflusso totale annuo	1100
deviazione standard dell'afflusso totale annuo	71	media coeff. pluviale orario CPP	15.979
dev. standard coeff. pluviale orario CPP	1.538	media esponente CPP	0.495
dev. standard esponente CPP	0.023	coeff. di intensità	0.015
media LCV piogge 1 ora	0.196	dev. standard LCV piogge 1 ora	0.015
media LCV piogge 3 ore	0.159	dev. standard LCV piogge 3 ore	0.007
media LCV piogge 6 ore	0.142	dev. standard LCV piogge 6 ore	0.007
media LCV piogge 12 ore	0.146	dev. standard LCV piogge 12 ore	0.011
media LCV piogge 24 ore	0.158	dev. standard LCV piogge 24 ore	0.008
media LCA piogge 1 ora	0.178	dev. standard LCA piogge 1 ora	0.028
media LCA piogge 3 ore	0.129	dev. standard LCA piogge 3 ore	0.026
media LCA piogge 6 ore	0.112	dev. standard LCA piogge 6 ore	0.045
media LCA piogge 12 ore	0.128	dev. standard LCA piogge 12 ore	0.042
media LCA piogge 24 ore	0.138	dev. standard LCA piogge 24 ore	0.038
media coeff. B1 regime pluviometrico	2.5	media coeff. C1 regime pluviometrico	2.6
media coeff. B2 regime pluviometrico	-1.4	media coeff. C2 regime pluviometrico	-32.5
dev. standard regime pluviometrico	26.7	coeff. variaz. regime pluviometrico	0.297
classe 1 corine land cover	0.18	classe 2 corine land cover	45.92
classe 3 corine land cover	22.9	classe 4 corine land cover	31
classe 5 corine land cover	0	media NDVI	0.356
dev. standard NDVI	0.134	media curve number 1	40.6
media curve number 2	59.3	media curve number 3	76
dev. standard curve number 1	14.1	dev. standard curve number 2	14.2
dev. standard curve number 3	11.8	media indice di permeabilità vapi	0.253
dev. standard indice di permeabilità vapi	0.111		



Stura di Demonte a Pianche

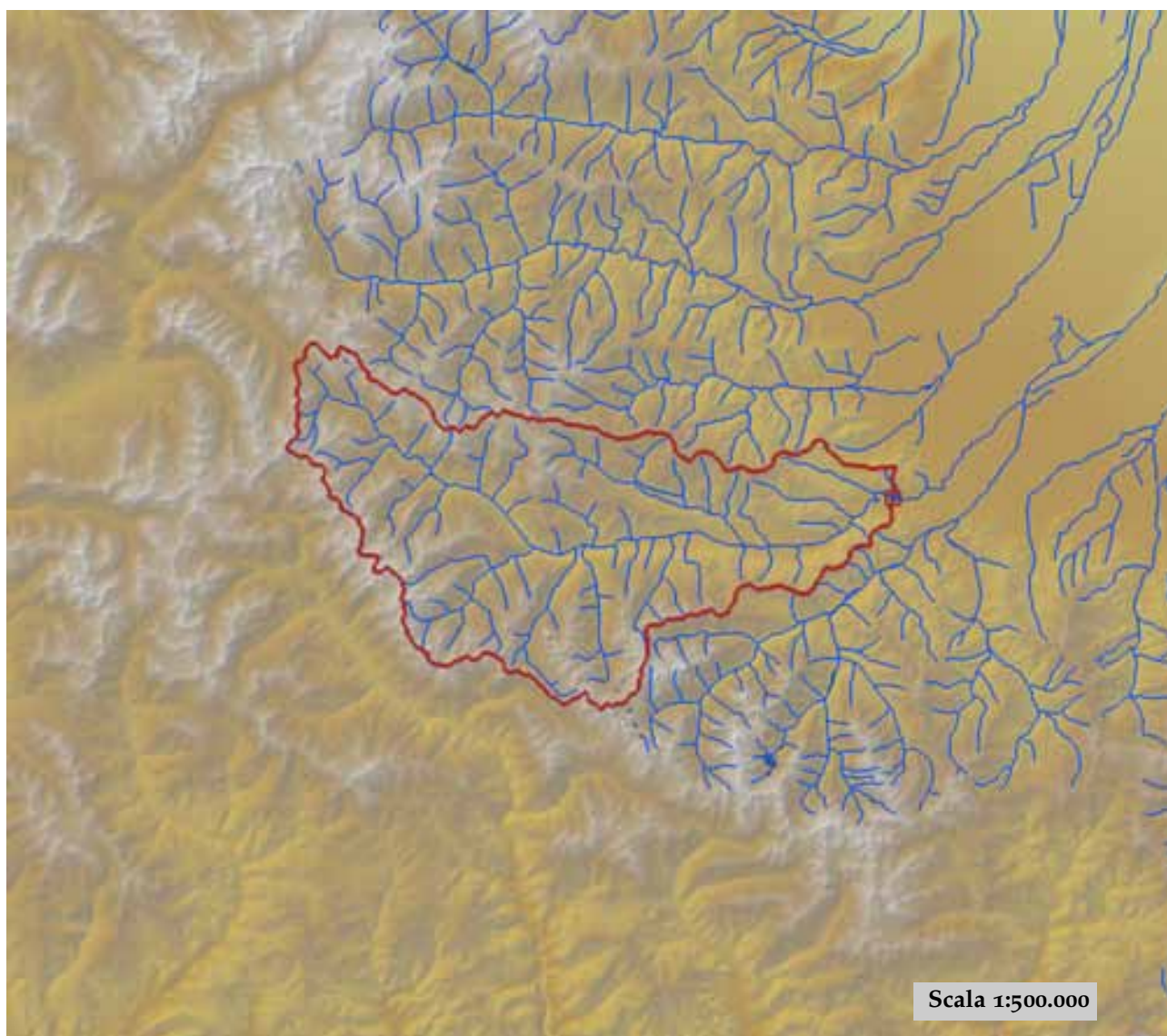


est (UTM _{32N} WGS84)	349597	nord (UTM _{32N} WGS84)	4907221
est DEM (UTM _{32N} WGS84)	349455	nord DEM (UTM _{32N} WGS84)	4907337
area bacino	180.01	quota media	2077

quota massima	2957	quota minima	968
curva ipsografica 2,5%	2706	curva ipsografica 5%	2634
curva ipsografica 10%	2545	curva ipsografica 25%	2382
curva ipsografica 50%	2138	curva ipsografica 75%	1807
curva ipsografica 90%	1494	curva ipsografica 95%	1329
curva ipsografica 97,5%	1209	distanza interquartile curva ipsografica	575
angolo di esposizione medio	97	lunghezza vettore orientamento	10.5
pendenza bacino	25.676	pendenza bacino quadrato equivalente	17.456
est baricentro (UTM _{32N} WGS84)	340750	nord baricentro (UTM _{32N} WGS84)	4913250
fattore di forma	0.24	rapporto di allungamento	0.553
media funzione di ampiezza	14800	varianza funzione di ampiezza	3.55×10 ⁷
skewness funzione di ampiezza	-0.197	kurtosis funzione di ampiezza	2.347
rapporto aree medie di due ordini adiacenti	4.915	rapporto di biforcazione	4.125
rapporto lunghezze medie di due ordini adiacenti	2.201	rapporto pendenze medie di due ordini adiacenti	2.095
densità di drenaggio	0.531	diametro topologico	19
lunghezza LDP	27.395	lunghezza asta principale	25.546
lunghezza totale reticolo idrografico	95.6	lunghezza media versanti	763
pendenza media LDP	9	media dell'afflusso totale annuo	1041
deviazione standard dell'afflusso totale annuo	37	media coeff. pluviale orario CPP	15.12
dev. standard coeff. pluviale orario CPP	0.701	media esponente CPP	0.491
dev. standard esponente CPP	0.014	coeff. di intensità	0.015
media LCV piogge 1 ora	0.199	dev. standard LCV piogge 1 ora	0.011
media LCV piogge 3 ore	0.159	dev. standard LCV piogge 3 ore	0.004
media LCV piogge 6 ore	0.14	dev. standard LCV piogge 6 ore	0.003
media LCV piogge 12 ore	0.135	dev. standard LCV piogge 12 ore	0.003
media LCV piogge 24 ore	0.15	dev. standard LCV piogge 24 ore	0.006
media LCA piogge 1 ora	0.186	dev. standard LCA piogge 1 ora	0.022
media LCA piogge 3 ore	0.117	dev. standard LCA piogge 3 ore	0.018
media LCA piogge 6 ore	0.057	dev. standard LCA piogge 6 ore	0.013
media LCA piogge 12 ore	0.083	dev. standard LCA piogge 12 ore	0.013
media LCA piogge 24 ore	0.096	dev. standard LCA piogge 24 ore	0.016
media coeff. B1 regime pluviometrico	7	media coeff. C1 regime pluviometrico	-0.1
media coeff. B2 regime pluviometrico	-0.1	media coeff. C2 regime pluviometrico	-26.6
dev. standard regime pluviometrico	22.5	coeff. variaz. regime pluviometrico	0.256
classe 1 corine land cover	0	classe 2 corine land cover	31.11
classe 3 corine land cover	25.63	classe 4 corine land cover	43.28
classe 5 corine land cover	0	media NDVI	0.284
dev. standard NDVI	0.104	media curve number 1	44.7
media curve number 2	63.2	media curve number 3	79
dev. standard curve number 1	14.7	dev. standard curve number 2	14.1
dev. standard curve number 3	10.8	media indice di permeabilità vapi	0.273
dev. standard indice di permeabilità vapi	0.123		

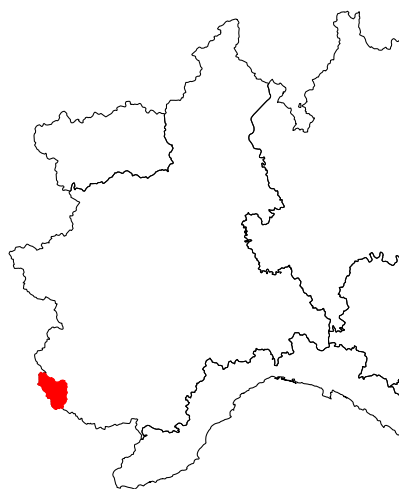


Stura di Demonte a Roccasparvera

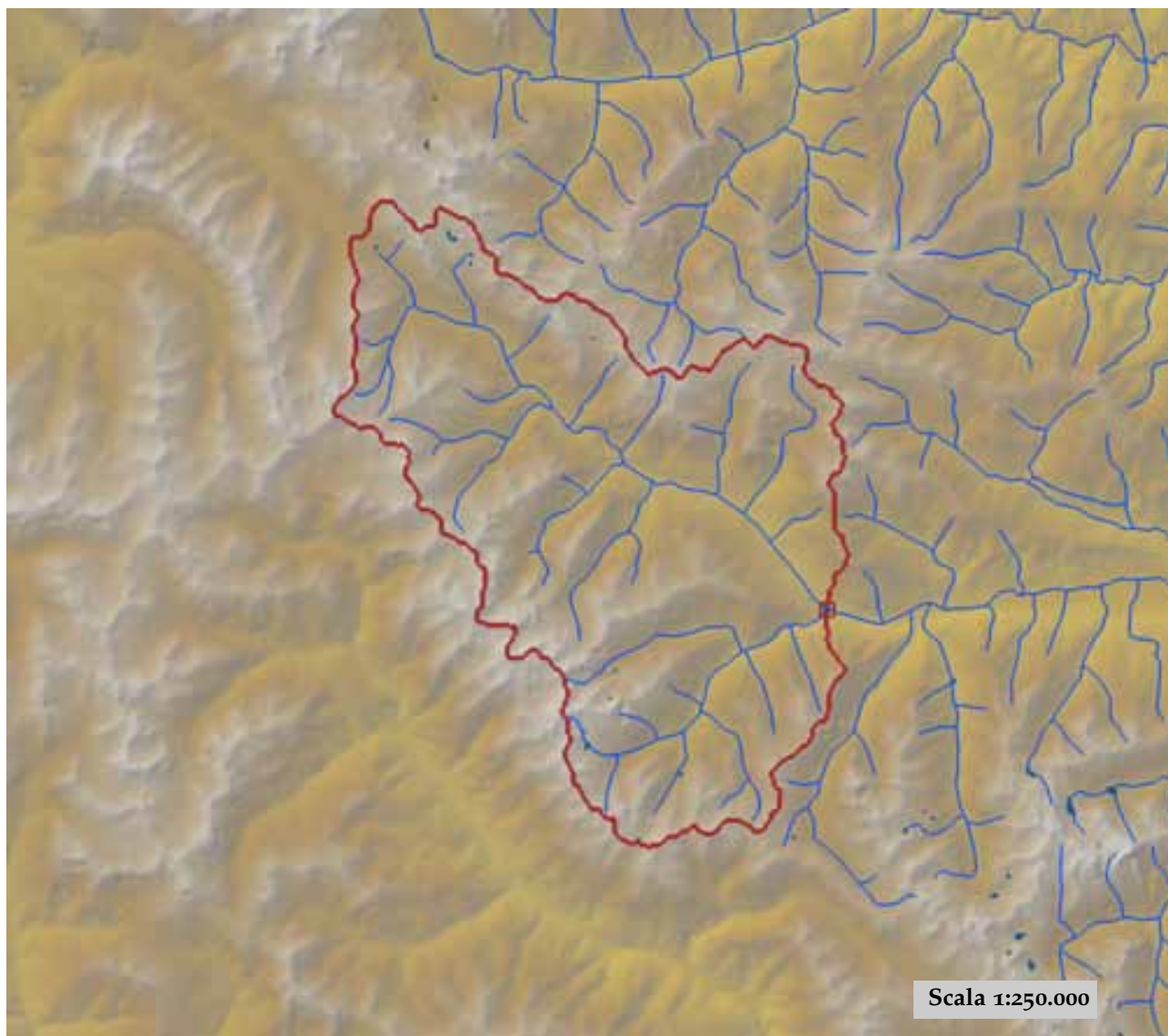


est (UTM ₃₂ N WGS84)	375650	nord (UTM ₃₂ N WGS84)	4910905
est DEM (UTM ₃₂ N WGS84)	375675	nord DEM (UTM ₃₂ N WGS84)	4910840
area bacino	584.17	quota media	1785

quota massima	2957	quota minima	629
curva ipsografica 2,5%	2638	curva ipsografica 5%	2555
curva ipsografica 10%	2450	curva ipsografica 25%	2236
curva ipsografica 50%	1867	curva ipsografica 75%	1356
curva ipsografica 90%	941	curva ipsografica 95%	801
curva ipsografica 97,5%	735	distanza interquartile curva ipsografica	880
angolo di esposizione medio	74	lunghezza vettore orientamento	23.9
pendenza bacino	24.586	pendenza bacino quadrato equivalente	10.253
est baricentro (UTM _{32N} WGS84)	351850	nord baricentro (UTM _{32N} WGS84)	4908750
fattore di forma	0.154	rapporto di allungamento	0.442
media funzione di ampiezza	34448	varianza funzione di ampiezza	2.11 × 10 ⁸
skewness funzione di ampiezza	-0.417	kurtosis funzione di ampiezza	2.281
rapporto aree medie di due ordini adiacenti	5.582	rapporto di biforcazione	5.315
rapporto lunghezze medie di due ordini adiacenti	2.876	rapporto pendenze medie di due ordini adiacenti	1.914
densità di drenaggio	0.559	diametro topologico	43
lunghezza LDP	61.674	lunghezza asta principale	59.825
lunghezza totale reticolo idrografico	326.7	lunghezza media versanti	739
pendenza media LDP	5	media dell'afflusso totale annuo	1103
deviazione standard dell'afflusso totale annuo	71	media coeff. pluviale orario CPP	16.165
dev. standard coeff. pluviale orario CPP	1.777	media esponente CPP	0.492
dev. standard esponente CPP	0.026	coeff. di intensità	0.015
media LCV piogge 1 ora	0.195	dev. standard LCV piogge 1 ora	0.015
media LCV piogge 3 ore	0.159	dev. standard LCV piogge 3 ore	0.007
media LCV piogge 6 ore	0.143	dev. standard LCV piogge 6 ore	0.008
media LCV piogge 12 ore	0.147	dev. standard LCV piogge 12 ore	0.011
media LCV piogge 24 ore	0.158	dev. standard LCV piogge 24 ore	0.008
media LCA piogge 1 ora	0.177	dev. standard LCA piogge 1 ora	0.027
media LCA piogge 3 ore	0.13	dev. standard LCA piogge 3 ore	0.026
media LCA piogge 6 ore	0.114	dev. standard LCA piogge 6 ore	0.045
media LCA piogge 12 ore	0.129	dev. standard LCA piogge 12 ore	0.042
media LCA piogge 24 ore	0.138	dev. standard LCA piogge 24 ore	0.037
media coeff. B1 regime pluviometrico	2	media coeff. C1 regime pluviometrico	2.3
media coeff. B2 regime pluviometrico	-1.3	media coeff. C2 regime pluviometrico	-32.9
dev. standard regime pluviometrico	27.2	coeff. variaz. regime pluviometrico	0.3
classe 1 corine land cover	0.23	classe 2 corine land cover	47.19
classe 3 corine land cover	22.84	classe 4 corine land cover	29.74
classe 5 corine land cover	0	media NDVI	0.366
dev. standard NDVI	0.139	media curve number 1	40.4
media curve number 2	59.2	media curve number 3	75.9
dev. standard curve number 1	14	dev. standard curve number 2	14.1
dev. standard curve number 3	11.7	media indice di permeabilità vapi	0.254
dev. standard indice di permeabilità vapi	0.109		

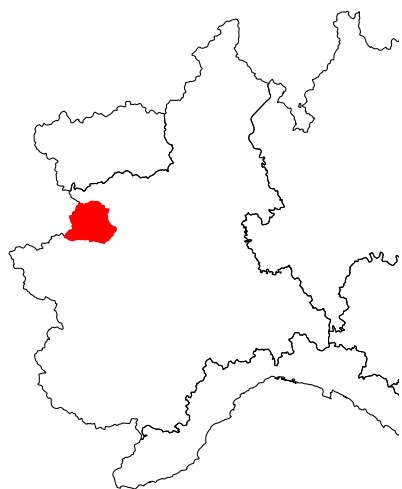


Stura di Demonte a Vinadio

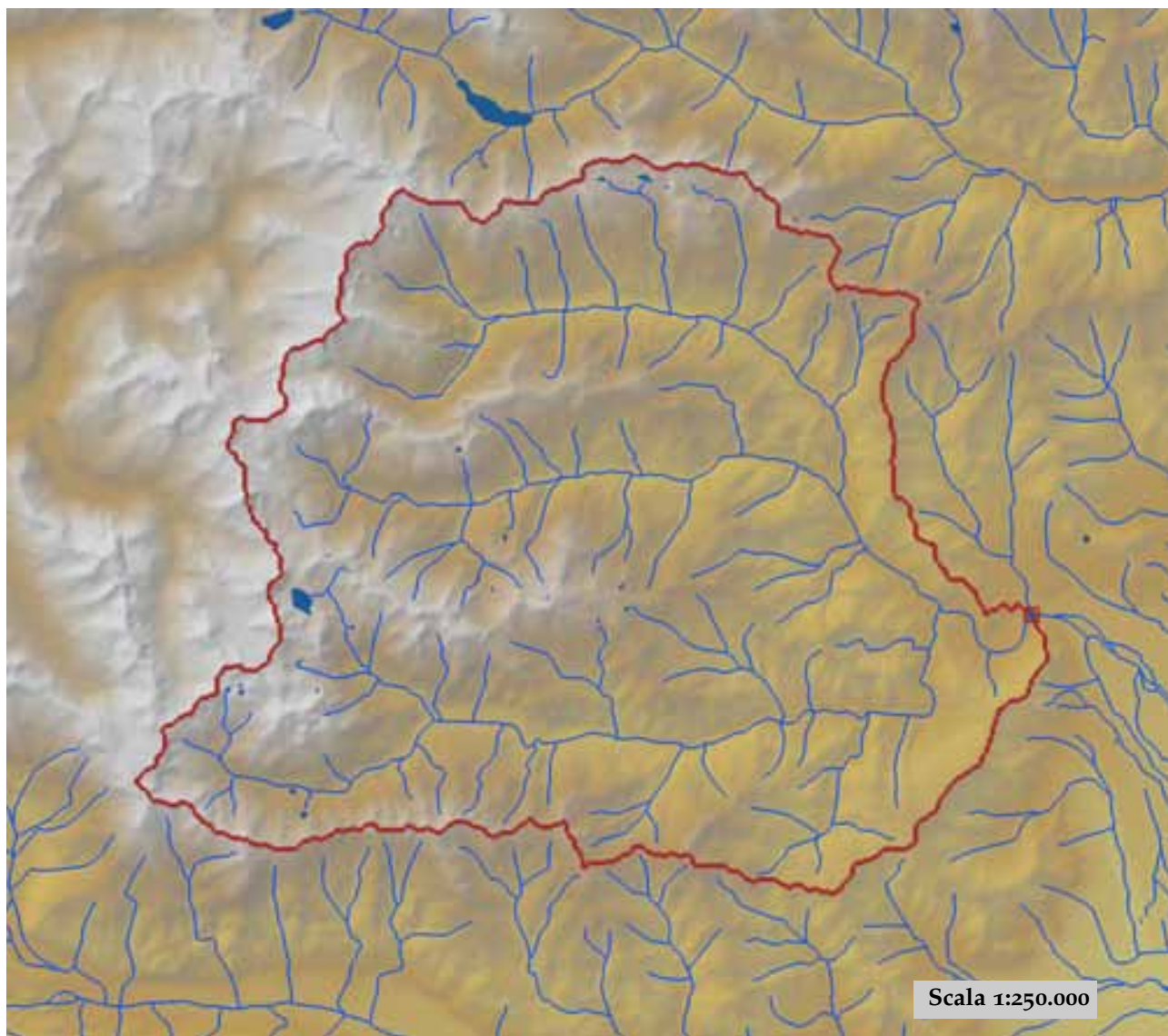


est (UTM ₃₂ N WGS84)	349628	nord (UTM ₃₂ N WGS84)	4907193
est DEM (UTM ₃₂ N WGS84)	349551	nord DEM (UTM ₃₂ N WGS84)	4907252
area bacino	249.55	quota media	2082

quota massima	2957	quota minima	968
curva ipsografica 2,5%	2716	curva ipsografica 5%	2642
curva ipsografica 10%	2548	curva ipsografica 25%	2383
curva ipsografica 50%	2135	curva ipsografica 75%	1815
curva ipsografica 90%	1509	curva ipsografica 95%	1353
curva ipsografica 97,5%	1236	distanza interquartile curva ipsografica	568
angolo di esposizione medio	74	lunghezza vettore orientamento	8.4
pendenza bacino	26.25	pendenza bacino quadrato equivalente	14.787
est baricentro (UTM _{32N} WGS84)	341850	nord baricentro (UTM _{32N} WGS84)	4910650
fattore di forma	0.329	rapporto di allungamento	0.647
media funzione di ampiezza	13121	varianza funzione di ampiezza	3.69×10 ⁷
skewness funzione di ampiezza	0.193	kurtosis funzione di ampiezza	2.248
rapporto aree medie di due ordini adiacenti	6.55	rapporto di biforcazione	4.848
rapporto lunghezze medie di due ordini adiacenti	3.056	rapporto pendenze medie di due ordini adiacenti	2.378
densità di drenaggio	0.538	diametro topologico	20
lunghezza LDP	27.536	lunghezza asta principale	25.688
lunghezza totale reticolo idrografico	134.3	lunghezza media versanti	746
pendenza media LDP	9	media dell'afflusso totale annuo	1079
deviazione standard dell'afflusso totale annuo	82	media coeff. pluviale orario CPP	15.617
dev. standard coeff. pluviale orario CPP	1.156	media esponente CPP	0.491
dev. standard esponente CPP	0.014	coeff. di intensità	0.014
media LCV piogge 1 ora	0.198	dev. standard LCV piogge 1 ora	0.01
media LCV piogge 3 ore	0.158	dev. standard LCV piogge 3 ore	0.004
media LCV piogge 6 ore	0.138	dev. standard LCV piogge 6 ore	0.004
media LCV piogge 12 ore	0.138	dev. standard LCV piogge 12 ore	0.006
media LCV piogge 24 ore	0.153	dev. standard LCV piogge 24 ore	0.007
media LCA piogge 1 ora	0.177	dev. standard LCA piogge 1 ora	0.025
media LCA piogge 3 ore	0.11	dev. standard LCA piogge 3 ore	0.02
media LCA piogge 6 ore	0.07	dev. standard LCA piogge 6 ore	0.026
media LCA piogge 12 ore	0.096	dev. standard LCA piogge 12 ore	0.025
media LCA piogge 24 ore	0.109	dev. standard LCA piogge 24 ore	0.027
media coeff. B1 regime pluviometrico	7.9	media coeff. C1 regime pluviometrico	1.1
media coeff. B2 regime pluviometrico	0.6	media coeff. C2 regime pluviometrico	-29.5
dev. standard regime pluviometrico	24.7	coeff. variaz. regime pluviometrico	0.279
classe 1 corine land cover	0	classe 2 corine land cover	32.82
classe 3 corine land cover	22.03	classe 4 corine land cover	45.17
classe 5 corine land cover	0	media NDVI	0.285
dev. standard NDVI	0.107	media curve number 1	41.9
media curve number 2	60.3	media curve number 3	76.7
dev. standard curve number 1	15.5	dev. standard curve number 2	15.1
dev. standard curve number 3	11.8	media indice di permeabilità vapi	0.273
dev. standard indice di permeabilità vapi	0.118		



Stura di Lanzo a Lanzo

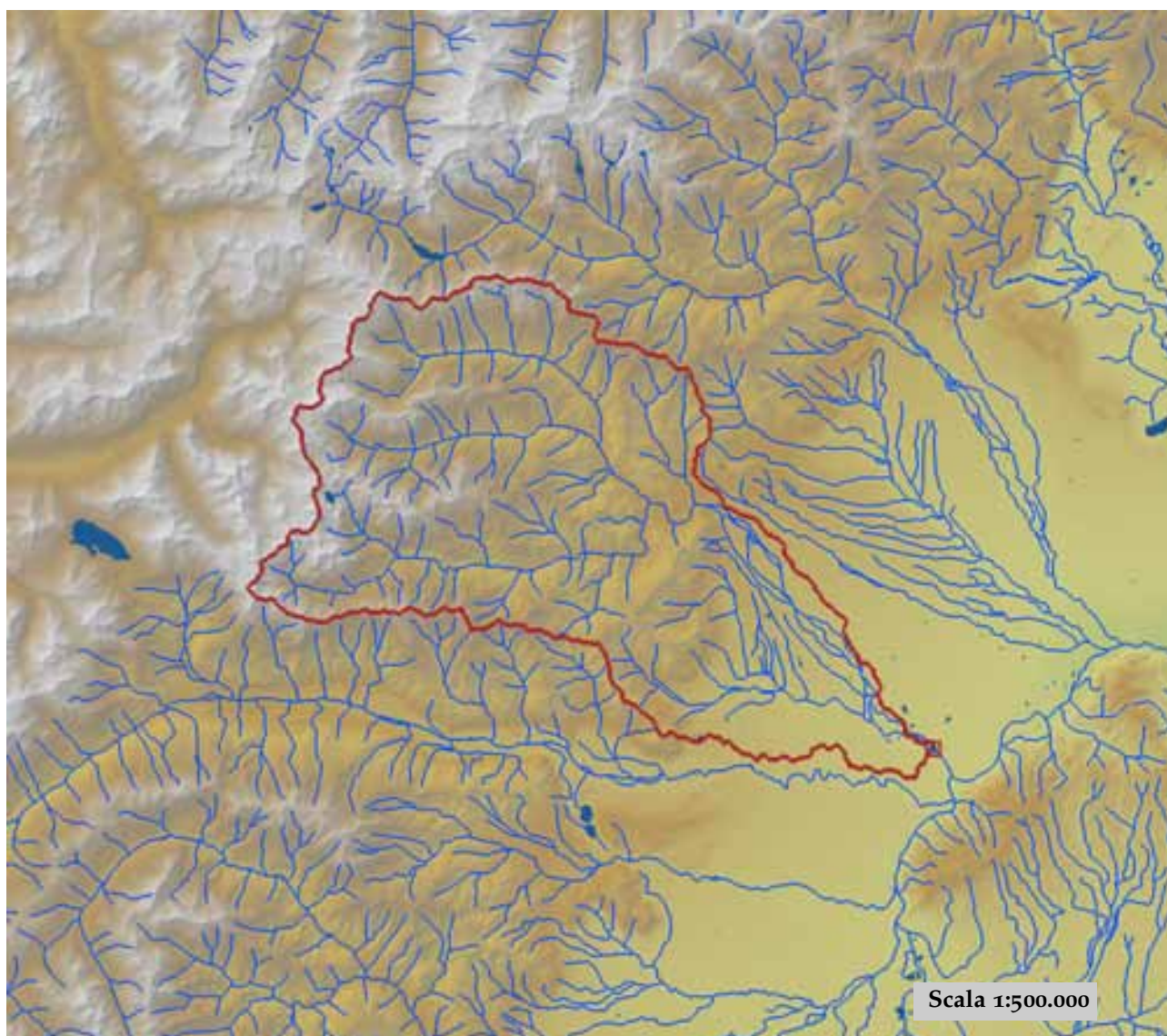


est (UTM ₃₂ N WGS84)	380982	nord (UTM ₃₂ N WGS84)	5013879
est DEM (UTM ₃₂ N WGS84)	380917	nord DEM (UTM ₃₂ N WGS84)	5014005
area bacino	578.31	quota media	1780

quota massima	3618	quota minima	455
curva ipsografica 2,5%	3110	curva ipsografica 5%	2914
curva ipsografica 10%	2701	curva ipsografica 25%	2281
curva ipsografica 50%	1755	curva ipsografica 75%	1234
curva ipsografica 90%	895	curva ipsografica 95%	756
curva ipsografica 97,5%	665	distanza interquartile curva ipsografica	1047
angolo di esposizione medio	106	lunghezza vettore orientamento	16
pendenza bacino	25.462	pendenza bacino quadrato equivalente	10.82
est baricentro (UTM _{32N} WGS84)	365150	nord baricentro (UTM _{32N} WGS84)	5016450
fattore di forma	0.342	rapporto di allungamento	0.66
media funzione di ampiezza	25550	varianza funzione di ampiezza	8.55×10 ⁷
skewness funzione di ampiezza	-0.236	kurtosis funzione di ampiezza	2.427
rapporto aree medie di due ordini adiacenti	5.076	rapporto di biforcazione	4.274
rapporto lunghezze medie di due ordini adiacenti	2.916	rapporto pendenze medie di due ordini adiacenti	2.132
densità di drenaggio	0.559	diametro topologico	31
lunghezza LDP	41.096	lunghezza asta principale	39.972
lunghezza totale reticolo idrografico	323.3	lunghezza media versanti	793
pendenza media LDP	8	media dell'afflusso totale annuo	1280
deviazione standard dell'afflusso totale annuo	86	media coeff. pluviale orario CPP	21.914
dev. standard coeff. pluviale orario CPP	4.621	media esponente CPP	0.519
dev. standard esponente CPP	0.036	coeff. di intensità	0.017
media LCV piogge 1 ora	0.179	dev. standard LCV piogge 1 ora	0.012
media LCV piogge 3 ore	0.175	dev. standard LCV piogge 3 ore	0.016
media LCV piogge 6 ore	0.176	dev. standard LCV piogge 6 ore	0.014
media LCV piogge 12 ore	0.191	dev. standard LCV piogge 12 ore	0.014
media LCV piogge 24 ore	0.211	dev. standard LCV piogge 24 ore	0.017
media LCA piogge 1 ora	0.145	dev. standard LCA piogge 1 ora	0.036
media LCA piogge 3 ore	0.157	dev. standard LCA piogge 3 ore	0.025
media LCA piogge 6 ore	0.195	dev. standard LCA piogge 6 ore	0.029
media LCA piogge 12 ore	0.221	dev. standard LCA piogge 12 ore	0.03
media LCA piogge 24 ore	0.245	dev. standard LCA piogge 24 ore	0.032
media coeff. B1 regime pluviometrico	-26.7	media coeff. C1 regime pluviometrico	-3.2
media coeff. B2 regime pluviometrico	-5.5	media coeff. C2 regime pluviometrico	-43.5
dev. standard regime pluviometrico	38.9	coeff. variaz. regime pluviometrico	0.364
classe 1 corine land cover	0.38	classe 2 corine land cover	46.09
classe 3 corine land cover	18.97	classe 4 corine land cover	34.48
classe 5 corine land cover	0.09	media NDVI	0.345
dev. standard NDVI	0.164	media curve number 1	39.2
media curve number 2	57.2	media curve number 3	73.5
dev. standard curve number 1	16.8	dev. standard curve number 2	17.5
dev. standard curve number 3	15.6	media indice di permeabilità vapi	0.596
dev. standard indice di permeabilità vapi	0.184		



Stura di Lanzo a Torino

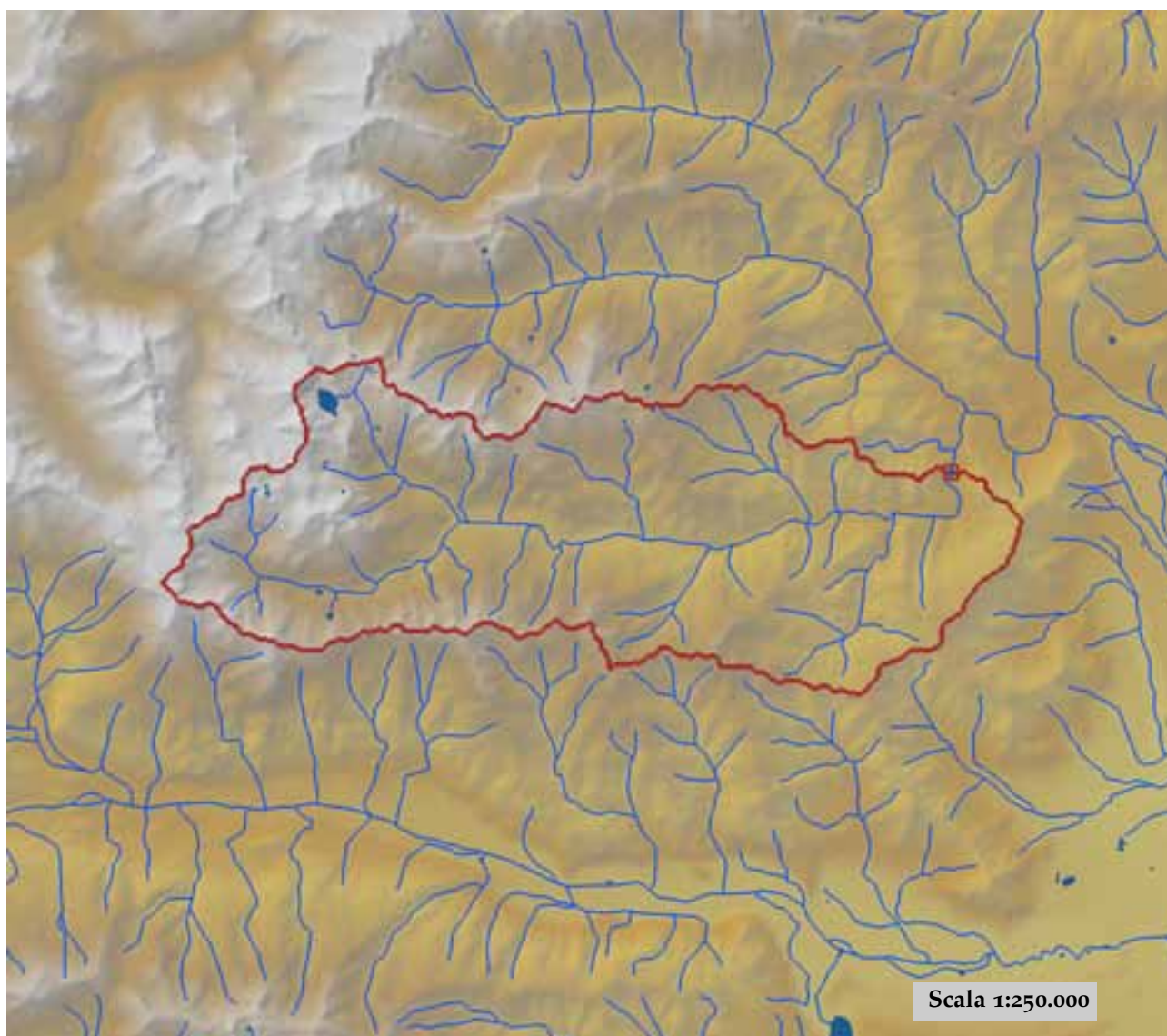


est (UTM32N WGS84)	398253	nord (UTM32N WGS84)	4996117
est DEM (UTM32N WGS84)	398251	nord DEM (UTM32N WGS84)	4996249
area bacino	879.97	quota media	1368

quota massima	3618	quota minima	214
curva ipsografica 2,5%	2998	curva ipsografica 5%	2784
curva ipsografica 10%	2537	curva ipsografica 25%	2007
curva ipsografica 50%	1289	curva ipsografica 75%	637
curva ipsografica 90%	318	curva ipsografica 95%	277
curva ipsografica 97,5%	258	distanza interquartile curva ipsografica	1370
angolo di esposizione medio	112	lunghezza vettore orientamento	31.3
pendenza bacino	19.859	pendenza bacino quadrato equivalente	7.255
est baricentro (UTM _{32N} WGS84)	371650	nord baricentro (UTM _{32N} WGS84)	5012750
fattore di forma	0.174	rapporto di allungamento	0.471
media funzione di ampiezza	44175	varianza funzione di ampiezza	3.32×10 ⁸
skewness funzione di ampiezza	-0.455	kurtosis funzione di ampiezza	2.072
rapporto aree medie di due ordini adiacenti	4.817	rapporto di biforcazione	4.303
rapporto lunghezze medie di due ordini adiacenti	2.522	rapporto pendenze medie di due ordini adiacenti	2.148
densità di drenaggio	0.649	diametro topologico	47
lunghezza LDP	71.015	lunghezza asta principale	69.891
lunghezza totale reticolo idrografico	570.9	lunghezza media versanti	778
pendenza media LDP	5	media dell'afflusso totale annuo	1241
deviazione standard dell'afflusso totale annuo	123	media coeff. pluviale orario CPP	24.405
dev. standard coeff. pluviale orario CPP	5.223	media esponente CPP	0.473
dev. standard esponente CPP	0.077	coeff. di intensità	0.02
media LCV piogge 1 ora	0.176	dev. standard LCV piogge 1 ora	0.013
media LCV piogge 3 ore	0.172	dev. standard LCV piogge 3 ore	0.017
media LCV piogge 6 ore	0.173	dev. standard LCV piogge 6 ore	0.015
media LCV piogge 12 ore	0.185	dev. standard LCV piogge 12 ore	0.018
media LCV piogge 24 ore	0.203	dev. standard LCV piogge 24 ore	0.021
media LCA piogge 1 ora	0.142	dev. standard LCA piogge 1 ora	0.036
media LCA piogge 3 ore	0.158	dev. standard LCA piogge 3 ore	0.033
media LCA piogge 6 ore	0.186	dev. standard LCA piogge 6 ore	0.037
media LCA piogge 12 ore	0.209	dev. standard LCA piogge 12 ore	0.036
media LCA piogge 24 ore	0.231	dev. standard LCA piogge 24 ore	0.041
media coeff. B1 regime pluviometrico	-28.6	media coeff. C1 regime pluviometrico	-3.1
media coeff. B2 regime pluviometrico	-4.3	media coeff. C2 regime pluviometrico	-41.6
dev. standard regime pluviometrico	39.3	coeff. variaz. regime pluviometrico	0.382
classe 1 corine land cover	3.57	classe 2 corine land cover	42.92
classe 3 corine land cover	28.98	classe 4 corine land cover	24.46
classe 5 corine land cover	0.07	media NDVI	0.408
dev. standard NDVI	0.165	media curve number 1	40.8
media curve number 2	59	media curve number 3	75.1
dev. standard curve number 1	15.7	dev. standard curve number 2	16.6
dev. standard curve number 3	15.3	media indice di permeabilità vapi	0.565
dev. standard indice di permeabilità vapi	0.176		

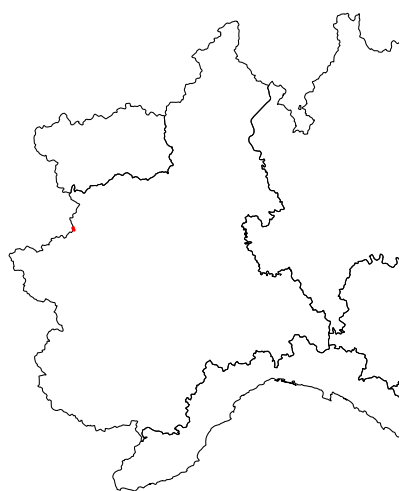


Stura di Viù a Germagnano

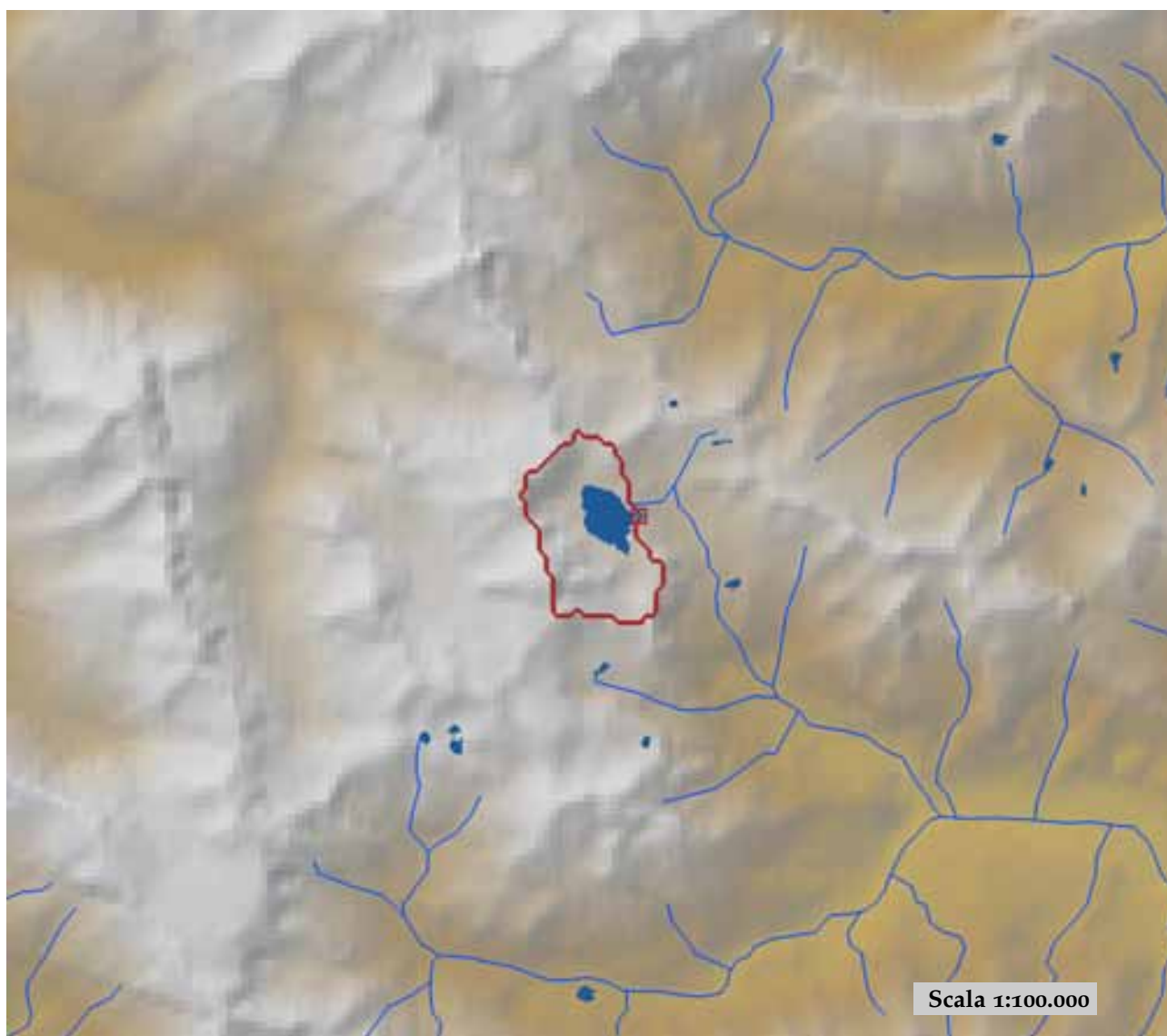


est (UTM ₃₂ N WGS84)	377063	nord (UTM ₃₂ N WGS84)	5011307
est DEM (UTM ₃₂ N WGS84)	377051	nord DEM (UTM ₃₂ N WGS84)	5011955
area bacino	233.05	quota media	1759

quota massima	3526	quota minima	563
curva ipsografica 2,5%	3105	curva ipsografica 5%	2940
curva ipsografica 10%	2736	curva ipsografica 25%	2235
curva ipsografica 50%	1692	curva ipsografica 75%	1219
curva ipsografica 90%	922	curva ipsografica 95%	804
curva ipsografica 97,5%	733	distanza interquartile curva ipsografica	1016
angolo di esposizione medio	90	lunghezza vettore orientamento	13.1
pendenza bacino	24.783	pendenza bacino quadrato equivalente	14.804
est baricentro (UTM _{32N} WGS84)	364150	nord baricentro (UTM _{32N} WGS84)	5009750
fattore di forma	0.169	rapporto di allungamento	0.464
media funzione di ampiezza	19017	varianza funzione di ampiezza	8.56×10 ⁷
skewness funzione di ampiezza	0.086	kurtosis funzione di ampiezza	1.946
rapporto aree medie di due ordini adiacenti	3.734	rapporto di biforcazione	4.509
rapporto lunghezze medie di due ordini adiacenti	2.17	rapporto pendenze medie di due ordini adiacenti	1.709
densità di drenaggio	0.562	diametro topologico	34
lunghezza LDP	37.099	lunghezza asta principale	35.733
lunghezza totale reticolo idrografico	131	lunghezza media versanti	773
pendenza media LDP	8	media dell'afflusso totale annuo	1249
deviazione standard dell'afflusso totale annuo	102	media coeff. pluviale orario CPP	21.362
dev. standard coeff. pluviale orario CPP	5.02	media esponente CPP	0.515
dev. standard esponente CPP	0.026	coeff. di intensità	0.017
media LCV piogge 1 ora	0.179	dev. standard LCV piogge 1 ora	0.009
media LCV piogge 3 ore	0.176	dev. standard LCV piogge 3 ore	0.009
media LCV piogge 6 ore	0.18	dev. standard LCV piogge 6 ore	0.015
media LCV piogge 12 ore	0.199	dev. standard LCV piogge 12 ore	0.016
media LCV piogge 24 ore	0.22	dev. standard LCV piogge 24 ore	0.019
media LCA piogge 1 ora	0.127	dev. standard LCA piogge 1 ora	0.037
media LCA piogge 3 ore	0.149	dev. standard LCA piogge 3 ore	0.028
media LCA piogge 6 ore	0.212	dev. standard LCA piogge 6 ore	0.03
media LCA piogge 12 ore	0.245	dev. standard LCA piogge 12 ore	0.024
media LCA piogge 24 ore	0.266	dev. standard LCA piogge 24 ore	0.031
media coeff. B1 regime pluviometrico	-29.3	media coeff. C1 regime pluviometrico	-1.5
media coeff. B2 regime pluviometrico	-4.9	media coeff. C2 regime pluviometrico	-41.2
dev. standard regime pluviometrico	39.2	coeff. variaz. regime pluviometrico	0.369
classe 1 corine land cover	0.16	classe 2 corine land cover	45.52
classe 3 corine land cover	22.3	classe 4 corine land cover	31.83
classe 5 corine land cover	0.22	media NDVI	0.361
dev. standard NDVI	0.15	media curve number 1	37.6
media curve number 2	55.7	media curve number 3	72.6
dev. standard curve number 1	16.5	dev. standard curve number 2	16.8
dev. standard curve number 3	14.3	media indice di permeabilità vapi	0.543
dev. standard indice di permeabilità vapi	0.185		

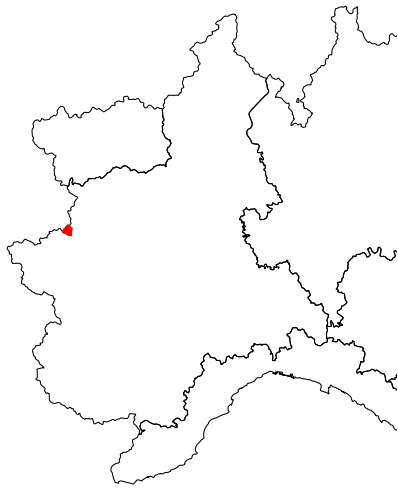


Stura di Viù a Lago della Rossa

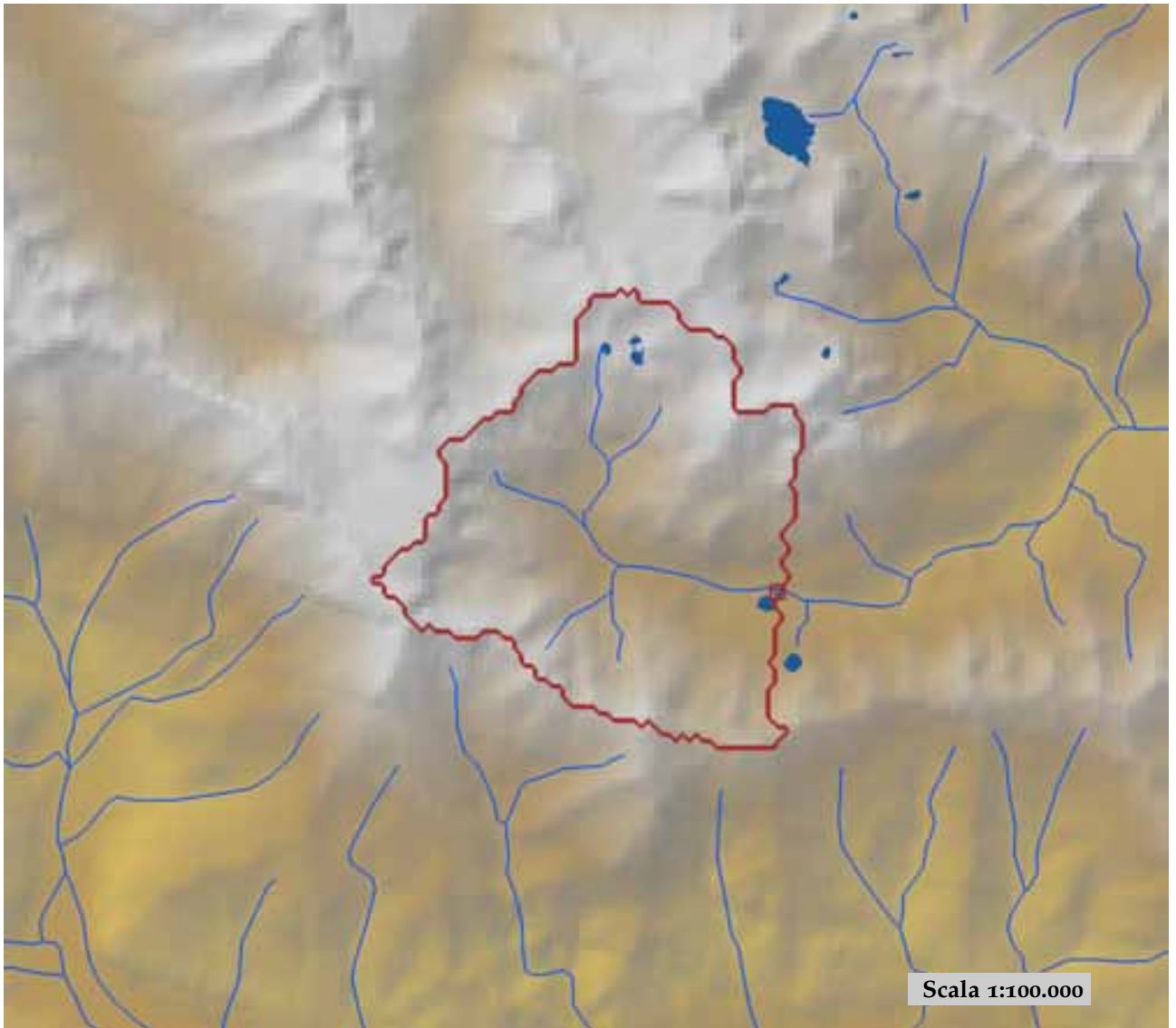


est (UTM ₃₂ N WGS84)	354795	nord (UTM ₃₂ N WGS84)	5014526
est DEM (UTM ₃₂ N WGS84)	354850	nord DEM (UTM ₃₂ N WGS84)	5014547
area bacino	3.71	quota media	2962

quota massima	3526	quota minima	2693
curva ipsografica 2,5%	3475	curva ipsografica 5%	3438
curva ipsografica 10%	3346	curva ipsografica 25%	3167
curva ipsografica 50%	2878	curva ipsografica 75%	2747
curva ipsografica 90%	2699	curva ipsografica 95%	2697
curva ipsografica 97,5%	2696	distanza interquartile curva ipsografica	420
angolo di esposizione medio	78	lunghezza vettore orientamento	0.7
pendenza bacino	27.37	pendenza bacino quadrato equivalente	19.313
est baricentro (UTM _{32N} WGS84)	354150	nord baricentro (UTM _{32N} WGS84)	5014350
fattore di forma	0.408	rapporto di allungamento	0.721
media funzione di ampiezza	1577	varianza funzione di ampiezza	4.25×10 ⁵
skewness funzione di ampiezza	0.605	kurtosis funzione di ampiezza	3.944
rapporto aree medie di due ordini adiacenti	-	rapporto di biforcazione	1.507
rapporto lunghezze medie di due ordini adiacenti	0.406	rapporto pendenze medie di due ordini adiacenti	-
densità di drenaggio	-	diametro topologico	2
lunghezza LDP	3.014	lunghezza asta principale	0.824
lunghezza totale reticolo idrografico	-	lunghezza media versanti	708
pendenza media LDP	17	media dell'afflusso totale annuo	1120
deviazione standard dell'afflusso totale annuo	23	media coeff. pluviale orario CPP	15.093
dev. standard coeff. pluviale orario CPP	0.327	media esponente CPP	0.541
dev. standard esponente CPP	0.008	coeff. di intensità	0.013
media LCV piogge 1 ora	0.185	dev. standard LCV piogge 1 ora	0.003
media LCV piogge 3 ore	0.165	dev. standard LCV piogge 3 ore	0.001
media LCV piogge 6 ore	0.16	dev. standard LCV piogge 6 ore	0.002
media LCV piogge 12 ore	0.176	dev. standard LCV piogge 12 ore	0.002
media LCV piogge 24 ore	0.191	dev. standard LCV piogge 24 ore	0.002
media LCA piogge 1 ora	0.148	dev. standard LCA piogge 1 ora	0.003
media LCA piogge 3 ore	0.133	dev. standard LCA piogge 3 ore	0.003
media LCA piogge 6 ore	0.169	dev. standard LCA piogge 6 ore	0.004
media LCA piogge 12 ore	0.212	dev. standard LCA piogge 12 ore	0.002
media LCA piogge 24 ore	0.202	dev. standard LCA piogge 24 ore	0.006
media coeff. B1 regime pluviometrico	-27.6	media coeff. C1 regime pluviometrico	-9.3
media coeff. B2 regime pluviometrico	-4.9	media coeff. C2 regime pluviometrico	-28.4
dev. standard regime pluviometrico	32	coeff. variaz. regime pluviometrico	0.327
classe 1 corine land cover	0	classe 2 corine land cover	0
classe 3 corine land cover	0	classe 4 corine land cover	86.96
classe 5 corine land cover	13.86	media NDVI	0.04
dev. standard NDVI	0.027	media curve number 1	49.1
media curve number 2	61	media curve number 3	68
dev. standard curve number 1	26.7	dev. standard curve number 2	33.6
dev. standard curve number 3	37.7	media indice di permeabilità vapi	0.52
dev. standard indice di permeabilità vapi	0.26		



Stura di Viù a Malciaussia

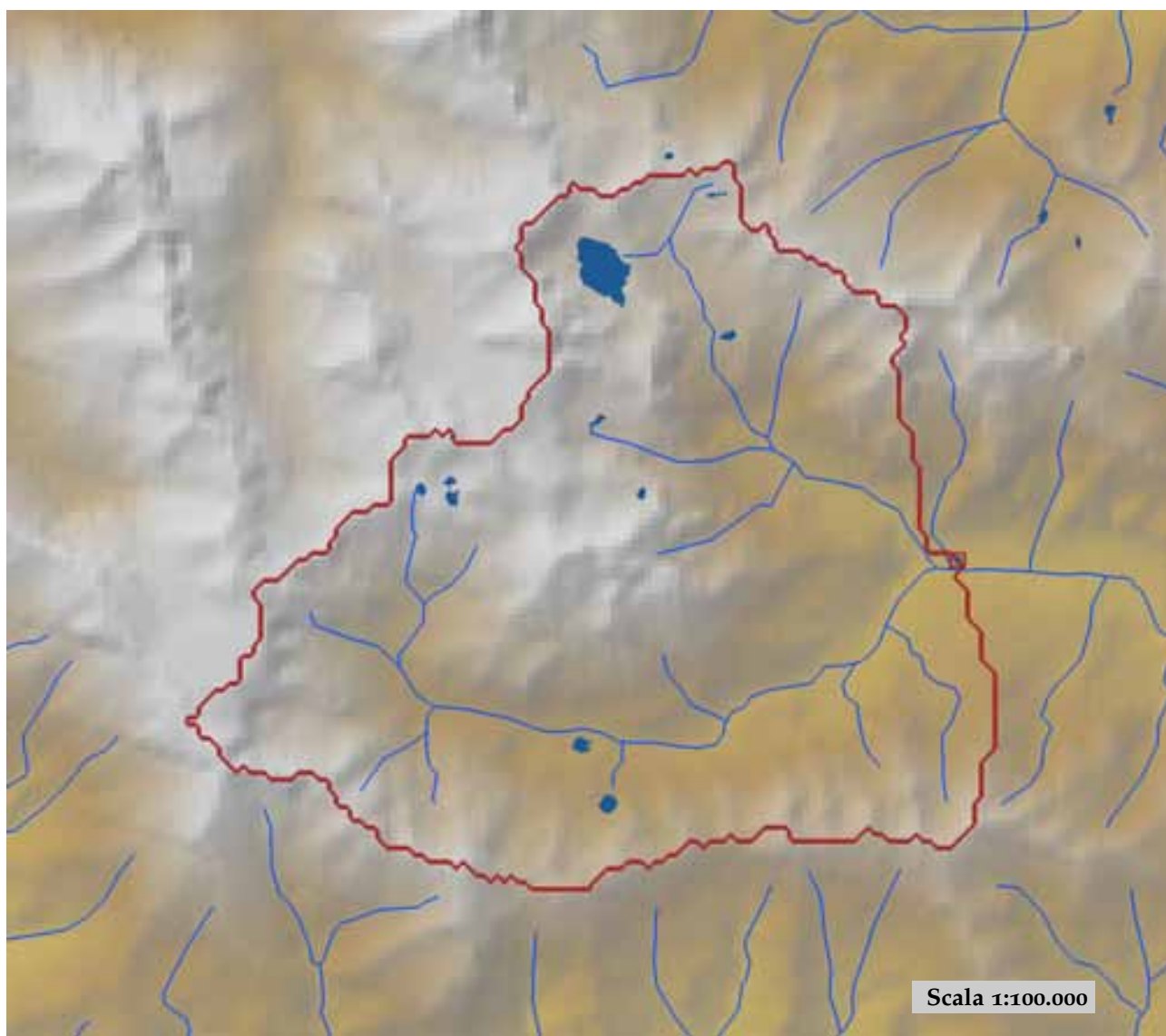


est (UTM ₃₂ N WGS84)	354204	nord (UTM ₃₂ N WGS84)	5007535
est DEM (UTM ₃₂ N WGS84)	354242	nord DEM (UTM ₃₂ N WGS84)	5007766
area bacino	25.85	quota media	2622

quota massima	3430	quota minima	1794
curva ipsografica 2,5%	3294	curva ipsografica 5%	3245
curva ipsografica 10%	3154	curva ipsografica 25%	2939
curva ipsografica 50%	2634	curva ipsografica 75%	2314
curva ipsografica 90%	2083	curva ipsografica 95%	1983
curva ipsografica 97,5%	1894	distanza interquartile curva ipsografica	625
angolo di esposizione medio	121	lunghezza vettore orientamento	2.5
pendenza bacino	27.736	pendenza bacino quadrato equivalente	33.082
est baricentro (UTM _{32N} WGS84)	351950	nord baricentro (UTM _{32N} WGS84)	5008750
fattore di forma	0.464	rapporto di allungamento	0.769
media funzione di ampiezza	4111	varianza funzione di ampiezza	3.23×10 ⁶
skewness funzione di ampiezza	-0.241	kurtosis funzione di ampiezza	1.969
rapporto aree medie di due ordini adiacenti	4.378	rapporto di biforcazione	4.5
rapporto lunghezze medie di due ordini adiacenti	1.203	rapporto pendenze medie di due ordini adiacenti	2.654
densità di drenaggio	0.463	diametro topologico	8
lunghezza LDP	7.46	lunghezza asta principale	6.094
lunghezza totale reticolo idrografico	12	lunghezza media versanti	888
pendenza media LDP	13	media dell'afflusso totale annuo	1096
deviazione standard dell'afflusso totale annuo	29	media coeff. pluviale orario CPP	14.366
dev. standard coeff. pluviale orario CPP	0.711	media esponente CPP	0.543
dev. standard esponente CPP	0.01	coeff. di intensità	0.013
media LCV piogge 1 ora	0.189	dev. standard LCV piogge 1 ora	0.01
media LCV piogge 3 ore	0.164	dev. standard LCV piogge 3 ore	0.005
media LCV piogge 6 ore	0.153	dev. standard LCV piogge 6 ore	0.006
media LCV piogge 12 ore	0.167	dev. standard LCV piogge 12 ore	0.008
media LCV piogge 24 ore	0.189	dev. standard LCV piogge 24 ore	0.008
media LCA piogge 1 ora	0.085	dev. standard LCA piogge 1 ora	0.017
media LCA piogge 3 ore	0.148	dev. standard LCA piogge 3 ore	0.007
media LCA piogge 6 ore	0.178	dev. standard LCA piogge 6 ore	0.006
media LCA piogge 12 ore	0.238	dev. standard LCA piogge 12 ore	0.011
media LCA piogge 24 ore	0.213	dev. standard LCA piogge 24 ore	0.014
media coeff. B1 regime pluviometrico	-22.5	media coeff. C1 regime pluviometrico	-4.6
media coeff. B2 regime pluviometrico	3	media coeff. C2 regime pluviometrico	-39.9
dev. standard regime pluviometrico	34.8	coeff. variaz. regime pluviometrico	0.365
classe 1 corine land cover	0	classe 2 corine land cover	1.05
classe 3 corine land cover	33.86	classe 4 corine land cover	65.25
classe 5 corine land cover	0	media NDVI	0.189
dev. standard NDVI	0.085	media curve number 1	56.4
media curve number 2	72.9	media curve number 3	84.5
dev. standard curve number 1	13.9	dev. standard curve number 2	15.5
dev. standard curve number 3	16	media indice di permeabilità vapi	0.422
dev. standard indice di permeabilità vapi	0.178		



Stura di Viù a Usseglio

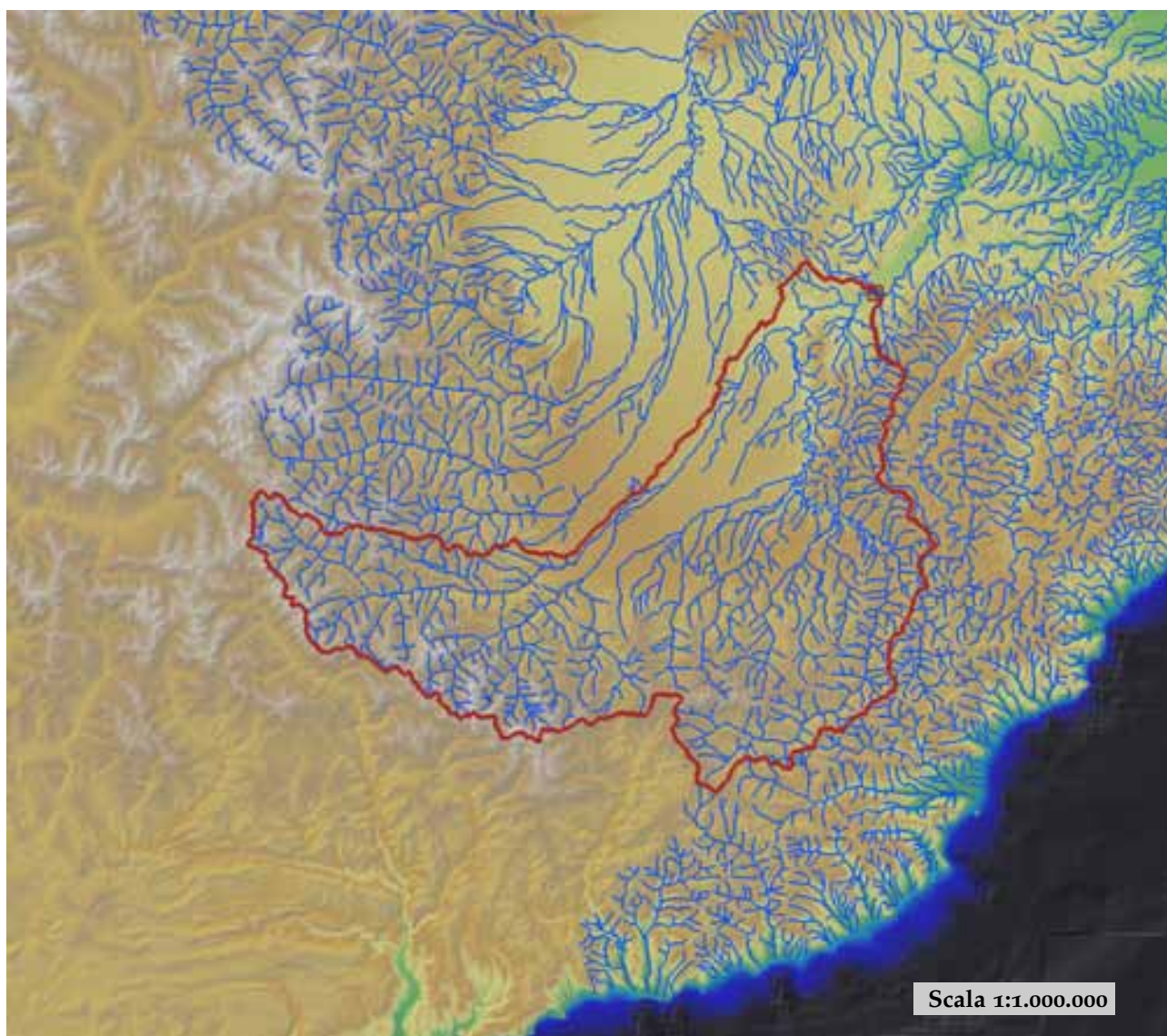


est (UTM ₃₂ N WGS84)	360063	nord (UTM ₃₂ N WGS84)	5010116
est DEM (UTM ₃₂ N WGS84)	359557	nord DEM (UTM ₃₂ N WGS84)	5010289
area bacino	75.86	quota media	2393

quota massima	3526	quota minima	1282
curva ipsografica 2,5%	3258	curva ipsografica 5%	3183
curva ipsografica 10%	3046	curva ipsografica 25%	2780
curva ipsografica 50%	2419	curva ipsografica 75%	2005
curva ipsografica 90%	1686	curva ipsografica 95%	1548
curva ipsografica 97,5%	1453	distanza interquartile curva ipsografica	775
angolo di esposizione medio	102	lunghezza vettore orientamento	4.7
pendenza bacino	27.87	pendenza bacino quadrato equivalente	26.132
est baricentro (UTM _{32N} WGS84)	354850	nord baricentro (UTM _{32N} WGS84)	5010050
fattore di forma	0.359	rapporto di allungamento	0.677
media funzione di ampiezza	7450	varianza funzione di ampiezza	1.12×10 ⁷
skewness funzione di ampiezza	0.189	kurtosis funzione di ampiezza	2.143
rapporto aree medie di due ordini adiacenti	4.307	rapporto di biforcazione	3.162
rapporto lunghezze medie di due ordini adiacenti	2.616	rapporto pendenze medie di due ordini adiacenti	1.998
densità di drenaggio	0.508	diametro topologico	13
lunghezza LDP	14.527	lunghezza asta principale	13.161
lunghezza totale reticolo idrografico	38.5	lunghezza media versanti	834
pendenza media LDP	11	media dell'afflusso totale annuo	1130
deviazione standard dell'afflusso totale annuo	38	media coeff. pluviale orario CPP	15.613
dev. standard coeff. pluviale orario CPP	1.242	media esponente CPP	0.538
dev. standard esponente CPP	0.01	coeff. di intensità	0.014
media LCV piogge 1 ora	0.181	dev. standard LCV piogge 1 ora	0.01
media LCV piogge 3 ore	0.167	dev. standard LCV piogge 3 ore	0.006
media LCV piogge 6 ore	0.165	dev. standard LCV piogge 6 ore	0.013
media LCV piogge 12 ore	0.181	dev. standard LCV piogge 12 ore	0.013
media LCV piogge 24 ore	0.199	dev. standard LCV piogge 24 ore	0.011
media LCA piogge 1 ora	0.1	dev. standard LCA piogge 1 ora	0.03
media LCA piogge 3 ore	0.141	dev. standard LCA piogge 3 ore	0.017
media LCA piogge 6 ore	0.189	dev. standard LCA piogge 6 ore	0.018
media LCA piogge 12 ore	0.251	dev. standard LCA piogge 12 ore	0.027
media LCA piogge 24 ore	0.237	dev. standard LCA piogge 24 ore	0.03
media coeff. B1 regime pluviometrico	-25.1	media coeff. C1 regime pluviometrico	-6.4
media coeff. B2 regime pluviometrico	-0.4	media coeff. C2 regime pluviometrico	-37
dev. standard regime pluviometrico	34.8	coeff. variaz. regime pluviometrico	0.359
classe 1 corine land cover	0	classe 2 corine land cover	17.41
classe 3 corine land cover	23.88	classe 4 corine land cover	58.09
classe 5 corine land cover	0.69	media NDVI	0.216
dev. standard NDVI	0.12	media curve number 1	46.4
media curve number 2	63.5	media curve number 3	77.6
dev. standard curve number 1	18.2	dev. standard curve number 2	19.3
dev. standard curve number 3	18.2	media indice di permeabilità vapi	0.486
dev. standard indice di permeabilità vapi	0.201		

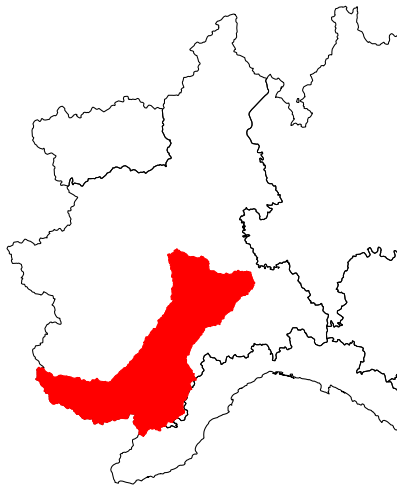


Tanaro a Alba

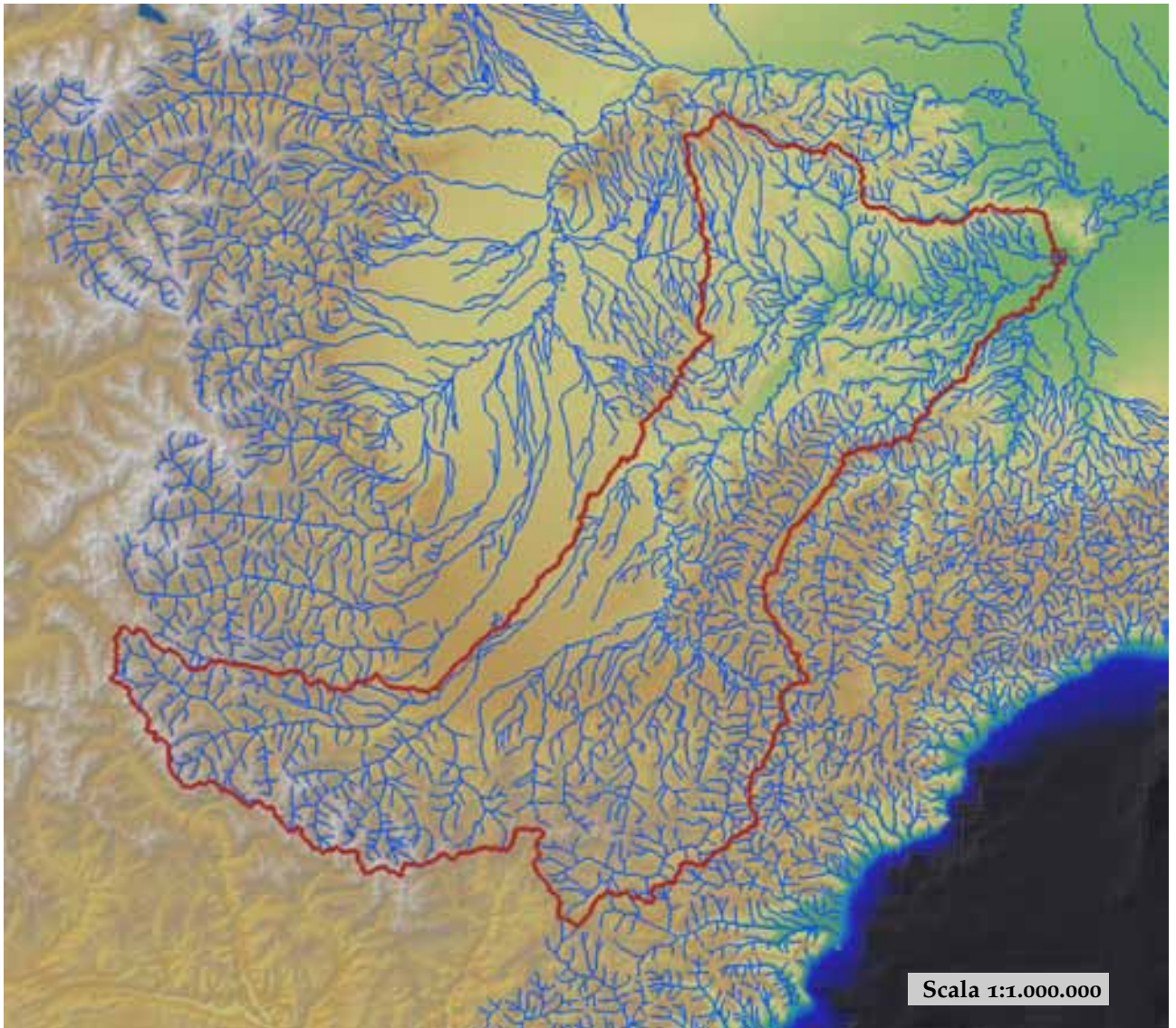


est (UTM ₃₂ N WGS84)	422966	nord (UTM ₃₂ N WGS84)	4950663
est DEM (UTM ₃₂ N WGS84)	422949	nord DEM (UTM ₃₂ N WGS84)	4950857
area bacino	3384.97	quota media	1072

quota massima	3197	quota minima	154
curva ipsografica 2,5%	2506	curva ipsografica 5%	2365
curva ipsografica 10%	2152	curva ipsografica 25%	1616
curva ipsografica 50%	860	curva ipsografica 75%	468
curva ipsografica 90%	341	curva ipsografica 95%	275
curva ipsografica 97,5%	225	distanza interquartile curva ipsografica	1148
angolo di esposizione medio	25	lunghezza vettore orientamento	50
pendenza bacino	16.008	pendenza bacino quadrato equivalente	2.43
est baricentro (UTM _{32N} WGS84)	392750	nord baricentro (UTM _{32N} WGS84)	4911050
fattore di forma	0.163	rapporto di allungamento	0.455
media funzione di ampiezza	83219	varianza funzione di ampiezza	9.99×10 ⁸
skewness funzione di ampiezza	-0.569	kurtosis funzione di ampiezza	2.716
rapporto aree medie di due ordini adiacenti	5.027	rapporto di biforcazione	4.372
rapporto lunghezze medie di due ordini adiacenti	2.641	rapporto pendenze medie di due ordini adiacenti	2.545
densità di drenaggio	0.691	diametro topologico	101
lunghezza LDP	144.129	lunghezza asta principale	142.605
lunghezza totale reticolo idrografico	2339	lunghezza media versanti	683
pendenza media LDP	4	media dell'afflusso totale annuo	1093
deviazione standard dell'afflusso totale annuo	215	media coeff. pluviale orario CPP	21.817
dev. standard coeff. pluviale orario CPP	3.599	media esponente CPP	0.423
dev. standard esponente CPP	0.079	coeff. di intensità	0.02
media LCV piogge 1 ora	0.182	dev. standard LCV piogge 1 ora	0.017
media LCV piogge 3 ore	0.163	dev. standard LCV piogge 3 ore	0.017
media LCV piogge 6 ore	0.155	dev. standard LCV piogge 6 ore	0.017
media LCV piogge 12 ore	0.161	dev. standard LCV piogge 12 ore	0.017
media LCV piogge 24 ore	0.168	dev. standard LCV piogge 24 ore	0.014
media LCA piogge 1 ora	0.168	dev. standard LCA piogge 1 ora	0.059
media LCA piogge 3 ore	0.178	dev. standard LCA piogge 3 ore	0.052
media LCA piogge 6 ore	0.174	dev. standard LCA piogge 6 ore	0.069
media LCA piogge 12 ore	0.201	dev. standard LCA piogge 12 ore	0.071
media LCA piogge 24 ore	0.188	dev. standard LCA piogge 24 ore	0.057
media coeff. B1 regime pluviometrico	4	media coeff. C1 regime pluviometrico	2.1
media coeff. B2 regime pluviometrico	-1.2	media coeff. C2 regime pluviometrico	-35.9
dev. standard regime pluviometrico	30.3	coeff. variaz. regime pluviometrico	0.323
classe 1 corine land cover	2.3	classe 2 corine land cover	44.97
classe 3 corine land cover	41.38	classe 4 corine land cover	11.06
classe 5 corine land cover	0.29	media NDVI	0.495
dev. standard NDVI	0.129	media curve number 1	43.8
media curve number 2	62.8	media curve number 3	78.8
dev. standard curve number 1	12.1	dev. standard curve number 2	12.4
dev. standard curve number 3	10.6	media indice di permeabilità vapi	0.383
dev. standard indice di permeabilità vapi	0.167		

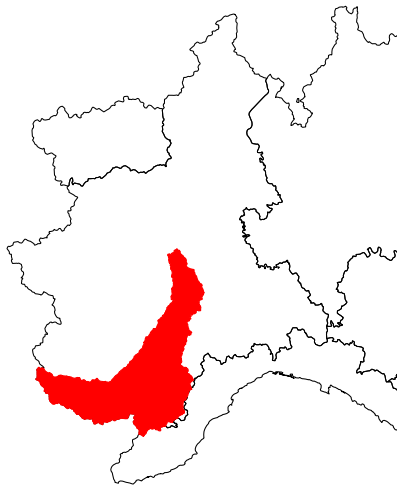


Tanaro a Alessandria

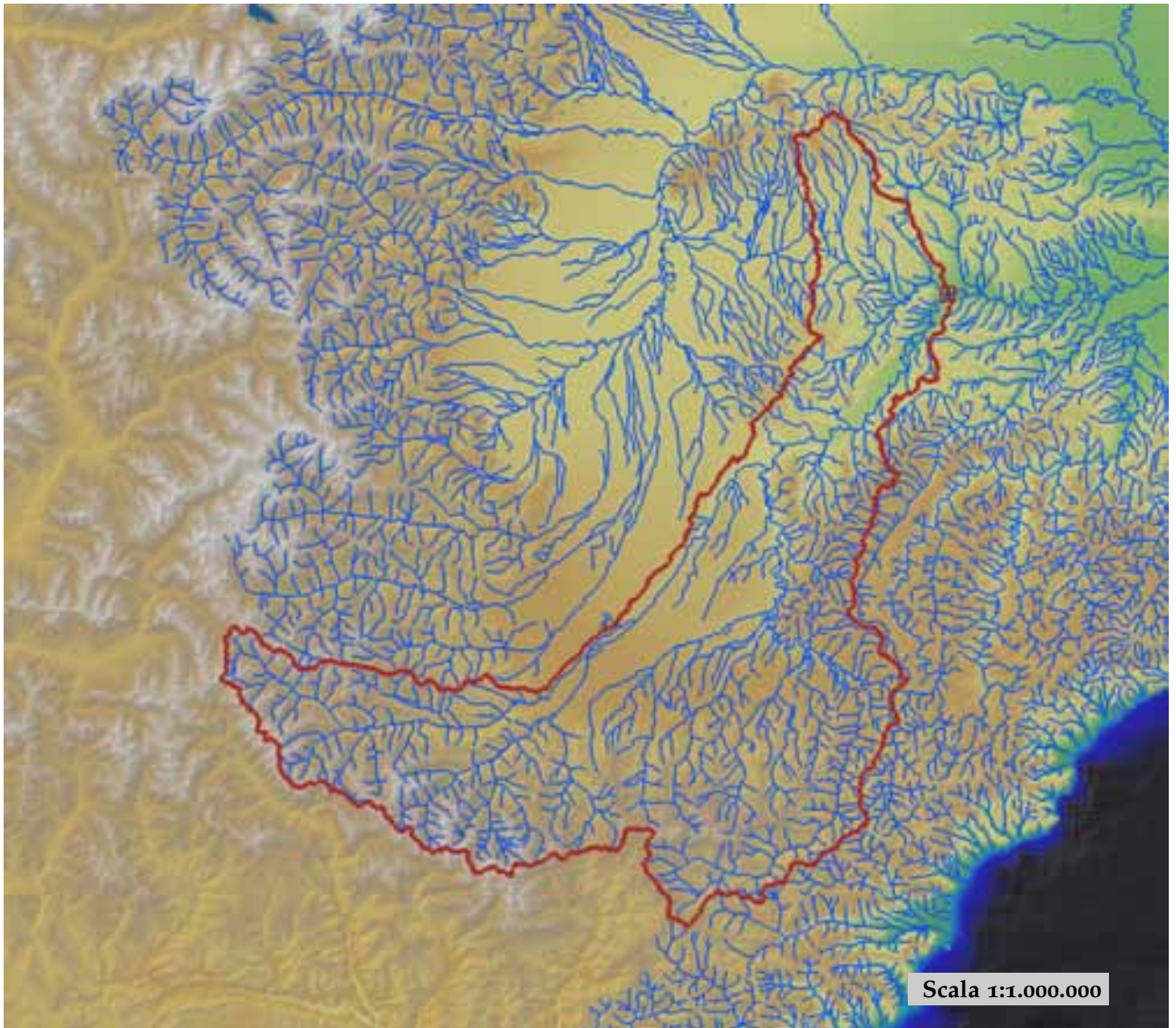


est (UTM ₃₂ N WGS84)	470235	nord (UTM ₃₂ N WGS84)	4976004
est DEM (UTM ₃₂ N WGS84)	469953	nord DEM (UTM ₃₂ N WGS84)	4975988
area bacino	5322.85	quota media	767

quota massima	3197	quota minima	82
curva ipsografica 2,5%	2419	curva ipsografica 5%	2237
curva ipsografica 10%	1948	curva ipsografica 25%	1157
curva ipsografica 50%	473	curva ipsografica 75%	228
curva ipsografica 90%	159	curva ipsografica 95%	127
curva ipsografica 97,5%	106	distanza interquartile curva ipsografica	929
angolo di esposizione medio	36	lunghezza vettore orientamento	75.8
pendenza bacino	12.352	pendenza bacino quadrato equivalente	1.075
est baricentro (UTM _{32N} WGS84)	408750	nord baricentro (UTM _{32N} WGS84)	4931350
fattore di forma	0.105	rapporto di allungamento	0.366
media funzione di ampiezza	125880	varianza funzione di ampiezza	3.41×10 ⁹
skewness funzione di ampiezza	-0.274	kurtosis funzione di ampiezza	1.773
rapporto aree medie di due ordini adiacenti	4.738	rapporto di biforcazione	4.447
rapporto lunghezze medie di due ordini adiacenti	2.415	rapporto penne medie di due ordini adiacenti	2.406
densità di drenaggio	0.718	diametro topologico	171
lunghezza LDP	225.189	lunghezza asta principale	223.665
lunghezza totale reticolo idrografico	3823.1	lunghezza media versanti	659
pendenza media LDP	3	media dell'afflusso totale annuo	956
deviazione standard dell'afflusso totale annuo	254	media coeff. pluviale orario CPP	22.647
dev. standard coeff. pluviale orario CPP	3.207	media esponente CPP	0.377
dev. standard esponente CPP	0.09	coeff. di intensità	0.024
media LCV piogge 1 ora	0.179	dev. standard LCV piogge 1 ora	0.016
media LCV piogge 3 ore	0.164	dev. standard LCV piogge 3 ore	0.018
media LCV piogge 6 ore	0.16	dev. standard LCV piogge 6 ore	0.018
media LCV piogge 12 ore	0.164	dev. standard LCV piogge 12 ore	0.017
media LCV piogge 24 ore	0.17	dev. standard LCV piogge 24 ore	0.014
media LCA piogge 1 ora	0.146	dev. standard LCA piogge 1 ora	0.061
media LCA piogge 3 ore	0.177	dev. standard LCA piogge 3 ore	0.057
media LCA piogge 6 ore	0.191	dev. standard LCA piogge 6 ore	0.071
media LCA piogge 12 ore	0.23	dev. standard LCA piogge 12 ore	0.072
media LCA piogge 24 ore	0.217	dev. standard LCA piogge 24 ore	0.062
media coeff. B1 regime pluviometrico	1.1	media coeff. C1 regime pluviometrico	2
media coeff. B2 regime pluviometrico	-0.4	media coeff. C2 regime pluviometrico	-31.3
dev. standard regime pluviometrico	27.4	coeff. variaz. regime pluviometrico	0.341
classe 1 corine land cover	2.51	classe 2 corine land cover	36.57
classe 3 corine land cover	53.49	classe 4 corine land cover	7.06
classe 5 corine land cover	0.37	media NDVI	0.506
dev. standard NDVI	0.108	media curve number 1	46.6
media curve number 2	65.5	media curve number 3	81
dev. standard curve number 1	11.2	dev. standard curve number 2	11.1
dev. standard curve number 3	9.3	media indice di permeabilità vapi	0.427
dev. standard indice di permeabilità vapi	0.169		



Tanaro a Asti

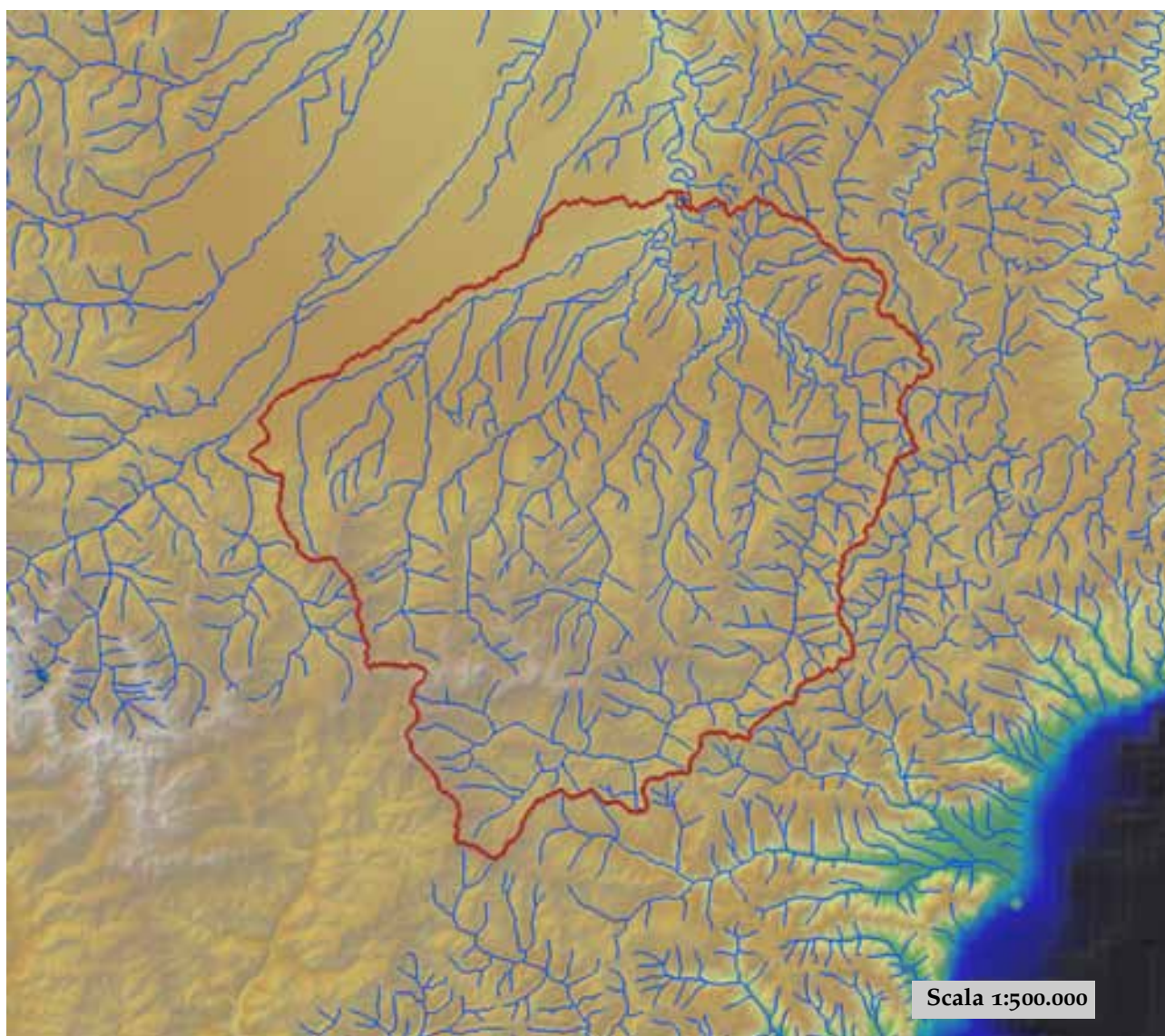


est (UTM ₃₂ N WGS84)	437791	nord (UTM ₃₂ N WGS84)	4970463
est DEM (UTM ₃₂ N WGS84)	437759	nord DEM (UTM ₃₂ N WGS84)	4970553
area bacino	4123.22	quota media	922

quota massima	3197	quota minima	103
curva ipsografica 2,5%	2470	curva ipsografica 5%	2314
curva ipsografica 10%	2073	curva ipsografica 25%	1434
curva ipsografica 50%	632	curva ipsografica 75%	345
curva ipsografica 90%	216	curva ipsografica 95%	181
curva ipsografica 97,5%	157	distanza interquartile curva ipsografica	1089
angolo di esposizione medio	29	lunghezza vettore orientamento	62.8
pendenza bacino	14.225	pendenza bacino quadrato equivalente	1.651
est baricentro (UTM _{32N} WGS84)	398550	nord baricentro (UTM _{32N} WGS84)	4921450
fattore di forma	0.133	rapporto di allungamento	0.412
media funzione di ampiezza	99216	varianza funzione di ampiezza	2.00×10 ⁹
skewness funzione di ampiezza	-0.52	kurtosis funzione di ampiezza	2.085
rapporto aree medie di due ordini adiacenti	4.75	rapporto di biforcazione	4.204
rapporto lunghezze medie di due ordini adiacenti	2.424	rapporto pendenze medie di due ordini adiacenti	2.521
densità di drenaggio	0.704	diametro topologico	132
lunghezza LDP	176.052	lunghezza asta principale	174.528
lunghezza totale reticolo idrografico	2903.9	lunghezza media versanti	672
pendenza media LDP	3	media dell'afflusso totale annuo	1028
deviazione standard dell'afflusso totale annuo	242	media coeff. pluviale orario CPP	22.359
dev. standard coeff. pluviale orario CPP	3.525	media esponente CPP	0.399
dev. standard esponente CPP	0.09	coeff. di intensità	0.022
media LCV piogge 1 ora	0.18	dev. standard LCV piogge 1 ora	0.017
media LCV piogge 3 ore	0.162	dev. standard LCV piogge 3 ore	0.017
media LCV piogge 6 ore	0.156	dev. standard LCV piogge 6 ore	0.017
media LCV piogge 12 ore	0.162	dev. standard LCV piogge 12 ore	0.017
media LCV piogge 24 ore	0.167	dev. standard LCV piogge 24 ore	0.013
media LCA piogge 1 ora	0.16	dev. standard LCA piogge 1 ora	0.058
media LCA piogge 3 ore	0.174	dev. standard LCA piogge 3 ore	0.056
media LCA piogge 6 ore	0.181	dev. standard LCA piogge 6 ore	0.073
media LCA piogge 12 ore	0.216	dev. standard LCA piogge 12 ore	0.075
media LCA piogge 24 ore	0.204	dev. standard LCA piogge 24 ore	0.064
media coeff. B1 regime pluviometrico	2.6	media coeff. C1 regime pluviometrico	1.4
media coeff. B2 regime pluviometrico	-0.7	media coeff. C2 regime pluviometrico	-33.6
dev. standard regime pluviometrico	28.2	coeff. variaz. regime pluviometrico	0.317
classe 1 corine land cover	2.45	classe 2 corine land cover	41.83
classe 3 corine land cover	46.28	classe 4 corine land cover	9.11
classe 5 corine land cover	0.33	media NDVI	0.502
dev. standard NDVI	0.119	media curve number 1	45.1
media curve number 2	64.1	media curve number 3	79.9
dev. standard curve number 1	11.7	dev. standard curve number 2	11.8
dev. standard curve number 3	10	media indice di permeabilità vapi	0.397
dev. standard indice di permeabilità vapi	0.161		



Tanaro a Clavesana

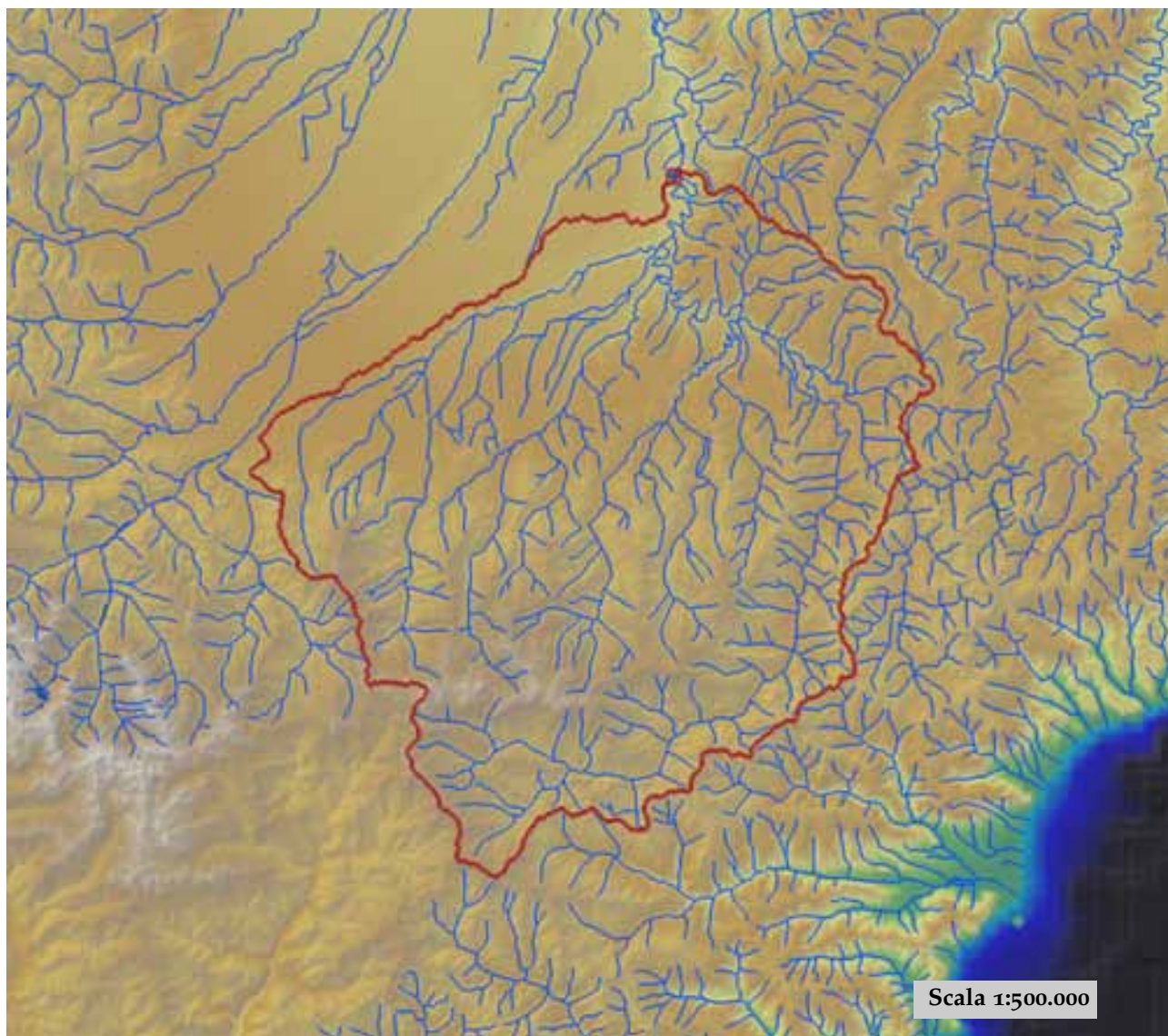


est (UTM _{32N} WGS84)	413139	nord (UTM _{32N} WGS84)	4926203
est DEM (UTM _{32N} WGS84)	413425	nord DEM (UTM _{32N} WGS84)	4926425
area bacino	1485,36	quota media	951

quota massima	2625	quota minima	257
curva ipsografica 2,5%	2154	curva ipsografica 5%	2012
curva ipsografica 10%	1777	curva ipsografica 25%	1288
curva ipsografica 50%	777	curva ipsografica 75%	531
curva ipsografica 90%	422	curva ipsografica 95%	388
curva ipsografica 97,5%	357	distanza interquartile curva ipsografica	757
angolo di esposizione medio	20	lunghezza vettore orientamento	22.1
pendenza bacino	14.917	pendenza bacino quadrato equivalente	2.704
est baricentro (UTM _{32N} WGS84)	407750	nord baricentro (UTM _{32N} WGS84)	4905050
fattore di forma	0.161	rapporto di allungamento	0.453
media funzione di ampiezza	44280	varianza funzione di ampiezza	4.27×10 ⁸
skewness funzione di ampiezza	0.588	kurtosis funzione di ampiezza	2.991
rapporto aree medie di due ordini adiacenti	5.127	rapporto di biforcazione	4.398
rapporto lunghezze medie di due ordini adiacenti	2.72	rapporto pendenze medie di due ordini adiacenti	2.352
densità di drenaggio	0.697	diametro topologico	75
lunghezza LDP	95.906	lunghezza asta principale	94.382
lunghezza totale reticolo idrografico	1035.6	lunghezza media versanti	654
pendenza media LDP	5	media dell'afflusso totale annuo	1148
deviazione standard dell'afflusso totale annuo	167	media coeff. pluviale orario CPP	24.341
dev. standard coeff. pluviale orario CPP	1.515	media esponente CPP	0.42
dev. standard esponente CPP	0.058	coeff. di intensità	0.021
media LCV piogge 1 ora	0.173	dev. standard LCV piogge 1 ora	0.015
media LCV piogge 3 ore	0.161	dev. standard LCV piogge 3 ore	0.012
media LCV piogge 6 ore	0.155	dev. standard LCV piogge 6 ore	0.012
media LCV piogge 12 ore	0.167	dev. standard LCV piogge 12 ore	0.017
media LCV piogge 24 ore	0.171	dev. standard LCV piogge 24 ore	0.016
media LCA piogge 1 ora	0.168	dev. standard LCA piogge 1 ora	0.07
media LCA piogge 3 ore	0.176	dev. standard LCA piogge 3 ore	0.051
media LCA piogge 6 ore	0.166	dev. standard LCA piogge 6 ore	0.058
media LCA piogge 12 ore	0.206	dev. standard LCA piogge 12 ore	0.066
media LCA piogge 24 ore	0.185	dev. standard LCA piogge 24 ore	0.046
media coeff. B1 regime pluviometrico	5.1	media coeff. C1 regime pluviometrico	-1.3
media coeff. B2 regime pluviometrico	0.4	media coeff. C2 regime pluviometrico	-37.8
dev. standard regime pluviometrico	31.2	coeff. variaz. regime pluviometrico	0.324
classe 1 corine land cover	2.34	classe 2 corine land cover	57.58
classe 3 corine land cover	37.2	classe 4 corine land cover	2.76
classe 5 corine land cover	0.12	media NDVI	0.55
dev. standard NDVI	0.086	media curve number 1	44.8
media curve number 2	64.1	media curve number 3	80.3
dev. standard curve number 1	9.2	dev. standard curve number 2	9.1
dev. standard curve number 3	7.2	media indice di permeabilità vapi	0.463
dev. standard indice di permeabilità vapi	0.18		

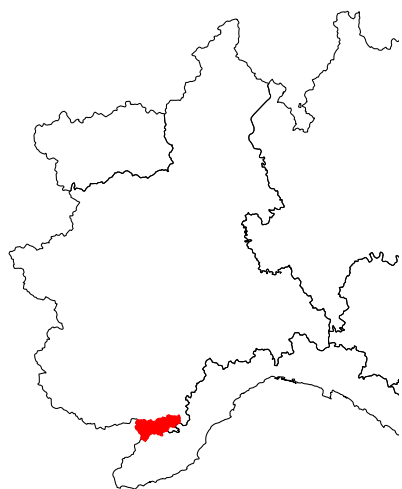


Tanaro a Farigliano

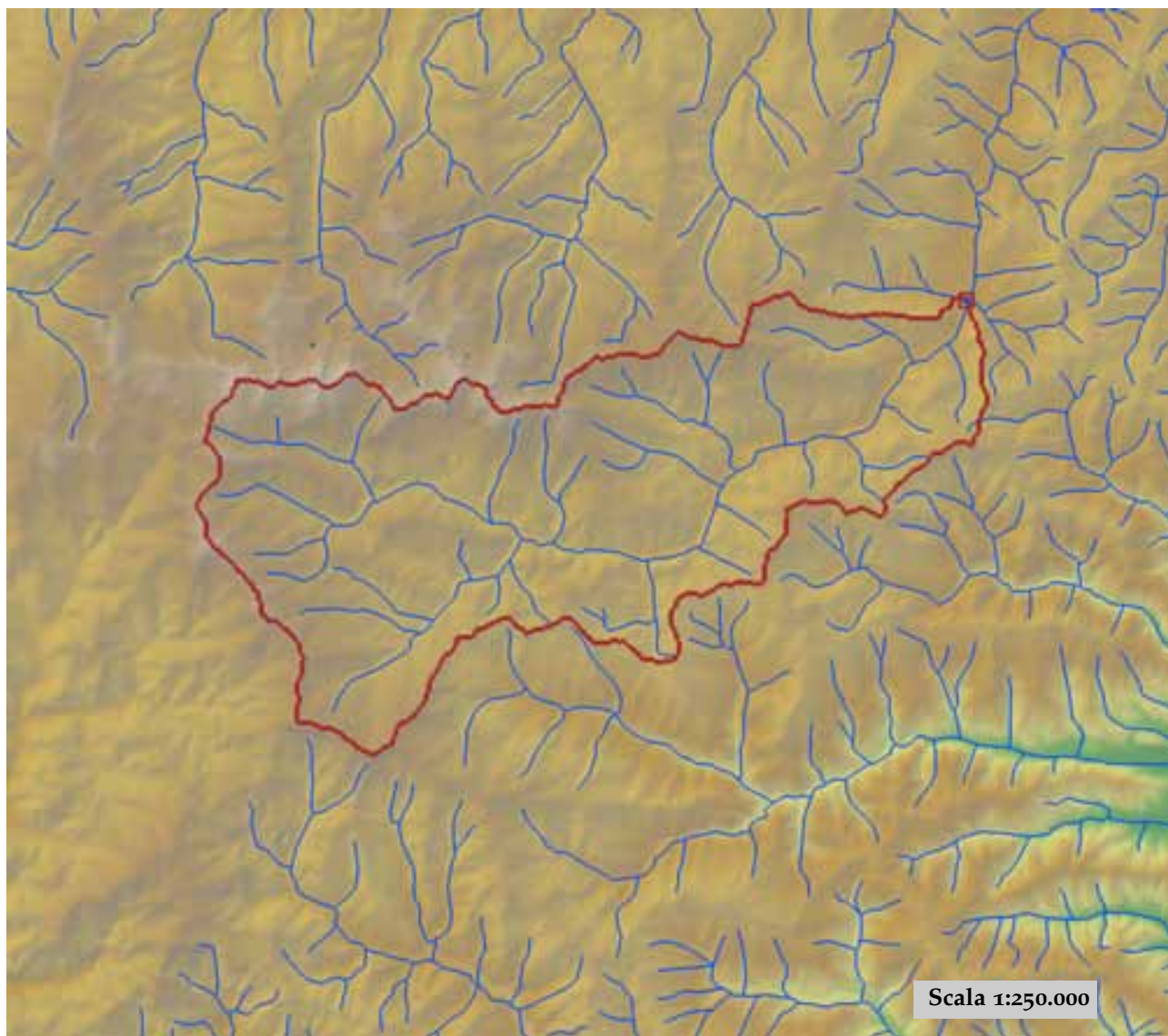


est (UTM ₃₂ N WGS84)	412709	nord (UTM ₃₂ N WGS84)	4929894
est DEM (UTM ₃₂ N WGS84)	412701	nord DEM (UTM ₃₂ N WGS84)	4929373
area bacino	1502.15	quota media	945

quota massima	2625	quota minima	237
curva ipsografica 2,5%	2152	curva ipsografica 5%	2009
curva ipsografica 10%	1772	curva ipsografica 25%	1280
curva ipsografica 50%	769	curva ipsografica 75%	527
curva ipsografica 90%	417	curva ipsografica 95%	384
curva ipsografica 97,5%	347	distanza interquartile curva ipsografica	753
angolo di esposizione medio	19	lunghezza vettore orientamento	24.6
pendenza bacino	14.853	pendenza bacino quadrato equivalente	2.75
est baricentro (UTM _{32N} WGS84)	407850	nord baricentro (UTM _{32N} WGS84)	4905250
fattore di forma	0.14	rapporto di allungamento	0.422
media funzione di ampiezza	51617	varianza funzione di ampiezza	4.44×10 ⁸
skewness funzione di ampiezza	0.513	kurtosis funzione di ampiezza	3.007
rapporto aree medie di due ordini adiacenti	5.136	rapporto di biforcazione	4.419
rapporto lunghezze medie di due ordini adiacenti	2.725	rapporto pendenze medie di due ordini adiacenti	2.348
densità di drenaggio	0.699	diametro topologico	76
lunghezza LDP	103.739	lunghezza asta principale	102.214
lunghezza totale reticolo idrografico	1049.6	lunghezza media versanti	653
pendenza media LDP	5	media dell'afflusso totale annuo	1144
deviazione standard dell'afflusso totale annuo	170	media coeff. pluviale orario CPP	24.324
dev. standard coeff. pluviale orario CPP	1.514	media esponente CPP	0.419
dev. standard esponente CPP	0.058	coeff. di intensità	0.021
media LCV piogge 1 ora	0.173	dev. standard LCV piogge 1 ora	0.016
media LCV piogge 3 ore	0.162	dev. standard LCV piogge 3 ore	0.013
media LCV piogge 6 ore	0.155	dev. standard LCV piogge 6 ore	0.012
media LCV piogge 12 ore	0.166	dev. standard LCV piogge 12 ore	0.017
media LCV piogge 24 ore	0.171	dev. standard LCV piogge 24 ore	0.016
media LCA piogge 1 ora	0.167	dev. standard LCA piogge 1 ora	0.07
media LCA piogge 3 ore	0.176	dev. standard LCA piogge 3 ore	0.051
media LCA piogge 6 ore	0.166	dev. standard LCA piogge 6 ore	0.057
media LCA piogge 12 ore	0.205	dev. standard LCA piogge 12 ore	0.066
media LCA piogge 24 ore	0.185	dev. standard LCA piogge 24 ore	0.046
media coeff. B1 regime pluviometrico	5.1	media coeff. C1 regime pluviometrico	-1.3
media coeff. B2 regime pluviometrico	0.4	media coeff. C2 regime pluviometrico	-37.8
dev. standard regime pluviometrico	31.1	coeff. variaz. regime pluviometrico	0.324
classe 1 corine land cover	2.34	classe 2 corine land cover	57.2
classe 3 corine land cover	37.46	classe 4 corine land cover	2.73
classe 5 corine land cover	0.27	media NDVI	0.553
dev. standard NDVI	0.084	media curve number 1	44.8
media curve number 2	64.1	media curve number 3	80.2
dev. standard curve number 1	9.5	dev. standard curve number 2	9.3
dev. standard curve number 3	7.4	media indice di permeabilità vapi	0.466
dev. standard indice di permeabilità vapi	0.177		

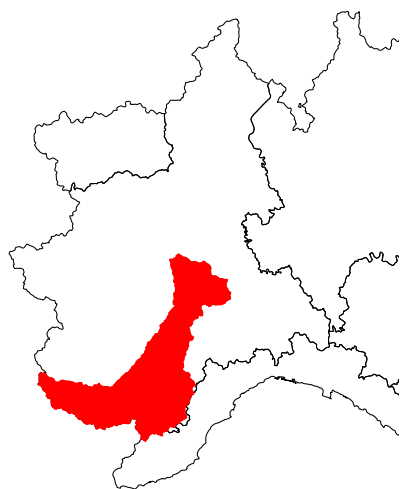


Tanaro a Garesio

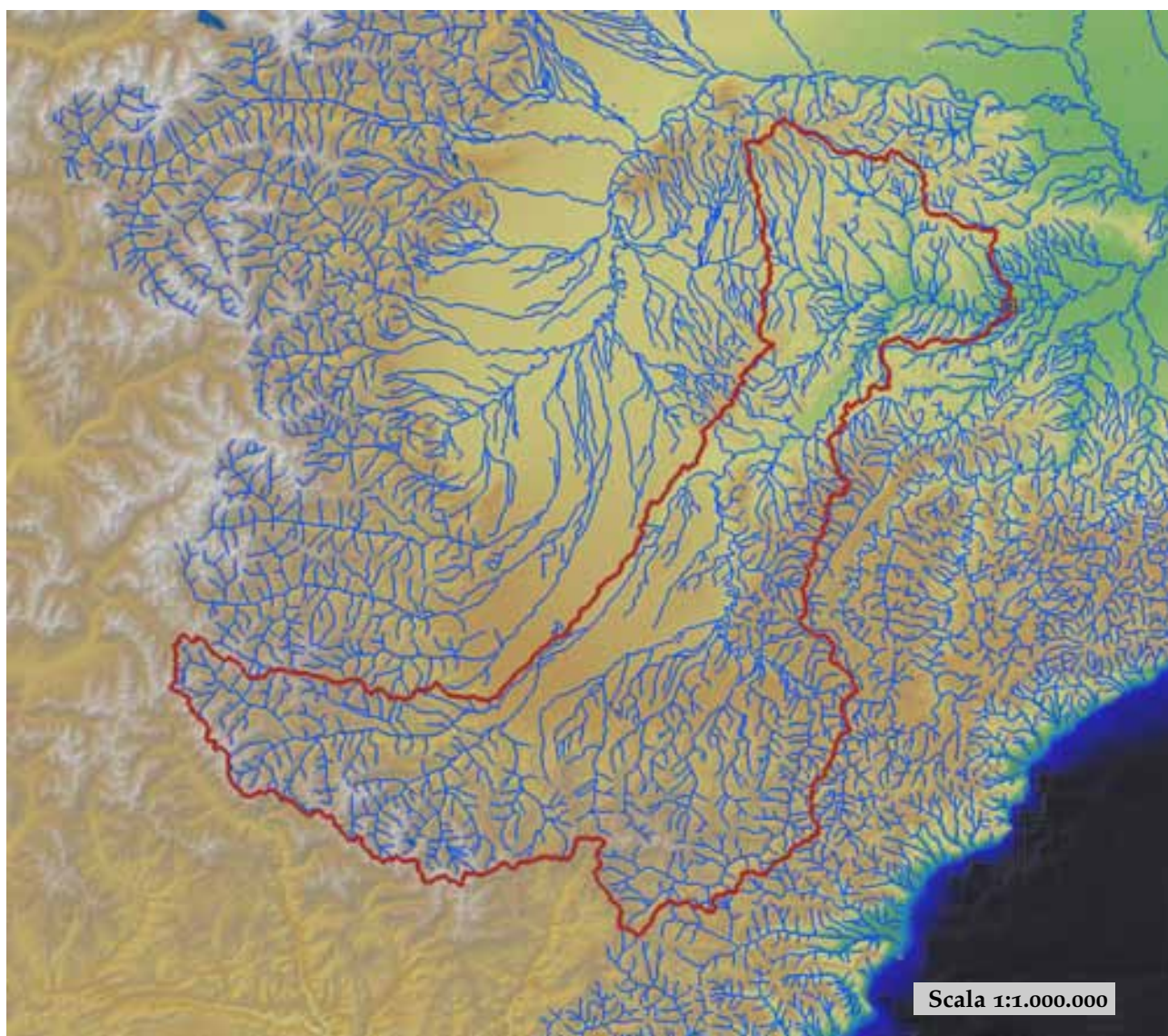


est (UTM ₃₂ N WGS84)	421310	nord (UTM ₃₂ N WGS84)	4894772
est DEM (UTM ₃₂ N WGS84)	421251	nord DEM (UTM ₃₂ N WGS84)	4894947
area bacino	249.04	quota media	1435

quota massima	2622	quota minima	578
curva ipsografica 2,5%	2312	curva ipsografica 5%	2196
curva ipsografica 10%	2055	curva ipsografica 25%	1751
curva ipsografica 50%	1383	curva ipsografica 75%	1101
curva ipsografica 90%	901	curva ipsografica 95%	794
curva ipsografica 97,5%	718	distanza interquartile curva ipsografica	650
angolo di esposizione medio	128	lunghezza vettore orientamento	16.1
pendenza bacino	22.547	pendenza bacino quadrato equivalente	10.215
est baricentro (UTM _{32N} WGS84)	406650	nord baricentro (UTM _{32N} WGS84)	4888050
fattore di forma	0.168	rapporto di allungamento	0.462
media funzione di ampiezza	22725	varianza funzione di ampiezza	1.03×10 ⁸
skewness funzione di ampiezza	-0.3	kurtosis funzione di ampiezza	1.872
rapporto aree medie di due ordini adiacenti	4.575	rapporto di biforcazione	5.292
rapporto lunghezze medie di due ordini adiacenti	2.352	rapporto pendenze medie di due ordini adiacenti	2.442
densità di drenaggio	0.569	diametro topologico	29
lunghezza LDP	38.548	lunghezza asta principale	37.023
lunghezza totale reticolo idrografico	141.7	lunghezza media versanti	700
pendenza media LDP	9	media dell'afflusso totale annuo	1213
deviazione standard dell'afflusso totale annuo	41	media coeff. pluviale orario CPP	23.609
dev. standard coeff. pluviale orario CPP	1.213	media esponente CPP	0.505
dev. standard esponente CPP	0.011	coeff. di intensità	0.019
media LCV piogge 1 ora	0.16	dev. standard LCV piogge 1 ora	0.008
media LCV piogge 3 ore	0.16	dev. standard LCV piogge 3 ore	0.008
media LCV piogge 6 ore	0.17	dev. standard LCV piogge 6 ore	0.011
media LCV piogge 12 ore	0.19	dev. standard LCV piogge 12 ore	0.009
media LCV piogge 24 ore	0.196	dev. standard LCV piogge 24 ore	0.01
media LCA piogge 1 ora	0.168	dev. standard LCA piogge 1 ora	0.035
media LCA piogge 3 ore	0.226	dev. standard LCA piogge 3 ore	0.029
media LCA piogge 6 ore	0.246	dev. standard LCA piogge 6 ore	0.026
media LCA piogge 12 ore	0.292	dev. standard LCA piogge 12 ore	0.02
media LCA piogge 24 ore	0.244	dev. standard LCA piogge 24 ore	0.023
media coeff. B1 regime pluviometrico	14.4	media coeff. C1 regime pluviometrico	-4
media coeff. B2 regime pluviometrico	1.6	media coeff. C2 regime pluviometrico	-42.3
dev. standard regime pluviometrico	35.1	coeff. variaz. regime pluviometrico	0.355
classe 1 corine land cover	0.39	classe 2 corine land cover	69.5
classe 3 corine land cover	23.51	classe 4 corine land cover	6.63
classe 5 corine land cover	0	media NDVI	0.519
dev. standard NDVI	0.105	media curve number 1	39.6
media curve number 2	59	media curve number 3	76.3
dev. standard curve number 1	10	dev. standard curve number 2	10.7
dev. standard curve number 3	9	media indice di permeabilità vapi	0.336
dev. standard indice di permeabilità vapi	0.156		

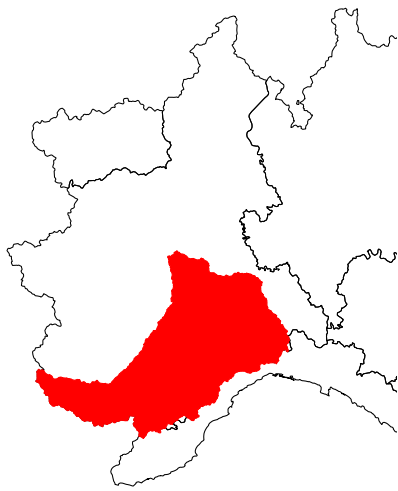


Tanaro a Masio

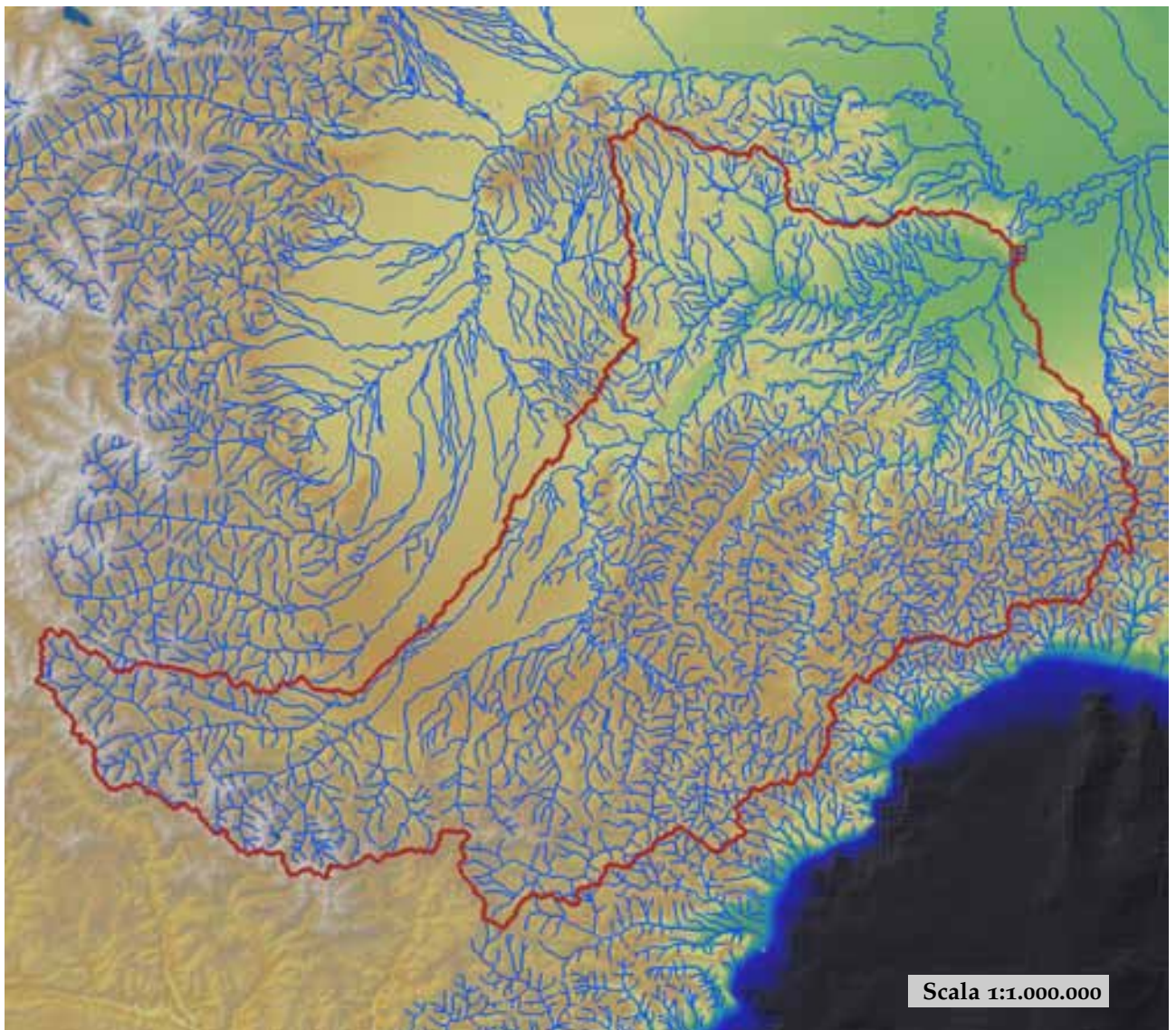


est (UTM ₃₂ N WGS84)	453443	nord (UTM ₃₂ N WGS84)	4968849
est DEM (UTM ₃₂ N WGS84)	453569	nord DEM (UTM ₃₂ N WGS84)	4969855
area bacino	4535.12	quota media	855

quota massima	3197	quota minima	95
curva ipsografica 2,5%	2452	curva ipsografica 5%	2286
curva ipsografica 10%	2030	curva ipsografica 25%	1338
curva ipsografica 50%	551	curva ipsografica 75%	273
curva ipsografica 90%	186	curva ipsografica 95%	157
curva ipsografica 97,5%	135	distanza interquartile curva ipsografica	1065
angolo di esposizione medio	33	lunghezza vettore orientamento	67
pendenza bacino	13.402	pendenza bacino quadrato equivalente	1.357
est baricentro (UTM _{32N} WGS84)	402350	nord baricentro (UTM _{32N} WGS84)	4926650
fattore di forma	0.114	rapporto di allungamento	0.382
media funzione di ampiezza	113583	varianza funzione di ampiezza	2.59×10 ⁹
skewness funzione di ampiezza	-0.442	kurtosis funzione di ampiezza	1.923
rapporto aree medie di due ordini adiacenti	4.702	rapporto di biforcazione	4.258
rapporto lunghezze medie di due ordini adiacenti	2.395	rapporto pendenze medie di due ordini adiacenti	2.483
densità di drenaggio	0.713	diametro topologico	153
lunghezza LDP	199.06	lunghezza asta principale	197.536
lunghezza totale reticolo idrografico	3231.6	lunghezza media versanti	665
pendenza media LDP	3	media dell'afflusso totale annuo	997
deviazione standard dell'afflusso totale annuo	252	media coeff. pluviale orario CPP	22.521
dev. standard coeff. pluviale orario CPP	3.427	media esponente CPP	0.388
dev. standard esponente CPP	0.093	coeff. di intensità	0.023
media LCV piogge 1 ora	0.179	dev. standard LCV piogge 1 ora	0.017
media LCV piogge 3 ore	0.161	dev. standard LCV piogge 3 ore	0.016
media LCV piogge 6 ore	0.156	dev. standard LCV piogge 6 ore	0.017
media LCV piogge 12 ore	0.162	dev. standard LCV piogge 12 ore	0.016
media LCV piogge 24 ore	0.167	dev. standard LCV piogge 24 ore	0.013
media LCA piogge 1 ora	0.155	dev. standard LCA piogge 1 ora	0.059
media LCA piogge 3 ore	0.174	dev. standard LCA piogge 3 ore	0.057
media LCA piogge 6 ore	0.182	dev. standard LCA piogge 6 ore	0.072
media LCA piogge 12 ore	0.22	dev. standard LCA piogge 12 ore	0.073
media LCA piogge 24 ore	0.21	dev. standard LCA piogge 24 ore	0.064
media coeff. B1 regime pluviometrico	2	media coeff. C1 regime pluviometrico	1.3
media coeff. B2 regime pluviometrico	-0.5	media coeff. C2 regime pluviometrico	-32.3
dev. standard regime pluviometrico	27.2	coeff. variaz. regime pluviometrico	0.316
classe 1 corine land cover	2.5	classe 2 corine land cover	40.26
classe 3 corine land cover	48.61	classe 4 corine land cover	8.28
classe 5 corine land cover	0.36	media NDVI	0.504
dev. standard NDVI	0.115	media curve number 1	45.7
media curve number 2	64.6	media curve number 3	80.3
dev. standard curve number 1	11.5	dev. standard curve number 2	11.5
dev. standard curve number 3	9.7	media indice di permeabilità vapi	0.399
dev. standard indice di permeabilità vapi	0.155		

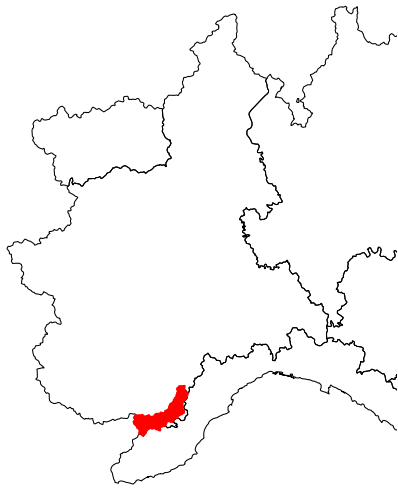


Tanaro a Montecastello

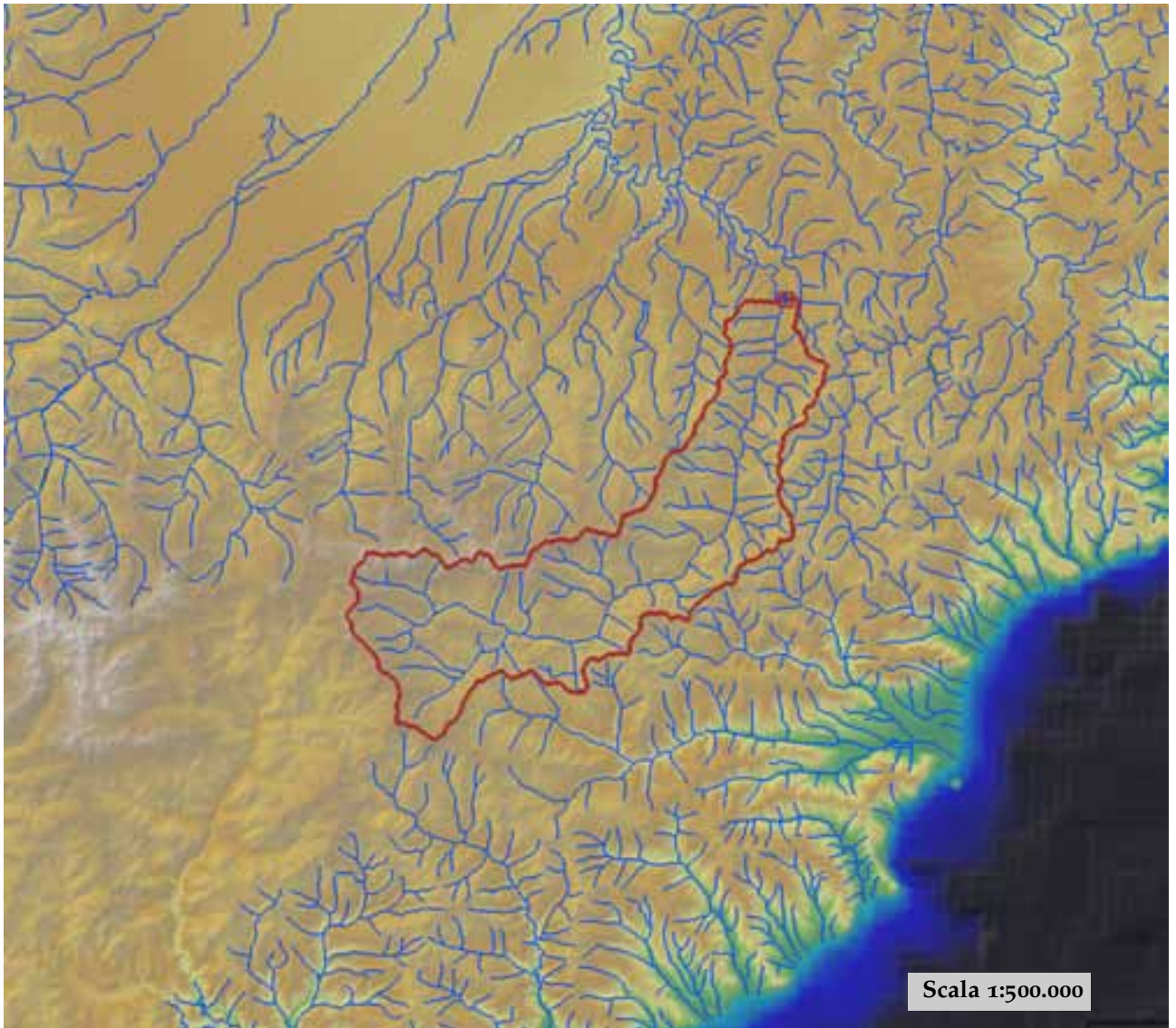


est (UTM ₃₂ N WGS84)	475104	nord (UTM ₃₂ N WGS84)	4977074
est DEM (UTM ₃₂ N WGS84)	474955	nord DEM (UTM ₃₂ N WGS84)	4976852
area bacino	7956.23	quota media	657

quota massima	3197	quota minima	76
curva ipsografica 2,5%	2323	curva ipsografica 5%	2089
curva ipsografica 10%	1667	curva ipsografica 25%	800
curva ipsografica 50%	438	curva ipsografica 75%	232
curva ipsografica 90%	152	curva ipsografica 95%	119
curva ipsografica 97,5%	102	distanza interquartile curva ipsografica	568
angolo di esposizione medio	22	lunghezza vettore orientamento	66.8
pendenza bacino	11.54	pendenza bacino quadrato equivalente	0.814
est baricentro (UTM _{32N} WGS84)	424850	nord baricentro (UTM _{32N} WGS84)	4932650
fattore di forma	0.147	rapporto di allungamento	0.433
media funzione di ampiezza	115273	varianza funzione di ampiezza	3.44×10 ⁹
skewness funzione di ampiezza	0.132	kurtosis funzione di ampiezza	1.773
rapporto aree medie di due ordini adiacenti	4.492	rapporto di biforcazione	4.013
rapporto lunghezze medie di due ordini adiacenti	2.147	rapporto pendenze medie di due ordini adiacenti	2.514
densità di drenaggio	0.717	diametro topologico	179
lunghezza LDP	232.473	lunghezza asta principale	230.949
lunghezza totale reticolo idrografico	5702.3	lunghezza media versanti	646
pendenza media LDP	2	media dell'afflusso totale annuo	987
deviazione standard dell'afflusso totale annuo	274	media coeff. pluviale orario CPP	24.672
dev. standard coeff. pluviale orario CPP	4.599	media esponente CPP	0.384
dev. standard esponente CPP	0.08	coeff. di intensità	0.025
media LCV piogge 1 ora	0.181	dev. standard LCV piogge 1 ora	0.018
media LCV piogge 3 ore	0.181	dev. standard LCV piogge 3 ore	0.03
media LCV piogge 6 ore	0.177	dev. standard LCV piogge 6 ore	0.031
media LCV piogge 12 ore	0.181	dev. standard LCV piogge 12 ore	0.03
media LCV piogge 24 ore	0.184	dev. standard LCV piogge 24 ore	0.026
media LCA piogge 1 ora	0.144	dev. standard LCA piogge 1 ora	0.061
media LCA piogge 3 ore	0.197	dev. standard LCA piogge 3 ore	0.06
media LCA piogge 6 ore	0.209	dev. standard LCA piogge 6 ore	0.067
media LCA piogge 12 ore	0.24	dev. standard LCA piogge 12 ore	0.067
media LCA piogge 24 ore	0.226	dev. standard LCA piogge 24 ore	0.057
media coeff. B1 regime pluviometrico	8.1	media coeff. C1 regime pluviometrico	0.4
media coeff. B2 regime pluviometrico	-3	media coeff. C2 regime pluviometrico	-33.7
dev. standard regime pluviometrico	29.9	coeff. variaz. regime pluviometrico	0.354
classe 1 corine land cover	2.41	classe 2 corine land cover	41.24
classe 3 corine land cover	50.76	classe 4 corine land cover	5.18
classe 5 corine land cover	0.41	media NDVI	0.53
dev. standard NDVI	0.099	media curve number 1	47.2
media curve number 2	66.2	media curve number 3	81.7
dev. standard curve number 1	10.2	dev. standard curve number 2	10
dev. standard curve number 3	8.3	media indice di permeabilità vapi	0.46
dev. standard indice di permeabilità vapi	0.183		

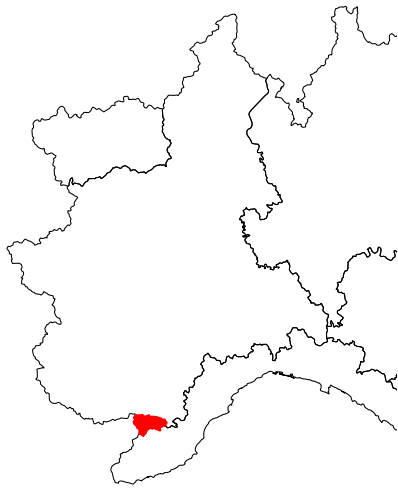


Tanaro a Nucetto

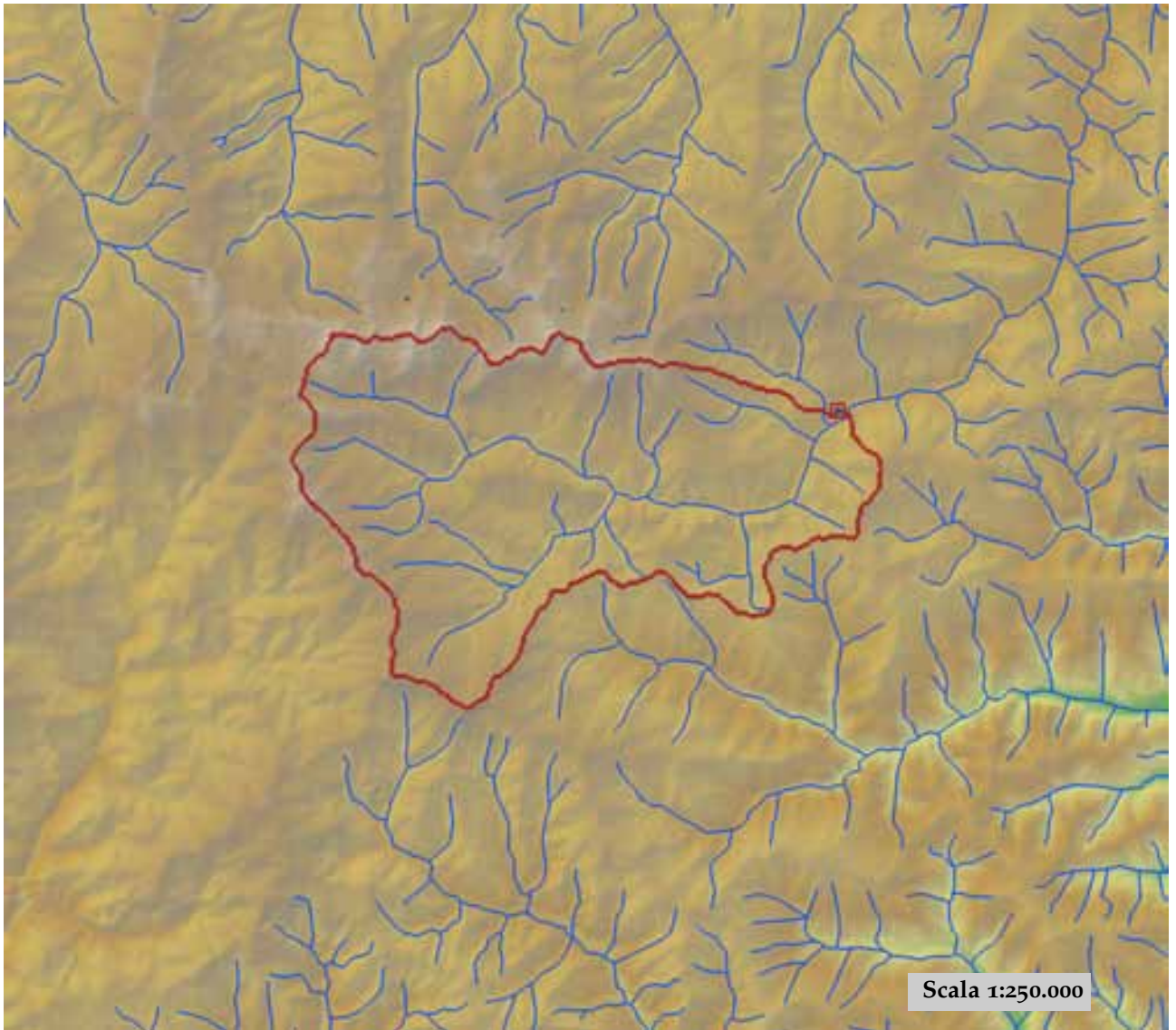


est (UTM ₃₂ N WGS84)	425191	nord (UTM ₃₂ N WGS84)	4910271
est DEM (UTM ₃₂ N WGS84)	425280	nord DEM (UTM ₃₂ N WGS84)	4910519
area bacino	374.77	quota media	1232

quota massima	2622	quota minima	450
curva ipsografica 2,5%	2252	curva ipsografica 5%	2117
curva ipsografica 10%	1948	curva ipsografica 25%	1556
curva ipsografica 50%	1156	curva ipsografica 75%	844
curva ipsografica 90%	654	curva ipsografica 95%	577
curva ipsografica 97,5%	529	distanza interquartile curva ipsografica	712
angolo di esposizione medio	120	lunghezza vettore orientamento	22.6
pendenza bacino	20.274	pendenza bacino quadrato equivalente	7.304
est baricentro (UTM32N WGS84)	411850	nord baricentro (UTM32N WGS84)	4892350
fattore di forma	0.112	rapporto di allungamento	0.377
media funzione di ampiezza	32768	varianza funzione di ampiezza	2.56×10^8
skewness funzione di ampiezza	-0.185	kurtosis funzione di ampiezza	1.82
rapporto aree medie di due ordini adiacenti	4.056	rapporto di biforcazione	5.477
rapporto lunghezze medie di due ordini adiacenti	2.018	rapporto pendenze medie di due ordini adiacenti	2.328
densità di drenaggio	0.589	diametro topologico	51
lunghezza LDP	57.896	lunghezza asta principale	56.371
lunghezza totale reticolo idrografico	220.6	lunghezza media versanti	689
pendenza media LDP	7	media dell'afflusso totale annuo	1202
deviazione standard dell'afflusso totale annuo	54	media coeff. pluviale orario CPP	24.055
dev. standard coeff. pluviale orario CPP	1.298	media esponente CPP	0.487
dev. standard esponente CPP	0.031	coeff. di intensità	0.02
media LCV piogge 1 ora	0.157	dev. standard LCV piogge 1 ora	0.009
media LCV piogge 3 ore	0.16	dev. standard LCV piogge 3 ore	0.008
media LCV piogge 6 ore	0.168	dev. standard LCV piogge 6 ore	0.011
media LCV piogge 12 ore	0.187	dev. standard LCV piogge 12 ore	0.012
media LCV piogge 24 ore	0.191	dev. standard LCV piogge 24 ore	0.012
media LCA piogge 1 ora	0.173	dev. standard LCA piogge 1 ora	0.033
media LCA piogge 3 ore	0.213	dev. standard LCA piogge 3 ore	0.036
media LCA piogge 6 ore	0.234	dev. standard LCA piogge 6 ore	0.033
media LCA piogge 12 ore	0.279	dev. standard LCA piogge 12 ore	0.027
media LCA piogge 24 ore	0.233	dev. standard LCA piogge 24 ore	0.027
media coeff. B1 regime pluviometrico	14.4	media coeff. C1 regime pluviometrico	-4
media coeff. B2 regime pluviometrico	1.3	media coeff. C2 regime pluviometrico	-43.7
dev. standard regime pluviometrico	37.7	coeff. variaz. regime pluviometrico	0.389
classe 1 corine land cover	0.92	classe 2 corine land cover	73.95
classe 3 corine land cover	20.68	classe 4 corine land cover	4.46
classe 5 corine land cover	0	media NDVI	0.547
dev. standard NDVI	0.103	media curve number 1	41
media curve number 2	60.4	media curve number 3	77.5
dev. standard curve number 1	9.7	dev. standard curve number 2	10.3
dev. standard curve number 3	8.6	media indice di permeabilità vapi	0.383
dev. standard indice di permeabilità vapi	0.175		



Tanaro a Ormea

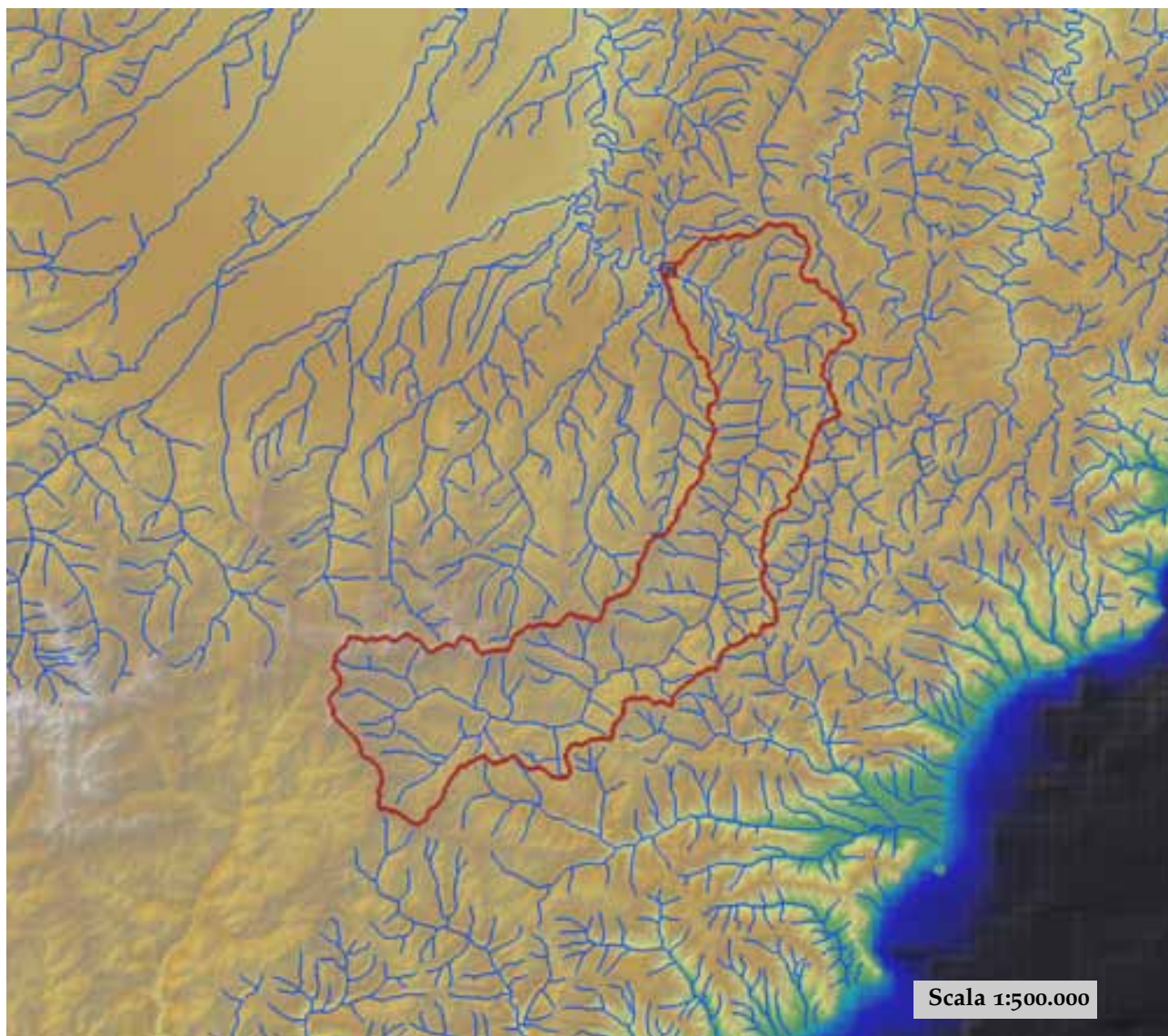


est (UTM ₃₂ N WGS84)	413231	nord (UTM ₃₂ N WGS84)	488845
est DEM (UTM ₃₂ N WGS84)	413186	nord DEM (UTM ₃₂ N WGS84)	4889264
area bacino	175.52	quota media	1524

quota massima	2622	quota minima	713
curva ipsografica 2,5%	2354	curva ipsografica 5%	2260
curva ipsografica 10%	2119	curva ipsografica 25%	1837
curva ipsografica 50%	1468	curva ipsografica 75%	1187
curva ipsografica 90%	1011	curva ipsografica 95%	929
curva ipsografica 97,5%	870	distanza interquartile curva ipsografica	650
angolo di esposizione medio	126	lunghezza vettore orientamento	10.6
pendenza bacino	22.212	pendenza bacino quadrato equivalente	11.413
est baricentro (UTM _{32N} WGS84)	402950	nord baricentro (UTM _{32N} WGS84)	4886550
fattore di forma	0.255	rapporto di allungamento	0.57
media funzione di ampiezza	15645	varianza funzione di ampiezza	4.43×10 ⁷
skewness funzione di ampiezza	-0.447	kurtosis funzione di ampiezza	2.059
rapporto aree medie di due ordini adiacenti	4.89	rapporto di biforcazione	4.69
rapporto lunghezze medie di due ordini adiacenti	2.519	rapporto pendenze medie di due ordini adiacenti	2.366
densità di drenaggio	0.583	diametro topologico	19
lunghezza LDP	26.242	lunghezza asta principale	24.718
lunghezza totale reticolo idrografico	102.4	lunghezza media versanti	684
pendenza media LDP	10	media dell'afflusso totale annuo	1211
deviazione standard dell'afflusso totale annuo	42	media coeff. pluviale orario CPP	23.567
dev. standard coeff. pluviale orario CPP	1.174	media esponente CPP	0.507
dev. standard esponente CPP	0.007	coeff. di intensità	0.019
media LCV piogge 1 ora	0.16	dev. standard LCV piogge 1 ora	0.008
media LCV piogge 3 ore	0.157	dev. standard LCV piogge 3 ore	0.007
media LCV piogge 6 ore	0.166	dev. standard LCV piogge 6 ore	0.009
media LCV piogge 12 ore	0.186	dev. standard LCV piogge 12 ore	0.008
media LCV piogge 24 ore	0.196	dev. standard LCV piogge 24 ore	0.011
media LCA piogge 1 ora	0.159	dev. standard LCA piogge 1 ora	0.036
media LCA piogge 3 ore	0.224	dev. standard LCA piogge 3 ore	0.033
media LCA piogge 6 ore	0.237	dev. standard LCA piogge 6 ore	0.026
media LCA piogge 12 ore	0.286	dev. standard LCA piogge 12 ore	0.02
media LCA piogge 24 ore	0.245	dev. standard LCA piogge 24 ore	0.026
media coeff. B1 regime pluviometrico	12.4	media coeff. C1 regime pluviometrico	-4.6
media coeff. B2 regime pluviometrico	2.8	media coeff. C2 regime pluviometrico	-41
dev. standard regime pluviometrico	34	coeff. variaz. regime pluviometrico	0.352
classe 1 corine land cover	0.13	classe 2 corine land cover	70.17
classe 3 corine land cover	20.9	classe 4 corine land cover	8.83
classe 5 corine land cover	0	media NDVI	0.513
dev. standard NDVI	0.11	media curve number 1	41
media curve number 2	60.3	media curve number 3	77.3
dev. standard curve number 1	10	dev. standard curve number 2	10.6
dev. standard curve number 3	9.1	media indice di permeabilità vapi	0.35
dev. standard indice di permeabilità vapi	0.163		

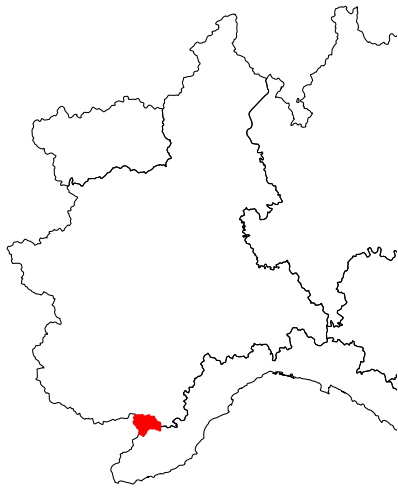


Tanaro a Piantorre

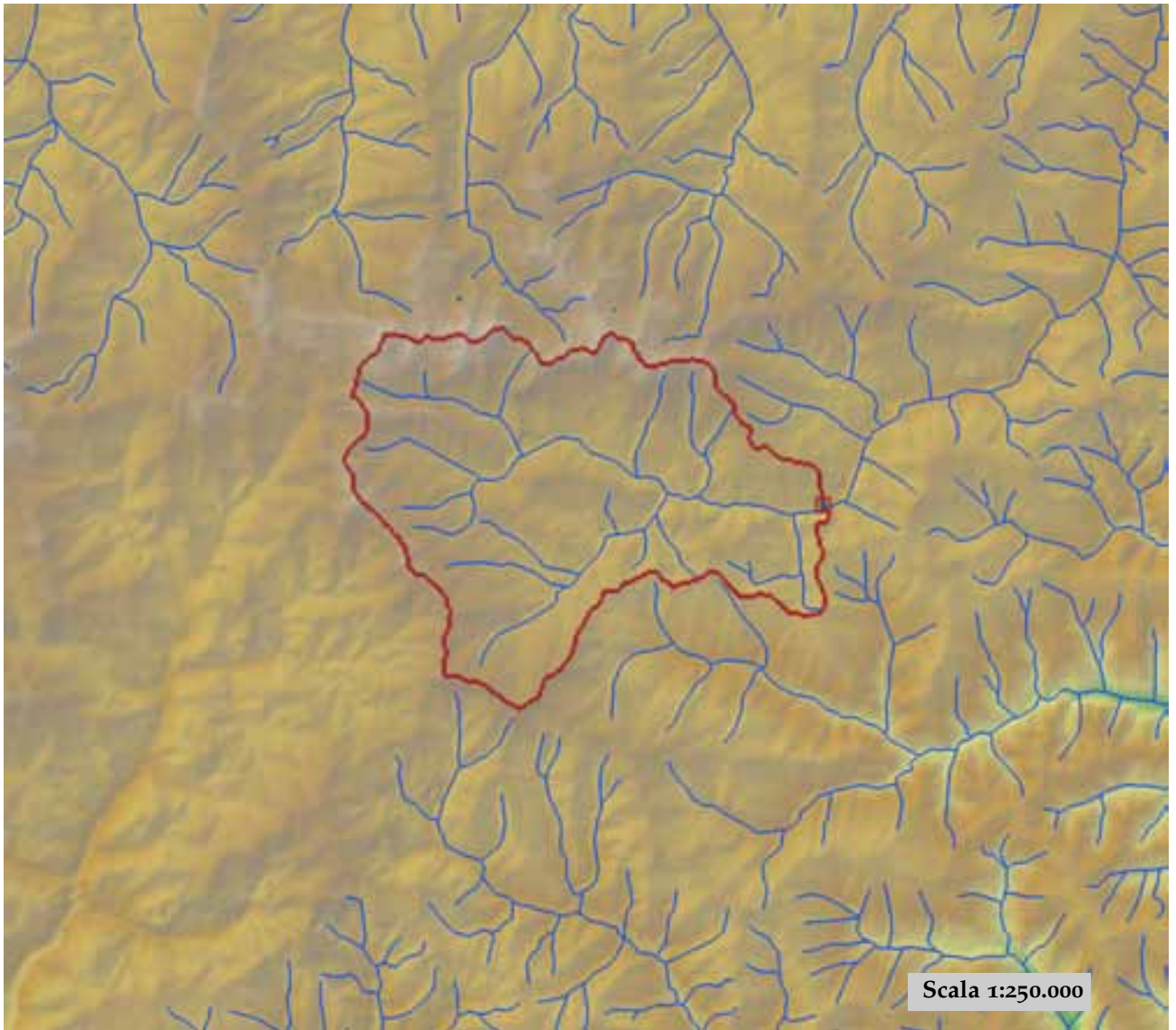


est (UTM ₃₂ N WGS84)	418169	nord (UTM ₃₂ N WGS84)	4918794
est DEM (UTM ₃₂ N WGS84)	418053	nord DEM (UTM ₃₂ N WGS84)	4918756
area bacino	500.35	quota media	1067

quota massima	2622	quota minima	340
curva ipsografica 2,5%	2195	curva ipsografica 5%	2054
curva ipsografica 10%	1843	curva ipsografica 25%	1408
curva ipsografica 50%	942	curva ipsografica 75%	646
curva ipsografica 90%	515	curva ipsografica 95%	463
curva ipsografica 97,5%	417	distanza interquartile curva ipsografica	762
angolo di esposizione medio	112	lunghezza vettore orientamento	24.9
pendenza bacino	17.79	pendenza bacino quadrato equivalente	5.392
est baricentro (UTM _{32N} WGS84)	419450	nord baricentro (UTM _{32N} WGS84)	4893850
fattore di forma	0.095	rapporto di allungamento	0.348
media funzione di ampiezza	38524	varianza funzione di ampiezza	4.31×10 ⁸
skewness funzione di ampiezza	-0.008	kurtosis funzione di ampiezza	1.681
rapporto aree medie di due ordini adiacenti	4.347	rapporto di biforcazione	5.362
rapporto lunghezze medie di due ordini adiacenti	1.986	rapporto pendenze medie di due ordini adiacenti	2.311
densità di drenaggio	0.62	diametro topologico	61
lunghezza LDP	72.498	lunghezza asta principale	70.974
lunghezza totale reticolo idrografico	310.1	lunghezza media versanti	662
pendenza media LDP	6	media dell'afflusso totale annuo	1140
deviazione standard dell'afflusso totale annuo	120	media coeff. pluviale orario CPP	23.951
dev. standard coeff. pluviale orario CPP	1.18	media esponente CPP	0.463
dev. standard esponente CPP	0.05	coeff. di intensità	0.021
media LCV piogge 1 ora	0.162	dev. standard LCV piogge 1 ora	0.012
media LCV piogge 3 ore	0.165	dev. standard LCV piogge 3 ore	0.011
media LCV piogge 6 ore	0.166	dev. standard LCV piogge 6 ore	0.011
media LCV piogge 12 ore	0.182	dev. standard LCV piogge 12 ore	0.014
media LCV piogge 24 ore	0.188	dev. standard LCV piogge 24 ore	0.013
media LCA piogge 1 ora	0.152	dev. standard LCA piogge 1 ora	0.051
media LCA piogge 3 ore	0.2	dev. standard LCA piogge 3 ore	0.041
media LCA piogge 6 ore	0.218	dev. standard LCA piogge 6 ore	0.042
media LCA piogge 12 ore	0.265	dev. standard LCA piogge 12 ore	0.036
media LCA piogge 24 ore	0.231	dev. standard LCA piogge 24 ore	0.029
media coeff. B1 regime pluviometrico	13.4	media coeff. C1 regime pluviometrico	-3
media coeff. B2 regime pluviometrico	0.5	media coeff. C2 regime pluviometrico	-41.3
dev. standard regime pluviometrico	35.3	coeff. variaz. regime pluviometrico	0.376
classe 1 corine land cover	1.43	classe 2 corine land cover	68.26
classe 3 corine land cover	26.99	classe 4 corine land cover	3.34
classe 5 corine land cover	0	media NDVI	0.559
dev. standard NDVI	0.087	media curve number 1	42.4
media curve number 2	61.8	media curve number 3	78.5
dev. standard curve number 1	9.5	dev. standard curve number 2	9.8
dev. standard curve number 3	8	media indice di permeabilità vapi	0.415
dev. standard indice di permeabilità vapi	0.174		



Tanaro a Ponte di Nava

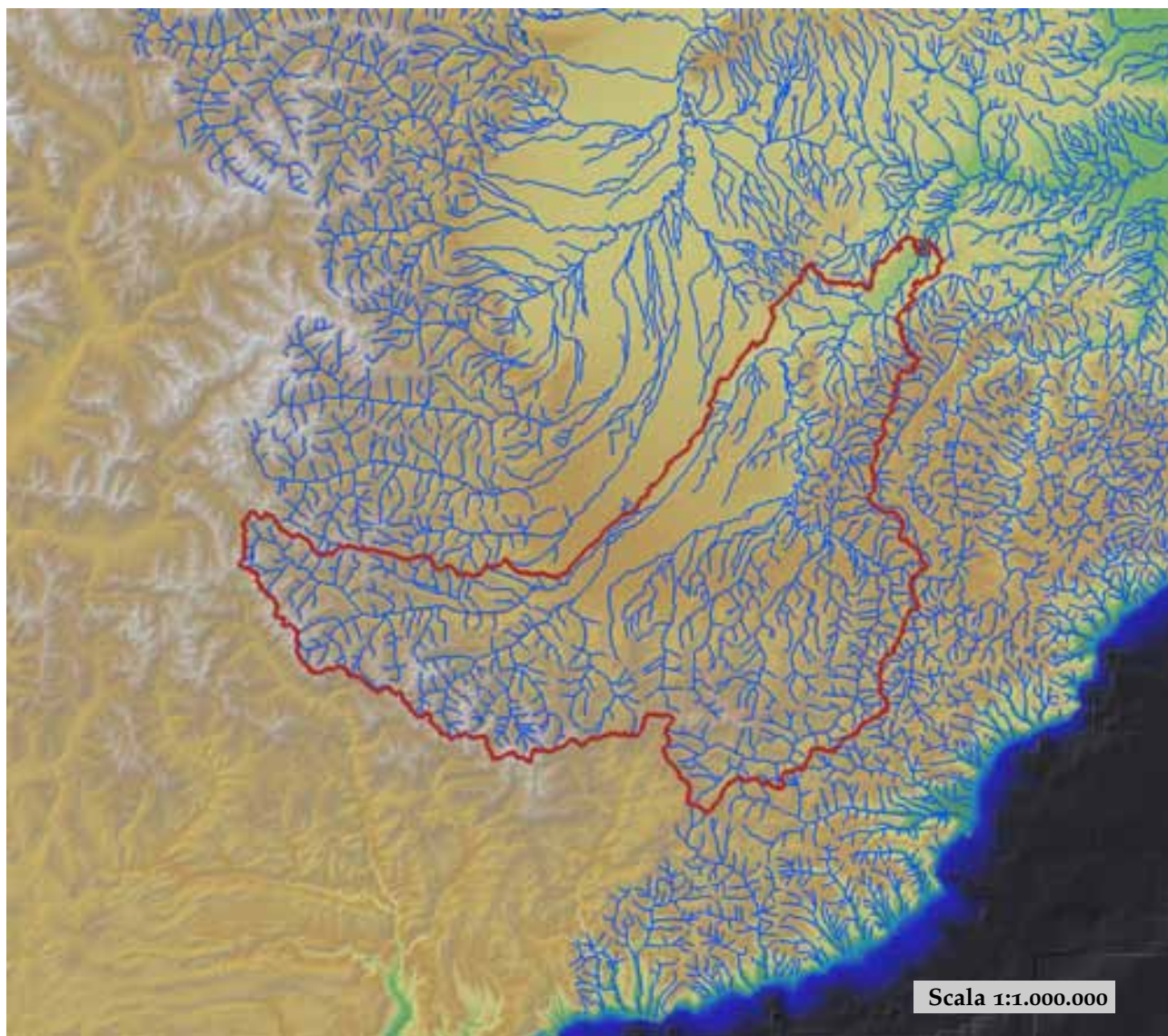


est (UTM ₃₂ N WGS84)	409392	nord (UTM ₃₂ N WGS84)	4885563
est DEM (UTM ₃₂ N WGS84)	410758	nord DEM (UTM ₃₂ N WGS84)	4885835
area bacino	148.81	quota media	1580

quota massima	2622	quota minima	792
curva ipsografica 2,5%	2369	curva ipsografica 5%	2284
curva ipsografica 10%	2152	curva ipsografica 25%	1891
curva ipsografica 50%	1530	curva ipsografica 75%	1255
curva ipsografica 90%	1075	curva ipsografica 95%	989
curva ipsografica 97,5%	933	distanza interquartile curva ipsografica	636
angolo di esposizione medio	131	lunghezza vettore orientamento	9.3
pendenza bacino	22.444	pendenza bacino quadrato equivalente	12.116
est baricentro (UTM _{32N} WGS84)	401450	nord baricentro (UTM _{32N} WGS84)	4886350
fattore di forma	0.322	rapporto di allungamento	0.64
media funzione di ampiezza	12880	varianza funzione di ampiezza	2.60×10 ⁷
skewness funzione di ampiezza	-0.442	kurtosis funzione di ampiezza	2.282
rapporto aree medie di due ordini adiacenti	4.889	rapporto di biforcazione	4.301
rapporto lunghezze medie di due ordini adiacenti	2.519	rapporto pendenze medie di due ordini adiacenti	2.379
densità di drenaggio	0.579	diametro topologico	15
lunghezza LDP	21.497	lunghezza asta principale	19.972
lunghezza totale reticolo idrografico	86.1	lunghezza media versanti	695
pendenza media LDP	11	media dell'afflusso totale annuo	1217
deviazione standard dell'afflusso totale annuo	40	media coeff. pluviale orario CPP	23.65
dev. standard coeff. pluviale orario CPP	1.223	media esponente CPP	0.507
dev. standard esponente CPP	0.007	coeff. di intensità	0.019
media LCV piogge 1 ora	0.159	dev. standard LCV piogge 1 ora	0.008
media LCV piogge 3 ore	0.155	dev. standard LCV piogge 3 ore	0.006
media LCV piogge 6 ore	0.164	dev. standard LCV piogge 6 ore	0.009
media LCV piogge 12 ore	0.185	dev. standard LCV piogge 12 ore	0.008
media LCV piogge 24 ore	0.196	dev. standard LCV piogge 24 ore	0.012
media LCA piogge 1 ora	0.152	dev. standard LCA piogge 1 ora	0.033
media LCA piogge 3 ore	0.219	dev. standard LCA piogge 3 ore	0.033
media LCA piogge 6 ore	0.231	dev. standard LCA piogge 6 ore	0.024
media LCA piogge 12 ore	0.281	dev. standard LCA piogge 12 ore	0.017
media LCA piogge 24 ore	0.245	dev. standard LCA piogge 24 ore	0.029
media coeff. B1 regime pluviometrico	11.6	media coeff. C1 regime pluviometrico	-5.5
media coeff. B2 regime pluviometrico	3.4	media coeff. C2 regime pluviometrico	-41
dev. standard regime pluviometrico	33.9	coeff. variaz. regime pluviometrico	0.351
classe 1 corine land cover	0	classe 2 corine land cover	68.88
classe 3 corine land cover	20.74	classe 4 corine land cover	10.41
classe 5 corine land cover	0	media NDVI	0.505
dev. standard NDVI	0.114	media curve number 1	41.8
media curve number 2	61.1	media curve number 3	77.9
dev. standard curve number 1	9.8	dev. standard curve number 2	10.4
dev. standard curve number 3	9	media indice di permeabilità vapi	0.369
dev. standard indice di permeabilità vapi	0.162		

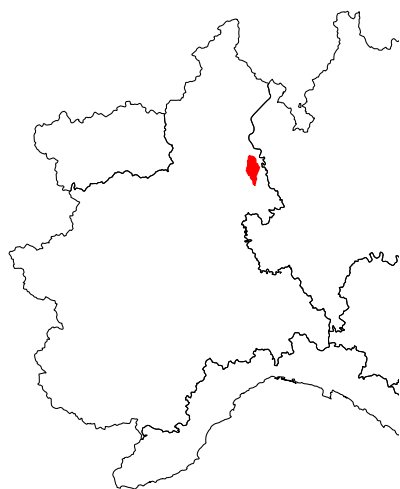


Tanaro a San Martino Alfieri

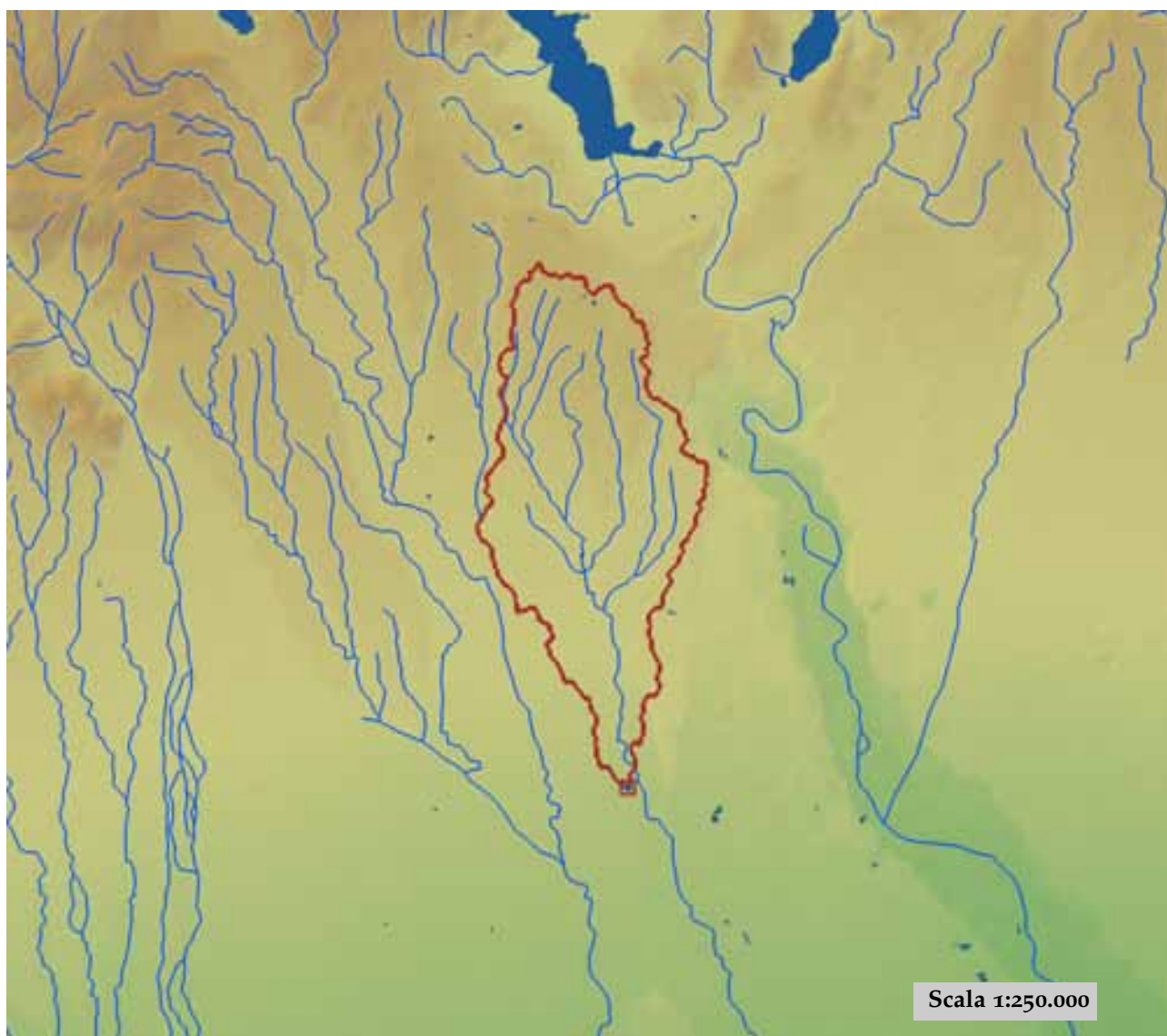


est (UTM ₃₂ N WGS84)	431007	nord (UTM ₃₂ N WGS84)	4960571
est DEM (UTM ₃₂ N WGS84)	431090	nord DEM (UTM ₃₂ N WGS84)	4960506
area bacino	3541.95	quota media	1036

quota massima	3197	quota minima	126
curva ipsografica 2,5%	2498	curva ipsografica 5%	2354
curva ipsografica 10%	2135	curva ipsografica 25%	1576
curva ipsografica 50%	803	curva ipsografica 75%	435
curva ipsografica 90%	307	curva ipsografica 95%	232
curva ipsografica 97,5%	195	distanza interquartile curva ipsografica	1141
angolo di esposizione medio	24	lunghezza vettore orientamento	60.3
pendenza bacino	15.616	pendenza bacino quadrato equivalente	2.278
est baricentro (UTM _{32N} WGS84)	394150	nord baricentro (UTM _{32N} WGS84)	4912850
fattore di forma	0.138	rapporto di allungamento	0.419
media funzione di ampiezza	95676	varianza funzione di ampiezza	1.25×10 ⁹
skewness funzione di ampiezza	-0.669	kurtosis funzione di ampiezza	2.75
rapporto aree medie di due ordini adiacenti	5.043	rapporto di biforcazione	4.449
rapporto lunghezze medie di due ordini adiacenti	2.65	rapporto pendenze medie di due ordini adiacenti	2.509
densità di drenaggio	0.693	diametro topologico	115
lunghezza LDP	160.287	lunghezza asta principale	158.763
lunghezza totale reticolo idrografico	2454.1	lunghezza media versanti	680
pendenza media LDP	3	media dell'afflusso totale annuo	1078
deviazione standard dell'afflusso totale annuo	222	media coeff. pluviale orario CPP	21.897
dev. standard coeff. pluviale orario CPP	3.545	media esponente CPP	0.419
dev. standard esponente CPP	0.081	coeff. di intensità	0.02
media LCV piogge 1 ora	0.182	dev. standard LCV piogge 1 ora	0.017
media LCV piogge 3 ore	0.164	dev. standard LCV piogge 3 ore	0.017
media LCV piogge 6 ore	0.156	dev. standard LCV piogge 6 ore	0.018
media LCV piogge 12 ore	0.162	dev. standard LCV piogge 12 ore	0.017
media LCV piogge 24 ore	0.168	dev. standard LCV piogge 24 ore	0.014
media LCA piogge 1 ora	0.167	dev. standard LCA piogge 1 ora	0.058
media LCA piogge 3 ore	0.182	dev. standard LCA piogge 3 ore	0.054
media LCA piogge 6 ore	0.181	dev. standard LCA piogge 6 ore	0.075
media LCA piogge 12 ore	0.208	dev. standard LCA piogge 12 ore	0.076
media LCA piogge 24 ore	0.194	dev. standard LCA piogge 24 ore	0.063
media coeff. B1 regime pluviometrico	3.8	media coeff. C1 regime pluviometrico	2
media coeff. B2 regime pluviometrico	-1.2	media coeff. C2 regime pluviometrico	-35.4
dev. standard regime pluviometrico	29.8	coeff. variaz. regime pluviometrico	0.322
classe 1 corine land cover	2.45	classe 2 corine land cover	43.47
classe 3 corine land cover	43.16	classe 4 corine land cover	10.59
classe 5 corine land cover	0.33	media NDVI	0.494
dev. standard NDVI	0.126	media curve number 1	44.2
media curve number 2	63.1	media curve number 3	79.1
dev. standard curve number 1	12.1	dev. standard curve number 2	12.3
dev. standard curve number 3	10.5	media indice di permeabilità vapi	0.392
dev. standard indice di permeabilità vapi	0.172		

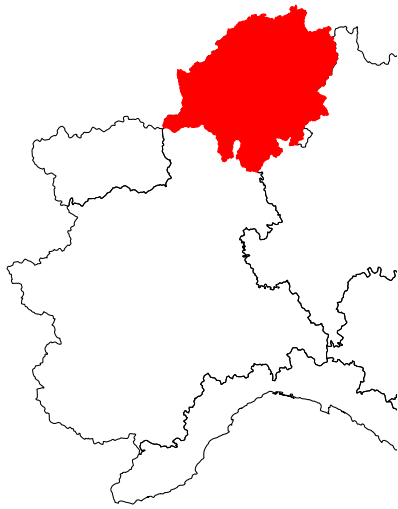


Terdoppio a Caltignaga

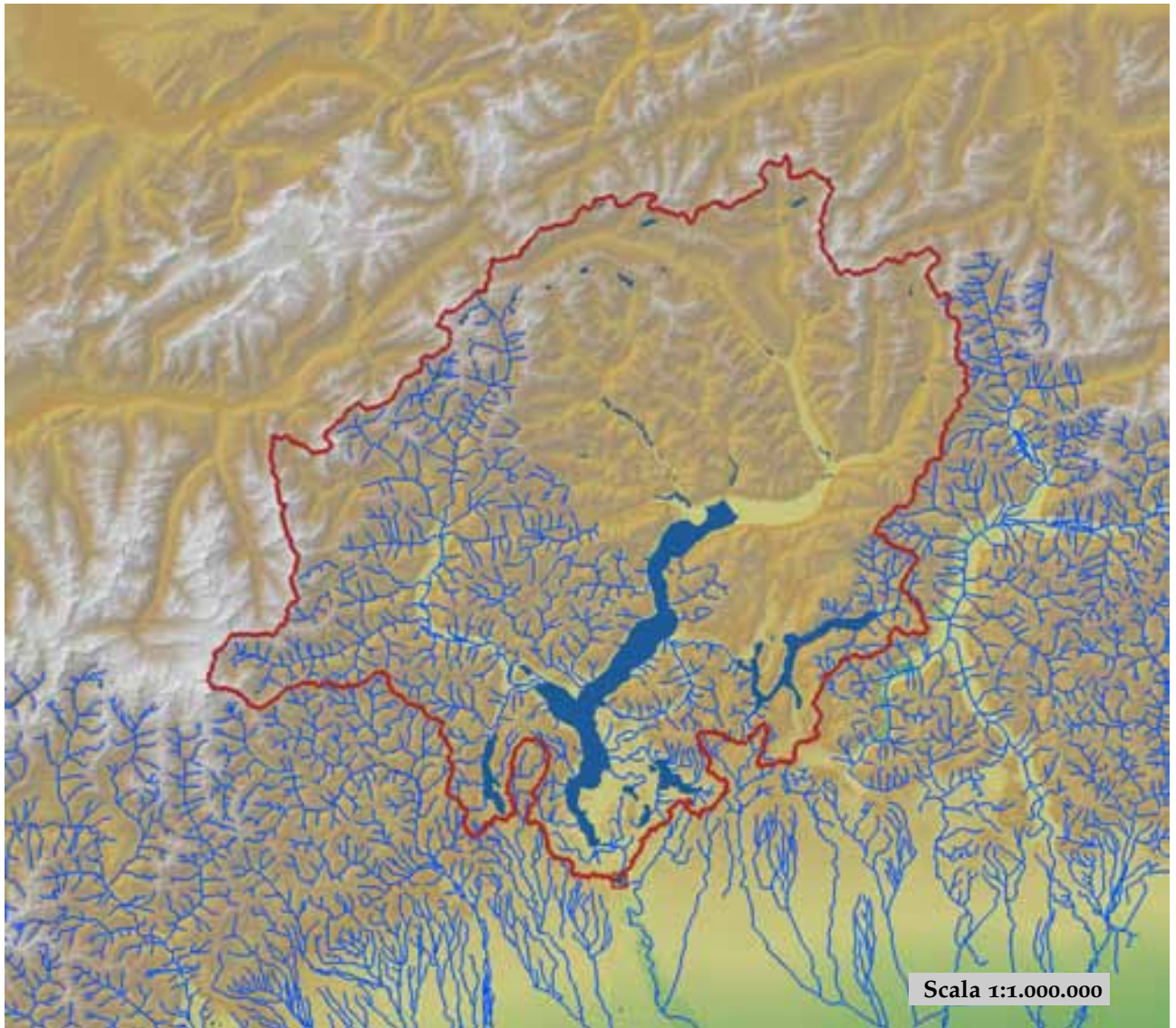


est (UTM ₃₂ N WGS84)	469533	nord (UTM ₃₂ N WGS84)	5040651
est DEM (UTM ₃₂ N WGS84)	469144	nord DEM (UTM ₃₂ N WGS84)	5040557
area bacino	88.96	quota media	254

quota massima	368	quota minima	171
curva ipsografica 2,5%	340	curva ipsografica 5%	333
curva ipsografica 10%	325	curva ipsografica 25%	296
curva ipsografica 50%	241	curva ipsografica 75%	217
curva ipsografica 90%	199	curva ipsografica 95%	189
curva ipsografica 97,5%	182	distanza interquartile curva ipsografica	79
angolo di esposizione medio	187	lunghezza vettore orientamento	10.7
pendenza bacino	1.375	pendenza bacino quadrato equivalente	1.506
est baricentro (UTM _{32N} WGS84)	467750	nord baricentro (UTM _{32N} WGS84)	5051150
fattore di forma	0.134	rapporto di allungamento	0.413
media funzione di ampiezza	14373	varianza funzione di ampiezza	3.37×10 ⁷
skewness funzione di ampiezza	-0.231	kurtosis funzione di ampiezza	2.343
rapporto aree medie di due ordini adiacenti	6.025	rapporto di biforcazione	4.75
rapporto lunghezze medie di due ordini adiacenti	3.541	rapporto pendenze medie di due ordini adiacenti	1.355
densità di drenaggio	0.988	diametro topologico	12
lunghezza LDP	25.749	lunghezza asta principale	23.859
lunghezza totale reticolo idrografico	87.9	lunghezza media versanti	642
pendenza media LDP	1	media dell'afflusso totale annuo	1202
deviazione standard dell'afflusso totale annuo	77	media coeff. pluviale orario CPP	31.482
dev. standard coeff. pluviale orario CPP	0.7	media esponente CPP	0.329
dev. standard esponente CPP	0.009	coeff. di intensità	0.026
media LCV piogge 1 ora	0.152	dev. standard LCV piogge 1 ora	0.004
media LCV piogge 3 ore	0.151	dev. standard LCV piogge 3 ore	0.004
media LCV piogge 6 ore	0.156	dev. standard LCV piogge 6 ore	0.002
media LCV piogge 12 ore	0.147	dev. standard LCV piogge 12 ore	0.002
media LCV piogge 24 ore	0.149	dev. standard LCV piogge 24 ore	0.002
media LCA piogge 1 ora	0.149	dev. standard LCA piogge 1 ora	0.011
media LCA piogge 3 ore	0.203	dev. standard LCA piogge 3 ore	0.01
media LCA piogge 6 ore	0.201	dev. standard LCA piogge 6 ore	0.02
media LCA piogge 12 ore	0.175	dev. standard LCA piogge 12 ore	0.015
media LCA piogge 24 ore	0.103	dev. standard LCA piogge 24 ore	0.006
media coeff. B1 regime pluviometrico	-21.6	media coeff. C1 regime pluviometrico	-5.3
media coeff. B2 regime pluviometrico	-4	media coeff. C2 regime pluviometrico	-26.3
dev. standard regime pluviometrico	26.4	coeff. variaz. regime pluviometrico	0.268
classe 1 corine land cover	4.55	classe 2 corine land cover	17.5
classe 3 corine land cover	77.99	classe 4 corine land cover	0
classe 5 corine land cover	0	media NDVI	0.557
dev. standard NDVI	0.039	media curve number 1	53.9
media curve number 2	72.4	media curve number 3	86.3
dev. standard curve number 1	4.7	dev. standard curve number 2	3.9
dev. standard curve number 3	2.7	media indice di permeabilità vapi	0.301
dev. standard indice di permeabilità vapi	0.026		

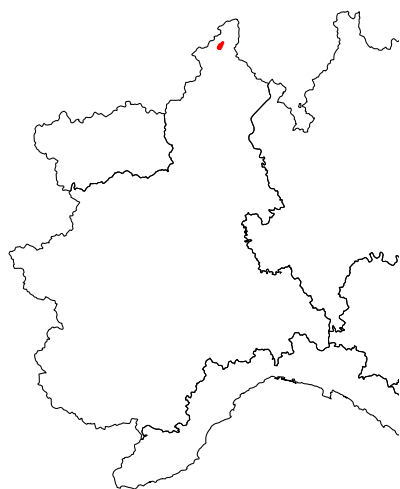


Ticino a Miorina

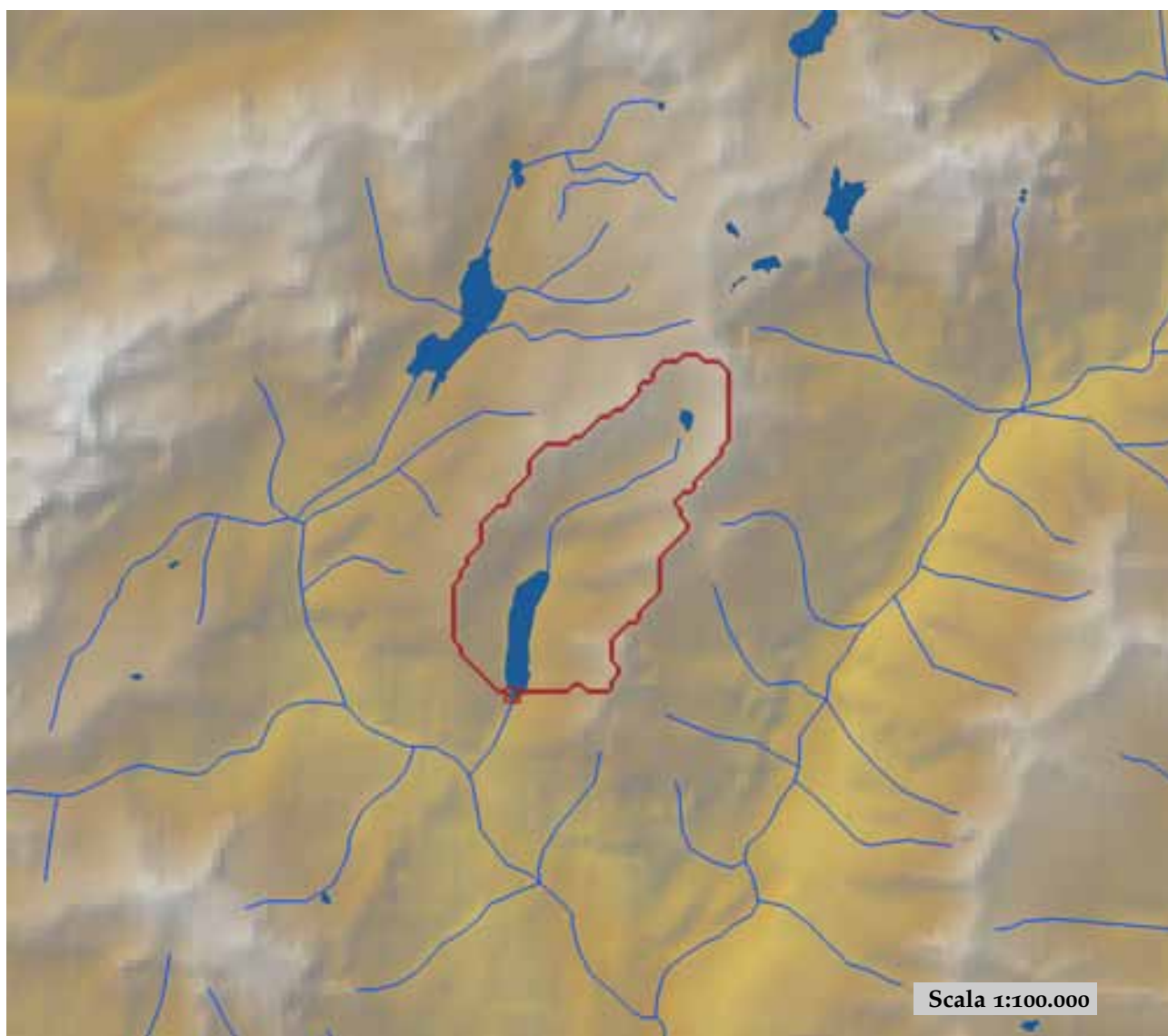


est (UTM ₃₂ N WGS84)	474278	nord (UTM ₃₂ N WGS84)	5058225
est DEM (UTM ₃₂ N WGS84)	472154	nord DEM (UTM ₃₂ N WGS84)	5058438
area bacino	6654.86	quota media	1290

quota massima	4572	quota minima	0
curva ipsografica 2,5%	2686	curva ipsografica 5%	2514
curva ipsografica 10%	2308	curva ipsografica 25%	1889
curva ipsografica 50%	1263	curva ipsografica 75%	625
curva ipsografica 90%	277	curva ipsografica 95%	212
curva ipsografica 97,5%	193	distanza interquartile curva ipsografica	1264
angolo di esposizione medio	142	lunghezza vettore orientamento	54.3
pendenza bacino	23.68	pendenza bacino quadrato equivalente	3.099
est baricentro (UTM _{32N} WGS84)	472750	nord baricentro (UTM _{32N} WGS84)	5112750
fattore di forma	0.165	rapporto di allungamento	0.458
media funzione di ampiezza	111743	varianza funzione di ampiezza	1.42×10 ⁹
skewness funzione di ampiezza	-0.362	kurtosis funzione di ampiezza	2.958
rapporto aree medie di due ordini adiacenti	4.644	rapporto di biforcazione	4.236
rapporto lunghezze medie di due ordini adiacenti	2.313	rapporto pendenze medie di due ordini adiacenti	2.608
densità di drenaggio	0.619	diametro topologico	182
lunghezza LDP	200.965	lunghezza asta principale	199.358
lunghezza totale reticolo idrografico	4117.2	lunghezza media versanti	782
pendenza media LDP	3	media dell'afflusso totale annuo	1769
deviazione standard dell'afflusso totale annuo	247	media coeff. pluviale orario CPP	26.487
dev. standard coeff. pluviale orario CPP	6.41	media esponente CPP	0.477
dev. standard esponente CPP	0.069	coeff. di intensità	0.015
media LCV piogge 1 ora	0.142	dev. standard LCV piogge 1 ora	0.036
media LCV piogge 3 ore	0.148	dev. standard LCV piogge 3 ore	0.026
media LCV piogge 6 ore	0.15	dev. standard LCV piogge 6 ore	0.021
media LCV piogge 12 ore	0.159	dev. standard LCV piogge 12 ore	0.017
media LCV piogge 24 ore	0.168	dev. standard LCV piogge 24 ore	0.017
media LCA piogge 1 ora	0.148	dev. standard LCA piogge 1 ora	0.06
media LCA piogge 3 ore	0.174	dev. standard LCA piogge 3 ore	0.071
media LCA piogge 6 ore	0.196	dev. standard LCA piogge 6 ore	0.051
media LCA piogge 12 ore	0.2	dev. standard LCA piogge 12 ore	0.039
media LCA piogge 24 ore	0.174	dev. standard LCA piogge 24 ore	0.051
media coeff. B1 regime pluviometrico	-40.2	media coeff. C1 regime pluviometrico	-31.8
media coeff. B2 regime pluviometrico	-8.8	media coeff. C2 regime pluviometrico	-39.5
dev. standard regime pluviometrico	51.1	coeff. variaz. regime pluviometrico	0.338
classe 1 corine land cover	6.42	classe 2 corine land cover	57.89
classe 3 corine land cover	19.6	classe 4 corine land cover	8.59
classe 5 corine land cover	7.5	media NDVI	0.469
dev. standard NDVI	0.148	media curve number 1	35.5
media curve number 2	52	media curve number 3	67.5
dev. standard curve number 1	18.8	dev. standard curve number 2	21.7
dev. standard curve number 3	22.5	media indice di permeabilità vapi	0.364
dev. standard indice di permeabilità vapi	0.211		

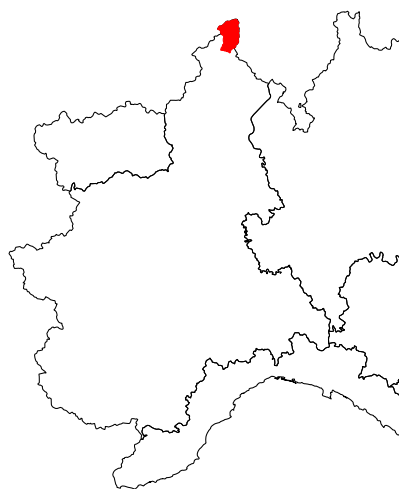


Toce a Agaro

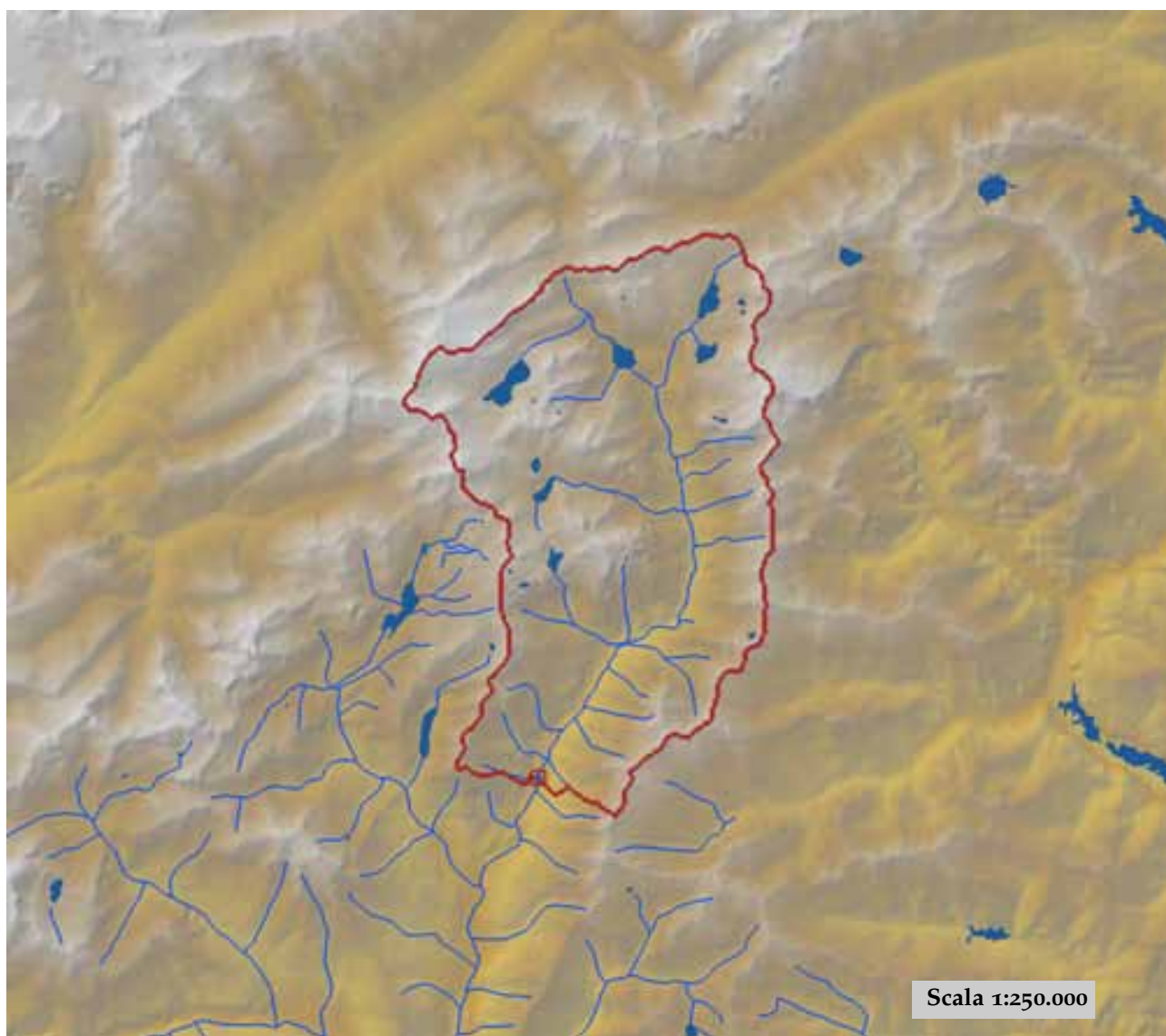


est (UTM ₃₂ N WGS84)	446314	nord (UTM ₃₂ N WGS84)	5126747
est DEM (UTM ₃₂ N WGS84)	446256	nord DEM (UTM ₃₂ N WGS84)	5126738
area bacino	11.17	quota media	2110

quota massima	2664	quota minima	1565
curva ipsografica 2,5%	2557	curva ipsografica 5%	2516
curva ipsografica 10%	2451	curva ipsografica 25%	2315
curva ipsografica 50%	2153	curva ipsografica 75%	1928
curva ipsografica 90%	1663	curva ipsografica 95%	1582
curva ipsografica 97,5%	1574	distanza interquartile curva ipsografica	387
angolo di esposizione medio	225	lunghezza vettore orientamento	2.6
pendenza bacino	27.363	pendenza bacino quadrato equivalente	35.247
est baricentro (UTM _{32N} WGS84)	44735 ⁰	nord baricentro (UTM _{32N} WGS84)	5129150
fattore di forma	0.272	rapporto di allungamento	0.588
media funzione di ampiezza	3248	varianza funzione di ampiezza	2.49×10 ⁶
skewness funzione di ampiezza	0.213	kurtosis funzione di ampiezza	2.21
rapporto aree medie di due ordini adiacenti	-	rapporto di biforcazione	5.911
rapporto lunghezze medie di due ordini adiacenti	0.529	rapporto pendenze medie di due ordini adiacenti	-
densità di drenaggio	-	diametro topologico	3
lunghezza LDP	6.411	lunghezza asta principale	5.387
lunghezza totale reticolo idrografico	-	lunghezza media versanti	629
pendenza media LDP	11	media dell'afflusso totale annuo	1463
deviazione standard dell'afflusso totale annuo	53	media coeff. pluviale orario CPP	19.727
dev. standard coeff. pluviale orario CPP	0.572	media esponente CPP	0.543
dev. standard esponente CPP	0.01	coeff. di intensità	0.013
media LCV piogge 1 ora	0.172	dev. standard LCV piogge 1 ora	0.004
media LCV piogge 3 ore	0.161	dev. standard LCV piogge 3 ore	0.001
media LCV piogge 6 ore	0.156	dev. standard LCV piogge 6 ore	0.001
media LCV piogge 12 ore	0.165	dev. standard LCV piogge 12 ore	0.001
media LCV piogge 24 ore	0.176	dev. standard LCV piogge 24 ore	0.002
media LCA piogge 1 ora	0.259	dev. standard LCA piogge 1 ora	0.003
media LCA piogge 3 ore	0.283	dev. standard LCA piogge 3 ore	0.005
media LCA piogge 6 ore	0.296	dev. standard LCA piogge 6 ore	0.004
media LCA piogge 12 ore	0.255	dev. standard LCA piogge 12 ore	0.002
media LCA piogge 24 ore	0.215	dev. standard LCA piogge 24 ore	0.003
media coeff. B1 regime pluviometrico	-29	media coeff. C1 regime pluviometrico	-23
media coeff. B2 regime pluviometrico	-4.4	media coeff. C2 regime pluviometrico	-31
dev. standard regime pluviometrico	38.1	coeff. variaz. regime pluviometrico	0.347
classe 1 corine land cover	0	classe 2 corine land cover	27.25
classe 3 corine land cover	55.85	classe 4 corine land cover	12.14
classe 5 corine land cover	5.22	media NDVI	0.306
dev. standard NDVI	0.063	media curve number 1	38.5
media curve number 2	56.5	media curve number 3	72.7
dev. standard curve number 1	13.6	dev. standard curve number 2	16.5
dev. standard curve number 3	18	media indice di permeabilità vapi	0.507
dev. standard indice di permeabilità vapi	0.131		

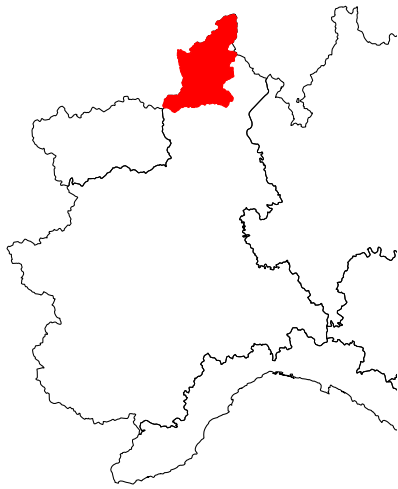


Toce a Cadarese

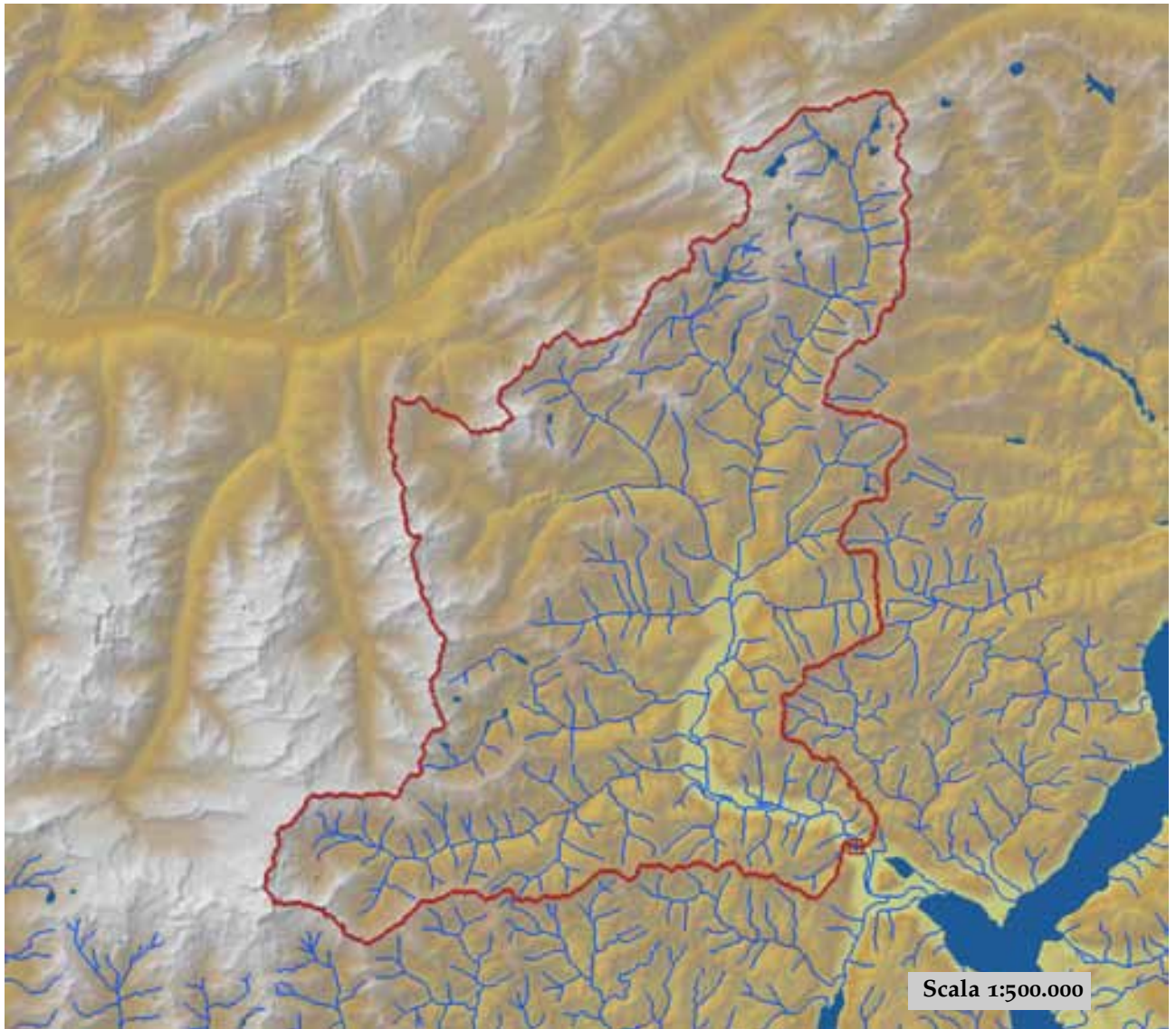


est (UTM ₃₂ N WGS84)	450177	nord (UTM ₃₂ N WGS84)	5125409
est DEM (UTM ₃₂ N WGS84)	450467	nord DEM (UTM ₃₂ N WGS84)	5125992
area bacino	186.54	quota media	2150

quota massima	3331	quota minima	726
curva ipsografica 2,5%	2942	curva ipsografica 5%	2843
curva ipsografica 10%	2720	curva ipsografica 25%	2512
curva ipsografica 50%	2244	curva ipsografica 75%	1827
curva ipsografica 90%	1401	curva ipsografica 95%	1201
curva ipsografica 97,5%	950	distanza interquartile curva ipsografica	685
angolo di esposizione medio	171	lunghezza vettore orientamento	10.3
pendenza bacino	26.873	pendenza bacino quadrato equivalente	22.243
est baricentro (UTM _{32N} WGS84)	453250	nord baricentro (UTM _{32N} WGS84)	5135950
fattore di forma	0.178	rapporto di allungamento	0.476
media funzione di ampiezza	16156	varianza funzione di ampiezza	6.52×10 ⁷
skewness funzione di ampiezza	-0.05	kurtosis funzione di ampiezza	1.951
rapporto aree medie di due ordini adiacenti	5.463	rapporto di biforcazione	4.743
rapporto lunghezze medie di due ordini adiacenti	2.885	rapporto pendenze medie di due ordini adiacenti	1.368
densità di drenaggio	0.63	diametro topologico	29
lunghezza LDP	32.371	lunghezza asta principale	30.663
lunghezza totale reticolo idrografico	117.4	lunghezza media versanti	761
pendenza media LDP	8	media dell'afflusso totale annuo	1428
deviazione standard dell'afflusso totale annuo	60	media coeff. pluviale orario CPP	18.708
dev. standard coeff. pluviale orario CPP	1.423	media esponente CPP	0.55
dev. standard esponente CPP	0.016	coeff. di intensità	0.013
media LCV piogge 1 ora	0.144	dev. standard LCV piogge 1 ora	0.011
media LCV piogge 3 ore	0.155	dev. standard LCV piogge 3 ore	0.004
media LCV piogge 6 ore	0.152	dev. standard LCV piogge 6 ore	0.003
media LCV piogge 12 ore	0.163	dev. standard LCV piogge 12 ore	0.004
media LCV piogge 24 ore	0.176	dev. standard LCV piogge 24 ore	0.006
media LCA piogge 1 ora	0.238	dev. standard LCA piogge 1 ora	0.014
media LCA piogge 3 ore	0.258	dev. standard LCA piogge 3 ore	0.01
media LCA piogge 6 ore	0.247	dev. standard LCA piogge 6 ore	0.022
media LCA piogge 12 ore	0.23	dev. standard LCA piogge 12 ore	0.015
media LCA piogge 24 ore	0.192	dev. standard LCA piogge 24 ore	0.017
media coeff. B1 regime pluviometrico	-17	media coeff. C1 regime pluviometrico	-26.1
media coeff. B2 regime pluviometrico	-2.6	media coeff. C2 regime pluviometrico	-23.9
dev. standard regime pluviometrico	30.3	coeff. variaz. regime pluviometrico	0.263
classe 1 corine land cover	0	classe 2 corine land cover	33.15
classe 3 corine land cover	31.4	classe 4 corine land cover	33.23
classe 5 corine land cover	2.24	media NDVI	0.242
dev. standard NDVI	0.141	media curve number 1	40.9
media curve number 2	58.2	media curve number 3	73.4
dev. standard curve number 1	17.5	dev. standard curve number 2	19.7
dev. standard curve number 3	20.3	media indice di permeabilità vapi	0.42
dev. standard indice di permeabilità vapi	0.211		

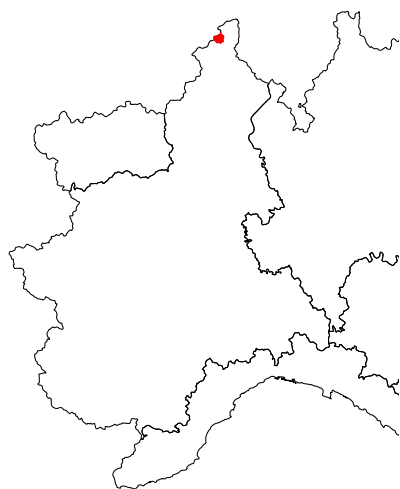


Toce a Candoglia



est (UTM ₃₂ N WGS84)	455210	nord (UTM ₃₂ N WGS84)	5091406
est DEM (UTM ₃₂ N WGS84)	455247	nord DEM (UTM ₃₂ N WGS84)	5090657
area bacino	1539.41	quota media	1677

quota massima	4572	quota minima	198
curva ipsografica 2,5%	3011	curva ipsografica 5%	2798
curva ipsografica 10%	2580	curva ipsografica 25%	2225
curva ipsografica 50%	1726	curva ipsografica 75%	1133
curva ipsografica 90%	637	curva ipsografica 95%	374
curva ipsografica 97,5%	242	distanza interquartile curva ipsografica	1092
angolo di esposizione medio	118	lunghezza vettore orientamento	25.3
pendenza bacino	27.251	pendenza bacino quadrato equivalente	7.794
est baricentro (UTM _{32N} WGS84)	439950	nord baricentro (UTM _{32N} WGS84)	5110850
fattore di forma	0.207	rapporto di allungamento	0.513
media funzione di ampiezza	47177	varianza funzione di ampiezza	2.83×10 ⁸
skewness funzione di ampiezza	-0.346	kurtosis funzione di ampiezza	2.879
rapporto aree medie di due ordini adiacenti	4.584	rapporto di biforcazione	4.6
rapporto lunghezze medie di due ordini adiacenti	2.567	rapporto pendenze medie di due ordini adiacenti	1.82
densità di drenaggio	0.583	diametro topologico	87
lunghezza LDP	86.282	lunghezza asta principale	84.575
lunghezza totale reticolo idrografico	896.8	lunghezza media versanti	792
pendenza media LDP	4	media dell'afflusso totale annuo	1566
deviazione standard dell'afflusso totale annuo	199	media coeff. pluviale orario CPP	21.172
dev. standard coeff. pluviale orario CPP	3.772	media esponente CPP	0.557
dev. standard esponente CPP	0.03	coeff. di intensità	0.014
media LCV piogge 1 ora	0.179	dev. standard LCV piogge 1 ora	0.029
media LCV piogge 3 ore	0.17	dev. standard LCV piogge 3 ore	0.015
media LCV piogge 6 ore	0.159	dev. standard LCV piogge 6 ore	0.012
media LCV piogge 12 ore	0.171	dev. standard LCV piogge 12 ore	0.012
media LCV piogge 24 ore	0.18	dev. standard LCV piogge 24 ore	0.013
media LCA piogge 1 ora	0.17	dev. standard LCA piogge 1 ora	0.081
media LCA piogge 3 ore	0.22	dev. standard LCA piogge 3 ore	0.06
media LCA piogge 6 ore	0.218	dev. standard LCA piogge 6 ore	0.06
media LCA piogge 12 ore	0.208	dev. standard LCA piogge 12 ore	0.046
media LCA piogge 24 ore	0.185	dev. standard LCA piogge 24 ore	0.038
media coeff. B1 regime pluviometrico	-27.7	media coeff. C1 regime pluviometrico	-21.9
media coeff. B2 regime pluviometrico	-5.9	media coeff. C2 regime pluviometrico	-41.3
dev. standard regime pluviometrico	41.9	coeff. variaz. regime pluviometrico	0.332
classe 1 corine land cover	1.45	classe 2 corine land cover	56.54
classe 3 corine land cover	22.72	classe 4 corine land cover	18.74
classe 5 corine land cover	0.55	media NDVI	0.377
dev. standard NDVI	0.163	media curve number 1	36.9
media curve number 2	54.5	media curve number 3	70.8
dev. standard curve number 1	16.9	dev. standard curve number 2	18.7
dev. standard curve number 3	18.3	media indice di permeabilità vapi	0.515
dev. standard indice di permeabilità vapi	0.192		

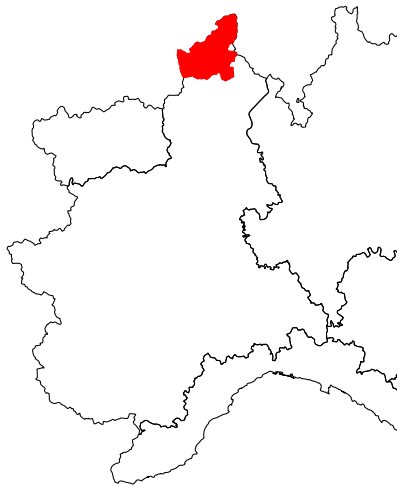


Toce a Codelago

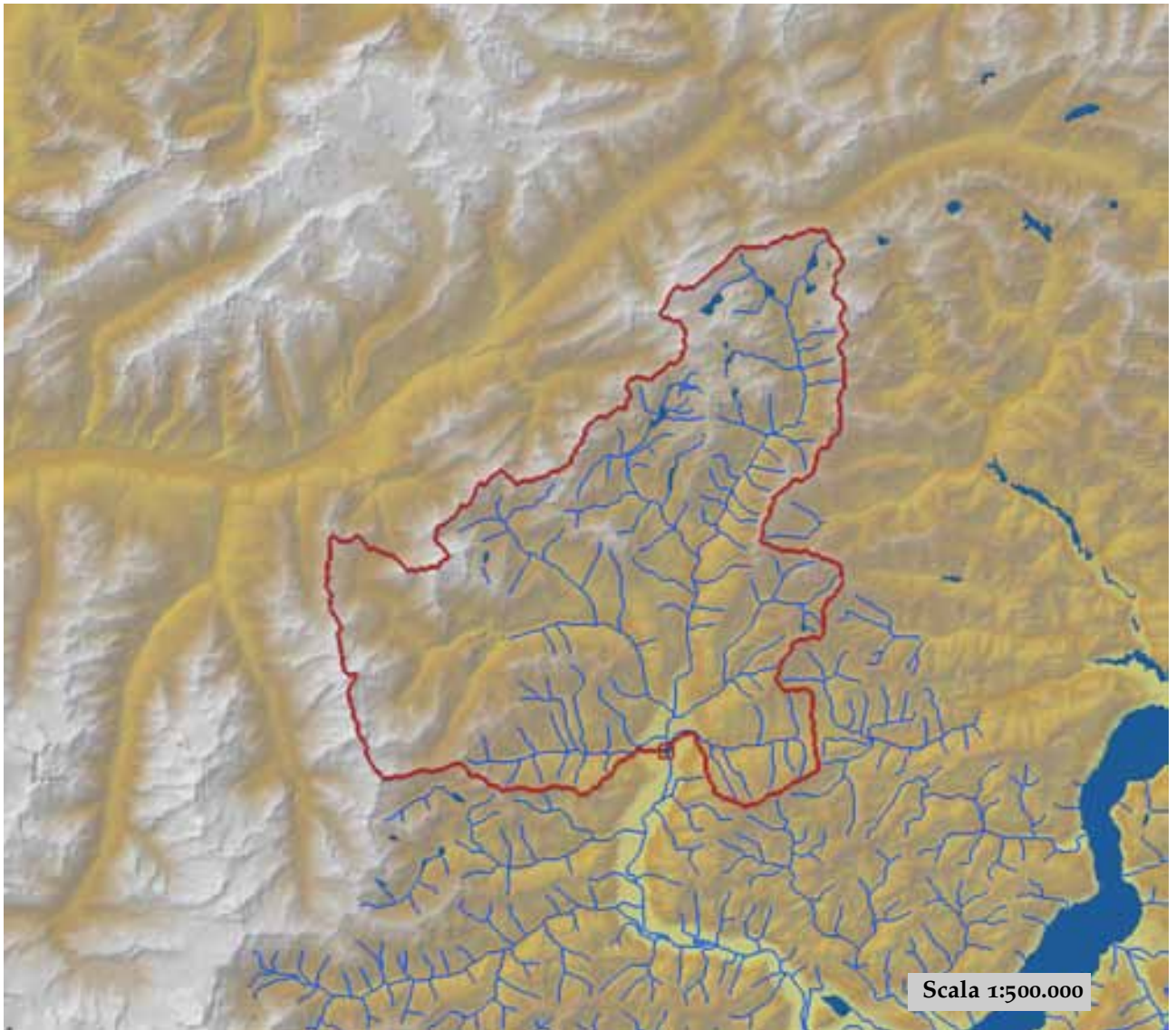


est (UTM ₃₂ N WGS84)	444732	nord (UTM ₃₂ N WGS84)	5131430
est DEM (UTM ₃₂ N WGS84)	444650	nord DEM (UTM ₃₂ N WGS84)	5131451
area bacino	25,98	quota media	2322

quota massima	3184	quota minima	1845
curva ipsografica 2,5%	2800	curva ipsografica 5%	2715
curva ipsografica 10%	2629	curva ipsografica 25%	2485
curva ipsografica 50%	2329	curva ipsografica 75%	2162
curva ipsografica 90%	1980	curva ipsografica 95%	1876
curva ipsografica 97,5%	1854	distanza interquartile curva ipsografica	323
angolo di esposizione medio	234	lunghezza vettore orientamento	2.8
pendenza bacino	20.405	pendenza bacino quadrato equivalente	19.031
est baricentro (UTM _{32N} WGS84)	446450	nord baricentro (UTM _{32N} WGS84)	5133650
fattore di forma	0.425	rapporto di allungamento	0.736
media funzione di ampiezza	4332	varianza funzione di ampiezza	2.61×10 ⁶
skewness funzione di ampiezza	-0.147	kurtosis funzione di ampiezza	2.681
rapporto aree medie di due ordini adiacenti	2.93	rapporto di biforcazione	3
rapporto lunghezze medie di due ordini adiacenti	1.587	rapporto pendenze medie di due ordini adiacenti	1.378
densità di drenaggio	0.697	diametro topologico	6
lunghezza LDP	7.818	lunghezza asta principale	6.028
lunghezza totale reticolo idrografico	18.1	lunghezza media versanti	704
pendenza media LDP	9	media dell'afflusso totale annuo	1538
deviazione standard dell'afflusso totale annuo	61	media coeff. pluviale orario CPP	18.788
dev. standard coeff. pluviale orario CPP	0.53	media esponente CPP	0.551
dev. standard esponente CPP	0.008	coeff. di intensità	0.012
media LCV piogge 1 ora	0.162	dev. standard LCV piogge 1 ora	0.006
media LCV piogge 3 ore	0.159	dev. standard LCV piogge 3 ore	0.001
media LCV piogge 6 ore	0.156	dev. standard LCV piogge 6 ore	0.001
media LCV piogge 12 ore	0.166	dev. standard LCV piogge 12 ore	0.001
media LCV piogge 24 ore	0.179	dev. standard LCV piogge 24 ore	0.002
media LCA piogge 1 ora	0.268	dev. standard LCA piogge 1 ora	0.005
media LCA piogge 3 ore	0.287	dev. standard LCA piogge 3 ore	0.006
media LCA piogge 6 ore	0.295	dev. standard LCA piogge 6 ore	0.011
media LCA piogge 12 ore	0.254	dev. standard LCA piogge 12 ore	0.005
media LCA piogge 24 ore	0.209	dev. standard LCA piogge 24 ore	0.004
media coeff. B1 regime pluviometrico	-20.1	media coeff. C1 regime pluviometrico	-25.1
media coeff. B2 regime pluviometrico	-3.5	media coeff. C2 regime pluviometrico	-33.2
dev. standard regime pluviometrico	35.1	coeff. variaz. regime pluviometrico	0.272
classe 1 corine land cover	0	classe 2 corine land cover	12.64
classe 3 corine land cover	53.86	classe 4 corine land cover	29.92
classe 5 corine land cover	3.79	media NDVI	0.19
dev. standard NDVI	0.06	media curve number 1	52.8
media curve number 2	70.2	media curve number 3	83.2
dev. standard curve number 1	12.3	dev. standard curve number 2	14.5
dev. standard curve number 3	16.1	media indice di permeabilità vapi	0.472
dev. standard indice di permeabilità vapi	0.162		

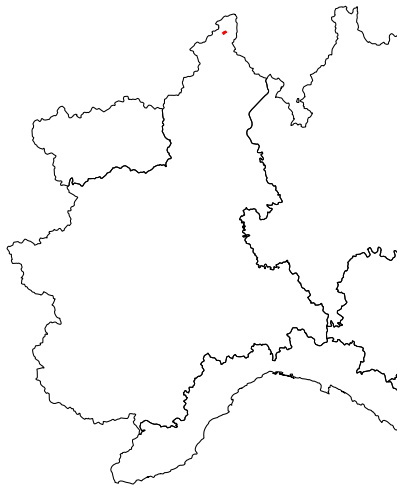


Toce a Domodossola

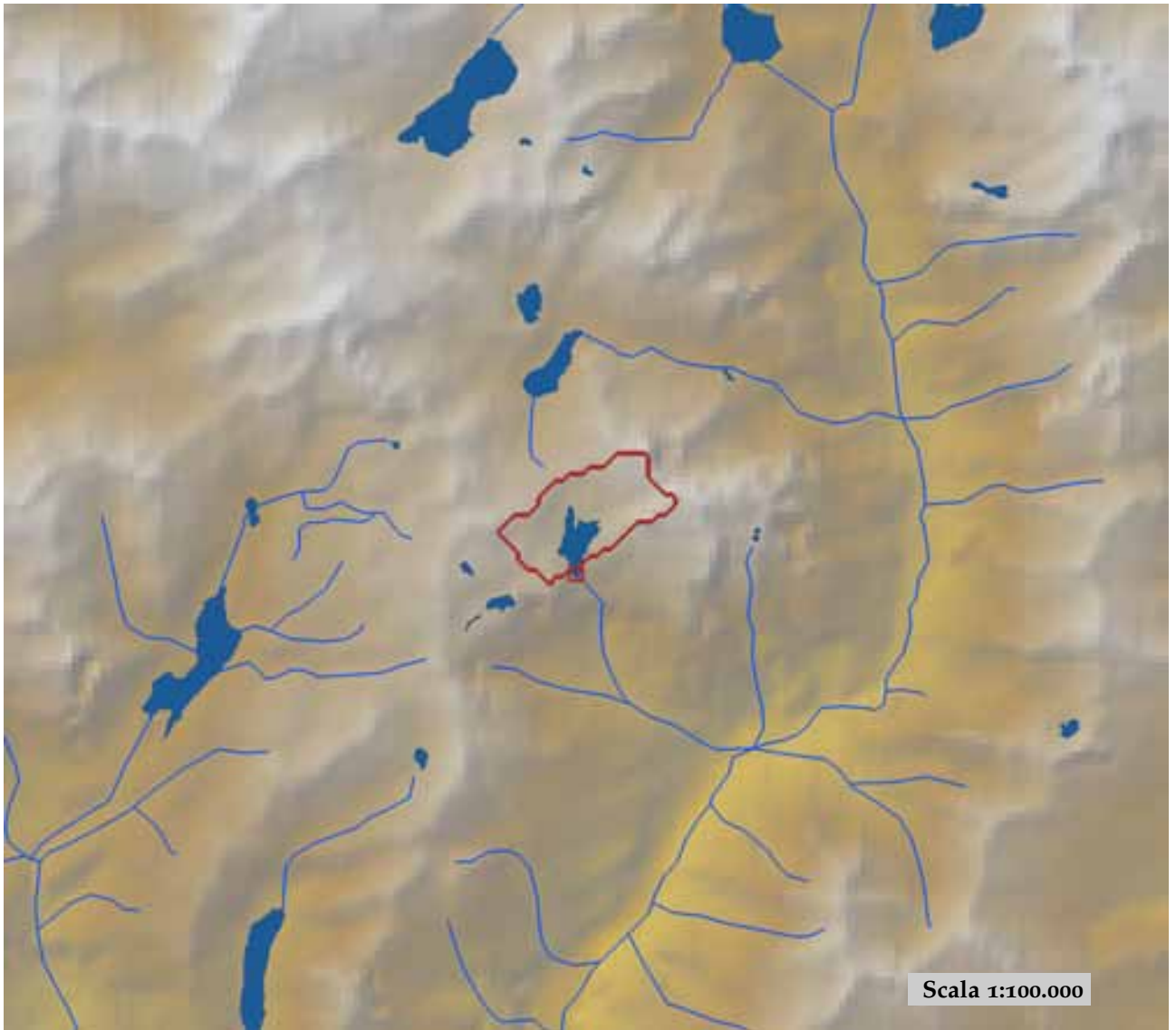


est (UTM ₃₂ N WGS84)	446394	nord (UTM ₃₂ N WGS84)	5106791
est DEM (UTM ₃₂ N WGS84)	446046	nord DEM (UTM ₃₂ N WGS84)	5107749
area bacino	919.44	quota media	1826

quota massima	3953	quota minima	262
curva ipsografica 2,5%	2999	curva ipsografica 5%	2807
curva ipsografica 10%	2617	curva ipsografica 25%	2309
curva ipsografica 50%	1904	curva ipsografica 75%	1354
curva ipsografica 90%	856	curva ipsografica 95%	627
curva ipsografica 97,5%	467	distanza interquartile curva ipsografica	955
angolo di esposizione medio	149	lunghezza vettore orientamento	13.8
pendenza bacino	26.834	pendenza bacino quadrato equivalente	10.837
est baricentro (UTM _{32N} WGS84)	442950	nord baricentro (UTM _{32N} WGS84)	5121150
fattore di forma	0.307	rapporto di allungamento	0.625
media funzione di ampiezza	24891	varianza funzione di ampiezza	1.35×10 ⁸
skewness funzione di ampiezza	0.179	kurtosis funzione di ampiezza	2.269
rapporto aree medie di due ordini adiacenti	4.483	rapporto di biforcazione	4.184
rapporto lunghezze medie di due ordini adiacenti	2.391	rapporto pendenze medie di due ordini adiacenti	1.737
densità di drenaggio	0.589	diametro topologico	49
lunghezza LDP	54.719	lunghezza asta principale	53.012
lunghezza totale reticolo idrografico	542	lunghezza media versanti	783
pendenza media LDP	6	media dell'afflusso totale annuo	1504
deviazione standard dell'afflusso totale annuo	113	media coeff. pluviale orario CPP	19.977
dev. standard coeff. pluviale orario CPP	2.466	media esponente CPP	0.557
dev. standard esponente CPP	0.031	coeff. di intensità	0.013
media LCV piogge 1 ora	0.188	dev. standard LCV piogge 1 ora	0.029
media LCV piogge 3 ore	0.174	dev. standard LCV piogge 3 ore	0.014
media LCV piogge 6 ore	0.161	dev. standard LCV piogge 6 ore	0.008
media LCV piogge 12 ore	0.173	dev. standard LCV piogge 12 ore	0.01
media LCV piogge 24 ore	0.184	dev. standard LCV piogge 24 ore	0.01
media LCA piogge 1 ora	0.223	dev. standard LCA piogge 1 ora	0.045
media LCA piogge 3 ore	0.258	dev. standard LCA piogge 3 ore	0.034
media LCA piogge 6 ore	0.256	dev. standard LCA piogge 6 ore	0.046
media LCA piogge 12 ore	0.239	dev. standard LCA piogge 12 ore	0.028
media LCA piogge 24 ore	0.209	dev. standard LCA piogge 24 ore	0.021
media coeff. B1 regime pluviometrico	-24.1	media coeff. C1 regime pluviometrico	-22.6
media coeff. B2 regime pluviometrico	-4.3	media coeff. C2 regime pluviometrico	-37.3
dev. standard regime pluviometrico	38.8	coeff. variaz. regime pluviometrico	0.326
classe 1 corine land cover	0.63	classe 2 corine land cover	54.32
classe 3 corine land cover	25.16	classe 4 corine land cover	19.09
classe 5 corine land cover	0.81	media NDVI	0.36
dev. standard NDVI	0.16	media curve number 1	37.2
media curve number 2	54.6	media curve number 3	70.6
dev. standard curve number 1	17.7	dev. standard curve number 2	19.6
dev. standard curve number 3	19.3	media indice di permeabilità vapi	0.501
dev. standard indice di permeabilità vapi	0.2		

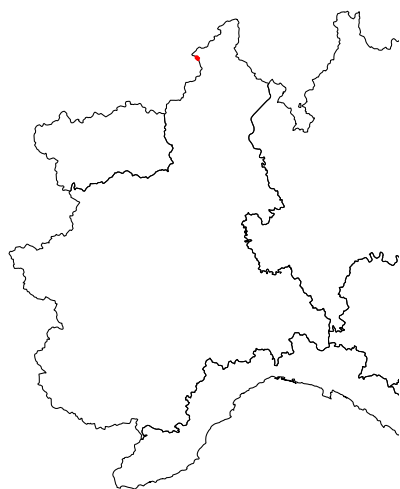


Toce a Lago Busin

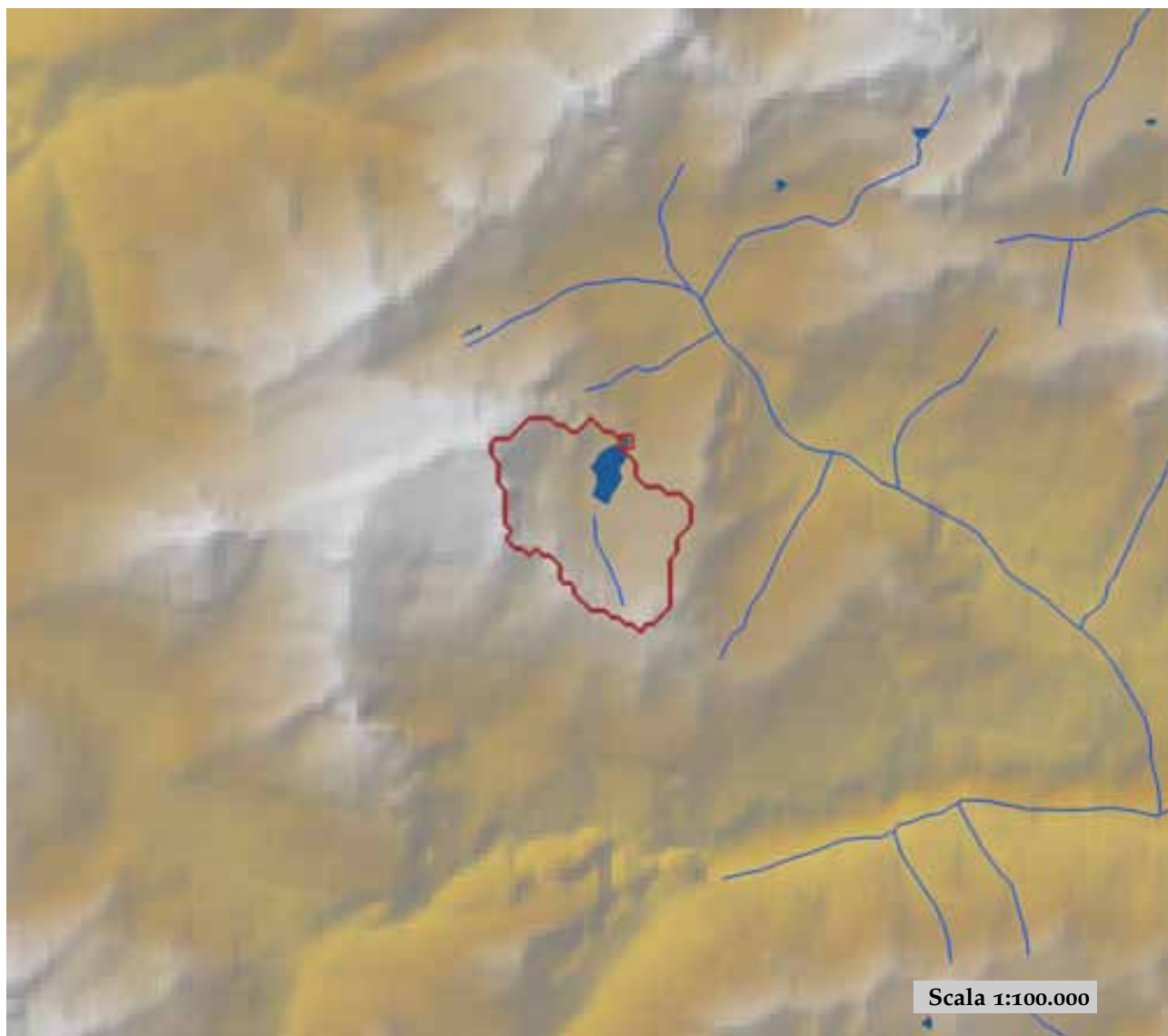


est (UTM _{32N} WGS84)	451099	nord (UTM _{32N} WGS84)	5133475
est DEM (UTM _{32N} WGS84)	451048	nord DEM (UTM _{32N} WGS84)	5133442
area bacino	2.51	quota media	2524

quota massima	2849	quota minima	2370
curva ipsografica 2,5%	2755	curva ipsografica 5%	2726
curva ipsografica 10%	2679	curva ipsografica 25%	2604
curva ipsografica 50%	2508	curva ipsografica 75%	2425
curva ipsografica 90%	2384	curva ipsografica 95%	2377
curva ipsografica 97,5%	2374	distanza interquartile curva ipsografica	179
angolo di esposizione medio	208	lunghezza vettore orientamento	0.9
pendenza bacino	18.085	pendenza bacino quadrato equivalente	17.926
est baricentro (UTM _{32N} WGS84)	451150	nord baricentro (UTM _{32N} WGS84)	5134350
fattore di forma	0.455	rapporto di allungamento	0.761
media funzione di ampiezza	1218	varianza funzione di ampiezza	2.35×10 ⁵
skewness funzione di ampiezza	0.035	kurtosis funzione di ampiezza	2.511
rapporto aree medie di due ordini adiacenti	-	rapporto di biforcazione	0.641
rapporto lunghezze medie di due ordini adiacenti	0.256	rapporto pendenze medie di due ordini adiacenti	-
densità di drenaggio	-	diametro topologico	1
lunghezza LDP	2.349	lunghezza asta principale	0.641
lunghezza totale reticolo idrografico	-	lunghezza media versanti	753
pendenza media LDP	15	media dell'afflusso totale annuo	1440
deviazione standard dell'afflusso totale annuo	8	media coeff. pluviale orario CPP	18.277
dev. standard coeff. pluviale orario CPP	0.166	media esponente CPP	0.564
dev. standard esponente CPP	0.003	coeff. di intensità	0.013
media LCV piogge 1 ora	0.154	dev. standard LCV piogge 1 ora	0.002
media LCV piogge 3 ore	0.159	dev. standard LCV piogge 3 ore	0.001
media LCV piogge 6 ore	0.153	dev. standard LCV piogge 6 ore	0
media LCV piogge 12 ore	0.164	dev. standard LCV piogge 12 ore	0
media LCV piogge 24 ore	0.177	dev. standard LCV piogge 24 ore	0.001
media LCA piogge 1 ora	0.252	dev. standard LCA piogge 1 ora	0.003
media LCA piogge 3 ore	0.272	dev. standard LCA piogge 3 ore	0.002
media LCA piogge 6 ore	0.268	dev. standard LCA piogge 6 ore	0.004
media LCA piogge 12 ore	0.244	dev. standard LCA piogge 12 ore	0.002
media LCA piogge 24 ore	0.202	dev. standard LCA piogge 24 ore	0.002
media coeff. B1 regime pluviometrico	-20.3	media coeff. C1 regime pluviometrico	-36.5
media coeff. B2 regime pluviometrico	-4.4	media coeff. C2 regime pluviometrico	-20.8
dev. standard regime pluviometrico	34.6	coeff. variaz. regime pluviometrico	0.302
classe 1 corine land cover	0	classe 2 corine land cover	0
classe 3 corine land cover	52.23	classe 4 corine land cover	38.46
classe 5 corine land cover	10.93	media NDVI	0.159
dev. standard NDVI	0.043	media curve number 1	54.4
media curve number 2	70.5	media curve number 3	82
dev. standard curve number 1	15.7	dev. standard curve number 2	19.4
dev. standard curve number 3	22	media indice di permeabilità vapi	0.452
dev. standard indice di permeabilità vapi	0.113		

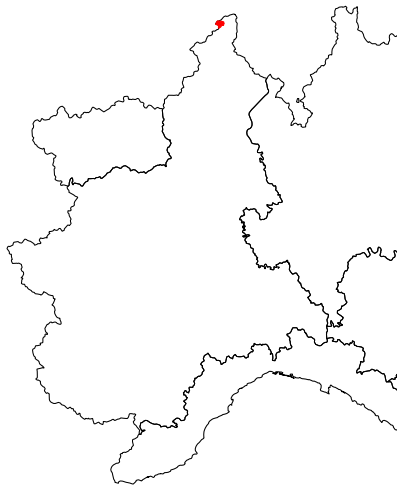


Toce a Lago d'Avino



est (UTM ₃₂ N WGS84)	433177	nord (UTM ₃₂ N WGS84)	5122226
est DEM (UTM ₃₂ N WGS84)	433156	nord DEM (UTM ₃₂ N WGS84)	5122353
area bacino	5.54	quota media	2550

quota massima	3479	quota minima	2212
curva ipsografica 2,5%	3309	curva ipsografica 5%	3246
curva ipsografica 10%	3010	curva ipsografica 25%	2667
curva ipsografica 50%	2456	curva ipsografica 75%	2334
curva ipsografica 90%	2268	curva ipsografica 95%	2236
curva ipsografica 97,5%	2220	distanza interquartile curva ipsografica	333
angolo di esposizione medio	37	lunghezza vettore orientamento	1.1
pendenza bacino	25.056	pendenza bacino quadrato equivalente	20.988
est baricentro (UTM _{32N} WGS84)	432650	nord baricentro (UTM _{32N} WGS84)	5121350
fattore di forma	0.61	rapporto di allungamento	0.881
media funzione di ampiezza	1787	varianza funzione di ampiezza	4.34×10 ⁵
skewness funzione di ampiezza	-0.346	kurtosis funzione di ampiezza	2.559
rapporto aree medie di due ordini adiacenti	-	rapporto di biforcazione	1.649
rapporto lunghezze medie di due ordini adiacenti	0.298	rapporto pendenze medie di due ordini adiacenti	-
densità di drenaggio	-	diametro topologico	2
lunghezza LDP	3.014	lunghezza asta principale	1.507
lunghezza totale reticolo idrografico	-	lunghezza media versanti	896
pendenza media LDP	9	media dell'afflusso totale annuo	1612
deviazione standard dell'afflusso totale annuo	21	media coeff. pluviale orario CPP	17.067
dev. standard coeff. pluviale orario CPP	0.398	media esponente CPP	0.605
dev. standard esponente CPP	0.008	coeff. di intensità	0.011
media LCV piogge 1 ora	0.227	dev. standard LCV piogge 1 ora	0.006
media LCV piogge 3 ore	0.194	dev. standard LCV piogge 3 ore	0.002
media LCV piogge 6 ore	0.177	dev. standard LCV piogge 6 ore	0.001
media LCV piogge 12 ore	0.192	dev. standard LCV piogge 12 ore	0.001
media LCV piogge 24 ore	0.203	dev. standard LCV piogge 24 ore	0.002
media LCA piogge 1 ora	0.251	dev. standard LCA piogge 1 ora	0.004
media LCA piogge 3 ore	0.295	dev. standard LCA piogge 3 ore	0.004
media LCA piogge 6 ore	0.319	dev. standard LCA piogge 6 ore	0.002
media LCA piogge 12 ore	0.263	dev. standard LCA piogge 12 ore	0
media LCA piogge 24 ore	0.227	dev. standard LCA piogge 24 ore	0.001
media coeff. B1 regime pluviometrico	-30	media coeff. C1 regime pluviometrico	-33.2
media coeff. B2 regime pluviometrico	-6.1	media coeff. C2 regime pluviometrico	-30.4
dev. standard regime pluviometrico	39.2	coeff. variaz. regime pluviometrico	0.29
classe 1 corine land cover	0	classe 2 corine land cover	0.2
classe 3 corine land cover	39.67	classe 4 corine land cover	55.21
classe 5 corine land cover	5.93	media NDVI	0.104
dev. standard NDVI	0.034	media curve number 1	47.3
media curve number 2	62.7	media curve number 3	74.6
dev. standard curve number 1	20.3	dev. standard curve number 2	24.4
dev. standard curve number 3	26.8	media indice di permeabilità vapi	0.636
dev. standard indice di permeabilità vapi	0.009		

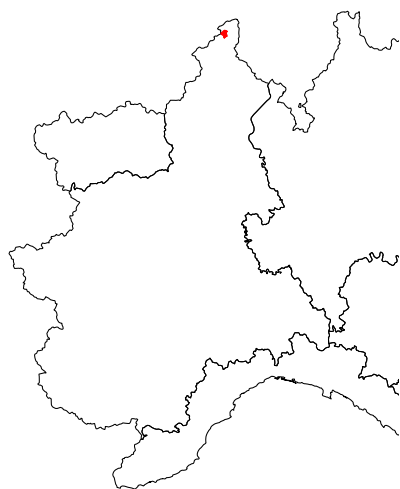


Toce a Lago del Sabbione



est (UTM ₃₂ N WGS84)	449883	nord (UTM ₃₂ N WGS84)	5141238
est DEM (UTM ₃₂ N WGS84)	449851	nord DEM (UTM ₃₂ N WGS84)	5141281
area bacino	14.2	quota media	2765

quota massima	3331	quota minima	2417
curva ipsografica 2,5%	3156	curva ipsografica 5%	3113
curva ipsografica 10%	3054	curva ipsografica 25%	2922
curva ipsografica 50%	2754	curva ipsografica 75%	2602
curva ipsografica 90%	2465	curva ipsografica 95%	2436
curva ipsografica 97,5%	2433	distanza interquartile curva ipsografica	320
angolo di esposizione medio	72	lunghezza vettore orientamento	2.1
pendenza bacino	19.763	pendenza bacino quadrato equivalente	17.939
est baricentro (UTM _{32N} WGS84)	448250	nord baricentro (UTM _{32N} WGS84)	5139850
fattore di forma	0.429	rapporto di allungamento	0.739
media funzione di ampiezza	3296	varianza funzione di ampiezza	1.72×10 ⁶
skewness funzione di ampiezza	-0.372	kurtosis funzione di ampiezza	2.293
rapporto aree medie di due ordini adiacenti	-	rapporto di biforcazione	7.501
rapporto lunghezze medie di due ordini adiacenti	0.528	rapporto pendenze medie di due ordini adiacenti	-
densità di drenaggio	-	diametro topologico	2
lunghezza LDP	5.753	lunghezza asta principale	4.046
lunghezza totale reticolo idrografico	-	lunghezza media versanti	798
pendenza media LDP	8	media dell'afflusso totale annuo	1436
deviazione standard dell'afflusso totale annuo	33	media coeff. pluviale orario CPP	16.914
dev. standard coeff. pluviale orario CPP	0.325	media esponente CPP	0.561
dev. standard esponente CPP	0.005	coeff. di intensità	0.012
media LCV piogge 1 ora	0.149	dev. standard LCV piogge 1 ora	0.003
media LCV piogge 3 ore	0.157	dev. standard LCV piogge 3 ore	0.001
media LCV piogge 6 ore	0.157	dev. standard LCV piogge 6 ore	0.001
media LCV piogge 12 ore	0.17	dev. standard LCV piogge 12 ore	0.001
media LCV piogge 24 ore	0.185	dev. standard LCV piogge 24 ore	0.001
media LCA piogge 1 ora	0.256	dev. standard LCA piogge 1 ora	0.006
media LCA piogge 3 ore	0.271	dev. standard LCA piogge 3 ore	0.008
media LCA piogge 6 ore	0.247	dev. standard LCA piogge 6 ore	0.012
media LCA piogge 12 ore	0.225	dev. standard LCA piogge 12 ore	0.008
media LCA piogge 24 ore	0.186	dev. standard LCA piogge 24 ore	0.006
media coeff. B1 regime pluviometrico	-20.3	media coeff. C1 regime pluviometrico	-36.5
media coeff. B2 regime pluviometrico	-4.4	media coeff. C2 regime pluviometrico	-20.8
dev. standard regime pluviometrico	34.6	coeff. variaz. regime pluviometrico	0.302
classe 1 corine land cover	0	classe 2 corine land cover	0
classe 3 corine land cover	6.44	classe 4 corine land cover	84.38
classe 5 corine land cover	9.47	media NDVI	0.025
dev. standard NDVI	0.015	media curve number 1	37
media curve number 2	45.7	media curve number 3	51.3
dev. standard curve number 1	29.3	dev. standard curve number 2	37.3
dev. standard curve number 3	42.5	media indice di permeabilità vapi	0.037
dev. standard indice di permeabilità vapi	0.148		



Toce a Lago Vannino

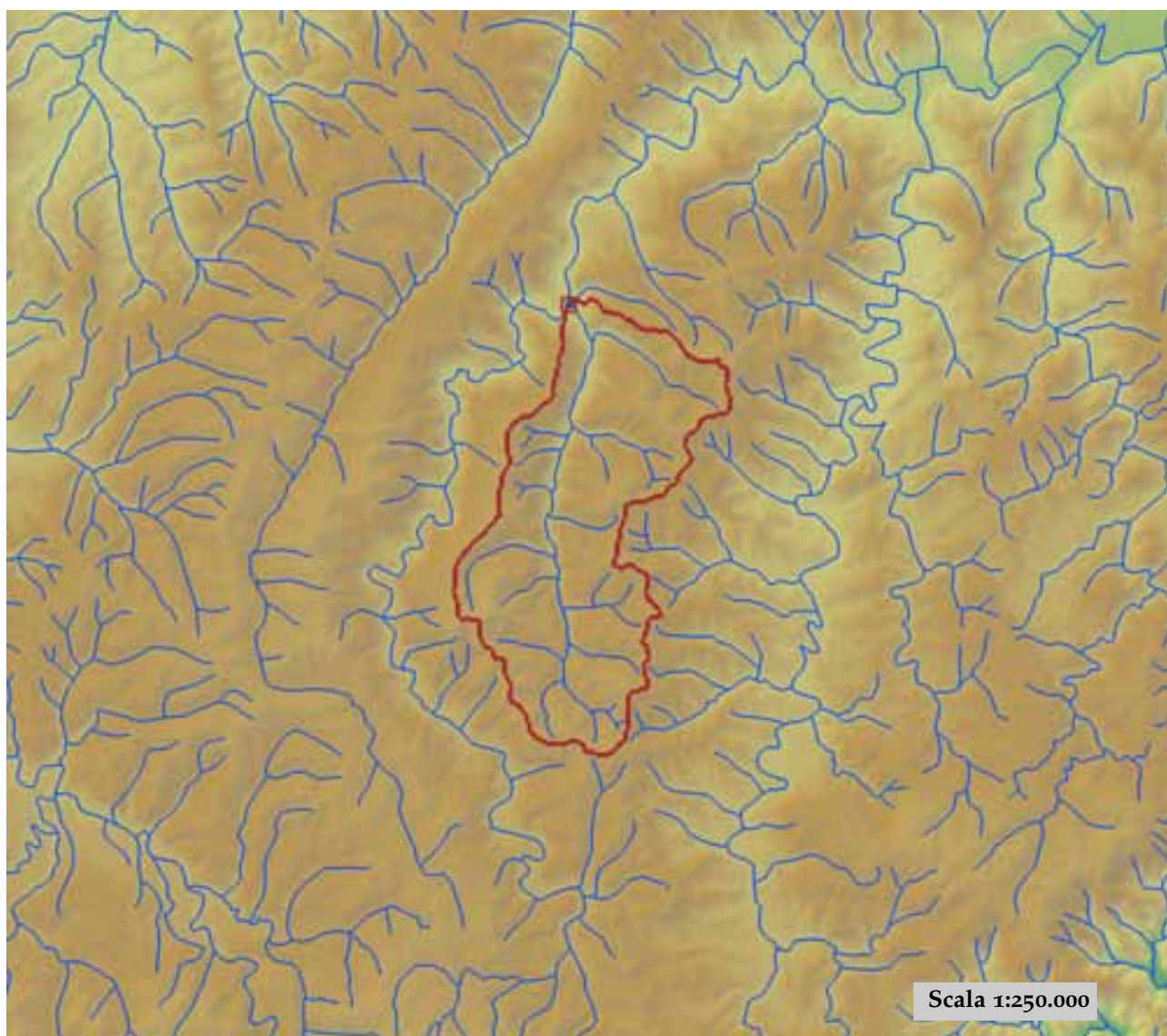


est (UTM ₃₂ N WGS84)	451161	nord (UTM ₃₂ N WGS84)	5136937
est DEM (UTM ₃₂ N WGS84)	451155	nord DEM (UTM ₃₂ N WGS84)	5137051
area bacino	11.58	quota media	2527

quota massima	3175	quota minima	2147
curva ipsografica 2,5%	2941	curva ipsografica 5%	2872
curva ipsografica 10%	2814	curva ipsografica 25%	2665
curva ipsografica 50%	2514	curva ipsografica 75%	2371
curva ipsografica 90%	2261	curva ipsografica 95%	2188
curva ipsografica 97,5%	2157	distanza interquartile curva ipsografica	294
angolo di esposizione medio	101	lunghezza vettore orientamento	1.3
pendenza bacino	21.486	pendenza bacino quadrato equivalente	21.628
est baricentro (UTM _{32N} WGS84)	449850	nord baricentro (UTM _{32N} WGS84)	5136750
fattore di forma	0.62	rapporto di allungamento	0.889
media funzione di ampiezza	2228	varianza funzione di ampiezza	7.14×10 ⁵
skewness funzione di ampiezza	-0.096	kurtosis funzione di ampiezza	2.486
rapporto aree medie di due ordini adiacenti	-	rapporto di biforcazione	5.677
rapporto lunghezze medie di due ordini adiacenti	0.49	rapporto pendenze medie di due ordini adiacenti	-
densità di drenaggio	-	diametro topologico	2
lunghezza LDP	4.321	lunghezza asta principale	2.697
lunghezza totale reticolo idrografico	-	lunghezza media versanti	744
pendenza media LDP	15	media dell'afflusso totale annuo	1411
deviazione standard dell'afflusso totale annuo	19	media coeff. pluviale orario CPP	17.859
dev. standard coeff. pluviale orario CPP	0.399	media esponente CPP	0.559
dev. standard esponente CPP	0.005	coeff. di intensità	0.013
media LCV piogge 1 ora	0.15	dev. standard LCV piogge 1 ora	0.004
media LCV piogge 3 ore	0.158	dev. standard LCV piogge 3 ore	0.001
media LCV piogge 6 ore	0.155	dev. standard LCV piogge 6 ore	0.001
media LCV piogge 12 ore	0.166	dev. standard LCV piogge 12 ore	0.001
media LCV piogge 24 ore	0.18	dev. standard LCV piogge 24 ore	0.002
media LCA piogge 1 ora	0.258	dev. standard LCA piogge 1 ora	0.003
media LCA piogge 3 ore	0.273	dev. standard LCA piogge 3 ore	0.004
media LCA piogge 6 ore	0.262	dev. standard LCA piogge 6 ore	0.009
media LCA piogge 12 ore	0.238	dev. standard LCA piogge 12 ore	0.005
media LCA piogge 24 ore	0.195	dev. standard LCA piogge 24 ore	0.005
media coeff. B1 regime pluviometrico	-20.3	media coeff. C1 regime pluviometrico	-36.5
media coeff. B2 regime pluviometrico	-4.4	media coeff. C2 regime pluviometrico	-20.8
dev. standard regime pluviometrico	34.6	coeff. variaz. regime pluviometrico	0.302
classe 1 corine land cover	0	classe 2 corine land cover	7.89
classe 3 corine land cover	29.66	classe 4 corine land cover	58.63
classe 5 corine land cover	4.25	media NDVI	0.117
dev. standard NDVI	0.028	media curve number 1	51.4
media curve number 2	67	media curve number 3	78.2
dev. standard curve number 1	18.4	dev. standard curve number 2	23
dev. standard curve number 3	26.4	media indice di permeabilità vapi	0.552
dev. standard indice di permeabilità vapi	0.134		



Uzzone a Cortemilia

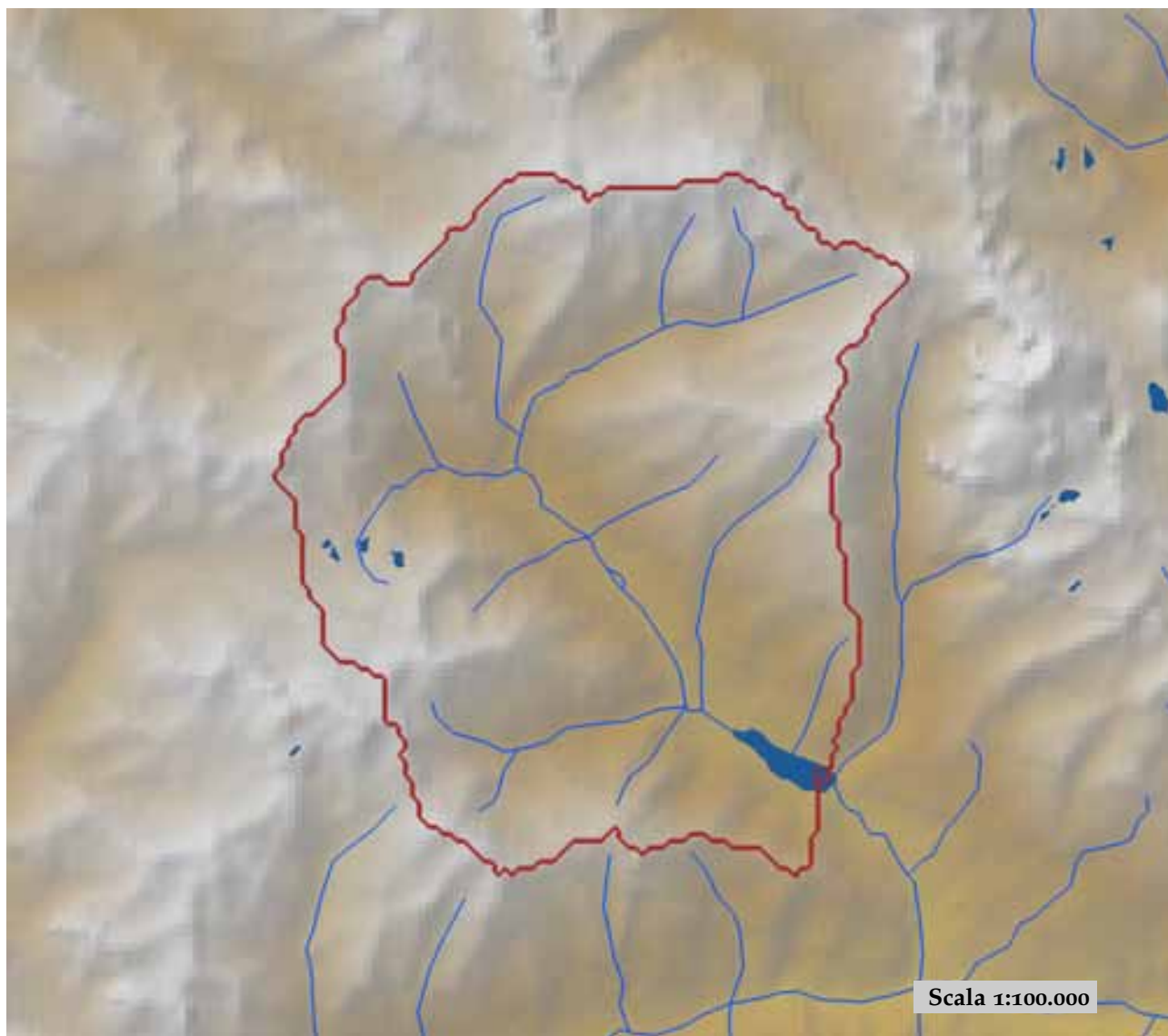


est (UTM _{32N} WGS84)	436164	nord (UTM _{32N} WGS84)	4936487
est DEM (UTM _{32N} WGS84)	436050	nord DEM (UTM _{32N} WGS84)	4936761
area bacino	87.09	quota media	559

quota massima	863	quota minima	250
curva ipsografica 2,5%	765	curva ipsografica 5%	741
curva ipsografica 10%	709	curva ipsografica 25%	639
curva ipsografica 50%	566	curva ipsografica 75%	481
curva ipsografica 90%	397	curva ipsografica 95%	351
curva ipsografica 97,5%	317	distanza interquartile curva ipsografica	158
angolo di esposizione medio	328	lunghezza vettore orientamento	7.9
pendenza bacino	14.443	pendenza bacino quadrato equivalente	6.794
est baricentro (UTM _{32N} WGS84)	436550	nord baricentro (UTM _{32N} WGS84)	4928850
fattore di forma	0.24	rapporto di allungamento	0.553
media funzione di ampiezza	10810	varianza funzione di ampiezza	2.25×10 ⁷
skewness funzione di ampiezza	-0.099	kurtosis funzione di ampiezza	1.92
rapporto aree medie di due ordini adiacenti	3.408	rapporto di biforcazione	4
rapporto lunghezze medie di due ordini adiacenti	2.373	rapporto pendenze medie di due ordini adiacenti	1.899
densità di drenaggio	0.612	diametro topologico	17
lunghezza LDP	19.044	lunghezza asta principale	17.837
lunghezza totale reticolo idrografico	53.3	lunghezza media versanti	580
pendenza media LDP	5	media dell'afflusso totale annuo	880
deviazione standard dell'afflusso totale annuo	55	media coeff. pluviale orario CPP	25.975
dev. standard coeff. pluviale orario CPP	0.839	media esponente CPP	0.364
dev. standard esponente CPP	0.025	coeff. di intensità	0.03
media LCV piogge 1 ora	0.162	dev. standard LCV piogge 1 ora	0.012
media LCV piogge 3 ore	0.185	dev. standard LCV piogge 3 ore	0.008
media LCV piogge 6 ore	0.192	dev. standard LCV piogge 6 ore	0.01
media LCV piogge 12 ore	0.192	dev. standard LCV piogge 12 ore	0.007
media LCV piogge 24 ore	0.204	dev. standard LCV piogge 24 ore	0.005
media LCA piogge 1 ora	0.08	dev. standard LCA piogge 1 ora	0.046
media LCA piogge 3 ore	0.209	dev. standard LCA piogge 3 ore	0.013
media LCA piogge 6 ore	0.224	dev. standard LCA piogge 6 ore	0.036
media LCA piogge 12 ore	0.198	dev. standard LCA piogge 12 ore	0.023
media LCA piogge 24 ore	0.216	dev. standard LCA piogge 24 ore	0.013
media coeff. B1 regime pluviometrico	5.7	media coeff. C1 regime pluviometrico	2.2
media coeff. B2 regime pluviometrico	-5	media coeff. C2 regime pluviometrico	-31.6
dev. standard regime pluviometrico	24.4	coeff. variaz. regime pluviometrico	0.313
classe 1 corine land cover	0.4	classe 2 corine land cover	64.02
classe 3 corine land cover	35.62	classe 4 corine land cover	0
classe 5 corine land cover	0	media NDVI	0.613
dev. standard NDVI	0.017	media curve number 1	45.2
media curve number 2	64.6	media curve number 3	80.9
dev. standard curve number 1	8	dev. standard curve number 2	7.3
dev. standard curve number 3	5.1	media indice di permeabilità vapi	0.581
dev. standard indice di permeabilità vapi	0.064		



Varaita a Castello

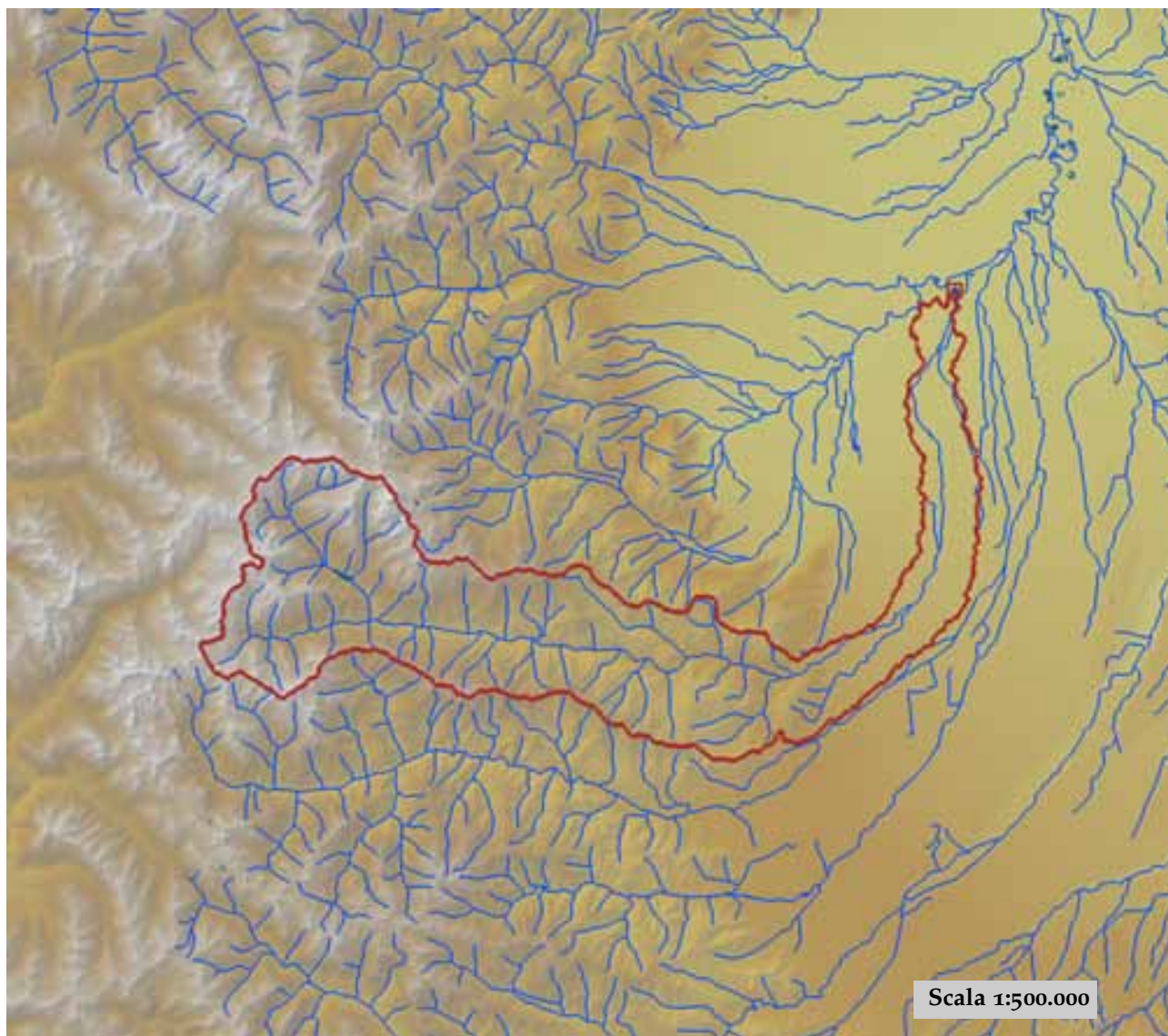


est (UTM ₃₂ N WGS84)	345174	nord (UTM ₃₂ N WGS84)	4941766
est DEM (UTM ₃₂ N WGS84)	345067	nord DEM (UTM ₃₂ N WGS84)	4941964
area bacino	67.8	quota media	2406

quota massima	3242	quota minima	1570
curva ipsografica 2,5%	3032	curva ipsografica 5%	2958
curva ipsografica 10%	2879	curva ipsografica 25%	2704
curva ipsografica 50%	2430	curva ipsografica 75%	2130
curva ipsografica 90%	1875	curva ipsografica 95%	1769
curva ipsografica 97,5%	1685	distanza interquartile curva ipsografica	574
angolo di esposizione medio	173	lunghezza vettore orientamento	5
pendenza bacino	24.677	pendenza bacino quadrato equivalente	20.913
est baricentro (UTM _{32N} WGS84)	341750	nord baricentro (UTM _{32N} WGS84)	4945750
fattore di forma	0.383	rapporto di allungamento	0.698
media funzione di ampiezza	7622	varianza funzione di ampiezza	1.10×10 ⁷
skewness funzione di ampiezza	-0.173	kurtosis funzione di ampiezza	2.06
rapporto aree medie di due ordini adiacenti	4.22	rapporto di biforcazione	3.8
rapporto lunghezze medie di due ordini adiacenti	2.672	rapporto pendenze medie di due ordini adiacenti	1.443
densità di drenaggio	0.559	diametro topologico	12
lunghezza LDP	13.31	lunghezza asta principale	11.637
lunghezza totale reticolo idrografico	37.9	lunghezza media versanti	755
pendenza media LDP	11	media dell'afflusso totale annuo	961
deviazione standard dell'afflusso totale annuo	36	media coeff. pluviale orario CPP	14.79
dev. standard coeff. pluviale orario CPP	0.654	media esponente CPP	0.499
dev. standard esponente CPP	0.011	coeff. di intensità	0.015
media LCV piogge 1 ora	0.173	dev. standard LCV piogge 1 ora	0.009
media LCV piogge 3 ore	0.165	dev. standard LCV piogge 3 ore	0.004
media LCV piogge 6 ore	0.168	dev. standard LCV piogge 6 ore	0.004
media LCV piogge 12 ore	0.17	dev. standard LCV piogge 12 ore	0.005
media LCV piogge 24 ore	0.197	dev. standard LCV piogge 24 ore	0.007
media LCA piogge 1 ora	0.2	dev. standard LCA piogge 1 ora	0.005
media LCA piogge 3 ore	0.132	dev. standard LCA piogge 3 ore	0.01
media LCA piogge 6 ore	0.129	dev. standard LCA piogge 6 ore	0.023
media LCA piogge 12 ore	0.152	dev. standard LCA piogge 12 ore	0.012
media LCA piogge 24 ore	0.201	dev. standard LCA piogge 24 ore	0.006
media coeff. B1 regime pluviometrico	-2.6	media coeff. C1 regime pluviometrico	-1.4
media coeff. B2 regime pluviometrico	-5.2	media coeff. C2 regime pluviometrico	-28.7
dev. standard regime pluviometrico	21.9	coeff. variaz. regime pluviometrico	0.284
classe 1 corine land cover	0	classe 2 corine land cover	18.13
classe 3 corine land cover	46.91	classe 4 corine land cover	34.38
classe 5 corine land cover	0.66	media NDVI	0.261
dev. standard NDVI	0.098	media curve number 1	42.3
media curve number 2	61.2	media curve number 3	77.6
dev. standard curve number 1	12.2	dev. standard curve number 2	12.8
dev. standard curve number 3	11.3	media indice di permeabilità vapi	0.257
dev. standard indice di permeabilità vapi	0.051		



Varaita a Polonghera

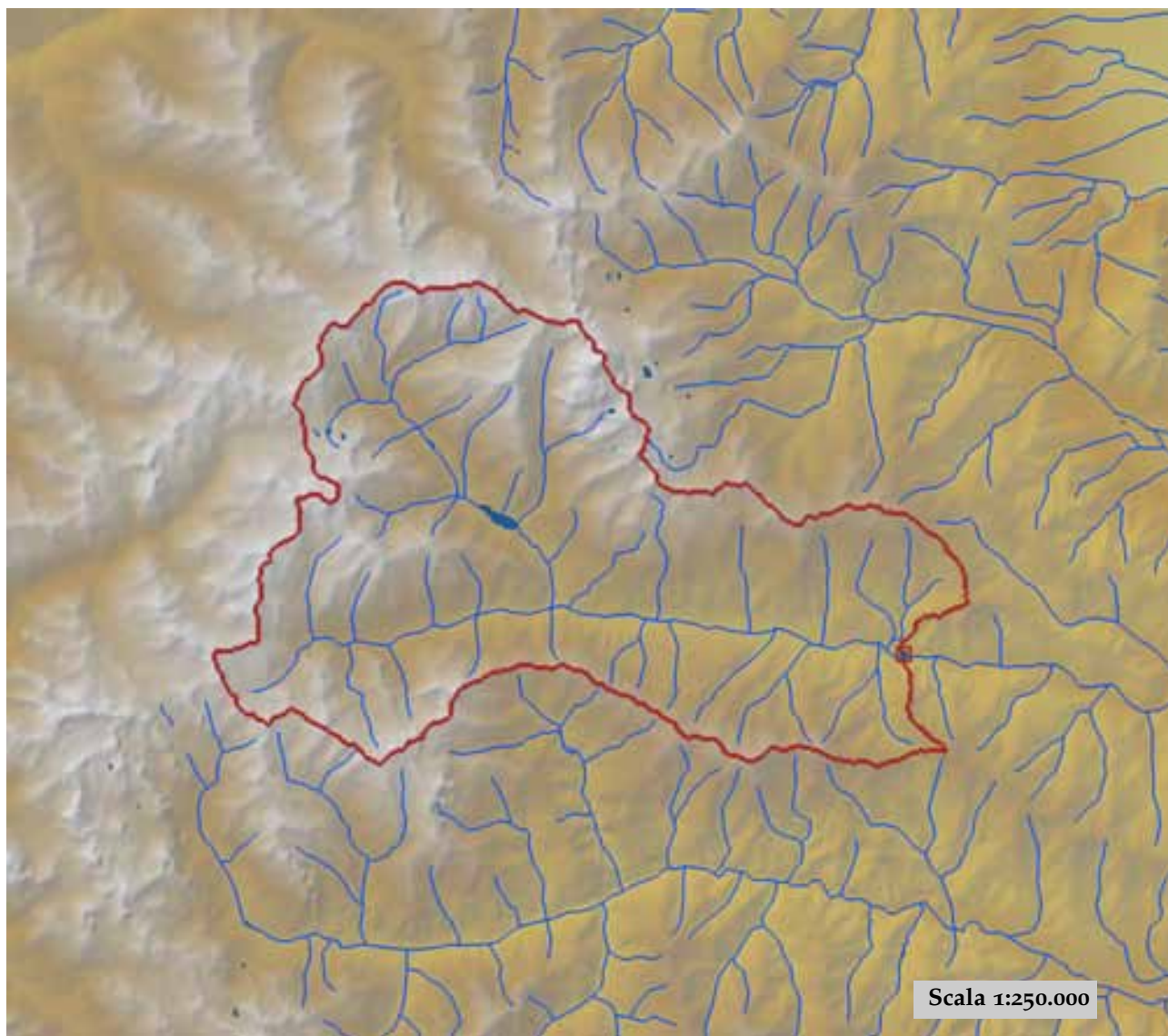


est (UTM ₃₂ N WGS84)	389172	nord (UTM ₃₂ N WGS84)	4961944
est DEM (UTM ₃₂ N WGS84)	389058	nord DEM (UTM ₃₂ N WGS84)	4962844
area bacino	576.59	quota media	1389

quota massima	3716	quota minima	239
curva ipsografica 2,5%	2913	curva ipsografica 5%	2798
curva ipsografica 10%	2617	curva ipsografica 25%	2119
curva ipsografica 50%	1299	curva ipsografica 75%	595
curva ipsografica 90%	309	curva ipsografica 95%	267
curva ipsografica 97,5%	254	distanza interquartile curva ipsografica	1524
angolo di esposizione medio	59	lunghezza vettore orientamento	35.2
pendenza bacino	16.942	pendenza bacino quadrato equivalente	8.837
est baricentro (UTM _{32N} WGS84)	362150	nord baricentro (UTM _{32N} WGS84)	4940150
fattore di forma	0.064	rapporto di allungamento	0.286
media funzione di ampiezza	60018	varianza funzione di ampiezza	6.19×10 ⁸
skewness funzione di ampiezza	-0.53	kurtosis funzione di ampiezza	2.281
rapporto aree medie di due ordini adiacenti	4.477	rapporto di biforcazione	4.743
rapporto lunghezze medie di due ordini adiacenti	2.404	rapporto pendenze medie di due ordini adiacenti	1.666
densità di drenaggio	0.724	diametro topologico	61
lunghezza LDP	94.767	lunghezza asta principale	93.095
lunghezza totale reticolo idrografico	417.3	lunghezza media versanti	754
pendenza media LDP	4	media dell'afflusso totale annuo	925
deviazione standard dell'afflusso totale annuo	73	media coeff. pluviale orario CPP	19.671
dev. standard coeff. pluviale orario CPP	4.623	media esponente CPP	0.424
dev. standard esponente CPP	0.069	coeff. di intensità	0.021
media LCV piogge 1 ora	0.166	dev. standard LCV piogge 1 ora	0.014
media LCV piogge 3 ore	0.159	dev. standard LCV piogge 3 ore	0.01
media LCV piogge 6 ore	0.155	dev. standard LCV piogge 6 ore	0.013
media LCV piogge 12 ore	0.16	dev. standard LCV piogge 12 ore	0.017
media LCV piogge 24 ore	0.184	dev. standard LCV piogge 24 ore	0.02
media LCA piogge 1 ora	0.151	dev. standard LCA piogge 1 ora	0.063
media LCA piogge 3 ore	0.127	dev. standard LCA piogge 3 ore	0.039
media LCA piogge 6 ore	0.129	dev. standard LCA piogge 6 ore	0.039
media LCA piogge 12 ore	0.15	dev. standard LCA piogge 12 ore	0.021
media LCA piogge 24 ore	0.174	dev. standard LCA piogge 24 ore	0.027
media coeff. B1 regime pluviometrico	-10.9	media coeff. C1 regime pluviometrico	-0.9
media coeff. B2 regime pluviometrico	-1.3	media coeff. C2 regime pluviometrico	-32.5
dev. standard regime pluviometrico	25.9	coeff. variaz. regime pluviometrico	0.338
classe 1 corine land cover	1.03	classe 2 corine land cover	42.14
classe 3 corine land cover	42.58	classe 4 corine land cover	14.17
classe 5 corine land cover	0.09	media NDVI	0.452
dev. standard NDVI	0.152	media curve number 1	48.1
media curve number 2	67.2	media curve number 3	82.5
dev. standard curve number 1	9.2	dev. standard curve number 2	8.8
dev. standard curve number 3	6.8	media indice di permeabilità vapi	0.326
dev. standard indice di permeabilità vapi	0.131		



Varaita a Rore

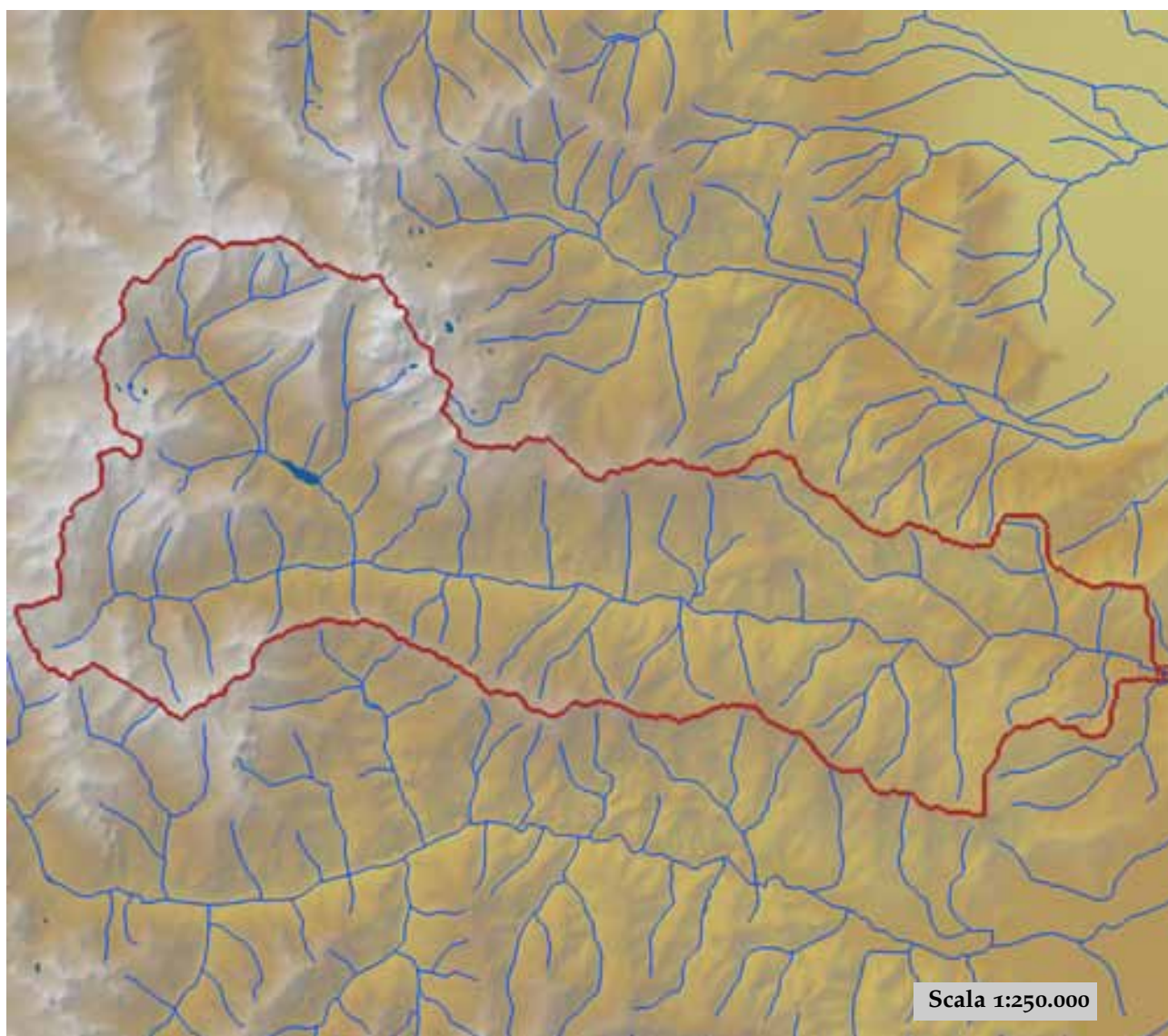


est (UTM ₃₂ N WGS84)	358666	nord (UTM ₃₂ N WGS84)	4937361
est DEM (UTM ₃₂ N WGS84)	359268	nord DEM (UTM ₃₂ N WGS84)	4937167
area bacino	278.28	quota media	2118

quota massima	3716	quota minima	843
curva ipsografica 2,5%	3019	curva ipsografica 5%	2918
curva ipsografica 10%	2805	curva ipsografica 25%	2548
curva ipsografica 50%	2147	curva ipsografica 75%	1717
curva ipsografica 90%	1363	curva ipsografica 95%	1188
curva ipsografica 97,5%	1076	distanza interquartile curva ipsografica	831
angolo di esposizione medio	163	lunghezza vettore orientamento	13
pendenza bacino	23.889	pendenza bacino quadrato equivalente	15.646
est baricentro (UTM _{32N} WGS84)	346850	nord baricentro (UTM _{32N} WGS84)	4940850
fattore di forma	0.283	rapporto di allungamento	0.6
media funzione di ampiezza	17980	varianza funzione di ampiezza	7.38×10 ⁷
skewness funzione di ampiezza	-0.329	kurtosis funzione di ampiezza	1.778
rapporto aree medie di due ordini adiacenti	4.931	rapporto di biforcazione	4.83
rapporto lunghezze medie di due ordini adiacenti	2.31	rapporto pendenze medie di due ordini adiacenti	1.512
densità di drenaggio	0.604	diametro topologico	32
lunghezza LDP	31.371	lunghezza asta principale	29.698
lunghezza totale reticolo idrografico	167.9	lunghezza media versanti	778
pendenza media LDP	8	media dell'afflusso totale annuo	942
deviazione standard dell'afflusso totale annuo	49	media coeff. pluviale orario CPP	15.382
dev. standard coeff. pluviale orario CPP	1.582	media esponente CPP	0.48
dev. standard esponente CPP	0.021	coeff. di intensità	0.016
media LCV piogge 1 ora	0.172	dev. standard LCV piogge 1 ora	0.016
media LCV piogge 3 ore	0.166	dev. standard LCV piogge 3 ore	0.007
media LCV piogge 6 ore	0.166	dev. standard LCV piogge 6 ore	0.005
media LCV piogge 12 ore	0.17	dev. standard LCV piogge 12 ore	0.009
media LCV piogge 24 ore	0.193	dev. standard LCV piogge 24 ore	0.012
media LCA piogge 1 ora	0.187	dev. standard LCA piogge 1 ora	0.043
media LCA piogge 3 ore	0.12	dev. standard LCA piogge 3 ore	0.033
media LCA piogge 6 ore	0.123	dev. standard LCA piogge 6 ore	0.027
media LCA piogge 12 ore	0.143	dev. standard LCA piogge 12 ore	0.025
media LCA piogge 24 ore	0.192	dev. standard LCA piogge 24 ore	0.017
media coeff. B1 regime pluviometrico	-8.1	media coeff. C1 regime pluviometrico	-1
media coeff. B2 regime pluviometrico	-4.4	media coeff. C2 regime pluviometrico	-29.6
dev. standard regime pluviometrico	23.2	coeff. variaz. regime pluviometrico	0.302
classe 1 corine land cover	0.26	classe 2 corine land cover	38.94
classe 3 corine land cover	31.26	classe 4 corine land cover	29.37
classe 5 corine land cover	0.19	media NDVI	0.332
dev. standard NDVI	0.138	media curve number 1	45.3
media curve number 2	64.3	media curve number 3	80.2
dev. standard curve number 1	11	dev. standard curve number 2	10.7
dev. standard curve number 3	8.5	media indice di permeabilità vapi	0.285
dev. standard indice di permeabilità vapi	0.088		



Varaita a Rossana

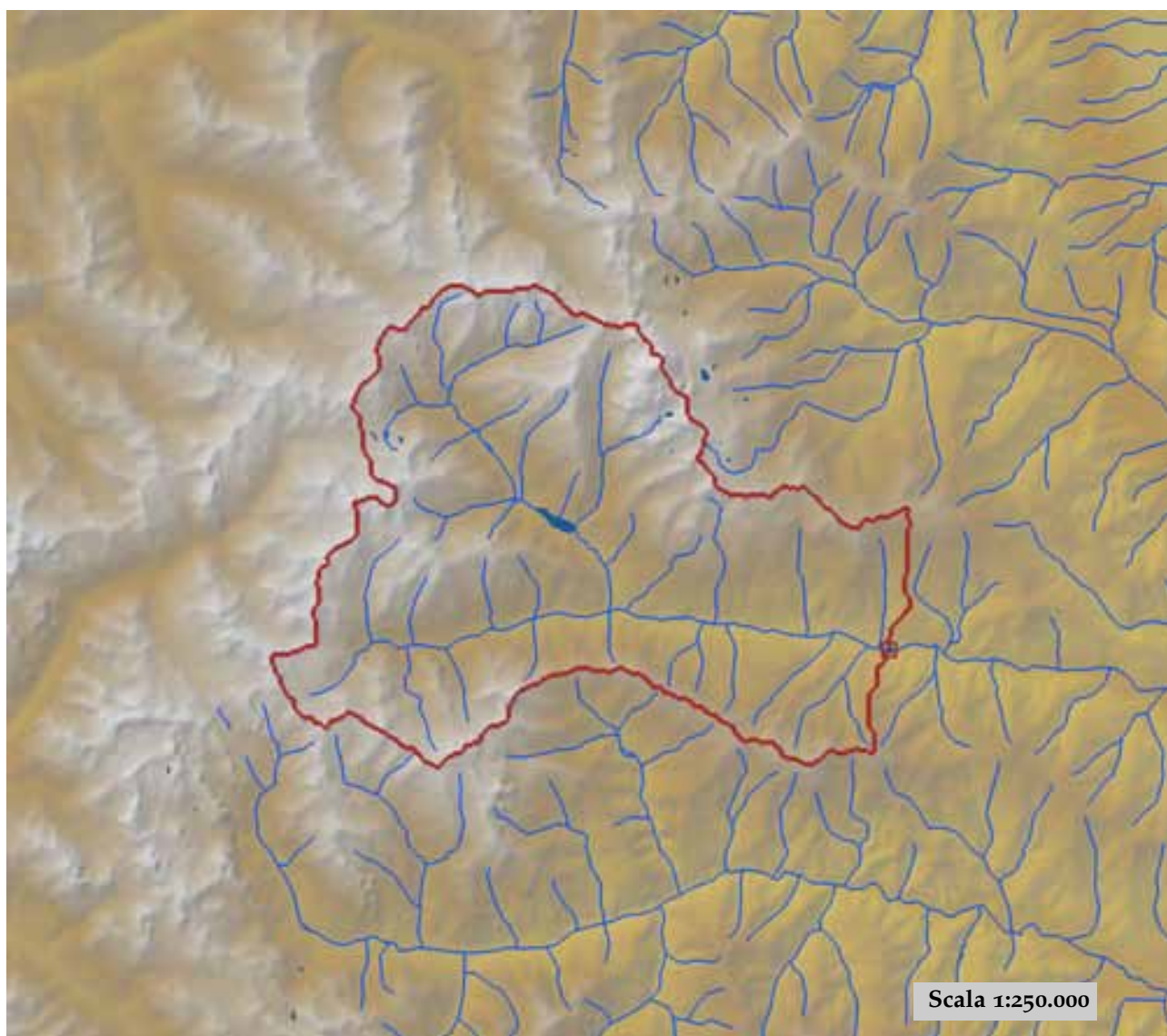


est (UTM _{32N} WGS84)	376220	nord (UTM _{32N} WGS84)	4934616
est DEM (UTM _{32N} WGS84)	375943	nord DEM (UTM _{32N} WGS84)	4934858
area bacino	402.1	quota media	1797

quota massima	3716	quota minima	498
curva ipsografica 2,5%	2967	curva ipsografica 5%	2860
curva ipsografica 10%	2725	curva ipsografica 25%	2361
curva ipsografica 50%	1784	curva ipsografica 75%	1216
curva ipsografica 90%	879	curva ipsografica 95%	745
curva ipsografica 97,5%	662	distanza interquartile curva ipsografica	1145
angolo di esposizione medio	132	lunghezza vettore orientamento	23.4
pendenza bacino	22.585	pendenza bacino quadrato equivalente	12.836
est baricentro (UTM _{32N} WGS84)	352950	nord baricentro (UTM _{32N} WGS84)	4939350
fattore di forma	0.149	rapporto di allungamento	0.436
media funzione di ampiezza	30618	varianza funzione di ampiezza	1.99×10 ⁸
skewness funzione di ampiezza	-0.274	kurtosis funzione di ampiezza	1.803
rapporto aree medie di due ordini adiacenti	4.92	rapporto di biforcazione	5.627
rapporto lunghezze medie di due ordini adiacenti	2.356	rapporto pendenze medie di due ordini adiacenti	1.435
densità di drenaggio	0.59	diametro topologico	47
lunghezza LDP	51.894	lunghezza asta principale	50.222
lunghezza totale reticolo idrografico	237.4	lunghezza media versanti	750
pendenza media LDP	6	media dell'afflusso totale annuo	957
deviazione standard dell'afflusso totale annuo	58	media coeff. pluviale orario CPP	17.251
dev. standard coeff. pluviale orario CPP	3.179	media esponente CPP	0.464
dev. standard esponente CPP	0.031	coeff. di intensità	0.018
media LCV piogge 1 ora	0.166	dev. standard LCV piogge 1 ora	0.016
media LCV piogge 3 ore	0.162	dev. standard LCV piogge 3 ore	0.009
media LCV piogge 6 ore	0.162	dev. standard LCV piogge 6 ore	0.008
media LCV piogge 12 ore	0.168	dev. standard LCV piogge 12 ore	0.008
media LCV piogge 24 ore	0.193	dev. standard LCV piogge 24 ore	0.01
media LCA piogge 1 ora	0.158	dev. standard LCA piogge 1 ora	0.058
media LCA piogge 3 ore	0.125	dev. standard LCA piogge 3 ore	0.035
media LCA piogge 6 ore	0.131	dev. standard LCA piogge 6 ore	0.035
media LCA piogge 12 ore	0.147	dev. standard LCA piogge 12 ore	0.023
media LCA piogge 24 ore	0.178	dev. standard LCA piogge 24 ore	0.03
media coeff. B1 regime pluviometrico	-10.5	media coeff. C1 regime pluviometrico	-0.9
media coeff. B2 regime pluviometrico	-2.5	media coeff. C2 regime pluviometrico	-32.6
dev. standard regime pluviometrico	25.9	coeff. variaz. regime pluviometrico	0.327
classe 1 corine land cover	0.5	classe 2 corine land cover	52.63
classe 3 corine land cover	26.43	classe 4 corine land cover	20.33
classe 5 corine land cover	0.13	media NDVI	0.397
dev. standard NDVI	0.158	media curve number 1	45.7
media curve number 2	64.9	media curve number 3	80.8
dev. standard curve number 1	9.7	dev. standard curve number 2	9.3
dev. standard curve number 3	7.4	media indice di permeabilità vapi	0.348
dev. standard indice di permeabilità vapi	0.124		



Varaita a Sampeyre

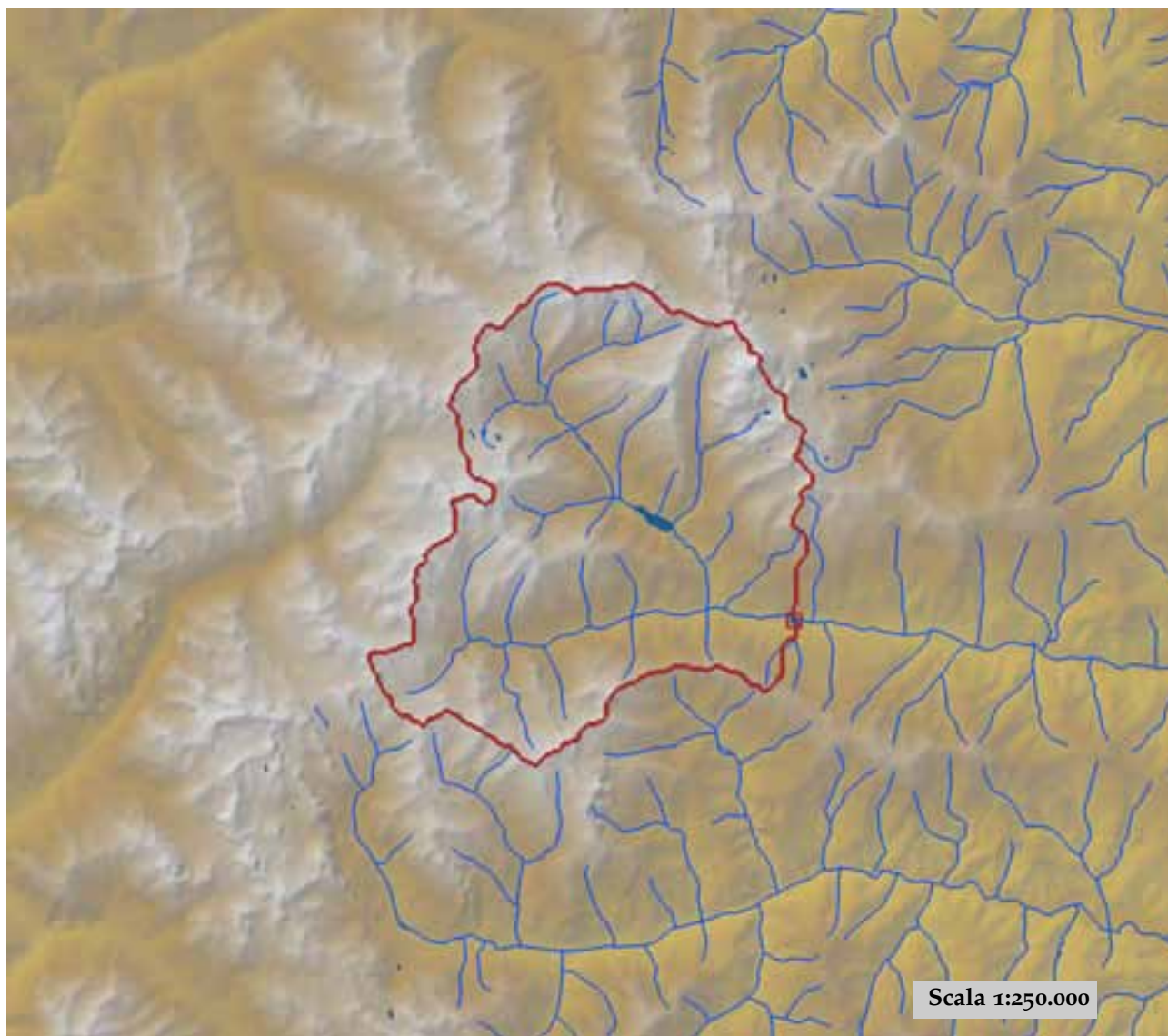


est (UTM ₃₂ N WGS84)	356706	nord (UTM ₃₂ N WGS84)	4937355
est DEM (UTM ₃₂ N WGS84)	356639	nord DEM (UTM ₃₂ N WGS84)	4937443
area bacino	246.77	quota media	2197

quota massima	3716	quota minima	940
curva ipsografica 2,5%	3036	curva ipsografica 5%	2936
curva ipsografica 10%	2826	curva ipsografica 25%	2594
curva ipsografica 50%	2224	curva ipsografica 75%	1831
curva ipsografica 90%	1496	curva ipsografica 95%	1301
curva ipsografica 97,5%	1165	distanza interquartile curva ipsografica	763
angolo di esposizione medio	163	lunghezza vettore orientamento	11.9
pendenza bacino	24.164	pendenza bacino quadrato equivalente	16.36
est baricentro (UTM _{32N} WGS84)	345350	nord baricentro (UTM _{32N} WGS84)	4941250
fattore di forma	0.307	rapporto di allungamento	0.625
media funzione di ampiezza	16745	varianza funzione di ampiezza	5.45×10 ⁷
skewness funzione di ampiezza	-0.417	kurtosis funzione di ampiezza	1.934
rapporto aree medie di due ordini adiacenti	4.947	rapporto di biforcazione	4.546
rapporto lunghezze medie di due ordini adiacenti	2.304	rapporto pendenze medie di due ordini adiacenti	1.537
densità di drenaggio	0.602	diametro topologico	29
lunghezza LDP	28.339	lunghezza asta principale	26.666
lunghezza totale reticolo idrografico	148.5	lunghezza media versanti	777
pendenza media LDP	8	media dell'afflusso totale annuo	942
deviazione standard dell'afflusso totale annuo	48	media coeff. pluviale orario CPP	15.05
dev. standard coeff. pluviale orario CPP	1.25	media esponente CPP	0.483
dev. standard esponente CPP	0.02	coeff. di intensità	0.016
media LCV piogge 1 ora	0.173	dev. standard LCV piogge 1 ora	0.016
media LCV piogge 3 ore	0.167	dev. standard LCV piogge 3 ore	0.007
media LCV piogge 6 ore	0.166	dev. standard LCV piogge 6 ore	0.005
media LCV piogge 12 ore	0.169	dev. standard LCV piogge 12 ore	0.009
media LCV piogge 24 ore	0.191	dev. standard LCV piogge 24 ore	0.012
media LCA piogge 1 ora	0.193	dev. standard LCA piogge 1 ora	0.038
media LCA piogge 3 ore	0.122	dev. standard LCA piogge 3 ore	0.033
media LCA piogge 6 ore	0.123	dev. standard LCA piogge 6 ore	0.029
media LCA piogge 12 ore	0.139	dev. standard LCA piogge 12 ore	0.021
media LCA piogge 24 ore	0.193	dev. standard LCA piogge 24 ore	0.016
media coeff. B1 regime pluviometrico	-7.1	media coeff. C1 regime pluviometrico	-1.1
media coeff. B2 regime pluviometrico	-4.8	media coeff. C2 regime pluviometrico	-29.2
dev. standard regime pluviometrico	22.8	coeff. variaz. regime pluviometrico	0.297
classe 1 corine land cover	0.21	classe 2 corine land cover	34.53
classe 3 corine land cover	32.01	classe 4 corine land cover	33.06
classe 5 corine land cover	0.21	media NDVI	0.313
dev. standard NDVI	0.131	media curve number 1	45.5
media curve number 2	64.4	media curve number 3	80.3
dev. standard curve number 1	11.5	dev. standard curve number 2	11.2
dev. standard curve number 3	8.9	media indice di permeabilità vapi	0.275
dev. standard indice di permeabilità vapi	0.075		

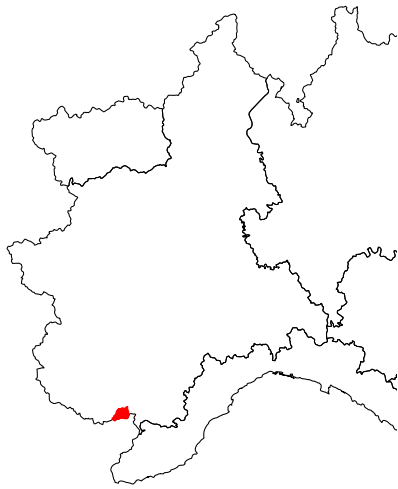


Varaita a Torrette

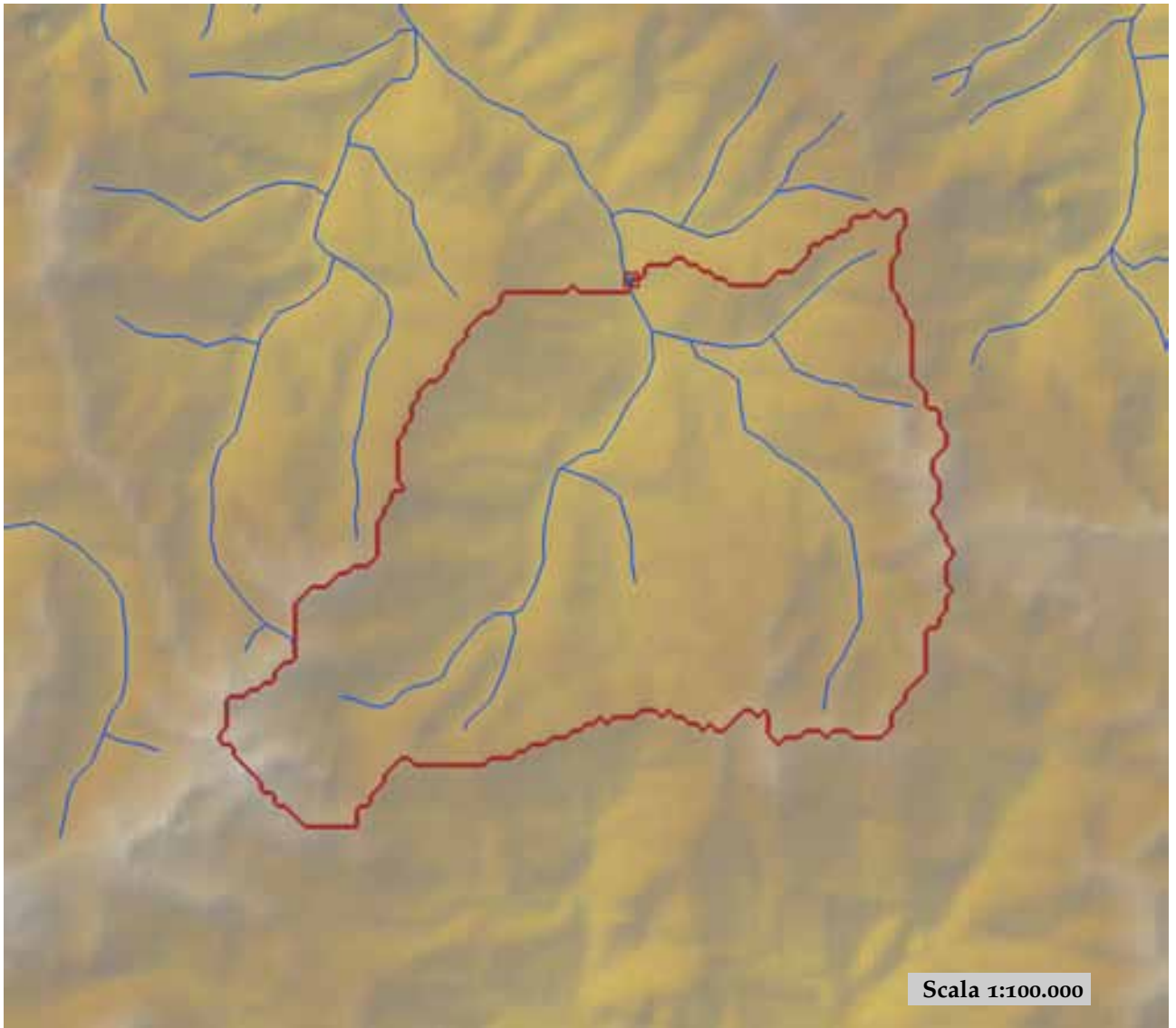


est (UTM ₃₂ N WGS84)	349657	nord (UTM ₃₂ N WGS84)	4938438
est DEM (UTM ₃₂ N WGS84)	349653	nord DEM (UTM ₃₂ N WGS84)	4938456
area bacino	183.94	quota media	2339

quota massima	3716	quota minima	1147
curva ipsografica 2,5%	3073	curva ipsografica 5%	2981
curva ipsografica 10%	2874	curva ipsografica 25%	2688
curva ipsografica 50%	2380	curva ipsografica 75%	2015
curva ipsografica 90%	1721	curva ipsografica 95%	1562
curva ipsografica 97,5%	1431	distanza interquartile curva ipsografica	673
angolo di esposizione medio	176	lunghezza vettore orientamento	7.8
pendenza bacino	25.017	pendenza bacino quadrato equivalente	18.197
est baricentro (UTM _{32N} WGS84)	342750	nord baricentro (UTM _{32N} WGS84)	4942150
fattore di forma	0.452	rapporto di allungamento	0.758
media funzione di ampiezza	12138	varianza funzione di ampiezza	2.14×10 ⁷
skewness funzione di ampiezza	-0.465	kurtosis funzione di ampiezza	2.461
rapporto aree medie di due ordini adiacenti	5.834	rapporto di biforcazione	4.743
rapporto lunghezze medie di due ordini adiacenti	2.804	rapporto pendenze medie di due ordini adiacenti	2.19
densità di drenaggio	0.583	diametro topologico	19
lunghezza LDP	20.179	lunghezza asta principale	18.507
lunghezza totale reticolo idrografico	107.2	lunghezza media versanti	760
pendenza media LDP	10	media dell'afflusso totale annuo	954
deviazione standard dell'afflusso totale annuo	43	media coeff. pluviale orario CPP	14.514
dev. standard coeff. pluviale orario CPP	0.83	media esponente CPP	0.491
dev. standard esponente CPP	0.015	coeff. di intensità	0.015
media LCV piogge 1 ora	0.177	dev. standard LCV piogge 1 ora	0.013
media LCV piogge 3 ore	0.168	dev. standard LCV piogge 3 ore	0.006
media LCV piogge 6 ore	0.167	dev. standard LCV piogge 6 ore	0.005
media LCV piogge 12 ore	0.167	dev. standard LCV piogge 12 ore	0.009
media LCV piogge 24 ore	0.189	dev. standard LCV piogge 24 ore	0.012
media LCA piogge 1 ora	0.21	dev. standard LCA piogge 1 ora	0.023
media LCA piogge 3 ore	0.135	dev. standard LCA piogge 3 ore	0.023
media LCA piogge 6 ore	0.131	dev. standard LCA piogge 6 ore	0.026
media LCA piogge 12 ore	0.138	dev. standard LCA piogge 12 ore	0.019
media LCA piogge 24 ore	0.19	dev. standard LCA piogge 24 ore	0.017
media coeff. B1 regime pluviometrico	-5.4	media coeff. C1 regime pluviometrico	-1.9
media coeff. B2 regime pluviometrico	-5.7	media coeff. C2 regime pluviometrico	-29.7
dev. standard regime pluviometrico	22.9	coeff. variaz. regime pluviometrico	0.293
classe 1 corine land cover	0	classe 2 corine land cover	25.73
classe 3 corine land cover	34.19	classe 4 corine land cover	39.82
classe 5 corine land cover	0.28	media NDVI	0.277
dev. standard NDVI	0.122	media curve number 1	45.6
media curve number 2	64.3	media curve number 3	80.1
dev. standard curve number 1	12.4	dev. standard curve number 2	12.2
dev. standard curve number 3	9.8	media indice di permeabilità vapi	0.259
dev. standard indice di permeabilità vapi	0.051		



Vermenagna a Limone

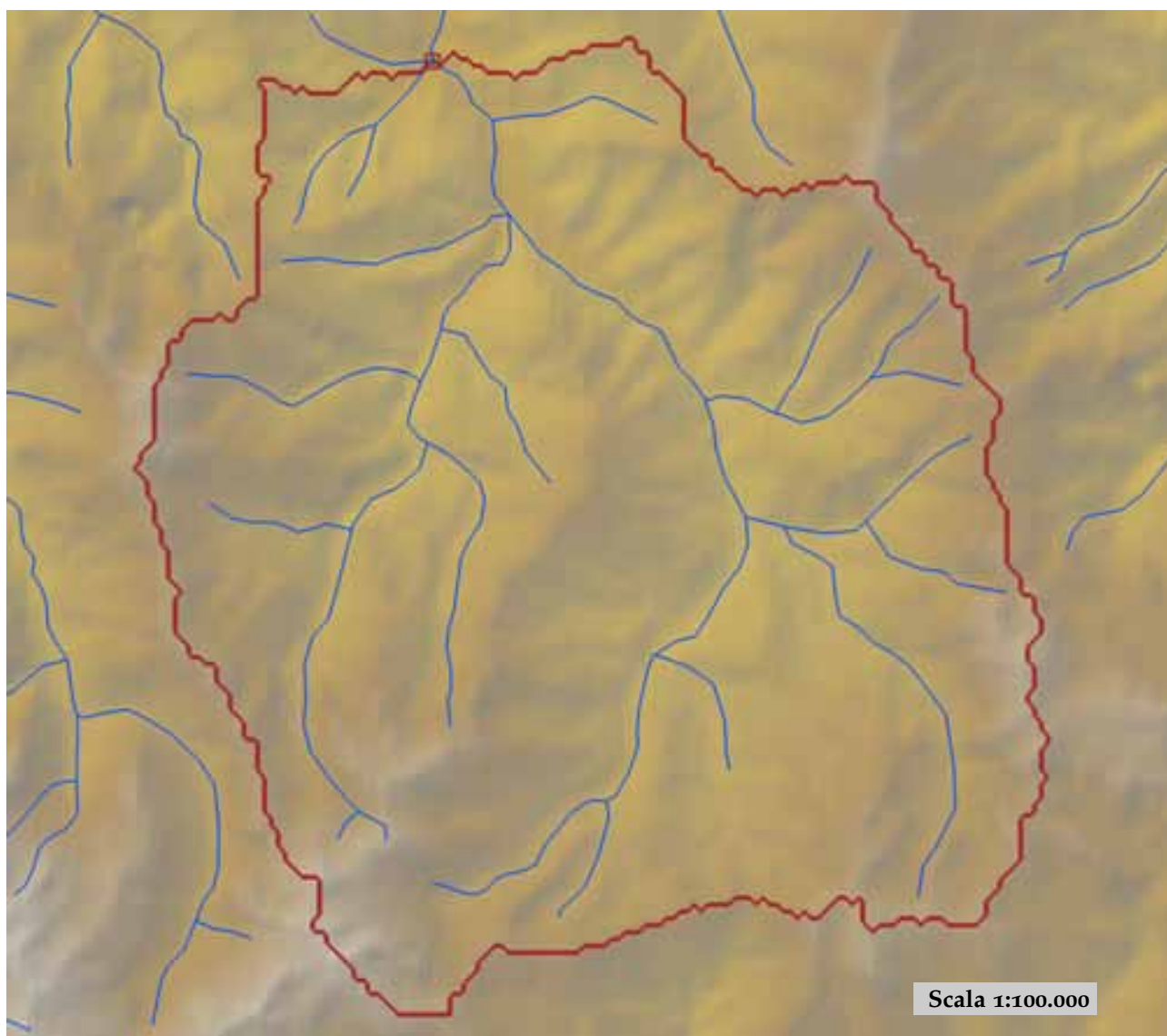


est (UTM ₃₂ N WGS84)	385934	nord (UTM ₃₂ N WGS84)	4896191
est DEM (UTM ₃₂ N WGS84)	385914	nord DEM (UTM ₃₂ N WGS84)	4896184
area bacino	57.4	quota media	1675

quota massima	2697	quota minima	954
curva ipsografica 2,5%	2381	curva ipsografica 5%	2274
curva ipsografica 10%	2130	curva ipsografica 25%	1921
curva ipsografica 50%	1662	curva ipsografica 75%	1408
curva ipsografica 90%	1226	curva ipsografica 95%	1131
curva ipsografica 97,5%	1069	distanza interquartile curva ipsografica	513
angolo di esposizione medio	2	lunghezza vettore orientamento	3,6
pendenza bacino	22.906	pendenza bacino quadrato equivalente	18.716
est baricentro (UTM _{32N} WGS84)	385850	nord baricentro (UTM _{32N} WGS84)	4892550
fattore di forma	0.469	rapporto di allungamento	0.773
media funzione di ampiezza	5822	varianza funzione di ampiezza	5.24×10 ⁶
skewness funzione di ampiezza	-0.083	kurtosis funzione di ampiezza	2.526
rapporto aree medie di due ordini adiacenti	3.575	rapporto di biforcazione	2.828
rapporto lunghezze medie di due ordini adiacenti	1.759	rapporto pendenze medie di due ordini adiacenti	1.747
densità di drenaggio	0.563	diametro topologico	9
lunghezza LDP	11.064	lunghezza asta principale	8.874
lunghezza totale reticolo idrografico	32.3	lunghezza media versanti	698
pendenza media LDP	10	media dell'afflusso totale annuo	1341
deviazione standard dell'afflusso totale annuo	63	media coeff. pluviale orario CPP	22.591
dev. standard coeff. pluviale orario CPP	1.228	media esponente CPP	0.481
dev. standard esponente CPP	0.019	coeff. di intensità	0.017
media LCV piogge 1 ora	0.175	dev. standard LCV piogge 1 ora	0.008
media LCV piogge 3 ore	0.144	dev. standard LCV piogge 3 ore	0.006
media LCV piogge 6 ore	0.143	dev. standard LCV piogge 6 ore	0.002
media LCV piogge 12 ore	0.159	dev. standard LCV piogge 12 ore	0.003
media LCV piogge 24 ore	0.169	dev. standard LCV piogge 24 ore	0.005
media LCA piogge 1 ora	0.255	dev. standard LCA piogge 1 ora	0.031
media LCA piogge 3 ore	0.197	dev. standard LCA piogge 3 ore	0.019
media LCA piogge 6 ore	0.161	dev. standard LCA piogge 6 ore	0.006
media LCA piogge 12 ore	0.244	dev. standard LCA piogge 12 ore	0.008
media LCA piogge 24 ore	0.223	dev. standard LCA piogge 24 ore	0.011
media coeff. B1 regime pluviometrico	20.4	media coeff. C1 regime pluviometrico	32.4
media coeff. B2 regime pluviometrico	-7.7	media coeff. C2 regime pluviometrico	-38.9
dev. standard regime pluviometrico	53	coeff. variaz. regime pluviometrico	0.37
classe 1 corine land cover	1.67	classe 2 corine land cover	52.99
classe 3 corine land cover	37.11	classe 4 corine land cover	8.32
classe 5 corine land cover	0	media NDVI	0.42
dev. standard NDVI	0.066	media curve number 1	42.9
media curve number 2	62.2	media curve number 3	78.9
dev. standard curve number 1	9.8	dev. standard curve number 2	9.8
dev. standard curve number 3	7.7	media indice di permeabilità vapi	0.378
dev. standard indice di permeabilità vapi	0.219		

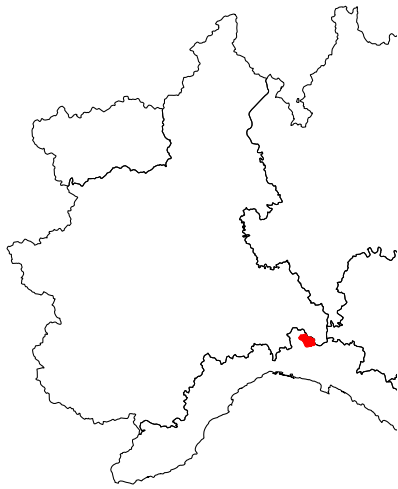


Vermenagna a Robilante

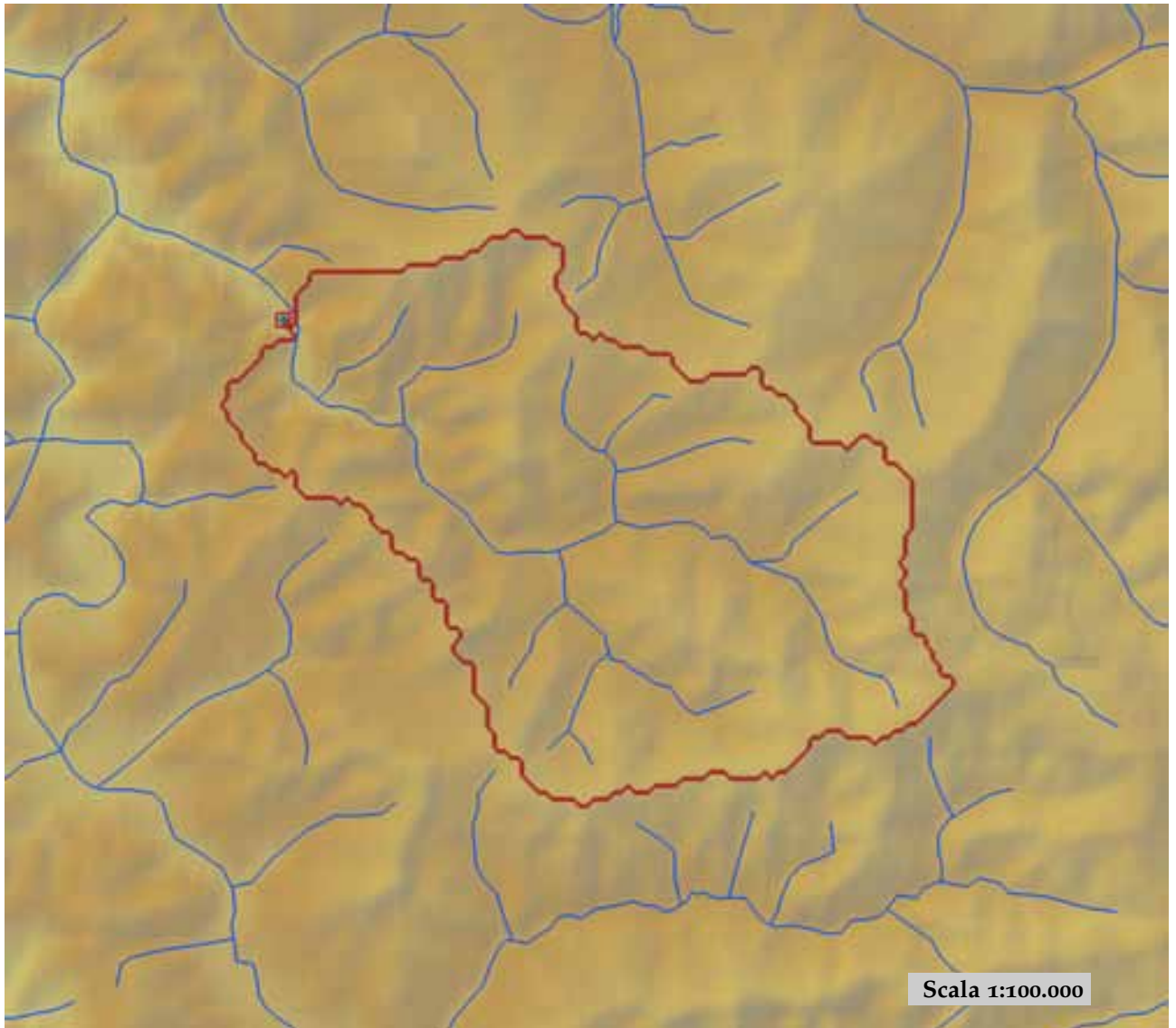


est (UTM _{32N} WGS84)	381656	nord (UTM _{32N} WGS84)	4902050
est DEM (UTM _{32N} WGS84)	381652	nord DEM (UTM _{32N} WGS84)	4902055
area bacino	134.45	quota media	1533

quota massima	2697	quota minima	741
curva ipsografica 2,5%	2286	curva ipsografica 5%	2186
curva ipsografica 10%	2075	curva ipsografica 25%	1823
curva ipsografica 50%	1506	curva ipsografica 75%	1227
curva ipsografica 90%	1027	curva ipsografica 95%	934
curva ipsografica 97,5%	866	distanza interquartile curva ipsografica	596
angolo di esposizione medio	1	lunghezza vettore orientamento	7.2
pendenza bacino	23.907	pendenza bacino quadrato equivalente	13.212
est baricentro (UTM _{32N} WGS84)	383950	nord baricentro (UTM _{32N} WGS84)	4895250
fattore di forma	0.357	rapporto di allungamento	0.674
media funzione di ampiezza	10501	varianza funzione di ampiezza	1.83×10 ⁷
skewness funzione di ampiezza	-0.273	kurtosis funzione di ampiezza	2.341
rapporto aree medie di due ordini adiacenti	3.463	rapporto di biforcazione	3.266
rapporto lunghezze medie di due ordini adiacenti	1.547	rapporto pendenze medie di due ordini adiacenti	1.8
densità di drenaggio	0.568	diametro topologico	16
lunghezza LDP	19.414	lunghezza asta principale	17.224
lunghezza totale reticolo idrografico	76.3	lunghezza media versanti	692
pendenza media LDP	9	media dell'afflusso totale annuo	1346
deviazione standard dell'afflusso totale annuo	53	media coeff. pluviale orario CPP	22.792
dev. standard coeff. pluviale orario CPP	1.452	media esponente CPP	0.47
dev. standard esponente CPP	0.025	coeff. di intensità	0.017
media LCV piogge 1 ora	0.177	dev. standard LCV piogge 1 ora	0.009
media LCV piogge 3 ore	0.144	dev. standard LCV piogge 3 ore	0.007
media LCV piogge 6 ore	0.143	dev. standard LCV piogge 6 ore	0.003
media LCV piogge 12 ore	0.157	dev. standard LCV piogge 12 ore	0.003
media LCV piogge 24 ore	0.165	dev. standard LCV piogge 24 ore	0.005
media LCA piogge 1 ora	0.259	dev. standard LCA piogge 1 ora	0.039
media LCA piogge 3 ore	0.209	dev. standard LCA piogge 3 ore	0.026
media LCA piogge 6 ore	0.158	dev. standard LCA piogge 6 ore	0.011
media LCA piogge 12 ore	0.242	dev. standard LCA piogge 12 ore	0.012
media LCA piogge 24 ore	0.214	dev. standard LCA piogge 24 ore	0.017
media coeff. B1 regime pluviometrico	14.5	media coeff. C1 regime pluviometrico	24.4
media coeff. B2 regime pluviometrico	-5.1	media coeff. C2 regime pluviometrico	-41.4
dev. standard regime pluviometrico	47.1	coeff. variaz. regime pluviometrico	0.347
classe 1 corine land cover	1.12	classe 2 corine land cover	64.43
classe 3 corine land cover	27.58	classe 4 corine land cover	6.9
classe 5 corine land cover	0	media NDVI	0.443
dev. standard NDVI	0.081	media curve number 1	39.9
media curve number 2	59.1	media curve number 3	76.3
dev. standard curve number 1	10.7	dev. standard curve number 2	11.3
dev. standard curve number 3	9.5	media indice di permeabilità vapi	0.361
dev. standard indice di permeabilità vapi	0.227		



Vobbia a Isola del Cantone



est (UTM ₃₂ N WGS84)	497957	nord (UTM ₃₂ N WGS84)	4942898
est DEM (UTM ₃₂ N WGS84)	499022	nord DEM (UTM ₃₂ N WGS84)	4941987
area bacino	50.53	quota media	723

quota massima	1358	quota minima	338
curva ipsografica 2,5%	1090	curva ipsografica 5%	1023
curva ipsografica 10%	949	curva ipsografica 25%	838
curva ipsografica 50%	707	curva ipsografica 75%	599
curva ipsografica 90%	511	curva ipsografica 95%	468
curva ipsografica 97,5%	433	distanza interquartile curva ipsografica	239
angolo di esposizione medio	287	lunghezza vettore orientamento	5.5
pendenza bacino	20.078	pendenza bacino quadrato equivalente	10.41
est baricentro (UTM _{32N} WGS84)	503650	nord baricentro (UTM _{32N} WGS84)	4939050
fattore di forma	0.254	rapporto di allungamento	0.569
media funzione di ampiezza	8017	varianza funzione di ampiezza	1.16×10 ⁷
skewness funzione di ampiezza	-0.458	kurtosis funzione di ampiezza	2.182
rapporto aree medie di due ordini adiacenti	3.427	rapporto di biforcazione	3.333
rapporto lunghezze medie di due ordini adiacenti	1.374	rapporto pendenze medie di due ordini adiacenti	2.728
densità di drenaggio	0.534	diametro topologico	6
lunghezza LDP	14.095	lunghezza asta principale	12.912
lunghezza totale reticolo idrografico	27	lunghezza media versanti	642
pendenza media LDP	10	media dell'afflusso totale annuo	1410
deviazione standard dell'afflusso totale annuo	59	media coeff. pluviale orario CPP	34.637
dev. standard coeff. pluviale orario CPP	1.143	media esponente CPP	0.397
dev. standard esponente CPP	0.011	coeff. di intensità	0.025
media LCV piogge 1 ora	0.161	dev. standard LCV piogge 1 ora	0.01
media LCV piogge 3 ore	0.188	dev. standard LCV piogge 3 ore	0.013
media LCV piogge 6 ore	0.193	dev. standard LCV piogge 6 ore	0.009
media LCV piogge 12 ore	0.205	dev. standard LCV piogge 12 ore	0.005
media LCV piogge 24 ore	0.207	dev. standard LCV piogge 24 ore	0.004
media LCA piogge 1 ora	0.168	dev. standard LCA piogge 1 ora	0.018
media LCA piogge 3 ore	0.235	dev. standard LCA piogge 3 ore	0.008
media LCA piogge 6 ore	0.209	dev. standard LCA piogge 6 ore	0.009
media LCA piogge 12 ore	0.274	dev. standard LCA piogge 12 ore	0.018
media LCA piogge 24 ore	0.26	dev. standard LCA piogge 24 ore	0.024
media coeff. B1 regime pluviometrico	36.8	media coeff. C1 regime pluviometrico	-5.3
media coeff. B2 regime pluviometrico	-5.7	media coeff. C2 regime pluviometrico	-38.8
dev. standard regime pluviometrico	43.2	coeff. variaz. regime pluviometrico	0.364
classe 1 corine land cover	0.22	classe 2 corine land cover	90.33
classe 3 corine land cover	9.53	classe 4 corine land cover	0
classe 5 corine land cover	0	media NDVI	0.62
dev. standard NDVI	0.016	media curve number 1	45.8
media curve number 2	65.7	media curve number 3	81.8
dev. standard curve number 1	3.8	dev. standard curve number 2	3.4
dev. standard curve number 3	2.2	media indice di permeabilità vapi	0.516
dev. standard indice di permeabilità vapi	0.125		

